

---

**Bernd Friedrichs**

---

# **Kanalcodierung**

**Grundlagen und Anwendungen  
in modernen Kommunikationssystemen**

---

*Autor*

Dr.-Ing. Bernd Friedrichs  
Bosch Telecom GmbH  
Gerberstraße 33  
D-71522 Backnang  
Email: friedr@bk.bosch.de

*Autor - Aktualisierte Kontaktinformationen*

Prof. Dr.-Ing. Bernd Friedrichs  
Tesat-Spacecom GmbH & Co. KG  
Gerberstraße 49  
D-71522 Backnang  
Email: friedrichsb@t-online.de

Impressum

# Inhaltsverzeichnis

## TEIL I: GRUNDLAGEN

<b>1 Einführung: Codes und Kanäle</b> . . . . .	1
1.1 Was ist Kanalcodierung ? . . . . .	1
1.2 Codierung in der Nachrichtenübertragung . . . . .	6
1.3 Der Begriff des diskreten Kanals . . . . .	8
1.4 Grundprinzip der Blockcodierung . . . . .	15
1.5 Hammingdistanz und Minimaldistanz . . . . .	18
1.6 Maximum-Likelihood-Decodierung . . . . .	20
1.7 Der Begriff des Codierungsgewinns . . . . .	25
1.8 Grundgedanke der Kanalcodierung . . . . .	30
1.9 Aufgaben . . . . .	31
<b>2 Grundlagen der Shannon'schen Informationstheorie</b> . . . . .	33
2.1 Kanalkapazität des DMC . . . . .	33
2.2 Kanalcodierungstheorem . . . . .	38
2.3 $R_0$ -Theorem . . . . .	42
2.4 Codierungsgewinn beim AWGN mit binärem Input . . . . .	46
2.5 $C$ und $R_0$ beim AWGN mit nicht-binärem Input . . . . .	49
2.6 Kanalkapazität beim AWGN mit Bandbegrenzung . . . . .	57
2.7 Anhang: Beweis des Kanalcodierungstheorems für den BSC . . . . .	62
2.8 Anhang: Beweis des $R_0$ -Theorems für den DMC . . . . .	65
2.9 Aufgaben . . . . .	67

## TEIL II: BLOCKCODES

<b>3 Lineare Blockcodes</b> . . . . .	69
3.1 Definition linearer Blockcodes . . . . .	69
3.2 Erkennung und Korrektur von Fehlern und metrische Struktur . . . . .	73
3.3 Schranken für die Minimaldistanz . . . . .	80

3.4	Asymptotische Schranken für die Minimaldistanz . . . . .	84
3.5	Gewichtsverteilung . . . . .	88
3.6	Wahrscheinlichkeit unerkannter Fehler bei Fehlererkennungs-codes . . . . .	90
3.7	Fehlerwahrscheinlichkeit bei Hard-Decision . . . . .	93
3.8	Fehlerwahrscheinlichkeit bei Soft-Decision und im allgemeinen Fall (Union Bound) . . . . .	95
3.9	Aufgaben . . . . .	102
<b>4</b>	<b>Blockcodes in Matrixbeschreibung</b> . . . . .	<b>107</b>
4.1	Generatormatrix . . . . .	107
4.2	Prüfmatrix . . . . .	111
4.3	Duale Codes und MacWilliams-Identität . . . . .	115
4.4	Hamming-Codes und Simplex-Codes . . . . .	118
4.5	Einfache Modifikationen linearer Codes . . . . .	120
4.6	Nebenklassen-Zerlegung . . . . .	122
4.7	Syndrom-Decodierung . . . . .	124
4.8	Aufgaben . . . . .	126
<b>5</b>	<b>Zyklische Blockcodes</b> . . . . .	<b>129</b>
5.1	Definition zyklischer Codes und Polynombeschreibung . . . . .	129
5.2	Generatorpolynom . . . . .	133
5.3	Prüfpolynom . . . . .	135
5.4	Systematische Encodierung . . . . .	139
5.5	Syndrom . . . . .	144
5.6	Erkennung von Einzelfehlern und Bündelfehlern sowie CRC-Codes . . . . .	145
5.7	Korrektur von Einzelfehlern und Bündelfehlern . . . . .	149
5.8	Nicht-algebraische Decodierverfahren . . . . .	154
5.9	Aufgaben . . . . .	161
<b>6</b>	<b>Arithmetik von Galoisfeldern und Spektraltransformationen</b>	<b>165</b>
6.1	Einführung in Galoisfelder am Beispiel $\mathbb{F}_4$ . . . . .	166
6.2	Konstruktion von $\mathbb{F}_{p^m}$ aus $\mathbb{F}_p$ . . . . .	169
6.3	Minimalpolynome und konjugierte Elemente . . . . .	177
6.4	Beispiele $\mathbb{F}_8$ , $\mathbb{F}_{16}$ und $\mathbb{F}_{64}$ . . . . .	181
6.5	Spektraltransformation auf Galoisfeldern . . . . .	186
6.6	Aufgaben . . . . .	191

<b>7 Reed-Solomon und Bose-Chaudhuri-Hocquenghem Codes</b>	193
7.1 Definition der RS-Codes	194
7.2 Definition der BCH-Codes	197
7.3 Beispiele und Eigenschaften von BCH-Codes	203
7.4 Grundlagen der Decodierung: Syndrom und Schlüsselgleichung	211
7.5 Fehlerkorrektur im Frequenzbereich	217
7.6 Fehlerkorrektur im Zeitbereich	219
7.7 Lösung der Schlüsselgleichung mit dem Berlekamp-Massey-Algorithmus	222
7.8 Lösung der Schlüsselgleichung mit dem Euklidischen Algorithmus	225
7.9 Korrektur von Fehlern und Ausfällen	229
7.10 Decodierung binärer BCH-Codes	234
7.11 Modifikationen von RS- und BCH-Codes	239
7.12 Aufgaben	242

### TEIL III: FALTUNGSCODES UND TRELISCODES

<b>8 Beschreibung und Eigenschaften von Faltungscodes</b>	245
8.1 Definition und Schieberegister-Beschreibung	246
8.2 Polynombeschreibung	249
8.3 Spezielle Codeklassen: Terminierte, punktierte, systematische und transparente Faltungscodes	250
8.4 Nicht-katastrophale Encoder und Encoder-Inverses	254
8.5 Distanzeigenschaften und optimale Faltungscodes	257
8.6 Trellisdiagramm	259
8.7 Zustandsdiagramm	263
8.8 Gewichtsfunktion eines Faltungscodes	264
8.9 Algorithmen zur Berechnung der Gewichtsfunktion	268
8.10 Aufgaben	270
<b>9 ML-Decodierung mit dem Viterbi-Algorithmus und Fehlerwahrscheinlichkeit von Faltungscodes</b>	273
9.1 Viterbi-Metrik	274
9.2 Viterbi-Algorithmus für terminierte Codes	276
9.3 Viterbi-Algorithmus für nicht-terminierte Codes	279
9.4 Hinweise zur Implementierung und Synchronisation	283
9.5 Berechnung der Fehlerwahrscheinlichkeit	286

9.6	Fehlerstrukturen bei der Decodierung . . . . .	292
9.7	Verkettete Codierung und Anforderungen an Soft-Decision- Output . . . . .	294
9.8	Viterbi-Algorithmus mit Soft-Decision-Output (SOVA) . . . . .	297
9.9	Vergleich Blockcodes – Faltungscodes . . . . .	299
9.10	Aufgaben . . . . .	303
<b>10</b>	<b>Trelliscodierte Modulation (TCM) . . . . .</b>	<b>305</b>
10.1	Vorüberlegungen zu höherstufigen Modulationsverfahren . . . . .	305
10.2	TCM-Grundprinzip: Teilmengen-Partitionierung und Ungerböck-Encoder . . . . .	309
10.3	Encoder-Strukturen und Polynombeschreibung . . . . .	315
10.4	Distanzeigenschaften und Trellisdiagramm . . . . .	322
10.5	Optimale Codes nach Ungerböck . . . . .	327
10.6	ML-Decodierung mit dem Viterbi-Algorithmus . . . . .	332
10.7	Berechnung der Fehlerwahrscheinlichkeit . . . . .	333
10.8	Rotationsinvariante TCM . . . . .	337
10.9	Mehrdimensionale TCM . . . . .	342
10.10	Mehrstufigencodierte und blockcodierte Modulation . . . . .	352
10.11	Pragmatische TCM nach Viterbi . . . . .	358
10.12	Aufgaben . . . . .	362

## TEIL IV: ERGÄNZUNGEN UND ANWENDUNGEN

<b>11</b>	<b>Ergänzungen: Spezielle Codes und Kanäle . . . . .</b>	<b>365</b>
11.1	Interleaving-Verfahren . . . . .	365
11.2	Fadingkanäle: Grundlagen und Reed-Solomon Codes . . . . .	369
11.3	Fadingkanäle und trelliscodierte Modulation . . . . .	374
11.4	Kanäle mit Interferenz-Verzerrungen und Maximum-Likelihood Sequence Estimation (MLSE) bei uncodierter Übertragung . . . . .	380
11.5	MLSE bei codierter Übertragung . . . . .	384
11.6	Continuous Phase Modulation (CPM) . . . . .	386
11.7	Soft-Decision ML-Decodierung von Blockcodes . . . . .	393
11.8	Produktcodes . . . . .	395
11.9	Verkettung von Blockcodes . . . . .	397
11.10	Summenkonstruktion und Reed-Muller Codes . . . . .	399

<b>12 Ausgewählte Anwendungen</b> . . . . .	403
12.1 Satellitenkommunikation . . . . .	403
12.2 Modems: Datenübertragung über den Telefonkanal . . . . .	408
12.3 Mobilfunk nach dem GSM-Standard . . . . .	412
12.4 Kanal- und Quellencodierung für zukünftige Mobilfunksysteme	421
12.5 Richtfunk . . . . .	423
12.6 Compact Disc (CD) . . . . .	425
<b>ANHANG: Mathematische Grundlagen</b> . . . . .	431
A.1 Elementare Analysis . . . . .	431
A.2 Binomialkoeffizienten und Entropiefunktion . . . . .	432
A.3 Wahrscheinlichkeitsrechnung . . . . .	434
A.4 Algebra (Gruppen, Ringe, Körper) . . . . .	438
A.5 Lineare Algebra und Vektorräume . . . . .	444
A.6 Polynome . . . . .	446
A.7 Euklidischer Algorithmus . . . . .	449
A.8 Polynom-Restklassenringe . . . . .	453
<b>Lösungshinweise zu den Aufgaben</b> . . . . .	459
<b>Abkürzungs- und Symbolverzeichnis</b> . . . . .	483
<b>Literaturverzeichnis</b> . . . . .	489
<b>Sachverzeichnis</b> . . . . .	497

# 1. Einführung: Codes und Kanäle

In diesem Kapitel wird dargestellt, welche Bedeutung und welchen Platz die Kanalcodierung in einem digitalen Kommunikationssystem einnimmt. Daneben werden wichtige Grundbegriffe wie das Prinzip der Blockcodierung, die Maximum-Likelihood-Decodierung und der asymptotische Codierungsgewinn eingeführt.

## 1.1 Was ist Kanalcodierung ?

Als Begründer der Informations- und Codierungstheorie gilt Claude E. Shannon mit den beiden berühmten Arbeiten *A Mathematical Theory of Communication* und *Communication Theory of Secrecy Systems*, die 1948 und 1949 im Bell Systems Technical Journal veröffentlicht wurden (Nachdruck in [65, 66]). Die Shannon'sche Theorie bildet auch heute noch die Grundlage für das Verständnis der digitalen Übertragung mit dem Ziel einer sicheren, zuverlässigen und effizienten Kommunikation.

Sowohl die Datenquellen wie die Übertragungskanäle werden mit stochastischen Modellen beschrieben. Mit einem mathematischen Informationsmaß (Entropie) wird jeder Nachricht ein Informationsgehalt zugeordnet. Damit kann die minimale Anzahl von Symbolen bestimmt werden, die zur fehlerfreien Darstellung einer Nachricht unbedingt erforderlich sind. Eine längere Nachricht mit dem gleichen Informationsgehalt weist dann eine Redundanz auf. Codierung bedeutet im allgemeinen Fall die Zuordnung von Nachrichten zu einer Menge oder Folge von Symbolen. In der Shannon'schen Theorie werden drei Arten von Codierung unterschieden:

**Quellencodierung** (source coding): Die Nachrichten werden so komprimiert, daß zwar keine Informationen verloren gehen und somit eine perfekte Wiedergewinnung der Nachrichten möglich ist, aber dafür wird die Anzahl der zu übertragenden Symbole reduziert. Durch Quellencodierung wird also überflüssige Redundanz eliminiert und das Übertragungssystem entlastet.

**Kanalcodierung** (error control coding): Diese stellt Methoden und Verfahren zur Verfügung, mit denen Informationen von einer Quelle zur Senke mit einem Minimum an Fehlern übertragen werden können. Den eigentlichen Informationen wird sendeseitig kontrolliert Redundanz hinzugefügt, so daß bei

der Übertragung entstandene Fehler empfangsseitig erkannt und korrigiert werden können. Damit läßt sich eine extrem hohe Zuverlässigkeit der übertragenen Daten erreichen. Ferner sind Störungen kompensierbar, die durch andere Maßnahmen, wie beispielsweise durch eine Erhöhung der Sendeleistung, prinzipiell nicht zu verhindern wären.

**Kryptographie:** Darunter wird die Codierung zur Verschlüsselung verstanden, um Nachrichten für Unberechtigte unlesbar zu machen bzw. um zu verhindern, daß Nachrichten gefälscht oder vorgetäuscht werden können. Während durch Kanalcodierung Nachrichten auch im Fall von Störungen lesbar bleiben, sollen die verschlüsselten Nachrichten auch bei ungestörter Übertragung ohne Kenntnis des Schlüssels unlesbar sein.

In diesem Buch wird nur die Kanalcodierung behandelt, und zwar in enger Verbindung mit der digitalen Übertragungstechnik und modernen Modulationsverfahren, sowie unter Berücksichtigung der durch die Shannon'sche Informationstheorie aufgezeigten prinzipiellen Grenzen und Möglichkeiten einer zuverlässigen Informationsübertragung.

Seit 1948 hat sich die Kanalcodierung zu einer ausgedehnten anwendungsorientierten Wissenschaft entwickelt, die ihre wesentlichen Impulse der wechselseitigen Beeinflussung theoretisch und praktisch orientierter Arbeiten verdankt. Viele moderne digitale Systeme zur Nachrichtenübertragung erreichen ihre enorme Leistungsfähigkeit überhaupt nur durch den Einsatz von Kanalcodierung, dies gilt insbesondere bei stark gestörten Kanälen oder bei hohen Anforderungen an die Zuverlässigkeit. Eine spezielle Form der Übertragung (*von hier nach dort*) ist die Nachrichtenspeicherung (*von jetzt nach später*), da beim Ein- und Auslesen ebenso wie bei der Übertragung mit Störungen gerechnet werden muß, die den Einsatz von Fehlerschutzverfahren erfordern.

Neben der praktischen Bedeutung stellt die Kanalcodierung auch ein nachrichtentechnisch wie mathematisch hochinteressantes Gebiet dar, weil die Codes, die Algorithmen und die informationstheoretischen Grenzen auf einer anspruchsvollen, vielschichtigen und eleganten Theorie basieren. Über die Grundlagen der Übertragungstechnik und der Modulationsverfahren hinaus sind als Stichworte zu nennen: Wahrscheinlichkeitstheorie und Stochastik; Matrizen und lineare Algebra; endliche Körper und Polynomringe; Fouriertransformationen; spezielle Metriken; die Analyse, Synthese und Umformung von Schieberegistern; Zustandsautomaten; Trellisdiagramme; sowie effiziente Algorithmen und Strukturen.

Shannon konnte in der genannten Arbeit aus dem Jahr 1948 zeigen, daß jeder Übertragungskanal durch eine quantitative Größe namens *Kanalkapazität* beschrieben wird, so daß durch die Kanalcodierung eine beliebig kleine Fehlerrate erreicht werden kann, sofern die zu übertragende Datenrate kleiner als die Kanalkapazität ist und eine hinreichend aufwendige Verarbeitung in Sender und Empfänger möglich ist. Die Kanaleigenschaften begrenzen also nicht die Qualität der Übertragung, sondern nur den Durchsatz.

In der Shannon'schen Theorie wird die Existenz entsprechend leistungsfähiger Codes jedoch nur theoretisch nachgewiesen, eine praktische Konstruktionsvorschrift fällt dabei nicht ab. In den Jahren nach 1948 gelang es nicht, die theoretisch vorhergesagten Codes auch tatsächlich praktisch zu finden – allerdings waren zur damaligen Zeit die entsprechenden Verfahren technisch ohnehin noch nicht realisierbar. Nach einer Phase der Ernüchterung über den Wert der theoretischen Erkenntnisse konzentrierte sich die weitere Entwicklung deshalb zunächst darauf, Codes zu finden, mit denen zwar nicht die informationstheoretischen Grenzen erreicht werden können, die aber dafür tatsächlich eine vernünftige Realisierung erlauben. Im Vordergrund stehen dabei die Verbesserungen durch die Codierung gegenüber der uncodierten Übertragung, wobei sich der Vergleich üblicherweise auf die Reduktion in der Fehlerrate oder auf die Einsparung an Sendeleistung bezieht.

Inzwischen wurde eine kaum noch überschaubare Menge von speziellen Codes gefunden und analysiert. Von überragender praktischer Bedeutung sind aber dennoch nur einige wenige Codeklassen, nämlich die RS- und BCH-Blockcodes sowie einige relativ einfache Faltungscodes, die deshalb hier auch vorrangig berücksichtigt werden. Mit dem Prinzip der Codeverkettung und leistungsfähigen Algorithmen zur Decodierung ist der Abstand praktisch realisierbarer Verfahren zu den informationstheoretischen Grenzen inzwischen aber ziemlich klein geworden.

Es gibt zwei prinzipiell unterschiedliche Codeklassen, nämlich Blockcodes (BC, Kapitel 3 bis 7) und Faltungscodes (FC, Kapitel 8 und 9), deren theoretische wie praktische Behandlung sich als ziemlich unterschiedlich herausstellen wird. Wie in fast allen anderen Büchern stehen auch hier die Blockcodes am Anfang, da sich einige grundsätzliche Fragen sowie die Shannon'sche Informationstheorie (Kapitel 2) damit einfacher erläutern lassen. Dazu reichen schon geringe Kenntnisse über Blockcodes (entsprechend Kapitel 1) aus, während die hochentwickelten RS- und BCH-Blockcodes eine sehr komplexe mathematische Struktur aufweisen. Die Einbettung der Kanalcodierung in ein Übertragungssystem wird mit den anschließend behandelten Faltungscodes deutlich.

Für Block- und Faltungscodes in Verbindung mit einfachen Modulationsverfahren wird hier der Begriff *klassische Kanalcodierung* verwendet. Die bei der Codierung hinzugefügte Redundanz erhöht die Datenrate, so daß der Übertragungskanal häufiger benutzt werden muß bzw. mehr Bandbreite benötigt wird. Auf diese Weise lassen sich nur leistungs- aber nicht bandbreiteneffiziente Übertragungsverfahren erzielen. Mit den bahnbrechenden Arbeiten von G. Ungerböck, die seit 1982 unter dem Begriff der trelliscodierten Modulation (TCM, Kapitel 10) bekannt sind, kann eine leistungseffiziente Übertragung auch ohne Expansion der Bandbreite erreicht werden. Durch TCM kann gleichzeitig die Fehlerrate und die notwendige Sendeleistung sowie im Extremfall sogar die notwendige Bandbreite reduziert werden. Die TCM-Verfahren basieren primär auf Faltungscodes, teilweise aber auch auf Blockcodes.

Ferner ist zwischen zwei grundsätzlichen Prinzipien bei der Kanalcodierung

zu unterscheiden, die davon abhängen, ob eine Information sehr schnell übertragen werden muß und ob ein Rückkanal verfügbar ist:

**FEC-Verfahren** (Forward Error Correction): Die bei der Kanalcodierung sendeseitig hinzugefügte Redundanz dient empfangsseitig zur *Korrektur* der Übertragungsfehler. Als Fehlerkorrekturcodes (error correction code) werden Blockcodes und Faltungscodes sowie die trelliscodierte Modulation verwendet. Allerdings wird sich später noch zeigen, daß man Faltungscodes und TCM-Verfahren eigentlich so nicht bezeichnen sollte, sondern besser als Übertragungscodes.

**ARQ-Verfahren** (Automatic Repeat Request): Hierbei werden die Übertragungsfehler nicht korrigiert, sondern es erfolgt empfangsseitig eine Beschränkung auf die *Erkennung* von Fehlern (error detection code). Dabei muß allerdings vorausgesetzt werden, daß die Übertragungszeit nicht extrem knapp vorgegeben wird und daß ein Rückkanal verfügbar ist. Bei erkannten Fehlern wird nämlich eine Wiederholung über diesen Rückkanal angefordert, um die Nachricht erneut zu senden oder um sie mit zusätzlicher Redundanz zu versehen. Zur Fehlererkennung werden fast ausschließlich Blockcodes verwendet.

Der Vorteil von ARQ liegt darin, daß zur Fehlererkennung weit weniger Redundanz als zur Fehlerkorrektur übertragen werden muß. Wenn allerdings Nachrichten wiederholt zu übertragen sind, kann es zu erheblichen Verzögerungen kommen. Der Durchsatz bei ARQ ist abhängig von der Kanalqualität, während die Fehlerrate davon unabhängig ist. Umgekehrt sind die Verhältnisse bei FEC: Die Kanalqualität bestimmt die Fehlerrate, aber nicht den Durchsatz. FEC- und ARQ-Verfahren können auch kombiniert werden, indem beispielsweise die Redundanz so dimensioniert wird, daß eine kleine Anzahl von Fehlern noch korrigierbar ist, aber bei vielen Fehlern eine Wiederholung angefordert wird. Aus Platzgründen werden in diesem Buch aber ausschließlich FEC-Verfahren behandelt.

Der Entwurf von leistungsfähigen Codierungsverfahren muß sich immer an den speziellen Randbedingungen des Übertragungssystems und insbesondere an den Eigenschaften des Übertragungskanals orientieren. Spezielle Anwendungen erfordern also spezielle Codes. Zu den wichtigsten Randbedingungen, die bei der Auswahl und Optimierung eines Übertragungssystems mit Kanalcodierung zu beachten sind, zählen die Eigenschaften des Übertragungskanals, insbesondere die verfügbare Bandbreite; die verfügbare Sendeleistung; das vorgegebene Modulationsverfahren, sofern nicht die Kanalcodierung und das Modulationsverfahren gemeinsam optimiert werden können; die Begrenzungen in der Verzögerungszeit bei der Übertragung; die Begrenzungen in der Komplexität der Signalverarbeitung in Sender und Empfänger; die Anforderungen an die Fehlerwahrscheinlichkeit und an die zulässigen Fehlerstrukturen nach der Decodierung; die Anforderungen an die Synchronisation; sowie Anforderungen sonstiger Art, wenn

beispielsweise bei nichtlinearen Sendeverstärkern Modulationsverfahren mit konstanter Enveloppe erforderlich sind.

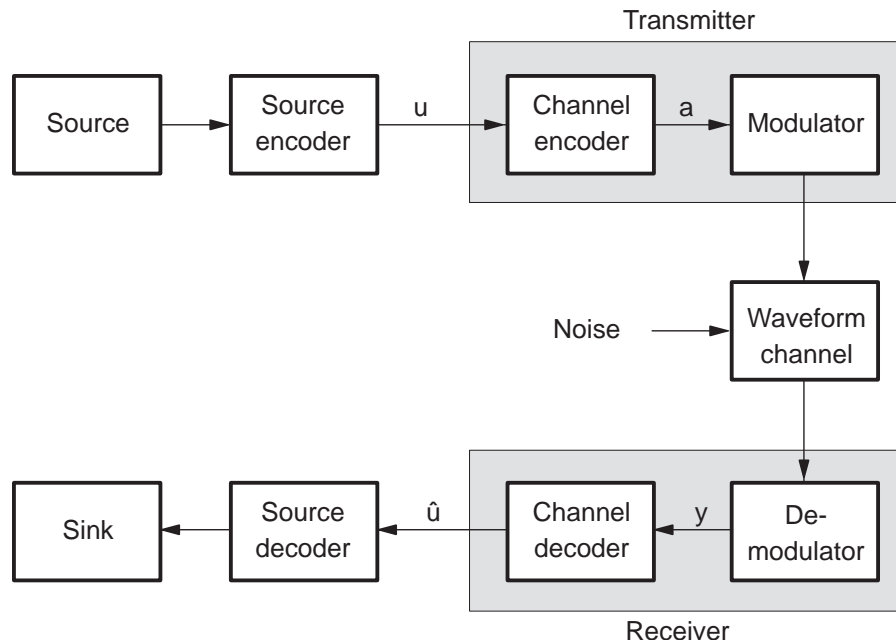
Daraus resultiert eine ziemlich komplexe Aufgabenstellung mit vielfältigen Lösungen je nach Gewichtung der einzelnen Randbedingungen. Die folgende Auflistung vermittelt einen Überblick zu den vielfältigen Anwendungen und Aufgaben der Kanalcodierung:

- Zur Leistungsersparnis, beispielsweise bei geostationären Kommunikationssatelliten (“himmlischer” Kanal) und insbesondere bei erdfernen Forschungssatelliten (siehe Abschnitt 12.1). Hierbei liegt der Idealfall eines AWGN-Kanals vor (siehe Abschnitt 1.3), der zu statistisch unabhängigen Einzelfehlern führt.
- Zur Bandbreitensparnis, indem die durch die Codierung erzeugte Redundanz nicht in zusätzlich zu übertragende Symbole mündet, sondern in höherstufige Codesymbole mit gleicher oder sogar reduzierter Datenrate. Als wichtige Anwendung sind beispielsweise die Telefonkanal-Modems zu nennen (siehe Abschnitt 12.2). Der digitale Mobilfunk (siehe Abschnitte 12.3, 12.4) ist ein typisches Beispiel für eine gleichermaßen leistungs- wie bandbreiteneffiziente Anwendung.
- Bei hohen Anforderungen an die Zuverlässigkeit wie beispielsweise im Rechnerverbund, bei der Kommunikation im Bankenbereich, bei sicherheitsrelevanten Diensten (z.B. Fernsteuerung im Bahnverkehr) sowie bei hochkomprimierten Daten. Hierbei sind oft Kombinationen mit kryptographischen Codes erforderlich.
- Bei zeitvariablen Störungen, wenn ein Codewort gute und schlechte Übertragungsabschnitte aufweist und der Empfänger die momentane Signalqualität gut schätzen kann. Insbesondere bei Mobilfunkkanälen treten Fadingeinbrüche auf, die kurz gegenüber der Codewortlänge und lang gegenüber der Symboldauer sind.
- Bei Kanälen mit Bündelfehlern, die typischerweise bei der Nachrichtenspeicherung auftreten, wie beispielsweise bei der Compact Disc (siehe Abschnitt 12.6).
- In Kombination mit der Quellencodierung, wenn die einzelnen Quellensymbole unterschiedlich wichtig sind und auch unterschiedlich gut geschützt werden sollen – aktuelle Beispiele sind die Sprachcodierung im GSM-Mobilfunk (siehe Abschnitte 8.3, 12.3, 12.4) und die Quellencodierung für den digitalen Hörrundfunk.
- Zur Erkennung von Fehlern anstelle der Korrektur. Im Zusammenhang mit der Quellencodierung von Sprache und Musik zählen hierzu auch Maßnahmen zur Fehlerverschleierung, so daß erkannte Fehler nicht zu subjektiven Auswirkungen führen (siehe Abschnitte 12.3, 12.4, 12.6).
- In Kombination mit ARQ-Verfahren wie vorangehend erläutert.
- Bei Störungen, die durch erhöhte Sendeleistung nicht zu unterdrücken sind wie beispielsweise Übersprechen, Knackgeräusche, Fading, Reflexionen, Mehrwegeausbreitung und Verzerrungen.

- Zur Verringerung der sogenannten Hintergrund-Fehlerrate, die bei nicht perfekten Sendern und Empfängern auftritt, beispielsweise aufgrund von Nicht-linearitäten (siehe Abschnitt 12.5).

## 1.2 Codierung in der Nachrichtenübertragung

Das Grundprinzip einer digitalen Nachrichtenübertragung mit Quellencodierung und Kanalcodierung zeigt Bild 1.1. Wie vorangehend dargestellt wird durch die Quellencodierung erst Redundanz eliminiert und durch die Kanalcodierung wird dann kontrolliert Redundanz hinzugefügt. Die in den Quellendaten eventuell vorhandene Redundanz ist für die Kanalcodierung unbrauchbar, da die Eigenschaften dieser Redundanz nicht genau kontrollierbar und steuerbar sind. Eventuell weisen die Quellendaten auch gar keine Redundanz auf.



**Bild 1.1.** Digitale Nachrichtenübertragung mit Kanal- und Quellencodierung

Nach der Shannon'schen Theorie [39, 66] können wie in Bild 1.1 dargestellt die Quellencodierung und die Kanalcodierung getrennt ausgeführt und optimiert werden, was als *Separationsprinzip* bezeichnet wird. Allerdings kann es praktische Erfordernisse wie beispielsweise Beschränkungen in der Übertragungsverzögerung oder in der Komplexität geben, so daß ganz im Gegenteil Quellencodierung und Kanalcodierung aufeinander abgestimmt werden müssen (siehe dazu Abschnitt 12.3 und 12.4).

Jeder Encoder-Operation entspricht eine Decoder-Operation. Die Bezeichnung *Coder* wird nicht verwendet. Der in Bild 1.1 nicht dargestellte kryptographische Code ist normalerweise zwischen Quellencodierung und Kanalcodierung

angeordnet. Nachfolgend wird die Quellencodierung und die Kryptographie nicht mehr betrachtet, so daß die Kanalcodierung auch kurz als Codierung bezeichnet werden kann.

Die Daten  $u$  werden direkt als Quelldaten angesprochen mit der Bezeichnung *Infobits* im Binärfall bzw. *Infosymbole* im mehrstufigen Fall. Der *Encoder* überführt die Infosymbole bzw. Infobits  $u$  in die *Codesymbole* bzw. *Codebits*  $a$ . Dabei wird Redundanz hinzugefügt, so daß die Datenrate durch den Encoder erhöht wird.

Mit dem *Modulator* wird der Encoder an den *physikalischen Kanal* (waveform channel, continuous channel, transmission channel) angeschlossen. Der physikalische Kanal kann keine diskreten Symbole übertragen, sondern nur zeitkontinuierliche Signale. Somit ist es die Aufgabe des Modulators, den diskreten Werten  $a$  derartige Signale zuzuordnen, die über den physikalischen Kanal übertragbar sind. Darin enthalten ist die Anpassung des modulierten Signals an den Übertragungsbereich bzw. an das Spektrum des physikalischen Kanals, insbesondere also die Verschiebung des Basisbandsignals in die Bandpaßlage. Bei den in Kapitel 10 behandelten Verfahren der trelliscodierten Modulation ist die Aufteilung des Senders in einen Encoder und einen Modulator allerdings nicht mehr eindeutig und in der Form aus Bild 1.1 auch nicht sinnvoll.

Der *physikalische Kanal* ist prinzipiell nicht ideal, d.h. er verändert die Signale bei der Übertragung. Das gilt sowohl bei drahtgebundener Übertragung (z.B. Teilnehmeranschlußleitung, Koaxialkabel, Glasfaserkabel), bei terrestrischen Funkkanälen (z.B. Mobilfunk, Richtfunk, Rundfunk, Kurzwellenfunk), bei Satellitenstrecken, bei Speicherung (z.B. Magnetmedien, elektronische und optische Speicher) wie natürlich auch bei Kombinationen dieser Kanäle. Der physikalische Kanal ist beispielsweise charakterisiert durch nichtideale Amplituden- und Phasengänge, durch Verzerrungen, durch Störungen aufgrund von Rauschen oder Übersprechen oder aufgrund atmosphärischer Effekte oder verschiedener Ausbreitungswege sowie durch absichtliche Störungen.

Am *Demodulator* liegen also nicht exakt die zeitkontinuierlichen Sendesignale an, sondern nur eine gestörte und verfälschte Version davon. Dennoch sollte der Empfänger die zeitdiskreten Sendewerte bzw. die Infosymbole möglichst genau rekonstruieren. Dazu wird zunächst im Demodulator aus dem Bandpaßsignal das Basisbandsignal zurückgewonnen, was bei kohärenten Empfängern eine ideale Träger- und Phasensynchronisation einschließt. Daraus wird eine zeitdiskrete Wertefolge hergestellt, so daß jedem Codesymbol  $a$  ein *Empfangswert*  $y$  entspricht. Bei der sogenannten *Soft-Decision Demodulation* soll der Demodulator derartige Werte  $y$  herstellen, die für den Decoder möglichst viel Information enthalten – es muß dann nicht zwangsläufig das Ziel sein, daß  $y$  möglichst genau  $a$  entspricht.

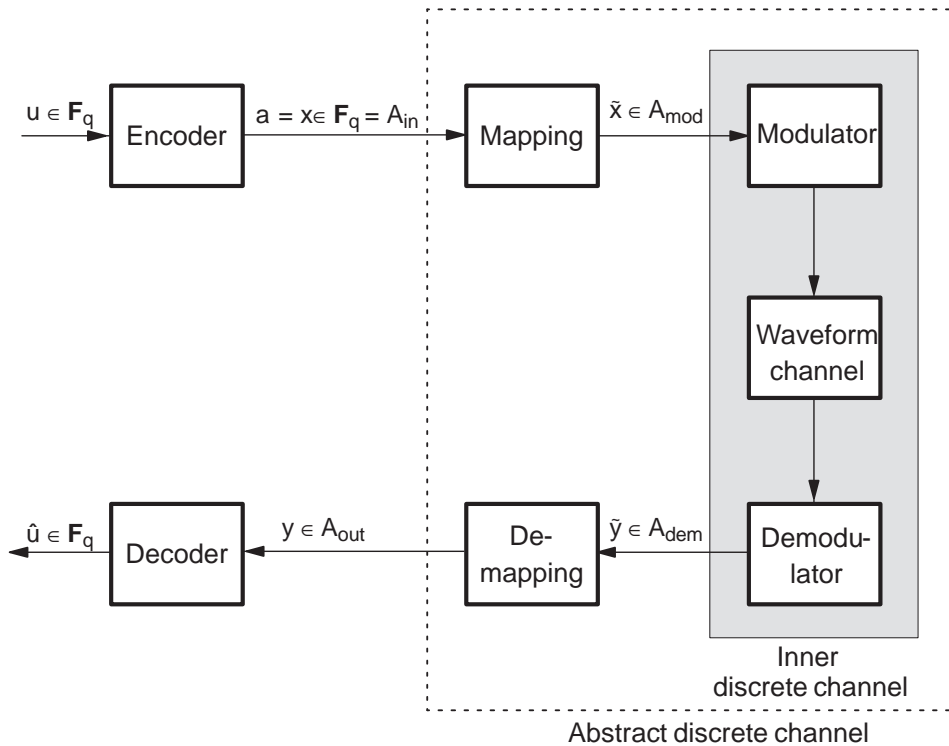
Der *Decoder* arbeitet zeitdiskret: Aus der im Takt der Codesymbole anliegenden Folge der Empfangswerte  $y$  wird eine Schätzung  $\hat{u}$  für die Infosymbole  $u$  abgeleitet, wobei diese Schätzung i.a. eine zeitliche Verzögerung aufweist. Im idealen Fall arbeitet der Decoder sogar sequenzweise: Erst nach dem Empfang

einer ganzen Sequenz von Empfangswerten wird auf einen Schlag die ganze Sequenz der Infosymbole geschätzt.

Für den Modulator sind die Codesymbole  $a$  nur Sendewerte ohne Kenntnis der Codierung. Um dies in besonderen Fällen hervorzuheben, werden in Analogie zu den Ausgangswerten  $y$  des Demodulators die Eingangswerte des Modulators auch mit  $x$  statt  $a$  bezeichnet.

### 1.3 Der Begriff des diskreten Kanals

Gemäß Bild 1.2 ist der *diskrete Kanal* (DC, discrete channel; auch digital channel, coding channel) die Zusammenfassung von Modulator, physikalischem Kanal und Demodulator. Der vom Modulationssystem erzeugte (zeit-)diskrete Kanal ist also in einem sehr allgemeinen Sinn zu verstehen, enthalten darin sind u.a. eventuell sehr komplexe Modulations- und Synchronisationsverfahren. In diesem Abschnitt werden idealisierte diskrete Kanäle formal beschrieben, während in Kapitel 12 einige sehr komplizierte Kanäle betrachtet werden, die bei verschiedenen Anwendungen entstehen.



**Bild 1.2.** Erzeugung des diskreten Kanals durch das Modulationssystem

In der formalen Beschreibung wird ein diskreter Kanal charakterisiert durch das Tripel  $(\mathcal{A}_{\text{in}}, \mathcal{A}_{\text{out}}, P_{y|x})$ . Dabei bedeuten:

$\mathcal{A}_{\text{in}} =$  *Eingangsalphabet* mit  $q$  Werten. Dies ist der Wertebereich für die Infosymbole  $u$  sowie für die Codesymbole  $a$  sowie für die geschätzten Infosymbole  $\hat{u}$ , d.h.  $u, a, \hat{u}$  sind jeweils  $q$ -stufig. Fallunterscheidungen:

Der einfachste Fall ist  $q = 2$  für Binärcodes, wobei die Symbole lediglich Bits sind. Der allgemeine Fall ist  $q = p^m$  mit  $p$  als Primzahl und  $m$  als natürlicher Zahl. Der Normalfall für die meisten Codes ist  $q = 2^m$ , wobei den Symbole jetzt Bitgruppen (z.B. Bytes bei  $m = 8$ ) entsprechen.

$\mathcal{A}_{\text{out}} =$  *Ausgangsalphabet*: Dies ist der Wertebereich für die Empfangswerte  $y$ . Fallunterscheidungen für den Demodulator:

Bei *Hard-Decision* gilt  $\mathcal{A}_{\text{out}} = \mathcal{A}_{\text{in}}$ , d.h. der Demodulator schätzt direkt die gesendeten Werte  $a$  bzw.  $x$ . Diese Situation liegt bei einfachen Blockcodes vor. Im binären Fall gilt dann  $\mathcal{A}_{\text{in}} = \mathcal{A}_{\text{out}} = \{0, 1\}$ .

Bei *Soft-Decision* umfaßt  $\mathcal{A}_{\text{out}}$  mehr Werte als  $\mathcal{A}_{\text{in}}$  – im Extremfall gilt sogar  $\mathcal{A}_{\text{out}} = \mathbb{R}$  für einen wertkontinuierlichen Demodulatorausgang. In diesem Fall kann der Demodulator besonders viel Information über den Kanal (Zustand, Qualität) vermitteln. Beispielsweise teilt der Demodulator dem Decoder mit, mit welcher Sicherheit er seine Entscheidungen getroffen hat (sehr sicher oder gerade an der Grenze). Zwar kann prinzipiell jedes Codierungsverfahren diese Information ausnutzen, praktikabel ist das jedoch meistens nur bei Faltungscodes. Ein typischer Fall bei  $\mathcal{A}_{\text{in}} = \{0, 1\}$  ist ein 8-stufiges  $\mathcal{A}_{\text{out}}$ , d.h. der Empfangswert wird mit 3-Bit quantisiert (siehe dazu auch Bild 1.4 und 1.5).

$P_{y|x} =$  *Übergangswahrscheinlichkeit* (Kanalstatistik; conditional, transition probability): Dabei ist  $P_{y|x}(\eta|\xi)$  die bedingte Wahrscheinlichkeit dafür, daß  $y = \eta$  empfangen wurde unter der Voraussetzung, daß  $x = \xi$  gesendet wurde.

Input  $x$  und Output  $y$  des Kanals werden hier also als Zufallsgrößen angenommen, deren Werte mit  $\xi \in \mathcal{A}_{\text{in}}$  und  $\eta \in \mathcal{A}_{\text{out}}$  bezeichnet werden. Vereinfachend wird auch  $P(y|x)$  geschrieben, wenn es auf die Unterscheidung zwischen den Zufallsgrößen und ihren Werten nicht ankommt. Für die Übergangswahrscheinlichkeit gilt generell:

$$\sum_{\eta \in \mathcal{A}_{\text{out}}} P_{y|x}(\eta|\xi) = 1 \quad \text{für alle } \xi \in \mathcal{A}_{\text{in}}. \quad (1.3.1)$$

Für den diskreten Kanal sind einige wichtige Fallunterscheidungen zu vermerken: Neben einer Hard-Decision oder Soft-Decision Demodulation können die Übertragungseigenschaften *zeitinvariant* oder auch *zeitvariant* sein. Ferner kann der diskrete Kanal ein *Gedächtnis* haben (d.h. der Empfangswert ist nicht nur vom zuletzt gesendeten Wert abhängig, sondern auch von den vorangehend gesendeten Werten) oder er ist *gedächtnislos* (d.h. der Empfangswert ist nur vom aktuell gesendeten Wert abhängig).

**Definition 1.1 (DMC).** Als diskreter gedächtnisloser Kanal (*DMC, Discrete Memoryless Channel*) wird ein diskreter Kanal mit endlichen Alphabeten  $\mathcal{A}_{\text{in}}$  und  $\mathcal{A}_{\text{out}}$  bezeichnet, der zudem gedächtnislos und zeitinvariant sein soll. Die Gedächtnislosigkeit ist dadurch gekennzeichnet, daß die Übergangswahrscheinlichkeit für Sequenzen in ein Produkt der Übergangswahrscheinlichkeiten für Einzelsymbole übergeht:

$$P(y_0, \dots, y_{n-1} | x_0, \dots, x_{n-1}) = \prod_{i=0}^{n-1} P(y_i | x_i). \quad (1.3.2)$$

Wenn die Übergangswahrscheinlichkeiten bei Hard-Decision gewisse Symmetrien erfüllen, reicht zur Charakterisierung des DMC ein einziger Parameter aus:

**Definition 1.2 (Symmetrischer Hard-Decision DMC).** Als ein  $q$ -närer symmetrischer Kanal mit Hard-Decision wird ein DMC mit  $\mathcal{A}_{\text{in}} = \mathcal{A}_{\text{out}}$  und der Übergangswahrscheinlichkeit

$$P(y|x) = \begin{cases} 1 - p_e & y = x \\ p_e/(q-1) & y \neq x \end{cases} \quad (1.3.3)$$

bezeichnet. Dieser Kanal ist eindeutig durch die Angabe der Symbol-Fehlerwahrscheinlichkeit  $p_e$  bestimmt. Der binäre Fall mit  $\mathcal{A}_{\text{in}} = \mathcal{A}_{\text{out}} = \{0, 1\}$  wird als binärer symmetrischer Kanal (*BSC, Binary Symmetric Channel*) bezeichnet.

Für  $p_e = 0$  ist der Kanal fehlerfrei und für  $p_e = 1/2$  bei  $q = 2$  wird in Kapitel 2 noch gezeigt, daß eine zuverlässige Übertragung prinzipiell unmöglich ist. Bei einem veränderlichen  $p_e$  würde ein zeitvarianter Kanal vorliegen. Diese Situation wird noch in Abschnitt 9.7 behandelt. Ausgeschrieben lautet (1.3.3) für den BSC:

$$\begin{aligned} P_{y|x}(0|0) &= P_{y|x}(1|1) = 1 - p_e \\ P_{y|x}(1|0) &= P_{y|x}(0|1) = p_e. \end{aligned} \quad (1.3.4)$$

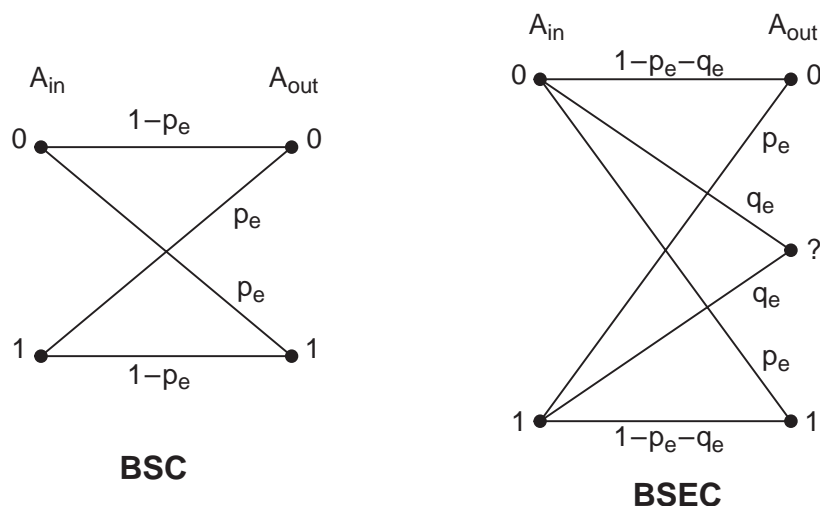
Mit der Wahrscheinlichkeit  $p_e$  wird das Bit bei der Übertragung verfälscht und mit der Wahrscheinlichkeit  $1 - p_e$  ist die Übertragung korrekt:

$$\begin{aligned} P(y = x) &= 1 - p_e \\ P(y \neq x) &= p_e. \end{aligned} \quad (1.3.5)$$

Beispiel: Unter der Voraussetzung, daß 110 gesendet wurde, wird 101 mit der Wahrscheinlichkeit  $P_{y|x}(101|110) = P_{y|x}(1|1)P_{y|x}(0|1)P_{y|x}(1|0) = (1 - p_e) \cdot p_e \cdot p_e$  empfangen.

Das Prinzip des BSC zeigt Bild 1.3, wobei die Kanten von  $x \in \mathcal{A}_{\text{in}}$  nach  $y \in \mathcal{A}_{\text{out}}$  mit den Übergangswahrscheinlichkeiten  $P(y|x)$  beschriftet sind.

Für den  $q$ -nären symmetrischen Hard-Decision DMC gelten einige wichtige allgemeine Formeln:



**Bild 1.3.** Modelle diskreter gedächtnisloser Kanäle (BSC, BSEC)

- (1) Mit  $P_{ee}$  (ee = error event) wird die Wahrscheinlichkeit bezeichnet, daß bei der Übertragung einer Sequenz  $\mathbf{x} = (x_0, x_1, \dots, x_{n-1})$  der Länge  $n$  mindestens ein Fehler auftritt:

$$\begin{aligned}
 P_{ee} &= P(\mathbf{y} \neq \mathbf{x}) \\
 &= 1 - P(\mathbf{y} = \mathbf{x}) \\
 &= 1 - P(y_0 = x_0, \dots, y_{n-1} = x_{n-1}) \\
 &= 1 - P(y_0 = x_0) \cdots P(y_{n-1} = x_{n-1}) \\
 &= 1 - (1 - p_e)^n \tag{1.3.6}
 \end{aligned}$$

$$\approx np_e, \quad \text{bei } np_e \ll 1. \tag{1.3.7}$$

(1.3.7) folgt aus der Binomialentwicklung  $(1 - p_e)^n = \sum_{i=0}^n \binom{n}{i} (-p_e)^i$ .

- (2) Die Wahrscheinlichkeit dafür, daß eine Sequenz von  $n$  Bits in eine andere bestimmte Sequenz verfälscht wird, wobei  $r$  Fehler auftreten, beträgt:

$$P(\text{von } n \text{ Bits sind } r \text{ bestimmte Bits falsch}) = p_e^r (1 - p_e)^{n-r}. \tag{1.3.8}$$

- (3) Die Wahrscheinlichkeit für  $r$  Fehler in einer Sequenz von  $n$  Bits beträgt nach der Binomialverteilung (siehe Anhang A.3):

$$P(\text{von } n \text{ Bits sind } r \text{ Bits falsch}) = \binom{n}{r} p_e^r (1 - p_e)^{n-r}. \tag{1.3.9}$$

Eine Verallgemeinerung des BSC ist der in Bild 1.3 ebenfalls dargestellte *binäre symmetrische Kanal mit Ausfällen* (BSEC, Binary Symmetric Erasure Channel), bei dem der Output ternär ist:  $\mathcal{A}_{\text{out}} = \{0, ?, 1\}$ . Hierbei entscheidet der Demodulator auf den “Wert” ?, wenn die Entscheidung auf 0 oder 1 sehr unsicher

wäre. Für den Decoder ist es besser, über den Sendewert gar keine Information zu haben als eine Information, die in der Hälfte aller Fälle falsch ist. Der BSEC ist der einfachste Fall eines diskreten Kanals mit Soft-Decision mit

$$P(y|x) = \left\{ \begin{array}{ll} 1 - p_e - q_e & \text{für } y = x \\ q_e & \text{für } y = ? \\ p_e & \text{sonst} \end{array} \right\}. \quad (1.3.10)$$

Natürlich gilt hierbei  $P_{y|x}(0|x) + P_{y|x}(?|x) + P_{y|x}(1|x) = 1$  für  $x \in \mathcal{A}_{\text{in}} = \{0, 1\}$ . Für  $q_e = 0$  wird der BSEC zum BSC und für  $p_e = 0$  wird der BSEC zum reinen *Auslöschungskanal* (BEC, Binary Erasure Channel). Ein weiteres sehr wichtiges DMC-Modell ist:

**Definition 1.3.** Als AWGN-Kanal (*Additive White Gaussian Noise*) wird ein Kanal mit binärem Input bezeichnet, bei dem weißes normalverteiltes (Gaußsches) Rauschen  $\nu$  additiv überlagert wird:

$$y = x + \nu.$$

Dabei sind  $x$  und  $\nu$  statistisch unabhängig. Mit  $E_c$  wird die Energie pro Codebit und mit  $N_0$  wird die einseitige Rauschleistungsdichte bezeichnet. Für die Alphabete gilt  $\mathcal{A}_{\text{in}} = \{-\sqrt{E_c}, +\sqrt{E_c}\}$  und  $\mathcal{A}_{\text{out}} = \mathbb{R}$  und die Übergangswahrscheinlichkeiten haben die Form von Verteilungsdichten:

$$f_{y|x}(\eta|\xi) = \frac{1}{\sqrt{\pi N_0}} \exp\left(-\frac{(\eta - \xi)^2}{N_0}\right). \quad (1.3.11)$$

Also ist  $y$  bei gegebenem  $x$  normalverteilt mit dem Erwartungswert  $x = \xi$  und der Varianz  $\sigma^2 = N_0/2$ , die der Varianz des Rauschens entspricht. Wenn der AWGN mit binärer Modulation (ASK, Amplitude Shift Keying) betrieben wird und im Demodulator binär quantisiert wird, so ergibt sich wieder ein BSC mit der Bit-Fehlerwahrscheinlichkeit

$$\begin{aligned} p_e &= P_{y|x}(y < 0 \mid x = +\sqrt{E_c}) = P_{y|x}(y > 0 \mid x = -\sqrt{E_c}) \\ &= \int_0^{+\infty} \frac{1}{\sqrt{\pi N_0}} \exp\left(-\frac{(\eta + \sqrt{E_c})^2}{N_0}\right) d\eta \\ &= Q\left(\sqrt{\frac{2E_c}{N_0}}\right). \end{aligned} \quad (1.3.12)$$

Dabei ist

$$Q(\alpha) = \frac{1}{\sqrt{2\pi}} \int_{\alpha}^{\infty} e^{-\eta^2/2} d\eta = \frac{1}{2} \operatorname{erfc}\left(\frac{\alpha}{\sqrt{2}}\right) \quad (1.3.13)$$

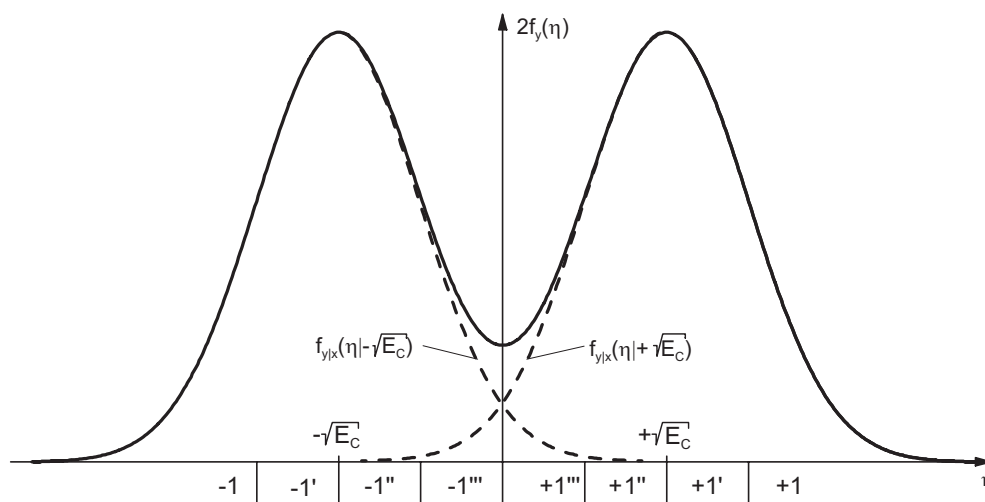
$$= P(\nu > \alpha \sqrt{N_0/2}) \quad (1.3.14)$$

die *komplementäre Gaußsche Fehlerfunktion* (siehe Anhang A.3). Den numerischen Zusammenhang zwischen  $p_e$  und  $E_c/N_0$  zeigt Tabelle 1.1 und der graphische Verlauf ist in den Bildern mit Fehlerwahrscheinlichkeits-Kurven dargestellt (siehe z.B. Bild 1.10, Kurve “uncodiert”,  $E_c = E_b$ ).

**Tabelle 1.1.** BSC-Fehlerwahrscheinlichkeit

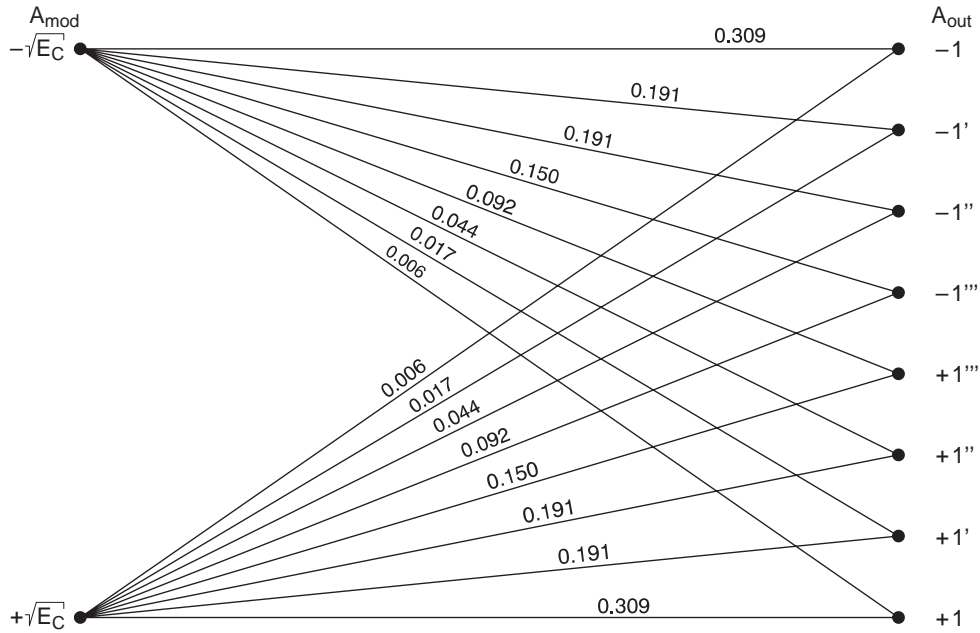
$p_e$	$E_c/N_0$ [dB]	$p_e$	$E_c/N_0$ [dB]
$10^{-1}$	-0,86	$10^{-11}$	13,52
$10^{-2}$	4,33	$10^{-12}$	13,93
$10^{-3}$	6,79	$10^{-13}$	14,31
$10^{-4}$	8,40	$10^{-14}$	14,66
$10^{-5}$	9,59	$10^{-15}$	14,99
$10^{-6}$	10,53	$10^{-16}$	15,29
$10^{-7}$	11,31	$10^{-17}$	15,57
$10^{-8}$	11,97	$10^{-18}$	15,84
$10^{-9}$	12,55	$10^{-19}$	16,09
$10^{-10}$	13,06	$10^{-20}$	16,32

Wenn beim AWGN im Demodulator nicht binär mit 1 Bit sondern oktal mit 3 Bit quantisiert wird, so ergibt sich ein DMC mit  $\mathcal{A}_{\text{in}} = \{-\sqrt{E_c}, +\sqrt{E_c}\}$  und oktalem  $\mathcal{A}_{\text{out}} = \{-1, -1', -1'', -1''', +1''', +1'', +1', +1\}$ . Von einiger Bedeutung ist dabei die Wahl der 7 Sprungstellen in der *Quantisierungskennlinie*, was in [49] genauer analysiert wird.



**Bild 1.4.** Oktale Quantisierung der AWGN-Empfangswerte

In Bild 1.4 wird eine Kennlinie mit äquidistanten Sprungstellen angenommen, die genau auf die Sendewerte  $-\sqrt{E_c}, +\sqrt{E_c}$  ausgerichtet ist, was im Demodulator natürlich eine Pegelregelung erfordert. Die Verteilungsdichtefunktion der Empfangswerte  $f_y(\eta) = \frac{1}{2} (f_{y|x}(\eta - \sqrt{E_c}) + f_{y|x}(\eta + \sqrt{E_c}))$  ergibt sich durch Überlagerung von zwei Normalverteilungen, wobei für die Darstellung in



**Bild 1.5.** Übergangswahrscheinlichkeiten beim oktalen quantisierten AWGN

Bild 1.4  $E_c/N_0 = 3$  dB angenommen wurde. Dabei sind die Übergangswahrscheinlichkeiten von  $-\sqrt{E_c}$  nach  $+1$  oder  $+1'$  nahezu Null. In Bild 1.5 sind die Übergangswahrscheinlichkeiten des oktalen Kanals dagegen für  $E_c/N_0 = -3$  dB angegeben. Die Werte in Bild 1.5 werden beispielsweise wie folgt berechnet:

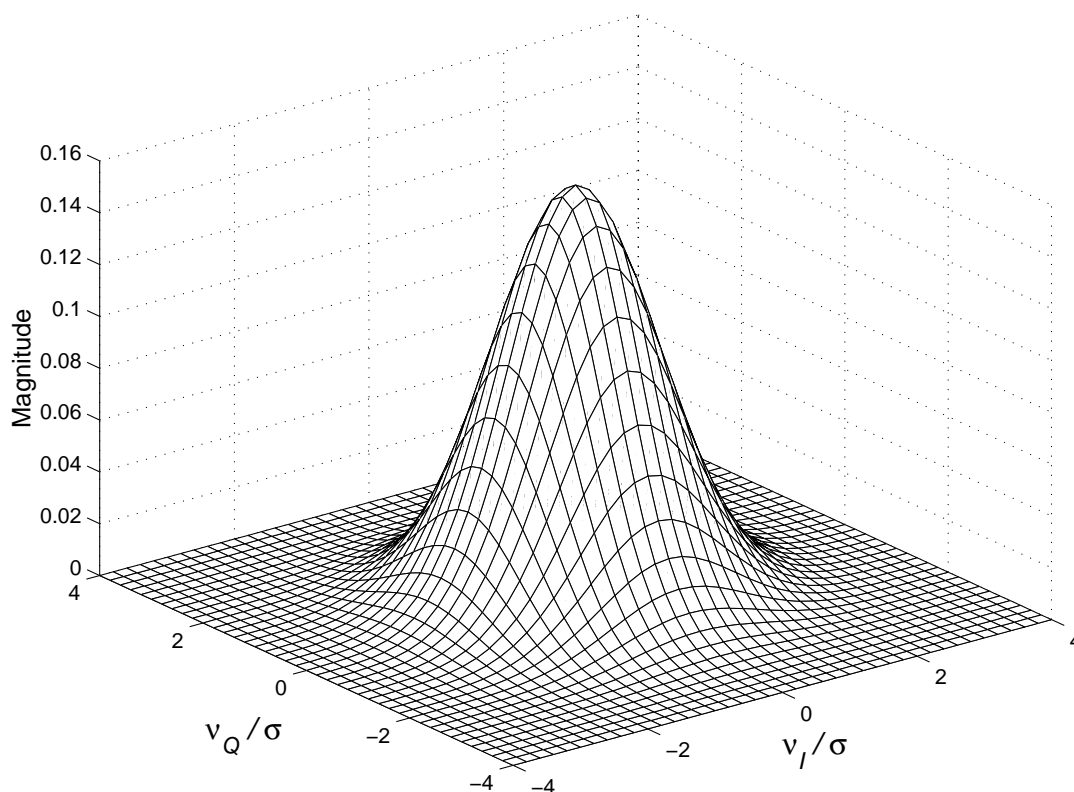
$$\begin{aligned}
 P(-1''' | -\sqrt{E_c}) &= P(-0,5\sqrt{E_c} < y < 0 | x = -\sqrt{E_c}) \\
 &= P(0,5\sqrt{E_c} < \nu < \sqrt{E_c}) \\
 &= Q(0,5\sqrt{2E_c/N_0}) - Q(\sqrt{2E_c/N_0}) \\
 &= Q(0,5) - Q(1) = 0,3085 - 0,1587 = 0,1498.
 \end{aligned}$$

Für 2-dimensionale Modulationsverfahren bzw. Signalkonstellationen wird Definition 1.3 zum *2-dimensionalen AWGN* erweitert. Bei jeder Kanalbenutzung werden zwei Werte gesendet und zwei Werte empfangen, die in komplexer Schreibweise zu  $x = x_I + jx_Q$  zusammengefaßt werden, wobei  $I$  für Inphase und  $Q$  für Quadraturphase steht. Für das überlagerte Rauschen gilt entsprechend  $\nu = \nu_I + j\nu_Q$ . Die Rauschenergie in jeder Komponente ist weiterhin  $N_0/2$  und beide Komponenten sind statistisch unabhängig. Die Rauschenergie des 2-dimensionalen Rauschens ergibt sich über den Betrag einer komplexen Zahl:

$$E(|\nu|^2) = E(\nu_I^2 + \nu_Q^2) = \frac{N_0}{2} + \frac{N_0}{2} = N_0. \quad (1.3.15)$$

Die Übergangswahrscheinlichkeit entspricht der in Bild 1.6 dargestellten 2-dimensionalen Normalverteilung:

$$f_{y|x}(\eta|\xi) = \frac{1}{\pi N_0} \exp\left(-\frac{(\eta_I - \xi_I)^2 + (\eta_Q - \xi_Q)^2}{N_0}\right). \quad (1.3.16)$$

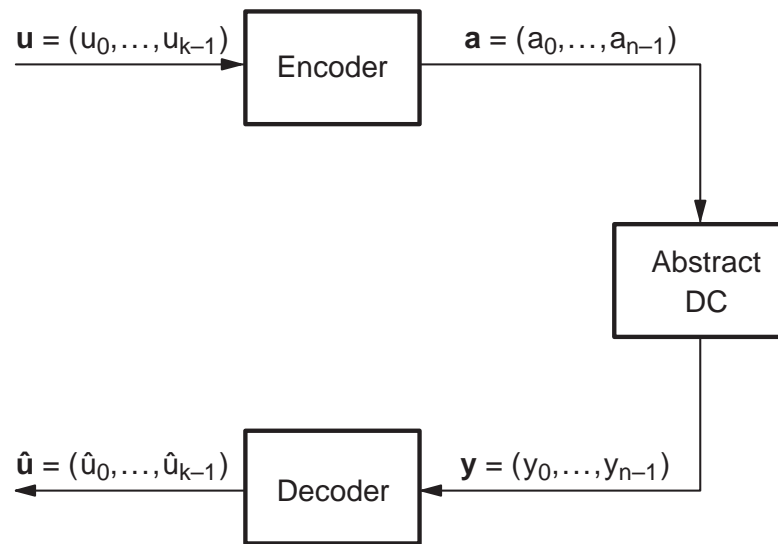


**Bild 1.6.** Verteilungsdichtefunktion der 2-dim. Normalverteilung ( $\sigma = \sqrt{N_0/2}$ )

Bisher wurden nur zeitinvariante und gedächtnislose Kanäle betrachtet, bei denen statistisch unabhängige Einzelfehler auftreten. Die weiteren Kapitel führen noch verschiedene andere Kanaltypen ein: In den Abschnitten 5.6 bis 5.8, in Kapitel 7 und in Abschnitt 9.6 werden Kanäle betrachtet, bei denen Fehler in Bündeln auftreten. In Abschnitt 9.7 werden spezielle zeitvariante Kanäle diskutiert, die bei der Decodierung von Faltungscodes entstehen sowie Super-Kanäle bei verketteten Codes. Die für moderne Anwendungen sehr wichtigen Kanäle mit Fading sowie mit Verzerrungen werden in Kapitel 11 diskutiert. Weitere Kanaltypen werden in Kapitel 12 eingeführt.

## 1.4 Grundprinzip der Blockcodierung

Das Grundprinzip der Blockcodierung zeigt Bild 1.7: Der Datenstrom der Infosymbole bzw. Codesymbole wird unterteilt in Blöcke der Länge  $k$  bzw.  $n$ , die als *Infowörter*  $\mathbf{u} = (u_0, \dots, u_{k-1})$  bzw. *Codewörter*  $\mathbf{a} = (a_0, \dots, a_{n-1})$  bezeichnet werden. Dabei gilt  $k < n$ . Der Encoder ordnet jedem Infowort ein Codewort zu. Am Ausgang des diskreten Kanals entsteht das *Empfangswort*  $\mathbf{y} = (y_0, \dots, y_{n-1})$ , aus dem der Decoder die Schätzung  $\hat{\mathbf{u}} = (\hat{u}_0, \dots, \hat{u}_{k-1})$  für das Infowort gewinnt.

Bild 1.7. Prinzip des  $(n, k)$ -Blockcodes

Die Zuordnung der Codewörter zu den Infowörtern im Encoder ist (1) *eindeutig* und *umkehrbar*, indem zwei verschiedenen Infowörtern zwei verschiedene Codewörter zugeordnet werden, so daß zu jedem Codewort genau ein Infowort gehört; (2) *zeitinvariant*, indem die Zuordnungsvorschrift immer gleich bleibt; (3) *gedächtnislos*, indem jedes Infowort nur auf ein Codewort wirkt und jedes Codewort nur durch ein Infowort bestimmt wird.

Ohne die Forderung der Gedächtnislosigkeit würde sich ein Faltungscodes ergeben (siehe Definition 8.1), bei dem neben dem aktuellen Infowort auch die vorangehenden Infowörter auf das Codewort einwirken. So gesehen sind Blockcodes also spezielle Faltungscodes.

Wegen der Gedächtnislosigkeit und Zeitinvarianz braucht die Folge der Infowörter bzw. Codewörter nicht durchnummeriert zu werden, da immer nur die Übertragung eines Wortes betrachtet wird.

**Definition 1.4.** Durch die vorangehend beschriebene Methode wird ein  $(n, k)$ -Blockcode definiert, der in ausführlicherer Schreibweise auch als  $(n, k, d_{\min})_q$ -Blockcode bezeichnet wird, wobei  $q$  die Stufenzahl der Symbole  $u_i, a_i, \hat{u}_i$  und  $d_{\min}$  die Minimaldistanz (siehe Definition 1.8) bezeichnet. Als Blocklänge wird  $n$  bezeichnet und als Coderate wird das Verhältnis von  $k$  zu  $n$  bezeichnet:

$$R = \frac{k}{n} < 1 \quad \text{Einheit: Infosymbol/Kanalbenutzung.} \quad (1.4.1)$$

Als Code  $\mathcal{C}$  wird die Menge aller Codewörter bezeichnet.

Die Coderate  $R \leq 1$  ist mit der eigentlich dimensionslosen Einheit Infosymbol/Codesymbol versehen. Da pro Codesymbol der diskrete Kanal genau einmal benutzt wird, ergibt sich die in (1.4.1) angegebene Einheit.

Die Datenraten werden immer auf Bit statt Symbol bezogen, d.h. die *Infobitrate*  $r_b$  hat die Einheit Infobit/s und die *Codebitrate*  $r_c$  hat die Einheit Codebit/s. Bei  $q$ -stufigen Symbolen entspricht ein Symbol genau  $\log_2 q$  Bits, so daß  $r_b/\log_2 q$  die Infosymbolrate und  $r_c/\log_2 q$  die Codesymbolrate bzw. die Kanalbenutzungsrate ist. Pro Sekunde werden also  $r_c/(n \cdot \log_2 q)$  Codeblöcke übertragen. Die Codierung bewirkt wegen

$$r_c = r_b \cdot \frac{1}{R} = r_b \cdot \frac{n}{k} \quad (1.4.2)$$

eine Erhöhung der Datenrate um den Faktor  $1/R = n/k$ , der deshalb zuweilen auch als *Bandbreiteneexpansionsfaktor* bezeichnet wird.  $R = 1$  bedeutet uncodierte Übertragung. Manchmal ist es erforderlich, die Coderate auf Bits statt auf Symbole zu beziehen:

$$R_b = R \cdot \log_2 q = \frac{k}{n} \cdot \log_2 q \quad \text{Einheit: Infobit/Kanalben.} \quad (1.4.3)$$

Im binären Fall gilt natürlich  $R_b = R$ .

Die Anzahl der Infowörter der Länge  $k$  mit  $q$ -stufigen Symbolen beträgt offensichtlich  $q^k$  und somit gibt es auch  $q^k = |\mathcal{C}| = q^{nR} = 2^{nR_b}$  Codewörter. Die Anzahl der möglichen Sendewörter der Länge  $n$  beträgt jedoch  $q^n$ . Der Code  $\mathcal{C}$  ist also eine Untermenge der Mächtigkeit  $q^k$  in der Menge aller  $q^n$  Wörter.

Der Begriff des Blockcodes wurde in Definition 1.4 etwas eingeschränkt festgelegt. In der allgemeinsten Form darf die Mächtigkeit  $|\mathcal{C}|$  eine beliebige ganze Zahl sein, d.h. nicht unbedingt eine  $q$ -Potenz. In diesem Fall resultiert dann  $R_b = \frac{1}{n} \log_2 |\mathcal{C}|$  und  $k = nR = \frac{\log_2 |\mathcal{C}|}{\log_2 q}$  ist nicht mehr notwendigerweise ganzzahlig. Durch diese Verallgemeinerung ergeben sich aber keine theoretischen Vorteile und in der Praxis wird immer  $|\mathcal{C}| = q^k$  mit ganzzahligem  $k$  gewählt.

Die *Güte eines Codes* wird ausschließlich dadurch geprägt, wie geschickt aus den  $q^n$  Wörtern die  $q^k$  Codewörter ausgewählt werden. Es wird darauf hinauslaufen, daß sich die Codewörter möglichst stark voneinander unterscheiden müssen.

Der Encoder trifft nur eine Zuordnung zwischen den  $q^k$  Infowörtern und den  $q^k$  Codewörtern. Wie diese Zuordnung über die Forderungen der Eindeutigkeit, Zeitinvarianz und Gedächtnislosigkeit hinaus organisiert ist, bleibt im Prinzip weitgehend belanglos. Insofern ist der Begriff *Güte eines Encoders* sinnlos. Allerdings werden in der Praxis fast ausschließlich systematische Encoder verwendet (siehe Definition 1.5) und zur Vereinfachung der Realisierung fast ausschließlich lineare Codes (siehe Kapitel 3) bzw. zyklische Codes (siehe Kapitel 5).

**Definition 1.5.** *Bei einem systematischen Encoder (auch: systematischer Code) erfolgt die Zuordnung zwischen Infowörtern und Codewörtern derart, daß das Infowort explizit Teil des Codewortes ist. Die restlichen  $n - k$  Stellen heißen dann Prüfstellen (Prüfbits, parity bits).*

**Beispiel 1.1.** Die beiden Zuordnungen (Prüfstellen hinten bzw. vorn)

$$\begin{array}{ll}
 00 \mapsto 000 & 00 \mapsto 000 \\
 01 \mapsto 011 & 01 \mapsto 101 \\
 10 \mapsto 101 & 10 \mapsto 110 \\
 11 \mapsto 110 & 11 \mapsto 011
 \end{array}$$

erzeugen den gleichen  $(3, 2)_2$  Code  $\mathcal{C} = \{000, 011, 101, 110\}$ . Der Codemenge kann nicht angesehen werden, in welcher Weise encodiert wurde. Beide Encoder sind als gleichwertig anzusehen. ■

**Definition 1.6.** Zwei Blockcodes heißen identisch, wenn ihre Codemengen identisch sind. Zwei Blockcodes heißen äquivalent, wenn nach einer geeigneten Vertauschungsvorschrift für die Komponenten der Codewörter die Codemengen identisch sind.

## 1.5 Hammingdistanz und Minimaldistanz

Es seien  $\mathbf{x}, \mathbf{y}, \mathbf{z}$  jeweils Wörter der Länge  $n$  mit  $q$ -stufigen Werten (beispielsweise Codewörter oder Empfangswörter).

**Definition 1.7.** Die Hammingdistanz  $d_H(\mathbf{x}, \mathbf{y})$  ist definiert als die Anzahl der Abweichungen zwischen den Komponenten von  $\mathbf{x}$  und  $\mathbf{y}$ . Sofern eine Null definiert ist, wird als Hamminggewicht  $w_H(\mathbf{x})$  die Anzahl der Komponenten von  $\mathbf{x}$  bezeichnet, die ungleich Null sind.

Für den Zusammenhang zwischen Abstand und Gewicht gilt:

$$w_H(\mathbf{x}) = d_H(\mathbf{x}, \mathbf{0}) \quad \text{mit} \quad \mathbf{0} = (0, \dots, 0). \quad (1.5.1)$$

Falls im Wertebereich der Symbole eine "Subtraktion" definiert ist, gilt weiter:

$$d_H(\mathbf{x}, \mathbf{y}) = w_H(\mathbf{x} - \mathbf{y}). \quad (1.5.2)$$

**Satz 1.1.** Die Hammingdistanz ist eine Metrik im mathematischen Sinn, d.h. es gelten folgende Eigenschaften:

$$d_H(\mathbf{x}, \mathbf{y}) = d_H(\mathbf{y}, \mathbf{x}) \quad (1.5.3)$$

$$0 \leq d_H(\mathbf{x}, \mathbf{y}) \leq n \quad (1.5.4)$$

$$d_H(\mathbf{x}, \mathbf{y}) = 0 \iff \mathbf{x} = \mathbf{y} \quad (1.5.5)$$

$$d_H(\mathbf{x}, \mathbf{y}) \leq d_H(\mathbf{x}, \mathbf{z}) + d_H(\mathbf{z}, \mathbf{y}). \quad (1.5.6)$$

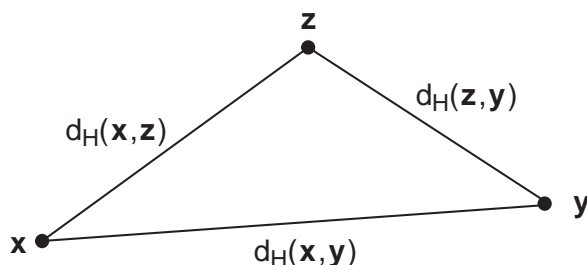
Die Beziehung (1.5.6) wird als Dreiecksungleichung bezeichnet und ist in Bild 1.8 veranschaulicht. Falls Addition und Subtraktion im Wertebereich der Symbole definiert sind, so gelten für das Hamminggewicht folgende Eigenschaften:

$$w_H(\mathbf{x}) = w_H(-\mathbf{x}) \quad (1.5.7)$$

$$0 \leq w_H(\mathbf{x}) \leq n \quad (1.5.8)$$

$$w_H(\mathbf{x}) = 0 \iff \mathbf{x} = \mathbf{0} \quad (1.5.9)$$

$$w_H(\mathbf{x} + \mathbf{y}) \leq w_H(\mathbf{x}) + w_H(\mathbf{y}). \quad (1.5.10)$$



**Bild 1.8.** Veranschaulichung der Dreiecksungleichung für die Hammingdistanz

**Definition 1.8.** Die Minimaldistanz  $d_{\min}$  eines  $(n, k, d_{\min})$ -Blockcodes  $\mathcal{C}$  ist definiert als die minimale Hammingdistanz zwischen allen Codewörtern:

$$d_{\min} = \min\{d_H(\mathbf{a}, \mathbf{b}) \mid \mathbf{a}, \mathbf{b} \in \mathcal{C}, \mathbf{a} \neq \mathbf{b}\}. \quad (1.5.11)$$

Die Minimaldistanz ist der wichtigste Parameter, der die Güte eines Codes bestimmt. Die vollständige Charakterisierung eines Codes wird später durch die Gewichtsverteilung gegeben (siehe Definition 3.7). Zur Bestimmung der Minimaldistanz müssen die Abstände aller Codewörterpaare betrachtet werden. Je größer die Minimaldistanz ist, je stärker sich also die Codewörter voneinander unterscheiden, desto besser ist der Code. Bei gegebener Coderate  $R = k/n$  und gegebener Blocklänge  $n$  sollte derjenige Code gewählt werden, der zu großem  $d_{\min}$  führt. Normalerweise wird  $d_{\min}$  größer (d.h. besserer Code), wenn die Coderate kleiner wird (d.h. mehr Bandbreite erforderlich) oder wenn die Blocklänge größer wird (d.h. komplexere Verarbeitung erforderlich).

**Beispiel 1.2.** Der  $(7, 4)_2$ -Hamming-Code besteht aus 16 Codewörtern der Länge 7:

$$\mathcal{C} = \{ 0000000, 1000011, \\ 0001111, 1001100, \\ 0010110, 1010101, \\ 0011001, 1011010, \\ 0100101, 1100110, \\ 0101010, 1101001, \\ 0110011, 1110000, \\ 0111100, 1111111 \}.$$

Der Code ist hier durch eine Aufzählung der Codewörter gegeben und nicht durch die (unwesentliche) Art der Encodiervorschrift (systematisch, Infobits vorn). Der Vergleich der ersten beiden Codewörter ergibt  $d_{\min} \leq 3$ . Bei der Betrachtung aller Paare findet sich kein Paar mit der Hammingdistanz 2, so daß  $d_{\min} = 3$  folgt. ■

Klar ist schon jetzt, daß es besserer Methoden zur Beschreibung der Codemenge und zur Berechnung der Minimaldistanz bedarf – dazu wird später eine algebraische Struktur auf der Codemenge eingeführt.

## 1.6 Maximum-Likelihood-Decodierung

Die optimale Decodiervorschrift ist dadurch definiert, daß die Wort-Fehlerwahrscheinlichkeit  $P_w = P(\hat{\mathbf{u}} \neq \mathbf{u})$  nach dem Decoder minimal wird:

Unterstellt wird also ein stochastischer Kanal (beispielsweise ein DMC), der zu Fehlern im Empfangswort führt, die möglicherweise durch den Decoder nicht korrigiert werden können und damit zu Fehlern im geschätzten Infowort führen. Derartige Fehler sollen während einer Übertragung von vielen Worten möglichst selten auftreten. Nicht berücksichtigt wird dabei, ob in einem falsch geschätzten Infowort nur ein Fehler oder mehrere Fehler enthalten sind. Eine solche Minimierung der Bit-Fehlerwahrscheinlichkeit  $P_b = P(\hat{u}_i \neq u_i)$  ist wesentlich schwieriger.

Ziel ist also, daß das geschätzte Infowort möglichst oft exakt mit dem Infowort auf der Sendeseite übereinstimmt. Diese Forderung ist das Kriterium, nach dem der Decoder konstruiert werden soll. Es wird sich gleich zeigen, daß man diese Konstruktionsvorschrift für den Decoder ableiten kann, auch wenn das Kriterium  $P_w$  gar nicht explizit berechnet werden kann:

$$P_w = P(\hat{\mathbf{u}} \neq \mathbf{u}) \quad \longrightarrow \quad \text{Minimum} = P(\hat{\mathbf{a}} \neq \mathbf{a}). \quad (1.6.1)$$

Wegen der eindeutigen Zuordnung zwischen Infowörtern und Codewörtern kann anstelle des Infowortes auch das Codewort geschätzt werden. Die Schätzung für das Infowort ist genau dann korrekt, wenn die Schätzung für das Codewort korrekt ist. Deshalb kann die Wort-Fehlerwahrscheinlichkeit anstelle der Infowörter auch über die Codewörter definiert werden.

Bild 1.9 zeigt das Prinzip zur Herleitung der Decodiervorschrift. Der Decoder wird wie angegeben zerlegt in einen Codewortschätzer (hier mit  $\delta$  bezeichnet) und ein Encoder-Inverses. Dieses Encoder-Inverse ist eine direkte Umkehrung des Encoders und hat zu den geschätzten Codewörtern  $\hat{\mathbf{a}}$  lediglich das zugehörige Infowort  $\hat{\mathbf{u}}$  zu bestimmen. Das ist eine triviale Operation, beispielsweise sind bei systematischen Encodern lediglich die Prüfstellen auszublenden.

Die gesamte Intelligenz des Decoders steckt im Codewortschätzer, der im Gegensatz zum Encoder-Inversen nicht die Encodiervorschrift, sondern nur die Codemenge kennen muß. Zum Empfangswort  $\mathbf{y}$  wird also im Codewortschätzer

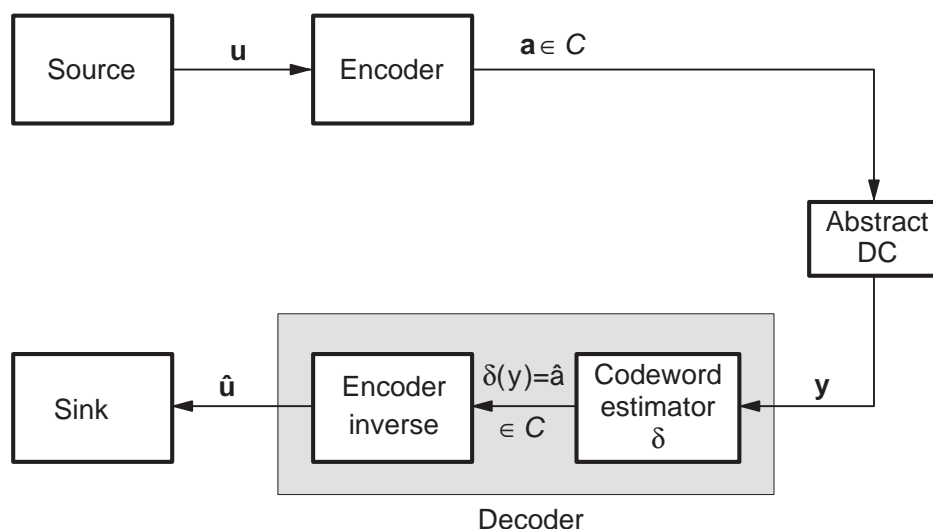


Bild 1.9. Zur Herleitung der Decodiervorschrift

das geschätzte Codewort bestimmt – formal ist das eine Abbildung wie folgt:

$$\delta : \mathbf{y} \mapsto \delta(\mathbf{y}) = \hat{\mathbf{a}} \in \mathcal{C}. \quad (1.6.2)$$

Die Funktion  $\delta$  ist so zu konstruieren, daß die Wort-Fehlerwahrscheinlichkeit minimal wird:

$$P_w = P(\delta(\mathbf{y}) \neq \mathbf{a}) \quad (1.6.3)$$

Bei der Übertragung über einen diskreten Kanal mit Hard-Decision (also mit  $\mathcal{A}_{\text{in}} = \mathcal{A}_{\text{out}}$ ) sind folgende Fälle zu unterscheiden:

$\mathbf{y} = \mathbf{a}$  Fehlerfreie Übertragung.

$\mathbf{y} \in \mathcal{C} \setminus \{\mathbf{a}\}$  Verfälschung in ein anderes Codewort – dieser Fall kann niemals erkannt oder korrigiert werden.

$\mathbf{y} \notin \mathcal{C}$  Die Verfälschung ist generell erkennbar und eventuell korrigierbar durch den Decoder. Bei  $\delta(\mathbf{y}) = \mathbf{a}$  wird korrekt decodiert und bei  $\delta(\mathbf{y}) \neq \mathbf{a}$  wird falsch decodiert. Der Fall  $\delta(\mathbf{y}) = \text{undefiniert}$  tritt zwar beim idealen Decoder nicht auf, aber bei praktisch realisierten Decodern ist dieser Fall jedoch durchaus sinnvoll (siehe nachfolgende Erklärung).

In der formalen Beschreibung ordnet  $\delta$  jedem der  $q^n$  möglichen Empfangsworte eines der  $q^k$  Codewörter zu. Später wird sich noch zeigen, daß man bei der Realisierung des Decoders teilweise darauf verzichtet, jedem möglichen Empfangswort die optimale Schätzung zuzuordnen – stattdessen wird die optimale Decodiervorschrift nur für die häufiger vorkommenden Empfangswörter realisiert. Mit dieser Methode können sich für den Decoder ganz erhebliche Vereinfachungen bei der Realisierung ergeben.

Wenn ein Empfangswort vollständig vorliegt, so kann (abgesehen von verarbeitungstechnischen Verzögerungen) sofort blockweise eine Schätzung des Codewortes bzw. Infowortes erfolgen. Im Normalfall kann also eine Schätzung für das erste Infosymbol empfangsseitig frühestens dann erfolgen, wenn das zuletzt gesendete Codesymbol empfangen wurde. Somit bestimmt die Blocklänge  $n$  eine untere Grenze für die prinzipiell mindestens auftretende Verzögerungszeit bei der codierten Übertragung.

**Voraussetzung (gleiche Apriori-Wahrscheinlichkeiten)** zur Herleitung der Decodiervorschrift: Alle  $q^k$  Infowörter sollen mit der gleichen Wahrscheinlichkeit  $q^{-k}$  von der Quelle abgegeben werden.

Mit dieser Voraussetzung treten auch alle Codewörter mit der gleichen Wahrscheinlichkeit  $q^{-k}$  auf. Die Wahrscheinlichkeit, daß ein Fehler bei der Decodierung auftritt unter der Voraussetzung, daß das Codewort  $\mathbf{a}$  gesendet wurde, ergibt sich aus der Summation über diejenigen Empfangswörter, die zu einer Schätzung ungleich  $\mathbf{a}$  führen:

$$\begin{aligned} P(\delta(\mathbf{y}) \neq \mathbf{a} \mid \mathbf{a} \text{ gesendet}) &= \sum_{\substack{\mathbf{y} \\ \delta(\mathbf{y}) \neq \mathbf{a}}} P(\mathbf{y} \text{ empfangen} \mid \mathbf{a} \text{ gesendet}) \\ &= \sum_{\substack{\mathbf{y} \\ \delta(\mathbf{y}) \neq \mathbf{a}}} P_{y|x}(\mathbf{y}|\mathbf{a}). \end{aligned} \quad (1.6.4)$$

Ferner gilt bei der Summation über alle Codewörter und alle Empfangswörter:

$$\begin{aligned} \sum_{\mathbf{a} \in \mathcal{C}, \mathbf{y}} P_{y|x}(\mathbf{y}|\mathbf{a}) &= \sum_{\mathbf{a} \in \mathcal{C}} P_{y|x}(\text{arbitrary } \mathbf{y} \text{ empfangen} \mid \mathbf{a}) \\ &= \sum_{\mathbf{a} \in \mathcal{C}} 1 = q^k. \end{aligned} \quad (1.6.5)$$

Aus dem Satz von der vollständigen Wahrscheinlichkeit (A.3.1) folgt nun:

$$\begin{aligned} P_w &= P(\delta(\mathbf{y}) \neq \mathbf{a}) \\ &= \sum_{\mathbf{a} \in \mathcal{C}} P(\delta(\mathbf{y}) \neq \mathbf{a} \mid \mathbf{a} \text{ gesendet}) \cdot P(\mathbf{a} \text{ gesendet}) \\ &= \sum_{\mathbf{a} \in \mathcal{C}} \sum_{\substack{\mathbf{y} \\ \delta(\mathbf{y}) \neq \mathbf{a}}} P_{y|x}(\mathbf{y}|\mathbf{a}) \cdot q^{-k} \quad \text{with (1.6.4)} \\ &= q^{-k} \left( \sum_{\mathbf{a} \in \mathcal{C}, \mathbf{y}} P_{y|x}(\mathbf{y}|\mathbf{a}) - \sum_{\substack{\mathbf{a} \in \mathcal{C}, \mathbf{y} \\ \delta(\mathbf{y}) = \mathbf{a}}} P_{y|x}(\mathbf{y}|\mathbf{a}) \right) \\ &= 1 - q^{-k} \cdot \sum_{\substack{\mathbf{a} \in \mathcal{C}, \mathbf{y} \\ \delta(\mathbf{y}) = \mathbf{a}}} P_{y|x}(\mathbf{y}|\mathbf{a}) \quad \text{with (1.6.5)} \\ &= 1 - q^{-k} \cdot \sum_{\mathbf{y}} P_{y|x}(\mathbf{y}|\delta(\mathbf{y})). \end{aligned}$$

Zur Minimierung von  $P_w$  sollte für jedes Empfangswort  $\mathbf{y}$  also  $\delta(\mathbf{y}) = \hat{\mathbf{a}}$  so gewählt werden, daß die Übergangswahrscheinlichkeit  $P_{y|x}(\mathbf{y}|\hat{\mathbf{a}})$  maximal wird.

**Satz 1.2 (Maximum-Likelihood-Decoder MLD).** *Die Wort-Fehlerwahrscheinlichkeit  $P_w$  nach der Decodierung wird minimal, wenn wie folgt decodiert wird: Zum Empfangswort  $\mathbf{y}$  wird als Schätzung  $\hat{\mathbf{a}} \in \mathcal{C}$  dasjenige Codewort gewählt, bei dem die Übergangswahrscheinlichkeit maximal wird:*

$$P_{y|x}(\mathbf{y}|\hat{\mathbf{a}}) \geq P_{y|x}(\mathbf{y}|\mathbf{b}) \quad \text{für alle } \mathbf{b} \in \mathcal{C}. \quad (1.6.6)$$

Die ML-Decodierung kann auch mehrdeutig sein – in diesem Fall wird dann irgendein Codewort mit maximaler Übergangswahrscheinlichkeit gewählt.

Dieses Ergebnis ist auch anschaulich einfach zu verstehen: Bei gegebenem Empfangswort wird dasjenige Sendewort bzw. Codewort gesucht, das am wahrscheinlichsten gesendet wurde. Die Berechnung der Wort-Fehlerwahrscheinlichkeit selbst erfolgt später in Kapitel 3.

Ohne die Voraussetzung gleicher Apriori-Wahrscheinlichkeiten ergibt sich allerdings ein anderer Decoder, nämlich der *Maximum A posteriori Decoder* (MAP), der genau auf die Quellenstatistik angepaßt ist und bei nicht gleichwahrscheinlichen Sendeworten zu einer kleineren Wort-Fehlerwahrscheinlichkeit  $P_w$  führt (siehe Aufgabe 1.11). Wegen der Abhängigkeit von der Quellenstatistik wird der MAP-Decoder jedoch nur in Sonderfällen angewendet.

Noch anschaulicher werden diese Ergebnisse, wenn der  $q$ -näre symmetrische DMC betrachtet wird. Aus (1.3.2) und (1.3.3) folgt dann für  $\mathbf{y} = (y_0, \dots, y_{n-1})$  und  $\hat{\mathbf{a}} = (\hat{a}_0, \dots, \hat{a}_{n-1})$  mit  $d = d_H(\mathbf{y}, \hat{\mathbf{a}})$ :

$$\begin{aligned} P_{y|x}(\mathbf{y}|\hat{\mathbf{a}}) &= \prod_{i=0}^{n-1} P_{y|x}(y_i|\hat{a}_i) \\ &= \prod_{i=0}^{n-1} \left\{ \begin{array}{ll} 1 - p_e & \text{if } y_i = \hat{a}_i \\ p_e/(q-1) & \text{if } y_i \neq \hat{a}_i \end{array} \right\} \\ &= (1 - p_e)^{n-d} \cdot \left( \frac{p_e}{q-1} \right)^d \\ &= (1 - p_e)^n \cdot \left( \frac{p_e}{(1 - p_e)(q-1)} \right)^d. \end{aligned} \quad (1.6.7)$$

Der linke Faktor ist unabhängig von  $\hat{\mathbf{a}}$  und somit muß nur der rechte Faktor durch geeignete Wahl von  $\hat{\mathbf{a}}$  maximiert werden. Für  $p_e < 0,5$  ist der Quotient kleiner als 1 und somit ergibt sich das Maximum, wenn  $d = d_H(\mathbf{y}, \hat{\mathbf{a}})$  minimal wird:

**Satz 1.3 (MLD für Hard-Decision-DMC).** *Die Wort-Fehlerwahrscheinlichkeit  $P_w$  nach der Decodierung wird minimal, wenn wie folgt decodiert wird:*

Zum Empfangswort  $\mathbf{y}$  wird als Schätzung  $\hat{\mathbf{a}} \in \mathcal{C}$  dasjenige Codewort gewählt, das vom Empfangswort den minimalen Hammingabstand hat:

$$d_H(\mathbf{y}, \hat{\mathbf{a}}) \leq d_H(\mathbf{y}, \mathbf{b}) \quad \text{für alle } \mathbf{b} \in \mathcal{C}. \quad (1.6.8)$$

**Beispiel 1.3.** Es wird der  $(5, 2)_2$ -Code  $\mathcal{C} = \{\underbrace{00000}_{\mathbf{a}_1}, \underbrace{11100}_{\mathbf{a}_2}, \underbrace{00111}_{\mathbf{a}_3}, \underbrace{11011}_{\mathbf{a}_4}\}$  betrachtet, für den offensichtlich  $d_{\min} = 3$  gilt. In der nachfolgenden Tabelle sind für drei als beispielhaft gewählte Empfangswörter die Abstände zu allen Codewörtern angegeben und die daraus resultierende Entscheidung des Codewortschätzers:

$\mathbf{y}$	$d_H(\mathbf{y}, \mathbf{a}_1)$	$d_H(\mathbf{y}, \mathbf{a}_2)$	$d_H(\mathbf{y}, \mathbf{a}_3)$	$d_H(\mathbf{y}, \mathbf{a}_4)$	$\delta(\mathbf{y})$
10000	1	2	4	3	$\mathbf{a}_1$
11000	2	1	5	2	$\mathbf{a}_2$
10001	2	3	3	2	$\mathbf{a}_1$ or $\mathbf{a}_4$

Schon beim  $(7, 4)$ -Hamming-Code aus Beispiel 1.2 wird diese Methode ziemlich umständlich, so daß praktisch anwendbare Codes zwei Forderungen genügen sollten: (1) Die Minimaldistanz  $d_{\min}$  soll möglichst groß sein. (2) Die Struktur der Codemenge  $\mathcal{C}$  muß so sein, daß sich im Decoder die Suche nach dem minimalen Hammingabstand möglichst einfach organisieren läßt. Beide Forderungen setzen eine algebraische Struktur voraus, denn für (1) ist die Struktur notwendig, um überhaupt gute Codes konstruieren zu können und für (2), um realisierbare Decoder zu ermöglichen.

Satz 1.3 soll nun in entsprechender Form auch für den AWGN abgeleitet werden. Nach (1.3.11) gilt für die Verteilungsdichten:

$$\begin{aligned}
 f_{y|x}(\mathbf{y}|\hat{\mathbf{a}}) &= \prod_{i=0}^{n-1} f_{y_i|x}(y_i|\hat{a}_i) \\
 &= \prod_{i=0}^{n-1} \frac{1}{\sqrt{\pi N_0}} \exp\left(-\frac{(y_i - \hat{a}_i)^2}{N_0}\right) \\
 &= (\pi N_0)^{-n/2} \exp\left(-\frac{1}{N_0} \sum_{i=0}^{n-1} (y_i - \hat{a}_i)^2\right) \\
 &= c \cdot \exp\left(-\frac{1}{N_0} \|\mathbf{y} - \hat{\mathbf{a}}\|^2\right), \quad (1.6.9)
 \end{aligned}$$

Dabei ist  $c$  eine Konstante und  $\|\mathbf{y} - \hat{\mathbf{a}}\|^2$  die *euklidische Norm* von  $\mathbf{y} - \hat{\mathbf{a}}$  bzw. der *euklidische Abstand* zwischen  $\mathbf{y}$  und  $\hat{\mathbf{a}}$ . Der rechte Faktor muß durch geeignete Wahl von  $\hat{\mathbf{a}}$  maximiert werden. Dies wird erreicht durch Minimierung der Norm und somit folgt:

**Satz 1.4 (MLD für Soft-Decision-AWGN).** Die Wort-Fehlerwahrscheinlichkeit  $P_w$  nach der Decodierung wird minimal, wenn wie folgt decodiert wird: Zum Empfangswort  $\mathbf{y}$  wird als Schätzung  $\hat{\mathbf{a}} \in \mathcal{C}$  dasjenige Codewort gewählt, das vom Empfangswort den minimalen euklidischen Abstand hat:

$$\|\mathbf{y} - \hat{\mathbf{a}}\| \leq \|\mathbf{y} - \mathbf{b}\| \quad \text{für alle } \mathbf{b} \in \mathcal{C}. \quad (1.6.10)$$

Ausgeschrieben bedeutet das  $\sum_i (y_i - \hat{a}_i)^2 \leq \sum_i (y_i - b_i)^2$ . Die  $y_i^2$  können entfallen und somit vereinfacht sich das zu

$$\sum_{i=0}^{n-1} (\hat{a}_i^2 - 2y_i \hat{a}_i) \leq \sum_{i=0}^{n-1} (b_i^2 - 2y_i b_i) \quad \text{für alle } \mathbf{b} \in \mathcal{C}$$

und das ist äquivalent zu

$$\sum_{i=0}^{n-1} y_i \hat{a}_i - \frac{1}{2} \sum_{i=0}^{n-1} \hat{a}_i^2 \geq \sum_{i=0}^{n-1} y_i b_i - \frac{1}{2} \sum_{i=0}^{n-1} b_i^2 \quad \text{für alle } \mathbf{b} \in \mathcal{C}.$$

Speziell für binäre Codes gilt  $\hat{a}_i, b_i \in \{+\sqrt{E_c}, -\sqrt{E_c}\}$  und somit entfallen die quadratischen Terme:

$$\sum_{i=0}^{n-1} y_i \hat{a}_i \geq \sum_{i=0}^{n-1} y_i b_i \quad \text{für alle } \mathbf{b} \in \mathcal{C}. \quad (1.6.11)$$

Als Sendewort wird dasjenige Codewort geschätzt, bei dem die *Korrelation* mit dem Empfangswort maximal wird. Dennoch sind hier  $2^k$  Skalarprodukte auszuführen und dies ist so aufwendig, daß Blockcodes normalerweise nur mit Hard-Decision decodiert werden können (siehe dazu auch Abschnitt 11.7).

## 1.7 Der Begriff des Codierungsgewinns

Die *Bit-Fehlerwahrscheinlichkeit* (BER, Bit Error Rate) bzw. *Symbol-Fehlerwahrscheinlichkeit*  $P_b = P(\hat{a}_i \neq a_i)$  bezieht sich nur auf die Infosymbole und berücksichtigt nicht die Prüfsymbole.  $P_b$  und die Wort-Fehlerwahrscheinlichkeit  $P_w = P(\hat{\mathbf{a}} \neq \mathbf{a})$  hängen in komplizierter Weise zusammen. Da die Anzahl der Fehler in einem fehlerhaft decodierten Wort zwischen 1 und  $k$  beträgt, gilt folglich

$$\frac{1}{k} \cdot P_w \leq P_b \leq P_w. \quad (1.7.1)$$

Normalerweise erweist sich die Näherung

$$P_b \approx \frac{d_{\min}}{k} \cdot P_w \quad (1.7.2)$$

als sinnvoll, die von  $d_{\min}$  Fehlern pro falsch decodiertem Wort ausgeht. Eine ziemlich genaue Abschätzung von  $P_b$  und eine weitere Begründung für (1.7.2)

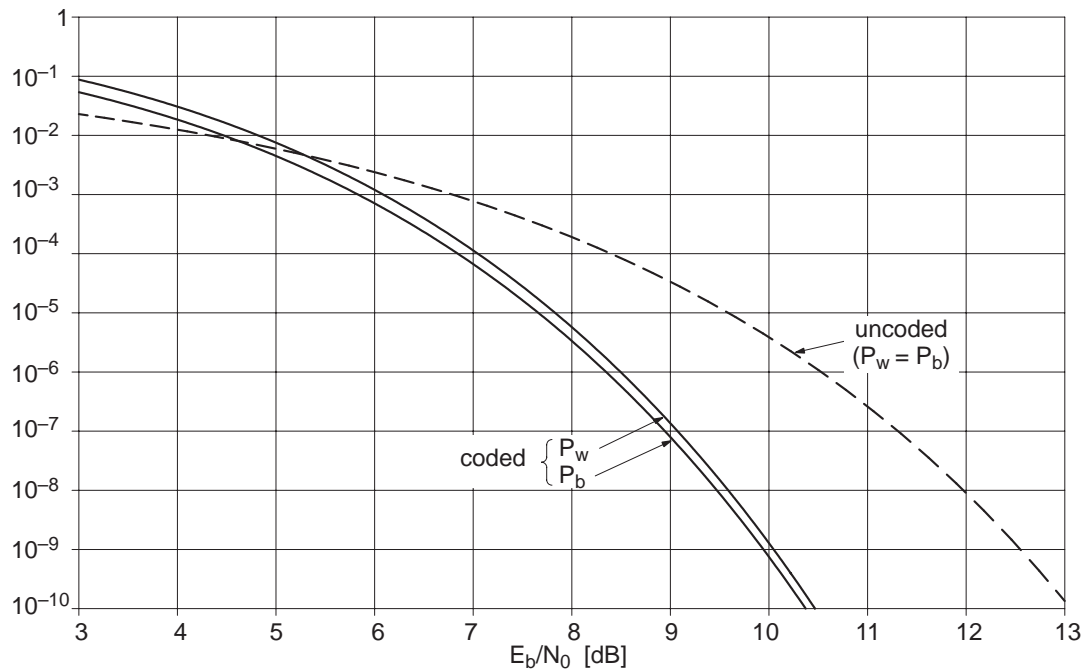
erfolgt noch in Satz 3.15 – aber dieses Problem ist bei der praktischen Beurteilung von Codes von untergeordneter Bedeutung.

Der Vergleich von Codes untereinander und mit der uncodierten Übertragung erfolgt oft anhand des AWGN-Kanalmodells mit  $q = 2$  gemäß Definition 1.3. Dazu sei  $N_0$  die einseitige Rauschleistungsdichte und  $E_b$  die Energie pro Infobit. Dann ist

$$E_c = R \cdot E_b \quad (1.7.3)$$

die Energie pro Codebit, die also um den Faktor  $R$  (Coderate) kleiner ausfällt, sofern man gleiche Sendeleistung unterstellt. Die Signalleistung muß dann aufgeteilt werden auf die Infobits und auf die Prüfbits, so daß pro Codebit weniger Energie verfügbar ist. Damit wächst die Wahrscheinlichkeit, daß die Codebits im Demodulator falsch bestimmt werden. Ein Codierungsgewinn ergibt sich nur, wenn die Korrekturfähigkeit des Codes diesen negativen Effekt überwiegt.

In den Bildern 1.10 und 1.11 erfolgt nun anhand des AWGN-Modells ein quantitativer Vergleich zwischen codierter und uncodierter Übertragung, wobei  $P_w$  und  $P_b$  über  $E_b/N_0$  aufgetragen werden. Die Kurve für die uncodierte Übertragung entspricht direkt Tabelle 1.1. Für die codierte Übertragung werden zwei *perfekte Codes* verwendet, bei denen als wesentlicher Vorteil die Wortfehlerwahrscheinlichkeit exakt berechnet werden kann (siehe dazu Satz 3.15).



**Bild 1.10.** Fehlerwahrscheinlichkeit des  $(23, 12)_2$ -Golay-Codes (bei Hard-Decision)

Bild 1.10 zeigt am Beispiel des  $(23, 12)_2$ -Golay-Codes das prinzipielle Verhalten kanalcodierter Übertragungssysteme. Bei schlechten Kanälen ist die uncodierte Übertragung zunächst besser. Es gibt dann eine Schwelle (die hier bei

etwa 5 dB liegt), von der an die codierte Übertragung besser wird und zu einem Codierungsgewinn (in dB) führt, der immer auf eine bestimmte Fehlerwahrscheinlichkeit  $P_w$  oder  $P_b$  bezogen wird. Bei  $P_b = 10^{-6}$  beträgt dieser Codierungsgewinn etwa 2,0 dB. Unterhalb der Schwelle ergibt sich bei gleichem Signal/Rausch-Verhältnis eine kleinere Fehlerwahrscheinlichkeit bzw. bei gleicher Fehlerwahrscheinlichkeit kann die Sendeleistung reduziert werden. Bei einem sehr guten Kanal mit  $E_b/N_0 \rightarrow \infty$  verlaufen die Kurven nahezu parallel und werden gleichzeitig immer steiler. Der Unterschied zwischen  $P_w$  und  $P_b$  ist dabei unbedeutend.

Der Abstand zwischen codierter und uncodierter Übertragung wird nicht beliebig groß bei  $E_b/N_0 \rightarrow \infty$ , sondern konvergiert gegen einen Grenzwert, der jetzt berechnet werden soll. Zur Unterscheidung wird deshalb die Energie pro Infobit bei der uncodierten Übertragung mit  $E'_b$  und bei der codierten Übertragung mit  $E_b$  bezeichnet.

Für die uncodierte Übertragung ergibt sich  $P_b$  direkt als BSC-Bitfehlerwahrscheinlichkeit. Nach (1.3.12) und (A.3.18) gilt:

$$P_{b,\text{unc}} = p_e = Q\left(\sqrt{\frac{2E'_b}{N_0}}\right) \approx \text{const} \cdot e^{-E'_b/N_0}. \quad (1.7.4)$$

Wie später in Satz 3.15 noch gezeigt wird, gilt für die codierte Übertragung mit Hard-Decision für großes  $E_b/N_0$  näherungsweise:

$$P_{w,\text{cod}} \approx \text{const} \cdot p_e^{t+1}. \quad (1.7.5)$$

Dabei ist const eine vom Code abhängige Konstante,  $p_e$  ist die BSC-Bitfehlerwahrscheinlichkeit der Codebits zu  $E_c = RE_b$  und  $t = \lfloor (d_{\min} - 1)/2 \rfloor$  entspricht etwa der halben Minimaldistanz (mit  $\lfloor \lambda \rfloor$  wird die größte ganze Zahl  $\leq \lambda$  bezeichnet). Nach (1.7.2) und (A.3.18) gilt also:

$$\begin{aligned} P_{b,\text{cod}} &\approx \text{const} \cdot P_{w,\text{cod}} \\ &\approx \text{const} \cdot p_e^{t+1} \\ &\approx \text{const} \cdot \left[ Q\left(\sqrt{\frac{2RE_b}{N_0}}\right) \right]^{t+1} \\ &\approx \text{const} \cdot e^{-R(t+1) \cdot E_b/N_0}. \end{aligned} \quad (1.7.6)$$

Der Codierungsgewinn wird auf gleiche Bitfehlerraten bezogen:  $P_{b,\text{unc}} = P_{b,\text{cod}}$ . Hieraus folgt:

$$\text{const} \cdot e^{-E'_b/N_0} = \text{const} \cdot e^{-R(t+1) \cdot E_b/N_0}. \quad (1.7.7)$$

Die Konstanten sind allenfalls linear von  $E_b/N_0$  bzw.  $t$  abhängig und können somit beim Logarithmieren für großes  $E_b/N_0$  vernachlässigt werden:

$$\frac{E'_b}{N_0} \approx R(t+1) \cdot \frac{E_b}{N_0}. \quad (1.7.8)$$

Daraus ergibt sich der *asymptotische Codierungsgewinn* (asymptotic coding gain) für Hard-Decision als:

$$G_{a,\text{hard}} = 10 \cdot \log_{10}(R(t+1)) \quad \text{dB.} \quad (1.7.9)$$

Für *Soft-Decision* wird später in Satz 3.17 gezeigt:

$$P_{w,\text{cod}} \approx \text{const} \cdot e^{-Rd_{\min} \cdot E_b/N_0}. \quad (1.7.10)$$

Der Vergleich mit (1.7.4) ergibt den asymptotischen Codierungsgewinn für Soft-Decision:

$$G_{a,\text{soft}} = 10 \cdot \log_{10}(Rd_{\min}) \quad \text{dB.} \quad (1.7.11)$$

Für großes  $E_b/N_0$  ergibt sich die Fehlerwahrscheinlichkeit exponentiell aus  $E_b/N_0$ :

$$P_b = \text{const} \cdot e^{-E_b/N_0 \cdot \text{const}}. \quad (1.7.12)$$

Dies gilt unabhängig davon, ob codiert wird oder nicht. Für großes  $E_b/N_0$  verlaufen die Kurven aus Bild 1.10 also parallel zueinander im Abstand  $G_{a,\text{hard}}$ . Die Steigung der Kurven konvergiert gegen  $-\infty$  für  $E_b/N_0 \rightarrow \infty$ . Deshalb spielen auch die Konstanten in (1.7.7) keine Rolle und auch der Zusammenhang zwischen Bit- und Wort-Fehlerwahrscheinlichkeit gemäß (1.7.1) bzw. (1.7.2) ist unwesentlich, denn der vertikale Abstand zwischen der  $P_b$ - und der  $P_w$ -Kurve bleibt zwar konstant, aber der horizontale Abstand konvergiert gegen Null.

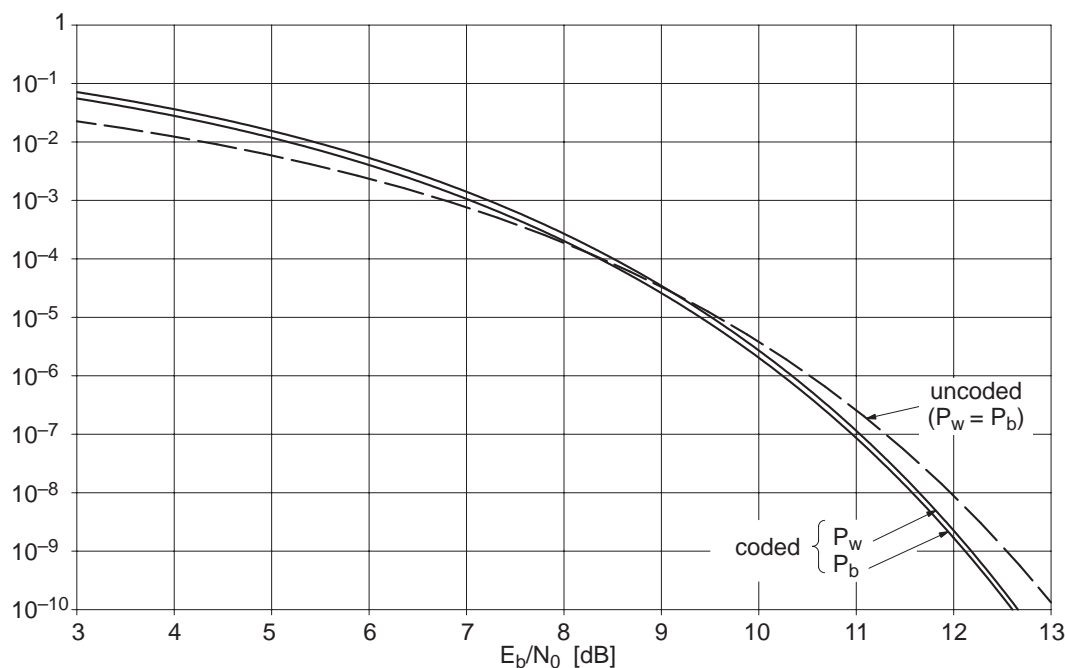
Unmittelbar deutlich wird die enorme Bedeutung der Minimaldistanz: Je größer  $d_{\min}$  wird bei gleicher Coderate (z.B. durch größere Blocklänge oder besseren Code), desto mehr kann  $E_b$  (codiert) gegenüber  $E'_b$  (uncodiert) vermindert werden. Durch Soft-Decision ergibt sich prinzipiell ein asymptotischer Gewinn von etwa 3 dB (mit  $t+1 \approx d_{\min}/2$ ):

$$G_{a,\text{soft}} \approx G_{a,\text{hard}} + 3,01 \text{ dB.} \quad (1.7.13)$$

Bei "realistischen" Werten von  $E_b/N_0$  bzw. "mittleren" Werten von  $P_b$  beträgt der Gewinn durch Soft-Decision allerdings üblicherweise nur rund 2 dB.

Für den  $(23, 12)_2$ -Golay-Code aus Bild 1.10 mit  $t = 3$  ergibt sich ein asymptotischer Codierungsgewinn von  $G_{a,\text{hard}} = 10 \cdot \log_{10}(12/23 \cdot 4) = 3,2$  dB, der allerdings aus dem Bild nicht direkt ablesbar ist, da hierfür ein größeres  $E_b/N_0$  betrachtet werden müßte. Bei  $P_w = 10^{-10}$  bzw.  $E_b/N_0 = 10,5$  dB beträgt der Gewinn erst rund 2,5 dB. Insofern ist  $G_a$  eher ein Maß zum Vergleich verschiedener Codes als zur Berechnung des Codierungsgewinns bei moderaten Fehlerraten.

In Bild 1.11 ist die Fehlerwahrscheinlichkeit des  $(7, 4)_2$ -Hamming-Codes mit  $t = 1$  dargestellt. Hier gilt nur  $G_{a,\text{hard}} = 10 \cdot \log_{10}(4/7 \cdot 2) = 0,6$  dB und tatsächlich ist die codierte Übertragung nur geringfügig besser und das auch nur bei einem guten Kanal bzw. bei kleinen Fehlerwahrscheinlichkeiten. Hohe Codierungsgewinne können nur bei komplexen Codes erwartet werden, insbesondere nur bei großen Blocklängen, und dies ist auch die Aussage des Kanalcodierungstheorems (siehe Abschnitt 2.2).



**Bild 1.11.** Fehlerwahrscheinlichkeit des  $(7,4)_2$ -Hamming-Codes (bei Hard-Decision)

Weitere Fehlerwahrscheinlichkeits-Kurven über  $E_b/N_0$  sind in Abschnitt 3.8 (Vergleich von Hard- und Soft-Decision für den Hamming-Code) und insbesondere in Abschnitt 7.3 (BCH-Codes) sowie in Abschnitt 9.5 (Faltungscodes) angegeben. Die theoretische Berechnung der Fehlerwahrscheinlichkeit erfolgt für Blockcodes in den Abschnitten 3.7 und 3.8, für Faltungscodes in Abschnitt 9.5 und für die trelliscodierte Modulation in Abschnitt 10.7. Generell wird sich dabei zeigen, daß die Berechnung mit größerem  $E_b/N_0$  immer einfacher wird. Andererseits können Fehlerwahrscheinlichkeiten bis herunter zur Größenordnung  $10^{-6}$  noch mit vernünftigem Aufwand simuliert werden. Folglich ergänzen sich Theorie und Simulation bei den Fehlerwahrscheinlichkeits-Kurven nahezu perfekt.

Der bei einer konkreten Anwendung tatsächlich vorliegende Kanal ist oftmals so kompliziert, daß eine exakte Beschreibung nicht möglich ist. Deshalb werden Codes meistens in Bezug auf die einfachen Modelle BSC oder AWGN entworfen, womit gleichzeitig auch eine gewisse Robustheit gegen Kanaländerungen gegeben ist. Daneben werden allerdings auch noch Modelle für Kanäle mit Bündelfehlern (siehe Abschnitt 5.6, 5.7) sowie für Fadingkanäle (siehe Abschnitt 11.2, 11.3) verwendet.

Es ist also nicht überraschend, wenn der Codierungsgewinn in der Praxis nicht präzise den theoretischen Vorhersagen entspricht. Hinzu kommen immer sogenannte Implementierungsverluste sowie ein weiterer Effekt: Bei codierter Übertragung ist die Energie pro Codebit kleiner als bei der uncodierten Übertragung. Damit wird die Synchronisation (Frequenz, Takt, Rahmen) eventuell viel schwieriger, als die gesamten Operationen im Encoder und Decoder.

Ganz anders sind allerdings die Verhältnisse, wenn beim Einsatz von Codierung das Modulationssystem und die Bandbreite nicht geändert werden und stattdessen die Datenrate der Infobits vermindert wird. In diesem Fall beträgt der Gewinn  $G_{a,hard} = 10 \cdot \log_{10}(t + 1)$  dB.

## 1.8 Grundgedanke der Kanalcodierung

Insbesondere mit Blockcodes wird unmittelbar der Grundgedanke deutlich, der hinter der Kanalcodierung steht. Es ist die gleiche Idee wie bei der Digitalisierung in der Nachrichtentechnik mit ähnlichen Vor- und Nachteilen:

*Digitalisierung bedeutet Quantisierung der Symbole im Wertebereich:* Wenn  $\Delta$  die Quantisierungsbreite ist, so ist  $\Delta/2$  der maximale Quantisierungsfehler. Daraus folgt:

**Vorteil:** Kleine Übertragungsfehler (kleiner als  $\Delta/2$ ) werden völlig eliminiert, während bei der analogen Übertragung in jeder Verstärkerstufe das Signal/Rausch-Verhältnis prinzipiell immer schlechter wird.

**Nachteil:** Auch ohne Übertragungsfehler tritt immer ein mittlerer Quantisierungsfehler von  $\sqrt{\Delta^2/12}$  auf. Große Übertragungsfehler (größer als  $\Delta/2$ ) werden durch Zuordnung zur falschen Quantisierungsstufe noch vergrößert.

**Fazit:** Quantisierung nur dort, wo der Hauptanteil der Störungen kleiner als  $\Delta/2$  ist.

*Kanalcodierung bedeutet Quantisierung ganzer Symbolfolgen im Zeitbereich:* Die  $n - k$  Prüfstellen werden so gewählt, daß sich die verschiedenen Codewörter der Länge  $n$  an mindestens  $d_{\min}$  Stellen unterscheiden. Das ist möglich, weil von den  $q^n$  möglichen Wörtern nur  $q^k$  Wörter auch tatsächlich Codewörter sind. Daraus folgt (wie in Abschnitt 3.2 noch detailliert gezeigt wird):

**Vorteil:** Bei weniger als  $d_{\min}/2$  Übertragungsfehlern liegt das Empfangswort näher am gesendeten Wort als an allen anderen möglichen Codewörtern und kann somit richtig decodiert werden.

**Nachteil:** Bei mehr als  $d_{\min}/2$  Übertragungsfehlern wird möglicherweise auf ein falsches Codewort entschieden und die Anzahl der Fehler erhöht sich durch die Codierung.

**Fazit:** Kanalcodierung nur dort, wo in der Mehrzahl weniger als  $d_{\min}/2$  Fehler pro Codewort auftreten, d.h.: Kanalcodierung ist nur sinnvoll bei relativ guten Kanälen und bei hohen Anforderungen an die Zuverlässigkeit, während bei schlechten Kanälen eine Kanalcodierung nicht sinnvoll ist.

Die zentrale Idee der Kanalcodierung ist es, lange Infoblöcke in noch längere Codeblöcke zu transferieren. Das Ausmaß der hinzuzufügenden Redundanz ist abhängig von der Kanalqualität und der gewünschten Übertragungsqualität.

## 2. Grundlagen der Shannon'schen Informationstheorie

Die von Shannon 1948 begründete Informationstheorie zeigt die prinzipiellen Grenzen und Möglichkeiten der Codierung auf, wobei Shannon sowohl Kanalcodierung, Quellencodierung und kryptographische Codierung betrachtet hat. In diesem Kapitel wird nur die Informationstheorie der Kanalcodierung dargestellt mit Beschränkung auf den diskreten gedächtnislosen Kanal (DMC). Obwohl bisher die Blockcodes nur ganz knapp behandelt wurden, sind die Ergebnisse von Shannon dennoch schon mit diesen geringen Grundlagen verständlich.

### 2.1 Kanalkapazität des DMC

Vorausgesetzt wird der DMC  $(\mathcal{A}_{\text{in}}, \mathcal{A}_{\text{out}}, P_{y|x})$  gemäß Definition 1.2 mit der Beschreibung durch die Übergangswahrscheinlichkeiten (Kanalstatistik)  $P_{y|x}(\eta|\xi)$  oder kurz  $P(y|x)$ . Der Input des diskreten Kanals (bzw. der Output des Kanalcoders) wird als eine Zufallsgröße angesehen, die durch die Apriori-Verteilung (Quellenstatistik)  $P_x(\xi)$  oder kurz  $P(x)$  gekennzeichnet ist. Zusammenfassung:

$$\begin{aligned} P(y|x) &= P(y \text{ empfangen} | x \text{ gesendet}) && \text{Kanalstatistik} \\ P(x) &= P(x \text{ gesendet}) && \text{Quellenstatistik.} \end{aligned} \quad (2.1.1)$$

Aus der Quellenstatistik und der Kanalstatistik kann die Empfangsstatistik berechnet werden: Die Wahrscheinlichkeit, daß  $y$  empfangen wird, beträgt nach dem Satz von der vollständigen Wahrscheinlichkeit (A.3.1):

$$P(y) = \sum_{x \in \mathcal{A}_{\text{in}}} P(y|x) \cdot P(x) \quad \text{Empfangsstatistik.} \quad (2.1.2)$$

Für die gemeinsame Verteilung, daß also  $x$  gesendet und  $y$  empfangen wird, gilt:

$$P(x, y) = P(y|x) \cdot P(x) = P(x|y) \cdot P(y). \quad (2.1.3)$$

Eingeführt wurde damit auch die bedingte Wahrscheinlichkeit  $P(x|y)$ , daß  $x$  gesendet wurde unter der Voraussetzung, daß  $y$  empfangen wurde. Aus der gemeinsamen Verteilung ergeben sich  $P(y)$  und  $P(x)$  als Randverteilungen:

$$P(y) = \sum_{x \in \mathcal{A}_{\text{in}}} P(x, y) \quad , \quad P(x) = \sum_{y \in \mathcal{A}_{\text{out}}} P(x, y). \quad (2.1.4)$$

Zur Vollständigkeit wird noch vermerkt:

$$\sum_{x \in \mathcal{A}_{\text{in}}} P(x) = \sum_{y \in \mathcal{A}_{\text{out}}} P(y) = \sum_{y \in \mathcal{A}_{\text{out}}} P(y|x) = \sum_{x \in \mathcal{A}_{\text{in}}} P(x|y) = 1. \quad (2.1.5)$$

Der Informationsgehalt einer Zufallsgröße (wie beispielsweise der Input  $x$  des DMC) wird mit der *Entropie* (Unbestimmtheit, siehe auch Anhang A.3) gemessen:  $H(x) = - \sum_{x \in \mathcal{A}_{\text{in}}} P(x) \log_2 P(x)$ . Wie schon bei der Herleitung des Maximum-

Likelihood-Decoders in Abschnitt 1.6 werden beim Entwurf von codierten Übertragungssystemen für die Apriori-Verteilung (Quellenstatistik)  $P_x$  üblicherweise gleichmäßig verteilte Infowörter angenommen. Dann haben die Infosymbole bzw. Infowörter jeweils die maximal mögliche Entropie  $H(x) = \log_2 q$  bzw.  $H(\mathbf{x}) = k \cdot \log_2 q$ . Für die Entropie der Empfangswerte gilt  $H(y) \leq \log_2 |\mathcal{A}_{\text{out}}|$ .

Für die Übertragung von Informationen über einen stochastischen Kanal sind jedoch nicht die Entropien von Input und Output maßgebend, sondern der (möglichst enge) Zusammenhang zwischen Input und Output. Dafür wird jetzt ein wichtiges Maß eingeführt, das auf der gemeinsamen Verteilung von Input und Output basiert:

**Definition 2.1.** *Zwischen zwei Zufallsgrößen und insbesondere zwischen Input und Output des DMC kann die Transinformation (mutual information) definiert werden, die angibt, wieviel Information eine der beiden Zufallsgrößen über die andere vermittelt:*

$$I(x; y) = \sum_{x \in \mathcal{A}_{\text{in}}, y \in \mathcal{A}_{\text{out}}} P(x)P(y|x) \log_2 \frac{P(y|x)}{\sum_{x' \in \mathcal{A}_{\text{in}}} P(x')P(y|x')} \quad (2.1.6)$$

$$= \sum_{x \in \mathcal{A}_{\text{in}}, y \in \mathcal{A}_{\text{out}}} P(x, y) \log_2 \frac{P(x, y)}{P(x)P(y)} \quad (2.1.7)$$

$$= \underbrace{\sum_{y \in \mathcal{A}_{\text{out}}} P(y) \log_2 \frac{1}{P(y)}}_{= H(y)} - \underbrace{\sum_{x \in \mathcal{A}_{\text{in}}, y \in \mathcal{A}_{\text{out}}} P(x, y) \log_2 \frac{1}{P(y|x)}}_{= H(y|x)} \quad (2.1.8)$$

$$= \underbrace{\sum_{x \in \mathcal{A}_{\text{in}}} P(x) \log_2 \frac{1}{P(x)}}_{= H(x)} - \underbrace{\sum_{x \in \mathcal{A}_{\text{in}}, y \in \mathcal{A}_{\text{out}}} P(x, y) \log_2 \frac{1}{P(x|y)}}_{= H(x|y)}. \quad (2.1.9)$$

Die Äquivalenz der vier Formulierungen folgt aus (A.3.1) und (A.3.2). In (2.1.6) wird  $I(x; y)$  durch die Quellenstatistik  $P(x)$  und die Kanalstatistik  $P(y|x)$

ausgedrückt. Die Formulierung in (2.1.7) erfolgt mit der gemeinsamen Verteilung und den Randverteilungen. Die letzten beiden Formulierungen verwenden Entropien. Die Transinformation wird in (2.1.8) dargestellt als Differenz zwischen der Output-Entropie  $H(y)$  und der bedingten Output-Entropie  $H(y|x)$  (*Irrelevanz, Vorhersageunsicherheit*) bzw. in (2.1.9) als Differenz zwischen der Quellen-Entropie  $H(x)$  und der bedingten Entropie  $H(x|y)$  (*Äquivokation, Rückschlußunsicherheit*).

Die Transinformation ist offensichtlich symmetrisch in  $x$  und  $y$ . Es läßt sich leicht zeigen, daß alle Entropien einschließlich der bedingten Entropien sowie die Transinformation nicht-negativ sind und somit gilt:

- (1)  $H(y) \geq H(y|x)$ : Die Kenntnis von  $x$  vermindert die Unsicherheit über  $y$ ; im Idealfall sollte  $y$  durch  $x$  eindeutig bestimmt sein.
- (2)  $H(x) \geq H(x|y)$ : Die Kenntnis von  $y$  vermindert die Unsicherheit über  $x$ ; im Idealfall sollte bei bekanntem Output des Kanals auch der Input bekannt sein – das ist schließlich das eigentliche Ziel der Nachrichtenübertragung.
- (3)  $I(x; y) \leq \min\{H(x), H(y)\}$ .

Bei gleichmäßig verteilten Input-Symbolen mit  $P_x(\xi) = 1/q$  für alle  $\xi \in \mathcal{A}_{\text{in}}$  gilt für die Quellenentropie allgemein

$$H(x) = \sum_{x \in \mathcal{A}_{\text{in}}} \frac{1}{q} \log_2 q = \log_2 q \quad (2.1.10)$$

und  $H(x) = 1$  speziell für  $q = 2$ .

**Beispiel 2.1.** Betrachtung der Extremfälle für den DMC:

(1) Schlechtester Fall: Hier bestehen zwischen dem Input und dem Output des DMC keine statistischen Zusammenhänge, so daß keine Information übertragbar ist. In diesem Fall sind  $x$  und  $y$  statistisch unabhängig und die gemeinsame Verteilung zerfällt in ein Produkt:  $P(x, y) = P(x)P(y)$ . In (2.1.7) ist dann  $\log_2(\dots) = 0$  und somit insgesamt:

$$I(x; y) = 0 \quad , \quad H(y|x) = H(y) \quad , \quad H(x|y) = H(x). \quad (2.1.11)$$

$H(y|x) = H(y)$  bedeutet, daß der Informationsgehalt von  $y$  unabhängig davon ist, ob  $x$  bekannt ist oder nicht. Bei einem guten Kanal sollte  $y$  aber keinen Informationsgehalt bei bekanntem  $x$  haben, da  $y$  durch  $x$  bestimmt sein sollte. Entsprechend ist  $H(x|y) = H(x)$  zu interpretieren.

(2) Bester Fall: Hier schaltet der Kanal transparent durch, d.h.  $x \equiv y$ . Damit ist der Kanal nicht mehr stochastisch, sondern deterministisch. Es gilt  $P(y) = P(x)$  sowie

$$P(y|x) = \begin{Bmatrix} 1 & y = x \\ 0 & y \neq x \end{Bmatrix} \quad , \quad P(x, y) = \begin{Bmatrix} P(x) & y = x \\ 0 & y \neq x \end{Bmatrix}.$$

Betrachte  $H(y|x)$  in (2.1.8): Für  $y = x$  ist  $\log_2(\dots) = 0$  und ansonsten ist  $P(x, y) = 0$ . Also folgt  $H(y|x) = 0$ , d.h. bei Kenntnis von  $x$  verbleibt über  $y$  keinerlei Unsicherheit und entsprechend ist  $H(x|y) = 0$  zu interpretieren. Insgesamt gilt:

$$I(x; y) = H(y) = H(x) \quad , \quad H(y|x) = 0 \quad , \quad H(x|y) = 0. \quad (2.1.12)$$

Für gleichmäßig verteilte Quellensymbole gilt  $I(x; y) = H(x) = \log_2 q$ . ■

**Definition 2.2.** Für den DMC  $(\mathcal{A}_{\text{in}}, \mathcal{A}_{\text{out}}, P_{y|x})$  ist die Kanalkapazität  $C$  definiert als das Maximum der Transinformation, wenn über alle möglichen Quellenstatistiken (Apriori-Wahrscheinlichkeiten) maximiert wird:

$$C = \max_{P_x} I(x; y) \quad \text{Einheit: Infobit/Kanalbenutzung.} \quad (2.1.13)$$

Es gilt  $0 \leq C \leq \log_2 q$  ( $= 1$  bei binärer Übertragung). Bei  $C = 0$  ist der Output vom Input statistisch unabhängig und es ist keine Information übertragbar. Bei  $C = \log_2 q$  schaltet der Kanal transparent durch.

Um die maximale Kanalkapazität zu erreichen, müßte die Quellenstatistik (also die Verteilung der Codesymbole) an die Kanalstatistik angepaßt werden, was normalerweise nur sehr schwer möglich ist. Allerdings wird bei symmetrischen Kanälen das Maximum der Transinformation immer bei der gleichmäßigen Verteilung auftreten – dies gilt natürlich insbesondere für den binären Kanal. In diesem Fall ist auch die Encodierung binär und erzeugt eine gleichmäßige Verteilung. Im übrigen dient die Kanalkapazität nicht primär dem Entwurf eines Codes, sondern erlaubt die Beurteilung eines diskreten Kanals bzw. eines Modulationssystems.

**Beispiel 2.2.** Berechnung von  $C$  für BSC und AWGN:

(1) BSC mit der Bit-Fehlerwahrscheinlichkeit  $p_e$ : Das Maximum in  $I(x; y)$  tritt wegen der Symmetrie bei  $P_x(0) = P_x(1) = 0,5$  auf. Mit  $x$  ist dann auch  $y$  gleichmäßig verteilt mit  $P_y(0) = P_y(1) = 0,5$  und somit gilt  $H(y) = 1$ . Aus

$$P(x, y) = P(x)P(y|x) = \begin{cases} (1 - p_e)/2 & y = x \\ p_e/2 & y \neq x \end{cases}$$

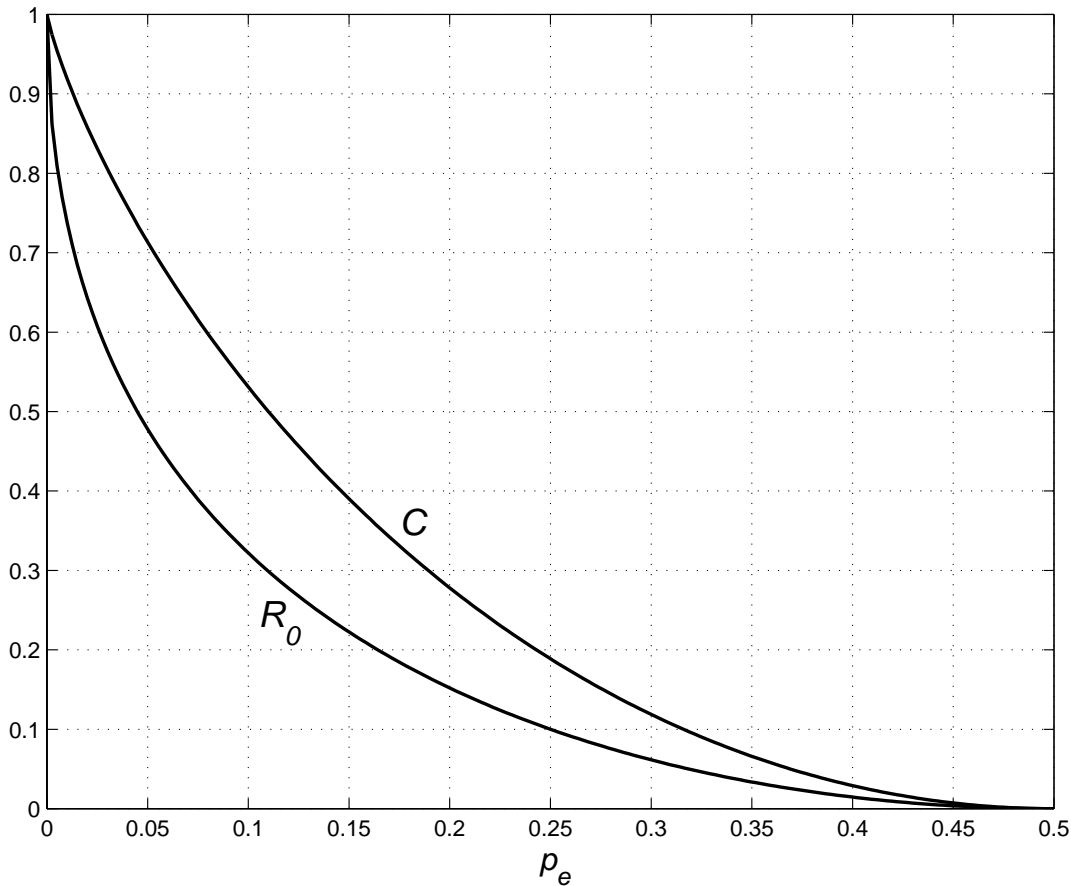
folgt:

$$\begin{aligned} H(y|x) &= -P_{x,y}(0, 0) \log_2 P_{y|x}(0|0) - P_{x,y}(0, 1) \log_2 P_{y|x}(1|0) \\ &\quad - P_{x,y}(1, 0) \log_2 P_{y|x}(0|1) - P_{x,y}(1, 1) \log_2 P_{y|x}(1|1) \\ &= -\frac{1 - p_e}{2} \log_2(1 - p_e) - \frac{p_e}{2} \log_2(p_e) \\ &\quad - \frac{p_e}{2} \log_2(p_e) - \frac{1 - p_e}{2} \log_2(1 - p_e). \end{aligned}$$

Damit ergibt sich die Kanalkapazität des BSC als

$$\begin{aligned} C &= 1 + p_e \log_2(p_e) + (1 - p_e) \log_2(1 - p_e) \\ &= 1 - H_2(p_e), \end{aligned} \quad (2.1.14)$$

wobei  $H_2(p_e)$  die in Anhang A.2 definierte *binäre Entropiefunktion* ist. Die Funktion  $C = C(p_e)$  ist symmetrisch mit  $C(p_e) = C(1 - p_e)$  und es gilt  $C(0) = 1$  und  $C(0,5) = 0$ . Die Kanalkapazität  $C$  wird in Bild 2.1 zusammen mit dem Fehlerexponenten  $R_0$  (siehe Definition 2.3) dargestellt.



**Bild 2.1.**  $C$  und  $R_0$  für den BSC

(2) AWGN: Das Maximum in  $I(x; y)$  tritt wegen der Symmetrie auch hier bei  $P_x(-\sqrt{E_c}) = P_x(+\sqrt{E_c}) = 0,5$  auf. Die Verteilungsdichtefunktion von  $y$  wird dann durch

$$f_y(\eta) = \frac{1}{2} \left( f_{y|x}(\eta - \sqrt{E_c}) + f_{y|x}(\eta + \sqrt{E_c}) \right)$$

gegeben. Die Summation über  $y$  in (2.1.6) geht jetzt in eine Integration über:

$$C = \frac{1}{2} \int_{-\infty}^{\infty} \left( f_{y|x}(\eta + \sqrt{E_c}) \log_2 \frac{f_{y|x}(\eta + \sqrt{E_c})}{f_y(\eta)} \right)$$

$$+ f_{y|x}(\eta | -\sqrt{E_c}) \log_2 \frac{f_{y|x}(\eta | -\sqrt{E_c})}{f_y(\eta)} \Big) d\eta. \quad (2.1.15)$$

Mit  $f_{y|x}(\eta|\xi)$  gemäß (1.3.11) folgt:

$$C = \frac{1}{2\sqrt{\pi N_0}} \int_{-\infty}^{\infty} \left( e^{-(\eta-\sqrt{E_c})^2/N_0} \log_2 \frac{2e^{-(\eta-\sqrt{E_c})^2/N_0}}{e^{-(\eta-\sqrt{E_c})^2/N_0} + e^{-(\eta+\sqrt{E_c})^2/N_0}} \right. \\ \left. + e^{-(\eta+\sqrt{E_c})^2/N_0} \log_2 \frac{2e^{-(\eta+\sqrt{E_c})^2/N_0}}{e^{-(\eta-\sqrt{E_c})^2/N_0} + e^{-(\eta+\sqrt{E_c})^2/N_0}} \right) d\eta.$$

Mit der Substitution  $\alpha = \eta\sqrt{2/N_0}$  und der Abkürzung  $v = \sqrt{2E_c/N_0}$  vereinfacht sich das zu

$$C = \frac{1}{2\sqrt{2\pi}} \int_{-\infty}^{\infty} \left( e^{-(\alpha-v)^2/2} \log_2 \frac{2}{1+e^{-2\alpha v}} + e^{-(\alpha+v)^2/2} \log_2 \frac{2}{1+e^{2\alpha v}} \right) d\alpha. \quad (2.1.16)$$

Dieses Integral kann nicht analytisch geschlossen berechnet werden. Durch numerische Auswertung ergibt sich die Kanalkapazität des AWGN als Kurve  $C_{\text{soft}}$  wie in Bild 2.2 dargestellt. Die Kanalkapazität wächst kontinuierlich von 0 bis 1, wenn  $E_c/N_0$  von 0 bis  $+\infty$  läuft. ■

Obwohl die Kanalmodelle BSC und AWGN von überragender praktischer und theoretischer Bedeutung sind, gibt es dennoch wichtige Kanäle mit asymmetrischen Übergangswahrscheinlichkeiten, bei denen das Maximum der Transinformation nicht bei der gleichmäßigen Apriori-Verteilung eintritt.

## 2.2 Kanalcodierungstheorem

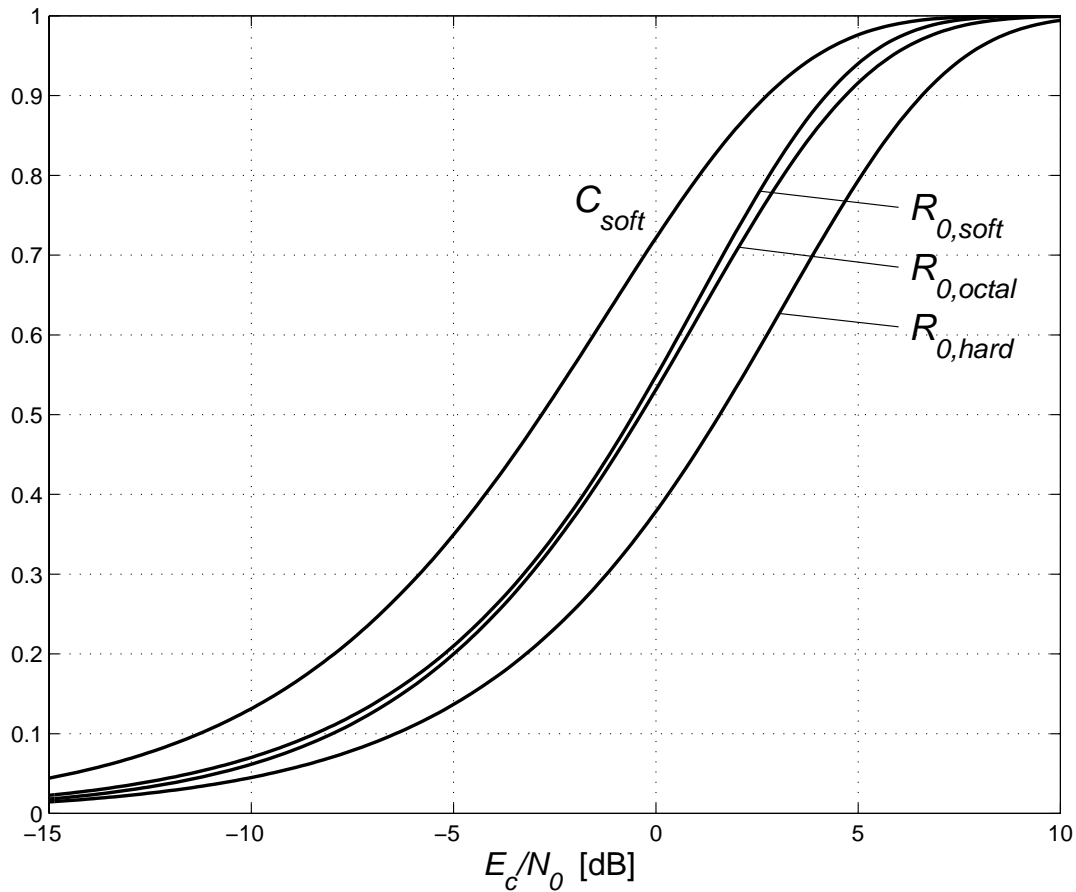
Die Bedeutung der Kanalkapazität wird sofort klar aus dem berühmten Satz von Shannon (1948, noisy channel coding theorem), der die Grundlage für die digitale Kommunikation bildet:

**Satz 2.1 (Kanalcodierungstheorem, 1.Fassung).** *Es sei  $C$  die Kanalkapazität des DMC mit  $q = |\mathcal{A}_{\text{in}}|$ . Dann kann durch Verwendung von Kanalcodierung und Maximum-Likelihood-Decodierung die Wort-Fehlerwahrscheinlichkeit  $P_w$  beliebig klein gemacht werden, sofern die Coderate  $R_b = R \cdot \log_2 q$  kleiner als  $C$  ist.*

*Genauere Formulierung: Für jedes  $\varepsilon > 0$  und  $\varepsilon' > 0$  existiert ein  $(n, k)_q$ -Blockcode mit  $R_b = k/n \cdot \log_2 q$ , so daß gilt:*

$$C - \varepsilon' \leq R_b < C \quad \text{und} \quad P_w < \varepsilon.$$

*Konverses Theorem: Bei  $R_b > C$  kann  $P_w$  eine gewisse Grenze auch bei größtem Aufwand nie unterschreiten.*



**Bild 2.2.**  $C$  und  $R_0$  für den AWGN ( $q = 2$ )

Der Beweis ist für den Spezialfall des BSC relativ einfach und wird in Abschnitt 2.7 gegeben.

Dieses Ergebnis ist sicherlich überraschend: Die Kanaleigenschaften begrenzen nur die Übertragungsrate und den Durchsatz, aber nicht die Qualität der Übertragung. Bei immer höheren Qualitätsanforderungen muß also nicht die Datenrate reduziert werden oder der Kanal selbst verbessert werden, sondern es muß nur die Blocklänge des Codes und damit die Komplexität erhöht werden. Beispiele dazu zeigen die Bilder mit den Fehlerwahrscheinlichkeits-Kurven für BCH-Codes in Abschnitt 7.3. Formal kann das Kanalcodierungstheorem auch so formuliert werden: Es existiert eine Folge von  $(n_s, k_s)_q$ -Blockcodes  $\mathcal{C}_s$ , so daß gilt:

$$\lim_{s \rightarrow \infty} P_w(\mathcal{C}_s) = 0 \quad \text{und} \quad \lim_{s \rightarrow \infty} \frac{k_s}{n_s} \cdot \log_2 q = C.$$

Wie bereits bei Definition 1.4 erklärt wurde, ist  $R_b = R \cdot \log_2 q = k/n \cdot \log_2 q$  die Coderate mit der Einheit Infobit/Kanalbenutzung. Da die Kanalkapazität mit dem binären Logarithmus definiert wird und sich somit auf Infobits pro Kanalbenutzung bezieht, muß  $C$  also mit  $R_b$  statt  $R$  verglichen werden.

**Beispiel 2.3.** zur Anwendung des Kanalcodierungstheorems (im Binärfall):

(1) Es sei  $C$  die Kanalkapazität eines DMC, der pro Sekunde  $r_c$  mal benutzbar ist, d.h. die Codebitrate beträgt  $r_c$  Bit/s. Dann kann eine Coderate  $R$  gewählt werden, die nur geringfügig kleiner als  $C$  sein muß, so daß durch Kanalcodierung mit entsprechend großer Blocklänge Infobits mit der Rate  $r_b = R \cdot r_c$  bei beliebig kleiner Bitfehlerrate übertragen werden können.

In anderer Formulierung ist  $C^* = C \cdot r_c$  die Kanalkapazität in Infobit/s und  $R < C$  ist äquivalent mit  $r_b = R \cdot r_c < C \cdot r_c = C^*$ .

(2) Beispielsweise sei  $r_c = 1000$  Bit/s und  $C = 0,60$  und somit  $C^* = 600$  Bit/s. Dann sind knapp  $r_b = 600$  Infobit/s übertragbar mit beliebig kleiner Fehlerrate bei entsprechend großer Blocklänge. Durch einen Wechsel im Modulationssystem könnte vielleicht ein neuer DMC mit  $r_c = 800$  Bit/s und  $C = 0,75$  bei gleichem  $C^* = 600$  Bit/s erzeugt werden. Dann ist  $r_b$  wieder auf 600 Bit/s begrenzt. Welcher DMC der geeignetere ist und wie  $C$  von  $r_c$  abhängt, kann allgemein nicht beantwortet werden.

(3) Betrachte einen BSC mit  $p_e = 0,01$ , der mit  $r_c = 1\,000\,000$  Bit/s benutzbar ist. Pro Sekunde werden im Mittel 990 000 Bit richtig und 10 000 Bit falsch empfangen. Ohne Kanalcodierung sind selbst wesentlich kleinere Infobitraten als 900 000 Bit/s nicht zuverlässig übertragbar. Die Kanalkapazität beträgt

$$C = 1 + 0,01 \cdot \log_2 0,01 + 0,99 \cdot \log_2 0,99 = 0,919$$

Bit/Kanalbenutzung bzw.  $C^* = 919\,000$  Bit/s. Wenn nun  $r_b = 900\,000$  Bit/s gewählt wird mit einer Coderate  $R = 0,9$ , dann ist durch Codierung weniger als 1 Fehler pro Sekunde oder eine noch kleinere Fehlerrate erreichbar. ■

Das Codierungstheorem ist ein reiner Existenzsatz und gibt keine Anleitung, wie die entsprechenden Blockcodes zu konstruieren sind. Shannon hat zum Beweis keine cleveren Codes konstruiert, sondern er hat die Codes einfach zufällig gewählt. Bei diesem sogenannten *Random Coding Argument* wird die Aussage für den Mittelwert über alle Blockcodes bewiesen und es gibt dann trivialerweise mindestens einen Code, der so gut ist wie der Mittelwert. Allerdings darf man hieraus nicht schließen, daß es sehr einfach wäre, entsprechende Codes zu finden. Tatsächlich ist keine binäre Codeklasse bekannt (abgesehen von verketteten Codes), so daß mit einer Folge von Blockcodes wachsender Blocklänge die Fehlerwahrscheinlichkeit gegen Null konvergiert, d.h.: *Fast alle Codes sind gut mit Ausnahme derjenigen, die wir kennen*. Die Ursache dieses Dilemmas liegt darin, daß man von den Codes mit sehr langer Blocklänge nur sehr wenige Codes tatsächlich kennt (d.h. ihre Eigenschaften präzise kennt) – es sind nämlich nur diejenigen Codes bekannt, die eine sehr reichhaltige mathematische Struktur haben und damit wird eine sehr kleine Teilmenge aller Codes ausgewählt. Diese Teilmenge trägt zur Mittelwertbildung über alle Blockcodes nur wenig bei, so daß der Mittelwert über alle Codes weit oberhalb der Eigenschaften dieser Teilmenge liegt.

Für eine Präzisierung dieser Überlegungen wird beispielsweise auf [83, 87] verwiesen. Auch in Abschnitt 3.4 werden Zufallscodes erneut behandelt, dort

aber unter dem Gesichtspunkt der Minimaldistanz.

Fazit: Die mathematische bzw. algebraische Struktur der Codes ist erforderlich zur Analyse der Codes und für ihre praktische Anwendung und begründet damit die eigentliche Kanalcodierung, die in den folgenden Kapiteln ausführlich behandelt wird. Andererseits verhindert diese Struktur gerade, daß extrem leistungsfähige Codes im Sinne des Kanalcodierungstheorems gefunden werden (“Satz von der geistigen Beschränktheit des Codierungstheoretikers” [32]). Zusammenfassend existieren zur Verbesserung der Übertragungsqualität prinzipiell folgende Möglichkeiten:

- Erhöhung der Kanalkapazität  $C$  durch Verbesserung des Kanals (beispielsweise durch mehr Sendeleistung).
- Reduktion der Coderate  $R$  erlaubt mehr Redundanz, erfordert aber häufigere Benutzung des Kanals und damit mehr Bandbreite.
- Erhöhung der Blocklänge  $n$  des Codes – dies ist die Aussage des Kanalcodierungstheorems.

Unbefriedigend an Satz 2.1 ist, daß die erforderliche Blocklänge nicht abgeschätzt werden kann. Dazu dient folgende Verfeinerung [14, 25, 73, 118]:

**Satz 2.2 (Kanalcodierungstheorem, 2.Fassung).** *Es sei  $C$  die Kanalkapazität des DMC mit  $q = |\mathcal{A}_{\text{in}}|$ . Weiter sei*

$$E_r(R_b) = \max_{0 \leq s \leq 1} \max_{P_x} \left[ -sR_b - \log_2 \sum_{y \in \mathcal{A}_{\text{out}}} \left( \sum_{x \in \mathcal{A}_{\text{in}}} P(x) \cdot P(y|x)^{\frac{1}{1+s}} \right)^{1+s} \right] \quad (2.2.1)$$

der sogenannte Fehlerexponent oder Gallager-Exponent. Diese Funktion ist allein durch den DMC und die Coderate bestimmt und es gilt:

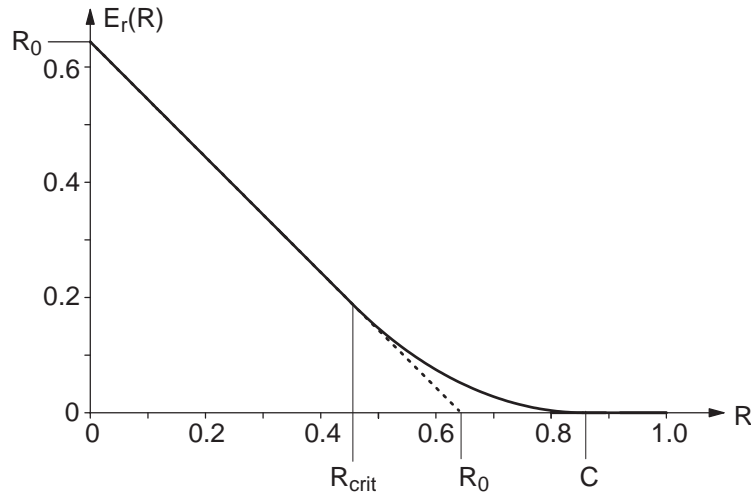
$$\begin{aligned} E_r(R_b) &> 0 && \text{für } R_b < C \\ E_r(R_b) &= 0 && \text{für } R_b \geq C. \end{aligned} \quad (2.2.2)$$

Dann existiert immer ein  $(n, k)_q$ -Blockcode mit  $R_b = k/n \cdot \log_2 q < C$ , so daß für die Wort-Fehlerwahrscheinlichkeit  $P_w$  gilt:

$$P_w < 2^{-n \cdot E_r(R_b)}. \quad (2.2.3)$$

In (2.2.3) sind mit der Wort-Fehlerwahrscheinlichkeit  $P_w$ , der Blocklänge  $n$ , der Coderate  $R_b$  sowie den im Fehlerexponenten  $E_r(R_b)$  repräsentierten Kanaleigenschaften alle wichtigen Größen der codierten Übertragung in einer einfachen Formel zusammengefaßt.

Der Fehlerexponent ist nicht wie die Kanalkapazität ein durch den DMC bestimmter Parameter, sondern eine durch den DMC bestimmte Funktion der Coderate. Bei Kenntnis der Funktion  $E_r(R_b)$  kann also zu vorgegebenem  $P_w$



**Bild 2.3.** Typischer Verlauf des Fehlerexponenten (Beispiel BSC mit  $p_e = 0,02$ ,  $C = 0,859$ ,  $R_0 = 0,644$ )

die Blocklänge  $n$  explizit bestimmt werden. Den typischen Verlauf des Fehlerexponenten zeigt Bild 2.3. Nicht bewiesen wird hier, daß  $E_r(R_b)$  eine  $\cup$ -konvexe monoton abnehmende Funktion ist. Von  $R_b = 0$  bis zu einem Punkt  $R_b = R_{crit}$  beträgt die Steigung  $-1$  und das Maximum tritt in diesem Bereich bei  $s = 1$  auf. Von großer Bedeutung ist der Wert des Fehlerexponenten an der Stelle  $R_b = 0$ , der deshalb im folgenden Abschnitt gesondert behandelt wird.

## 2.3 $R_0$ -Theorem

Die Kanalkapazität  $C$  ist eine theoretische Schranke, von der die praktisch angewendeten bzw. realisierbaren Codierungsverfahren deutlich entfernt sind. Dagegen ist der sogenannte  $R_0$ -Wert [37, 108, 123] mit vernünftigen Aufwand erreichbar, was natürlich nicht als mathematisch fundierte Aussage zu verstehen ist. Nicht bewiesen wird hier, daß das Maximum bei  $E_r(0)$  für  $s = 1$  auftritt:

**Definition 2.3.** Der Wert des Fehlerexponenten an der Stelle  $R_b = 0$  wird als  $R_0$ -Wert bezeichnet:

$$R_0 = E_r(0) = \max_{P_x} \left[ -\log_2 \sum_{y \in \mathcal{A}_{out}} \left( \sum_{x \in \mathcal{A}_{in}} P(x) \sqrt{P(y|x)} \right)^2 \right]. \quad (2.3.1)$$

Die für  $R_0$  auch übliche Bezeichnung *computational cut-off rate* oder  $R_{comp}$  wird erst durch die Theorie der sequentiellen Decodierung motiviert, die hier nicht behandelt wird. Wenn in der Definition des Fehlerexponenten  $s = 1$  gesetzt

wird, ergibt sich eine Abschätzung nach unten:

$$\begin{aligned} E_r(R_b) &\geq \max_{P_x} \left[ -R_b - \log_2 \sum_{y \in \mathcal{A}_{\text{out}}} \left( \sum_{x \in \mathcal{A}_{\text{in}}} P(x) \cdot P(y|x)^{\frac{1}{2}} \right)^2 \right] \\ &= R_0 - R_b. \end{aligned}$$

Mit (2.2.3) ergibt sich sofort folgende explizite Abschätzung der Wort-Fehlerwahrscheinlichkeit  $P_w$  für Coderaten  $R_b$  im Bereich zwischen 0 und  $R_0$ :

**Satz 2.3 ( $R_0$ -Theorem).** *Für den DMC mit  $R_0$  gilt: Es existiert immer ein  $(n, k)_q$ -Blockcode mit der Coderate  $R_b = k/n \cdot \log_2 q < R_0$ , so daß bei Maximum-Likelihood-Decodierung für die Wort-Fehlerwahrscheinlichkeit  $P_w$  gilt:*

$$P_w < 2^{-n(R_0 - R_b)}. \quad (2.3.2)$$

Ähnlich wie beim Kanalcodierungstheorem kann hierbei eine Coderate  $R_b$  erreicht werden, die beliebig dicht an  $R_0$  liegt.

Der direkte Beweis des  $R_0$ -Theorems ohne den Weg über Satz 2.2 ist relativ einfach und wird in Abschnitt 2.8 gegeben. Allerdings wird hier wie auch beim Kanalcodierungstheorem wieder das Random Coding Argument angewendet, so daß im Beweis keine Konstruktionsvorschrift für gute Codes abfällt.

Je näher also  $R_b$  an  $R_0$  heranrückt, desto größer muß die Blocklänge  $n$  gewählt werden, um noch die gleiche Fehlerrate zu garantieren. Zusammenfassung:

$0 < R_b < R_0$  : In diesem Bereich wird  $P_w$  explizit durch die Blocklänge  $n$  und die Differenz  $R_0 - R_b$  begrenzt. Die Grenze ist praktisch berechenbar.

$R_0 < R_b < C$  : Hier wird  $P_w$  theoretisch begrenzt durch die Blocklänge  $n$  und die Funktion  $E_r(R_b)$ . Die Grenze ist praktisch kaum berechenbar.

$C < R_b$  : In diesem Bereich kann  $P_w$  nicht beliebig klein werden, und eine untere Grenze kann berechnet werden.

Die obere Grenze für  $P_w$  gilt natürlich nur für einen optimal gewählten Code im Sinne des  $R_0$ -Theorems bzw. des Kanalcodierungstheorems. Für die praktisch angewendeten Codes (mit rechentechnisch günstiger Struktur) ist  $P_w$  eventuell wesentlich größer. Über Satz 2.3 hinaus erweist sich  $R_0$  auch bei der Beurteilung eines Modulationsverfahrens in Zusammenhang mit Kanalcodierung als sehr nützlich, während andere Kriterien ungeeignet sind:

- Die Kanalkapazität ist zur Beurteilung ungeeignet, weil das nur eine theoretische Grenze ist, die Codes mit sehr langer Blocklänge (und entsprechend langer Verzögerungszeit und entsprechend hoher Komplexität) erfordert.

- Die Fehlerwahrscheinlichkeit ist ebenfalls ungeeignet, weil mit der harten Quantisierung im Demodulator Informationen verloren gehen, die die Decodierung wesentlich verbessern können. Dieser Informationsverlust wird mit der Fehlerwahrscheinlichkeit nicht erfaßt.

Mit  $R_0$  können dagegen folgende Punkte geklärt werden: Die Fehlerwahrscheinlichkeit kann sowohl für optimal gewählte Codes ( $R_0$ -Theorem Satz 2.3) wie für konkret gegebene Codes (Union Bound Satz 3.16) abgeschätzt werden. Ferner können Trade-offs zwischen der Blocklänge, der Coderate, der Stufenzahl des Modulationsverfahrens, dem Signal/Rausch-Verhältnis und der Fehlerwahrscheinlichkeit berechnet werden. Schließlich lassen sich mit  $R_0$  auch die Gewinne durch Soft-Decision gegenüber Hard-Decision sowie die optimale Auslegung der Soft-Decision-Information bestimmen.

Es wird jetzt ein symmetrischer DMC mit binärem Input  $\mathcal{A}_{\text{in}} = \{0, 1\}$  vorausgesetzt. Dann gilt:

$$\begin{aligned}
R_0 &= -\log_2 \left[ \sum_{\eta \in \mathcal{A}_{\text{out}}} \left( \sum_{\xi \in \mathcal{A}_{\text{in}}} P_x(\xi) \sqrt{P_{y|x}(\eta|\xi)} \right)^2 \right] \\
&= -\log_2 \left[ \frac{1}{4} \sum_{\eta \in \mathcal{A}_{\text{out}}} \left( \sqrt{P_{y|x}(\eta|0)} + \sqrt{P_{y|x}(\eta|1)} \right)^2 \right] \\
&= -\log_2 \left[ \frac{1}{4} \sum_{\eta \in \mathcal{A}_{\text{out}}} P_{y|x}(\eta|0) + \frac{1}{4} \sum_{\eta \in \mathcal{A}_{\text{out}}} P_{y|x}(\eta|1) \right. \\
&\quad \left. + \frac{1}{2} \sum_{\eta \in \mathcal{A}_{\text{out}}} \sqrt{P_{y|x}(\eta|0)P_{y|x}(\eta|1)} \right] \\
&= 1 - \log_2 \left[ 1 + \sum_{\eta \in \mathcal{A}_{\text{out}}} \sqrt{P_{y|x}(\eta|0)P_{y|x}(\eta|1)} \right].
\end{aligned}$$

Dies gibt Anlaß zu folgender Definition:

**Definition 2.4.** Für den symmetrischen Kanal mit binärem Input  $\mathcal{A}_{\text{in}} = \{0, 1\}$  wird die Bhattacharyya-Schranke als

$$\gamma = \sum_{\eta \in \mathcal{A}_{\text{out}}} \sqrt{P_{y|x}(\eta|0)P_{y|x}(\eta|1)} \quad (2.3.3)$$

definiert. Für den Zusammenhang mit  $R_0$  gilt:

$$R_0 = 1 - \log_2(1 + \gamma) \quad , \quad \gamma = 2^{1-R_0} - 1. \quad (2.3.4)$$

Offensichtlich gilt  $\gamma \geq 0$  und mit der Schwarz'schen Ungleichung folgt:

$$\gamma^2 = \left( \sum_{\eta \in \mathcal{A}_{\text{out}}} \sqrt{P_{y|x}(\eta|0)P_{y|x}(\eta|1)} \right)^2$$

$$\leq \sum_{\eta \in \mathcal{A}_{\text{out}}} \sqrt{P_{y|x}(\eta|0)^2} \cdot \sum_{\eta \in \mathcal{A}_{\text{out}}} \sqrt{P_{y|x}(\eta|1)^2} = 1.$$

Somit resultiert  $0 \leq \gamma \leq 1$ . Daraus folgt wiederum  $0 \leq R_0 \leq 1$ . Im besten Fall gilt  $\gamma = 0, R_0 = 1$  und im schlechtesten Fall gilt  $\gamma = 1, R_0 = 0$ .

In Abschnitt 3.8 wird sich noch zeigen, daß die Fehlerwahrscheinlichkeit eines Blockcodes bestimmt wird durch eine Kombination aus Codeeigenschaften und Kanaleigenschaften. Die Kanaleigenschaften werden dabei durch  $\gamma$  charakterisiert. Deshalb ist  $\gamma$  die Grundlage zur Berechnung von  $P_w$ .

**Beispiel 2.4.** Berechnung von  $\gamma$  und  $R_0$  für BSC und AWGN:

(1) BSC: Direkt aus (2.3.3) folgt

$$\begin{aligned} \gamma &= \sqrt{P_{y|x}(0|0)P_{y|x}(0|1)} + \sqrt{P_{y|x}(1|0)P_{y|x}(1|1)} \\ &= \sqrt{(1-p_e)p_e} + \sqrt{p_e(1-p_e)} \\ &= \sqrt{4p_e(1-p_e)} \end{aligned} \quad (2.3.5)$$

und somit

$$R_0 = 1 - \log_2 \left( 1 + \sqrt{4p_e(1-p_e)} \right). \quad (2.3.6)$$

Dieses Ergebnis ist in Bild 2.1 zusammen mit der Kanalkapazität dargestellt.

(2) AWGN: Die Summation in (2.3.3) geht in eine Integration über:

$$\begin{aligned} \gamma &= \int_{-\infty}^{\infty} \sqrt{f_{y|x}(\eta|\sqrt{E_c})f_{y|x}(\eta|-\sqrt{E_c})} d\eta \\ &= \int_{-\infty}^{\infty} \sqrt{\frac{e^{-(\eta-\sqrt{E_c})^2/N_0}}{\sqrt{\pi N_0}} \cdot \frac{e^{-(\eta+\sqrt{E_c})^2/N_0}}{\sqrt{\pi N_0}}} d\eta \\ &= \frac{1}{\sqrt{\pi N_0}} \int_{-\infty}^{\infty} e^{-(\eta^2+E_c)/N_0} d\eta \\ &= e^{-E_c/N_0} \cdot \frac{1}{\sqrt{\pi N_0}} \int_{-\infty}^{\infty} e^{-\eta^2/N_0} d\eta \\ &= e^{-E_c/N_0}. \end{aligned} \quad (2.3.7)$$

Daraus folgt

$$R_0 = 1 - \log_2 \left( 1 + e^{-E_c/N_0} \right) \quad (2.3.8)$$

und dieses Ergebnis ist als  $R_{0,\text{soft}}$  in Bild 2.2 zusammen mit der Kanalkapazität dargestellt. Bei binärer Quantisierung am Ausgang des DMC ergibt sich ein BSC mit  $p_e = Q(\sqrt{2E_c/N_0})$  und der Kurve  $R_{0,\text{hard}}$ . Offensichtlich bedeutet Hard-Decision einen Verlust von rund 2 dB gegenüber Soft-Decision bei Bezug

auf  $R_0$ . Wenn also der Demodulator anstelle der kontinuierlichen Werte nur die Vorzeichen herausgibt, so muß dieser Informationsverlust durch Erhöhung der Sendeleistung um 2 dB kompensiert werden. Der Abstand von 3 dB beim asymptotischen Codierungsgewinn gemäß (1.7.13) stellt sich natürlich erst bei  $E_c/N_0 \rightarrow \infty$  und nur bezüglich  $P_w$  ein.

Weiter ist in Bild 2.2 auch das bei oktaler Quantisierung gemäß Bild 1.4 entstehende  $R_0$  angegeben. Es zeigt sich, daß bezüglich  $R_0$  die 3-Bit-Quantisierung nur einen sehr geringen Informationsverlust verursacht und praktisch so gut wie ideale Soft-Decision ist. ■

## 2.4 Codierungsgewinn beim AWGN mit binärem Input

Für den AWGN mit binärem Input ( $q = 2$ ) wurden  $C$  und  $R_0$  bereits in den Beispielen 2.2 und 2.4 berechnet und in Bild 2.2 dargestellt. Nachfolgend wird speziell die Situation bei  $R = R_0$  und  $R = C$  sowohl für Soft-Decision wie Hard-Decision betrachtet. Damit resultieren 4 Kurven mit  $E_b/N_0$  als Funktion von  $R$ , die in Bild 2.4 dargestellt sind. In allen Fällen gilt  $E_b/N_0 \rightarrow \infty$  für  $R \rightarrow 1$ . Interessant sind insbesondere die Grenzwerte für  $R \rightarrow 0$ . Für den Zusammenhang zwischen der Energie pro Codebit und der Energie pro Infobit gilt generell  $E_c = RE_b$  gemäß (1.7.3).

Zunächst wird  $R = R_0$  als *praktisch* maximal mögliche Coderate vorausgesetzt. Für Soft-Decision gilt nach (2.3.8)

$$R = R_0 = 1 - \log_2(1 + e^{-R \cdot E_b/N_0}). \quad (2.4.1)$$

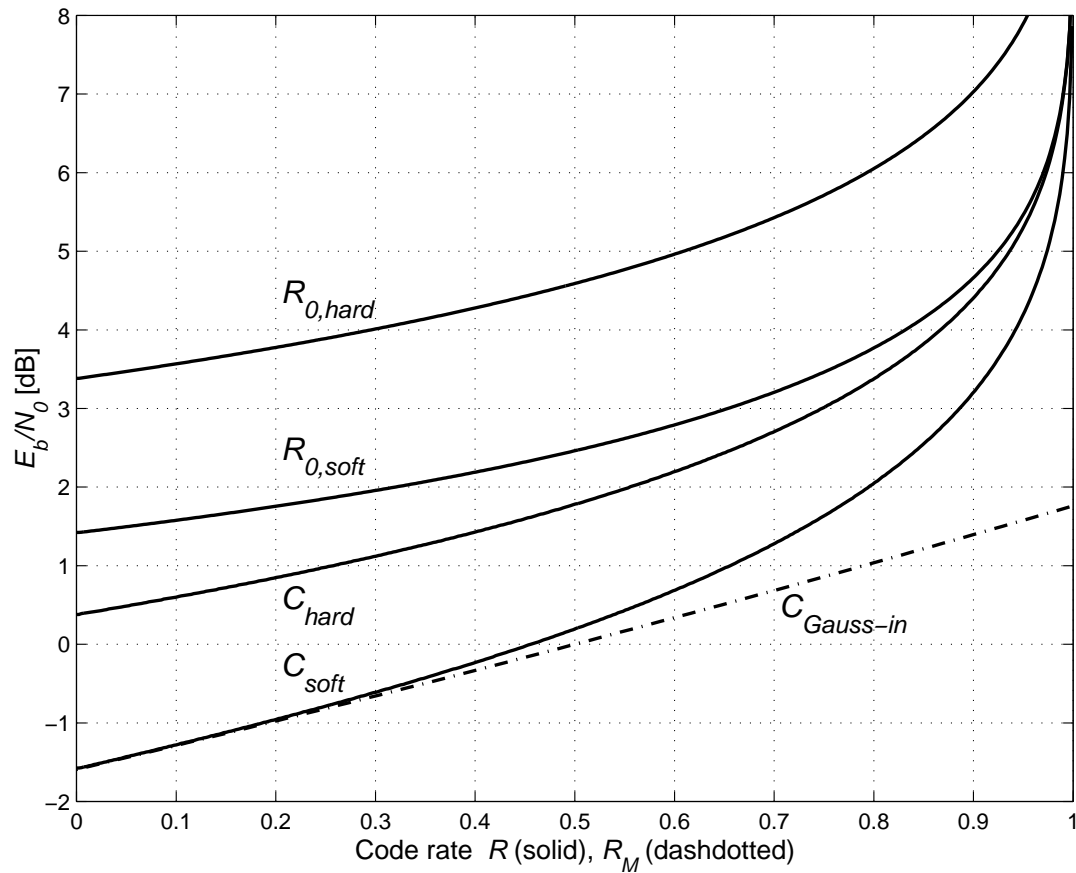
Durch diese Gleichung sind  $R$  und  $E_b/N_0$  gegenseitig bestimmt. Die Auflösung ergibt:

$$\frac{E_b}{N_0} = -\frac{\ln(2^{1-R} - 1)}{R}. \quad (2.4.2)$$

Die resultierende Kurve ist in Bild 2.4 als  $R_{0,\text{soft}}$  dargestellt. Für  $R \rightarrow 1$  folgt sofort  $E_b/N_0 \rightarrow \infty$ . Für  $R \rightarrow 0$  liefert (2.4.1) nur eine triviale Aussage. In (2.4.2) ist der Quotient vom Typ 0/0 und somit ist die l'Hospital'sche Regel (A.1.3) anwendbar:

$$\begin{aligned} \lim_{R \rightarrow 0} \frac{E_b}{N_0} &= \lim_{R \rightarrow 0} -\frac{\frac{1}{2^{1-R} - 1} \cdot 2^{1-R} \ln(2) \cdot (-1)}{1} \\ &= 2 \cdot \ln 2 \cong 1,42 \text{ dB} \quad (\text{Kurve } R_{0,\text{soft}}). \end{aligned} \quad (2.4.3)$$

Dieser Grenzwert kann auch aus Bild 2.4 abgelesen werden. Fazit: Für  $E_b/N_0$  kleiner als 1,42 dB ist keine Übertragung mit  $R = R_0$  möglich! Die Ursache kann wie folgt erklärt werden: Eine sehr kleine Coderate  $R$  bedeutet eine sehr große erforderliche Bandbreite (was nebenbei bemerkt praktisch sowieso unrealistisch



**Bild 2.4.** Notwendiges  $E_b/N_0$  für  $R = R_0$  bzw.  $R = C$  beim AWGN ( $q = 2$ )

ist) und damit eine sehr geringe Energie pro Codebit gegenüber der Rauschleistungsdichte. Damit wird jedes einzelne Codebit vom Rauschen weitgehend überdeckt und  $R_0$  fällt sehr klein aus. Ab einer gewissen Grenze wird dann  $R_0$  kleiner als  $R$ , so daß  $R = R_0$  nicht mehr erreichbar ist.

Die Kurve  $R_{0,hard}$  in Bild 2.4 entspricht Hard-Decision mit binärer Quantisierung und ergibt sich gemäß (2.3.6) durch

$$R = R_0 = 1 - \log_2 \left( 1 + \sqrt{4p_e(1-p_e)} \right) \quad \text{mit} \quad p_e = Q \left( \sqrt{\frac{2RE_b}{N_0}} \right). \quad (2.4.4)$$

Der Abstand zwischen Soft- und Hard-Decision bei  $R = R_0$  beträgt hier über den ganzen Bereich etwa 2 dB wie in Bild 2.2. Damit wird erneut die Bedeutung einer Soft-Decision Demodulation unterstrichen. Für  $R \rightarrow 0$  folgt aus (A.3.19) zunächst  $2p_e \approx 1 - \sqrt{4RE_b/(\pi N_0)}$  sowie  $2(1-p_e) \approx 1 + \sqrt{4RE_b/(\pi N_0)}$  und damit gilt

$$R = R_0 \approx 1 - \log_2 \left( 1 + \sqrt{\left( 1 - \sqrt{\frac{4RE_b}{\pi N_0}} \right) \left( 1 + \sqrt{\frac{4RE_b}{\pi N_0}} \right)} \right)$$

$$\begin{aligned}
&= 1 - \log_2 \left( 1 + \sqrt{1 - \frac{4RE_b}{\pi N_0}} \right) \\
&\approx 1 - \log_2 \left( 2 - \frac{2RE_b}{\pi N_0} \right) \quad \text{nach (A.1.8)} \\
&\approx \frac{R}{\pi \ln 2} \cdot \frac{E_b}{N_0} \quad \text{nach (A.1.6)}.
\end{aligned}$$

Somit folgt

$$\lim_{R \rightarrow 0} \frac{E_b}{N_0} = \pi \ln 2 \cong 3,38 \text{ dB} \quad (\text{Kurve } R_{0,\text{hard}}). \quad (2.4.5)$$

Als nächstes wird  $R = C$  als *theoretisch* maximal mögliche Coderate vorausgesetzt. Für Soft-Decision gilt (2.1.16) mit  $v = \sqrt{2RE_b/N_0}$ . Die resultierende Kurve wird in Bild 2.4 als  $C_{\text{soft}}$  bezeichnet. Die Berechnung des Grenzwertes für  $R \rightarrow 0$  ist ziemlich aufwendig, da die Verwendung linearer Approximationen zu ungenau ist. (2.1.16) wird zunächst als  $C = \int f(\alpha, v) d\alpha$  geschrieben. Für  $R = C \rightarrow 0$  folgt:

$$\begin{aligned}
1 &= \lim_{R \rightarrow 0} \frac{1}{R} \int_{-\infty}^{\infty} f(\alpha, v) d\alpha \\
&= \lim_{R \rightarrow 0} \frac{d}{dR} \int_{-\infty}^{\infty} f(\alpha, v) d\alpha \quad \text{mit (A.1.3)} \\
&= \lim_{v \rightarrow 0} \frac{E_b}{N_0} \cdot \int_{-\infty}^{\infty} \frac{d}{dv} f(\alpha, v) d\alpha \quad \text{wegen } \frac{dv}{dR} = \frac{E_b}{N_0} \frac{1}{v}.
\end{aligned}$$

Mit einer längeren Rechnung ergibt sich hieraus die sogenannte *Shannon-Grenze*

$$\lim_{R \rightarrow 0} \frac{E_b}{N_0} = \ln 2 \cong -1,59 \text{ dB} \quad (\text{Kurve } C_{\text{soft}}), \quad (2.4.6)$$

d.h. für  $E_b/N_0$  kleiner als  $-1,59$  dB ist prinzipiell keine Übertragung mit  $R = C$  möglich – und auch das nur mit einer gegen Null gehenden Coderate.

Die Kurve  $C_{\text{hard}}$  in Bild 2.4 entspricht Hard-Decision mit binärer Quantisierung und ergibt sich gemäß (2.1.14) durch

$$R = C = 1 - H_2(p_e) \quad \text{mit} \quad p_e = Q \left( \sqrt{\frac{2RE_b}{N_0}} \right). \quad (2.4.7)$$

Für den Grenzwert bei  $R \rightarrow 0$  gilt:

$$R = C = 1 - H_2 \left( Q \left( \sqrt{2R \frac{E_b}{N_0}} \right) \right)$$

$$\begin{aligned} &\approx 1 - H_2 \left( \frac{1}{2} - \sqrt{\frac{RE_b}{\pi N_0}} \right) \quad \text{nach (A.3.19)} \\ &\approx \frac{2}{\ln 2} \cdot \frac{RE_b}{\pi N_0} \quad \text{nach (A.2.5)}. \end{aligned}$$

Somit folgt

$$\lim_{R \rightarrow 0} \frac{E_b}{N_0} = \frac{\pi \ln 2}{2} \approx 1,09 \cong 0,37 \text{ dB} \quad (\text{Kurve } C_{\text{hard}}). \quad (2.4.8)$$

Der Abstand zwischen  $C_{\text{soft}}$  und  $C_{\text{hard}}$  ist nicht näherungsweise konstant wie bei den entsprechenden  $R_0$ -Kurven, sondern sinkt von etwa 2 dB bei  $R = 0$  auf etwa 1 dB bei  $R = 1$ . Für  $R \rightarrow 1$  laufen die Kurven  $C_{\text{hard}}$  und  $R_{0,\text{soft}}$  zusammen.

Die wichtigste Folgerung aus Bild 2.4 ist jedoch: Es ist praktisch wenig sinnvoll, Coderaten kleiner als  $1/2$  zu verwenden, da der Gewinn beim Übergang von  $R = 1/2$  auf  $R \rightarrow 0$  maximal nur rund 1 dB bezüglich  $R_0$  beträgt! Es sei aber daran erinnert, daß diese Überlegungen auf der Vorstellung einer begrenzten Leistung und einer unbegrenzten Bandbreite basieren.

**Beispiel 2.5.** Ohne Codierung ist für eine Bit-Fehlerwahrscheinlichkeit  $P_b = 10^{-5}$  ein Kanal mit  $E_b/N_0 = 9,59$  dB erforderlich (Tabelle 1.1). Wenn nun ein Code der Rate  $1/2$  verwendet wird, kann bei  $R = R_0$  eine beliebig kleine Fehlerrate schon bei 2,45 dB erreicht werden (und bei  $R \rightarrow C$  können sogar etwa weitere 2 dB eingespart werden). Somit resultiert ein Codierungsgewinn von 7,14 dB. Mit einer kleineren Coderate  $R$  oder einer kleineren Fehlerrate  $P_b$  kann der Codierungsgewinn noch vergrößert werden. Jedoch sind diese Codierungsgewinne in der Praxis nur durch entsprechend aufwendige Codes zu erreichen. ■

## 2.5 $C$ und $R_0$ beim AWGN mit nicht-binärem Input

Der AWGN wurde bisher nur mit binärem Input  $\mathcal{A}_{\text{in}} = \{+\sqrt{E_c}, -\sqrt{E_c}\}$  betrachtet. Damit wurde das Modulationssystem direkt vorgegeben, d.h. es wurde eine sehr primitive Modulation mit nur zwei verschiedenen Signalen vorausgesetzt. Von dieser Einschränkung wird jetzt abgesehen, um den physikalischen Kanal bestmöglich ausnutzen zu können. Deshalb werden für das Eingangsalphabet zunächst alle reellen Zahlen zugelassen:  $\mathcal{A}_{\text{in}} = \mathbb{R}$ . Ziel ist also die gemeinsame Optimierung von Codierung und Modulation, d.h. des gesamten Senders bzw. Empfängers in Bild 1.1.

Es wird weiterhin der zeitdiskrete AWGN wie in Definition 1.3 vorausgesetzt, aber jetzt mit einem wertkontinuierlichen Input  $x$ . Der Output  $y = x + \nu$  ist natürlich schon allein wegen des wertkontinuierlichen Rauschens  $\nu$  auch wertkontinuierlich. Beim Übergang vom wertdiskreten System zum wertkontinuierlichen

System ist die Kanalkapazität weiterhin als

$$C = \max_{P_x} \left( H(y) - H(y|x) \right) \quad (2.5.1)$$

definiert, wobei die sogenannte *differentielle Entropie* einer wertkontinuierlichen Zufallsgröße  $y$  mit der Verteilungsdichtefunktion  $f_y$  als

$$H(y) = - \int_{-\infty}^{\infty} f_y(\eta) \cdot \log_2 f_y(\eta) d\eta \quad (2.5.2)$$

definiert ist.  $H(y)$  kann jedoch nicht wie im wertdiskreten Fall interpretiert werden, denn eine wertkontinuierliche Zufallsgröße nimmt unendlich viele Werte an und hat damit eventuell eine unendliche Entropie.  $H(y)$  kann sogar auch negative Werte annehmen. Dennoch kann  $C$  wie in (2.5.1) sinnvoll definiert werden (siehe [14] für eine detaillierte Diskussion). Es wird hier nicht bewiesen, daß das Maximum der Kanalkapazität durch einen normalverteilten Input  $x$  erreicht wird. (Erinnerung: Beim  $q$ -stufigen wertdiskreten Input wurde eine gleichmäßige Verteilung vorausgesetzt.)

Als Folge eines normalverteilten Inputs  $x$  und eines normalverteilten Rauschens  $\nu$  ist der Output  $y = x + \nu$  ebenfalls normalverteilt, womit eine analytisch geschlossene Berechnung von  $C$  möglich wird. Die Erwartungswerte von  $x$ ,  $\nu$  und  $y$  sind jeweils Null.

Mit  $E_{cs} = E(x^2) = \sigma_x^2$  wird die *Energie pro Codesymbol* bezeichnet. Die Varianz von  $y = x + \nu$  ergibt sich als

$$\sigma_y^2 = E(y^2) = E(x^2) + E(\nu^2) = E_{cs} + N_0/2.$$

Für die Entropie von  $y$  folgt dann:

$$\begin{aligned} H(y) &= - \int_{-\infty}^{\infty} \frac{1}{\sqrt{2\pi\sigma_y^2}} \exp\left(-\frac{\eta^2}{2\sigma_y^2}\right) \cdot \log_2 \left( \frac{1}{\sqrt{2\pi\sigma_y^2}} \exp\left(-\frac{\eta^2}{2\sigma_y^2}\right) \right) d\eta \\ &= - \log_2 \left( \frac{1}{\sqrt{2\pi\sigma_y^2}} \right) \cdot \int_{-\infty}^{\infty} \frac{1}{\sqrt{2\pi\sigma_y^2}} \exp\left(-\frac{\eta^2}{2\sigma_y^2}\right) d\eta \\ &\quad - \log_2(e) \cdot \left(-\frac{1}{2\sigma_y^2}\right) \cdot \int_{-\infty}^{\infty} \frac{\eta^2}{\sqrt{2\pi\sigma_y^2}} \exp\left(-\frac{\eta^2}{2\sigma_y^2}\right) d\eta. \end{aligned}$$

Das erste Teilintegral erstreckt sich über die Verteilungsdichtefunktion und liefert den Wert 1. Das zweite Teilintegral liefert die Varianz  $\sigma_y^2$  und somit folgt:

$$H(y) = - \log_2 \left( \frac{1}{\sqrt{2\pi\sigma_y^2}} \right) + \frac{1}{2} \log_2(e) = \frac{1}{2} \log_2(2\pi e \sigma_y^2).$$

Entsprechend folgt

$$H(y|x) = \frac{1}{2} \log_2 \left( 2\pi e \frac{N_0}{2} \right)$$

und daraus ergibt sich die Kanalkapazität als Differenz  $H(y) - H(y|x)$ :

**Satz 2.4.** Für den zeitdiskreten AWGN mit wertkontinuierlichem Input ergibt sich die Kanalkapazität als

$$\begin{aligned} C &= \frac{1}{2} \cdot \log_2 \left( 1 + \frac{2E_{cs}}{N_0} \right) && \text{Einheit: Infobit/Kanalben.} \\ &= \frac{1}{2} \cdot \log_2 \left( 1 + \frac{E(x^2)}{E(\nu^2)} \right). \end{aligned} \quad (2.5.3)$$

Wie in Abschnitt 2.4 wird auch hier die Situation bei  $R_b = C$  als theoretisch maximal mögliche Coderate betrachtet. Statt  $E_c = RE_b$  gilt hier  $E_{cs} = R_b \cdot E_b$ . Aus (2.5.3) folgt

$$R_b = \frac{1}{2} \log_2 \left( 1 + 2R_b \frac{E_b}{N_0} \right) \quad \text{bzw.} \quad \frac{E_b}{N_0} = \frac{2^{2R_b} - 1}{2R_b}. \quad (2.5.4)$$

Für  $R_b = 1$  folgt  $E_b/N_0 = 1,76$  dB und für größeres  $R_b$  muß auch  $E_b/N_0$  größer werden. Für  $R_b \rightarrow 0$  ergibt sich mit (A.1.3):

$$\lim_{R_b \rightarrow 0} \frac{E_b}{N_0} = \lim_{R_b \rightarrow 0} \frac{2^{2R_b} \cdot \ln(2) \cdot 2}{2} = \ln 2 \cong -1,59 \text{ dB}. \quad (2.5.5)$$

Auch für wertkontinuierlichen Input ergibt sich also wieder die *Shannon-Grenze* wie beim binären Input, und die Erklärung für die Existenz einer derartigen Grenze ist ähnlich wie bei den Kurven in Bild 2.4.

**Beispiel 2.6.** Bei  $E_{cs}/N_0 = -5$  dB beträgt nach Satz 2.4 die Kanalkapazität  $C = \frac{1}{2} \log_2(1 + 2 \cdot 0,316) \approx 0,35$  Infobit/Kanalbenutzung. Durch Codierung mit  $R_b = 0,3$  Infobit/Kanalbenutzung kann eine nahezu fehlerfreie Übertragung erreicht werden. Jedoch gilt dann  $E_b/N_0 = E_{cs}/N_0/R_b = 0,316/0,3 \cong 0,2$  dB und dieser Wert liegt oberhalb der Shannon-Grenze. Für  $E_b/N_0 < -1,59$  dB gibt es kein  $R_b$  mehr, so daß zu  $E_{cs}/N_0 = R_b E_b/N_0$  ein Kanal entsteht, für dessen Kapazität  $C$  dann  $C > R_b$  gilt. ■

Beim Übergang vom 1-dimensionalen zum 2-dimensionalen AWGN verdoppeln sich sowohl die Rauschleistung wie die Kapazität. Satz 2.4 für den 1-dimensionalen Fall ergibt also folgende Kapazität für den 2-dimensionalen Fall:

$$C_{2\text{-Dim}} \left( \frac{E_{cs}}{N_0} \right) = 2 \cdot C_{1\text{-Dim}} \left( \frac{E_{cs}}{2N_0} \right) = \log_2 \left( 1 + \frac{E_{cs}}{N_0} \right). \quad (2.5.6)$$

Unter praktischen Gesichtspunkten ist ein normalverteilter Input natürlich unrealistisch – das würde u.a. auch unbegrenzte Spitzenwerte erfordern. Nachfolgend wird deshalb der AWGN mit  $q$ -stufigem Input betrachtet, wobei die  $q$  Amplitudenwerte  $\xi_r \in \mathcal{A}_{\text{in}}$  äquidistant sind und mit gleicher Apriori-Wahrscheinlichkeit  $P_x(\xi_r) = 1/q$  auftreten, d.h. als Modulationssystem wird  $q$ -ASK (Amplitude Shift Keying) vorausgesetzt. Auch ohne Optimierung der Quellenstatistik  $P_x$  gemäß Definition 2.2 wird die Transinformation bei gleichmäßiger Quellenstatistik hier dennoch als Kanalkapazität bezeichnet. Für geradzahliges  $q$  wird

$$\mathcal{A}_{\text{in}} = \left\{ \underbrace{r \sqrt{\frac{3}{q^2 - 1}} E_{cs}}_{= \xi_r} \mid r = \pm 1, \pm 3, \pm 5, \dots, \pm(q-1) \right\} \quad (2.5.7)$$

angesetzt, denn für die Energie pro Codesymbol gilt:

$$E(x^2) = \frac{1}{q} \sum_r \xi_r^2 = E_{cs}. \quad (2.5.8)$$

Für die Kanalkapazität bei  $q$ -ASK folgt nach (2.1.6)

$$\begin{aligned} C_{q\text{-ASK}} &= \sum_r \int_{-\infty}^{\infty} \frac{1}{q} f_{y|x}(\eta|\xi_r) \log_2 \frac{f_{y|x}(\eta|\xi_r)}{\frac{1}{q} \sum_s f_{y|x}(\eta|\xi_s)} d\eta \\ &= \log_2 q - \frac{1}{q\sqrt{\pi N_0}} \sum_r \int_{-\infty}^{\infty} e^{-(\eta-\xi_r)^2/N_0} \log_2 \left( \sum_s e^{-(\eta-\xi_s)^2/N_0 + (\eta-\xi_r)^2/N_0} \right) d\eta. \end{aligned}$$

Mit  $u = \eta\sqrt{2/N_0}$  und  $a_r = \xi_r\sqrt{2/N_0}$  folgt daraus

$$\begin{aligned} C_{q\text{-ASK}} &= \log_2 q - \frac{1}{q\sqrt{2\pi}} \sum_r \int_{-\infty}^{\infty} e^{-(u-a_r)^2/2} \log_2 \left( \sum_s e^{-(u-a_s)^2/2 + (u-a_r)^2/2} \right) du \\ &= \log_2 q - \frac{1}{q\sqrt{2\pi}} \sum_r \int_{-\infty}^{\infty} e^{-u^2/2} \log_2 \left( \sum_s e^{-(a_r-a_s)^2/2 - u(a_r-a_s)} \right) du. \end{aligned} \quad (2.5.9)$$

Die resultierenden Kurven sind in Bild 2.5 dargestellt. Die Kurve für 2-ASK entspricht der Kurve  $C_{\text{soft}}$  in Bild 2.2 und der Formel (2.1.16). Die Kurve  $C_{\text{Gauß-In}}$  wird gemäß Satz 2.4 gewonnen. Offensichtlich gilt

$$C_{q\text{-ASK}} \approx \left\{ \begin{array}{ll} \log_2 q & E_{cs}/N_0 \text{ groß} \\ C_{\text{Gauß-In}} & E_{cs}/N_0 \text{ klein} \end{array} \right\}. \quad (2.5.10)$$

Die markierten Punkte in Bild 2.5 beziehen sich jeweils auf uncodierte Übertragung bei einer Symbol-Fehlerwahrscheinlichkeit  $P_b = 10^{-5}$  (siehe beispielsweise

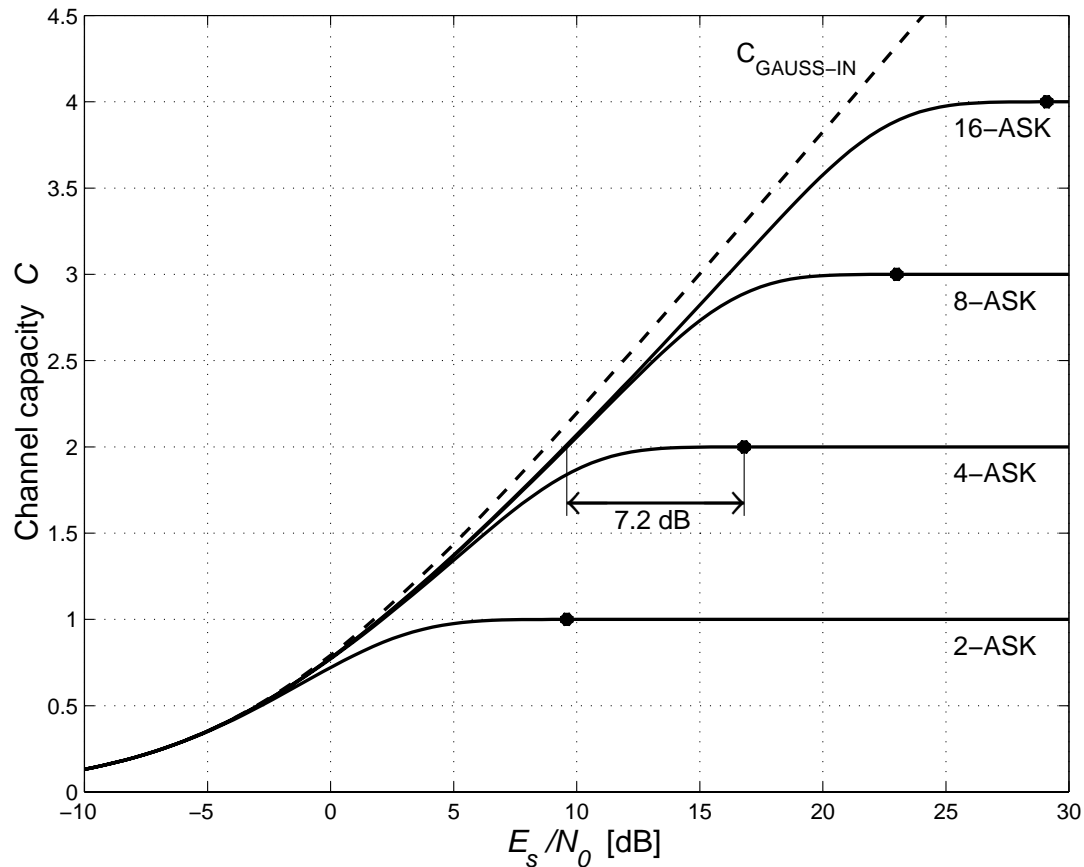
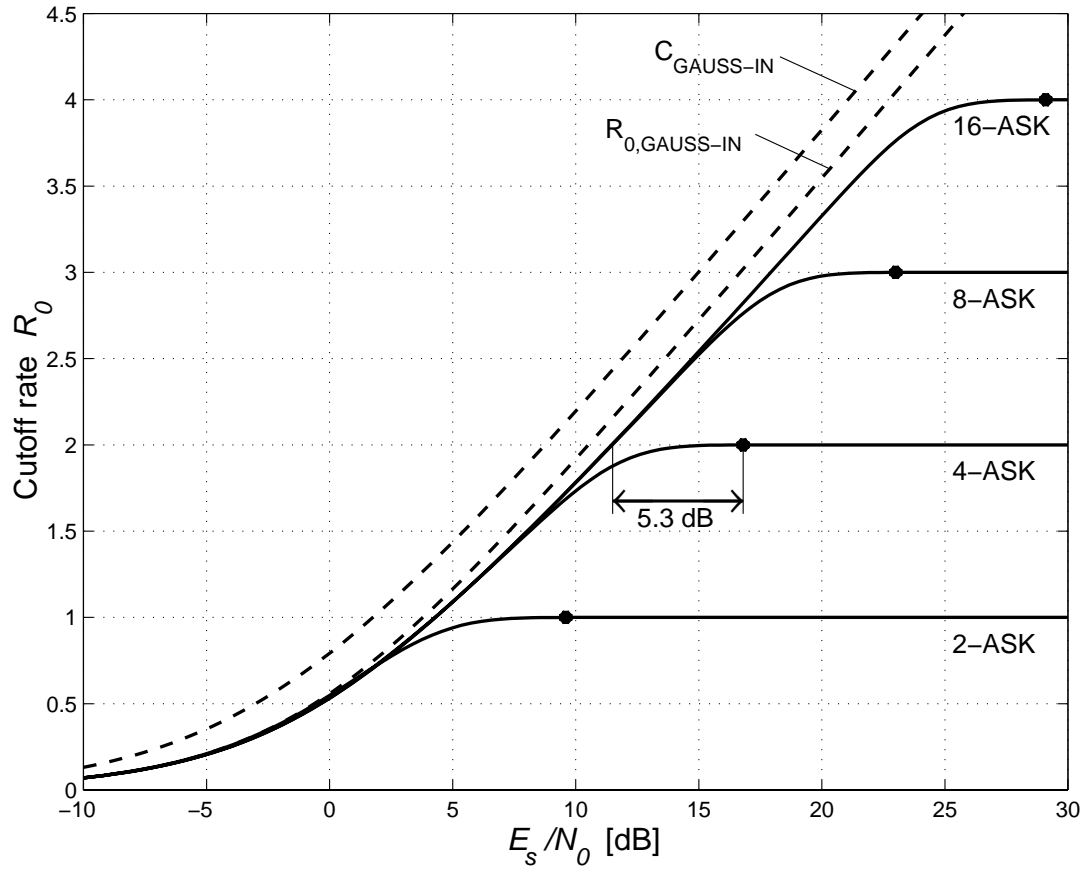


Bild 2.5. Kanalkapazität für ASK beim AWGN

[57, 58] für die Berechnung von  $P_b$ ). Für 4-ASK und  $E_{cs}/N_0 = 16,8$  dB gilt  $P_b = 10^{-5}$  für uncodierte Übertragung und  $C_{4\text{-ASK}} = 2$ . Durch Codierung könnte somit bei einer Coderate von  $R_b = 2$  Infobit/Codesymbol eine beliebig kleine Fehlerwahrscheinlichkeit zumindest theoretisch erreicht werden.

Wenn das Modulationsverfahren von 4-ASK in 8-ASK geändert wird, so gilt  $C_{8\text{-ASK}} = 2$  Infobit/Codesymbol schon bei  $E_{cs}/N_0 = 9,6$  dB, d.h. es ergibt sich der in Bild 2.5 markierte Codierungsgewinn von 7,2 dB. Aber schon bei einem Codierungsgewinn von nur 4 dB, also bei  $E_{cs}/N_0 = 12,8$  dB, ist  $C_{8\text{-ASK}} = 2,455$  deutlich größer als  $R_b = 2$ , so daß hier eine sehr kleine Fehlerwahrscheinlichkeit durch Codierung auch praktisch erreichbar ist. Wenn sogar 16-ASK verwendet wird, so gilt  $C_{16\text{-ASK}} = 2$  bei  $E_{cs}/N_0 = 9,5$  dB gegenüber  $C_{8\text{-ASK}} = 2$  bei  $E_{cs}/N_0 = 9,6$  dB, d.h. der Codierungsgewinn erhöht sich beim Übergang von 8-ASK zu 16-ASK nur um 0,1 dB.

Somit erweist sich eine Verdopplung des Alphabetes als vollkommen ausreichend. Diese Erkenntnis bildet die Grundlage für die in Kapitel 10 eingeführte trelliscodierte Modulation, bei der die Codierung in Bezug auf ein höherstufiges Modulationsverfahren entworfen wird. Selbst wenn anstelle der Alphabetsverdopplung ein wertkontinuierlicher normalverteilter Input zugelassen wird, so

Bild 2.6.  $R_0$  für ASK beim AWGN

bringt das nach Bild 2.5 nur einen zusätzlichen Gewinn von weniger als 1 dB. Für  $R_b = 2$  und 8-ASK beträgt die Coderate nach (1.4.3)

$$R = \frac{R_b}{\log_2 q} = \frac{2}{3} \left[ \frac{\text{Infosymbol}}{\text{Codesymbol}} = \frac{\text{Infobit}}{\text{Codebit}} = \frac{\text{Infobit/Codesymbol}}{\text{Codebit/Codesymbol}} \right].$$

Den  $C$ -Kurven aus Bild 2.5 werden in Bild 2.6 die entsprechenden  $R_0$ -Kurven gegenübergestellt. Nach [25, 57, 118] gilt mit der Abkürzung  $v = E_{cs}/N_0$

$$R_{0,\text{Gauß-In}} = \frac{1 + v - \sqrt{1 + v^2}}{2 \ln 2} + \frac{\log_2 (1 + \sqrt{1 + v^2}) - 1}{2} \quad (2.5.11)$$

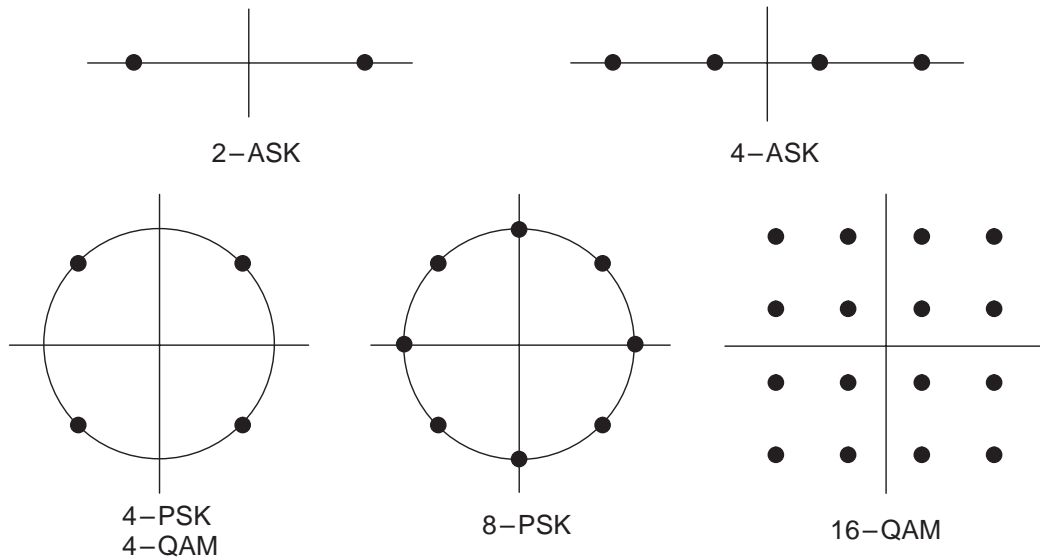
für den Grenzfall des wertkontinuierlichen normalverteilten Inputs. Für  $q$ -stufige ASK gilt nach (2.3.1):

$$\begin{aligned} R_{0,q\text{-ASK}} &= -\log_2 \int_{-\infty}^{\infty} \left( \sum_r \frac{1}{q} \sqrt{\frac{1}{\sqrt{\pi N_0}}} e^{-(\eta - \xi_r)^2 / N_0} \right)^2 d\eta \\ &= -\log_2 \frac{1}{q^2 \sqrt{\pi N_0}} \int_{-\infty}^{\infty} \sum_{r,s} e^{-(\eta - \xi_r)^2 / 2N_0 - (\eta - \xi_s)^2 / 2N_0} d\eta \end{aligned}$$

$$\begin{aligned}
&= -\log_2 \frac{1}{q^2 \sqrt{\pi N_0}} \int_{-\infty}^{\infty} \sum_{r,s} e^{-(\eta - (\xi_r + \xi_s)/2)^2 / N_0} e^{-(\xi_r - \xi_s)^2 / 4N_0} d\eta \\
&= -\log_2 \frac{1}{q^2} \sum_{r,s} \exp\left(- (r-s)^2 \frac{3}{4(q^2-1)} \frac{E_{cs}}{N_0}\right) \quad (2.5.12) \\
&= -\log_2 \frac{1}{q^2} \left( q + 2 \sum_{i=1}^{q-1} (q-i) \exp\left(-i^2 \frac{3}{q^2-1} \frac{E_{cs}}{N_0}\right) \right).
\end{aligned}$$

Die  $R_0$ -Kurven aus Bild 2.6 zeigen das gleiche Verhalten wie die  $C$ -Kurven aus Bild 2.5 – lediglich mit einer Verschiebung von 1,5 bis 2 dB. Entsprechend geringer sind auch die Codierungsgewinne. Aber auch hier erweist sich eine Verdopplung von  $q$  als ausreichend. Die Kurve  $R_{0,2-ASK}$  entspricht der Kurve  $R_{0,soft}$  aus Bild 2.2.

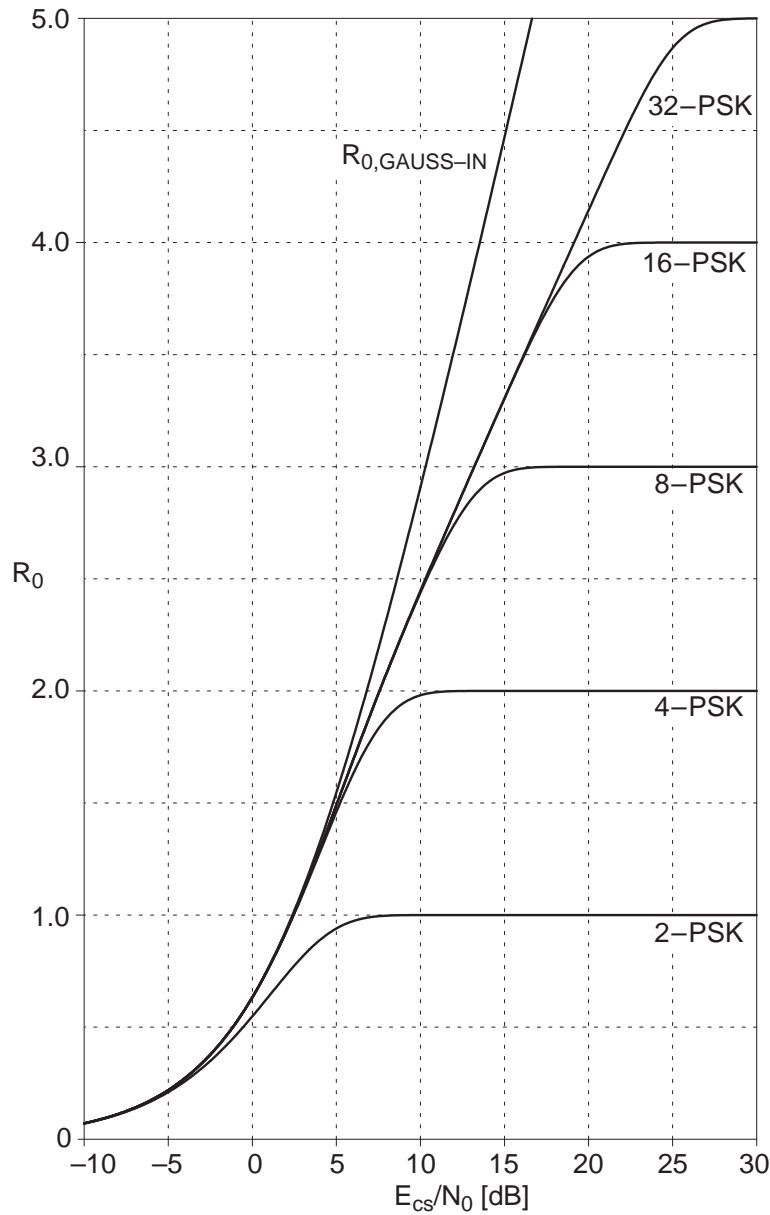
Bild 2.7 zeigt einige 1- und 2-dimensionale Signalkonstellationen, die auf gleiches  $E_{cs} = E(x^2)$  normiert sind: ASK (Amplitude Shift Keying), PSK (Phase Shift Keying), QAM (Quadrature Amplitude Modulation). Eine 32-QAM Signalkonstellation enthält Bild 10.11. Für Einzelheiten zu den Modulationsverfahren wird auf [4, 31, 57, 58, 64, 80] verwiesen. Auf den PSK- und QAM-Konstellationen basiert die in Kapitel 10 behandelte trelliscodierten Modulation.



**Bild 2.7.** Einige 1- und 2-dimensionale Signalkonstellationen

In Bild 2.8 ist  $R_0$  für PSK als ein 2-dimensionales Modulationsverfahren angegeben. Für PSK mit

$$\mathcal{A}_{in} = \left\{ e^{j2\pi r/q} \sqrt{E_{cs}} \mid r = 0, 1, 2, \dots, q-1 \right\} \quad (2.5.13)$$



**Bild 2.8.**  $R_0$  für PSK beim AWGN

gilt nach [118]:

$$\begin{aligned}
 R_{0,q-PSK} &= \log_2 q - \log_2 \left( 1 + \sum_{i=1}^{q-1} \exp \left( -\frac{E_{cs}}{2N_0} (1 - \cos(2\pi i/q)) \right) \right) \\
 &= -\log_2 \frac{1}{q} \sum_{i=0}^{q-1} \exp \left( -\frac{E_{cs}}{N_0} \sin^2(\pi i/q) \right). \quad (2.5.14)
 \end{aligned}$$

$R_{0,Gau\beta-In}$  für den 2-dimensionalen Fall ergibt sich aus dem 1-dimensionalen Fall (2.5.12) in ähnlicher Weise wie bei der Beziehung (2.5.6) für die Kapazitäten.

Die starke Abweichung von  $R_{0,q\text{-PSK}}$  zu  $R_{0,\text{Gau\ss-In}}$  in Bild 2.8 und gleichermaßen auch bei den entsprechenden Kapazitätskurven erklärt sich durch die Signalkonstellation bei PSK, die mit einer 2-dimensionalen Normalverteilung keinerlei Ähnlichkeit hat. Davon abgesehen entspricht das prinzipielle Verhalten von PSK jedoch der ASK, d.h. auch hier ist eine Verdopplung von  $q$  für ein praktikables Codierungsverfahren ausreichend.

QAM verhält sich wie ASK sowohl bezüglich  $C$  wie  $R_0$ . Da die Signalpunkte bei QAM und ASK gleichmäßig verteilt sind, fällt die Abweichung zum wertkontinuierlichen normalverteilten Input wesentlich kleiner als bei PSK aus. Kurven für  $C_{\text{QAM}}$ ,  $R_{0,\text{QAM}}$  und  $C_{\text{PSK}}$  finden sich beispielsweise in [14, 108, 118, 138].

## 2.6 Kanalkapazität beim AWGN mit Bandbegrenzung

Bisher wurde nur die Sendeleistung als begrenzt angesehen. Die Coderaten unterlagen dabei keinen Einschränkungen, d.h. der AWGN wurde als beliebig oft benutzbar und somit von unbegrenzter Bandbreite angenommen. Dagegen ist bei vielen Anwendungen eine möglichst effiziente Nutzung des Spektrums gefordert. Deshalb wird jetzt ein zeitkontinuierlicher AWGN mit der Bandbreite  $W$  (von  $-W$  bis  $+W$ ) sowie ein wertkontinuierlicher Input vorausgesetzt.

Zusammenfassung wichtiger Größen mit ihren Einheiten (die Größen in Klammern beziehen sich auf den zeitdiskreten Kanal und sind hier nur zur Übersicht mit angegeben):

$R = k/n$	: (Coderate)	[Infosymbol/Kanalbenutzung]
$R_b$	: (Coderate)	[Infobit/Kanalbenutzung]
$r_b$	: Infobitrate	[Infobit/s]
$r_c = r_b/R$	: Codebitrate	[Codebit/s]
$W$	: Bandbreite	[Hz]
$N_0$	: eins. Rauschleist.dichte	[Watt/Hz=Joule]
$N = N_0W$	: Rauschleistung	[Watt]
$S$	: Signalleistung	[Watt]
$E_b = S/r_b$	: (Energie pro Infobit)	[Watt·s=Joule]
$E_c = RE_b$	: (Energie pro Codebit)	[Joule]
$E_{cs} = R_bE_b$	: Energie pro Codesymbol	[Joule]
$C$	: (Kanalkapazität)	[Infobit/Kanalbenutzung]
$C^*$	: Kanalkapazität	[Infobit/s]
$C^*/W$	: Spektrale Bitrate	[Infobit/s/Hz=Infobit]

Für den zeitkontinuierlichen AWGN wird in Satz 2.4 jetzt  $E(x^2) = E_{cs}$  durch  $S$  und  $E(\nu^2) = N_0/2$  durch  $N$  ersetzt. Also sind

$$C = \frac{1}{2} \cdot \log_2 \left( 1 + \frac{S}{N} \right) \quad (2.6.1)$$

Infobit pro Kanalbenutzung übertragbar. Nach dem *Shannon'schen Abtasttheorem* sind bei einer Bandbreite  $W$  maximal  $2W$  Kanalbenutzungen pro Sekunde

möglich (*Nyquist-Rate*), d.h. es sind also  $C^* = C \cdot 2W$  Infobit pro Sekunde übertragbar:

**Satz 2.5 (Shannon-Hartley).** *Für den bandbegrenzten AWGN mit wertkontinuierlichem Input ergibt sich die Kanalkapazität als*

$$\begin{aligned} C^* &= W \cdot \log_2 \left( 1 + \frac{S}{N} \right) && \text{Einheit: Infobit/s} \\ &= W \cdot \log_2 \left( 1 + \frac{E_b}{N_0} \cdot \frac{r_b}{W} \right). \end{aligned} \quad (2.6.2)$$

Bei  $r_b < C^*$  ist mit entsprechendem Aufwand eine nahezu fehlerfreie Übertragung möglich.  $S/N$  und  $W$  setzen eine prinzipielle Grenze für den Durchsatz, aber nicht für die Übertragungsqualität.

Bemerkenswert ist hier, daß mit Kanalbandbreite, *Signal/Rausch-Abstand* (SNR, Signal-to-Noise Ratio) und Durchsatz die drei Schlüsselparameter einer Übertragung in einer einzigen Formel zusammengefaßt werden können.

Offensichtlich ist ein Austausch zwischen der Bandbreite und dem Signal/Rausch-Abstand möglich: Ein kleines  $S/N$  kann durch ein größeres  $W$  kompensiert werden. Dies gilt jedoch nur innerhalb gewisser Grenzen – insbesondere kann  $E_b/N_0 \rightarrow 0$  nicht durch  $W \rightarrow \infty$  ausgeglichen werden, wie sich schnell zeigt:

$$\begin{aligned} \lim_{W \rightarrow \infty} C^* &= \lim_{W \rightarrow \infty} W \cdot \log_2 \left( 1 + \frac{S}{N_0 \cdot W} \right) \\ &= \lim_{W \rightarrow \infty} \log_2 \left( \left( 1 + \frac{S}{N_0 \cdot W} \right)^W \right) = \log_2 \exp \left( \frac{S}{N_0} \right) \\ &= \frac{1}{\ln 2} \cdot \frac{S}{N_0} = 1,44 \cdot \frac{r_b \cdot E_b}{N_0}. \end{aligned} \quad (2.6.3)$$

Wegen  $r_b < C^*$  folgt hieraus erneut die *Shannon-Grenze* für  $E_b/N_0$ , die für eine zuverlässige Übertragung nicht unterschritten werden kann:

$$\frac{E_b}{N_0} > \ln 2 \cong -1,59 \text{ dB}. \quad (2.6.4)$$

Erneut wird darauf hingewiesen, daß dies nur ein theoretischer Grenzwert ist, der praktisch nicht erreichbar ist, da (1) die Coderate gegen Null bzw. die Bandbreite gegen Unendlich gehen muß, (2) der Input des Kanals wertkontinuierlich normalverteilt sein muß und (3) die Blocklänge und die Komplexität des Codes gegen unendlich gehen muß.

Eine untere Grenze für  $S/N$  gibt es natürlich nicht. Für  $W \rightarrow 0$  rechnet man einfach  $C^* \rightarrow 0$  nach, d.h. ohne Bandbreite ist trivialerweise keine Übertragung möglich. Zwar ist ein rauschfreier Kanal physikalisch unmöglich, aber mathematisch ergibt sich bei  $N_0 = 0$  die Kanalkapazität als unendlich.

**Beispiel 2.7.** Beim klassischen analogen Telefonkanal über Wählleitungen beträgt die Bandbreite typischerweise  $W = 3000$  Hz und der Signal/Rausch-Abstand  $S/N = 30$  dB. Daraus ergibt sich die Kapazität

$$C^* = 3000 \cdot \log_2(1 + 1000) = 29,901 \text{ kBit/s.}$$

Unter anderen Randbedingungen kann die Kanalkapazität auch größer oder kleiner ausfallen. Der Telefonkanal ist allerdings kein reiner AWGN-Kanal, da neben dem Rauschen auch andere Degradationen zu berücksichtigen sind. Seit 1994 sind Modems bis zu 28,8 kBit/s nach dem Standard V.34 im Markt eingeführt. Eine Übersicht zur Technik der Modems wird in Abschnitt 12.2 gegeben. ■

**Definition 2.5.** Als spektrale Bitrate wird  $r_b/W$  bezeichnet und als normalisierte Kanalkapazität

$$\begin{aligned} \frac{C^*}{W} &= \log_2 \left( 1 + \frac{S}{N} \right) && \text{Einheit: Infobit/s/Hz=Infobit} \\ &= \log_2 \left( 1 + \frac{E_b}{N_0} \cdot \frac{r_b}{W} \right). \end{aligned} \quad (2.6.5)$$

Für den Grenzfall  $C^* = r_b$  gilt

$$\frac{C^*}{W} = \log_2 \left( 1 + \frac{E_b}{N_0} \cdot \frac{C^*}{W} \right) \quad \text{bzw.} \quad \frac{E_b}{N_0} = \frac{2^{C^*/W} - 1}{C^*/W} \quad (2.6.6)$$

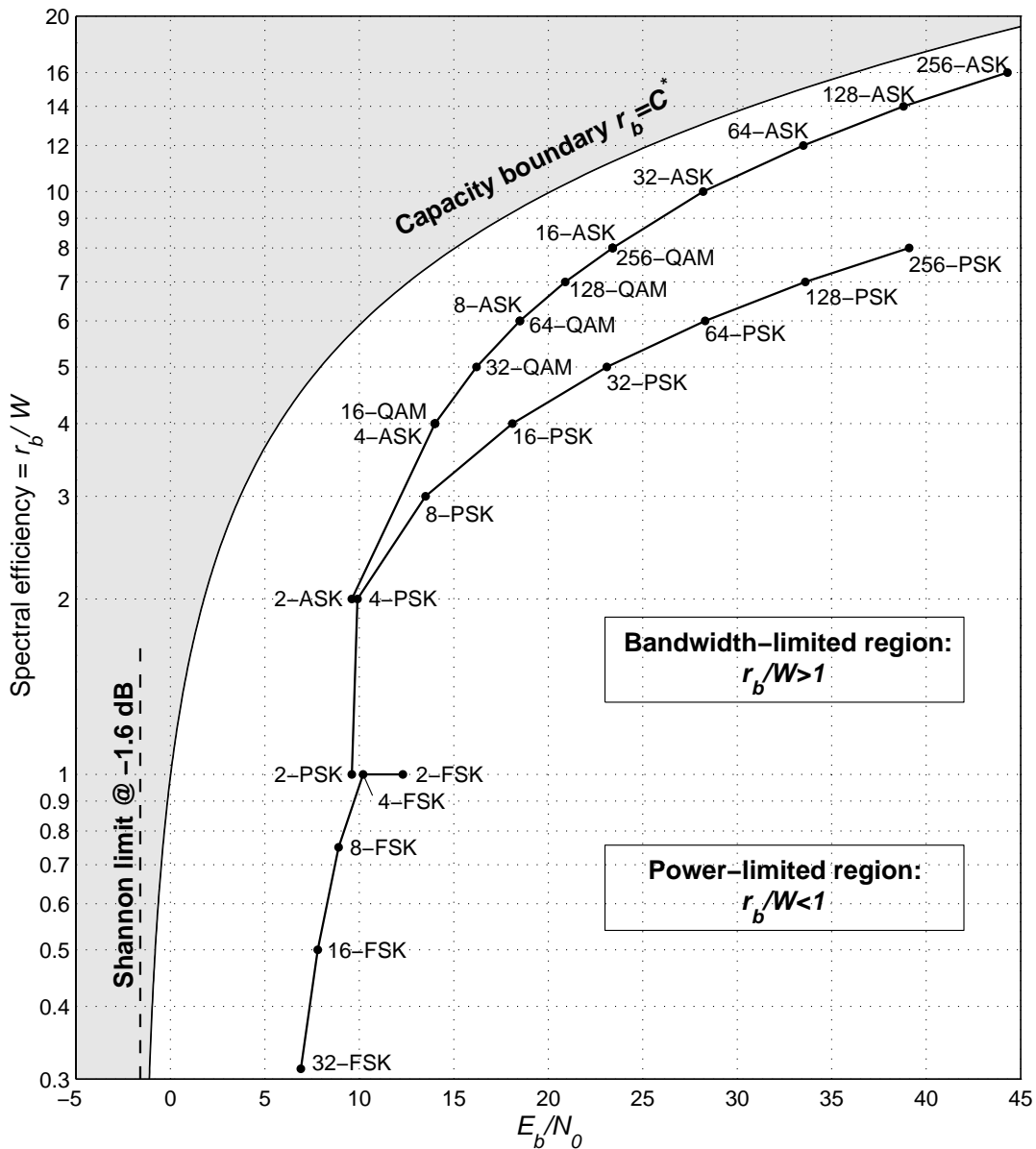
sowie die Shannon-Grenze

$$\lim_{C^*/W \rightarrow 0} \frac{E_b}{N_0} = \ln 2 \cong -1,59 \text{ dB.} \quad (2.6.7)$$

Bild 2.9 zeigt die normalisierte Kanalkapazität  $C^*/W$  über  $E_b/N_0$  im Vergleich mit verschiedenen digitalen Modulationsverfahren ohne Codierung. Oberhalb der durch (2.6.6) bestimmten Kapazitätsgrenze, also bei  $r_b > C^*$ , kann die Fehlerwahrscheinlichkeit auch mit dem größten Aufwand nicht unter eine gewisse Grenze gedrückt werden. Unterhalb der Kapazitätsgrenze, also bei  $r_b < C^*$ , ist dagegen bei entsprechendem Aufwand eine nahezu fehlerfreie Übertragung möglich.

Die angegebenen Modulationsverfahren PSK (Phase Shift Keying), FSK (Frequency Shift Keying) und QAM (Quadrature Amplitude Modulation) sind ohne Codierung, mit kohärenter Demodulation (d.h. bei idealer Träger- und Taktphase) und bezüglich einer Symbol-Fehlerwahrscheinlichkeit von  $10^{-5}$  zu verstehen. Gleiche Modulationsverfahren mit unterschiedlicher Stufenzahl sind in Bild 2.9 durch Linien verbunden. Die spektrale Bitrate beträgt im Bandpaßbereich

$$\frac{r_b}{W} = \left\{ \begin{array}{ll} \log_2 q & q\text{-PSK, } q\text{-QAM, } q\text{-ASK} \\ 2/q \cdot \log_2 q & q\text{-FSK} \end{array} \right\}. \quad (2.6.8)$$



**Bild 2.9.** Normalisierte Kanalkapazität im Vergleich mit verschiedenen uncodierten Modulationsverfahren (bei einer Symbol-Fehlerwahrscheinlichkeit von  $10^{-5}$ )

Alle Modulationsverfahren liegen etwa 10 dB oberhalb der Kapazitätsgrenze (bezüglich  $E_b/N_0$ ). Für kleinere Fehlerwahrscheinlichkeiten wird dieser Abstand noch wesentlich größer. Offensichtlich sind mit Kanalcodierung also erhebliche Verbesserungen von digitalen Übertragungssystemen zu erwarten, was natürlich einen entsprechenden Aufwand in Theorie und Realisierung rechtfertigt. In Bild 2.9 ist zwischen zwei Bereichen zu unterscheiden:

**Leistungsbegrenzter Bereich** ( $r_b/W < 1$ ): Kennzeichen ist eine große Bandbreite im Vergleich zur Infobitrate. Der minimale Wert für  $E_b/N_0$  wird durch die Shannon-Grenze von  $-1,59$  dB gegeben. FSK ist ein bandbreitenintensi-

ves Modulationsverfahren, bei dem mit höherer Stufenzahl sowohl die spektrale Bitrate wie das notwendige  $E_b/N_0$  abnehmen. Kleine Einsparungen bei  $E_b/N_0$  erfordern eine erheblich größere Bandbreite. Bei der Kanalcodierung in der klassischen Form mit 2-ASK oder 4-PSK (Kapitel 3 bis 9) können wesentliche Einsparungen an Sendeleistung um den Preis erhöhter Bandbreite und erhöhter Komplexität erreicht werden. Als eine typische Anwendung ist die Satellitenkommunikation bei erdfernen Forschungssatelliten zu nennen (siehe Abschnitt 12.1).

**Bandbegrenzter Bereich** ( $r_b/W > 1$ ): Kennzeichen ist hier eine schmale Bandbreite und ein großes  $E_b/N_0$ . Es werden hochstufige Modulationsverfahren wie QAM und PSK oder Mischformen verwendet. Mit höherer Stufenzahl nehmen bei QAM und PSK im Gegensatz zu FSK sowohl die spektrale Bitrate wie das notwendige  $E_b/N_0$  zu. Es gibt beispielsweise schon Richtfunk-Systeme mit 1024-QAM, d.h. mit einer spektralen Bitrate von 10 Bit/s/Hz. Eine weitere Erhöhung der spektralen Bitrate erfordert jedoch ein erhebliches Anwachsen von  $E_b/N_0$ . So muß der Anstieg von 2 auf 10 Bit/s/Hz in der spektralen Bitrate mit einem Anstieg von 1,76 dB auf 20,10 dB bei  $E_b/N_0$  bzw. von 4,77 dB auf 30,10 dB bei  $E_{cs}/N_0 = \log_2 q \cdot E_b/N_0$  kompensiert werden.

Kanalcodierung sollte bei den meisten bandbegrenzten Anwendungen zu keiner Erhöhung der Bandbreite führen. Anstelle der klassischen Kanalcodierung werden deshalb hier bandbreiteneffiziente Codierungsverfahren verwendet, bei denen die Codierung gemeinsam mit der Modulation optimiert wird. Als wesentliche Maßnahme wird dazu die Stufenzahl des Modulationssystems erhöht bei gleichbleibender Bandbreite. Derartige Verfahren der sogenannten trelliscodierten Modulation werden in Kapitel 10 behandelt.

Als eine typische Anwendungen sind Modems (siehe Abschnitt 12.2) und Richtfunkssysteme (siehe Abschnitt 12.5) zu nennen. Bei Mobilfunksystemen (siehe Abschnitt 12.3 und 12.4) ist gleichermaßen eine leistungs- wie bandbreiteneffiziente Übertragung gefordert.

Zusammenfassung: Zwischen den wichtigsten Parametern einer digitalen Übertragung, nämlich  $E_b/N_0$ , der spektralen Bitrate  $r_b/W$  und der Symbol-Fehlerwahrscheinlichkeit  $P_b$ , bestehen prinzipiell folgende Möglichkeiten des Austausches, wobei (b) und (c) aber eine Änderung des Modulationsverfahrens erfordern:

- (a) Austausch zwischen  $P_b$  und  $E_b/N_0$  bei gleichbleibendem  $r_b/W$ .
- (b) Austausch zwischen  $P_b$  und  $r_b/W$  bei gleichbleibendem  $E_b/N_0$ .
- (c) Austausch zwischen  $r_b/W$  und  $E_b/N_0$  bei gleichbleibendem  $P_b$ .

## 3. Lineare Blockcodes

Sowohl zur Konstruktion wie auch zur rechen­technisch günstigen Encodierung und Decodierung ist eine algebraische Struktur auf der Codemenge erforderlich. Bei linearen Codes wird im wesentlichen nur gefordert, daß die Summe zweier Codewörter auch wieder ein Codewort ist. Bei zyklischen Codes kommen später noch weitere Forderungen hinzu.

Die für lineare Codes erforderlichen algebraischen Grundlagen sind ziemlich einfach. Durch die Minimal­distanz wird die Anzahl der korrigierbaren und erkennbaren Fehler bestimmt. Es werden einige fundamentale Zusammenhänge zwischen der Minimal­distanz und den Codeparametern hergeleitet, die teilweise auch für nichtlineare Codes gültig sind. Schließlich wird die Gewichtsverteilung eingeführt, mit der die Berechnung der Fehlerwahrscheinlichkeit ermöglicht wird.

### 3.1 Definition linearer Blockcodes

Bei einem  $(n, k, d_{min})_q$ -Blockcode gemäß Definition 1.4 sind sowohl die Infosymbole  $u_i$  wie die Codesymbole  $a_i$  jeweils  $q$ -stufig mit  $u_i, a_i \in \mathbb{F}_q$ . Das Galoisfeld  $\mathbb{F}_q$  ist eine Menge mit  $q$  Elementen, in der eine Addition und eine Multiplikation (mit den inversen Operationen Subtraktion und Division) erklärt sind, und zwar derart, daß für die Rechenoperationen im Prinzip die gleichen Regeln gelten sollen wie bei den reellen oder rationalen Zahlen.

Der Vorteil von Galoisfeldern besteht darin, daß die Endlichkeit der Zahlenmenge bzw. Alphabete mit der Endlichkeit der technischen Systeme korrespondiert. Es gibt keine Rundungs- oder Quantisierungsfehler wie beim Rechnen mit reellen Zahlen, sondern immer eindeutige Ergebnisse aus der endlichen Zahlenmenge. Nachteilig ist allerdings, daß keine Ordnungsrelation erklärt werden kann, d.h. es gibt kein größer oder kleiner zwischen Elementen des Galoisfeldes.

Eine mathematische Einführung in Galoisfelder wird im Anhang in den Abschnitten A.4 bis A.8 gegeben. Für die einfachen linearen und zyklischen Codes, die in den Kapiteln 3 bis 5 behandelt werden, reichen jedoch bereits sehr geringe Kenntnisse über Galoisfelder vollständig aus. Nachfolgend wird deshalb nur die Definition eines Galoisfeldes gegeben und dazu werden einige Beispiele behandelt.

**Definition 3.1.** Mit  $\mathbb{F}_q$  wird ein Galoisfeld (endlicher Körper, finite field) bezeichnet.  $\mathbb{F}_q$  ist eine Menge mit  $q$  Elementen, zwischen denen zwei Rechenoperationen (Verknüpfungen) erklärt sind, die üblicherweise als Addition  $+$  und Multiplikation  $\cdot$  geschrieben werden.  $\mathbb{F}_q$  soll abgeschlossen sein, d.h. für alle  $x, y \in \mathbb{F}_q$  soll  $x + y \in \mathbb{F}_q$  und  $x \cdot y \in \mathbb{F}_q$  erfüllt sein. Ferner sollen die "üblichen" Rechenregeln gelten und insbesondere gibt es neutrale Elemente  $0$  und  $1$  sowie inverse Elemente  $-x$  und  $x^{-1}$ .

Zusammenfassung aller Rechenregeln ( $x, y, z \in \mathbb{F}_q$  beliebig):

- (1)  $x + y = y + x$  (Kommutativgesetz der Addition)
- (2)  $(x + y) + z = x + (y + z)$  (Assoziativgesetz der Addition)
- (3)  $x + 0 = x$  (Existenz des add. neutralen Elementes (Nullelement))
- (4) Zu  $x$  existiert  $-x$  mit  $x + (-x) = 0$  (Existenz des add. Inversen)
- (5)  $x \cdot y = y \cdot x$  (Kommutativgesetz der Multiplikation)
- (6)  $(x \cdot y) \cdot z = x \cdot (y \cdot z)$  (Assoziativgesetz der Multiplikation)
- (7)  $x \cdot 1 = x$  (Existenz des mult. neutralen Elementes (Einselement))
- (8) Zu  $x \neq 0$  existiert  $x^{-1}$  mit  $x \cdot x^{-1} = 1$  (Existenz des mult. Inversen)
- (9)  $x \cdot (y + z) = x \cdot y + x \cdot z$  (Distributivgesetz).

Aufgrund von (1) bis (4) wird  $\mathbb{F}_q$  auch als additive Gruppe und aufgrund von (5) bis (8) wird  $\mathbb{F}_q \setminus \{0\}$  als multiplikative Gruppe bezeichnet. Es werden folgende Schreibweisen vereinbart:

$$x + (-y) = x - y \quad , \quad x \cdot y = xy \quad , \quad x \cdot y^{-1} = \frac{x}{y}.$$

Schließlich soll  $\cdot$  stärker als  $+$  binden. In der Schreibweise werden die Operationen im Galoisfeld nicht von den Operationen in den reellen Zahlen unterschieden, weil der Unterschied in aller Regel aus dem Kontext hervorgeht.

Generell gilt  $x \cdot 0 = 0$ . Es ist  $xy = 0$  nur dann möglich, wenn  $x = 0$  oder  $y = 0$  gilt.

Galoisfelder  $\mathbb{F}_q$  existieren nur für  $q = p^m$ , wobei  $p$  eine Primzahl und  $m$  eine natürliche Zahl ist. Also kann  $q$  nur die Werte 2, 3, 4, 5, 7, 8, 9, 11, 13, 16, 17, ... annehmen. Für jedes  $q$  existiert nur ein Galoisfeld in dem Sinne, daß zwei Galoisfelder gleicher Mächtigkeit isomorph (strukturgleich) sind, d.h. durch Umbenennung der Elemente geht das eine Galoisfeld aus dem anderen hervor.

Die mit Abstand wichtigsten Fälle sind  $q = 2$  (einfache Binärcodes) und  $q = 2^m$  (z.B. RS-Codes, siehe Kapitel 7). Da für einfache Codes  $q = 2$  gilt, besteht vorläufig noch keine Notwendigkeit,  $\mathbb{F}_{p^m}$  genauer zu verstehen und Konstruktionsmethoden anzugeben. Jedoch gelten die Aussagen in den folgenden Kapiteln auch für die komplizierteren Codes über  $\mathbb{F}_{p^m}$ , so daß alle Definitionen und Sätze jetzt schon für den allgemeinen Fall formuliert werden. Im Vorgriff auf spätere Einsichten wird lediglich vermerkt:

$$\text{in } \mathbb{F}_2 \text{ und } \mathbb{F}_{2^m} \text{ gilt stets } 1 + 1 = 0. \quad (3.1.1)$$

**Beispiel 3.1.** Für den einfachen und vorläufig auch ausschließlich praktisch interessanten Fall mit  $q = p = \text{Primzahl}$  besteht  $\mathbb{F}_p$  aus den natürlichen Zahlen  $0, 1, 2, \dots, p-1$ , wobei Addition und Multiplikation modulo  $p$  erfolgen. Für kleines  $p$  können die Rechenoperationen in  $\mathbb{F}_p$  durch *Ergebnistabellen* dargestellt werden:

(1)  $\mathbb{F}_2$  ist der wichtigste Fall:

$$\begin{array}{c|cc} + & 0 & 1 \\ \hline 0 & 0 & 1 \\ 1 & 1 & 0 \end{array} \quad \begin{array}{c|cc} \cdot & 0 & 1 \\ \hline 0 & 0 & 0 \\ 1 & 0 & 1 \end{array}$$

Hier gilt beispielsweise  $1 + 1 = 0$ ,  $-1 = 1$ ,  $-0 = 0$ ,  $1^{-1} = 1$ .

(2) Betrachte  $\mathbb{F}_5$ :

$$\begin{array}{c|ccccc} + & 0 & 1 & 2 & 3 & 4 \\ \hline 0 & 0 & 1 & 2 & 3 & 4 \\ 1 & 1 & 2 & 3 & 4 & 0 \\ 2 & 2 & 3 & 4 & 0 & 1 \\ 3 & 3 & 4 & 0 & 1 & 2 \\ 4 & 4 & 0 & 1 & 2 & 3 \end{array} \quad \begin{array}{c|ccccc} \cdot & 0 & 1 & 2 & 3 & 4 \\ \hline 0 & 0 & 0 & 0 & 0 & 0 \\ 1 & 0 & 1 & 2 & 3 & 4 \\ 2 & 0 & 2 & 4 & 1 & 3 \\ 3 & 0 & 3 & 1 & 4 & 2 \\ 4 & 0 & 4 & 3 & 2 & 1 \end{array}$$

Hier gilt beispielsweise  $-1 = 4$ ,  $-2 = 3$ ,  $2^{-1} = 3$ ,  $3^{-1} = 2$ ,  $4^{-1} = 4$ .

(3)  $\mathbb{F}_4$  ist zwar ein Galoisfeld, kann aber nicht über die modulo 4 - Operation erklärt werden:

$$\begin{array}{c|cccc} \cdot & 0 & 1 & 2 & 3 \\ \hline 0 & 0 & 0 & 0 & 0 \\ 1 & 0 & 1 & 2 & 3 \\ 2 & 0 & 2 & 0 & 2 \\ 3 & 0 & 3 & 2 & 1 \end{array}$$

Hier gibt es kein  $x \in \mathbb{F}_4$  mit  $2 \cdot x = 1$ , d.h.  $2^{-1}$  existiert nicht. ■

**Definition 3.2.** Die Menge aller  $n$ -Tupel (bzw. Blöcke, Vektoren, Wörter der Länge  $n$ ) mit Komponenten aus  $\mathbb{F}_q$  wird mit  $\mathbb{F}_q^n = \mathbb{F}_{p^m}^n$  bezeichnet:

$$\mathbb{F}_q^n = \{(x_0, \dots, x_{n-1}) \mid x_0, \dots, x_{n-1} \in \mathbb{F}_q\}.$$

Für die Mächtigkeit gilt natürlich  $|\mathbb{F}_q^n| = q^n$ . Zwischen den Wörtern wird eine komponentenweise Addition und Skalarmultiplikation erklärt, d.h. für alle  $\mathbf{x}, \mathbf{y} \in \mathbb{F}_q^n$  und  $\alpha \in \mathbb{F}_q$  gilt  $\mathbf{x} + \mathbf{y} \in \mathbb{F}_q^n$  und  $\alpha \cdot \mathbf{x} \in \mathbb{F}_q^n$  mit

$$\begin{aligned} \mathbf{x} + \mathbf{y} &= (x_0, \dots, x_{n-1}) + (y_0, \dots, y_{n-1}) = (x_0 + y_0, \dots, x_{n-1} + y_{n-1}) \\ \alpha \cdot \mathbf{x} &= \alpha \cdot (x_0, \dots, x_{n-1}) = (\alpha x_0, \dots, \alpha x_{n-1}). \end{aligned}$$

Für diese Operationen gelten die "üblichen" Gesetze, die in Abschnitt A.5 nochmals zusammengestellt sind. Damit bildet  $\mathbb{F}_q^n$  einen *Vektorraum* bzw. *linearen*

*Raum.* Für die Verknüpfungen im Vektorraum werden die gleichen Operationszeichen verwendet wie im Galoisfeld und wie in den reellen Zahlen. Eine Multiplikation zwischen den Wörtern ist nicht definiert.

Verständlich sind nun auch die Aussagen (1.5.7) und (1.5.10) aus Satz 1.1. Ferner ist der Hammingabstand invariant gegenüber Verschiebungen:

$$d_H(\mathbf{x}, \mathbf{y}) = d_H(\mathbf{x} + \mathbf{z}, \mathbf{y} + \mathbf{z}). \quad (3.1.2)$$

**Satz 3.1.** In  $\mathbb{F}_2^n$  und  $\mathbb{F}_{2^m}^n$  gilt für beliebige Wörter  $\mathbf{x}$  und  $\mathbf{y}$ :

(1) Wenn  $w_H(\mathbf{y})$  eine gerade Zahl ist, dann gilt:

$$w_H(\mathbf{x}) \text{ gerade} \iff w_H(\mathbf{x} + \mathbf{y}) \text{ gerade.} \quad (3.1.3)$$

(2) Wenn  $w_H(\mathbf{y})$  eine ungerade Zahl ist, dann gilt:

$$w_H(\mathbf{x}) \text{ gerade} \iff w_H(\mathbf{x} + \mathbf{y}) \text{ ungerade.} \quad (3.1.4)$$

Bei einem  $(n, k)_q$ -Blockcode gilt  $\mathbf{u} = (u_0, \dots, u_{k-1}) \in \mathbb{F}_q^k$  für das Infowort und  $\mathbf{a} = (a_0, \dots, a_{n-1}) \in \mathbb{F}_q^n$  für das Codewort sowie  $\mathcal{C} \subseteq \mathbb{F}_q^n$ ,  $|\mathcal{C}| = q^k$  für den Code.

Nach diesen vorbereitenden Definitionen und Feststellungen erfolgt nun die Definition des linearen Codes:

**Definition 3.3.** Der  $(n, k)_q$ -Code  $\mathcal{C}$  über  $\mathbb{F}_q$  heißt linearer Code, wenn mit zwei Codewörtern auch die Summe wieder ein Codewort ist:

$$\mathbf{a}, \mathbf{b} \in \mathcal{C} \implies \mathbf{a} + \mathbf{b} \in \mathcal{C}.$$

Für nicht-binäre Codes mit  $q > 2$  wird zusätzlich gefordert:

$$\mathbf{a} \in \mathcal{C}, \alpha \in \mathbb{F}_q \implies \alpha \cdot \mathbf{a} \in \mathcal{C}.$$

Eine äquivalente Kennzeichnung ist, daß  $\mathcal{C}$  ein Vektorraum sein soll.

Beispiele:  $\mathcal{C} = \{000, 100, 010, 001\}$  ist nicht linear

$\mathcal{C} = \{000, 110, 011, 111\}$  ist nicht linear

$\mathcal{C} = \{000, 110, 101, 011\}$  ist linear.

In der Praxis wird die Beschränkung auf lineare Codes mit keinen wesentlichen Verlusten erkauf – zumindest nicht bei Hard-Decision Decodierung [73, 126]. Es sind nur wenige Fälle bekannt, wo der beste bekannte lineare Code schlechter als der beste bekannte nichtlineare Code ist. J.L.Massey [126] bezeichnet deshalb die Beschäftigung mit nichtlinearen Codes als “Zeitverschwendung”. Fast alle *praktisch* verwendeten Codes sind linear und nachfolgend werden fast nur noch lineare Codes behandelt, obgleich einige Aussagen auch für nichtlineare Codes gelten, was aber nicht besonders hervorgehoben wird. Die *informationstheoretischen* Überlegungen basieren dagegen überwiegend auf nichtlinearen Zufallscodes, wie auch in Abschnitt 3.4 noch einmal deutlich werden wird.

**Beispiel 3.2. (1)** Als *Wiederholungscode* (repetition code) wird der  $(n, 1)_2$ -Code

$$\mathcal{C} = \{00 \dots 0, 11 \dots 1\} \quad (3.1.5)$$

bezeichnet. Die Linearität ist offensichtlich. Es gilt  $R = 1/n$  für die Coderate und  $d_{\min} = n$  für die Minimaldistanz. Eine systematische Encodierung kann gemäß  $u_0 \mapsto \mathbf{a} = (u_0, \dots, u_0)$  erfolgen.

**(2)** Als *Parity Check Code* (auch: Single Parity Check Code, SPCC) wird der  $(n, n-1)_2$ -Code

$$\mathcal{C} = \left\{ (a_0, \dots, a_{n-1}) \mid \sum_{i=0}^{n-1} a_i = 0 \right\} \quad (3.1.6)$$

bezeichnet. Der Code ist linear mit  $R = (n-1)/n = 1 - 1/n$ . Da  $000 \dots 0$  und  $110 \dots 0$  jeweils Codewörter sind, folgt  $d_{\min} = 2$ . Bei einer systematischen Encodierung gemäß  $(u_0, \dots, u_{n-1}) \mapsto \mathbf{a} = (u_0, \dots, u_{n-1}, u_0 + \dots + u_{n-1})$  wird die Summe der Infobits als Prüfbit angehängt. ■

**Satz 3.2.** *Ein linearer Code  $\mathcal{C}$  ist invariant gegenüber additiven Verschiebungen, d.h. für alle  $\mathbf{b} \in \mathcal{C}$  gilt:  $\mathcal{C} + \mathbf{b} = \{\mathbf{a} + \mathbf{b} \mid \mathbf{a} \in \mathcal{C}\} = \mathcal{C}$ .*

Aus  $d_H(\mathbf{a}, \mathbf{b}) = w_H(\mathbf{a} - \mathbf{b})$  folgt sofort, daß die Minimaldistanz eines Codes gleich dem minimalen Gewicht der Codewörter ist und somit sind für die Bestimmung von  $d_{\min}$  jetzt also nicht mehr  $q^k(q^k - 1)$  Paare zu betrachten, sondern nur noch  $q^k - 1$  Wörter:

**Satz 3.3.** *Für die Minimaldistanz eines linearen  $(n, k, d_{\min})_q$ -Codes gilt:*

$$\begin{aligned} d_{\min} &= \min\{d_H(\mathbf{a}, \mathbf{b}) \mid \mathbf{a}, \mathbf{b} \in \mathcal{C}, \mathbf{a} \neq \mathbf{b}\} \\ &= \min\{w_H(\mathbf{a}) \mid \mathbf{a} \in \mathcal{C}, \mathbf{a} \neq \mathbf{0}\}. \end{aligned} \quad (3.1.7)$$

## 3.2 Erkennung und Korrektur von Fehlern und metrische Struktur

Bei Hard-Decision, also bei  $\mathcal{A}_{\text{in}} = \mathcal{A}_{\text{out}} = \mathbb{F}_q$ , kann die Übertragung interpretiert werden als Überlagerung des Sendewortes mit einem *Fehlerwort*:

$$\mathbf{y} = \mathbf{a} + \mathbf{e}. \quad (3.2.1)$$

Das Empfangswort  $\mathbf{y}$  ist also die Summe aus dem gesendeten Codewort  $\mathbf{a}$  und dem Fehlerwort (Fehlermuster)  $\mathbf{e} = \mathbf{y} - \mathbf{a} \in \mathbb{F}_q^n$ . Aufgrund der linearen Struktur ist  $\mathbf{y}$  genau dann ein Codewort, wenn  $\mathbf{e}$  ein Codewort ist. In Analogie zu Abschnitt 1.6 gibt es folgende Möglichkeiten:

$\mathbf{e} = \mathbf{0}$  Fehlerfreie Übertragung.

- $e \in \mathcal{C} \setminus \{\mathbf{0}\}$  Verfälschung in ein anderes Codewort – das kann niemals erkannt oder korrigiert werden.
- $e \notin \mathcal{C}$  Die Verfälschung ist generell erkennbar und eventuell korrigierbar durch den Decoder.

**Definition 3.4.** Ein  $(n, k)_q$ -Blockcode  $\mathcal{C}$

- (1) korrigiert  $t$  Fehler, wenn für jedes Fehlermuster  $\mathbf{e}$  mit  $w_H(\mathbf{e}) \leq t$  die Maximum-Likelihood-Decodierung das richtige Codewort liefert (error correction).
- (2) erkennt  $t'$  Fehler, wenn für jedes Fehlermuster  $\mathbf{e} \neq \mathbf{0}$  mit  $w_H(\mathbf{e}) \leq t'$  das Empfangswort  $\mathbf{y} = \mathbf{a} + \mathbf{e}$  kein Codewort ist (error detection).

In ausführlicherer Sprechweise werden also bis zu  $t$  Fehler korrigiert. Wichtig ist dabei, daß wirklich jedes prinzipiell mögliche Fehlermuster vom Gewicht  $\leq t$  korrigierbar sein muß. Entsprechendes gilt natürlich auch für die Fehlererkennung.

**Satz 3.4.** Ein  $(n, k, d_{\min})_q$ -Code erkennt  $t' = d_{\min} - 1$  Fehler.

Beweis: Nach Satz 3.3 folgt aus  $\mathbf{e} \in \mathcal{C} \setminus \{\mathbf{0}\}$  zwangsläufig  $w_H(\mathbf{e}) \geq d_{\min}$ . Durch Umkehrung ergibt sich: Ein Fehlermuster mit  $w_H(\mathbf{e}) \leq d_{\min} - 1$  impliziert  $\mathbf{e} \notin \mathcal{C} \setminus \{\mathbf{0}\}$  und wird somit zwangsläufig erkannt. ■

Bereits im Beweis von Satz 2.1 wurde der Begriff der Kugel eingeführt:

**Definition 3.5.** Als Kugel  $K_r(\mathbf{x})$  vom Radius  $r$  um das Wort  $\mathbf{x} \in \mathbb{F}_q^n$  wird die Menge aller Wörter verstanden, die von  $\mathbf{x}$  eine Hammingdistanz  $\leq r$  haben:

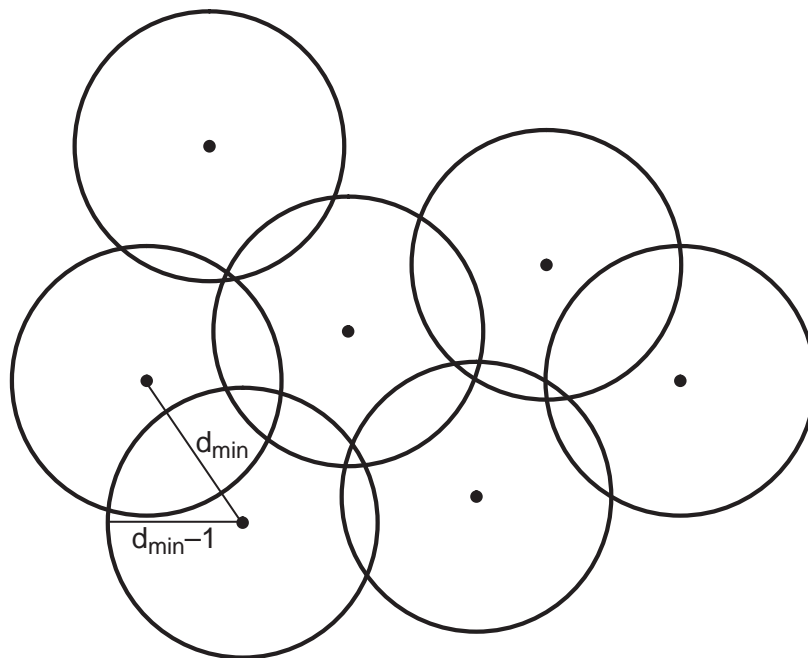
$$K_r(\mathbf{x}) = \{\mathbf{y} \in \mathbb{F}_q^n \mid d_H(\mathbf{x}, \mathbf{y}) \leq r\}. \quad (3.2.2)$$

Klar ist  $K_0(\mathbf{x}) = \{\mathbf{x}\}$  und  $K_n(\mathbf{x}) = \mathbb{F}_q^n$ . Oftmals werden die Kugeln um die Codewörter betrachtet – zum Inhalt der Kugeln zählen aber immer alle Wörter aus  $\mathbb{F}_q^n$ . Aus der Kombinatorik ist bekannt, daß es genau  $\binom{n}{i}(q-1)^i$  Wörter  $\mathbf{y} \in \mathbb{F}_q^n$  mit  $d_H(\mathbf{x}, \mathbf{y}) = i$  gibt. Somit folgt für die Mächtigkeiten der Kugeln das wichtige Resultat

$$|K_r(\mathbf{x})| = \sum_{i=0}^r \binom{n}{i} (q-1)^i. \quad (3.2.3)$$

**Beispiel 3.3.** Betrachte den  $(3, 1)_2$ -Wiederholungscode  $\mathcal{C} = \{000, 111\}$  mit  $d_{\min} = 3$ . Für die Kugeln gilt:

$$\begin{aligned} K_1(000) &= \{000, 100, 010, 001\} \\ K_1(111) &= \{111, 110, 101, 011\} \\ K_2(000) &= \{000, 100, 010, 001, 110, 101, 011\} \\ K_2(111) &= \{111, 110, 101, 011, 001, 010, 100\} \\ K_3(000) &= K_3(111) = \mathbb{F}_2^3 \\ K_2(100) &\text{ enthält beide Codewörter.} \end{aligned} \quad \blacksquare$$



**Bild 3.1.** Kugeln vom Radius  $d_{\min} - 1$  um die Codewörter

Mit Bild 3.1 wird veranschaulicht, daß jede Kugel vom Radius  $d_{\min} - 1$  um ein Codewort kein anderes Codewort enthält. Denn wenn zwei Codewörter  $\mathbf{a}, \mathbf{b}$  existieren mit  $\mathbf{b} \in K_{d_{\min}-1}(\mathbf{a})$ , so würde  $d_H(\mathbf{a}, \mathbf{b}) \leq d_{\min} - 1$  folgen. Jedoch ist  $d_{\min}$  der minimale Abstand zwischen zwei verschiedenen Codewörtern.

Bei höchstens  $d_{\min} - 1$  Fehlern liegt das Empfangswort in der Kugel um das tatsächlich gesendete Codewort. Da in dieser Kugel kein weiteres Codewort liegt, kann das Empfangswort mit keinem Codewort verwechselt werden – abgesehen natürlich von der fehlerfreien Übertragung. In einer Kugel vom Radius  $d_{\min} - 1$  um ein beliebiges Wort können jedoch mehrere Codewörter liegen.

Nach Satz 3.4 werden alle  $\sum_{i=0}^{d_{\min}-1} \binom{n}{i} (q-1)^i$  Fehlermuster vom Gewicht  $\leq d_{\min} - 1$  erkannt. Von den Fehlermustern höheren Gewichts werden zwar nicht alle erkannt, aber dennoch ein sehr großer Anteil – denn jedes  $\mathbf{e}$  mit  $\mathbf{e} \notin \mathcal{C}$  wird erkannt und deren Anzahl beträgt  $q^n - q^k$ . Die Quote der erkennbaren Fehlermuster höheren Gewichts wird noch genauer bei den zyklischen Codes in Abschnitt 5.7 bestimmt.

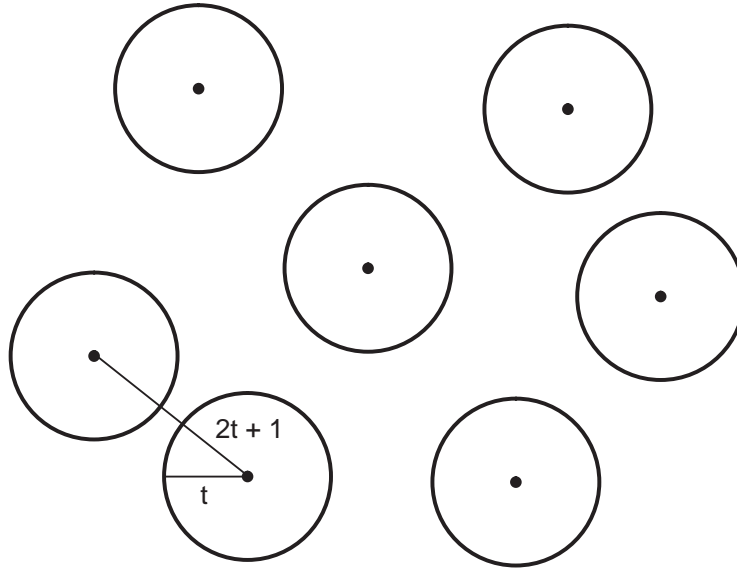
Der folgende Satz zählt (ungeachtet seines einfachen Beweises) zu den praktisch wichtigsten Resultaten der Codierungstheorie:

**Satz 3.5.** Ein  $(n, k, d_{\min})_q$ -Code korrigiert  $t$  Fehler, sofern  $2t + 1 \leq d_{\min}$  bzw. äquivalent  $t = \lfloor (d_{\min} - 1)/2 \rfloor$  gilt.

Beweis: Sei  $\mathbf{y} = \mathbf{a} + \mathbf{e}$  mit  $w_H(\mathbf{e}) \leq t$ . Dann gilt  $d_H(\mathbf{y}, \mathbf{a}) \leq t$ . Sei  $\mathbf{b} \in \mathcal{C}$  beliebig mit  $\mathbf{b} \neq \mathbf{a}$ . Aus der Dreiecksungleichung ergibt sich

$$2t + 1 \leq d_{\min} \leq d_H(\mathbf{a}, \mathbf{b}) \leq d_H(\mathbf{a}, \mathbf{y}) + d_H(\mathbf{y}, \mathbf{b}) \leq t + d_H(\mathbf{y}, \mathbf{b}).$$

Somit folgt  $d_H(\mathbf{y}, \mathbf{b}) \geq t + 1$ . Also ist der Abstand von  $\mathbf{a}$  zu  $\mathbf{y}$  höchstens  $t$ , während jedes andere Codewort von  $\mathbf{y}$  mindestens den Abstand  $t + 1$  hat. Somit wählt der ML-Decoder das richtige Codewort. ■



**Bild 3.2.** Decodierkugeln vom Radius  $t = \lfloor (d_{\min} - 1)/2 \rfloor$  um die Codewörter

Bild 3.2 veranschaulicht die Situation für Kugeln vom Radius  $t$  um die Codewörter. Die Kugeln sind disjunkt. Wenn bei der Übertragung das Codewort  $\mathbf{a}$  mit höchstens  $t$  Fehlern überlagert wird, so liegt das Empfangswort  $\mathbf{y}$  in  $K_t(\mathbf{a})$  und hat von jedem anderen Codewort mindestens den Abstand  $t + 1$ . Somit ist das Codewort minimalen Abstandes zu  $\mathbf{y}$  eindeutig bestimmt. Die Kugeln vom Radius  $t$  um die Codewörter werden deshalb auch *Decodierkugeln* genannt. Empfangswörter mit mehr als  $t$  Fehlern liegen entweder in einer falschen Decodierkugel und werden dann falsch decodiert oder sie liegen zwischen den Decodierkugeln und werden dann richtig oder falsch decodiert.

Wenn übrigens Kugeln vom Radius  $t$  um beliebige Wörter betrachtet werden, so liegt auch in diesen Kugeln maximal ein Codewort, denn ansonsten würde aus  $\mathbf{a}, \mathbf{b} \in K_t(\mathbf{x})$  ein Widerspruch folgen:

$$2t + 1 \leq d_{\min} \leq d_H(\mathbf{a}, \mathbf{b}) \leq d_H(\mathbf{a}, \mathbf{x}) + d_H(\mathbf{x}, \mathbf{b}) \leq t + t = 2t.$$

**Beispiel 3.4.** (1) Beim  $(3, 1, 3)_2$ -Code  $\mathcal{C} = \{000, 111\}$  mit  $t = 1$  werden die Empfangswörter 000, 100, 010, 001 zu 000 decodiert und die Empfangswörter 111, 011, 101, 110 werden zu 111 decodiert.

(2) Beim  $(2, 1, 2)_2$ -Code  $\mathcal{C} = \{00, 11\}$  mit  $t = 0$  werden die jeweils mit einem Fehler behafteten Empfangswörter 01, 10 zwar als fehlerhaft erkannt, können aber nicht richtig decodiert werden. Der ML-Decoder sollte sich hier im Idealfall zufällig entscheiden.

(3) Betrachte einen etwas skurrilen  $(6, 2, 3)_2$ -Code mit  $t = 1$  und

$$\mathcal{C} = \{\underbrace{00\ 0000}_3, \underbrace{10\ 1100}_4, \underbrace{01\ 0111}_3, \underbrace{11\ 1011}_2\}.$$

Die ersten beiden Bits sollen den Infobits entsprechen. Wegen  $t = 1$  kann nur ein Fehler sicher korrigiert werden. Wenn nun  $\mathbf{y} = 00\ 1011$  empfangen wird, so ergeben sich die Abstände zu den Codewörtern wie unter den geschweiften Klammern angegeben und der ML-Decoder entscheidet folglich auf 11 1011, d.h. beide Infobits werden korrigiert. ■

Fehlererkennung und Fehlerkorrektur können auch kombiniert werden:

**Satz 3.6.** *Ein  $(n, k, d_{\min})_q$ -Code kann gleichzeitig  $t$  Fehler korrigieren und  $t'$  Fehler erkennen ( $t' \geq t$ ), sofern gilt:*

$$t + t' + 1 \leq d_{\min}. \quad (3.2.4)$$

Für  $t = 0$  entspricht dies Satz 3.4 und für  $t = t'$  entspricht dies Satz 3.5.

Praktische Anwendung: Zum Empfangswort wird ein Codewort im Abstand  $\leq t$  gesucht. Wird ein solches Codewort gefunden, so ist dieses Codewort das Decodierergebnis. Wird kein solches Codewort gefunden, sind noch alle Fehlermuster bis zum Gewicht  $d_{\min} - t - 1$  erkennbar.

Beweis: Bilde die Menge  $\mathcal{V} = \bigcup_{\mathbf{b} \in \mathcal{C}} K_t(\mathbf{b})$  der korrigierbaren Wörter mit maximal  $t$  Fehlern. Sei  $\mathbf{y} = \mathbf{a} + \mathbf{e}$  ein Empfangswort mit  $w_H(\mathbf{e}) = f$  und  $t < f \leq t'$ . Falls  $\mathbf{y} \in \mathcal{V}$  gelten würde, so gäbe es ein  $\mathbf{b} \in \mathcal{C}$  mit  $\mathbf{y} \in K_t(\mathbf{b})$ . Da  $\mathbf{y}$  von  $\mathbf{a}$  einen größeren Abstand als  $t$  hat, folgt  $\mathbf{b} \neq \mathbf{a}$  und somit:

$$t + t' + 1 \leq d_{\min} \leq d_H(\mathbf{a}, \mathbf{b}) \leq \underbrace{d_H(\mathbf{a}, \mathbf{y})}_{= f} + \underbrace{d_H(\mathbf{y}, \mathbf{b})}_{\leq t} \leq t' + t.$$

Dies ist ein Widerspruch und somit folgt  $\mathbf{y} \notin \mathcal{V}$ . Also liegt das Empfangswort nicht in der Menge der korrigierbaren Fehlermuster und wird somit als fehlerhaft erkannt. ■

**Beispiel 3.5.** Betrachte erneut den Code  $\mathcal{C} = \{000, 111\}$  mit  $d_{\min} = 3$ . Bei  $t = 1, t' = 1$  wird 100 decodiert zu 000. Bei  $t = 0, t' = 2$  wird 100 dagegen als fehlerhaft erkannt (aus 000 oder 111 entstanden). Die Kombination  $t = 1, t' = 2$  ist unmöglich, denn 100 würde einerseits decodiert zu 000 und andererseits als fehlerhaft erkannt (mit 2 Fehlern aus 111 entstanden). ■

Die Situation in Beispiel 3.4(3) wird jetzt nochmals allgemeiner betrachtet. Dazu sei ein  $(n, k, d_{\min})_q$ -Code mit  $2t+1 \leq d_{\min}$  gegeben. Das Empfangswort  $\mathbf{y} = \mathbf{a} + \mathbf{e}$  weise  $f = d_H(\mathbf{a}, \mathbf{y})$  Fehler auf. Bei der ML-Schätzung  $\hat{\mathbf{a}}$  erfolgen  $f_{ML} = d_H(\mathbf{y}, \hat{\mathbf{a}})$  Korrekturen im Empfangswort. Es sind zwei Fälle zu unterscheiden:

- (a) Bei  $f \leq t$  ist die ML-Schätzung richtig mit  $\hat{\mathbf{a}} = \mathbf{a}$  und  $f_{ML} = f$ .
- (b) Bei  $f > t$  ist die ML-Schätzung eventuell falsch mit  $\hat{\mathbf{a}} \neq \mathbf{a}$ , und  $f_{ML}$  kann unkontrollierbar groß werden (bis zu  $f_{ML} = n$ ). Nach der Dreiecksungleichung ergibt sich  $d_H(\mathbf{a}, \hat{\mathbf{a}}) \leq f + f_{ML}$  und somit kann auch die ML-Schätzung an unkontrollierbar vielen Stellen vom gesendeten Codewort abweichen, obwohl der Code nur  $t$  Fehler korrigieren kann.

Aus "Sicherheitsgründen" könnte die Korrektur bei der Decodierung auf höchstens  $d_H(\mathbf{y}, \mathbf{a}) \leq t$  Stellen begrenzt werden. Damit ergibt sich das sogenannte BMD-Prinzip:

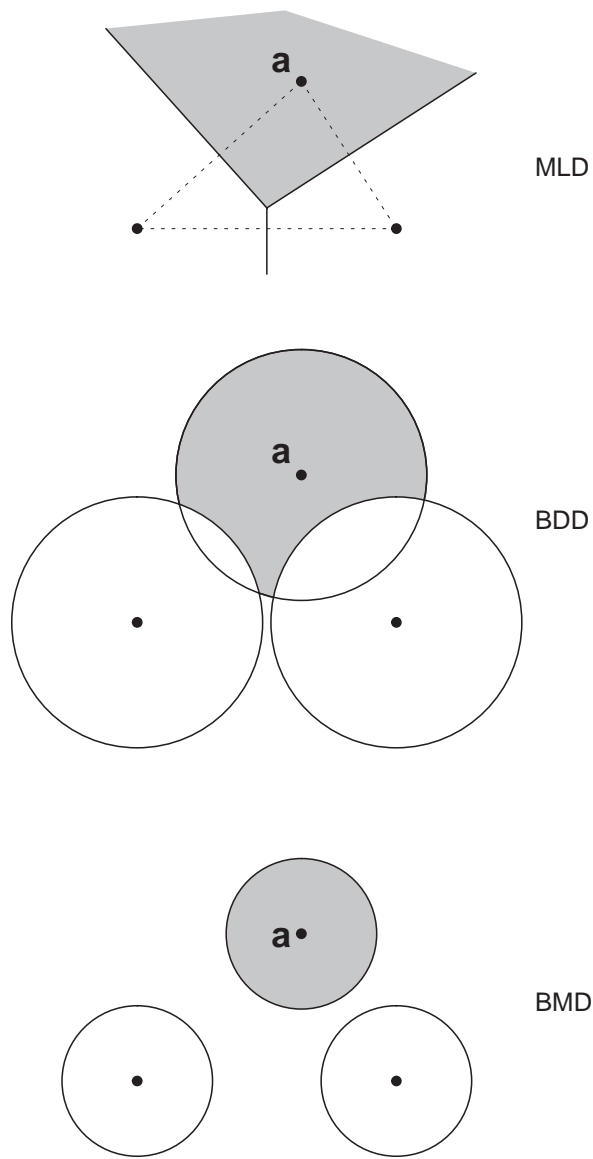
**Definition 3.6.** *Beim Begrenzten-Minimaldistanz-Decoder (BMD, Bounded Minimum Distance Decoder) erfolgt nur dann eine Decodierung, wenn das Empfangswort innerhalb einer Decodierkugel liegt, d.h. wenn es zum Empfangswort ein Codewort im Abstand  $\leq t$  gibt.*

Anhand von Bild 3.3 erfolgt ein Vergleich der (für Hard-Decision) eingeführten Decodierprinzipien MLD, BDD und BMD. Dabei bezeichnen die dicken Punkte die Codewörter und  $\mathbf{a}$  das jeweils gesendete Codewort. Der schraffierte Bereich repräsentiert den *Entscheidungsbereich* derjenigen Empfangswörter, die zu  $\mathbf{a}$  decodiert werden. Die Entscheidungsbereiche können formal als  $\delta^{-1}(\mathbf{a})$  mit der Codewortschätzer-Funktion  $\delta$  gemäß (1.6.2) beschrieben werden. Generell sind die Entscheidungsbereiche disjunkt, aber nur bei MLD wird der gesamte Raum der Empfangswörter von den Entscheidungsbereichen überdeckt, bei BDD und BMD ist dagegen der Decoder nicht für alle Empfangswörter definiert:

**MLD** (Maximum-Likelihood-Decoder, siehe Satz 1.3): Für jedes Empfangswort wird nach dem nächstgelegenen Codewort gesucht. Der Entscheidungsbereich wird im 2-dim. Fall durch die Mittelhalbierenden begrenzt und im  $n$ -dim. Fall durch entsprechende Hyperflächen.

Das MLD-Prinzip minimiert die Wort-Fehlerwahrscheinlichkeit (unter der Annahme gleicher Apriori-Wahrscheinlichkeiten).

**BDD** (Begrenzter-Distanz-Decoder, siehe den Beweis des Kanalcodierungstheorems in Abschnitt 2.7): Um jedes Codewort wird eine Kugel vom gleichen Radius  $t$  gemäß (2.7.4) gelegt. Es werden nur diejenigen Empfangswörter zum Kugelmittelpunkt decodiert, die in genau einer Kugel liegen. Keine Decodierung erfolgt für Wörter, die in keiner oder in mehreren Kugeln liegen. Die Entscheidungsbereiche sind also geometrisch von relativ komplizierter Form.



**Bild 3.3.** Vergleich der Decodierprinzipien

Da mit dem BDD das Kanalcodierungstheorem bewiesen wird, ist der BDD nur unwesentlich schlechter als der MLD.

**BMD** (Begrenzter-Minimaldistanz-Decoder, siehe Definition 3.6): Um jedes Codewort wird als Entscheidungsbereich eine Kugel vom gleichen Radius  $t = \lfloor (d_{\min} - 1)/2 \rfloor$  gelegt. Damit sind die Kugeln als disjunkt gewährleistet. Es werden nur diejenigen Empfangswörter zum Kugelmittelpunkt decodiert, die in einer Kugel liegen. Keine Decodierung erfolgt für Wörter, die außerhalb der Kugeln liegen.

Beim BMD erfolgt also eine “Decodierung bis zur halben Minimaldistanz”.

Der BMD ist natürlich schlechter als die ML-Decodierung, aber die wesentlichen Vorteile des BMD liegen in der vereinfachten Realisierung des Decoders bei wichtigen Codeklassen wie den RS- und BCH-Codes. Der Vergleich zwischen diesen Decodierprinzipien wird in Abschnitt 3.4 fortgeführt.

### 3.3 Schranken für die Minimaldistanz

Die Bedeutung von  $d_{\min}$  und  $t$  sind nach dem vorangehenden Abschnitt klar. Wie hängen diese Größen aber mit den Codeparametern  $n, k, q$  zusammen?

**Satz 3.7 (Singleton-Schranke).** *Für einen linearen  $(n, k, d_{\min})_q$ -Code muß*

$$d_{\min} \leq n - k + 1 \quad (3.3.1)$$

*gelten. Bei Gleichheit in der Singleton-Schranke liegt ein sogenannter MDS-Code (Maximum Distance Separable) vor.*

Beweis: Alle Codewörter unterscheiden sich an mindestens  $d_{\min}$  Stellen. Wenn bei allen Codewörtern die ersten  $d_{\min} - 1$  Stellen gestrichen werden, so sind die gekürzten Codewörter der Länge  $n - d_{\min} + 1$  immer noch alle verschieden. Es gibt also  $q^k$  verschiedene gekürzte Codewörter im Raum der  $q^{n-d_{\min}+1}$  gekürzten Wörter. Dies ist aber nur möglich, wenn  $k \leq n - d_{\min} + 1$  gilt. ■

Für  $t$  korrigierbare Fehler muß also  $2t \leq n - k$  und für  $t'$  erkennbare Fehler muß  $t' \leq n - k$  gelten. Pro Korrektur sind also zwei Prüfstellen erforderlich, während pro Erkennung nur eine Prüfstelle erforderlich ist.

Die einzigen binären MDS-Codes sind die trivialen  $(n, 1, n)_2$ -Wiederholungscodes. Dagegen sind  $q$ -näre MDS-Codes wie die RS-Codes (siehe Kapitel 7) von enormer praktischer Bedeutung. Dennoch darf man nicht folgern, daß MDS-Codes das absolute Optimum darstellen und die Entwicklung von Blockcodes damit einen Endpunkt erreicht hätte. Auch ein MDS-Code kann nämlich noch verbessert werden, indem bei gleichen Parametern  $n, k, d_{\min}$  die Mächtigkeit  $q$  des Alphabetes verringert wird. Mit den MDS-Codes kann das Kanalcodierungstheorem nicht bewiesen werden.

Eine sehr wichtige Eigenschaft der MDS-Codes ist:

**Satz 3.8.** *Bei einem  $(n, k, n-k+1)_q$ -MDS-Code ist durch  $k$  beliebig ausgewählte Codesymbole das gesamte Codewort eindeutig bestimmt.*

Beweis: Gegenannahme: Es gibt zwei verschiedene Codewörter  $\mathbf{a}, \mathbf{b}$ , die an  $k$  Stellen identisch sind. Somit gibt es maximal an  $n - k$  Stellen Unterschiede, d.h.  $d_H(\mathbf{a}, \mathbf{b}) \leq n - k$ . Jedoch ist  $n - k + 1$  der minimale Abstand zwischen den Codewörtern, so daß die Annahme widerlegt ist. ■

**Satz 3.9 (Hamming-Schranke, sphere-packing bound).** Für einen linearen  $(n, k, d_{\min})_q$ -Code, der bis zu  $t$  Fehler korrigieren kann, muß

$$q^{n-k} \geq \sum_{r=0}^t \binom{n}{r} (q-1)^r \quad \text{bzw.} \quad n-k \geq \log_q \left[ \sum_{r=0}^t \binom{n}{r} (q-1)^r \right] \quad (3.3.2)$$

gelten. Speziell für  $q = 2$  bedeutet das:

$$2^{n-k} \geq \sum_{r=0}^t \binom{n}{r} = 1 + n + \binom{n}{2} + \cdots + \binom{n}{t}. \quad (3.3.3)$$

Ein sogenannter perfekter Code liegt vor, wenn eine Zahl  $t$  existiert, so daß Gleichheit in der Hamming-Schranke gilt. In diesem Fall sind die Decodierprinzipien MLD und BMD identisch.

Beweis: Die Decodierkugeln um die Codewörter sind disjunkt. Da es  $q^k$  Codewörter gibt, beträgt die Gesamtzahl aller Wörter in allen Decodierkugeln nach (3.2.3) genau

$$q^k \cdot \sum_{r=0}^t \binom{n}{r} (q-1)^r$$

und diese Zahl muß kleiner oder gleich sein als die Gesamtzahl  $q^n$  aller Wörter. Bei Gleichheit in der Hamming-Schranke sind die Decodierkugeln so dicht gepackt, daß sie den gesamten Raum  $\mathbb{F}_q^n$  ausschöpfen. ■

Satz 3.9 ist eines der praktisch wichtigsten Resultate der Codierungstheorie. Für gegebene Werte  $n, k, q$  kann die Anzahl der bestenfalls korrigierbaren Fehler bestimmt werden, sofern der Code günstig gewählt ist. Für einen schlechten Code kann  $t$  allerdings eventuell viel kleiner sein als es nach der Hamming-Schranke möglich wäre.

Die Hamming-Schranke macht keine Aussagen über die Existenz von Codes! Wenn für eine Parameterkombination  $n, k, t, q$  die Hamming-Schranke erfüllt ist, dann wird damit noch längst nicht die Existenz eines entsprechenden Codes mit  $d_{\min} \geq 2t + 1$  garantiert. Nur der umgekehrte Fall ist garantiert: Wenn die Parameterkombination der Hamming-Schranke nicht genügt, dann kann prinzipiell kein entsprechender Code existieren. Sinngemäß gilt dies auch für die Singleton-Schranke sowie die noch einzuführende Plotkin-Schranke und die Elias-Schranke.

**Beispiel 3.6. (1)** Der  $(7, 4, 3)_2$ -Hamming-Code aus Beispiel 1.2 mit  $d_{\min} = 3$  und  $t = 1$  ist perfekt, denn es gilt  $2^{7-4} = 1 + 7$ . Es gibt kein Wort, das von allen 16 Codewörtern einen Abstand  $\geq 2$  hat.

**(2)** Die Existenz des sogenannten  $(23, 12, 7)_2$ -Golay-Codes mit  $t = 3$  wird hier nicht gezeigt. Einfach ist nur der Nachweis, daß ein solcher Code perfekt ist:

$$2^{23-12} = 2048 = 1 + \binom{23}{1} + \binom{23}{2} + \binom{23}{3}.$$

(3) Betrachte einen  $(127, 113, d)_2$ -Code (der sich in Kapitel 7 als BCH-Code herausstellen wird). Gesucht ist  $d$  unter der Annahme, daß der Code bestmöglich konstruiert wurde. Aus der Hamming-Schranke folgt:

$$2^{127-113} = 16384 \geq \left\{ \begin{array}{l} 1 + 127 + \binom{127}{2} = 8129 \quad t = 2 \\ 1 + 127 + \binom{127}{2} + \binom{127}{3} = 341504 \quad t = 3 \end{array} \right\}.$$

Es folgt  $t = 2$  und somit  $d = 5$  oder  $d = 6$ . Bei 113 Infobits mit 14 Prüfbits können also 2 Fehler korrigiert werden oder es sind 4 (eventuell auch 5) Fehler erkennbar.

(4) Nach der Hamming-Schranke könnten ein  $(20, 10)_2$ -Code mit  $t = 2$  und ein  $(100, 50)_2$ -Code mit  $t = 11$  existieren, wobei die Coderate jeweils  $1/2$  beträgt. Durch 5-fache Wiederholung kann aus dem  $(20, 10)$ -Code ebenfalls ein  $(100, 50)$ -Code konstruiert werden, indem die 10er-Abschnitte des 50er-Infowortes wie beim  $(20, 10)$ -Code encodiert werden. Der so entstehende Code kann aber weder 11 noch 10 Fehler korrigieren, sondern weiterhin nur 2 Fehler, denn 3 Fehler in einem 20er-Abschnitt sind nicht korrigierbar.

Gute Codes großer Blocklänge können also nicht mit dem Wiederholungsprinzip aus Codes kurzer Blocklänge erzeugt werden. ■

Der Begriff perfekter Code ist eigentlich übertrieben, da perfekte Codes von geringer praktischer Bedeutung sind. Perfekt sind nur die Hamming-Codes und Golay-Codes (aufwendiger Beweis) sowie:

**Satz 3.10.** *Der  $(n, 1)_2$ -Wiederholungscode ist bei ungerader Blocklänge ein perfekter Code.*

Beweis: Sei  $n = d_{\min} = 2t + 1$  und sei  $\mathbf{y} \in \mathbb{F}_2^n$  beliebig: Für  $w_H(\mathbf{y}) \leq t$  gilt  $d_H(\mathbf{y}, \mathbf{0}) = w_H(\mathbf{y}) \leq t$  und für  $w_H(\mathbf{y}) \geq t + 1$  gilt  $d_H(\mathbf{y}, \mathbf{1}) = n - w_H(\mathbf{y}) \leq t$ . Also folgt  $K_t(\mathbf{0}) \cup K_t(\mathbf{1}) = \mathbb{F}_2^n$  und somit schöpfen die  $t$ -Kugeln um die Codewörter den Raum vollständig aus. ■

**Satz 3.11 (Plotkin-Schranke).** *Für einen linearen  $(n, k, d_{\min})_q$ -Code muß*

$$d_{\min} \leq \frac{n(q-1)q^{k-1}}{q^k - 1} \approx \frac{n(q-1)}{q} \quad (3.3.4)$$

*gelten. Die Näherung gilt für großes  $k$ .*

Beweis: Aus Symmetriegründen nimmt jedes Codesymbol jeden der  $q$  möglichen Werte gleichhäufig an. Somit ist  $(q-1)/q$  das mittlere Gewicht eines Codesymbols und  $n(q-1)/q$  das mittlere Gewicht eines Codewortes. Wenn vom Nullwort abgesehen wird, erhöht sich das mittlere Gewicht eines Codewortes auf

$$\frac{n(q-1)}{q} \cdot \frac{q^k}{q^k - 1}$$

und dieses mittlere Gewicht muß natürlich größer als das minimale Gewicht sein. ■

Die Singleton-, die Hamming- und die Plotkin-Schranke geben obere Grenzen für einen Code mit gewissen Eigenschaften an, wobei die Existenz eines solchen Codes nicht garantiert wird. Die folgende untere Schranke sichert dagegen die Existenz eines Codes, womit allerdings wie beim Kanalcodierungstheorem nicht die praktische Kenntnis des Codes verbunden ist:

**Satz 3.12 (Gilbert-Varshamov-Schranke).** *Es existiert immer ein linearer  $(n, k, d_{\min})_q$ -Code, sofern*

$$\sum_{r=0}^{d_{\min}-2} \binom{n-1}{r} (q-1)^r < q^{n-k} \quad (3.3.5)$$

*gilt. Für verschiedene weitere Formen dieser Schranke siehe z.B. [18, 115].*

Beweis: Im Vorgriff auf ein später abzuleitendes Resultat (Satz 4.4) ist zu zeigen, daß eine Matrix (Prüfmatrix) mit  $n$  Spalten der Länge  $n - k$  so konstruiert werden kann, daß jede Auswahl von  $d_{\min} - 1$  Spalten linear unabhängig ist.

Die erste Spalte braucht nur ungleich der Nullspalte zu sein. Die zweite Spalte darf kein Vielfaches der ersten Spalte sein. Die dritte Spalte darf keine Linearkombination der ersten beiden Spalten sein. Derart seien  $n - 1$  Spalten konstruiert und zu zeigen ist, daß noch eine  $n$ -te Spalte konstruierbar ist.

Damit von den  $n$  Spalten jeweils  $d_{\min} - 1$  Spalten linear unabhängig sind, darf die  $n$ -te Spalte keine Linearkombination von  $\leq d_{\min} - 2$  Spalten aus den ersten  $n - 1$  Spalten sein.

Die Anzahl der Linearkombinationen von genau  $r$  Spalten aus  $n - 1$  Spalten beträgt  $\binom{n-1}{r} (q-1)^r$  und somit gibt es  $l = \sum_{r=1}^{d_{\min}-2} \binom{n-1}{r} (q-1)^r$  Linearkombinationen von  $\leq d_{\min} - 2$  Spalten aus  $n - 1$  Spalten. Für die  $n$ -te Spalte gibt es  $q^{n-k}$  Möglichkeiten, von denen diese  $l$  Möglichkeiten sowie die Nullspalte ausgeschlossen sind, d.h. es muß  $q^{n-k} > l + 1$  sein. ■

Auch der Beweis der Gilbert-Varshamov-Schranke bietet wie die Beweise des Kanalcodierungstheorems oder des  $R_0$ -Theorems kein praktikables Konstruktionsverfahren für gute Codes, da sich bei schlecht überlegter Auswahl der Spalten Codes mit unübersichtlicher bzw. unbrauchbarer Struktur ergeben.

**Beispiel 3.7.** Betrachte einen  $(63, k, 5)_2$ -Code, d.h. vorgegeben wird die Blocklänge 63 und es wird die Korrektur von 2 Fehlern verlangt und dabei sollen so wenig Prüfstellen wie möglich verwendet werden. Aus der Hamming-Schranke folgt:

$$\sum_{r=0}^2 \binom{63}{r} = 1 + 63 + 1953 = 2017 \leq 2^{n-k}.$$

Also existiert eventuell ein Code mit nur 11 Prüfbits, d.h.  $k \leq 52$ . Aus der Gilbert-Varshamov-Schranke folgt:

$$\sum_{r=0}^3 \binom{62}{r} = 1 + 62 + 1891 + 37820 = 39774 < 2^{n-k}.$$

Also ist die Existenz eines Codes gesichert mit nur 16 Prüfbits, d.h.  $k \geq 47$ . Tatsächlich gibt es einen  $(63, 51, 5)_2$ -BCH-Code (siehe Tabelle 7.1), d.h. dieser Code ist ziemlich gut und die Suche nach einem noch besseren Code lohnt hier kaum. ■

### 3.4 Asymptotische Schranken für die Minimaldistanz

Es wird jetzt der Fall  $n \rightarrow \infty$  bei konstanter Coderate  $R$  betrachtet, so daß damit auch  $k = Rn \rightarrow \infty$  impliziert wird. Für alle oberen bzw. unteren Schranken aus dem vorangehenden Abschnitt gibt es asymptotische Formen, bei denen die sogenannte *Distanzrate*  $d_{\min}/n$  gegen einen Grenzwert bei  $n \rightarrow \infty$  konvergiert. Bei den asymptotischen Schranken werden dann dieser Grenzwert der Distanzrate und die Coderate direkt miteinander verknüpft. Nachfolgend werden nur Binärcodes betrachtet.

**Singleton-Schranke:** Aus (3.3.1) folgt direkt  $d_{\min}/n \leq (n - k + 1)/n \approx 1 - R$  und somit:

$$R \leq 1 - \frac{d_{\min}}{n}. \quad (3.4.1)$$

**Hamming-Schranke:** Aus (3.3.2) folgt direkt  $1 - R \geq n^{-1} \log_2 \sum_{r=0}^t \binom{n}{r}$ . Die rechte Seite dieser Ungleichung konvergiert nach Satz A.1 gegen die binäre Entropiefunktion, indem  $\lambda = t/n \approx d_{\min}/(2n)$  gesetzt wird:

$$R \leq 1 - H_2 \left( \frac{d_{\min}}{2n} \right). \quad (3.4.2)$$

**Plotkin-Schranke:** Aus (3.3.4) folgt lediglich  $1/2 \geq d_{\min}/n$ . Mit zusätzlichem Aufwand [53] kann aber gezeigt werden:

$$R \leq 1 - 2 \frac{d_{\min}}{n}. \quad (3.4.3)$$

**Elias-Schranke:** Diese obere Schranke ist schärfer als alle anderen oberen Schranken und es gilt [12, 32, 53]:

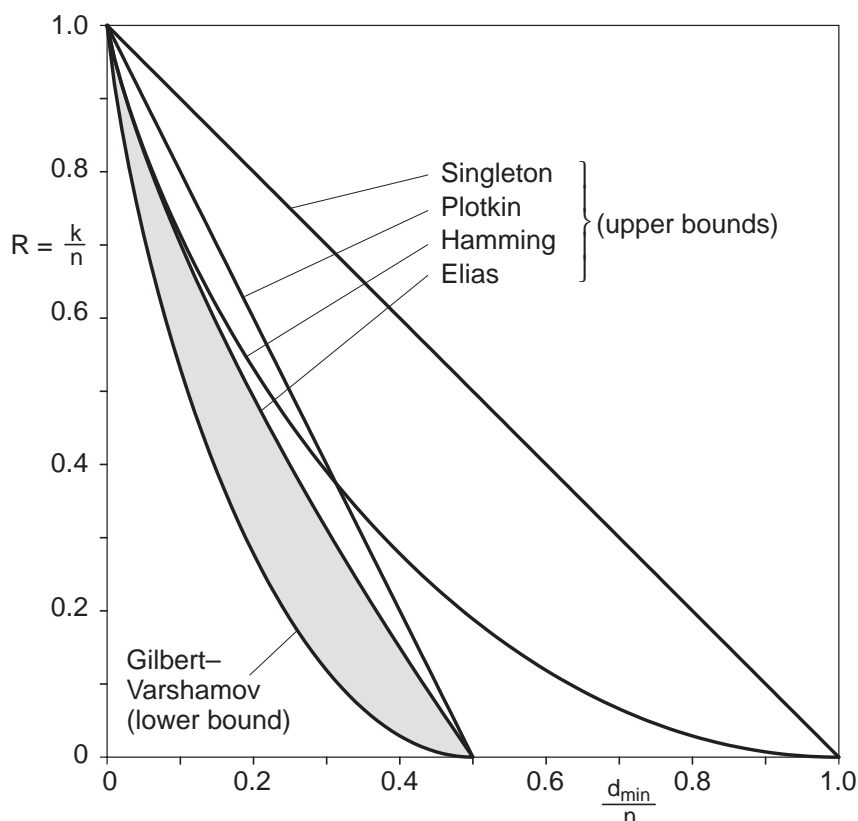
$$R \leq 1 - H_2 \left( \frac{1 - \sqrt{1 - 2 \frac{d_{\min}}{n}}}{2} \right). \quad (3.4.4)$$

**Gilbert-Varshamov-Schranke:** Aus (3.3.5) folgt nach Logarithmieren mit

$$\text{Satz A.1: } n - k = \log_2 \sum_{r=0}^{d_{\min}-2} \binom{n-1}{r} \approx nH_2\left(\frac{d_{\min}-2}{n-1}\right) \approx nH_2\left(\frac{d_{\min}}{n}\right).$$

Daraus ergibt sich schließlich die asymptotische untere Schranke

$$R \geq 1 - H_2\left(\frac{d_{\min}}{n}\right). \quad (3.4.5)$$



**Bild 3.4.** Asymptotische Schranken

In Bild 3.4 erfolgt ein Vergleich der asymptotischen Schranken, indem die Coderate  $R$  als Funktion von  $d_{\min}/n$  dargestellt wird. Alle Codes liegen unter den oberen Schranken, insbesondere also unter der Elias-Schranke, und es gibt einige gute Codes oberhalb der unteren Gilbert-Varshamov-Schranke, d.h. im schraffierten Bereich. Unterhalb des schraffierten Bereiches liegende Codes sind als schlecht anzusehen. Im Bereich großer Coderraten erweist sich die Hamming-Schranke als fast gleichwertig mit der Elias-Schranke. Die asymptotische Singleton-Schranke ist dagegen für  $q = 2$  praktisch wertlos.

Nach der Gilbert-Varshamov-Schranke ist zumindest die Existenz von sogenannten *asymptotisch guten Codefamilien*  $(n_s, k_s, d_s)$  mit

$$\lim_{s \rightarrow \infty} \frac{k_s}{n_s} > 0 \quad \text{und} \quad \lim_{s \rightarrow \infty} \frac{d_s}{n_s} > 0 \quad (3.4.6)$$

garantiert. Dies erscheint auf den ersten Blick wenig bedeutsam und ganz selbstverständlich, aber alle bekannten Codefamilien (abgesehen von verketteten Systemen) erfüllen diese Eigenschaft nicht und sind damit *asymptotisch schlecht*, wie gleich noch gezeigt wird. Die prinzipielle Erklärung der Ursache wurde bereits beim Kanalcodierungstheorem in Abschnitt 2.2 gegeben.

Wie ist es eigentlich möglich, daß es Codes gibt, die die Singleton-Schranke (MDS-Codes) bzw. die Hamming-Schranke (perfekte Codes) annehmen, obwohl die kleinere Elias-Schranke das scheinbar ausschließt? Wie vorangehend bereits erwähnt liegt die Ursache darin, daß bei allen bekannten Codefamilien entweder die Coderate gegen Null oder die Distanzrate gegen Null konvergiert:

**MDS-Codes:** Das wichtigste Beispiel für MDS-Codes stellen die RS-Codes nach Definition 7.1 dar, die bei fester Coderate von der Form

$$(n, k, d_{\min})_q = (q - 1, R(q - 1), (1 - R)(q - 1) + 1)_q$$

sind. Hier gilt zwar  $d_{\min}/n \rightarrow 1 - R$ , aber  $n \rightarrow \infty$  ist mit  $q \rightarrow \infty$  verkoppelt. In der binären Interpretation bleibt die Minimaldistanz unverändert (siehe Kapitel 7), so daß die Form

$$(n, k, d_{\min})_2 = ((q - 1) \log_2 q, R(q - 1) \log_2 q, (1 - R)(q - 1) + 1)_2$$

mit  $d_{\min}/n \rightarrow 0$  resultiert.

**Perfekte Codes:** Hier spielen die kurzen Golay-Codes asymptotisch keine Rolle. Hamming-Codes sind nach Satz 4.10 von der Form

$$(n, k, d_{\min})_2 = (2^r - 1, 2^r - r - 1, 3)_2$$

und somit gilt  $R \rightarrow 1$  und  $d_{\min}/n \rightarrow 0$  für  $r \rightarrow \infty$ . Wiederholungscodes sind nach Satz 3.10 von der Form

$$(n, k, d_{\min})_2 = (2n + 1, 1, 2n + 1)_2$$

mit  $R \rightarrow 0$  und  $d_{\min}/n = 1$ .

Die nächsten Überlegungen schließen an den Beweis des Kanalcodierungstheorems an. Vorausgesetzt wird ein BSC mit der Bit-Fehlerwahrscheinlichkeit  $p_e$  und das BMD-Prinzip gemäß Definition 3.6, d.h. nur bei weniger als  $d_{\min}/2$  Fehlern erfolgt eine Korrektur. Damit für die Wort-Fehlerwahrscheinlichkeit  $P_w \rightarrow 0$  für  $n \rightarrow \infty$  gilt, muß zumindest die Mehrzahl aller Fehlermuster richtig korrigiert werden. Da im Mittel die Anzahl der Fehler  $np_e$  beträgt, muß somit zumindest  $np_e < d_{\min}/2$  gelten. Das ist gleichbedeutend mit  $p_e < d_{\min}/(2n)$  bzw.

$$R_{\text{Hamming}} = 1 - H_2\left(\frac{d_{\min}}{2n}\right) < 1 - H_2(p_e) = C.$$

Da für die asymptotischen Schranken sogar  $R \leq R_{\text{Elias}} \leq R_{\text{Hamming}}$  gelten muß, ist  $R \approx C$  mit  $P_w \rightarrow 0$  nicht erreichbar. Mit dem BMD-Prinzip kann also die

Kanalkapazität nicht erreicht werden und somit ist BMD wesentlich schlechter als das BDD- und MLD-Prinzip.

Fazit: Asymptotisch gute Codes müssen in rechentechnisch günstiger Weise eine Fehlerkorrektur etwas über die halbe Minimaldistanz hinaus ermöglichen (wenn schon die ideale ML-Decodierung unpraktikabel ist). Diese Codeeigenschaft ist bei der Suche nach asymptotisch guten Codes mindestens so bedeutsam wie die Maximierung der Minimaldistanz.

Beim Beweis des Kanalcodierungstheorems wurde  $P_w \rightarrow 0$  bei  $n \rightarrow \infty$  für den Mittelwert über alle zufällig gewählten Codes gezeigt. Mit dem nächsten Satz wird eine ähnliche Mittelwert-Aussage für die Distanzrate formuliert: Bei den meisten Codes liegt die Distanzrate in der Nähe der Gilbert-Varshamov-Schranke bzw. rund die Hälfte aller Codes sind besser als diese Grenze. Nur bei wenigen Codes treten starke Abweichungen von der Grenze auf, d.h. nur wenige Codes weisen eine wesentlich bessere oder wesentlich schlechtere Distanzrate auf [53, 130].

**Satz 3.13.** *Bei zufällig gewählten Binärcodes liegt die Distanzrate  $d_{\min}/n$  asymptotisch auf der Gilbert-Varshamov-Schranke, insbesondere gilt für den Erwartungswert:*

$$R = 1 - H_2 \left( \lim_{n \rightarrow \infty} \frac{E(d_{\min})}{n} \right). \quad (3.4.7)$$

Beweis: Es wird gezeigt, daß die Verteilungsfunktion der Distanzrate für  $n \rightarrow \infty$  gegen eine Sprungfunktion konvergiert, wobei für die Sprungstelle  $\lambda$  genau  $H_2(\lambda) = 1 - R$  gilt. Dazu werden die Codewörter zufällig und statistisch unabhängig voneinander gewählt, was natürlich einen nichtlinearen Code impliziert. Für  $0 < \lambda < 1/2$  und  $\mathbf{a}, \mathbf{b} \in \mathcal{C}$  gilt:

$$\begin{aligned} P \left( \frac{d_{\min}}{n} \geq \lambda \right) &= P \left( d_H(\mathbf{a}, \mathbf{b}) \geq \lambda n \text{ für alle } \mathbf{b} \in \mathcal{C} \setminus \{\mathbf{a}\} \right) \\ &= \prod_{\mathbf{b} \in \mathcal{C} \setminus \{\mathbf{a}\}} P(d_H(\mathbf{a}, \mathbf{b}) \geq \lambda n) \\ &= \prod_{\mathbf{b} \in \mathcal{C} \setminus \{\mathbf{a}\}} P(\mathbf{a} \notin K_{\lambda n}(\mathbf{b})) \\ &= \prod_{\mathbf{b} \in \mathcal{C} \setminus \{\mathbf{a}\}} [1 - 2^{-n} |K_{\lambda n}(\mathbf{b})|]. \end{aligned}$$

Die letzte Gleichheit ergibt sich aus  $P(\mathbf{a} \in \mathcal{M}) = 2^{-n} |\mathcal{M}|$  wie in (2.7.6). Mit  $s_n = \sum_{i=0}^{\lambda n} \binom{n}{i} = |K_{\lambda n}(\mathbf{b})|$  folgt  $P \left( \frac{d_{\min}}{n} \geq \lambda \right) = \left[ 1 - 2^{-n} s_n \right]^{2^k - 1}$ . Durch Loga-

rithmieren ergibt sich daraus

$$\begin{aligned} \ln P\left(\frac{d_{\min}}{n} \geq \lambda\right) &= (2^k - 1) \cdot \ln\left(1 - \frac{s_n}{2^n}\right) \\ &= (2^k - 1) \frac{s_n}{2^n} \cdot \ln\left(\left[1 - \frac{1}{2^{n/s_n}}\right]^{2^{n/s_n}}\right). \end{aligned}$$

Nach Satz A.1 gilt für  $n \rightarrow \infty$ :

$$\begin{aligned} \frac{2^n}{s_n} &\geq \frac{2^n}{2^{nH_2(\lambda)}} = 2^{n(1-H_2(\lambda))} \rightarrow \infty \\ \frac{2^k - 1}{2^n} s_n &\approx 2^{n(R-1+n^{-1}\log_2 s_n)} \rightarrow 2^{n(R-1+H_2(\lambda))}. \end{aligned}$$

Damit folgt

$$\lim_{n \rightarrow \infty} \ln P\left(\frac{d_{\min}}{n} \geq \lambda\right) = 2^{n(R-1+H_2(\lambda))} \cdot \ln(e^{-1}) = \begin{cases} -2^{-\infty} & R < 1 - H_2(\lambda) \\ -2^\infty & R > 1 - H_2(\lambda) \end{cases}$$

und somit

$$\lim_{n \rightarrow \infty} P\left(\frac{d_{\min}}{n} \geq \lambda\right) = \begin{cases} 1 & R < 1 - H_2(\lambda) \\ 0 & R > 1 - H_2(\lambda) \end{cases}. \quad (3.4.8)$$

Bei  $R < 1 - H_2(\lambda)$  gilt also fast immer  $d_{\min}/n \geq \lambda$ , während bei  $R > 1 - H_2(\lambda)$  fast immer  $d_{\min}/n < \lambda$  gilt. Folglich ist bei  $R = 1 - H_2(\lambda)$  meistens  $d_{\min}/n = \lambda$  zu erwarten. Einen Beweis für lineare Codes enthält [130]. ■

Dieser Satz unterstreicht die Leistungsfähigkeit von Zufallscodes, obwohl wie bereits in Abschnitt 2.2 erwähnt kein konstruktives Verfahren zum Erreichen der Gilbert-Varshamov-Schranke bekannt ist – zumindest nicht im Binärfall. Es gilt sogar eine gewisse Umkehrung [83, 87]: Wenn ein Code nicht mehr echt zufällig ist, sondern gewisse reguläre Strukturen enthält (die beispielsweise eine kompaktere Beschreibung als durch reine Aufzählung der Codewörter erlauben), dann wird die Gilbert-Varshamov-Schranke im Mittel nicht mehr erreicht.

### 3.5 Gewichtsverteilung

Zwar ist die Minimaldistanz der wichtigste Parameter eines Blockcodes, aber zur Berechnung der Fehlerwahrscheinlichkeit muß die gesamte sogenannte Gewichtsverteilung bekannt sein:

**Definition 3.7.** Die Gewichtsverteilung (*weight distribution*) eines linearen  $(n, k, d_{\min})_q$ -Blockcodes ist ein Satz von Parametern  $A_0, \dots, A_n$ , wobei  $A_r$  die Anzahl der Codewörter vom Hamminggewicht  $r$  bezeichnet. Der Gewichtsverteilung ist in umkehrbar eindeutiger Weise eine Gewichtsfunktion (*weight enumerator*) zugeordnet, wobei  $Z$  nur ein formaler Platzhalter ist:

$$A(Z) = \sum_{r=0}^n A_r Z^r = \sum_{\mathbf{a} \in \mathcal{C}} Z^{w_H(\mathbf{a})}. \quad (3.5.1)$$

Eine andere oft verwendete Form der Gewichtsfunktion ist

$$W(X, Y) = \sum_{r=0}^n A_r X^{n-r} Y^r = \sum_{a \in \mathcal{C}} X^{n-w_H(a)} Y^{w_H(a)}. \quad (3.5.2)$$

Berechnungen mit der Gewichtsfunktion erfolgen immer in den ganzen Zahlen – unabhängig vom zugrundeliegenden Galoisfeld  $\mathbb{F}_q$  für die Info- und Codesymbole. Die Gleichheiten in (3.5.1) und (3.5.2) sind klar. Für den Zusammenhang zwischen den beiden Formen der Gewichtsfunktion gilt:

$$A(Z) = W(1, Z) \quad , \quad W(X, Y) = X^n A\left(\frac{Y}{X}\right). \quad (3.5.3)$$

Es gelten folgende Eigenschaften:

$$A_0 = A(0) = 1 \quad , \quad A_n \leq (q-1)^n \quad (3.5.4)$$

$$A_r = 0 \text{ für } 0 < r < d_{\min} \quad (3.5.5)$$

$$\sum_{r=0}^n A_r = A(1) = q^k. \quad (3.5.6)$$

Bei manchen Codes ist die Gewichtsverteilung symmetrisch, was äquivalent auch mit der Gewichtsfunktion formuliert werden kann:

$$\begin{aligned} A_r = A_{n-r} \text{ für alle } r &\Leftrightarrow A(Z) = z^n \cdot A(Z^{-1}) \\ &\Leftrightarrow W(X, Y) = W(Y, X). \end{aligned} \quad (3.5.7)$$

Die Gewichtsverteilung kann analytisch geschlossen nur für wenige Codes berechnet werden – dazu zählen aber die Hamming-Codes und die MDS-Codes. Äquivalente Codes haben identische Gewichtsverteilungen, da eine Vertauschung der Codewörter-Komponenten die Gewichte nicht ändert.

**Beispiel 3.8.** (1) Für den  $(7, 4, 3)_2$ -Hamming-Code aus Beispiel 1.2 ergibt sich  $A_0 = A_7 = 1$  und  $A_3 = A_4 = 7$  durch einfaches Abzählen. Die Gewichtsverteilung ist symmetrisch mit  $A(Z) = 1 + Z^7 + 7(Z^3 + Z^4) = Z^7 \cdot A(Z^{-1})$ .

(2) Für den  $(n, 1, n)_2$ -Wiederholungscode gilt offensichtlich  $A(Z) = 1 + Z^n$ .

(3) Betrachte den  $(n, n-1, 2)_2$ -Parity Check Code: Die  $2^{n-1}$  Infowörter der Länge  $k = n-1$  haben eine binomiale Gewichtsverteilung, d.h. es gibt  $\binom{n-1}{r}$  Infowörter vom Gewicht  $r$ . Beim Anhängen der Prüfstelle werden Infowörter geraden Gewichts mit einer Null ergänzt (Gewicht bleibt unverändert) und Infowörter ungeraden Gewichts werden mit einer Eins ergänzt (Gewicht wird auf den geraden Wert erhöht). Folglich gilt  $A_{2r} = \binom{n-1}{2r} + \binom{n-1}{2r-1} = \binom{n}{2r}$  und  $A_{2r-1} = 0$  bzw.

$$A_r = \left\{ \begin{array}{ll} \binom{n}{r} & r \text{ gerade} \\ 0 & r \text{ ungerade} \end{array} \right\}. \quad (3.5.8)$$

Die Eigenschaft (3.5.6) kann mit (A.2.2) einfach verifiziert werden. ■

Viele Codes weisen in grober Näherung eine binomiale Gewichtsverteilung auf [45], d.h. im binären Fall gilt:

$$A_r \approx 2^{k-n} \binom{n}{r}. \quad (3.5.9)$$

Für  $A_{d_{\min}}$  ist diese Approximation aber normalerweise ungeeignet und auch (3.5.5) ist nicht erfüllt. Die vorangehenden Beispiele zeigen deutlich den begrenzten Nutzen dieser Näherung.

Es wird jetzt wie beim Beweis des Kanalcodierungstheorems ein *Zufallscode* (Random Code) betrachtet, bei dem die Codebits in allen Codewörtern zufällig und statistisch unabhängig gewählt werden, wobei 0 und 1 jeweils mit 50% Wahrscheinlichkeit auftreten. Dann ist das Gewicht eines Codewortes exakt binomialverteilt gemäß (A.3.5) mit  $\epsilon = 0,5$ . Diese Verteilung besitzen auch die Fehlermuster eines BSC mit  $p_e = 0,5$  gemäß (1.3.9). Bei einem wie vorangehend definierten Zufallscode gilt (3.5.9) für die Erwartungswerte der Gewichtsverteilung exakt, d.h.

$$E(A_r) = 2^{k-n} \binom{n}{r}. \quad (3.5.10)$$

Allerdings ist dieser Zufallscode nicht linear und Codewörter können sogar identisch sein. Zufallscodes mit garantiert verschiedenen Codewörtern sowie systematische Zufallscodes werden in [104] behandelt. Für den Fall linearer Zufallscodes wird in Satz 4.5 noch bewiesen, daß die Gewichtsverteilung im Mittel exakt folgende Form hat:

$$E(A_r) = \left\{ \begin{array}{ll} 1 & r = 0 \\ 2^{k-n} \left[ \binom{n}{r} - \binom{n-k}{r} \right] & 1 \leq r \leq n-k \\ 2^{k-n} \binom{n}{r} & n-k < r \leq n \end{array} \right\}. \quad (3.5.11)$$

Die Beziehungen (3.5.4) bis (3.5.6) können leicht verifiziert werden. Bei linearen Zufallscodes ist (3.5.9) bzw. (3.5.10) im Mittel über alle Codes näherungsweise erfüllt.

### 3.6 Wahrscheinlichkeit unerkannter Fehler bei Fehlererkennungs-codes

In diesem Abschnitt werden ausschließlich Fehlererkennungs-codes betrachtet, während die beiden folgenden Abschnitte dann die Berechnung der eigentlichen Fehlerwahrscheinlichkeit behandeln, die sich immer auf Fehlerkorrektur-codes bezieht.

Die Wahrscheinlichkeit eines unerkennbaren Fehlermusters kann exakt mit Hilfe der Gewichtsverteilung berechnet werden. Für die Wahrscheinlichkeit eines

unkorrigierbaren Fehlermusters sind dagegen verschiedene Fälle zu unterscheiden: Eine exakte Berechnung ist nur bei der Decodierung gemäß BMD-Prinzip möglich. In allen anderen Fällen kann die Fehlerwahrscheinlichkeit dagegen nur abgeschätzt werden, wobei die Gewichtsverteilung des Codes sich nur bei Soft-Decision auswirkt.

**Satz 3.14 (Fehlererkennung).** *Vorausgesetzt wird ein linearer  $(n, k, d_{\min})_q$ -Code mit der Gewichtsverteilung  $A_0, \dots, A_n \leftrightarrow A(Z)$ . Bei Übertragung über den  $q$ -nären symmetrischen Hard-Decision DMC mit der Symbol-Fehlerwahrscheinlichkeit  $p_e$  kann die Wahrscheinlichkeit  $P_{ue}$  ( $ue = \text{undetected error}$ ) eines unentdeckbaren Fehlermusters exakt berechnet werden:*

$$P_{ue} = P(\mathbf{e} \in \mathcal{C} \setminus \{\mathbf{0}\}) = \sum_{r=d_{\min}}^n A_r \left( \frac{p_e}{q-1} \right)^r (1-p_e)^{n-r} \quad (3.6.1)$$

$$= (1-p_e)^n \left[ A \left( \frac{p_e}{(q-1)(1-p_e)} \right) - 1 \right].$$

Für kleines  $p_e$  und  $q = 2$  gilt

$$P_{ue} \approx \sum_{r=d_{\min}}^n A_r \cdot p_e^r = A(p_e) - 1 \quad (3.6.2)$$

$$\approx A_{d_{\min}} \cdot p_e^{d_{\min}}. \quad (3.6.3)$$

Im binären Fall wird  $P_{ue}$  normalerweise maximal bei  $p_e = 1/2$  und ist dann durch die Anzahl der Prüfstellen exponentiell begrenzt:

$$P_{ue} \leq P_{ue}(p_e = 1/2) = \frac{2^k - 1}{2^n} \leq 2^{-(n-k)}. \quad (3.6.4)$$

*Achtung:* Es gibt aber auch sogenannte improper Codes mit  $P_{ue} \gg 2^{-(n-k)}$  bei  $p_e \ll 1/2$ . Deshalb wird (3.6.4) auch als trügerische Schranke bezeichnet.

Beweis: (1) Die Gleichheit in (3.6.1) folgt direkt aus

$$A \left( \frac{p_e}{(q-1)(1-p_e)} \right) = 1 + \sum_{r=1}^n A_r \left( \frac{p_e}{q-1} \right)^r (1-p_e)^{-r}.$$

Es ist unwesentlich, ob die Summation bei  $r = 1$  oder  $r = d_{\min}$  beginnt. Die Formeln (3.6.2) und (3.6.3) für kleines  $p_e$  folgen direkt aus (3.6.1). Auch (3.6.4) ergibt sich direkt aus (3.6.1) mit Hilfe von (3.5.6).

(2) Beweis von (3.6.1): Es sei  $\mathbf{a}_\nu = (a_{\nu,0}, \dots, a_{\nu,n-1})$  mit  $0 \leq \nu \leq q^k - 1$  eine Aufzählung der Codewörter mit  $\mathbf{a}_0 = \mathbf{0}$ . Dann gilt:

$$P_{ue} = P(\mathbf{e} \in \mathcal{C} \setminus \{\mathbf{0}\}) = \sum_{\nu=1}^{q^k-1} P(\mathbf{e} = \mathbf{a}_\nu).$$

Offensichtlich bedeutet  $\mathbf{e} = \mathbf{a}_\nu$  folgendes:

- an  $n - w_H(\mathbf{a}_\nu)$  Stellen gilt  $e_j = a_{\nu,j} = 0$  mit  $P(e_j = 0) = 1 - p_e$   
 an  $w_H(\mathbf{a}_\nu)$  Stellen gilt  $e_j = a_{\nu,j} \neq 0$  mit  $P(e_j \neq 0) = p_e$ .

Die Wahrscheinlichkeit, daß  $e_j$  einen speziellen Wert  $\neq 0$  annimmt, beträgt  $p_e/(q-1)$ . Somit folgt ähnlich wie bei (3.5.1) und (3.5.2):

$$\begin{aligned} P_{ue} &= \sum_{\nu=1}^{q^k-1} (1-p_e)^{n-w_H(\mathbf{a}_\nu)} \left( \frac{p_e}{q-1} \right)^{w_H(\mathbf{a}_\nu)} \\ &= \sum_{r=1}^n A_r \cdot (1-p_e)^{n-r} \left( \frac{p_e}{q-1} \right)^r. \end{aligned}$$

Hierbei entsprechen  $\nu = 0$  und  $r = 0$  beide dem Nullwort. ■

**Beispiel 3.9.** (1) Für den  $(7, 4, 3)_2$ -Hamming-Code aus Beispiel 3.8(1) gilt

$$P_{ue} = 7p_e^3(1-p_e)^4 + 7p_e^4(1-p_e)^3 + p_e^7 = 7p_e^3 - 21p_e^4 + 21p_e^5 - 7p_e^6 + p_e^7.$$

(2) Für den  $(n, 1, n)_2$ -Wiederholungscode folgt aus der Definition von  $P_{ue}$  direkt  $P_{ue} = P(\mathbf{e} = 11 \dots 1) = p_e^n$ . Das gleiche Ergebnis liefert  $A(Z) = 1 + Z^n$ :

$$P_{ue} = (1-p_e)^n \left( A \left( \frac{p_e}{1-p_e} \right) - 1 \right) = (1-p_e)^n \frac{p_e^n}{(1-p_e)^n} = p_e^n.$$

(3) Für den  $(n, n-1, 2)_2$ -Parity Check Code gilt nach (3.5.8):

$$P_{ue} = \sum_{r=1}^{\lfloor n/2 \rfloor} \binom{n}{2r} p_e^{2r} (1-p_e)^{n-2r}.$$

Bei  $p_e = 1/2$  gilt  $P_{ue} \approx 1/2$  und bei kleinem  $p_e$  gilt  $P_{ue} \approx \frac{n(n-1)}{2} p_e^2$ .

(4) Als Beispiel für einen improper Code wird ein äußerst ungünstig gewählter systematischer  $(2k, k, 1)_2$ -Code betrachtet, bei dem alle Prüfstellen identisch Null sind. Somit gilt  $A_r = \binom{k}{r}$  für  $0 \leq r \leq k$  und  $A_r = 0$  für  $r > k$  bzw.  $A(Z) = \sum_r \binom{k}{r} Z^r = (Z+1)^k$  nach (A.2.2). Für den BSC mit der Bit-Fehlerwahrscheinlichkeit  $p_e$  gilt nach (3.6.1)

$$P_{ue} = (1-p_e)^{2k} \left( \left( \frac{p_e}{1-p_e} + 1 \right)^k - 1 \right) = (1-p_e)^k (1 - (1-p_e)^k).$$

Insbesondere ergeben sich daraus folgende Spezialfälle:

$$P_{ue} = \left\{ \begin{array}{ll} 2^{-k}(1-2^{-k}) \approx 0 & \text{bei } p_e = 1/2 \\ 1/4 & \text{bei } p_e = 1 - 2^{-1/k} \approx 0 \end{array} \right\}.$$

Also ist die Wahrscheinlichkeit unerkannter Fehler klein bei hoher BSC-Fehlerrate, aber groß bei kleiner BSC-Fehlerrate. Folglich verletzt dieser Code die Schranke (3.6.4). ■

Erstaunlicherweise sind für die so simpel erscheinende Formel (3.6.1) keine allgemein gültigen Aussagen ableitbar. Lediglich für den Fall  $p_e = 1/2$  gilt generell das in (3.6.4) angegebene Ergebnis. In [120, 147] und einer Reihe weiterer Arbeiten wurden einzelne Codeklassen daraufhin untersucht, ob mit kleinerem  $p_e$  auch  $P_{ue}$  kleiner wird. Normalerweise ist das der Fall – jedoch gibt es auch einige spezielle Codes wie beispielsweise den  $(63, 24)_2$ -BCH-Code, die tatsächlich die trügerische Schranke (3.6.4) verletzen. Üblicherweise werden zur Fehlererkennung aber die Abschnitt 5.6 diskutierten CRC-Codes verwendet.

### 3.7 Fehlerwahrscheinlichkeit bei Hard-Decision

Bei Hard-Decision wird das Empfangswort  $\mathbf{y} = \mathbf{a} + \mathbf{e}$  weiterhin wie in (3.2.1) interpretiert als Überlagerung des Sendewortes  $\mathbf{a}$  mit einem Fehlerwort  $\mathbf{e}$ . Die Wahrscheinlichkeit  $P_{ee} = P(\mathbf{e} \neq \mathbf{0})$  für das Auftreten eines Fehlermusters ungleich Null wurde bereits in (1.3.6) angegeben und die Wahrscheinlichkeit  $P_{ue} = P(\mathbf{e} \in \mathcal{C} \setminus \{\mathbf{0}\})$  für das Auftreten eines unerkennbaren Fehlermusters wurde vorangehend in Abschnitt 3.6 berechnet. Bei der Fehlerkorrektur interessiert die Wahrscheinlichkeit  $P_w$  für das Auftreten eines Fehlermusters, das zu einem nicht korrigierbaren oder falsch korrigierten Empfangswort führt. Dabei ist natürlich eine Abhängigkeit vom verwendeten Decodierprinzip zu erwarten.

**Satz 3.15 (Fehlerkorrektur).** *Vorausgesetzt wird ein linearer  $(n, k, d_{\min})_q$ -Code mit  $t = \lfloor (d_{\min} - 1)/2 \rfloor$  und ML-Decodierung. Bei Übertragung über den  $q$ -nären symmetrischen Hard-Decision DMC mit der Symbol-Fehlerwahrscheinlichkeit  $p_e$  gilt für die Wort-Fehlerwahrscheinlichkeit  $P_w$  folgende Abschätzung:*

$$P_w \leq 1 - \sum_{r=0}^t \binom{n}{r} p_e^r (1 - p_e)^{n-r} = \sum_{r=t+1}^n \binom{n}{r} p_e^r (1 - p_e)^{n-r}. \quad (3.7.1)$$

Bei der Decodierung nach dem BMD-Prinzip oder bei perfekten Codes gilt hier sogar Gleichheit, d.h.  $P_w$  kann exakt berechnet werden. Für die Bit-Fehlerwahrscheinlichkeit  $P_b$  gilt allgemein die Abschätzung

$$P_b \leq \sum_{r=t+1}^n \min \left\{ 1, \frac{r+t}{k} \right\} \binom{n}{r} p_e^r (1 - p_e)^{n-r}. \quad (3.7.2)$$

Für kleines  $p_e$  gelten näherungsweise die Abschätzungen:

$$P_w \lesssim \binom{n}{t+1} p_e^{t+1}, \quad P_b \lesssim \min \left\{ 1, \frac{d_{\min}}{k} \right\} \cdot P_w. \quad (3.7.3)$$

Beweis: Da das MLD-Prinzip besser als das BMD-Prinzip ist, braucht nur die Gleichheit für BMD bewiesen zu werden. Eine korrekte BM-Decodierung erfolgt

genau dann, wenn maximal  $t$  Fehler auftreten:

$$\begin{aligned} P_w &= 1 - P(\text{richtige Decodierung}) \\ &= 1 - P(w_H(\mathbf{e}) \leq t) = P(w_H(\mathbf{e}) \geq t + 1) \\ &= 1 - \sum_{r=0}^t P(w_H(\mathbf{e}) = r) = \sum_{r=t+1}^n P(w_H(\mathbf{e}) = r). \end{aligned}$$

Die Anzahl der Fehler in einem Wort der Länge  $n$  ist nach (1.3.9) binomialverteilt:

$$P(w_H(\mathbf{e}) = r) = \binom{n}{r} p_e^r (1 - p_e)^{n-r}.$$

Damit ist (3.7.1) bewiesen, wobei die Gleichheit in (3.7.1) auch direkt aus der binomischen Formel (A.2.2) folgt. Für  $P_b$  gilt

$$\begin{aligned} P_b &= \frac{1}{k} P(\text{Anzahl Bitfehler pro decodiertem Wort}) \\ &= \frac{1}{k} \sum_{r=0}^n E(\text{Anz. Bitfehler pro dec. Wort} \mid w_H(\mathbf{e}) = r) \cdot P(w_H(\mathbf{e}) = r) \\ &\leq \frac{1}{k} \sum_{r=0}^n \min\{k, r + t\} P(w_H(\mathbf{e}) = r), \end{aligned}$$

denn die Anzahl der Bitfehler pro Wort ist einerseits begrenzt auf die Anzahl  $k$  der Infobits und andererseits begrenzt auf  $r + t$ , denn bei BMD gilt

$$w_H(\mathbf{a}, \hat{\mathbf{a}}) \leq \underbrace{w_H(\mathbf{a}, \mathbf{y})}_{=r} + \underbrace{w_H(\mathbf{y}, \hat{\mathbf{a}})}_{\leq t}.$$

Für kleines  $p_e$  dominiert der erste Summand im rechten Term von (3.7.1). Für  $P_b$  gilt dabei  $(r + t)/k = (2t + 1)/k = d_{\min}/k$ . Für größeres  $p_e$  werden die Fehlerwahrscheinlichkeiten mit (3.7.3) aber eventuell unterschätzt, so daß sich die obere Schranke in eine untere Schranke verwandeln kann. ■

Für den Beweis des Satzes wurde die ML-Decodierung zur BM-Decodierung verschlechtert. Dabei spielt nur die Minimaldistanz des Codes eine Rolle, so daß in Satz 3.15 die Gewichtsverteilung des Codes nicht auftaucht. Das Ergebnis (3.7.3) wurde bereits in Abschnitt 1.7 zur Herleitung des asymptotischen Codierungsgewinns bei Hard-Decision benutzt mit dem Ergebnis  $G_{a,\text{hard}} = 10 \cdot \log_{10}(R(t + 1))$  dB. Mit (3.7.3) wird auch nochmals die Näherung (1.7.2) für den Zusammenhang zwischen Bit- und Wort-Fehlerwahrscheinlichkeit begründet.

Achtung: Schon bei einigermaßen kleinen Werten von  $p_e$  kann die Differenz im linken Term von (3.7.1) numerisch kaum ausgewertet werden, so daß in diesem Fall immer der rechte Term benutzt werden sollte.

Mit den Resultaten aus Satz 3.15 wurden die Bit- und Wort-Fehlerwahrscheinlichkeiten in den Bildern 1.10, 1.11, 3.5 sowie die BCH-Kurven in Abschnitt 7.3 berechnet.

**Beispiel 3.10. (1)** Der  $(7, 4, 3)_2$ -Hamming-Code mit  $t = 1$  ist nach Beispiel 3.6(1) perfekt und somit gilt nach (3.7.1):

$$\begin{aligned} P_w &= 1 - \binom{7}{0} p_e^0 (1 - p_e)^7 - \binom{7}{1} p_e^1 (1 - p_e)^6 = 1 - (1 - p_e)^7 - 7p_e(1 - p_e)^6 \\ &= 1 - (1 - 7p_e + 21p_e^2 - p_e^3 \dots) - 7p_e(1 - 6p_e + p_e^2 \dots) \\ &\approx 21p_e^2 = \binom{7}{2} p_e^2. \end{aligned}$$

Damit wurde die Näherung (3.7.3) bestätigt. Der asymptotische Codierungsgewinn beträgt  $G_{a, \text{hard}} = 10 \cdot \log_{10}(4/7 \cdot 2) = 0,6$  dB.

**(2)** Der  $(n, 1, n)_2$ -Wiederholungscode mit  $n = 2t + 1$  ist nach Satz 3.10 perfekt und es gilt natürlich  $P_b = P_w$ . Für kleines  $p_e$  gilt nach dem linken Teil von (3.7.3) näherungsweise  $P_b = P_w \approx \binom{2t+1}{t+1} p_e^{t+1}$ . Die exakte Rechnung nach (3.7.1) ergibt bei

$$p_e = \begin{cases} 0,00001 & n = 1 \\ 0,0018 & n = 3 \\ 0,010 & n = 5 \end{cases}$$

jeweils  $P_b = P_w = 10^{-5}$ . Mit einer größeren Blocklänge bzw. einer kleineren Coderate kann also ein schlechterer Kanal kompensiert werden. Wenn aber der BSC aus einem binär quantisierten AWGN entsteht, so erweist sich der Wiederholungscode als schlecht: Aus  $p_e = Q(\sqrt{2RE_b/N_0})$  ergibt sich nämlich

$$\frac{E_b}{N_0} = \begin{cases} 9,6 & n = 1 \\ 11,0 & n = 3 \\ 11,3 & n = 5 \end{cases} \text{ dB}$$

als notwendiges Verhältnis für  $P_b = P_w = 10^{-5}$ , d.h. die Codierung verlangt einen besseren Kanal. Entsprechend erweist sich auch der asymptotische Codierungsgewinn mit  $G_{a, \text{hard}} = -1,8$  dB ( $n = 3$ ) bzw.  $-2,2$  dB ( $n = 5$ ) als negativ. Triviale Codes wie der Wiederholungscode erweisen sich also als wertlos oder sogar als nachteilig. ■

### 3.8 Fehlerwahrscheinlichkeit bei Soft-Decision und im allgemeinen Fall (Union Bound)

Es wird nun der allgemeine DMC mit binärem Input ( $q = 2$ ) betrachtet. Die Fehlerwahrscheinlichkeit eines ML-decodierten Blockcodes erweist sich nachfolgend als abhängig von den:

- *Codeeigenschaften*, gegeben durch die Gewichtsverteilung (Definition 3.7).
- *Kanaleigenschaften*, gegeben durch die Bhattacharyya-Schranke  $\gamma$  (Definition 2.4). Rekapitulation der beiden Standardkanäle:

$$\gamma = \left\{ \begin{array}{ll} \sqrt{4p_e(1-p_e)} & \text{BSC} \\ e^{-E_c/N_0} & \text{AWGN } (q = 2) \end{array} \right\}.$$

## 4. Blockcodes in Matrixbeschreibung

Das Prinzip der ML-Decodierung, die informationstheoretischen Grenzen und die prinzipielle Leistungsfähigkeit von Blockcodes sowie die Berechnung der Fehlerwahrscheinlichkeit bei codierter Übertragung konnten in den vorangehenden Kapiteln allein mit der aufzählenden Beschreibung eines Blockcodes dargestellt werden.

Für eine vernünftige Definition von Codes großer Blocklänge und für die rechentechnisch günstige Verarbeitung in Encoder und Decoder ist jedoch eine kompakte Beschreibung mit Matrizen erforderlich, die zusammen mit einigen weiteren wichtigen Konzepten wie beispielsweise dem dualen Code und der Syndrom-Decodierung Thema dieses Kapitels ist.

Wirklich leistungsfähige und praktisch relevante Codierungsverfahren ergeben sich allerdings erst durch Aufprägung einer weiteren Struktur neben der Linearität. Die so entstehenden zyklischen Codes und ihre Beschreibung durch Polynome werden im nächsten Kapitel dargestellt.

### 4.1 Generatormatrix

Vorausgesetzt wird ein linearer  $(n, k)_q$ -Code  $\mathcal{C}$ . Nach Definition 3.3 ist die Codemenge  $\mathcal{C}$  ein Vektorraum mit  $q^k$  Wörtern bzw. Vektoren.  $\mathcal{C}$  kann auch als Untervektorraum des Vektorraums  $\mathbb{F}_q^n$  aller  $q^n$  möglichen Wörter aufgefaßt werden. Für die Grundbegriffe zu Vektorräumen wird auf Abschnitt A.5 verwiesen. Insbesondere ist jede *Linearkombination* von Codewörtern wieder ein Codewort, d.h.

$$\mathbf{a}_1, \dots, \mathbf{a}_l \in \mathcal{C}, \quad \alpha_1, \dots, \alpha_l \in \mathbb{F}_q \quad \Longrightarrow \quad \sum_{i=1}^l \alpha_i \mathbf{a}_i \in \mathcal{C}.$$

Die maximale Anzahl der linear unabhängigen Wörter entspricht der *Dimension* des Vektorraums bzw. des Codes und wird als  $\text{Dim}(\mathcal{C})$  geschrieben. Klar ist  $\text{Dim}(\mathcal{C}) \leq n$  und weiter gilt sogar  $\text{Dim}(\mathcal{C}) = k$ , da ein Vektorraum der Dimension  $k$  über  $\mathbb{F}_q$  genau  $q^k$  Wörter enthält. Jede Auswahl von  $\text{Dim}(\mathcal{C})$  linear unabhängigen Wörtern bildet eine *Basis* für den Code.

Mit  $\mathbb{F}_q^n$  werden die Wörter bzw. Vektoren der Länge  $n$  mit Elementen aus  $\mathbb{F}_q$  bezeichnet. Entsprechend steht  $\mathbb{F}_q^{k,n}$  für die Menge der  $(k, n)$ -dimensionalen Matrizen mit Elementen aus  $\mathbb{F}_q$ .

**Definition 4.1.** Eine Matrix  $\mathbf{G} \in \mathbb{F}_q^{k,n}$  heißt Generatormatrix für den linearen  $(n, k)_q$ -Code  $\mathcal{C}$ , wenn gilt:

$$\mathcal{C} = \left\{ \mathbf{u}\mathbf{G} \mid \mathbf{u} \in \mathbb{F}_q^k \right\}. \quad (4.1.1)$$

Die Generatormatrix erzeugt den Code und liefert gleichzeitig eine Encodierschrift, indem die Codewörter in folgender Form erzeugt werden:

$$\begin{aligned} (a_0, \dots, a_{n-1}) &= (u_0, \dots, u_{k-1}) \cdot \begin{pmatrix} g_{0,0} & \dots & g_{0,n-1} \\ \vdots & & \vdots \\ g_{k-1,0} & \dots & g_{k-1,n-1} \end{pmatrix} \\ &= (u_0 g_{0,0} + \dots + u_{k-1} g_{k-1,0}, \dots, u_0 g_{0,n-1} + \dots + u_{k-1} g_{k-1,n-1}) \\ &= u_0 (g_{0,0}, \dots, g_{0,n-1}) + \dots + u_{k-1} (g_{k-1,0}, \dots, g_{k-1,n-1}). \end{aligned}$$

Die Zeilen der Generatormatrix sollen linear unabhängig sein und bilden deshalb eine Basis für  $\mathcal{C}$  mit  $\dim(\mathcal{C}) = k$ .

Die Zeilen der Generatormatrix sind offensichtlich Codewörter zu den Einheitsvektoren als Infowörter. Jeder von einer Generatormatrix erzeugte Code ist linear, denn aus  $\mathbf{a}_i = \mathbf{u}_i \mathbf{G}$  folgt:

$$\sum_{i=1}^l \alpha_i \mathbf{a}_i = \sum_{i=1}^l \alpha_i (\mathbf{u}_i \mathbf{G}) = \underbrace{\left( \sum_{i=1}^l \alpha_i \mathbf{u}_i \right)}_{\mathbf{u}} \cdot \mathbf{G} = \mathbf{u} \cdot \mathbf{G}.$$

Der Zeilenrang (Spaltenrang) einer Matrix ist die Anzahl der linear unabhängigen Zeilen (Spalten) bzw. die Dimension des davon erzeugten Vektorraums. Zeilenrang und Spaltenrang stimmen überein und werden deshalb kurz *Rang* genannt. Wegen  $n > k$  sind die Spalten der Generatormatrix natürlich linear abhängig.

**Beispiel 4.1.** Betrachte den  $(7, 4)_2$ -Hamming-Code mit der aufzählenden Beschreibung von  $\mathcal{C}$  gemäß Beispiel 1.2. Eine passende Generatormatrix ist

$$\mathbf{G} = \begin{pmatrix} 1 & 0 & 0 & 0 & 0 & 1 & 1 \\ 0 & 1 & 0 & 0 & 1 & 0 & 1 \\ 0 & 0 & 1 & 0 & 1 & 1 & 0 \\ 0 & 0 & 0 & 1 & 1 & 1 & 1 \end{pmatrix}$$

mit dem systematischen Encoder

$$(u_0, u_1, u_2, u_3) \mapsto (u_0, u_1, u_2, u_3, u_1 + u_2 + u_3, u_0 + u_2 + u_3, u_0 + u_1 + u_3).$$

Zahlenbeispiel:

$$(1, 1, 0, 1) \mapsto (1, 1, 0, 1, 0 + 1 + 1, 1 + 0 + 1, 1 + 1 + 1) = (1, 1, 0, 1, 0, 0, 1).$$

Die maximale Anzahl der linear unabhängigen Zeilen ist 4, wie aus den ersten vier Komponenten ersichtlich ist (die restlichen drei Komponenten spielen für die Dimension keine Rolle, sondern nur für die Minimaldistanz). Auch die maximale Anzahl der linear unabhängigen Spalten ist 4, da die ersten vier Spalten offensichtlich linear unabhängig sind und die restlichen drei Spalten Linearkombinationen der ersten vier Spalten sind. Die Zeilen der Generatormatrix bilden eine Basis für den Code, d.h. 1000011, 0100101, 0010110, 0001111 sind vier linear unabhängige Codewörter. ■

**Satz 4.1 (Elementare Zeilenoperationen).** *Es sei  $\mathbf{G}$  eine Generatormatrix für den  $(n, k)_q$ -Code  $\mathcal{C}$ . Dann sind in  $\mathbf{G}$  die folgenden sogenannten elementaren Zeilenoperationen erlaubt, ohne daß sich der Code dadurch ändert:*

- (1) Vertauschung zweier Zeilen.
- (2) Multiplikation einer Zeile mit einem Skalar ungleich Null.
- (3) Addition einer mit einem Skalar multiplizierten Zeile zu einer anderen Zeile.

Also erzeugen die vier folgenden Generatormatrizen jeweils den gleichen Code:

$$\begin{pmatrix} \vdots \\ \mathbf{g}_i \\ \vdots \\ \mathbf{g}_j \\ \vdots \end{pmatrix} \quad \begin{pmatrix} \vdots \\ \mathbf{g}_j \\ \vdots \\ \mathbf{g}_i \\ \vdots \end{pmatrix} \quad \begin{pmatrix} \vdots \\ \alpha \mathbf{g}_i \\ \vdots \\ \mathbf{g}_j \\ \vdots \end{pmatrix} \quad \begin{pmatrix} \vdots \\ \mathbf{g}_i \\ \vdots \\ \mathbf{g}_j + \alpha \mathbf{g}_i \\ \vdots \end{pmatrix}. \quad (4.1.2)$$

Mit diesen elementaren Zeilenoperationen (sowie eventuell zusätzlicher Spaltenvertauschungen) kann  $\mathbf{G}$  überführt werden in die sogenannte Zeilennormalform (Gaußsche Normalform, kanonische Staffelform, row echelon form):

$$\mathbf{G} = \left( \mathbf{E}_k \mid \mathbf{P} \right). \quad (4.1.3)$$

Dabei ist  $\mathbf{E}_k \in \mathbb{F}_q^{k,k}$  eine Einheitsmatrix und  $\mathbf{P} \in \mathbb{F}_q^{k,n-k}$ .

Die Zeilennormalform entspricht einem systematischen Encoder, der also immer erreicht werden kann. Falls zum Erreichen der Form (4.1.3) Spaltenvertauschungen erforderlich sind, ändert sich damit die Codemenge und die Codes sind nicht mehr identisch, sondern nur noch äquivalent (siehe Definition 1.6). Die Distanzeigenschaften und die Gewichtsverteilung äquivalenter Codes sind aber identisch.

Der Beweis dieses Satzes erfolgt genau wie in der linearen Algebra für reelle Zahlen. Wenn  $\mathbf{G}$  nicht den maximalen Rang  $k$  hätte, dann würde durch die elementaren Zeilenoperationen eine Nullzeile entstehen mit der Konsequenz  $|\mathcal{C}| \leq q^{k-1}$ , was aber der Definition der Encodierung widerspricht.

**Beispiel 4.2.** Betrachte wieder den  $(7, 4)_2$ -Hamming-Code. Nach den Beispielen 4.1 oder 1.2 sind 1111111, 1011010, 0110011, 1110000 jeweils Codewörter. Wenn diese Codewörter linear unabhängig sind (was per Augenschein nicht sofort entscheidbar ist), dann bilden diese Wörter ebenfalls eine Basis und die damit gebildete Generatormatrix  $\mathbf{G}_1$  muß einen identischen Code erzeugen:

$$\mathbf{G}_1 = \begin{pmatrix} 1 & 1 & 1 & 1 & 1 & 1 & 1 \\ 1 & 0 & 1 & 1 & 0 & 1 & 0 \\ 0 & 1 & 1 & 0 & 0 & 1 & 1 \\ 1 & 1 & 1 & 0 & 0 & 0 & 0 \end{pmatrix}.$$

Durch die elementaren Zeilenoperationen wird nun versucht,  $\mathbf{G}_1$  in  $\mathbf{G}$  aus Beispiel 4.1 zu überführen: Addiere Zeile 1 zu Zeile 2 und zu Zeile 4:

$$\mathbf{G}_2 = \begin{pmatrix} 1 & 1 & 1 & 1 & 1 & 1 & 1 \\ 0 & 1 & 0 & 0 & 1 & 0 & 1 \\ 0 & 1 & 1 & 0 & 0 & 1 & 1 \\ 0 & 0 & 0 & 1 & 1 & 1 & 1 \end{pmatrix}.$$

Addiere Zeile 2 zu Zeile 1 und zu Zeile 3:

$$\mathbf{G}_3 = \begin{pmatrix} 1 & 0 & 1 & 1 & 0 & 1 & 0 \\ 0 & 1 & 0 & 0 & 1 & 0 & 1 \\ 0 & 0 & 1 & 0 & 1 & 1 & 0 \\ 0 & 0 & 0 & 1 & 1 & 1 & 1 \end{pmatrix}.$$

Addiere Zeile 3 zu Zeile 1:

$$\mathbf{G}_4 = \begin{pmatrix} 1 & 0 & 0 & 1 & 1 & 0 & 0 \\ 0 & 1 & 0 & 0 & 1 & 0 & 1 \\ 0 & 0 & 1 & 0 & 1 & 1 & 0 \\ 0 & 0 & 0 & 1 & 1 & 1 & 1 \end{pmatrix}.$$

Addiere Zeile 4 zu Zeile 1:

$$\mathbf{G}_5 = \begin{pmatrix} 1 & 0 & 0 & 0 & 0 & 1 & 1 \\ 0 & 1 & 0 & 0 & 1 & 0 & 1 \\ 0 & 0 & 1 & 0 & 1 & 1 & 0 \\ 0 & 0 & 0 & 1 & 1 & 1 & 1 \end{pmatrix}.$$

Dies ist wieder die originale Generatormatrix aus Beispiel 4.1. ■

Offensichtlich ist die Minimaldistanz kleiner oder gleich dem minimalen Hamminggewicht aller Zeilen der Generatormatrix, da die Zeilen Codewörter sind. Das folgende Beispiel zeigt aber, daß  $d_{\min}$  auch echt kleiner als das minimale Zeilengewicht sein kann:

$$\mathbf{G} = \begin{pmatrix} 1 & 1 & 1 & 0 \\ 0 & 1 & 1 & 1 \end{pmatrix} \text{ erzeugt } \mathcal{C} = \{0000, 1110, 0111, 1001\}.$$

## 4.2 Prüfmatrix

Ein Code kann nicht nur über die Generatormatrix  $\mathbf{G}$  definiert werden, sondern auch über die nachfolgend erklärte Prüfmatrix  $\mathbf{H}$ . Eine mögliche Prüfmatrix und eine mögliche Generatormatrix können jeweils auseinander hergeleitet werden. Ferner wird über die Prüfmatrix in Abschnitt 4.6 das zentrale Konzept des Syndroms eingeführt.

**Definition 4.2.** Eine Matrix  $\mathbf{H} \in \mathbb{F}_q^{n-k,n}$  heißt Prüfmatrix (Parity Check Matrix) für den linearen  $(n, k)_q$ -Code  $\mathcal{C}$ , wenn gilt:

$$\mathcal{C} = \left\{ \mathbf{a} \in \mathbb{F}_q^n \mid \mathbf{a}\mathbf{H}^T = \mathbf{0} \right\}. \quad (4.2.1)$$

Dabei hat das Nullwort die Länge  $n - k$ . Für die Codewörter  $\mathbf{a} \in \mathcal{C}$  gilt also  $\mathbf{a}\mathbf{H}^T = \mathbf{0}$  und für alle anderen Wörter  $\mathbf{a} \notin \mathcal{C}$  gilt  $\mathbf{a}\mathbf{H}^T \neq \mathbf{0}$ .  $\mathcal{C}$  heißt auch Nullraum von  $\mathbf{H}$  bzw. Zeilenraum von  $\mathbf{G}$ .

Wie die Generatormatrix wird auch die Prüfmatrix durch den Code keinesfalls eindeutig bestimmt:

**Satz 4.2.** Die Prüfmatrix  $\mathbf{H}$  hat den maximal möglichen Rang  $n - k$  und es sind die elementaren Zeilenoperationen für  $\mathbf{H}$  erlaubt – aber nicht für  $\mathbf{H}^T$ !

Beweis in Kurzform: Wenn der Rang von  $\mathbf{H}$  kleiner als  $n - k$  wäre, könnte durch die elementaren Zeilenoperationen eine Nullzeile erzeugt werden, was einer Nullspalte in  $\mathbf{H}^T$  entspricht. Der Nullraum von  $\mathbf{H}$  hätte dann mindestens die Dimension  $k + 1$  und wäre dann größer als die Dimension  $k$  des Codes. Dann wäre  $\mathbf{H}$  keine Prüfmatrix im Sinne von Definition 4.2, so daß sich die Annahme als falsch erweist. Folglich ist  $n - k$  der Rang von  $\mathbf{H}$ . ■

**Satz 4.3.** Der lineare  $(n, k)_q$ -Code  $\mathcal{C}$  werde erzeugt durch die Generatormatrix  $\mathbf{G} \in \mathbb{F}_q^{k,n}$ . Dann gilt:

(1) Die Matrix  $\mathbf{H} \in \mathbb{F}_q^{n-k,n}$  ist eine Prüfmatrix für  $\mathcal{C}$  genau dann, wenn gilt:

$$\mathbf{H} \neq \mathbf{0} \quad \text{und} \quad \mathbf{G}\mathbf{H}^T = \mathbf{0}. \quad (4.2.2)$$

(2) Wenn  $\mathbf{G} = \left( \mathbf{E}_k \mid \mathbf{P} \right)$  eine systematische Generatormatrix mit der Einheitsmatrix  $\mathbf{E}_k \in \mathbb{F}_q^{k,k}$  und der Matrix  $\mathbf{P} \in \mathbb{F}_q^{k,n-k}$  ist, dann wird eine Prüfmatrix gegeben durch

$$\mathbf{H} = \left( -\mathbf{P}^T \mid \mathbf{E}_{n-k} \right). \quad (4.2.3)$$

Beweis: (1 “ $\Rightarrow$ ”):  $\mathbf{H}$  sei Prüfmatrix. Klar ist  $\mathbf{H} \neq \mathbf{0}$ , denn sonst würde  $\mathbf{H}$  jedes Wort als Codewort einstufen. Für jedes Codewort  $\mathbf{a} = \mathbf{u}\mathbf{G}$  gilt:

$$\mathbf{0} = \mathbf{a}\mathbf{H}^T = (\mathbf{u}\mathbf{G})\mathbf{H}^T = \mathbf{u}(\mathbf{G}\mathbf{H}^T).$$

Dies gilt für jeden Vektor  $\mathbf{u}$  und somit muß  $\mathbf{GH}^T = \mathbf{0}$  sein.

(1 “ $\Leftarrow$ ”): Sei  $\mathbf{GH} = \mathbf{0}$  und sei  $\mathbf{a} = \mathbf{uG}$  ein Codewort. Dann gilt

$$\mathbf{aH}^T = (\mathbf{uG})\mathbf{H}^T = \mathbf{u}(\mathbf{GH}^T) = \mathbf{u}\mathbf{0} = \mathbf{0}$$

und somit ist  $\mathbf{H}$  eine Prüfmatrix.

(2) Sei  $\mathbf{G} = \left( \mathbf{E}_k \mid \mathbf{P} \right)$  und  $\mathbf{H} = \left( -\mathbf{P}^T \mid \mathbf{E}_{n-k} \right)$ . Dann gilt

$$\mathbf{GH}^T = \left( \mathbf{E}_k \mid \mathbf{P} \right) \cdot \begin{pmatrix} -\mathbf{P} \\ \mathbf{E}_{n-k} \end{pmatrix} = -\mathbf{E}_k \cdot \mathbf{P} + \mathbf{P} \cdot \mathbf{E}_{n-k} = \mathbf{0}.$$

Hierbei ist  $\mathbf{0} \in \mathbb{F}_q^{k, n-k}$ . Nach (1) ist  $\mathbf{H}$  eine Prüfmatrix. ■

**Beispiel 4.3.** (1) Für den  $(7, 4)_2$ -Hamming-Code ist  $\mathbf{G}$  aus Beispiel 4.1 bekannt und  $\mathbf{H}$  wird gemäß (4.2.3) gebildet:

$$\mathbf{G} = \begin{pmatrix} 1 & 0 & 0 & 0 & 0 & 1 & 1 \\ 0 & 1 & 0 & 0 & 1 & 0 & 1 \\ 0 & 0 & 1 & 0 & 1 & 1 & 0 \\ 0 & 0 & 0 & 1 & 1 & 1 & 1 \end{pmatrix}, \quad \mathbf{H} = \begin{pmatrix} 0 & 1 & 1 & 1 & 1 & 0 & 0 \\ 1 & 0 & 1 & 1 & 0 & 1 & 0 \\ 1 & 1 & 0 & 1 & 0 & 0 & 1 \end{pmatrix}.$$

(2) Für den  $(n, 1)_2$ -Wiederholungscode ergibt sich  $\mathbf{G}$  direkt und daraus folgt  $\mathbf{H}$ :

$$\mathbf{G} = \begin{pmatrix} 1 & 1 & 1 & \dots & 1 & 1 \end{pmatrix}, \quad \mathbf{H} = \begin{pmatrix} 1 & & & & & & \\ & 1 & & & & & \\ & & & & & & \\ & & & & \ddots & & \\ & & & & & & 1 \\ & & & & & & & 1 \end{pmatrix}.$$

(3) Für den  $(n, n-1)_2$ -Parity Check Code ergibt sich  $\mathbf{H}$  direkt und daraus folgt  $\mathbf{G}$ :

$$\mathbf{G} = \begin{pmatrix} 1 & & & & & & \\ & 1 & & & & & \\ & & & & & & \\ & & & & \ddots & & \\ & & & & & & 1 \\ & & & & & & & 1 \end{pmatrix}, \quad \mathbf{H} = \begin{pmatrix} 1 & 1 & 1 & \dots & 1 & 1 \end{pmatrix}.$$

Mit  $\mathbf{G}$  wird eine Encodierung bewirkt, bei der das Prüfbit vorangestellt ist. Aus dem Code selbst ist die Encodierung nicht ablesbar (siehe dazu auch Beispiel 1.1). ■

Eine einfache Berechnung der Minimaldistanz aus der Generatormatrix ist wie erwähnt nicht möglich. Jedoch gilt folgender Zusammenhang, der bereits beim Beweis der Gilbert-Varshamov-Schranke aus Satz 3.12 angewendet wurde:

**Satz 4.4.** *Es sei  $\mathbf{H} \in \mathbb{F}_q^{n-k, n}$  eine Prüfmatrix für den  $(n, k, d_{\min})_q$ -Code  $\mathcal{C}$ . Dann ist die Minimaldistanz  $d_{\min}$  die minimale Anzahl der linear abhängigen Spalten in  $\mathbf{H}$ , d.h.:*

*Jede Auswahl von  $d_{\min} - 1$  Spalten ist linear unabhängig und es gibt mindestens eine Auswahl von  $d_{\min}$  linear abhängigen Spalten.*

Beweis: Mit  $\mathbf{h}_0, \dots, \mathbf{h}_{n-1}$  werden die Spalten von  $\mathbf{H}$  bezeichnet.

(1) Zu zeigen ist, daß es keine Auswahl von  $d_{\min} - 1$  linear abhängigen Spalten in  $\mathbf{H}$  gibt. Gegenannahme: Es gibt eine Auswahl  $\mathbf{h}_{i_1}, \dots, \mathbf{h}_{i_{d_{\min}-1}}$  von  $d_{\min} - 1$  linear abhängigen Spalten. Somit existiert ein Wort  $\mathbf{y} = (y_0, \dots, y_{n-1})$

mit  $w_H(\mathbf{y}) \leq d_{\min} - 1$  und  $\mathbf{0} = \sum_{j=1}^{d_{\min}-1} y_{i_j} \mathbf{h}_{i_j} = \sum_{\nu=0}^{n-1} y_{\nu} \mathbf{h}_{\nu} = \mathbf{yH}^T$ . Also ist  $\mathbf{y}$  ein

Codewort, was der Definition der Minimaldistanz widerspricht. Folglich war die Gegenannahme falsch.

(2) Zu zeigen ist, daß es eine Auswahl von  $d_{\min}$  linear abhängigen Spalten in  $\mathbf{H}$  gibt. Es existiert ein Codewort  $\mathbf{a} = (a_0, \dots, a_{n-1})$  mit  $w_H(\mathbf{a}) = d_{\min}$ .

Wegen  $\mathbf{0} = \mathbf{aH}^T = \sum_{\nu=0}^{n-1} a_{\nu} \mathbf{h}_{\nu}$  bestimmen diejenigen  $d_{\min}$  Indizes  $\nu$  mit  $a_{\nu} \neq 0$  eine Auswahl von  $d_{\min}$  linear abhängigen Spalten in  $\mathbf{H}$ . ■

Aus diesem Satz ergibt sich übrigens direkt die Singleton-Schranke aus Satz 3.7: Da die Spalten der Prüfmatrix die Länge  $n - k$  haben, kann es maximal  $n - k$  linear unabhängige Spalten geben. Also folgt  $d_{\min} - 1 \leq n - k$ .

**Beispiel 4.4.** Betrachte die Prüfmatrix des  $(7, 4)_2$ -Hamming-Codes aus Beispiel 4.3(1): Keine Spalte ist ein Vielfaches einer anderen Spalte und somit sind je zwei Spalten linear unabhängig. Da die erste Spalte die Summe der letzten beiden Spalten ist, gibt es drei linear abhängige Spalten in  $\mathbf{H}$  und somit folgt  $d_{\min} = 3$ . (Der Spaltenrang und der Rang von  $\mathbf{H}$  ist jedoch 3, da es auch drei linear unabhängige Spalten gibt.) ■

Mit der systematischen Form der Generatormatrix kann definiert werden, was sinnvollerweise unter einem linearen Zufallscodes zu verstehen ist. Die im nächsten Satz berechnete mittlere Gewichtsverteilung wurde bereits in Abschnitt 3.5 zitiert und der Gewichtsverteilung allgemeiner Zufallscodes gegenübergestellt. Der nur an der Standard-Theorie interessierte Leser kann diesen Satz jedoch folgenlos übergehen.

**Satz 4.5 (Lineare Zufallscodes).** *In der Matrix  $\mathbf{P} \in \mathbb{F}_2^{k, n-k}$  werden alle  $k(n - k)$  Koeffizienten statistisch unabhängig voneinander mit gleichmäßiger Verteilung gewählt. Mit der Generatormatrix  $\mathbf{G} = \left( \mathbf{E}_k \mid \mathbf{P} \right)$  wird ein linearer*

$(n, k)_2$ -Zufallscode erzeugt, für dessen Gewichtsverteilung im Mittel gilt:

$$E(A_r) = \left\{ \begin{array}{ll} 1 & r = 0 \\ 2^{k-n} \left[ \binom{n}{r} - \binom{n-k}{r} \right] & 1 \leq r \leq n-k \\ 2^{k-n} \binom{n}{r} & n-k < r \leq n \end{array} \right\}.$$

Die mittlere Gewichtsverteilung ist also näherungsweise binomial.

Beweis (folgt teilweise einer Idee aus [124]): Mit der binomischen Formel (A.2.2) kann zunächst die Eigenschaft (3.5.6) verifiziert werden, die hier von der Form  $\sum_{r=0}^n E(A_r) = 2^k$  ist. Jede der  $2^{k(n-k)}$  möglichen Matrizen  $\mathbf{P}$  wird nach Voraussetzung mit der gleichen Wahrscheinlichkeit  $2^{-k(n-k)}$  gewählt. Die Codewörter werden in der Form  $\mathbf{a} = \mathbf{u}\mathbf{G} = (\mathbf{u}, \mathbf{u}\mathbf{P})$  geschrieben.

Von den  $2^k$  möglichen Infowörtern führt nur das Nullwort zu  $w_H(\mathbf{a}) = 0$  und somit ist stets  $A_0 = 1$ . Damit folgt  $E(A_0) = 1$ .

Die Anzahl aller möglichen Wörter vom Gewicht  $r$  beträgt  $\binom{n}{r}$  und die Anzahl aller möglichen Wörter  $(\mathbf{u}, \mathbf{p})$  mit  $\mathbf{u} = \mathbf{0}$  vom Gewicht  $r$  beträgt  $\binom{n-k}{r}$ . Folglich beträgt die Anzahl aller Wörter  $(\mathbf{u}, \mathbf{p})$  mit  $\mathbf{u} \neq \mathbf{0}$  vom Gewicht  $r$  genau  $\binom{n}{r} - \binom{n-k}{r} = B_r$ . Also ist  $B_r$  die Anzahl aller Wörter aus  $\mathbb{F}_2^n$  vom Gewicht  $r$ , bei denen die ersten  $k$  Komponenten nicht identisch Null sind.

Sei nun  $r > 0$ : Die Wahrscheinlichkeit, daß  $(\mathbf{u}, \mathbf{p})$  mit  $\mathbf{u} \neq \mathbf{0}$  bei zufälliger Wahl von  $\mathbf{P}$  ein Codewort ist, beträgt

$$\begin{aligned} P((\mathbf{u}, \mathbf{p}) \in \mathcal{C} \mid \mathbf{u} \neq \mathbf{0}) &= \frac{\text{Anzahl der } \mathbf{P} \text{ mit } \mathbf{p} = \mathbf{u}\mathbf{P} \text{ bei } \mathbf{u} \neq \mathbf{0}}{\text{Anzahl aller } \mathbf{P}} \\ &= \frac{2^{(k-1)(n-k)}}{2^{k(n-k)}} = 2^{-(n-k)}, \end{aligned}$$

denn bei  $\mathbf{u} \neq \mathbf{0}$  ist  $\mathbf{p} = \mathbf{u}\mathbf{P}$  ein Gleichungssystem mit  $n-k$  Gleichungen und  $k(n-k)$  Unbekannten, dessen Lösungsraum  $k(n-k) - (n-k) = (k-1)(n-k)$ -dimensional ist. Somit ist  $2^{(k-1)(n-k)}$  die Anzahl der  $\mathbf{P}$  mit  $\mathbf{p} = \mathbf{u}\mathbf{P}$ . Schließlich gilt für  $r > 0$

$$E(A_r) = \sum_{\substack{(\mathbf{u}, \mathbf{p}) \in \mathbb{F}_2^n \\ w_H((\mathbf{u}, \mathbf{p})) = r}} P((\mathbf{u}, \mathbf{p}) \in \mathcal{C}) = B_r \cdot 2^{-(n-k)}$$

und daraus ergibt sich die Formel für  $E(A_r)$ . ■

### 4.3 Duale Codes und MacWilliams-Identität

Das Beispiel 4.3(2,3) hat gezeigt, daß der Wiederholungscode und der Parity Check Code durch Vertauschung von  $\mathbf{G}$  und  $\mathbf{H}$  jeweils ineinander übergehen. In Verallgemeinerung dieses Prinzips ergibt sich durch Vertauschung von Generatormatrix und Prüfmatrix aus dem Code  $\mathcal{C}$  der nachfolgend definierte duale Code  $\mathcal{C}^\perp$ :

**Definition 4.3.** Zum  $(n, k)_q$ -Code  $\mathcal{C}$  gehöre die Generatormatrix  $\mathbf{G} \in \mathbb{F}_q^{k, n}$  und die Prüfmatrix  $\mathbf{H} \in \mathbb{F}_q^{n-k, n}$ :

Durch  $\mathbf{H}$  als Generatormatrix bzw.  $\mathbf{G}$  als Prüfmatrix wird ein  $(n, n-k)_q$ -Code erzeugt, der als dualer Code  $\mathcal{C}^\perp$  bezeichnet wird.

Für beliebige  $\mathbf{a} = \mathbf{u}\mathbf{G} \in \mathcal{C}$  und  $\mathbf{b} = \mathbf{v}\mathbf{H} \in \mathcal{C}^\perp$  ist das Skalarprodukt Null, denn es gilt  $\mathbf{a}\mathbf{b}^T = \mathbf{u}\mathbf{G}\mathbf{H}^T\mathbf{v}^T = \mathbf{u}\mathbf{0}\mathbf{v}^T = 0$ . Diese Orthogonalität wird auch als  $\mathbf{a} \perp \mathbf{b}$  bzw.  $\mathcal{C} \perp \mathcal{C}^\perp$  geschrieben. Anstelle von dualen Codes könnte man auch von zueinander orthogonalen Codes sprechen.

**Satz 4.6.** Für den dualen Code gelten die Darstellungen:

$$\begin{aligned} \mathcal{C}^\perp &= \left\{ \mathbf{b} \in \mathbb{F}_q^n \mid \mathbf{b} \perp \mathbf{a} \text{ für alle } \mathbf{a} \in \mathcal{C} \right\} \\ &= \left\{ (b_0, \dots, b_{n-1}) \mid \sum_{i=0}^{n-1} b_i a_i = 0 \text{ für alle } (a_0, \dots, a_{n-1}) \in \mathcal{C} \right\}. \end{aligned} \quad (4.3.1)$$

Ferner gilt  $\mathcal{C}^{\perp\perp} = \mathcal{C}$  und  $\text{Dim}(\mathcal{C}^\perp) = n - \text{Dim}(\mathcal{C})$ .

Beweis: Aus  $\text{Rang}(\mathbf{G}) = k$  und  $\text{Rang}(\mathbf{H}) = n - k$  folgt die Aussage zur Dimension. Nach Definition des dualen Codes ist  $\mathcal{C}^{\perp\perp} = \mathcal{C}$  klar.

Die rechts stehende Menge in (4.3.1) wird mit  $\mathcal{C}'$  bezeichnet. Da  $\mathbf{b} \in \mathcal{C}^\perp$  zu allen  $\mathbf{a} \in \mathcal{C}$  orthogonal ist, folgt  $\mathbf{b} \in \mathcal{C}'$  bzw.  $\mathcal{C}^\perp \subseteq \mathcal{C}'$ . Sei nun umgekehrt  $\mathbf{b} \in \mathcal{C}'$ , d.h.  $\mathbf{b}$  ist orthogonal zu allen  $\mathbf{a} = \mathbf{u}\mathbf{G} \in \mathcal{C}$ : Dann gilt offensichtlich  $0 = \mathbf{b}\mathbf{a}^T = \mathbf{b}\mathbf{G}^T\mathbf{u}^T$  für alle  $\mathbf{u}$  und somit folgt  $\mathbf{b}\mathbf{G}^T = \mathbf{0}$ . Da  $\mathbf{G}$  Prüfmatrix für  $\mathcal{C}^\perp$  ist, folgt also  $\mathbf{b} \in \mathcal{C}^\perp$  bzw.  $\mathcal{C}' \subseteq \mathcal{C}^\perp$ . Insgesamt gilt also  $\mathcal{C}^\perp = \mathcal{C}'$ . ■

**Beispiel 4.5. (1)** Aufgrund von Beispiel 4.3(2,3) sind der  $(n, 1)_2$ -Wiederholungscode und der  $(n, n-1)_2$ -Parity Check Code dual zueinander.

**(2)** Dual zum  $(7, 4)_2$ -Hamming-Code  $\mathcal{C}$  ist der durch  $\mathbf{H}$  aus Beispiel 4.3(1) generierte  $(7, 3)_2$ -Code

$$\mathcal{C}^\perp = \left\{ \begin{array}{ll} 0000\ 000, & 0111\ 100, \\ 1101\ 001, & 1010\ 101, \\ 1011\ 010, & 1100\ 110, \\ 0110\ 011, & 0001\ 111 \end{array} \right\}.$$

Offensichtlich sind die 16 Wörter aus  $\mathcal{C}$  und die 8 Wörter aus  $\mathcal{C}^\perp$  jeweils orthogonal zueinander. ■

**Satz 4.7.** *Der duale Code zu einem MDS-Code ist wieder ein MDS-Code und es gilt  $d_{\min} + d_{\min}^{\perp} = n + 2$ .*

Beweis: Sei  $\mathcal{C}$  ein  $(n, k, d_{\min} = n - k + 1)_q$ -MDS-Code mit der Generatormatrix  $\mathbf{G}$ . Nach Satz 3.8 ist durch jede Auswahl von  $k$  Codesymbolen das Codewort eindeutig bestimmt. Somit ist jede Auswahl von  $k$  Spalten aus  $\mathbf{G}$  linear unabhängig. Da  $\mathbf{G}$  Prüfmatrix für den dualen  $(n, n - k, d_{\min}^{\perp})_q$ -Code  $\mathcal{C}^{\perp}$  ist, folgt  $d_{\min}^{\perp} \geq k + 1$ . Die Anwendung der Singleton-Schranke aus Satz 3.7 auf  $\mathcal{C}^{\perp}$  ergibt  $d_{\min}^{\perp} \leq n - (n - k) + 1 = k + 1$ . Insgesamt folgt also  $d_{\min}^{\perp} = k + 1$  und damit ist  $\mathcal{C}^{\perp}$  ein MDS-Code. ■

Oftmals ist die Gewichtsverteilung eines Codes schwierig zu berechnen, während die Gewichtsverteilung des dualen Codes einfach zu berechnen ist. Beide Gewichtsverteilungen hängen wie folgt zusammen:

**Satz 4.8 (MacWilliams-Identität).** *Es sei  $A(Z)$  die Gewichtsfunktion des  $(n, k)_q$ -Codes  $\mathcal{C}$  und  $A^{\perp}(Z)$  die Gewichtsfunktion des dualen  $(n, n - k)_q$ -Codes  $\mathcal{C}^{\perp}$ . Dann gilt*

$$A^{\perp}(Z) = q^{-k} \left(1 + (q - 1)Z\right)^n \cdot A\left(\frac{1 - Z}{1 + (q - 1)Z}\right) \quad (4.3.2)$$

bzw. in der Formulierung mit der Gewichtsfunktion  $W$ :

$$W^{\perp}(X, Y) = q^{-k} \cdot W(X + (q - 1)Y, X - Y). \quad (4.3.3)$$

Speziell für  $q = 2$  vereinfacht sich das zu:

$$A^{\perp}(Z) = 2^{-k} (1 + Z)^n \cdot A\left(\frac{1 - Z}{1 + Z}\right), \quad (4.3.4)$$

$$W^{\perp}(X, Y) = 2^{-k} \cdot W(X + Y, X - Y). \quad (4.3.5)$$

Umgekehrt gilt natürlich:

$$A(Z) = 2^{-(n-k)} (1 + Z)^n \cdot A^{\perp}\left(\frac{1 - Z}{1 + Z}\right), \quad (4.3.6)$$

$$W(X, Y) = 2^{-(n-k)} \cdot W^{\perp}(X + Y, X - Y). \quad (4.3.7)$$

Für den einigermaßen aufwendigen Beweis siehe beispielsweise [12, 44, 53, 54, 62, 71, 115]. Die  $A$ -Formulierung und die  $W$ -Formulierung können sehr einfach auseinander abgeleitet werden. Entsprechend  $\mathcal{C}^{\perp\perp} = \mathcal{C}$  gilt:

$$\begin{aligned} W^{\perp\perp}(X, Y) &= q^{-(n-k)} \cdot W^{\perp}\left(\underbrace{X + (q - 1)Y}_{=X'}, \underbrace{X - Y}_{=Y'}\right) \\ &= q^{-(n-k)} \cdot q^{-k} \cdot W(X' + (q - 1)Y', X' - Y') \\ &= q^{-n} \cdot W(X + (q - 1)Y + (q - 1)(X - Y), X + (q - 1)Y - (X - Y)) \\ &= q^{-n} \cdot W(qX, qY) \\ &= W(X, Y). \end{aligned}$$

**Beispiel 4.6.** MacWilliams-Identität für den  $(n, 1)_2$ -Wiederholungscode  $\mathcal{C}$  und den dazu dualen  $(n, n-1)_2$ -Parity Check Code  $\mathcal{C}^\perp$ : Der Wiederholungscode hat die Gewichtsfunktion  $A(Z) = 1 + Z^n$  und daraus folgt für den Parity Check Code:

$$\begin{aligned} A^\perp(Z) &= 2^{-1}(1+Z)^n \left( 1 + \left( \frac{1-Z}{1+Z} \right)^n \right) \\ &= \frac{1}{2} \left( (1+Z)^n + (1-Z)^n \right) \\ &= \sum_{r=0}^n \binom{n}{r} \frac{Z^r + (-Z)^r}{2} \\ &= \sum_{r \text{ gerade}} \binom{n}{r} Z^r. \end{aligned}$$

Dieses Ergebnis ist bereits aus Beispiel 3.8(3) bekannt.  $\blacksquare$

**Definition 4.4.** Der  $(n, k)_q$ -Code  $\mathcal{C}$  heißt im Fall  $\mathcal{C} \subseteq \mathcal{C}^\perp$  selbstorthogonal und im Fall  $\mathcal{C} = \mathcal{C}^\perp$  selbstdual.

Aufgrund der Dimensionen setzt ein selbstorthogonaler Code  $k \leq n - k$  bzw. eine Coderate  $R \leq 1/2$  voraus und ein selbstdualer Code setzt  $2k = n$  bzw.  $R = 1/2$  voraus. Bei einem selbstorthogonalen Code sind die Codewörter untereinander orthogonal:

**Satz 4.9.**  $\mathcal{C}$  sei ein  $(n, k)_q$ -Code mit einer Generatormatrix  $\mathbf{G}$  in beliebiger Form. Dann gilt:

$$\mathcal{C} \text{ ist selbstorthogonal} \iff \mathbf{G}\mathbf{G}^T = \mathbf{0}.$$

Für  $\mathbf{G} = \left( \mathbf{E}_k \mid \mathbf{P} \right)$  in systematischer Form und  $2k = n$  gilt:

$$\mathcal{C} \text{ ist selbstdual} \iff \mathbf{P}\mathbf{P}^T = -\mathbf{E}_k.$$

Beweis: “Selbstorthogonal  $\Rightarrow$ ”: Für die Zeilenvektoren  $\mathbf{g}_i$  von  $\mathbf{G}$  gilt natürlich  $\mathbf{g}_i \in \mathcal{C} \subseteq \mathcal{C}^\perp$ . Da  $\mathbf{G}$  Prüfmatrix für  $\mathcal{C}^\perp$  ist, muß  $\mathbf{g}_i \mathbf{G}^T = \mathbf{0}$  gelten. Somit folgt auch  $\mathbf{G}\mathbf{G}^T = \mathbf{0}$ .

“Selbstorthogonal  $\Leftarrow$ ”: Zwei Codewörter  $\mathbf{a} = \mathbf{u}\mathbf{G}$  und  $\mathbf{b} = \mathbf{v}\mathbf{G}$  aus  $\mathcal{C}$  sind wegen  $\mathbf{a}\mathbf{b}^T = \mathbf{u}\mathbf{G}\mathbf{G}^T\mathbf{v}^T = 0$  orthogonal zueinander. Also ist  $\mathbf{a} \in \mathcal{C}$  orthogonal zu  $\mathcal{C}$  und somit folgt  $\mathbf{a} \in \mathcal{C}^\perp$  bzw.  $\mathcal{C} \subseteq \mathcal{C}^\perp$ .

“Selbstdual”: Wegen  $\mathbf{G}\mathbf{G}^T = \left( \mathbf{E}_k \mid \mathbf{P} \right) \cdot \left( \frac{\mathbf{E}_k}{\mathbf{P}^T} \right) = \mathbf{E}_k + \mathbf{P}\mathbf{P}^T$  ist die Eigenschaft  $\mathbf{P}\mathbf{P}^T = -\mathbf{E}_k$  äquivalent mit der Selbstorthogonalität. Ein selbstdualer Code ist trivialerweise selbstorthogonal. Ein selbstorthogonaler Code erfüllt  $\mathcal{C} \subseteq \mathcal{C}^\perp$  und bei  $k = n - k$  gilt  $|\mathcal{C}| = |\mathcal{C}^\perp|$  und somit folgt  $\mathcal{C} = \mathcal{C}^\perp$  bzw. die Selbstdualität.  $\blacksquare$

Weitere Eigenschaften selbstorthogonaler Codes werden in [54, 62] behandelt. Selbstduale Codes werden ausführlich in [115] erörtert.

**Beispiel 4.7. (1)** Der  $(4, 2)_2$ -Code mit  $\mathbf{G} = \begin{pmatrix} 1 & 0 & 1 & 0 \\ 0 & 1 & 0 & 1 \end{pmatrix} = \mathbf{H}$  erzeugt den selbstdualen Code  $\mathcal{C} = \{0000, 1010, 0101, 1111\}$  und man verifiziert  $\mathbf{G}\mathbf{G}^T = \mathbf{0}$  bzw.  $\mathbf{P}\mathbf{P}^T = -\mathbf{E}_2$ .

**(2)** Betrachte den  $(5, 2)_2$ -Code  $\mathcal{C}$  mit

$$\mathbf{G} = \begin{pmatrix} 1 & 0 & 1 & 0 & 0 \\ 0 & 1 & 0 & 0 & 1 \end{pmatrix}, \quad \mathbf{H} = \begin{pmatrix} 1 & 0 & 1 & 0 & 0 \\ 0 & 0 & 0 & 1 & 0 \\ 0 & 1 & 0 & 0 & 1 \end{pmatrix}.$$

Damit werden die Codes

$$\begin{aligned} \mathcal{C} &= \{00000, 10100, 01001, 11101\}, \\ \mathcal{C}^\perp &= \mathcal{C} \cup \{00010, 01011, 10110, 11111\} \end{aligned}$$

erzeugt. Wegen  $\mathcal{C} \subseteq \mathcal{C}^\perp$  ist  $\mathcal{C}$  selbstorthogonal, aber  $\mathcal{C}^\perp$  ist natürlich nicht selbstorthogonal. ■

## 4.4 Hamming-Codes und Simplex-Codes

Bisher wurde nur der  $(7, 4)_2$ -Hamming-Code behandelt. Die Hamming-Codes bilden jedoch eine ganze Klasse von 1-Fehler-korrigierenden bzw. 2-Fehler-erkennenden Codes mit einer gegen 1 konvergierenden Coderate:

**Satz 4.10.** *Ein  $(n, k, d_{\min})_q = (n, n - r, 3)_q$ -Hamming-Code der Ordnung  $r$  ist durch*

$$n = \frac{q^r - 1}{q - 1} = 1 + q + q^2 + \cdots + q^{r-1} \quad (4.4.1)$$

*definiert. Hamming-Codes existieren für alle Ordnungen und sind perfekt. Bis auf Permutationen (d.h. Spaltenvertauschungen bzw. Äquivalenzen) ist der Code eindeutig bestimmt. Nur für  $r = 2$  liegt ein MDS-Code vor.*

*Speziell für  $q = 2$  liegt ein  $(2^r - 1, 2^r - r - 1, 3)_2$ -Code vor, Beispiele sind also*

$$(3, 1), (7, 4), (15, 11), (31, 26), (63, 57), \dots$$

*In diesem Fall enthält die Prüfmatrix als Spalten die  $2^r - 1$  verschiedenen Binärwörter der Länge  $r$  (abgesehen vom Nullwort).*

*Für die Gewichtsfunktion gemäß Definition 3.7 gilt im binären Fall mit Rechnung in den rationalen Zahlen:*

$$\begin{aligned} A(Z) &= \frac{1}{n+1} \left[ (1+Z)^n + n(1+Z)^{(n-1)/2} (1-Z)^{(n+1)/2} \right] \\ &= \frac{1}{n+1} \left[ (1+Z)^n + n(1-Z)(1-Z^2)^{(n-1)/2} \right]. \end{aligned} \quad (4.4.2)$$

Beweis: Zunächst ist  $n$  ganzzahlig. Die Existenz entsprechender Prüfmatrix ist klar. Da die Spalten (bei  $q = 2$ ) den Dualzahlen entsprechen, ist keine Spalte ein Vielfaches einer anderen Spalte. Die Spalte  $1100\dots 0$  ist die Summe von  $1000\dots 0$  und  $0100\dots 0$  und somit gibt es drei linear abhängige Spalten. Nach Satz 4.4 folgt  $d_{\min} = 3$ .

Für einen MDS-Code muß  $3 = d_{\min} = n - k + 1 = r + 1$  gelten, was nur bei  $r = 2$  erfüllt sein kann. Für einen perfekten Code muß allgemein  $\sum_{i=0}^t \binom{n}{i} (q-1)^i = q^{n-k}$  gelten und für  $t = 1$  und  $n - k = r$  reduziert sich das auf  $1 + n(q-1) = q^r$  und genau so ist  $n$  definiert. Die Gewichtsformel kann rekursiv abgeleitet werden [71] oder aus dem nachfolgend definierten Simplex-Code über die MacWilliams-Identität berechnet werden. Offensichtlich gilt  $A(0) = 1$  und  $A(1) = 2^n / (n+1) = 2^{n-r} = 2^k$ . ■

**Beispiel 4.8.** (1) Die Prüfmatrix des  $(7, 4, 3)_2$ -Hamming-Codes der Ordnung  $r = 3$  aus Beispiel 4.3(1) ist entsprechend Satz 4.10 konstruiert. Für die Gewichtsformel folgt aus (4.4.2) mit etwas Rechnung das wohlbekanntes Ergebnis

$$A(Z) = \frac{1}{8} [(1+Z)^7 + 7(1+Z)^3(1-Z)^4] = 1 + 7Z^3 + 7Z^4 + Z^7.$$

(2) Für den  $(15, 11, 3)_2$ -Hamming-Code der Ordnung  $r = 4$  kann  $\mathbf{H}$  wie folgt gewählt werden:

$$\mathbf{H} = \begin{pmatrix} 0 & 0 & 0 & 0 & 1 & 1 & 1 & 1 & 1 & 1 & 1 & 1 & 1 & 1 & 1 & 0 & 0 & 0 & 0 \\ 0 & 1 & 1 & 1 & 1 & 0 & 0 & 0 & 1 & 1 & 1 & 1 & 0 & 1 & 0 & 0 & 0 & 0 & 0 \\ 1 & 0 & 1 & 1 & 0 & 1 & 1 & 0 & 0 & 1 & 1 & 0 & 0 & 1 & 0 & 0 & 1 & 0 & 0 \\ 1 & 1 & 0 & 1 & 1 & 0 & 1 & 0 & 1 & 0 & 1 & 0 & 1 & 0 & 0 & 0 & 0 & 1 & 0 \end{pmatrix}.$$

Es gibt genau 15 Binärspalten der Länge 4, wenn von der Nullspalte abgesehen wird. Die vier Einheitsvektoren sind rechts zur Einheitsmatrix zusammengefaßt und die restlichen 11 Spalten sind als Dualzahlen geordnet. ■

**Definition 4.5.** Der zu einem binären  $(2^r - 1, 2^r - r - 1, 3)_2$ -Hamming-Code  $\mathcal{C}$  duale Code  $\mathcal{C}^\perp$  von der Form  $(2^r - 1, r, 2^{r-1})_2$  wird als Simplex-Code bezeichnet.

Die Generatormatrix des Simplex-Codes ist die Prüfmatrix des Hamming-Codes und besteht somit nach Satz 4.10 aus den spaltenweise angeordneten Dualzahlen. Jede Zeile und auch jedes Codewort (abgesehen vom Nullwort) hat dann das Gewicht  $2^{r-1}$ , wie man sich per Induktionsschluß leicht überlegen kann. Folglich gilt  $d_{\min} = 2^{r-1}$  sowie

$$A^\perp(Z) = 1 + (2^r - 1)Z^{2^{r-1}} = 1 + nZ^{(n+1)/2}. \quad (4.4.3)$$

Da die Differenz zweier Codewörter wieder ein Codewort ist, beträgt der Hammingabstand zwischen allen Codewörterpaaren jeweils konstant  $2^{r-1}$ . Ein solches Gebilde wird in der Geometrie als *Simplex* bezeichnet.

Aus der Gewichtsverteilung (4.4.3) des  $(n, n - k)$ -Simplex-Codes ergibt sich die Gewichtsverteilung (4.4.2) des dualen  $(n, k)$ -Hamming-Codes unter Beachtung von  $n - k = r$  und  $2^r = n + 1$  wie folgt:

$$\begin{aligned} A(Z) &= 2^{-(n-k)}(1+Z)^n A^\perp \left( \frac{1-Z}{1+Z} \right) \\ &= 2^{-r}(1+Z)^n \left[ 1 + n \left( \frac{1-Z}{1+Z} \right)^{(n+1)/2} \right] \\ &= \frac{1}{n+1} \left[ (1+Z)^n + n(1+Z)^{(n-1)/2} (1-Z)^{(n+1)/2} \right]. \end{aligned}$$

Offensichtlich gilt für den niederratigen Simplex-Code Gleichheit in der Plotkin-Schranke, während für den hochratigen Hamming-Code Gleichheit in der Hamming-Schranke gilt. Für die Simplex-Codes gilt asymptotisch  $k/n \rightarrow 0$  und  $d_{\min}/n \rightarrow 1/2$  für  $r \rightarrow \infty$ .

## 4.5 Einfache Modifikationen linearer Codes

Von geringer theoretischer aber großer praktischer Bedeutung sind folgende Modifikationen, die zu Codes mit geänderten Parametern führen:

**Definition 4.6.** Ein  $(n, k, d_{\min})_q$ -Code kann wie folgt zu einem  $(n', k', d'_{\min})_q$ -Code verändert werden:

(1) Beim Expandieren (*extending*) werden zusätzliche Prüfbits angehängt:

$$n' > n, \quad k' = k, \quad R' < R, \quad d'_{\min} \geq d_{\min}.$$

(2) Beim Punktieren (*puncturing*) werden Prüfbits unterdrückt:

$$n' < n, \quad k' = k, \quad R' > R, \quad d'_{\min} \leq d_{\min}.$$

(3) Beim Verlängern (*lengthening*) werden zusätzliche Infobits angehängt:

$$n' > n, \quad k' > k, \quad n' - k' = n - k, \quad R' > R, \quad d'_{\min} \leq d_{\min}.$$

(4) Beim Verkürzen (*shortening*) werden Infobits unterdrückt:

$$n' < n, \quad k' < k, \quad n' - k' = n - k, \quad R' < R, \quad d'_{\min} \geq d_{\min}.$$

Offensichtlich sind die Modifikationen 1 und 2 sowie 3 und 4 jeweils invers zueinander. Eine einmal anwendbare Methode zur Expandierung beschreibt der folgende Satz:

**Satz 4.11.** Jeder binäre  $(n, k, d_{\min})_2$ -Code mit ungerader Minimaldistanz  $d_{\min}$  kann expandiert werden zu einem  $(n + 1, k, d_{\min} + 1)_2$ -Code.

Beweis: Sei ein beliebiges Codewort gegeben. Wenn das Hamminggewicht gerade ist, wird eine 0 und im anderen Fall wird eine 1 als Prüfbit angehängt. Der expandierte Code enthält dann nur Codewörter geraden Gewichts, so daß natürlich  $d'_{\min} = d_{\min} + 1$  gilt. Dabei bleibt die Linearität erhalten. ■

Jeder  $(2^r - 1, 2^r - r - 1, 3)_2$ -Hamming-Code kann zu einem  $(2^r, 2^r - r - 1, 4)_2$ -Code expandiert werden, so daß neben der Korrektur eines Fehlers noch ein weiterer Fehler erkennbar ist. Die Gewichtsfunktion lautet mit  $n = 2^r$  (siehe Aufgabe 4.11):

$$A(Z) = \frac{1}{2n} \left[ (1 + Z)^n + (1 - Z)^n + 2(n - 1)(1 - Z^2)^{n/2} \right]. \quad (4.5.1)$$

Zur Matrixbeschreibung der Expandierung sei  $\mathbf{G} \in \mathbb{F}_2^{k,n}$  die Generatormatrix und  $\mathbf{H} \in \mathbb{F}_2^{n-k,n}$  die Prüfmatrix des  $(n, k)_2$ -Codes. Zum expandierten  $(n + 1, k)_2$ -Code gehört die Generatormatrix  $\mathbf{G}' \in \mathbb{F}_2^{k,n+1}$  und die Prüfmatrix  $\mathbf{H}' \in \mathbb{F}_2^{n+1-k,n+1}$ . Es seien  $s_i = g_{i,0} + \dots + g_{i,n-1} \in \mathbb{F}_2$  ( $0 \leq i \leq k - 1$ ) die Zeilensummen von  $\mathbf{G}$ . Der expandierte Code wird erzeugt durch:

$$\mathbf{G}' = \left( \begin{array}{c|c} & \mathbf{G} \\ \hline & \end{array} \begin{array}{c} s_0 \\ \vdots \\ s_{k-1} \end{array} \right). \quad (4.5.2)$$

Für die Einheitsvektoren als Infowörter wird damit direkt die Konstruktion aus dem Beweis von Satz 4.11 nachvollzogen. Wegen der Linearität gilt diese Konstruktion auch für alle anderen Codewörter. Die Prüfmatrix kann so hergeleitet werden: Die ersten  $n - k$  Prüfbedingungen bleiben unverändert bestehen. Hinzu kommt die Bedingung, daß die Summe über alle Codebits Null sein soll. Somit folgt:

$$\mathbf{H}' = \left( \begin{array}{c|c} & \mathbf{H} \\ \hline \mathbf{1} & \mathbf{1} \end{array} \begin{array}{c} 0 \\ \vdots \\ 0 \end{array} \right). \quad (4.5.3)$$

**Beispiel 4.9.** Expandierung des  $(7, 4, 3)_2$ -Hamming-Codes zum  $(8, 4, 4)_2$ -Code:

$$\mathbf{G}' = \left( \begin{array}{c|c} 1 & 0 & 0 & 0 & 0 & 1 & 1 & | & 1 \\ 0 & 1 & 0 & 0 & 1 & 0 & 1 & | & 1 \\ 0 & 0 & 1 & 0 & 1 & 1 & 0 & | & 1 \\ 0 & 0 & 0 & 1 & 1 & 1 & 1 & | & 0 \end{array} \right), \quad \mathbf{H}' = \left( \begin{array}{c|c} 0 & 1 & 1 & 1 & 1 & 0 & 0 & | & 0 \\ 1 & 0 & 1 & 1 & 0 & 1 & 0 & | & 0 \\ 1 & 1 & 0 & 1 & 0 & 0 & 1 & | & 0 \\ \hline 1 & 1 & 1 & 1 & 1 & 1 & 1 & | & 1 \end{array} \right).$$

Es gilt  $\mathbf{G}'\mathbf{H}'^T = \mathbf{0}$ . Das minimale Zeilengewicht in  $\mathbf{G}'$  ist 4. Jeweils drei Spalten in  $\mathbf{H}'$  sind linear unabhängig. Die Summe der ersten drei Spalten in  $\mathbf{H}'$  ergibt die letzte Spalte und somit gilt  $d'_{\min} = 4$ . Der expandierte Hamming-Code ist nur für  $r = 3$  selbstdual. ■

## 4.6 Nebenklassen-Zerlegung

Die Nebenklassen-Zerlegung im Raum  $\mathbb{F}_q^n$  der möglichen Empfangswörter ist die Grundlage für die im nächsten Abschnitt dargestellten Decodierverfahren.

**Definition 4.7.** *Vorausgesetzt wird ein  $(n, k)_q$ -Code  $\mathcal{C}$  mit der Prüfmatrix  $\mathbf{H} \in \mathbb{F}_q^{n-k, n}$ . Zum Empfangswort  $\mathbf{y}$  wird das Syndrom wie folgt definiert:*

$$\mathbf{s} = \mathbf{y}\mathbf{H}^T. \quad (4.6.1)$$

Das Syndrom hat also die Länge  $n - k$ . Für die Darstellung  $\mathbf{y} = \mathbf{a} + \mathbf{e}$  mit einem Codewort  $\mathbf{a}$  und einem Fehlerwort  $\mathbf{e}$  gilt:

$$\mathbf{s} = (\mathbf{a} + \mathbf{e})\mathbf{H}^T = \mathbf{a}\mathbf{H}^T + \mathbf{e}\mathbf{H}^T = \mathbf{e}\mathbf{H}^T. \quad (4.6.2)$$

Das Syndrom eines Wortes ist genau dann das Nullwort, wenn das Wort ein Codewort ist. Das Syndrom des Empfangswortes ist also unabhängig vom gesendeten Codewort und nur abhängig vom überlagerten Fehlermuster. Es gibt  $q^n - q^k$  verschiedene Fehlermuster, die keine Codewörter sind, und es gibt  $q^{n-k}$  verschiedene Syndrome. Folglich ist ein Fehlermuster durch sein Syndrom nicht eindeutig gekennzeichnet.

Die Syndrome werden als  $\mathbf{s}_\mu$  durchnummeriert mit  $0 \leq \mu \leq q^{n-k} - 1$  und der Festlegung  $\mathbf{s}_0 = \mathbf{0}$ . Für jedes Syndrom wird die Menge der Fehlermuster definiert, die zu diesem Syndrom führen:

$$\mathcal{M}_\mu = \{\mathbf{e} \in \mathbb{F}_q^n \mid \mathbf{e}\mathbf{H}^T = \mathbf{s}_\mu\}. \quad (4.6.3)$$

Da alle Codewörter das Syndrom Null haben, gilt  $\mathcal{M}_0 = \mathcal{C}$  und alle anderen  $\mathcal{M}_\mu$  enthalten kein Codewort. Ferner sind die Mengen alle disjunkt, denn ein Fehlermuster kann nicht verschiedene Syndrome haben. Es sei  $\mathbf{e}, \mathbf{e}' \in \mathcal{M}_\mu$ . Aus  $\mathbf{e}\mathbf{H}^T = \mathbf{e}'\mathbf{H}^T$  folgt  $(\mathbf{e}' - \mathbf{e})\mathbf{H}^T = \mathbf{e}'\mathbf{H}^T - \mathbf{e}\mathbf{H}^T = \mathbf{0}$ . Also ist die Differenz von zwei Wörtern aus  $\mathcal{M}_\mu$  stets ein Codewort. Für ein beliebiges  $\mathbf{e} \in \mathcal{M}_\mu$  gilt also:

$$\mathbf{e} + \mathcal{C} = \{\mathbf{e} + \mathbf{a} \mid \mathbf{a} \in \mathcal{C}\} = \mathcal{M}_\mu. \quad (4.6.4)$$

Die Menge  $\mathcal{M}_\mu$  kann also dargestellt werden als Summe eines beliebigen Elementes aus  $\mathcal{M}_\mu$  und der Codemenge. Folglich hat jede Menge  $\mathcal{M}_\mu$  die gleiche Mächtigkeit:

$$|\mathcal{M}_\mu| = |\mathcal{C}| = q^k = \frac{q^n}{q^{n-k}} = \frac{\text{Anzahl aller Wörter}}{\text{Anzahl der Syndrome}}. \quad (4.6.5)$$

Die  $q^{n-k}$  Mengen  $\mathcal{M}_\mu$  bilden eine eindeutige disjunkte Zerlegung von  $\mathbb{F}_q^n$ :

$$\mathbb{F}_q^n = \bigoplus_{\mu=0}^{q^{n-k}-1} \mathcal{M}_\mu. \quad (4.6.6)$$

**Definition 4.8.** Die Mengen  $\mathcal{M}_\mu$  heißen Nebenklassen (cosets) und die Zerlegung (4.6.6) heißt Nebenklassen-Zerlegung (standard array). Jedes  $\mathbf{e} \in \mathcal{M}_\mu$  kann als Anführer (coset leader) in der Darstellung  $\mathcal{M}_\mu = \mathbf{e} + \mathcal{C}$  dienen.

In Abschnitt A.4 wird das Prinzip der Nebenklassen-Zerlegung ohne Bezug auf den Begriff des Syndroms abstrakt erklärt. Die Gruppe  $\mathcal{G}$  entspricht jetzt  $\mathbb{F}_q^n$  und die Untergruppe  $\mathcal{U}$  entspricht  $\mathcal{C}$ . Zwei Wörter  $\mathbf{y}, \mathbf{y}'$  stehen in Äquivalenzrelation zueinander, wenn ihre Syndrome gleich sind bzw. wenn ihre Differenz  $\mathbf{y} - \mathbf{y}'$  ein Codewort ist. Für alle  $\mathbf{y} \in \mathcal{M}_\mu$  ist  $[\mathbf{y}] = \mathcal{M}_\mu = \mathbf{y} + \mathcal{C}$  die zugehörige Äquivalenzklasse bzw. Nebenklasse.

In jeder Menge  $\mathcal{M}_\mu$  wird nun ein Anführer  $\mathbf{e}_\mu$  minimalen Hamminggewichts festgelegt:

$$\mathcal{M}_\mu = \mathbf{e}_\mu + \mathcal{C} \quad \text{mit} \quad w_H(\mathbf{e}_\mu) \leq w_H(\mathbf{e}) \quad \text{für alle } \mathbf{e} \in \mathcal{M}_\mu. \quad (4.6.7)$$

Diese Anführer minimalen Gewichts sind nicht notwendigerweise eindeutig bestimmt. Jedoch ist in  $\mathcal{M}_0 = \mathcal{C}$  natürlich  $\mathbf{e}_0 = \mathbf{0}$  eindeutig.

**Beispiel 4.10.** Betrachte den  $(5, 2)_2$ -Code  $\mathcal{C} = \{00000, 10110, 01011, 11101\}$  mit

$$\mathbf{G} = \begin{pmatrix} 1 & 0 & 1 & 1 & 0 \\ 0 & 1 & 0 & 1 & 1 \end{pmatrix}, \quad \mathbf{H} = \begin{pmatrix} 1 & 0 & 1 & 0 & 0 \\ 1 & 1 & 0 & 1 & 0 \\ 0 & 1 & 0 & 0 & 1 \end{pmatrix}.$$

Daraus ergibt sich die Nebenklassen-Zerlegung in eindeutiger Weise wie folgt:

$\mu$	$\mathbf{e}_\mu$	$\mathcal{M}_\mu$				$\mathbf{s}_\mu$
0	00000	00000	10110	01011	11101	000
1	00001	00001	10111	01010	11100	001
2	00010	00010	10100	01001	11111	010
3	00100	00100	10010	01111	11001	100
4	01000	01000	11110	00011	10101	011
5	10000	10000	00110	11011	01101	110
6	11000	11000	01110	10011	00101	101
7	01100	01100	11010	00111	10001	111

$\mathcal{M}_0$  ist der Code. In  $\mathcal{M}_0, \mathcal{M}_1, \mathcal{M}_2, \mathcal{M}_3, \mathcal{M}_4, \mathcal{M}_5$  sind die Anführer  $\mathbf{e}_\mu$  minimalen Gewichts jeweils eindeutig bestimmt. In  $\mathcal{M}_6$  und  $\mathcal{M}_7$  gibt es jeweils zwei Wörter mit minimalem Gewicht, so daß hier die Anführer willkürlich festgelegt werden müssen. Beispielsweise gilt

$$\begin{aligned} 01100 + \mathcal{C} &= \{01100, 11010, 00111, 10001\} \\ &= \{10001, 00111, 11010, 01100\} = 10001 + \mathcal{C}. \end{aligned}$$

Es ist leicht nachvollziehbar, daß zu allen Fehlermustern aus  $\mathcal{M}_\mu$  das Syndrom  $\mathbf{s}_\mu$  gehört und daß  $\mathcal{M}_\mu = \mathbf{e}_\mu + \mathcal{C}$  gilt. Für dieses Beispiel wird noch  $d_{\min} = 3$ ,  $t = 1$  und  $L_t = 1 + n = 6$  (zur Erklärung siehe Satz 4.13) vermerkt. ■

## 4.7 Syndrom-Decodierung

Es wird hier nur die Hard-Decision Decodierung betrachtet, d.h. zum Empfangswort ist das Codewort mit minimalem Hammingabstand gesucht. Ein einfaches Durchprobieren aller Codewörter funktioniert nur im Prinzip, aber nicht in der Praxis, da der Aufwand dafür viel zu groß ist. Die Syndrom-Decodierung hat allerdings auch keine große praktische Bedeutung, da die Realisierung bei mächtigen Codes immer noch viel zu aufwendig ist. Es gibt noch weitere Verfahren wie die Majoritäts- und die Schwellwert-Decodierung, die hier aber nicht behandelt werden. Wirklich leistungsfähige Decodierverfahren ergeben sich erst bei zyklischen Codes.

**Satz 4.12.** *Vorausgesetzt wird ein  $(n, k)_q$ -Code mit den Anführern  $\mathbf{e}_\mu$  minimalen Gewichts in der Nebenklassen-Zerlegung. Mit dem folgenden Verfahren wird der Maximum-Likelihood-Decoder realisiert:*

*Wenn das Empfangswort  $\mathbf{y}$  in einer Nebenklasse  $\mathcal{M}_\mu$  mit dem Anführer  $\mathbf{e}_\mu$  liegt, dann wird als Schätzung für das gesendete Codewort  $\hat{\mathbf{a}} = \mathbf{y} - \mathbf{e}_\mu$  gewählt.*

Beweis: Wenn  $\mathbf{y}$  in  $\mathcal{M}_\mu$  liegt, so existiert eine Darstellung  $\mathbf{y} = \mathbf{e}_\mu + \mathbf{a}'$  mit  $\mathbf{a}' \in \mathcal{C}$ . Somit folgt  $\hat{\mathbf{a}} = \mathbf{y} - \mathbf{e}_\mu = \mathbf{a}'$  und damit ist  $\hat{\mathbf{a}} = \mathbf{a}'$  als Codewort nachgewiesen.

Sei nun  $\mathbf{b}$  ein beliebiges Codewort. Zu zeigen ist  $d_H(\mathbf{y}, \hat{\mathbf{a}}) \leq d_H(\mathbf{y}, \mathbf{b})$ : Wegen  $\hat{\mathbf{a}}, \mathbf{b} \in \mathcal{C}$  folgt  $\hat{\mathbf{a}} - \mathbf{b} \in \mathcal{C}$  und somit  $\mathbf{e}_\mu + (\hat{\mathbf{a}} - \mathbf{b}) \in \mathcal{M}_\mu$ . Da  $\mathbf{e}_\mu$  minimales Gewicht in  $\mathcal{M}_\mu$  hat, gilt folglich  $w_H(\mathbf{e}_\mu) \leq w_H(\mathbf{e}_\mu + \hat{\mathbf{a}} - \mathbf{b})$ . Mit  $\mathbf{e}_\mu = \mathbf{y} - \hat{\mathbf{a}}$  folgt:

$$d_H(\mathbf{y}, \hat{\mathbf{a}}) = w_H(\mathbf{y} - \hat{\mathbf{a}}) \leq w_H(\mathbf{y} - \mathbf{b}) = d_H(\mathbf{y}, \mathbf{b}).$$

Also hat  $\hat{\mathbf{a}}$  von  $\mathbf{y}$  einen Abstand kleiner oder gleich als jedes andere Codewort und somit wird die ML-Regel realisiert. ■

Die sogenannte *Nebenklassen-Decodierung* kann wie folgt ablaufen: In der Nebenklassen-Zerlegung wird  $\mathbf{y}$  gesucht und damit ist  $\mu$  und weiter  $\mathbf{e}_\mu$  bekannt. Dann ist  $\hat{\mathbf{a}} = \mathbf{y} - \mathbf{e}_\mu$  die ML-Schätzung.

Als sogenannte *Syndrom-Decodierung* wird das Verfahren rechnerisch vereinfacht: Es wird eine Tabelle mit  $q^{n-k}$  Eintragungen  $(\mathbf{s}_\mu, \mathbf{e}_\mu)$  angelegt. Zum Empfangswort  $\mathbf{y}$  wird das Syndrom  $\mathbf{s} = \mathbf{y}\mathbf{H}^T$  berechnet und in der Tabelle wird  $\mathbf{s}_\mu$  mit  $\mathbf{s} = \mathbf{s}_\mu$  gesucht. Eine weitere Vereinfachung wird mit folgendem Beispiel erklärt:

**Beispiel 4.11.** (Fortsetzung von Beispiel 4.10) Nachfolgend sind zwei Tabellen angegeben, aus denen  $\mathbf{e}_\mu$  zu  $\mathbf{s}_\mu$  abgelesen werden kann. Die linke Tabelle ist lediglich ein Ausschnitt aus der Tabelle von Beispiel 4.10, während die rechte Tabelle eine Umordnung der linken Tabelle ist:

$\mu$	$\mathbf{s}_\mu$	$\mathbf{e}_\mu$
0	000	00000
1	001	00001
2	010	00010
3	100	00100
4	011	01000
5	110	10000
6	101	11000
7	111	01100

$\nu$	$\mathbf{s}_\nu$	$\mathbf{e}_\nu$
0	000	00000
1	001	00001
2	010	00010
3	011	01000
4	100	00100
5	101	11000
6	110	10000
7	111	01100

In der rechten Tabelle sind die Syndrome als Dualzahlen durchnummeriert, so daß die Syndrome direkt als Adresse für einen Speicher verwendbar sind, der lediglich die Anführer  $\mathbf{e}_\nu$  enthält. Damit entfällt die Suche nach  $\mathbf{s} = \mathbf{s}_\mu$ . ■

Bei großen Blocklängen ist diese Methode aber weiterhin praktisch völlig ungeeignet: Schon bei einem noch relativ simplen  $(511, 259, 61)_2$ -BCH-Code sind insgesamt  $2^{511-259} \approx 10^{76}$  Fehlermuster der Länge 511 abzuspeichern.

Die möglichen Mehrdeutigkeiten bei der Wahl der Anführer in den Nebenklassen korrespondieren mit der möglichen Mehrdeutigkeit bei der ML-Decodierung. Bei der BM-Decodierung entfallen diese Mehrdeutigkeiten, da der Decoder nur bei maximal  $t$  Fehlern richtig arbeiten muß:

**Satz 4.13.** *Bei einem  $(n, k, d_{\min})_q$ -Code mit  $2t + 1 \leq d_{\min}$  werden bei der Decodierung nach dem BMD-Prinzip bekanntlich alle Fehlermuster bis zum Gewicht  $t$  korrigiert und die Anzahl dieser Fehlermuster beträgt*

$$L_t = |K_t(\mathbf{0})| = \sum_{r=0}^t \binom{n}{r} (q-1)^r. \quad (4.7.1)$$

*Es gibt nun unter den  $q^{n-k}$  Nebenklassen mindestens  $L_t$  Nebenklassen, in denen der Anführer minimalen Hamminggewichts eindeutig bestimmt ist. Diese  $L_t$  Anführer sind genau die Wörter vom Gewicht  $\leq t$ .*

Beweis: Nach der Hamming-Schranke gilt  $L_t \leq q^{n-k}$ . Zu zeigen ist, daß die Wörter vom Gewicht  $\leq t$  jeweils verschiedene Nebenklassen erzeugen.

Dazu seien  $\mathbf{e} \neq \mathbf{e}'$  mit  $w_H(\mathbf{e}), w_H(\mathbf{e}') \leq t$  beliebig vorgegeben. Wenn nun die beiden zugehörigen Nebenklassen nicht disjunkt wären, so gäbe es ein  $\mathbf{y}$  mit  $\mathbf{y} = \mathbf{e} + \mathbf{a} = \mathbf{e}' + \mathbf{a}'$  mit  $\mathbf{a}, \mathbf{a}' \in \mathcal{C}$ . Da jedoch die Differenz  $\mathbf{a} - \mathbf{a}' = \mathbf{e}' - \mathbf{e} \neq \mathbf{0}$  ein Codewort ist, folgt:

$$d_{\min} \leq w_H(\mathbf{a} - \mathbf{a}') = w_H(\mathbf{e}' - \mathbf{e}) \leq w_H(\mathbf{e}') + w_H(\mathbf{e}) \leq t + t < d_{\min}.$$

Dies ist ein Widerspruch und somit sind die beiden Nebenklassen disjunkt. ■

# 5. Zyklische Blockcodes

Die zyklischen Codes entstehen als Teilmenge der linearen Codes, indem der Codemenge neben der Linearität noch eine zusätzliche Struktur aufgeprägt wird. Damit können sehr leistungsfähige und komplizierte Codes mit guten Distanzeigenschaften konstruiert und kompakt beschrieben werden. Die Encodierung und die Berechnung des Syndroms erfolgen einfach mit rückgekoppelten Schieberegistern. Die Decodierung vereinfacht sich so stark, daß praktisch fast nur zyklische Codes verwendet werden.

Die Beschreibung zyklischer Codes erfolgt vorzugsweise mit Polynomen, wobei ähnlich wie bei der Matrixbeschreibung sowohl ein Generatorpolynom wie ein Prüfpolynom existieren. Bekannte mathematische Sätze wie das Divisionstheorem und der Euklidische Algorithmus sowie die Eigenschaften des Polynomzerfalls in irreduzible Faktoren vereinfachen die Analyse und Konstruktion zyklischer Codes ganz wesentlich.

In diesem Kapitel werden neben dem gedächtnislosen DMC mit Einzelfehlern auch Kanäle mit Bündelfehlern betrachtet, bei denen sich zyklische Codes ebenfalls als sehr gut geeignet erweisen. Die RS- und BCH-Codes als die leistungsfähigsten Klassen der zyklischen Codes sind durch eine weitere Struktur geprägt und werden erst in den beiden folgenden Kapiteln eingeführt.

## 5.1 Definition zyklischer Codes und Polynombeschreibung

**Definition 5.1.** Ein linearer  $(n, k)_q$ -Blockcode  $\mathcal{C}$  heißt zyklisch, wenn jede zyklische Verschiebung eines Codewortes wieder ein Codewort ist, d.h.

$$(a_0, \dots, a_{n-2}, a_{n-1}) \in \mathcal{C} \implies (a_{n-1}, a_0, \dots, a_{n-2}) \in \mathcal{C}. \quad (5.1.1)$$

Durch mehrfache zyklische Verschiebung ergibt sich:

$$\begin{aligned} (a_{n-2}, a_{n-1}, a_0, \dots, a_{n-4}, a_{n-3}) &\in \mathcal{C} \\ (a_{n-3}, a_{n-2}, a_{n-1}, a_0, \dots, a_{n-4}) &\in \mathcal{C} \\ &\dots \dots \dots \\ (a_1, \dots, a_{n-3}, a_{n-2}, a_{n-1}, a_0) &\in \mathcal{C}. \end{aligned}$$

Es ist also unbedeutend, ob in der Definition die Verschiebung nach rechts oder links gefordert wird.

**Beispiel 5.1.** Betrachte den  $(7, 4)_2$ -Hamming-Code aus den Beispielen 1.2 und 4.1 mit der systematischen Generatormatrix

$$\mathbf{G} = \begin{pmatrix} 1 & 0 & 0 & 0 & 0 & 1 & 1 \\ 0 & 1 & 0 & 0 & 1 & 0 & 1 \\ 0 & 0 & 1 & 0 & 1 & 1 & 0 \\ 0 & 0 & 0 & 1 & 1 & 1 & 1 \end{pmatrix}.$$

Offensichtlich ist dieser Code nicht zyklisch, denn 0001111 ist ein Codewort, aber die zyklische Verschiebung 1111000 ist kein Codewort. Mit einer Vertauschung von Spalten ergibt sich ein äquivalenter Code mit  $\mathbf{G}_2$ :

$$\mathbf{G}_2 = \begin{pmatrix} 1 & 1 & 0 & 1 & 0 & 0 & 0 \\ 0 & 1 & 1 & 0 & 1 & 0 & 0 \\ 0 & 0 & 1 & 1 & 0 & 1 & 0 \\ 0 & 1 & 1 & 1 & 0 & 0 & 1 \end{pmatrix}, \quad \mathbf{G}_3 = \begin{pmatrix} 1 & 1 & 0 & 1 & 0 & 0 & 0 \\ 0 & 1 & 1 & 0 & 1 & 0 & 0 \\ 0 & 0 & 1 & 1 & 0 & 1 & 0 \\ 0 & 0 & 0 & 1 & 1 & 0 & 1 \end{pmatrix}.$$

Durch die elementaren Zeilenoperationen (addiere Zeile 2 zu Zeile 4) ergibt sich ein identischer Code mit  $\mathbf{G}_3$ . Dieser Code ist zyklisch, wie schnell einsehbar ist: Zunächst gehen die Zeilen der Generatormatrix durch zyklische Verschiebungen auseinander hervor. Die Verschiebung der letzten Zeile ergibt 1000110 und dies ist ein Codewort zum Infowort 1110. Mit  $\mathbf{G}_3$  ergibt sich folgender Encoder:

$u$	$a$
0000	0000000
1011	1111111
1000	1101000
0100	0110100
0010	0011010
0001	0001101
1110	1000110
0111	0100011
1101	1010001
1010	1110010
0101	0111001
1100	1011100
0110	0101110
0011	0010111
1111	1001011
1001	1100101

Das Nullwort und das Einswort verändern sich nicht bei zyklischer Verschiebung. Die folgenden 7 Wörter gehen durch zyklische Verschiebung ineinander über, wobei natürlich das Hamminggewicht 3 immer konstant bleibt. Das gleiche gilt für die letzten 7 Wörter vom Hamminggewicht 4. ■

Trivialerweise bleibt ein Code zyklisch, wenn die elementaren Zeilenoperationen angewendet werden, da der Code identisch bleibt. Beim Übergang zu

äquivalenten Codes mit Spaltenvertauschungen bleibt die Eigenschaft zyklisch nicht notwendigerweise erhalten. Auch bei den einfachen Modifikationen gemäß Abschnitt 4.5 können zyklische Codes zu nicht-zyklischen Codes werden. Insbesondere bei der Kürzung zyklischer Codes kann das jedoch durch einfache Maßnahmen aufgefangen werden (siehe dazu beispielsweise Satz 5.17).

Im nächsten Abschnitt wird gezeigt, daß alle zyklischen Codes eine Generatormatrix mit Bandstruktur besitzen. Die Umkehrung gilt jedoch nicht, wie das Beispiel

$$\mathbf{G} = \begin{pmatrix} 1 & 1 & 0 & 1 & 0 \\ 0 & 1 & 1 & 0 & 1 \end{pmatrix}$$

mit  $\mathcal{C} = \{00000, 11010, 01101, 10111\}$  zeigt. Aus der Generatormatrix ist nicht direkt ablesbar, ob der Code zyklisch ist.

Zur Beschreibung zyklischer Codes sind Generatormatrizen wenig geeignet, weil Bandmatrizen nur umständlich zu handhaben sind und weil das vorangehende Beispiel schon andeutet, daß allein schon eine Zeile der Generatormatrix charakterisierend für den Code ist. Generell werden zyklische Codes nicht mit Vektoren und Matrizen, sondern mit Polynomen beschrieben:

**Definition 5.2.** Ein Vektor wird mit einem Polynom wie folgt identifiziert:

$$\begin{aligned} \mathbf{a} &= (a_0, \dots, a_{n-1}) \in \mathbb{F}_q^n \\ &\quad \updownarrow \\ a(x) &= \sum_{i=0}^{n-1} a_i x^i \in \mathbb{F}_q[x]_{n-1}. \end{aligned}$$

Abkürzend wird auch  $w_H(a(x))$  für  $w_H(\mathbf{a})$  geschrieben. Mit  $\mathbb{F}_q[x]$  wird die Menge aller Polynome beliebigen Grades und mit  $\mathbb{F}_q[x]_r$  wird die Menge aller Polynome vom Grad kleiner oder gleich  $r$  bezeichnet, wobei die Koeffizienten jeweils aus  $\mathbb{F}_q$  sind.

Die Größe  $x$  (nicht zu verwechseln mit dem Input des diskreten Kanals) hat dabei lediglich die Bedeutung eines Platzhalters – stattdessen könnte auch  $y$  oder  $z^{-1}$  oder  $D$  geschrieben werden. Für Wörter der Länge  $n$  gilt für  $\mathbf{a} \leftrightarrow a(x)$  beispielsweise:

$$\begin{aligned} 0000 \dots 0 &\leftrightarrow 0 \\ 1000 \dots 0 &\leftrightarrow 1 \\ 0100 \dots 0 &\leftrightarrow x \\ 0010 \dots 0 &\leftrightarrow x^2 \\ 000 \dots 01 &\leftrightarrow x^{n-1} \\ 1111 \dots 1 &\leftrightarrow 1 + x + x^2 + \dots + x^{n-1} = \frac{x^n - 1}{x - 1}. \end{aligned}$$

Zwar existiert ein Polynom  $1/(x - 1)$  nicht, aber die letzte Gleichung ist so zu verstehen, daß gilt:

$$(x-1)(1+x+x^2+\cdots+x^{n-1})=x^n-1. \quad (5.1.2)$$

Ein Polynom, bei dem der höchste Koeffizient ungleich Null den Wert 1 hat, wird als *normiertes Polynom* bezeichnet. Die Beschreibung durch Polynome ist prinzipiell eindeutig, d.h. es gilt  $\mathbf{a} = \mathbf{b}$  genau dann, wenn  $a(x) = b(x)$  gilt. Der Addition von Vektoren bzw. Wörtern entspricht die Addition von Polynomen. Die Codemenge  $\mathcal{C}$  bei einem  $(n, k)_q$ -Code ist eine Teilmenge bzw. Untervektorraum von  $\mathbb{F}_q[x]_{n-1}$  und die Menge aller Infowörter  $\mathbb{F}_q^k$  entspricht genau  $\mathbb{F}_q[x]_{k-1}$ . Natürlich ist  $\mathcal{C}$  als Menge von Polynomen nicht multiplikativ abgeschlossen, da bei der Multiplikation von Polynomen vom Grad  $\leq n-1$  höhere Grade entstehen.

Die für die Codierungstheorie wichtigsten Grundlagen der Polynomarithmetik werden in Abschnitt A.6 zusammengestellt. Von ganz wesentlicher Bedeutung für zyklische Codes ist das in Satz A.4 formulierte Divisionstheorem: Zu zwei vorgegebenen Polynomen  $b(x)$  und  $g(x) \neq 0$  aus  $\mathbb{F}_q[x]$  existieren eindeutig bestimmte Polynome  $\alpha(x)$  und  $r(x)$  aus  $\mathbb{F}_q[x]$  mit

$$b(x) = \alpha(x)g(x) + r(x) \quad \text{mit} \quad \text{Grad } r(x) < \text{Grad } g(x). \quad (5.1.3)$$

Für den Rest  $r(x) = b(x)$  modulo  $g(x)$  wird durchgehend die Schreibweise  $r(x) = R_{g(x)}[b(x)]$  verwendet. Rechnen modulo  $g(x)$  bedeutet, daß  $g(x)$  durch Null ersetzt werden kann. Für die daraus resultierende Restklassen-Arithmetik gelten nach Satz A.5 folgende Regeln in  $\mathbb{F}_q[x]$ :

$$R_{g(x)}[a(x) + b(x)] = R_{g(x)}[a(x)] + R_{g(x)}[b(x)] \quad (5.1.4)$$

$$R_{g(x)}[a(x) \cdot b(x)] = R_{g(x)}[R_{g(x)}[a(x)] \cdot R_{g(x)}[b(x)]] \quad (5.1.5)$$

$$R_{g(x)}[a(x)g(x)] = 0 \quad (5.1.6)$$

$$R_{g(x)}[a(x)] = R_{g(x)h(x)}[R_{g(x)h(x)}[a(x)]] \quad (5.1.7)$$

$$\text{Grad } a(x) < \text{Grad } g(x) \implies R_{g(x)}[a(x)] = a(x) \quad (5.1.8)$$

$$R_{x^n-1}[x^m] = x^m \text{ modulo } n = x^{R_n[m]}. \quad (5.1.9)$$

Beim Rechnen modulo  $(x^n - 1)$  wird  $x^n$  durch 1 ersetzt bzw. die Potenz  $m$  durch  $m$  modulo  $n$ . Die Potenzrechnung erfolgt dabei in  $\mathbb{Z}$  unabhängig von  $\mathbb{F}_q$ . Als erster Vorteil der Polynombeschreibung ergibt sich eine sehr kompakte Beschreibung der zyklischen Verschiebung mit Hilfe von  $x^n - 1$ :

**Satz 5.1.** Die  $m$ -fache zyklische Verschiebung von  $(a_0, a_1, \dots, a_{n-1}) \leftrightarrow a(x)$  ergibt  $(a_{n-m}, \dots, a_{n-1}, a_0, \dots, a_{n-m-1}) \leftrightarrow R_{x^n-1}[x^m a(x)]$ .

Beweis:

$$\begin{aligned} & R_{x^n-1}[x^m a(x)] \\ &= R_{x^n-1}[a_0 x^m + \cdots + a_{n-m-1} x^{n-1} + a_{n-m} x^n + \cdots + a_{n-1} x^{n-1+m}] \\ &= a_0 x^m + \cdots + a_{n-m-1} x^{n-1} + a_{n-m} x^0 + \cdots + a_{n-1} x^{m-1}. \end{aligned}$$

Dies entspricht dem zyklisch verschobenen Wort. ■

Der 2-fachen zyklischen Verschiebung entspricht einerseits  $R_{x^{n-1}}[x^2a(x)]$  und andererseits  $R_{x^{n-1}}[x \cdot R_{x^{n-1}}[xa(x)]]$ . Nach (5.1.5) sind beide Ausdrücke identisch.

## 5.2 Generatorpolynom

Lineare Codes werden durch die Generatormatrix oder die Prüfmatrix beschrieben. Zyklische Codes können zusätzlich durch entsprechende Polynome noch kompakter und übersichtlicher charakterisiert werden.

**Definition 5.3.** *Mit dem Generatorpolynom  $g(x) \in \mathbb{F}_q[x]_{n-k}$  vom Grad  $n - k$  über  $\mathbb{F}_q$  wird ein linearer  $(n, k)_q$ -Blockcode wie folgt erzeugt:*

$$\mathcal{C} = \left\{ u(x)g(x) \mid u(x) \in \mathbb{F}_q[x]_{k-1} \right\} \quad (5.2.1)$$

$$= \left\{ a(x) \in \mathbb{F}_q[x]_{n-1} \mid R_{g(x)}[a(x)] = 0 \right\}. \quad (5.2.2)$$

Das Generatorpolynom  $g(x) = g_0 + g_1x + \dots + g_{n-k-1}x^{n-k-1} + x^{n-k}$  wird stets als normiert vorausgesetzt. Mit dem Generatorpolynom wird ein Encoder in folgender Form ermöglicht:

$$u(x) \mapsto a(x) = u(x)g(x). \quad (5.2.3)$$

Beweis: “(5.2.1) bzw. (5.2.3) erzeugt einen linearen  $(n, k)_q$ -Code”: Zunächst wird

$$\text{Grad } a(x) = \underbrace{\text{Grad } u(x)}_{\leq k-1} + \underbrace{\text{Grad } g(x)}_{=n-k} \leq n - 1$$

festgestellt, d.h.  $n$  ist die Blocklänge. Natürlich existieren genau  $q^k$  Polynome vom Grad  $\leq k - 1$ . Für  $u(x) \neq u'(x)$  gilt  $u(x)g(x) \neq u'(x)g(x)$  und somit gilt  $|\mathcal{C}| = q^k$ . Aus  $u(x)g(x) + u'(x)g(x) = (u(x) + u'(x))g(x)$  folgt die Linearität.

“(5.2.1)=(5.2.2)”: Für jedes  $u(x)g(x)$  gilt  $R_{g(x)}[u(x)g(x)] = 0$  nach (5.1.6). Umgekehrt gilt nach (5.1.3)

$$a(x) = \alpha(x)g(x) + R_{g(x)}[a(x)],$$

so daß  $R_{g(x)}[a(x)] = 0$  sofort  $a(x)$  als Vielfaches von  $g(x)$  impliziert. ■

Für  $u(x) = 1$  folgt  $g(x) \in \mathcal{C}$  und für  $u(x) = 0$  folgt  $0 = 0(x) \in \mathcal{C}$ . Für  $u(x) \neq 0$  gilt  $\text{Grad } a(x) \geq n - k$ . Also existiert außer dem Nullwort bzw. Nullpolynom kein Codewort vom Grad  $< n - k$ :

$$\mathbb{F}_q[x]_{n-k-1} \cap \mathcal{C} = \{0\}. \quad (5.2.4)$$

Offensichtlich gilt auch die Abschätzung  $d_{\min} \leq w_H(g(x))$ , was direkt der Singleton-Schranke aus Satz 3.7 entspricht.

Das Generatorpolynom nach Definition 5.3 ist nur von der Anzahl  $n - k$  der Prüfstellen abhängig und damit wird ein linearer Code erzeugt. Um einen zyklischen Code zu erzeugen, muß noch eine Abhängigkeit von  $n$  hinzukommen. Der folgende Satz gibt dazu ein leicht nachprüfbares Kriterium an:

**Satz 5.2.** *Es sei  $g(x)$  ein Generatorpolynom vom Grad  $n - k$  für einen  $(n, k)_q$ -Code  $\mathcal{C}$ . Dann gilt:*

$$\mathcal{C} \text{ ist zyklisch} \iff g(x) \text{ ist ein Teiler von } x^n - 1. \quad (5.2.5)$$

Bei einem zyklischen Code ist durch Vorgabe von  $\mathcal{C}$  das normierte Generatorpolynom eindeutig bestimmt. Ferner gilt für beliebiges  $w(x) \in \mathbb{F}_q[x]$ :

$$a(x) \in \mathcal{C} \implies R_{x^{n-1}}[w(x)a(x)] \in \mathcal{C}. \quad (5.2.6)$$

Beweis: “(5.2.6)”:  $\mathcal{C}$  sei zyklisch. Dann ist mit  $a(x) \in \mathcal{C}$  auch die Verschiebung  $R_{x^{n-1}}[x^i a(x)] \in \mathcal{C}$  und somit folgt:

$$R_{x^{n-1}} \left[ \sum_{i=0}^l w_i x^i \cdot a(x) \right] = \sum_{i=0}^l w_i R_{x^{n-1}}[x^i a(x)] \in \mathcal{C}.$$

“(5.2.5)  $\implies$ ”: Nach Satz A.4 existieren Polynome  $\alpha(x), r(x)$  mit:

$$x^n - 1 = \alpha(x)g(x) + r(x) \quad \text{mit} \quad \text{Grad } r(x) < \text{Grad } g(x) = n - k.$$

Somit folgt mit (5.2.6):

$$r(x) = R_{x^{n-1}}[r(x)] = R_{x^{n-1}}[x^n - 1 - \alpha(x)g(x)] = R_{x^{n-1}}[-\alpha(x)g(x)] \in \mathcal{C}.$$

Also ist  $r(x)$  ein Codewort von Grad  $< n - k$ . Das ist aber nur für  $r(x) = 0$  möglich und somit ist  $g(x)$  ein Teiler von  $x^n - 1$ .

“(5.2.5)  $\longleftarrow$ ”: Sei  $g(x)$  ein Teiler von  $x^n - 1$ , d.h.  $x^n - 1 = h(x)g(x)$  mit Grad  $g(x) = n - k$  und Grad  $h(x) = k$ . Für ein beliebiges Codewort  $a(x) = u(x)g(x)$  ist zu zeigen, daß die zyklische Verschiebung  $R_{x^{n-1}}[x^m a(x)]$  wieder ein Codewort ist. Zu  $x^m u(x)$  existieren nach Satz A.4 Polynome  $\alpha(x)$  und  $r(x)$  mit:

$$x^m u(x) = \alpha(x)h(x) + r(x) \quad \text{mit} \quad \text{Grad } r(x) < \text{Grad } h(x) = k.$$

Somit folgt:

$$\begin{aligned} R_{x^{n-1}}[x^m a(x)] &= R_{x^{n-1}}[x^m u(x)g(x)] \\ &= R_{x^{n-1}} \left[ \alpha(x) \underbrace{h(x)g(x)}_{=x^n-1} + \underbrace{r(x)g(x)}_{\text{Grad} \leq (k-1)+(n-k)=n-1} \right] \\ &= r(x)g(x) \in \mathcal{C}. \end{aligned}$$

“Eindeutigkeit”: Es sei  $g'(x)$  ein weiteres Generatorpolynom. Wegen  $g'(x) \in \mathcal{C}$  existiert  $u(x)$  mit  $g'(x) = u(x)g(x)$ . Da  $g(x)$  und  $g'(x)$  gleiche Grade haben, muß  $u(x)$  den Grad Null haben, d.h. eine Konstante sein. ■

Eine weitere Kennzeichnung zyklischer Codes wird in Satz A.11 bewiesen: Ein Code  $\mathcal{C}$  ist genau dann zyklisch, wenn  $\mathcal{C}$  ein Ideal bzw. ein Hauptideal im Hauptidealring  $\mathbb{F}_q[x]_{n-1}$  ist. Diese rein algebraische Charakterisierung zyklischer Codes wird nachfolgend aber nicht wieder aufgegriffen, so daß der mathematisch weniger interessierte Leser diesen Punkt übergehen kann.

Ein zyklischer Code wird einerseits durch ein normiertes Generatorpolynom vom Grad  $n - k$  mit  $n - k$  Koeffizienten und andererseits durch eine Generatormatrix mit  $k \cdot n$  Koeffizienten beschrieben. Den Zusammenhang gibt folgender Satz:

**Satz 5.3.** *Der zyklische  $(n, k)_q$ -Code werde erzeugt durch das Generatorpolynom  $g(x) = g_0 + g_1x + \dots + g_{n-k-1}x^{n-k-1} + x^{n-k}$ . Dann wird der Code auch erzeugt durch die Generatormatrix  $\mathbf{G} \in \mathbb{F}_q^{k,n}$ :*

$$\mathbf{G} = \begin{pmatrix} g_0 & \dots & g_{n-k} \\ & g_0 & \dots & g_{n-k} \\ & & \ddots & \\ & & & g_0 & \dots & g_{n-k} \end{pmatrix} \leftrightarrow \begin{pmatrix} g(x) \\ xg(x) \\ \vdots \\ x^{k-1}g(x) \end{pmatrix}. \quad (5.2.7)$$

Beweis: Sei  $u(x) \leftrightarrow (u_0, \dots, u_{k-1})$  und  $a(x) \leftrightarrow (a_0, \dots, a_{n-1})$ . Dann entspricht die Polynom-Multiplikation  $a(x) = u(x)g(x)$  der Koeffizienten-Faltung

$$a_i = \sum_{\nu=\max\{0, i-n+k\}}^{\min\{k-1, i\}} u_\nu g_{i-\nu}$$

und dies entspricht genau der Matrix-Multiplikation  $\mathbf{a} = \mathbf{u}\mathbf{G}$ . Die Darstellung von  $\mathbf{G}$  als Polynomvektor ist offensichtlich. ■

### 5.3 Prüfpolynom

Zunächst wird an die Matrixbeschreibung eines linearen Codes mit der Generatormatrix  $\mathbf{G} \in \mathbb{F}_q^{k,n}$  und der Prüfmatrix  $\mathbf{H} \in \mathbb{F}_q^{n-k,n}$  mit  $\mathbf{G}\mathbf{H}^T = \mathbf{0}$  erinnert:

$$\mathcal{C} = \left\{ \mathbf{u}\mathbf{G} \mid \mathbf{u} \in \mathbb{F}_q^k \right\} = \left\{ \mathbf{a} \in \mathbb{F}_q^n \mid \mathbf{a}\mathbf{H}^T = \mathbf{0} \right\}.$$

Entsprechend gilt für die Polynombeschreibung:

**Satz 5.4.** *Durch das Generatorpolynom  $g(x)$  vom Grad  $n - k$  werde der zyklische  $(n, k)_q$ -Code  $\mathcal{C}$  erzeugt. Da  $g(x)$  ein Teiler von  $x^n - 1$  ist, existiert ein Prüfpolynom (parity check polynomial)  $h(x) \in \mathbb{F}_q[x]_k$  vom Grad  $k$ , so daß*

$$g(x)h(x) = x^n - 1 \quad (5.3.1)$$

*gilt. Mit  $g(x)$  ist auch  $h(x)$  normiert. Dann ist der Code eindeutig durch  $h(x)$  wie folgt charakterisiert:*

$$\mathcal{C} = \left\{ a(x) \in \mathbb{F}_q[x]_{n-1} \mid R_{x^n-1}[a(x)h(x)] = 0 \right\}. \quad (5.3.2)$$

Beweis: " $\mathcal{C}_{5.2.1} \subseteq \mathcal{C}_{5.3.2}$ ": Sei  $a(x) = u(x)g(x)$  vom Grad  $\leq n - 1$ . Es gilt

$$a(x)h(x) = u(x)g(x)h(x) = u(x)(x^n - 1)$$

und somit  $R_{x^n-1}[a(x)h(x)] = 0$ .

" $\mathcal{C}_{5.3.2} \subseteq \mathcal{C}_{5.2.1}$ ": Sei  $a(x) \in \mathbb{F}_q[x]_{n-1}$  mit  $R_{x^n-1}[a(x)h(x)] = 0$ . Zu zeigen ist die Existenz eines  $u(x) \in \mathbb{F}_q[x]_{k-1}$  mit  $a(x) = u(x)g(x)$ . Zu  $a(x)$  und  $g(x)$  existieren nach Satz A.4 Polynome  $u(x)$  und  $r(x)$  mit

$$a(x) = u(x)g(x) + r(x) \quad \text{mit} \quad \text{Grad } r(x) < \text{Grad } g(x) = n - k.$$

Somit folgt:

$$\begin{aligned} 0 &= R_{x^n-1}[a(x)h(x)] \\ &= R_{x^n-1} \left[ \underbrace{u(x)g(x)h(x)}_{=(x^n-1)} + \underbrace{r(x)h(x)}_{\text{Grad} < (n-k)+k=n} \right] = r(x)h(x). \end{aligned}$$

Also folgt  $r(x) = 0$  und damit  $a(x) = u(x)g(x)$ . ■

**Satz 5.5.** *Unter den Voraussetzungen des vorangehenden Satzes mit einem Prüfpolynom  $h(x) = h_0 + h_1x + \dots + h_{k-1}x^{k-1} + x^k$  wird eine Prüfmatrix  $\mathbf{H} \in \mathbb{F}_q^{n-k, n}$  gegeben durch:*

$$\mathbf{H} = \begin{pmatrix} h_k & \dots & h_0 \\ & h_k & \dots & h_0 \\ & & h_k & \dots & h_0 \end{pmatrix} \leftrightarrow \begin{pmatrix} \bar{h}(x) \\ x\bar{h}(x) \\ \vdots \\ x^{n-k-1}\bar{h}(x) \end{pmatrix}. \quad (5.3.3)$$

*Dabei ist  $\bar{h}(x) = x^k h(x^{-1}) = 1 + h_{k-1}x + \dots + h_0x^k$  das reziproke Polynom zu  $h(x)$  (siehe auch (A.6.3)). Natürlich ist die Reihenfolge der Zeilen in  $\mathbf{H}$  wie in  $\mathbf{G}$  beliebig.*

Beweis: Die Komponenten von  $\mathbf{H}$  werden als  $H_{j,\nu}$  mit  $0 \leq j \leq n - k - 1$ ,  $0 \leq \nu \leq n - 1$  geschrieben. Für  $\mathbf{H}$  nach (5.3.3) gilt  $H_{j,\nu} = h_{k+j-\nu}$  und für  $\mathbf{G}$  nach (5.2.7) gilt  $G_{i,\nu} = g_{\nu-i}$  mit  $0 \leq i \leq k - 1$ ,  $0 \leq \nu \leq n - 1$ . Nachzuweisen ist  $\mathbf{GH}^T = \mathbf{0}$  gemäß Satz 4.3:

$$(\mathbf{GH}^T)_{i,j} = \sum_{\nu} G_{i,\nu} H_{j,\nu} = \sum_{\nu} g_{\nu-i} h_{k+j-\nu} = \sum_{\mu} g_{\mu} h_{k+j-i-\mu},$$

wobei  $\mu = \nu - i$  substituiert wurde. Die rechte Summe entspricht der  $(k + j - i)$ -ten Komponente in  $g(x)h(x) = x^n - 1$ . Aus  $0 \leq i \leq k - 1$  und  $0 \leq j \leq n - k - 1$  folgt  $1 \leq k + j - i \leq n - 1$  und somit  $(\mathbf{GH}^T)_{i,j} = 0$ . ■

**Beispiel 5.2.** (1) Für den  $(n, 1)_2$ -Wiederholungscode gilt

$$g(x) = 1 + x + \cdots + x^{n-1} = \frac{x^n - 1}{x - 1} = \frac{x^n + 1}{x + 1},$$

denn aus  $u(x) = u_0$  folgt  $a(x) = u(x)g(x) \leftrightarrow (u_0, \dots, u_0)$ . Daraus ergibt sich  $h(x) = x - 1 = x + 1$  und weiter ist

$$\begin{aligned} 0 &= R_{x^n-1}[a(x)h(x)] = R_{x^n-1}[a(x)x - a(x)] \\ &= R_{x^n-1}[a_0x + \cdots + a_{n-1}x^n - a_0 - a_1x - \cdots - a_{n-1}x^{n-1}] \\ &= R_{x^n-1}[-a_0 + (a_0 - a_1)x + \cdots + (a_{n-2} - a_{n-1})x^{n-1} + a_{n-1}x^n] \\ &= (a_{n-1} - a_0) + (a_0 - a_1)x + \cdots + (a_{n-2} - a_{n-1})x^{n-1} \end{aligned}$$

äquivalent mit  $a_{n-1} = a_0, a_0 = a_1, a_1 = a_2, \dots, a_{n-2} = a_{n-1}$  bzw.  $a_0 = a_1 = \cdots = a_{n-1}$ . Nach (5.2.7) und (5.3.3) gilt:

$$\mathbf{G} = \begin{pmatrix} 1 & 1 & \cdots & 1 & 1 \end{pmatrix}, \quad \mathbf{H} = \begin{pmatrix} 1 & 1 & & & \\ & 1 & 1 & & \\ & & & & \\ & & & 1 & 1 \\ & & & & 1 & 1 \end{pmatrix}.$$

Durch die elementaren Zeilenoperationen ergibt sich die in Beispiel 4.3(2) angegebene Form von  $\mathbf{H}$ .

(2) Mit ähnlichen Methoden ergibt sich für den  $(n, n - 1)_2$ -Parity Check Code  $g(x) = x - 1$  und  $h(x) = (x^n - 1)/(x - 1)$ . ■

**Satz 5.6.** Zum zyklischen  $(n, k)_q$ -Code  $\mathcal{C}$  gehöre das Generatorpolynom  $g(x)$  und das Prüfpolynom  $h(x)$ . Der duale  $(n, n - k)_q$ -Code ist dann ebenfalls zyklisch mit dem Generatorpolynom  $g^\perp(x) = \bar{h}(x) = x^k h(x^{-1})$  und dem Prüfpolynom  $h^\perp(x) = \bar{g}(x) = x^{n-k} g(x^{-1})$ . Es gilt die Darstellung

$$\mathcal{C}^\perp = \left\{ b(x) \in \mathbb{F}_q[x]_{n-1} \mid R_{x^n-1}[a(x)b(x^{-1})x^{n-1}] = 0 \text{ für alle } a(x) \in \mathcal{C} \right\}. \quad (5.3.4)$$

Beweis: Zunächst ist  $g^\perp(x) = \bar{h}(x)$  ein Polynom vom Grad  $n - k^\perp = k$  und  $h^\perp(x) = \bar{g}(x)$  ein Polynom vom Grad  $k^\perp = n - k$ . Weiter gilt

$$g^\perp(x)h^\perp(x) = x^n h(x^{-1})g(x^{-1}) = x^n(x^{-n} - 1) = -(x^n - 1).$$

Nach Definition 4.3 wird  $\mathcal{C}^\perp$  durch die Prüfmatrix  $\mathbf{H}$  erzeugt, die nach (5.3.3) durch  $g^\perp(x) = \bar{h}(x)$  aufgebaut wird. Die Darstellung (5.3.4) folgt nicht direkt aus (4.3.1), denn  $\mathbf{a} \perp \mathbf{b}$  bzw.  $\sum_i a_i b_i = 0$  impliziert nur, daß in  $a(x)b(x^{-1})x^{n-1}$  der Koeffizient bei  $x^{n-1}$  entfällt. Zum Beweis von (5.3.4) wird die rechts stehende Menge mit  $\mathcal{C}'$  bezeichnet.

“ $\mathcal{C}^\perp \subseteq \mathcal{C}'$ ”: Sei  $b(x) = v(x)g^\perp(x) \in \mathcal{C}^\perp$  beliebig mit Grad  $v(x) \leq n - k - 1$ . Sei  $a(x) = u(x)g(x) \in \mathcal{C}$  beliebig mit Grad  $u(x) \leq k - 1$ . Dann gilt

$$\begin{aligned} a(x)b(x^{-1})x^{n-1} &= u(x)g(x) \cdot v(x^{-1})g^\perp(x^{-1}) \cdot x^{n-1} \\ &= u(x)g(x) \cdot v(x^{-1})h(x) \cdot x^{n-k-1} \\ &= u(x) \cdot \underbrace{v(x^{-1})x^{n-k-1}}_{\text{Polynom}} \cdot \underbrace{g(x)h(x)}_{=(x^n-1)} \\ &= 0 \text{ modulo } (x^n - 1) \end{aligned}$$

und somit  $b(x) \in \mathcal{C}'$ .

“ $\mathcal{C}^\perp \supseteq \mathcal{C}'$ ”: Sei  $b(x) \in \mathcal{C}'$ . Wegen  $g(x) \in \mathcal{C}$  gilt  $R_{x^{n-1}}[g(x)b(x^{-1})x^{n-1}] = 0$  und somit existiert ein Polynom  $\alpha(x)$  mit

$$\underbrace{g(x)}_{\text{Grad}=n-k} \cdot \underbrace{b(x^{-1})}_{\text{Grad} \leq n-1} \cdot x^{n-1} = \alpha(x) \underbrace{(x^n - 1)}_{\text{Grad}=n}.$$

Somit folgt Grad  $\alpha(x) \leq n - k - 1$  und nach Division durch  $g(x)$  und Substitution  $x^{-1} \mapsto x$  ergibt sich:

$$b(x) = x^{n-1}\alpha(x^{-1})h(x^{-1}) = x^{n-k-1}\alpha(x^{-1}) \cdot x^k h(x^{-1}).$$

Mit  $v(x) = x^{n-k-1}\alpha(x^{-1})$  gilt  $b(x) = v(x)g^\perp(x) \in \mathcal{C}^\perp$ . In (5.3.4) kann übrigens auch  $R_{x^{n-1}}[b(x)a(x^{-1})x^{n-1}] = 0$  geschrieben werden. ■

**Beispiel 5.3.** Sei  $g(x) = 1 + x + x^3$  und  $h(x) = 1 + x + x^2 + x^4$ . Wegen  $g(x)h(x) = x^7 - 1$  in  $\mathbb{F}_2$  sind dies Generator- und Prüfpolynom für einen zyklischen  $(7, 4)_2$ -Code. Nach (5.2.7) und (5.3.3) gilt mit  $\bar{h}(x) = 1 + x^2 + x^3 + x^4$ :

$$\begin{aligned} \mathbf{G} = \mathbf{G}_3 &= \begin{pmatrix} 1 & 1 & 0 & 1 & 0 & 0 & 0 \\ 0 & 1 & 1 & 0 & 1 & 0 & 0 \\ 0 & 0 & 1 & 1 & 0 & 1 & 0 \\ 0 & 0 & 0 & 1 & 1 & 0 & 1 \end{pmatrix} \leftrightarrow \begin{pmatrix} 1 + x + x^3 \\ x + x^2 + x^4 \\ x^2 + x^3 + x^5 \\ x^3 + x^4 + x^6 \end{pmatrix} = \begin{pmatrix} g(x) \\ xg(x) \\ x^2g(x) \\ x^3g(x) \end{pmatrix}, \\ \mathbf{H} &= \begin{pmatrix} 1 & 0 & 1 & 1 & 1 & 0 & 0 \\ 0 & 1 & 0 & 1 & 1 & 1 & 0 \\ 0 & 0 & 1 & 0 & 1 & 1 & 1 \end{pmatrix} \leftrightarrow \begin{pmatrix} 1 + x^2 + x^3 + x^4 \\ x + x^3 + x^4 + x^5 \\ x^2 + x^4 + x^5 + x^6 \end{pmatrix} = \begin{pmatrix} \bar{h}(x) \\ x\bar{h}(x) \\ x^2\bar{h}(x) \end{pmatrix}. \end{aligned}$$

$\mathbf{G}$  entspricht genau der Generatormatrix  $\mathbf{G}_3$  der zyklischen Version des Hamming-Codes aus Beispiel 5.1. Man kann  $\mathbf{G}\mathbf{H}^T = \mathbf{0}$  verifizieren.  $\mathbf{H}$  entsteht natürlich durch Spaltenpermutation aus der Prüfmatrix von Beispiel 4.3(1). Durch die elementaren Zeilenoperationen ergibt sich aus  $\mathbf{G}_3$  ein systematischer zyklischer Code mit:

$$\mathbf{G}_4 = \begin{pmatrix} 1 & 0 & 0 & 0 & 1 & 1 & 0 \\ 0 & 1 & 0 & 0 & 0 & 1 & 1 \\ 0 & 0 & 1 & 0 & 1 & 1 & 1 \\ 0 & 0 & 0 & 1 & 1 & 0 & 1 \end{pmatrix}.$$

Der duale Code, der also einer äquivalenten zyklischen Version des  $(7, 3)_2$ -Simplex-Codes entspricht, wird durch  $g^\perp(x) = \bar{h}(x) = 1 + x^2 + x^3 + x^4$  bzw.  $h^\perp(x) = \bar{g}(x) = 1 + x^2 + x^3$  erzeugt.

Auch durch  $g(x) = 1 + x^2 + x^3$  wird ein zyklischer  $(7, 4)_2$ -Code erzeugt, der mit  $g(x) = 1 + x + x^3$  nicht identisch, aber äquivalent ist. Durch  $g(x) = 1 + x^3$  oder  $g(x) = 1 + x + x^2 + x^3$  wird dagegen kein zyklischer Code erzeugt, da dies keine Teiler von  $x^7 - 1 = (1 + x)(1 + x + x^3)(1 + x^2 + x^3)$  sind, wie die Zerlegung in irreduzible Faktoren zeigt. ■

In Kapitel 7 wird noch gezeigt, daß jeder Hamming-Code eine äquivalente zyklische Version besitzt.

## 5.4 Systematische Encodierung

Jeder zyklische Code kann systematisch encodiert werden, denn zu jedem zyklischen Code existiert eine Generatormatrix gemäß (5.2.7), die gemäß Satz 4.1 in eine systematische Form überführt werden kann, wobei der Code identisch bleibt. Die direkte Encodierung gemäß (5.2.3) erzeugt einen nicht-systematischen Code und wird deshalb nie verwendet. In diesem Abschnitt werden verschiedene Methoden zur systematischen Encodierung angegeben, die direkt auf der Polynombeschreibung beruhen und mit einfachen Schieberegistern realisierbar sind.

### Satz 5.7 (Systematische Encodierung mit dem Generatorpolynom).

Es sei  $g(x) = g_0 + g_1x + \dots + g_{n-k-1}x^{n-k-1} + x^{n-k}$  ein Generatorpolynom für einen zyklischen  $(n, k)_q$ -Code. Zum Infowort  $\mathbf{u} = (u_0, \dots, u_{k-1}) \leftrightarrow u(x)$  wird als Prüfwort

$$\mathbf{p} = (p_0, \dots, p_{n-k-1}) \quad \leftrightarrow \quad p(x) = R_{g(x)}[-x^{n-k}u(x)] \quad (5.4.1)$$

bestimmt und als Codewort wird verwendet:

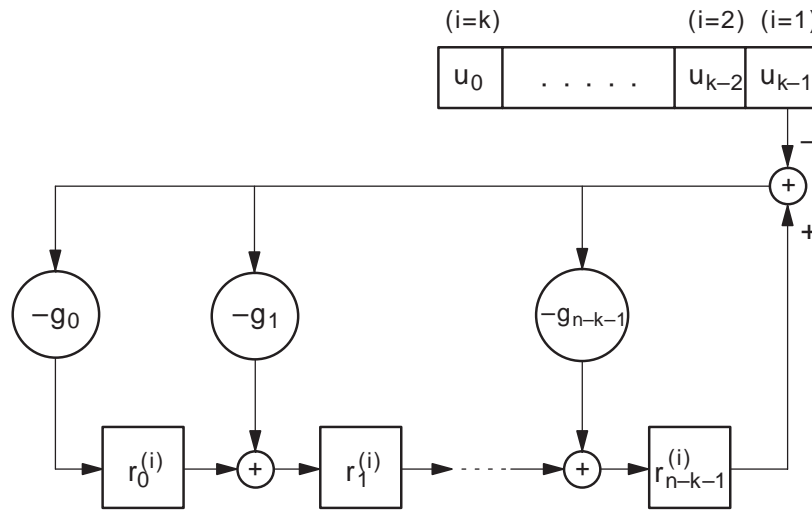
$$\mathbf{a} = \underbrace{(p_0, \dots, p_{n-k-1})}_{n-k \text{ Prüfstellen}} \underbrace{(u_0, \dots, u_{k-1})}_{k \text{ Infostellen}} \quad \leftrightarrow \quad a(x) = p(x) + x^{n-k}u(x). \quad (5.4.2)$$

Beweis: Zu zeigen ist  $a(x) \in \mathcal{C}$ . Aus (5.4.1) und (5.4.2) folgt:

$$\begin{aligned} R_{g(x)}[a(x)] &= R_{g(x)}[R_{g(x)}[-x^{n-k}u(x)] + x^{n-k}u(x)] \\ &= R_{g(x)}[-x^{n-k}u(x) + x^{n-k}u(x)] = 0. \end{aligned}$$

Damit ist  $a(x)$  als Vielfaches von  $g(x)$  nachgewiesen. ■

Die praktische Realisierung mit einem *linearen rückgekoppelten Schieberegister* (LFSR, linear feedback shift register) zeigt Bild 5.1. Zu Beginn ist das Register mit Nullen vorbelegt:  $r_m^{(0)} = 0$ . Der Reihe nach werden  $u_{k-1}, \dots, u_0$  eingeschoben. Danach enthält das Register die Prüfstellen:  $r_m^{(k)} = p_m$ .



**Bild 5.1.** Systematische Encodierung mit  $g(x)$

Beweis dafür, daß das Register nach Einschieben der Infosymbole tatsächlich die Prüfsymbole enthält: Zunächst wird die Polynom-Darstellung im bekannten *Horner-Schema* notiert (zur Abkürzung wird  $s = n - k$  und  $R[\cdot] = R_{g(x)}[\cdot]$  gesetzt):

$$x^s u(x) = u_0 x^s + x(u_1 x^s + \dots + x(u_{k-2} x^s + x(u_{k-1} x^s + 0)) \dots).$$

Daraus folgt für  $p(x) = R[-x^s u(x)]$ :

$$p(x) = R[-u_0 x^s + x R[-u_1 x^s + \dots + x R[-u_{k-2} x^s + x \underbrace{R[-u_{k-1} x^s + 0]}_{=r^{(1)}(x)}] \dots]].$$

$$\underbrace{\hspace{10em}}_{=r^{(2)}(x)}$$

$$\underbrace{\hspace{15em}}_{=r^{(k-1)}(x)}$$

$$\underbrace{\hspace{20em}}_{=r^{(k)}(x)}$$

Also gilt in rekursiver Schreibweise:

$$\begin{aligned}
r^{(0)}(x) &= 0 \\
r^{(i)}(x) &= R_{g(x)}[-u_{k-i}x^{n-k} + xr^{(i-1)}(x)] \quad (i = 1, \dots, k) \\
r^{(k)}(x) &= p(x).
\end{aligned}$$

Zu zeigen bleibt noch, daß das Schieberegister diese Rekursion realisiert. Rechnen modulo  $g(x)$  bedeutet, daß  $x^{n-k}$  durch  $-\sum_{j=0}^{n-k-1} g_j x^j$  ersetzt wird. Da  $r^{(i)}(x)$  vom Grad  $\leq n-k-1$  ist, gilt (formal sei  $r_{-1}^{(i)} = 0$ ):

$$\begin{aligned}
r^{(i)}(x) &= \sum_{j=0}^{n-k-1} r_j^{(i)} x^j \\
&= R_{g(x)} \left[ -u_{k-i} x^{n-k} + \sum_{j=0}^{n-k-1} r_{j-1}^{(i-1)} x^j + r_{n-k-1}^{(i-1)} x^{n-k} \right] \\
&= \sum_{j=0}^{n-k-1} r_{j-1}^{(i-1)} x^j + \left( -u_{k-i} + r_{n-k-1}^{(i-1)} \right) \cdot \left( -\sum_{j=0}^{n-k-1} g_j x^j \right) \\
&= \sum_{j=0}^{n-k-1} \left( r_{j-1}^{(i-1)} - g_j \left( -u_{k-i} + r_{n-k-1}^{(i-1)} \right) \right) x^j.
\end{aligned}$$

Der Koeffizientenvergleich ergibt  $r_j^{(i)} = r_{j-1}^{(i-1)} - g_j(-u_{k-i} + r_{n-k-1}^{(i-1)})$  und genau diese Operation wird im Schieberegister realisiert. ■

**Beispiel 5.4.** Betrachte den  $(7,4)_2$ -Hamming-Code mit dem Generatorpolynom  $g(x) = 1 + x + x^3$ . Sei  $u(x) = 1 + x^2 + x^3 \leftrightarrow 1011$ . Dann gilt

$$p(x) = R_{g(x)}[x^{n-k}u(x)] = R_{x^3+x+1}[x^6 + x^5 + x^3] = 1,$$

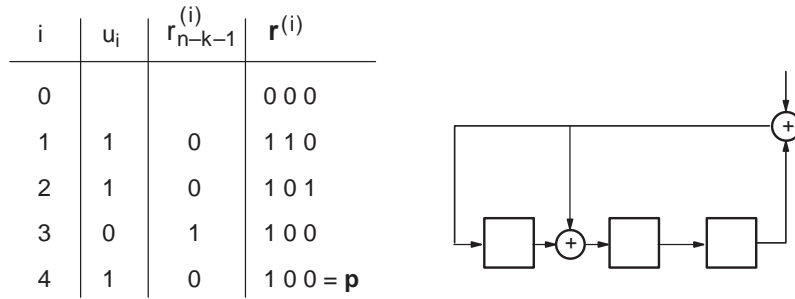
was auf verschiedene Arten berechnet werden kann. Erstens kann das Divisionsverfahren angewendet werden. Zweitens ist eine direkte Berechnung wie folgt möglich:

$$\begin{aligned}
R_{g(x)}[x^3] &= x + 1 \\
R_{g(x)}[x^4] &= R_{g(x)}[x^2 + x] = x^2 + x \\
R_{g(x)}[x^5] &= R_{g(x)}[x^3 + x^2] = x^2 + x + 1 \\
R_{g(x)}[x^6] &= R_{g(x)}[x^3 + x^2 + x] = (x + 1) + (x^2 + x) = x^2 + 1 \\
R_{g(x)}[x^6 + x^5 + x^3] &= (x^2 + 1) + (x^2 + x + 1) + (x + 1) = 1.
\end{aligned}$$

Drittens kann die Berechnung mit dem rückgekoppelten Schieberegister erfolgen, wie es in Bild 5.2 dargestellt ist. Mit

$$a(x) = p(x) + x^3u(x) = 1 + x^3 + x^5 + x^6 \leftrightarrow 1001011$$

ergibt sich dann das Codewort. ■



**Bild 5.2.** Beispiel zur systematischen Encodierung mit  $g(x)$

Anstelle des Generatorpolynoms kann auch das Prüfpolynom zur systematischen Encodierung verwendet werden:

**Satz 5.8 (Systematische Encodierung mit dem Prüfpolynom).** *Es sei  $h(x) = h_0 + h_1x + \dots + h_{k-1}x^{k-1} + x^k$  ein Prüfpolynom für einen zyklischen  $(n, k)_q$ -Code. Dann wird das Codewort wie folgt gewählt:*

$$\mathbf{a} = (\underbrace{a_0, \dots, a_{n-k-1}}_{n-k \text{ Prüfstellen}}, \underbrace{a_{n-k}, \dots, a_{n-1}}_{k \text{ Infostellen}}). \tag{5.4.3}$$

Die Prüfstellen werden dabei wie folgt bestimmt ( $m = n - k - 1, n - k - 2, \dots, 0$ ):

$$a_m = - \sum_{i=0}^{k-1} h_i a_{m-i+k} = \text{Funktion}(a_{m+1}, \dots, a_{m+k}). \tag{5.4.4}$$

Beweis: Es ist  $R_{x^{n-1}}[a(x)h(x)] = 0$  nachzuweisen gemäß Satz 5.4. Die Gleichung (5.4.4) bedeutet  $\sum_{i=0}^k h_i a_{m-i+k} = 0$ , d.h. die  $(m+k)$ -te Potenz in  $a(x)h(x)$  ist Null.

Somit enthält  $a(x)h(x)$  nur die Potenzen von  $x^0$  bis  $x^{k-1}$  und von  $x^n$  bis  $x^{n+k-1}$  und folglich muß  $\text{Grad } R_{x^{n-1}}[a(x)h(x)] \leq k - 1$  sein. Es existieren Polynome  $\alpha(x), r(x)$  mit

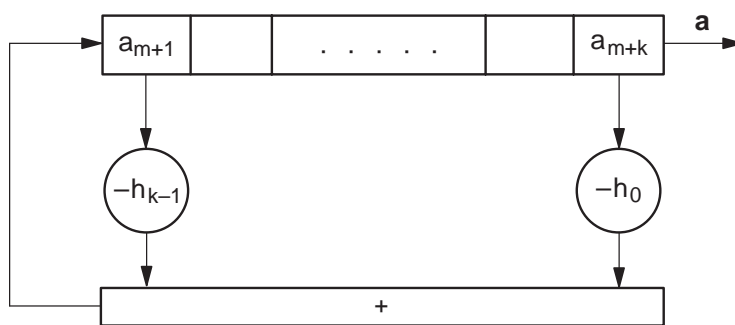
$$a(x) = \alpha(x)g(x) + r(x) \quad \text{mit} \quad \text{Grad } r(x) < \text{Grad } g(x) = n - k.$$

Somit folgt:

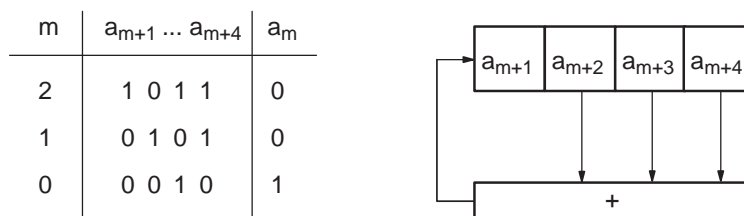
$$R_{x^{n-1}}[a(x)h(x)] = R_{x^{n-1}}[\underbrace{\alpha(x)g(x)h(x)}_{=x^{n-1}} + \underbrace{r(x)h(x)}_{\text{Grad} < (n-k)+k=n}] = r(x)h(x).$$

Für  $r(x) \neq 0$  gilt  $\text{Grad } R_{x^{n-1}}[a(x)h(x)] \geq \text{Grad } h(x) = k$ , was einen Widerspruch bedeutet. Also ist  $r(x) = 0$  und damit gilt  $a(x) = \alpha(x)g(x)$  bzw.  $R_{x^{n-1}}[a(x)h(x)] = 0$ . ■

Die praktische Realisierung mit einem rückgekoppelten Schieberegister zeigt Bild 5.3. Zu Beginn ( $m = n - k - 1$ ) ist das Register mit dem Infowort  $a_{n-k}, \dots, a_{n-1}$  vorbelegt. Der Reihe nach entstehen am Eingang des Registers die Prüfstellen  $a_{n-k-1}, \dots, a_0$  mit  $m = n - k - 1, n - k - 2, \dots, 0$ .

Bild 5.3. Systematische Encodierung mit  $h(x)$ 

**Beispiel 5.5.** Betrachte wieder den  $(7, 4)_2$ -Hamming-Code mit dem Prüfpoly-  
nom  $h(x) = 1 + x + x^2 + x^4$ . Wie bei Beispiel 5.4 sei  $u(x) = 1 + x^2 + x^3$ . Im  
Schieberegister aus Bild 5.4 wird  $a_m = a_{m+2} + a_{m+3} + a_{m+4}$  realisiert und damit  
ergibt sich wieder das gleiche  $a(x)$ . ■

Bild 5.4. Beispiel zur systematischen Encodierung mit  $h(x)$ 

Insgesamt sind jetzt vier verschiedenen Methoden zur Encodierung bekannt:

- (1) Matrix-Operation:  $\mathbf{a} = \mathbf{u}\mathbf{G}$ .
- (2) Polynom-Operation:  $a(x) = u(x)g(x)$  (nicht-systematisch).
- (3) Schieberegister-Implementierung mit  $g(x)$ .
- (4) Schieberegister-Implementierung mit  $h(x)$ .

Bei (3) hat das Register die Länge  $n - k$  mit  $k$  Shifts und bei (4) die Länge  $k$  mit  $n - k$  Shifts. Die Anzahl der Add/Mult-Operationen beträgt also bei (3) und (4) wie auch bei (2) jeweils  $(n - k)k = n^2(1 - R)R$ . Dagegen sind bei (1)  $nk = n^2R$  Operationen notwendig. In allen vier Fällen führt eine Änderung in den Codeparametern mindestens zu neuen Koeffizienten in  $\mathbf{G}$  bzw.  $g(x)$  bzw.  $h(x)$ . Bei Galoisfeldern mit großem  $q$  sind Addition und Multiplikation etwa aufwands-  
gleich und dominieren gegenüber den Shifts. Die Methode (3) hat den Vorteil,  
daß die jeweils  $n - k$  Operationen pro Shift parallelisierbar sind beim Einsatz  
von  $n - k$  Prozessoren. Dagegen muß die Addiererkette bei (4) sequentiell ab-  
gearbeitet werden. Insbesondere bei großen Coderaten ist (3) deshalb günstiger  
als (4) einzustufen. (1) und (2) werden normalerweise nicht verwendet.

## 5.5 Syndrom

Die allermeisten Decodierverfahren, sowohl für einfache wie für komplizierte Codes, erfordern die Berechnung des Syndroms. Eigentlich ist das Syndrom hier nicht neu zu definieren, denn über  $g(x)$  ist  $\mathbf{G}$  und  $\mathbf{H}$  und damit  $\mathbf{s} = \mathbf{y}\mathbf{H}^T$  bestimmt. Das nachfolgend definierte Syndrompolynom  $s(x)$  stimmt mit dem Syndromvektor  $\mathbf{s} = \mathbf{y}\mathbf{H}^T$  nicht notwendigerweise überein, da die Prüfmatrix  $\mathbf{H}$  nicht eindeutig bestimmt ist.

**Definition 5.4.** Sei  $g(x)$  das Generatorpolynom vom Grad  $n - k$  eines zyklischen  $(n, k)_q$ -Codes. Zum Empfangswort  $y(x) = a(x) + e(x)$  wird das Syndrom des Empfangswortes bzw. Fehlermusters definiert als Polynom vom Grad  $\leq n - k - 1$ :

$$s(x) = R_{g(x)}[y(x)] = R_{g(x)}[e(x)]. \quad (5.5.1)$$

Das Syndrom ist vom Codewort  $a(x) = u(x)g(x)$  unabhängig, denn  $R_{g(x)}[a(x)] = 0$  ist stets erfüllt. Das Syndrom ist wie bei Definition 4.7 durch  $n - k$  Koeffizienten gekennzeichnet. Natürlich gilt

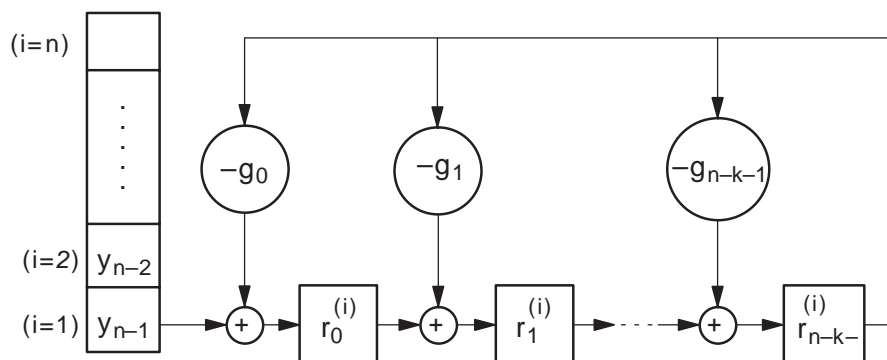
$$s(x) = 0 \iff y(x) \in \mathcal{C} \iff e(x) \in \mathcal{C}. \quad (5.5.2)$$

Die rechte Äquivalenz folgt aus der Linearität des Codes und die linke Äquivalenz folgt aus (5.2.2). In Tabelle 5.1 werden alle bisher eingeführten Polynome zusammengefaßt:

**Tabelle 5.1.** Zusammenfassung Polynome

Grad	Polynom	Name
$n - k$	$g(x)$	Generatorpolynom
$k$	$h(x) = (x^n - 1)/g(x)$	Prüfpolynom
$\leq k - 1$	$u(x)$	Infopolynom
$\leq n - 1$	$a(x) = u(x)g(x), R_{x^n - 1}[a(x)h(x)] = 0$	Codepolynom
$\leq n - 1$	$e(x)$	Fehlerpolynom
$\leq n - 1$	$y(x) = a(x) + e(x)$	Empfangspolynom
$\leq n - k - 1$	$s(x) = R_{g(x)}[y(x)] = R_{g(x)}[e(x)]$	Syndrompolynom
Normierungen: $g_{n-k} = h_k = 1, \quad g_0 h_0 = 1$		

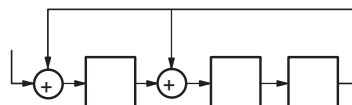
Wie bei der Encodierung mit dem Generatorpolynom kann das Syndrom durch ein rückgekoppeltes Schieberegister berechnet werden. Das Prinzip zeigt Bild 5.5: Zu Beginn ist das Register mit Nullen vorbelegt:  $r_m^{(0)} = 0$ . Der Reihe nach werden  $y_{n-1}, \dots, y_0$  eingeschoben. Danach enthält das Register das Syndrom:  $r_m^{(n)} = s_m$ . Im Gegensatz zur Encodierung wird hier das Register  $n$  statt  $k$  mal benutzt, so daß  $n(n - k) = n^2(1 - R)$  Operationen erforderlich sind.



**Bild 5.5.** Syndrom-Berechnung mit einem rückgekoppelten Schieberegister

**Beispiel 5.6.** Betrachte wieder den  $(7, 4)_2$ -Hamming-Code mit dem Generatorpolynom  $g(x) = 1 + x + x^3$ . Nach Beispiel 5.4 ist  $a(x) = 1 + x^3 + x^5 + x^6$  ein Codewort. Sei  $e(x) = x^6$  und somit  $y(x) = 1 + x^3 + x^5 \leftrightarrow 1001010$ . Das Syndrom kann durch das Divisionsverfahren oder direkt oder mit dem rückgekoppelten Schieberegister wie in Bild 5.6 berechnet werden:  $s(x) = 1 + x^2 \leftrightarrow 101$ . ■

$i$	$y_{n-i}$	$r_{n-k-1}^{(i)}$	$r^{(i)}$
0			000
1	0	0	000
2	1	0	100
3	0	0	010
4	1	0	101
5	0	1	100 = 110 + 010
6	0	0	010
7	1	0	101 = <b>s</b>



**Bild 5.6.** Beispiel zur Syndrom-Berechnung

## 5.6 Erkennung von Einzelfehlern und Bündelfehlern sowie CRC-Codes

Es wird weiterhin ein diskreter Kanal mit Hard-Decision vorausgesetzt. Bei der Fehlererkennung gibt es prinzipiell nur zwei mögliche Alternativen:

$s(x) = 0$  : Das Empfangswort ist ein Codewort, d.h. es liegt entweder eine fehlerfreie Übertragung vor oder das Fehlermuster ist ein Codewort und damit prinzipiell nicht erkennbar.

$s(x) \neq 0$  : Das Empfangswort ist kein Codewort und wird damit als fehlerhaft erkannt.

Bisher wurden ausschließlich gedächtnislose Kanäle behandelt, bei denen die Fehler statistisch unabhängig voneinander auftreten, so daß ein Fehlerwort (Fehlermuster) aus einer Reihe von *Einzelfehlern* besteht. Die Anzahl dieser Einzelfehler entspricht dem Hamminggewicht des Fehlerwortes und dieses Gewicht ist binomialverteilt gemäß (1.3.9). Viele reale Kanäle sind jedoch gedächtnisbehaftet und erzeugen *Bündelfehler* anstelle von Einzelfehlern. Sowohl zur Erkennung wie zur Korrektur von Bündelfehlern sind zyklische Codes sehr gut geeignet.

**Definition 5.5.** *Ein Bündelfehler (burst error)  $e(x)$  der Länge  $t$  ist dadurch gekennzeichnet, daß höchstens  $t$  aufeinanderfolgende Stellen ungleich Null sind, d.h.*

$$e(x) = x^i b(x) \quad \text{mit} \quad \text{Grad } b(x) < t, \quad 0 \leq i \leq n - t. \quad (5.6.1)$$

Durch  $\text{Grad } b(x) < t$  wird  $w_H(\mathbf{b}) \leq t$  und  $w_H(\mathbf{e}) \leq t$  impliziert, aber die Umkehrung gilt natürlich nicht. Selbstverständlich kann ein Bündelfehler auch fehlerfreie Stellen enthalten. Es kann vereinbart werden, daß Beginn und Ende eines Bündelfehlers fehlerhaft sind, aber das ist unwichtig.

Bei zyklischen Codes wird der Begriff des Bündelfehlers sinnvollerweise dahingehend erweitert, daß der Bündelfehler auch am Ende eines Wortes beginnen darf und sich dann zyklisch am Anfang fortsetzt: Ein zyklischer Bündelfehler  $e(x)$  der Länge  $t$  ist dadurch gekennzeichnet, daß höchstens  $t$  zyklisch aufeinanderfolgende Stellen ungleich Null sind, d.h.

$$e(x) = R_{x^n-1}[x^i b(x)] \quad \text{mit} \quad \text{Grad } b(x) < t. \quad (5.6.2)$$

Beispiele für Bündelfehler bei  $n = 8, t = 4$ :

10000000 : Bündelfehler  
 00100100 : Bündelfehler  
 00100010 : kein Bündelfehler, kein zyklischer Bündelfehler  
 00100001 : kein Bündelfehler, aber zyklischer Bündelfehler.

Leider sind Bündelfehler-erzeugende Kanäle nicht so einfach zu beschreiben wie der Einzelfehler-erzeugende DMC. Solange aber nicht die exakte Berechnung von Fehlerwahrscheinlichkeiten gefordert wird, reicht oft die simple Vorstellung aus, daß die Fehler gebündelt auftreten. Ein Bündelfehler der Länge  $t$  wird als wahrscheinlicher angesehen als  $t$  verstreute Einzelfehler. Dazu werden einige Beispiele betrachtet:

$$\begin{aligned} \mathbf{e}_1 &= \dots 000011110000000000 \dots \\ \mathbf{e}_2 &= \dots 000010100101000000 \dots \\ \mathbf{e}_3 &= \dots 000010001000000000 \dots \end{aligned}$$

Wenn für den Kanal nur Bündelfehler der Länge  $\leq 4$  unterstellt werden, dann ist das Fehlermuster  $\mathbf{e}_1$  wahrscheinlicher als  $\mathbf{e}_2$  und selbst noch wahrscheinlicher als  $\mathbf{e}_3$ , obwohl  $w_H(\mathbf{e}_3) < w_H(\mathbf{e}_1)$  gilt.

Bei binären Kanälen beträgt die Fehlerrate innerhalb eines Bündelfehlers normalerweise rund 50%. Wenn ein auf Bündelfehler angepaßter Code  $\mathcal{C}_B$  also  $L$  Bündelfehler der Länge  $t$  erkennen (bzw. korrigieren) kann, dann muß ein auf Einzelfehler angepaßter Code  $\mathcal{C}_E$  bei gleicher Leistungsfähigkeit etwa  $L \cdot t/2$  Einzelfehler erkennen (bzw. korrigieren) können. Wenn allerdings der Kanal mehr zu Einzelfehlern tendiert, wird  $\mathcal{C}_E$  deutlich besser als  $\mathcal{C}_B$  sein. Fazit: Der Code ist möglichst genau auf die zu erwartenden Fehlerstrukturen anzupassen.

Wenn das Fehlermuster aus maximal  $t$  Einzelfehlern oder einem zyklischen Bündelfehler der Länge  $t$  besteht, so gilt für die Anzahl der möglichen Fehlermuster einschließlich des fehlerfreien Falls:

$$L_t = \left\{ \begin{array}{ll} \sum_{r=0}^t \binom{n}{r} (q-1)^r & \text{Einzelfehler (Anzahl } \leq t) \\ 1 + n(q-1)q^{t-1} & \text{zykl.Bündelfehler (Länge } \leq t) \end{array} \right\}. \quad (5.6.3)$$

Die Anzahl der Einzelfehler wurde bereits in Satz 4.13 notiert. Bei zyklischen Bündelfehlern gemäß (5.6.2) gibt es für den ersten Koeffizienten in  $b(x)$  genau  $q-1$  und für die  $t-1$  weiteren Koeffizienten jeweils  $q$  Möglichkeiten. Für  $i$  gibt es  $n$  Möglichkeiten und hinzu kommt noch der fehlerfreie Fall.

**Beispiel 5.7.** Betrachte einen nicht-zyklischen linearen  $(6, 2, 3)_2$ -Code mit

$$\mathcal{C} = \{000000, 111000, 000111, 111111\}.$$

Der Bündelfehler 111000 stimmt mit einem Codewort überein und wird nicht erkannt. Durch Permutation ergibt sich ein äquivalenter Code mit ebenfalls  $d_{\min} = 3$ :

$$\mathcal{C} = \{000000, 101010, 010101, 111111\}.$$

Dieser Code erkennt alle  $L_3 - 1 = 24$  zyklischen Bündelfehler der Länge  $\leq 3$ , weil diese Bündelfehler jeweils keine Codewörter sind:

$$\begin{array}{cccc} 100000 & 110000 & 101000 & 111000 \\ 010000 & 011000 & 010100 & 011100 \\ 001000 & 001100 & 001010 & 001110 \\ 000100 & 000110 & 000101 & 000111 \\ 000010 & 000011 & 100010 & 100011 \\ 000001 & 100001 & 010001 & 110001. \end{array}$$

Unabhängig von der Permutation werden bei diesem Beispiel immer  $d_{\min} = 2$  beliebige Einzelfehler erkannt. ■

Für die Erkennung von Bündelfehlern sind äquivalente Codes nicht gleich gut – insbesondere wenn ein nicht-zyklischer mit einem zyklischen Code verglichen wird. Durch Permutationen kann ein guter Code zu einem schlechten Code werden. Das gleiche gilt für die Korrektur von Bündelfehlern.

Dagegen sind bei der Erkennung bzw. Korrektur von Einzelfehlern äquivalente Codes als gleichwertig zu betrachten.

**Satz 5.9.** *Ein (beliebig ungünstiger) zyklischer  $(n, k)_q$ -Code erkennt alle Bündelfehler bis zur Länge  $t' \leq n - k$ . Von den Bündelfehlern größerer Länge wird nur eine sehr kleine Quote nicht erkannt:*

$$\begin{array}{l} \text{Quote nicht erkannter} \\ \text{Bündelfehler} \end{array} = \left\{ \begin{array}{ll} \frac{q^{-(n-k-1)}}{q^{-(n-k)}} & t' = n - k + 1 \\ \frac{q - 1}{q^{-(n-k)}} & t' \geq n - k + 2 \end{array} \right\}. \quad (5.6.4)$$

Beweis: Natürlich wird  $e(x) = R_{x^{n-1}}[x^i b(x)]$  genau dann erkannt, wenn auch  $b(x)$  erkannt wird. Sei  $b(x) \neq 0$  und  $\text{Grad } b(x) = t' - 1$ :

“ $t' \leq n - k$ ”: Nach (5.2.4) ist  $b(x) \notin \mathcal{C}$ .

“ $t' = n - k + 1$ ”: Für  $b(x) \leftrightarrow (b_0 \neq 0, b_1, \dots, b_{n-k-1}, b_{n-k} \neq 0)$  gibt es genau  $(q - 1)^2 q^{n-k-1}$  Möglichkeiten. Nicht erkannt werden davon genau  $q - 1$  Fehlermuster der Form  $b(x) = u_0 g(x)$  mit  $u_0 \neq 0$ .

“ $t' \geq n - k + 2$ ”: Für  $b(x)$  gibt es genau  $(q - 1)^2 q^{t'-2}$  Möglichkeiten. Nicht erkannt werden davon alle Fehlermuster der Form  $b(x) = u(x)g(x)$  mit  $\text{Grad } u(x) = t' - 1 - (n - k)$ , d.h. der untere und der obere Koeffizient in  $u(x)$  müssen ungleich Null sein, während die restlichen  $t' - 2 - (n - k)$  Koeffizienten beliebig sein dürfen. Also gilt

$$\frac{(q - 1)^2 q^{t'-2-(n-k)}}{(q - 1)^2 q^{t'-2}} = q^{-(n-k)}$$

für die Quote der nicht erkennbaren Fehlermuster. ■

Zum Vergleich: Ein linearer Code erkennt immer  $d_{\min} - 1$  Einzelfehler (Satz 3.4) und nach der Singleton-Schranke gilt  $d_{\min} - 1 \leq n - k$  (Satz 3.7). Bestenfalls sind also  $n - k$  Einzelfehler erkennbar bzw. bestenfalls ein Bündelfehler der Länge  $n - k$ . Bei einem zyklischen Code ist dagegen immer die Erkennung eines Bündelfehlers der Länge  $n - k$  garantiert – auch wenn der Code sehr schlecht gewählt wurde.

Eine besondere und praktisch außerordentlich wichtige Klasse von Codes zur Fehlererkennung behandelt der folgende Satz:

**Satz 5.10 (CRC-Codes).** *Ein zyklischer  $(2^r - 1, 2^r - r - 2, 4)_2$ -Code wird als CRC-Code (Cyclic Redundancy Check) bezeichnet, wenn das Generatorpolynom von der Form*

$$g(x) = (1 + x)p(x) \quad (5.6.5)$$

*ist, wobei  $p(x)$  ein primitives Polynom vom Grad  $r$  sein muß (siehe dazu Kapitel 6). Es gilt dann:*

- (1) Alle Fehlermuster bis zum Gewicht 3 werden erkannt.
- (2) Alle Fehlermuster ungeraden Gewichts werden erkannt.
- (3) Alle Bündelfehler bis zur Länge  $r + 1$  werden erkannt.
- (4) Von den Bündelfehlern der Länge  $r + 2$  wird nur eine Quote von  $2^{-r}$  nicht erkannt.
- (5) Von den Bündelfehlern der Länge  $\geq r + 3$  wird nur eine Quote von  $2^{-(r+1)}$  nicht erkannt.

Beweis: Klar ist  $n - k = r + 1 = \text{Grad } g(x)$ . Der Nachweis, daß  $g(x)$  einen zyklischen Code der Blocklänge  $2^r - 1$  mit  $d_{\min} \geq 3$  erzeugt, kann erst in Kapitel 7 erbracht werden. Die Codewörter sind offensichtlich von der Form

$$a(x) = u(x)g(x) = u(x)p(x) + x \cdot u(x)p(x). \quad (5.6.6)$$

Da die Hamminggewichte von  $u(x)p(x)$  und  $x \cdot u(x)p(x)$  identisch sind, muß das Gewicht von  $a(x)$  nach Satz 3.1 gerade sein und somit folgt  $d_{\min} \geq 4$ . Damit folgen (1) bis (5) aus Satz 3.4 und Satz 5.9. ■

In der Praxis werden CRC-Codes oft als verkürzte Codes im Sinne von Definition 4.6 betrieben. Der resultierende  $(k' + r + 1, k', 4)_2$ -Code ist zwar nicht mehr zyklisch, aber dennoch ist (1) bis (5) aus Satz 5.10 gewährleistet. Die Encodierung des verkürzten Codes erfolgt gemäß

$$u(x) \mapsto R_{g(x)}[x^{r+1}u(x)] + x^{r+1}u(x) \quad (5.6.7)$$

mit  $1 + \text{Grad } u(x) \leq k' \leq k = 2^r - r - 2$ .

Die Prüfbits eines CRC-Codes werden auch als *Frame Checking Sequence* (FCS) bezeichnet. Zum Einsatz in der OSI-Sicherungsschicht (Open Systems Interconnection) wurden von CCITT (Comité Consultatif International de Télégraphique et Téléphonique) einige CRC-Generatorpolynome als internationaler Standard genormt [40, 69]:

$$\begin{aligned} x^{16} + x^{12} + x^5 + 1 &= (x + 1)(x^{15} + x^{14} + x^{13} + x^{12} + x^4 + x^3 + x^2 + x + 1) \\ x^{12} + x^{11} + x^3 + x^2 + x + 1 &= (x + 1)(x^{11} + x^2 + 1) \\ x^8 + x^2 + x + 1 &= (x + 1)(x^7 + x^6 + x^5 + x^4 + x^3 + x^2 + 1). \end{aligned}$$

Weitere CRC-Codes mit 4, 7, 16, 24 und 32 Prüfbits finden sich in [75].

Beim CRC-Code mit 16 Prüfbits werden also von den Bündelfehlern 100% bei Länge  $\leq 16$  und 99,9969% bei Länge = 17 und 99,9985% bei Länge  $\geq 18$  erkannt, sofern die Anzahl der Infobits  $\leq 32751$  ist.

## 5.7 Korrektur von Einzelfehlern und Bündelfehlern

Wie vorangehend wird weiterhin ein diskreter Kanal mit Hard-Decision sowie ein zyklischer  $(n, k)_q$ -Code vorausgesetzt. Nach Abschnitt 3.2 werden  $t$  Einzelfehler korrigiert, wenn die Decodierkugeln vom Radius  $t = \lfloor (d_{\min} - 1)/2 \rfloor$  disjunkt

sind, d.h. für alle Codewörter  $\mathbf{a}, \mathbf{a}' \in \mathcal{C}$  mit  $\mathbf{a} \neq \mathbf{a}'$  und alle Fehlermuster  $\mathbf{e}, \mathbf{e}' \in K_t(\mathbf{0})$  gilt stets  $\mathbf{a} + \mathbf{e} \neq \mathbf{a}' + \mathbf{e}'$  (siehe dazu auch Aufgabe 3.26). In entsprechender Weise wird nun die Korrektur von Bündelfehlern definiert:

**Definition 5.6.** Ein zyklischer  $(n, k)_q$ -Code  $\mathcal{C}$  korrigiert einen (zyklischen) Bündelfehler der Länge  $t$  pro Codewort, wenn für alle Codewörter  $\mathbf{a}, \mathbf{a}' \in \mathcal{C}$  mit  $\mathbf{a} \neq \mathbf{a}'$  und alle (zyklischen) Bündelfehler  $\mathbf{e}, \mathbf{e}'$  der Länge  $\leq t$  stets

$$\mathbf{a} + \mathbf{e} \neq \mathbf{a}' + \mathbf{e}'$$

gilt. Kein Empfangswort darf also in mehrfacher Weise als  $\mathbf{y} = \mathbf{a} + \mathbf{e}$  darstellbar sein, sondern entweder eindeutig oder überhaupt nicht.

Eine äquivalente Kennzeichnung ist, daß die Syndrome aller (zyklischen) Bündelfehler verschieden sind (siehe Aufgabe 4.14).

In entsprechender Weise wird definiert, ob ein Code mehrere (zyklische) Bündelfehler pro Codewort korrigieren kann. Bei zyklischen Codes brauchen natürlich zur Überprüfung der Definition nur Fehlermuster betrachtet zu werden, die am Anfang des Wortes beginnen.

Bei der Bündelfehler-Korrektur wird also nicht verlangt, daß jeder (zyklische) Bündelfehler richtig ML-decodiert wird, sondern es werden nur diejenigen Codewörter betrachtet, zu denen die Differenz  $\mathbf{y} - \mathbf{a} = \mathbf{e}$  ebenfalls ein (zyklischer) Bündelfehler ist. Für jeden korrigierbaren (zyklischen) Bündelfehler muß genau ein solches Codewort existieren.

Ein Code zur Bündelfehler-Korrektur muß also einerseits die in Definition 5.6 geforderte Eigenschaft besitzen und andererseits muß der Decoder eine spezielle Decodierregel realisieren. Bündelfehler-korrigierende Codes werden nicht bezüglich der Minimaldistanz oder der Gewichtsverteilung entworfen, sondern so, daß die Korrektur bestimmter Fehlermuster garantiert wird. Natürlich kann der gleiche Code sowohl zur Korrektur von Einzelfehlern wie zur Korrektur von Bündelfehlern benutzt werden – aber nur im Prinzip, denn leistungsfähige Codes zur Korrektur von Bündelfehlern sind anders aufgebaut als Codes zur Korrektur von Einzelfehlern.

Bei der Fehlerkorrektur können entweder einige unabhängige Einzelfehler oder ein längerer Bündelfehler oder mehrere kürzere Bündelfehler korrigiert werden – aber nicht alles gleichzeitig. Diese Wahlmöglichkeit gibt es bei der Fehlererkennung nicht.

**Beispiel 5.8.** Betrachte den  $(7, 3, 4)_2$ -Simplex-Code mit dem Generatorpolynom  $g(x) = 1 + x^2 + x^3 + x^4$ . Für die Generatormatrix und für den Code gilt:

$$\mathbf{G} = \begin{pmatrix} 1 & 0 & 1 & 1 & 1 & 0 & 0 \\ 0 & 1 & 0 & 1 & 1 & 1 & 0 \\ 0 & 0 & 1 & 0 & 1 & 1 & 1 \end{pmatrix}, \quad \mathcal{C} = \left\{ \begin{array}{ll} 0000000 = \mathbf{a}_0, & 1001011 = \mathbf{a}_4 \\ 1011100 = \mathbf{a}_1, & 1100101 = \mathbf{a}_5 \\ 0101110 = \mathbf{a}_2, & 1110010 = \mathbf{a}_6 \\ 0010111 = \mathbf{a}_3, & 0111001 = \mathbf{a}_7 \end{array} \right\}.$$

Für das Empfangswort  $\mathbf{y} = 1100000$  gilt

$$d_H(\mathbf{y}, \mathbf{a}_0) = d_H(\mathbf{y}, \mathbf{a}_5) = d_H(\mathbf{y}, \mathbf{a}_6) = 2.$$

Also sind zwei Einzelfehler, die zufällig nebeneinander auftreten, nicht korrigierbar, was bei  $d_{\min} = 4$  auch nicht erwartet werden kann. Jedoch gilt:

$$\begin{aligned}\mathbf{y} - \mathbf{a}_0 &= 1100000 \\ \mathbf{y} - \mathbf{a}_5 &= 0000101 \\ \mathbf{y} - \mathbf{a}_6 &= 0010010.\end{aligned}$$

Die anderen 5 Differenzen haben mindestens das Hamminggewicht 3. Offensichtlich sind  $\mathbf{y} - \mathbf{a}_5$  und  $\mathbf{y} - \mathbf{a}_6$  keine zyklischen Bündelfehler der Länge  $\leq 2$ . Wenn also als Fehlermuster nur Bündelfehler der Länge  $\leq 2$  angenommen werden, dann wird  $\mathbf{y}$  eindeutig zu  $\mathbf{a}_0$  korrigiert. Für einen Bündelfehler-erzeugenden Kanal ist das Fehlermuster  $\mathbf{y} - \mathbf{a}_0$  wahrscheinlicher als  $\mathbf{y} - \mathbf{a}_5$  oder  $\mathbf{y} - \mathbf{a}_6$ . ■

Korrigierbare Fehlermuster sind durch verschiedene Syndrome charakterisiert. Da es nur  $q^{n-k}$  verschiedene Syndrome  $s_\mu(x)$  gibt, kann es somit nur  $q^{n-k} - 1$  korrigierbare Fehlermuster  $e_\mu(x)$  (abgesehen vom Nullwort) geben. Die Nebenklassen-Zerlegung und die Syndrom-Decodierung aus Abschnitt 4.7 sind unabhängig von der Wahl der Anführer. Es können also beliebige  $e_\mu(x)$  mit

$$R_{g(x)}[e_\mu(x)] = s_\mu(x) \quad (5.7.1)$$

gewählt werden. Bei der Syndrom-Decodierung wird zu  $y(x)$  ein  $\mu$  mit

$$s_\mu(x) = R_{g(x)}[y(x)] \quad (5.7.2)$$

gesucht und dann ist

$$\hat{a}(x) = y(x) - e_\mu(x) \quad (5.7.3)$$

das geschätzte Codewort, denn aus  $R_{g(x)}[y(x) - e_\mu(x)] = s_\mu(x) - s_\mu(x) = 0$  folgt sofort  $y(x) - e_\mu(x) \in \mathcal{C}$ . Als Nebenklassen-Anführer werden natürlich die zyklischen Bündelfehler gewählt und dann realisiert die Syndrom-Decodierung exakt die Bündelfehler-Korrektur gemäß Definition 5.6.

**Beispiel 5.9.** Fortsetzung von Beispiel 5.8 mit  $g(x) = 1 + x^2 + x^3 + x^4$ . Nach (5.6.3) gibt es  $L_2 - 1 = 14$  zyklische Bündelfehler der Länge  $\leq 2$ , die hier mit ihren Syndromen aufgelistet werden:

$e(x)$	$s(x)$	$e(x)$	$s(x)$
1	1	$1 + x$	$1 + x$
$x$	$x$	$x + x^2$	$x + x^2$
$x^2$	$x^2$	$x^2 + x^3$	$x^2 + x^3$
$x^3$	$x^3$	$x^3 + x^4$	$1 + x^2$
$x^4$	$1 + x^2 + x^3$	$x^4 + x^5$	$x + x^3$
$x^5$	$1 + x + x^2$	$x^5 + x^6$	$1 + x^3$
$x^6$	$x + x^2 + x^3$	$x^6 + 1$	$1 + x + x^2 + x^3$

Die 14 Syndrome sind alle verschieden (obwohl es insgesamt nur 15 Syndrome ungleich Null gibt) und somit sind alle Bündelfehler der Länge  $\leq 2$  korrigierbar. Die beiden Fehlermuster  $1+x^2$  und  $x^3+x^4$  haben mit  $1+x^2$  das gleiche Syndrom und dies zeigt erneut, daß der Code zwei Einzelfehler nicht korrigieren kann. ■

Natürlich muß die Anzahl der korrigierbaren Fehlermuster kleiner sein als die Anzahl der Syndrome, d.h. für korrigierbare Bündelfehler der Länge  $\leq t$  muß nach (5.6.3)

$$1 + n(q-1)q^{t-1} \leq q^{n-k} \quad (5.7.4)$$

gelten. Der folgende Satz macht jedoch eine in den meisten Fällen schärfere Aussage, die ähnlich zur Situation bei der Einzelfehler-Korrektur ist: Für die Korrektur von  $t$  Einzelfehlern ist  $2t+1 \leq d_{\min}$  erforderlich und zusammen mit der Singleton-Schranke  $d_{\min} \leq n-k+1$  folgt  $2t \leq n-k$ , d.h. die Korrektur eines Einzelfehlers erfordert 2 Prüfstellen. Für die Korrektur eines Bündelfehlers pro Codewort gilt:

**Satz 5.11 (Rieger-Schranke).** *Wenn ein zyklischer  $(n, k)_q$ -Code jeden zyklischen Bündelfehler bis zur Länge  $t$  korrigieren soll, dann muß  $2t \leq n-k$  bzw. äquivalent  $t \leq \lfloor (n-k)/2 \rfloor$  gelten.*

Beweis: Es seien  $\mathbf{y}, \mathbf{y}' \in \mathbb{F}_q^n$  zwei verschiedene Wörter, die außerhalb der ersten  $2t$  Komponenten identisch Null sind. Dann gibt es zwei Bündelfehler  $\mathbf{e}, \mathbf{e}' \in \mathbb{F}_q^n$  der Länge  $\leq t$  mit  $\mathbf{y} - \mathbf{y}' = \mathbf{e} - \mathbf{e}'$ . Falls  $\mathbf{y} - \mathbf{y}' \in \mathcal{C}$  wäre, so ergäbe sich aus  $(\mathbf{y} - \mathbf{y}') + \mathbf{e}' = \mathbf{0} + \mathbf{e}$  ein Widerspruch zu Definition 5.6. Folglich ist  $\mathbf{y} - \mathbf{y}' \notin \mathcal{C}$  und somit sind die Syndrome von  $\mathbf{y}$  und  $\mathbf{y}'$  verschieden. Also muß die Anzahl  $q^{n-k}$  der Syndrome mindestens so groß sein wie die Anzahl  $q^{2t}$  der Wörter, die außerhalb der ersten  $2t$  Komponenten identisch Null sind. ■

Die Ergebnisse zur Erkennung und Korrektur von Einzelfehlern und Bündelfehlern werden in Tabelle 5.2 zusammengefaßt.

**Tabelle 5.2.** Leistungsfähigkeit zyklischer  $(n, k, d_{\min})_q$ -Codes

	Einzelfehler (Anzahl)	Bündelfehler (Länge)
Erkennung	$t' = d_{\min} - 1$ $\leq n - k$ bestenfalls (MDS)	$t' = n - k$ garantiert
Korrektur	$t = \left\lfloor \frac{d_{\min} - 1}{2} \right\rfloor$ $\leq \left\lfloor \frac{n - k}{2} \right\rfloor$ bestenfalls (MDS)	$t \leq \left\lfloor \frac{n - k}{2} \right\rfloor$ bestenfalls

Einige bekannte gute Codes zur Korrektur eines Bündelfehlers der Länge  $t$  sind in Tabelle 5.3 angegeben (aus [12]), wobei teilweise die Rieger-Schranke

angenommen wird. Alternativ ist jeweils nur ein Einzelfehler korrigierbar, wie aus der Hamming-Schranke folgt. Die Codes werden durch Rechnersuche gewonnen, mit dem Ziel, daß die Syndrome der Bündelfehler alle verschieden sind. Weitere Listen mit Generatorpolynomen zu verschiedenen Coderaten finden sich beispielsweise in [43].

**Tabelle 5.3.** Gute  $(n, k)_2$ -Codes zur Korrektur eines Bündelfehlers der Länge  $\leq t$

$(n, k)$	$t$	$g(x)$
(7, 3)	2	$1 + x^2 + x^3 + x^4$
(15, 10)	2	$1 + x^2 + x^4 + x^5$
(15, 9)	3	$1 + x^3 + x^4 + x^5 + x^6$
(31, 25)	2	$1 + x^4 + x^5 + x^6$
(63, 56)	2	$1 + x^2 + x^3 + x^5 + x^6 + x^7$
(63, 55)	3	$1 + x^3 + x^6 + x^7 + x^8$
(511, 499)	4	$1 + x^3 + x^5 + x^8 + x^{12}$
(1023, 1010)	4	$1 + x^2 + x^4 + x^5 + x^6 + x^7 + x^{10} + x^{13}$

Die Codes aus Tabelle 5.3 zur Korrektur eines Bündelfehlers der Länge  $t = t_B$  werden jetzt verglichen mit den BCH-Codes aus Tabelle 7.1 zur Korrektur von  $t = t_E$  Einzelfehlern: Bei vergleichbarer Coderate und Blocklänge gilt  $t_B/2 > t_E$ . Wie bereits im Anschluß an Definition 5.5 erwähnt, bedeutet ein Bündelfehler der Länge  $t_B$  etwa  $t_B/2$  Einzelfehler. Fazit: Wenn der Kanal zu Bündelfehlern tendiert, sind die Codes aus Tabelle 5.3 besser als die BCH-Codes. Wenn umgekehrt der Kanal zu Einzelfehlern tendiert, sind die BCH-Codes besser.

In Kapitel 7 werden noch die sehr leistungsfähigen RS-Codes zur Fehlerkorrektur bei Bündelfehler-erzeugenden Kanälen behandelt. Diese Codes sind MDS-Codes, sie können mehrere Bündelfehler pro Codewort korrigieren, die Coderate bzw. die Korrekturrate kann beliebig vorgegeben werden und es existieren sehr effiziente Decodierverfahren. Im Vergleich dazu basieren die Codes aus Tabelle 5.3 und auch die nachfolgend behandelten Fire-Codes auf ziemlich simplen Methoden mit entsprechend beschränkter Leistungsfähigkeit.

Die eben erwähnten Fire-Codes bilden eine Klasse von Codes mit hoher Rate, die nicht per Rechnersuche, sondern analytisch konstruiert werden:

**Satz 5.12 (Fire-Codes).** *Es sei  $p(x) \in \mathbb{F}_q[x]$  ein primitives Polynom (siehe Kapitel 6) vom Grad  $m$ . Weiter sei  $t$  eine Zahl mit  $t \leq m$ , so daß  $p(x)$  kein Teiler von  $x^{2t-1} - 1$  ist. Der Fire-Code wird durch das Generatorpolynom*

$$g(x) = (x^{2t-1} - 1)p(x) \quad (5.7.5)$$

*erzeugt mit der Blocklänge  $n = (2t - 1)(q^m - 1)$ . Der Fire-Code korrigiert einen zyklischen Bündelfehler der Länge  $t$  pro Codewort.*

*Wenn  $p(x)$  nur ein irreduzibles Polynom ist, wird mit  $e$  die kleinste Zahl bezeichnet, so daß  $p(x)$  ein Teiler von  $x^e - 1$  ist. Die Blocklänge wird als  $n = (2t - 1)e$  definiert und ist in jedem Fall die kleinste Zahl  $n$ , so daß  $g(x)$  ein Teiler von  $x^n - 1$  ist.*

Beweis: Für  $n = (2t - 1)e$  ergeben sich aus der Summenformel (5.1.2) folgende Faktorisierungen:

$$x^n - 1 = x^{(2t-1)e} - 1 = (x^e - 1) \sum_{r=0}^{2t-2} x^{er} = (x^{2t-1} - 1) \sum_{r=0}^{e-1} x^{(2t-1)r}.$$

Da  $p(x)$  ein Teiler von  $x^e - 1$  ist, wird auch  $x^n - 1$  durch  $p(x)$  geteilt. Nach Voraussetzung ist  $p(x)$  kein Teiler von  $x^{2t-1} - 1$  und somit muß  $p(x)$  ein Teiler von  $\sum_{r=0}^{e-1} x^{(2t-1)r}$  sein. Folglich existiert ein  $h(x)$  mit

$$x^n - 1 = (x^{2t-1} - 1)p(x)h(x) = g(x)h(x).$$

Also erzeugt  $g(x)$  einen zyklischen Code. Der Nachweis der Minimalität von  $e$  bzw.  $n$  sowie der eigentliche Beweis zur Bündelfehler-Korrektur findet sich beispielsweise in [1, 12, 43, 70, 71]. ■

Die Anzahl der Prüfstellen bei einem Fire-Code beträgt mindestens  $3t - 1$ , so daß die Rieger-Schranke nicht angenommen wird.

**Beispiel 5.10. (1)** Konstruktion eines binären Fire-Codes zur Korrektur eines Bündelfehlers der Länge  $t = 5$ : Dazu wird  $p(x) = 1 + x + x^5$  mit minimalem Grad gewählt. Da  $p(x)$  primitiv ist, gilt  $e = 2^5 - 1 = 31$ . Dies ist die kleinste Zahl, so daß  $p(x)$  ein Teiler von  $x^e - 1$  ist. Es resultiert ein  $(279, 265)_2$ -Code mit  $g(x) = (1 + x^9)(1 + x + x^5)$ .

**(2)** Als weiteres Zahlenbeispiel wird noch  $t = 12$  betrachtet: Es sind mindestens 35 Prüfstellen erforderlich und die Blocklänge beträgt mindestens  $n = 23 \cdot (2^{12} - 1) = 94185$ , so daß Fire-Codes in aller Regel als verkürzte Codes betrieben werden. ■

## 5.8 Nicht-algebraische Decodierverfahren

Auch in diesem Abschnitt wird wieder ein Kanal mit Hard-Decision vorausgesetzt. Es sind einige Decodierverfahren für zyklische Codes bei Soft-Decision bekannt, die hier aber nicht behandelt werden. Dazu wird beispielsweise auf [18, 19, 49] sowie auf Abschnitt 11.7 verwiesen. Die Decodierung gliedert sich bei Hard-Decision immer in die drei folgenden Schritte:

- (1) Berechnung des Syndroms  $s(x) = R_{g(x)}[y(x)]$  aus dem Empfangswort  $y(x)$ . Dazu wird ein rückgekoppeltes Schieberegister wie in Bild 5.5 verwendet, was nur einen relativ geringen Verarbeitungsaufwand erfordert, der vergleichbar zur Encodierung ist.
- (2) Ermittlung des Fehlermusters  $e(x)$  aus dem Syndrom  $s(x)$ . Dies ist der aufwendigste Schritt in der Decodierung und hier gibt es große Unterschiede zwischen den einzelnen Codeklassen und Decodieralgorithmen.

## 6. Arithmetik von Galoisfeldern und Spektraltransformationen

Für die im nächsten Kapitel behandelten hochentwickelten algebraischen Blockcodes sind vertiefte Kenntnisse der algebraischen Grundlagen erforderlich. Für die linearen und zyklischen Blockcodes haben sich die simplen Erklärungen aus Abschnitt 3.1 zu Galoisfeldern und Vektorräumen zwar als ausreichend erwiesen, aber die RS- und BCH-Codes erfordern ein detaillierteres Verständnis wichtiger algebraischer Strukturen.

Diese Codes sind nicht mehr binär, sondern über dem Galoisfeld  $\mathbb{F}_p^m$  bzw.  $\mathbb{F}_{2^m}$  mit  $m > 1$  definiert. Die Codesymbole sind also hochstufig, d.h. sie werden nicht durch Bits, sondern beispielsweise durch Bytes repräsentiert. Die RS- und BCH-Codes weisen gegenüber den zyklischen Blockcodes eine weitere zusätzliche algebraische Struktur auf, die als eine Art Bandbegrenzung aufgefaßt werden kann. Mit spektralen Methoden wird die Beschreibung und Analyse der Codes relativ einfach und überschaubar und zudem kann die Decodierung sehr kompakt und effizient formuliert werden.

Die erforderlichen algebraischen Grundlagen werden in diesem Kapitel bereitgestellt. Als Vorteil wird einerseits die Beschreibung der RS- und BCH-Codes von den mathematischen Hilfsmitteln entkoppelt und andererseits werden diese Hilfsmittel erst unmittelbar vor ihrem wirklichen Gebrauch eingeführt. Der an den hochentwickelten algebraischen Blockcodes nicht interessierte Leser kann die Kapitel 6 und 7 übergehen, da detaillierte Kenntnisse, beispielsweise zur Decodierung, in den späteren Kapiteln nicht vorausgesetzt werden. Lediglich für Kapitel 11 und 12 werden die allgemeinen Parameter der RS- und BCH-Codes benötigt.

In diesem Kapitel werden die Galoisfelder und insbesondere ihre Arithmetik konstruktiv bzw. vom Standpunkt des Ingenieurs aus behandelt. Im Vordergrund stehen dabei die detaillierte Konstruktion und die Struktureigenschaften der Galoisfelder sowie wichtige spezielle Rechenregeln.

Im Anhang in den Abschnitten A.4 bis A.8 erfolgt eine Einführung in die algebraischen Grundlagen aus einem anderen, stärker mathematisch orientierten Blickwinkel: Die Definitionen und Sätze werden für allgemeine Strukturen formuliert, beispielsweise werden die Galoisfelder als endliche Körper nur am Rand als Spezialfall des allgemeinen Körpers behandelt. Im Vordergrund stehen verschiedene mathematische Existenzbeweise sowie weitergehende abstrakte Be-

griffsbildungen insbesondere im Bereich der Polynomringe.

Ferner enthält der Anhang einige Sätze, auf die zwar gelegentlich verwiesen wird, deren Beweis aber nicht unbedingt nachvollzogen werden muß. Davon abgesehen kann Kapitel 6 auch ohne den Anhang gelesen werden. Für ein besseres Verständnis der algebraischen Grundlagen und zum Vergleich verschiedener algebraischer Strukturen sind die Abschnitte A.4 bis A.8 allerdings dennoch sehr empfehlenswert.

## 6.1 Einführung in Galoisfelder am Beispiel $\mathbb{F}_4$

Ein Galoisfeld  $\mathbb{F}_q$  ist nach Abschnitt 3.1 ein endlicher Körper mit  $q$  Elementen. Galoisfelder existieren nur für  $q = p^m$  mit einer Primzahl  $p$  und einer natürlichen Zahl  $m$ . Praktisch ist fast nur der Fall  $p = 2$  und  $q = 2^m$  interessant.

Für  $m = 1$  kann  $\mathbb{F}_p$  als aus den natürlichen Zahlen 0 bis  $p - 1$  bestehend aufgefaßt werden:

$$\mathbb{F}_p = \{0, 1, 2, \dots, p - 1\} \quad (6.1.1)$$

Addition und Multiplikation modulo  $p$ .

In Beispiel 3.1 wurde schon gezeigt, daß  $\mathbb{F}_4$  so nicht konstruiert werden kann. Für den Fall  $m > 1$  ist eine andere Methode erforderlich, die in diesem Abschnitt am Beispiel  $\mathbb{F}_4$  demonstriert wird. Nachfolgend werden fünf Darstellungen eines endlichen Körpers mit 4 Elementen entwickelt:

**Darstellung (1):** Setze  $\mathbb{F}_4 = \{0, 1, z, 1 + z\}$ . Dabei ist  $z$  eine abstrakte Größe mit der Eigenschaft  $z^2 + z + 1 = 0$  und es wird modulo 2 gerechnet, d.h. es gilt beispielsweise

$$1 + 1 = 0, \quad z + z = 0, \quad z^2 + z^2 = 0, \quad z^2 = 1 + z.$$

Damit ergeben sich folgende Verknüpfungstabellen für Addition und Multiplikation:

$$\begin{array}{c|cccc} + & 0 & 1 & z & 1+z \\ \hline 0 & 0 & 1 & z & 1+z \\ 1 & 1 & 0 & 1+z & z \\ z & z & 1+z & 0 & 1 \\ 1+z & 1+z & z & 1 & 0 \end{array} \quad \begin{array}{c|cccc} \cdot & 0 & 1 & z & 1+z \\ \hline 0 & 0 & 0 & 0 & 0 \\ 1 & 0 & 1 & z & 1+z \\ z & 0 & z & 1+z & 1 \\ 1+z & 0 & 1+z & 1 & z \end{array} \quad (6.1.2)$$

Hierbei gilt beispielsweise  $(1 + z)^{-1} = z$  und  $z^{-1} = 1 + z$ . Man kann alle Eigenschaften eines Körpers aus Definition 3.1 verifizieren.

Die Bestimmungsgleichung für  $z$  darf nicht beliebig vorgegeben werden: Wenn beispielsweise  $z^2 + 1 = 0$  gewählt wird, dann existiert zu  $1 + z$  wegen

$$(1 + z) \cdot 0 = 0, \quad (1 + z) \cdot 1 = 1 + z, \quad (1 + z) \cdot z = 1 + z, \quad (1 + z) \cdot (1 + z) = 0$$

kein multiplikatives Inverses. ■

**Darstellung (2):** Setze  $\mathbb{F}_4 = \{0, 1, z, z^2\}$ , d.h.  $\mathbb{F}_4$  besteht aus 0 und den  $z$ -Potenzen von  $z^0$  bis  $z^{q-2}$ . Es ergeben sich die gleichen Verknüpfungstafeln wie bei Darstellung (1), wobei lediglich  $1 + z$  durch  $z^2$  ersetzt wird:

$$\begin{array}{c|cccc} + & 0 & 1 & z & z^2 \\ \hline 0 & 0 & 1 & z & z^2 \\ 1 & 1 & 0 & z^2 & z \\ z & z & z^2 & 0 & 1 \\ z^2 & z^2 & z & 1 & 0 \end{array} \quad \begin{array}{c|cccc} \cdot & 0 & 1 & z & z^2 \\ \hline 0 & 0 & 0 & 0 & 0 \\ 1 & 0 & 1 & z & z^2 \\ z & 0 & z & z^2 & 1 \\ z^2 & 0 & z^2 & 1 & z \end{array} \quad (6.1.3)$$

Beispielsweise gilt  $z^3 = z \cdot z^2 = z(z + 1) = z^2 + z = 1$  und  $z^{-2} = (z^2)^{-1} = z$ . Allgemein entspricht die Multiplikation in  $\mathbb{F}_4$  der Exponenten-Addition modulo 3 in den natürlichen Zahlen:

$$z^i \cdot z^r = z^{i+r \text{ modulo } (q-1)}. \quad (6.1.4)$$

Da alle  $z$ -Exponenten modulo  $(q - 1)$  betrachtet werden können, kann  $\mathbb{F}_4$  auch als aus 0 und der Menge aller  $z$ -Potenzen bestehend aufgefaßt werden. ■

**Darstellung (3):** Mit der direkten Entsprechung  $k_0 + k_1z \cong (k_0, k_1)$  kann auch  $\mathbb{F}_4 = \{00, 10, 01, 11\}$  gesetzt werden. Der Darstellung (1) entsprechen dann folgende Verknüpfungstafeln für binäre Vektoren der Länge 2:

$$\begin{array}{c|cccc} + & 00 & 10 & 01 & 11 \\ \hline 00 & 00 & 10 & 01 & 11 \\ 10 & 10 & 00 & 11 & 01 \\ 01 & 01 & 11 & 00 & 10 \\ 11 & 11 & 01 & 10 & 00 \end{array} \quad \begin{array}{c|cccc} \cdot & 00 & 10 & 01 & 11 \\ \hline 00 & 00 & 00 & 00 & 00 \\ 10 & 00 & 10 & 01 & 11 \\ 01 & 00 & 01 & 11 & 10 \\ 11 & 00 & 11 & 10 & 01 \end{array} \quad (6.1.5)$$

Die Addition in  $\mathbb{F}_4$  entspricht hier der komponentenweisen Vektoraddition. ■

**Darstellung (4):** Schließlich kann auch  $\mathbb{F}_4 = \{A, \alpha, 7, \pi\}$  gesetzt werden:

$$\begin{array}{c|cccc} + & A & \alpha & 7 & \pi \\ \hline A & A & \alpha & 7 & \pi \\ \alpha & \alpha & A & \pi & 7 \\ 7 & 7 & \pi & A & \alpha \\ \pi & \pi & 7 & \alpha & A \end{array} \quad \begin{array}{c|cccc} \cdot & A & \alpha & 7 & \pi \\ \hline A & A & A & A & A \\ \alpha & A & \alpha & 7 & \pi \\ 7 & A & 7 & \pi & \alpha \\ \pi & A & \pi & \alpha & 7 \end{array} \quad (6.1.6)$$

Beispielsweise gilt für das Distributivgesetz

$$7(\alpha + \pi) = 7 \cdot 7 = \pi = 7 + \alpha = 7 \cdot \alpha + 7 \cdot \pi.$$

Hiermit soll deutlich werden, daß es völlig unwichtig ist, wie die 4 Elemente aus  $\mathbb{F}_4$  bezeichnet werden oder was die 4 Elemente sind, sondern es ist einzig wichtig, wie die beiden Verknüpfungsoperationen definiert sind. ■

**Darstellung (5):** Das Polynom  $p(x) = x^2 + x + 1 \in \mathbb{F}_2[x]_2$  hat in  $\mathbb{F}_2 = \{0, 1\}$  keine Nullstelle, da  $p(0) \neq 0$  und  $p(1) \neq 0$  gilt. Die Größe  $z$  ist eine Nullstelle

von  $p(x)$ , d.h.  $p(z) = 0$ .  $\mathbb{F}_4$  ist ein Körper, der einerseits  $\mathbb{F}_2$  als Teilkörper und andererseits die Nullstelle  $z$  von  $p(x)$  enthält. Es wird gleich noch gezeigt, daß  $\mathbb{F}_4$  sogar der kleinste Körper ist, der  $\mathbb{F}_2$  als Teilkörper und alle Nullstellen von  $p(x)$  enthält.

$\mathbb{F}_4$  kann nochmals anders interpretiert werden, nämlich als Menge aller Polynome modulo  $p(x)$  bzw. als Menge aller Polynome mit Koeffizienten aus  $\mathbb{F}_2$  vom Grad  $\leq 1$  (siehe dazu auch Beispiel A.13):

$$\mathbb{F}_4 = \left\{ R_{x^2+x+1}[f(x)] \mid f(x) \in \mathbb{F}_2[x] \right\} \quad (6.1.7)$$

$$= \{0, 1, x, x+1\} = \mathbb{F}_2[x]_1. \quad (6.1.8)$$

Das Rechnen mit Polynomen modulo  $p(x) = x^2 + x + 1$  ist völlig äquivalent mit dem Rechnen in  $\{0, 1, z, z+1\}$  bzw.  $\{0, 1, z, z^2\}$  mit der definierenden Eigenschaft  $z^2 + z + 1 = 0$ , denn es sind lediglich  $x$  und  $z$  zu vertauschen. Beispielsweise ergibt sich aus  $x(x+1) = x^2 + x = 1$  modulo  $p(x)$  das Ergebnis

$$x^{-1} = x + 1 \text{ modulo } p(x), \quad (x+1)^{-1} = x \text{ modulo } p(x).$$

Das kann auch als  $R_{p(x)}[x+1] = x^{-1}$  geschrieben werden. In Kapitel 5 und auch zukünftig ist mit  $R_{p(x)}[f(x)] \in \mathbb{F}_q[x]_{m-1}$  stets ein Polynom mit Koeffizienten aus  $\mathbb{F}_q$  vom Grad kleiner als Grad  $p(x) = m$  gemeint. Bei der Darstellung (5) erzeugt dagegen die Rechnung modulo  $p(x)$  das Galoisfeld  $\mathbb{F}_{p^m}$  aus dem Galoisfeld  $\mathbb{F}_p$ . Dies ist freilich kein Widerspruch, wie in Abschnitt A.8 ausführlich erklärt wird. Damit es hier aber dennoch zu keinen weiteren Verwirrungen kommt, wird zukünftig die Darstellung (5) nicht weiter verwendet.

Für die Gleichheit von (6.1.7) und (6.1.8) ist nur der Grad von  $p(x) = x^2 + x + 1$  relevant, aber für die Existenz der multiplikativen Inversen muß  $p(x)$  irreduzibel (unzerlegbar) sein. Wie bei Darstellung (1) bereits erklärt, entsteht durch  $p(x) = x^2 + 1$  kein Körper. ■

Es wird jetzt die Darstellung (1) oder (2) vorausgesetzt. Durch elementare Rechnung ergibt sich

$$(x-z)(x-z^2) = x^2 + x(z^2+z) + z \cdot z^2 = x^2 + x + 1 = p(x). \quad (6.1.9)$$

Das Polynom  $p(x)$  ist irreduzibel über  $\mathbb{F}_2$ , aber in  $\mathbb{F}_4$  zerfällt  $p(x)$  vollständig in Linearfaktoren und mit der ersten Nullstelle  $z$  liegt auch die weitere Nullstelle  $z^2$  in  $\mathbb{F}_4$ . Weiter gilt

$$(x-z^0)(x-z^1)(x-z^2) = (x+1)(x^2+x+1) = x^3-1, \quad (6.1.10)$$

d.h. das Produkt über alle Linearfaktoren zu den  $z$ -Potenzen ergibt das Polynom  $x^{q-1} - 1$ .

## 6.2 Konstruktion von $\mathbb{F}_{p^m}$ aus $\mathbb{F}_p$

Es wird jetzt immer vorausgesetzt, daß  $p$  eine Primzahl ist. Als Teilmenge der natürlichen Zahlen bildet die Menge  $\mathbb{F}_p = \{0, 1, \dots, p-1\}$  mit Addition und Multiplikation modulo  $p$  ein Galoisfeld mit  $p$  Elementen.

In Abschnitt A.4 wird  $\mathbb{F}_p$  als Körper nachgewiesen, was auch hier schnell gezeigt werden kann: Der einzig kritische Punkt ist die Existenz der multiplikativen Inversen und nur hierbei wird von der Voraussetzung Gebrauch gemacht, daß  $p$  eine Primzahl ist. Für  $a \in \mathbb{F}_p$  mit  $a \neq 0$  ist die Existenz eines  $s \in \mathbb{F}_p$  mit  $a \cdot s = 1$  zu zeigen. Da  $p$  eine Primzahl ist, sind  $a$  und  $p$  teilerfremd. Also ist 1 der größte gemeinsame Teiler von  $a$  und  $p$ , der sich nach dem Euklidischen Algorithmus (Satz A.8, siehe (A.7.4)) als Linearkombination von  $a$  und  $p$  darstellen läßt, d.h. es existieren  $s, t \in \mathbb{F}_p$  mit  $1 = \text{GGT}(a, p) = s \cdot a + t \cdot p$ . Somit folgt  $a \cdot s = 1$  modulo  $p$ .

Entsprechend der Darstellung (1) aus dem vorangehenden Abschnitt wird  $\mathbb{F}_q$  mit  $q = p^m$  wie folgt eingeführt:

**Definition 6.1.** *Es sei  $p(x) = p_0 + p_1x + \dots + p_{m-1}x^{m-1} + x^m \in \mathbb{F}_p[x]_m$  ein normiertes irreduzibles Polynom vom Grad  $m$  mit Koeffizienten aus  $\mathbb{F}_p$ . Ferner sei  $z$  eine abstrakte Nullstelle von  $p(x)$ , d.h.*

$$p(z) = p_0 + p_1z + \dots + p_{m-1}z^{m-1} + z^m = 0. \quad (6.2.1)$$

Das Galoisfeld  $\mathbb{F}_q$  mit  $q = p^m$  besteht aus der Menge aller Linearkombinationen von  $z^0, \dots, z^{m-1}$ :

$$\mathbb{F}_{p^m} = \left\{ \sum_{i=0}^{m-1} a_i z^i \mid a_0, \dots, a_{m-1} \in \mathbb{F}_p \right\}. \quad (6.2.2)$$

Die Addition und Multiplikation zwischen den Elementen von  $\mathbb{F}_{p^m}$  sind durch  $p(z) = 0$  eindeutig bestimmt.

Offensichtlich besteht  $\mathbb{F}_{p^m}$  aus  $q = p^m$  Elementen. Ferner gilt  $\mathbb{F}_p \subseteq \mathbb{F}_{p^m}$ , indem  $a_1 = \dots = a_{m-1} = 0$  gesetzt wird.  $\mathbb{F}_{p^m}$  wird auch als *Erweiterungskörper* (extension field) von  $\mathbb{F}_p$  bezeichnet und umgekehrt heißt  $\mathbb{F}_p$  *Teilkörper* (subfield) bzw. *Primkörper*.

Die Menge  $\mathbb{F}_{p^m}$  kann sowohl aufgefaßt werden als Menge aller Polynome vom Grad  $\leq m-1$  in der Variablen  $z$  mit Koeffizienten aus  $\mathbb{F}_p$  wie auch als Menge aller Vektoren der Länge  $m$  mit Koeffizienten aus  $\mathbb{F}_p$ . Mengenmäßig ohne Berücksichtigung der Verknüpfungsoperationen gilt also:

$$\mathbb{F}_{p^m} \cong \mathbb{F}_p[z]_{m-1} \cong (\mathbb{F}_p)^m. \quad (6.2.3)$$

Allerdings ist  $\mathbb{F}_p[x]_{m-1}$  ein Polynomring, der multiplikativ nicht abgeschlossen ist, weil bei der Multiplikation höhere Grade entstehen. Im Vektorraum  $(\mathbb{F}_p)^m$

ist überhaupt keine Multiplikation erklärt. Entscheidend ist also die Erklärung der Verknüpfungsoperationen derart, daß  $\mathbb{F}_{p^m}$  tatsächlich einen Körper bildet.

Für die nächsten Überlegungen werden die Addition und Multiplikation in  $\mathbb{F}_{p^m}$  mit  $\oplus$  und  $\odot$  bezeichnet – später werden wieder die normalen Operationszeichen  $+$  und  $\cdot$  verwendet. Die Addition in  $\mathbb{F}_{p^m}$  ist komponentenweise wie die Addition von Polynomen bzw. wie die Addition von Vektoren zu verstehen:

$$\left( \sum_{i=0}^{m-1} a_i z^i \right) \oplus \left( \sum_{i=0}^{m-1} a'_i z^i \right) = \sum_{i=0}^{m-1} (a_i + a'_i) z^i. \quad (6.2.4)$$

Dabei ist  $a_i + a'_i$  die Addition modulo  $p$  in  $\mathbb{F}_p$ . Die Multiplikation in  $\mathbb{F}_{p^m}$  kann nicht direkt wie eine Polynom-Multiplikation erklärt werden, weil dabei höhere Grade als  $m-1$  entstehen, sondern wird als Multiplikation modulo  $p(z)$  definiert:

$$\left( \sum_{i=0}^{m-1} a_i z^i \right) \odot \left( \sum_{i=0}^{m-1} a'_i z^i \right) = R_{p(z)} \left[ \sum_{i=0}^{2(m-1)} \left( \sum_{j=0}^i a_j a'_{i-j} \right) z^i \right]. \quad (6.2.5)$$

Die Ausdrücke  $\sum_j a_j a'_{i-j}$  werden wieder in  $\mathbb{F}_p$  berechnet und entsprechen der Faltung. In den eckigen Klammern steht das Ergebnis einer normalen Polynom-Multiplikation und durch die Rechnung modulo  $p(z)$  entsteht ein Polynom in  $z$  vom Grad  $\leq m-1$  und somit ein Element von  $\mathbb{F}_{p^m}$ . Die Rechnung modulo  $p(z)$  bedeutet, daß  $p(z)$  durch Null ersetzt wird. Alle Potenzen  $z^r$  mit  $r \geq m$  können durch eine Linearkombination von  $z^0, \dots, z^{m-1}$  ausgedrückt werden, d.h. alle Potenzen von  $z$  sind ebenfalls Elemente von  $\mathbb{F}_{p^m}$ :

$$\begin{aligned} z^m &= - \sum_{i=0}^{m-1} p_i z^i \in \mathbb{F}_{p^m}, \\ z^{m+1} &= z \odot z^m = - \sum_{i=0}^{m-1} p_i z^{i+1} \\ &= - \sum_{i=1}^{m-1} p_{i-1} z^i - p_{m-1} \left( - \sum_{i=0}^{m-1} p_i z^i \right) \\ &= \sum_{i=1}^{m-1} (p_i p_{m-1} - p_{i-1}) z^i + p_0 p_{m-1} \in \mathbb{F}_{p^m}. \end{aligned}$$

In dieser Weise können alle höheren  $z$ -Potenzen immer als Linearkombinationen der Potenzen  $z^0, \dots, z^{m-1}$  ausgedrückt werden und damit kann die Multiplikation (6.2.5) konkret ausgeführt werden.

Die Menge  $\mathbb{F}_{p^m}$  mit den erklärten Operationen  $\oplus$  und  $\odot$  erfüllt offensichtlich alle Eigenschaften eines Körpers mit Ausnahme der Existenz der multiplikativen Inversen. In Abschnitt A.8 werden diese sogenannten Polynom-Restklassenringe genauer behandelt. Um die Existenz der multiplikativen Inversen zu sichern,

kommt die Voraussetzung aus Definition 6.1 zum Tragen, daß  $p(x)$  ein irreduzibles Polynom ist. Nach Satz A.9 ist die durch (6.2.1) gegebene Menge genau dann ein Körper, wenn  $p(x)$  irreduzibel ist. Der Beweisteil “ $p(x)$  irreduzibel  $\Rightarrow$  multiplikative Inverse existieren” ist fast vollkommen identisch mit der am Anfang dieses Abschnitts gezeigten Aussage “ $p$  Primzahl  $\Rightarrow \mathbb{F}_p$  Körper”.

Der Begriff irreduzibel bezieht sich immer auf einen bestimmten Körper, wie mit Beispiel A.8 demonstriert wird. Insbesondere ist zwischen der Irreduzibilität über  $\mathbb{F}_p$  bzw. über  $\mathbb{F}_{p^m}$  zu unterscheiden. Das Polynom  $p(x) \in \mathbb{F}_p[x]$  aus Definition 6.1 ist irreduzibel über  $\mathbb{F}_p$ , d.h. es zerfällt nicht in Polynome mit Koeffizienten aus  $\mathbb{F}_p$ . Dagegen ist  $p(x)$  über  $\mathbb{F}_{p^m}$  reduzibel –  $p(x)$  zerfällt sogar vollständig in Linearfaktoren mit Koeffizienten aus  $\mathbb{F}_{p^m}$ , wie noch gezeigt wird.

Für jede Primzahl  $p$  und jede natürliche Zahl  $m$  gibt es mindestens ein Polynom vom Grad  $m$  mit Koeffizienten aus  $\mathbb{F}_p$ , das über  $\mathbb{F}_p$  irreduzibel ist, was hier allerdings nicht bewiesen wird. Damit ist die Existenz von Galoisfeldern  $\mathbb{F}_{p^m}$  gesichert.

Es ist erforderlich, die Elemente von Galoisfeldern nicht nur als Linearkombinationen von  $z^0, \dots, z^{m-1}$  wie in Definition 6.1 bzw. wie in der Darstellung (1) aus Abschnitt 6.1 repräsentieren zu können, sondern auch als  $z$ -Potenzen entsprechend der Darstellung (2) aus Abschnitt 6.1. Jede  $z$ -Potenz ist wie gesehen ein Element von  $\mathbb{F}_{p^m}$ . Damit aber umgekehrt auch jedes Element von  $\mathbb{F}_{p^m}$  als  $z$ -Potenz repräsentiert werden kann, muß das Polynom  $p(x)$  noch einer zusätzlichen Forderung genügen. Der folgende Satz führt dazu den Begriff des primitiven Polynoms ein, das eigentlich besser erzeugendes Polynom heißen sollte:

**Satz 6.1.** *Zu jeder Primzahl  $p$  und jeder natürlichen Zahl  $m$  existiert ein primitives Polynom  $p(x) \in \mathbb{F}_p[x]_m$  vom Grad  $m$  mit Koeffizienten aus  $\mathbb{F}_p$ , das irreduzibel über  $\mathbb{F}_p$  ist und folgende Eigenschaft erfüllt:*

*Für jede abstrakte Nullstelle  $z$  von  $p(x)$ , also  $p(z) = 0$ , sind die  $n = p^m - 1$  Elemente  $z^1, z^2, \dots, z^{n-1}, z^n$  alle verschieden mit  $z^n = z^0 = 1$ . Die Nullstelle  $z$  heißt primitives Element bzw. erzeugendes Element für die multiplikative Gruppe von  $\mathbb{F}_{p^m}$ . Für  $\mathbb{F}_{p^m}$  ist neben der bereits aus (6.2.2) bzw. (6.2.6) bekannten Komponentendarstellung auch die Exponentendarstellung (6.2.7) möglich:*

$$\mathbb{F}_{p^m} = \left\{ \sum_{i=0}^{m-1} a_i z^i \mid a_0, \dots, a_{m-1} \in \mathbb{F}_p \right\} \quad (6.2.6)$$

$$= \{0, z, z^2, z^3, \dots, z^{n-1}, z^n = z^0 = 1\}. \quad (6.2.7)$$

*Dabei wird modulo  $p$  und modulo  $p(z)$  gerechnet. Bis auf Isomorphismen (Umbenennungen) gibt es zu jedem  $q = p^m$  nur ein einziges eindeutig bestimmtes Galoisfeld und für alle anderen Werte von  $q$  kann prinzipiell kein endlicher Körper existieren.*

Die Existenz primitiver Polynome, bei denen also die Potenzen einer Nullstelle alle Elemente des Galoisfeldes (abgesehen von 0) liefern, wird hier nicht

bewiesen. Primitive Polynome sind in Tabelle 6.1 angegeben. Für  $m > 2$  gibt es jeweils mehrere primitive Polynome (die man in anderen Tabellen finden kann), die aber weitgehend als äquivalent anzusehen sind. Die in den modernen Kommunikationssystemen heute angewendeten hochentwickelten algebraischen Blockcodes basieren fast alle auf dem binären primitiven Polynom vom Grad 8 bzw. auf dem Galoisfeld  $\mathbb{F}_{256}$ . In Kapitel 7 wird sich noch zeigen, daß bei größeren Werten von  $m$  sehr schnell astronomische Blocklängen  $n = p^m - 1$  resultieren (der Fall  $n = q - 1$  bei  $q$ -stufigen Symbolen wird primitive Blocklänge genannt).

**Tabelle 6.1.** Primitive Polynome über  $\mathbb{F}_2$  bis zum Grad 24

$m$	$p(x)$	$m$	$p(x)$
1	$x + 1$	13	$x^{13} + x^4 + x^3 + x + 1$
2	$x^2 + x + 1$	14	$x^{14} + x^{10} + x^6 + x + 1$
3	$x^3 + x + 1$	15	$x^{15} + x + 1$
4	$x^4 + x + 1$	16	$x^{16} + x^{12} + x^3 + x + 1$
5	$x^5 + x^2 + 1$	17	$x^{17} + x^3 + 1$
6	$x^6 + x + 1$	18	$x^{18} + x^7 + 1$
7	$x^7 + x^3 + 1$	19	$x^{19} + x^5 + x^2 + x + 1$
8	$x^8 + x^4 + x^3 + x^2 + 1$	20	$x^{20} + x^3 + 1$
9	$x^9 + x^4 + 1$	21	$x^{21} + x^2 + 1$
10	$x^{10} + x^3 + 1$	22	$x^{22} + x + 1$
11	$x^{11} + x^2 + 1$	23	$x^{23} + x^5 + 1$
12	$x^{12} + x^6 + x^4 + x + 1$	24	$x^{24} + x^7 + x^2 + x + 1$

In der Komponentendarstellung (6.2.6) ist die Addition besonders einfach, indem wie bei (6.2.4) die Koeffizienten komponentenweise addiert werden. In der Exponentendarstellung (6.2.7) ist die Multiplikation besonders einfach, indem die Potenzen modulo  $n$  in den natürlichen Zahlen addiert werden:

$$z^i \cdot z^r = z^{(i+r) \text{ modulo } n} = z^{R_n[i+r]}. \quad (6.2.8)$$

Ausführliche Beispiele zur Rechnung in Galoisfeldern mit  $q = 2^m$  enthält der übernächste Abschnitt, so daß dort alle Aussagen aus diesem und dem nächsten Abschnitt zu den Eigenschaften und zur Arithmetik der Galoisfelder zusammenhängend demonstriert werden können. An dieser Stelle werden deshalb nur einige einfache Beispiele behandelt:

**Beispiel 6.1. (1)** Betrachte erneut  $\mathbb{F}_4$  mit  $n = 3$  wie in Abschnitt 6.1. Das Polynom  $p(x) = x^2 + x + 1$  ist irreduzibel und darüber hinaus sogar primitiv (siehe auch Tabelle 6.1), denn für  $z$  mit  $p(z) = 0$  gilt  $z^2 = z + 1$  und  $z^3 = 1$ .

**(2)** Auch in einem Primkörper ist die Exponentendarstellung möglich. Betrachte dazu  $\mathbb{F}_7$  mit  $n = 6$ . Ein primitives Polynom ist beispielsweise  $p(x) = x - 3 = x + 4$ , denn es gilt für die Nullstelle  $z$ :

$$z = 3$$

$$\begin{aligned}
z^2 &= 9 = 2 \\
z^3 &= z \cdot z^2 = 6 \\
z^4 &= z \cdot z^3 = 18 = 4 \\
z^5 &= z \cdot z^4 = 12 = 5 \\
z^6 &= z \cdot z^5 = 15 = 1 = z^0.
\end{aligned}$$

Dagegen ist  $p(x) = x - 2$  kein primitives Polynom:

$$\begin{aligned}
z &= 2 \\
z^2 &= 4 \\
z^3 &= 8 = 1 = z^0.
\end{aligned}$$

Es ist also notwendig, die Eigenschaften und insbesondere die Anzahl der primitiven Elemente und primitiven Polynome noch genauer zu untersuchen. ■

**Satz 6.2.** *Es gelten folgende Eigenschaften in  $\mathbb{F}_q$  mit  $q = p^m$ :*

(1) In  $\mathbb{F}_{p^m}$  gilt generell:  $\underbrace{1 + 1 + \cdots + 1}_{p \text{ mal}} = 0$ .

(2) Für jedes  $a \in \mathbb{F}_{p^m}$  gilt:

$$a^q = a \quad ; \quad a^n = 1 \text{ für } a \neq 0 \quad ; \quad a^p = a \Leftrightarrow a \in \mathbb{F}_p. \quad (6.2.9)$$

(3) Für beliebige  $a, b \in \mathbb{F}_{p^m}$  und natürliche Zahlen  $r$  gilt:

$$(a + b)^{p^r} = a^{p^r} + b^{p^r}. \quad (6.2.10)$$

(4) Für beliebige Polynome  $h(x) \in \mathbb{F}_{p^m}[x]$  und natürliche Zahlen  $r$  gilt:

$$\left[ h(x) \right]^{q^r} = h(x^{q^r}). \quad (6.2.11)$$

Für  $h(x) \in \mathbb{F}_p[x]$  gilt also insbesondere  $\left[ h(x) \right]^{p^r} = h(x^{p^r})$ .

Beweis: “(1)” ist klar, da modulo  $p$  gerechnet wird:  $\mathbb{F}_p \subseteq \mathbb{F}_{p^m}$ .

“(2)” Jedes  $a \neq 0$  ist als  $a = z^r$  darstellbar und dann gilt  $a^n = (z^r)^n = (z^n)^r = 1^r = 1$  und somit gilt  $a^q = a$  für alle  $a$ . Für  $a \in \mathbb{F}_p$  gilt folglich  $a^p = a$ . Also sind alle  $p$  Elemente von  $\mathbb{F}_p$  Nullstellen von  $x^p - x$ . Da dieses Polynom aber maximal  $p$  Nullstellen haben kann, kann  $a \in \mathbb{F}_{p^m} \setminus \mathbb{F}_p$  keine Nullstelle von  $x^p - x$  sein.

“(3)” Für  $a, b \in \mathbb{F}_p$  wäre die Aussage trivial. Die binomische Formel (A.2.2), die hier in der Form

$$(a + b)^p = a^p + b^p + \sum_{i=1}^{p-1} \binom{p}{i} a^i b^{p-i}$$

geschrieben wird, gilt auch für  $a, b \in \mathbb{F}_{p^m}$ , wobei die Binomialkoeffizienten als natürliche Zahlen modulo  $p$  zu verstehen sind. Da  $p$  als Primzahl keine Teiler hat und der gesamte Quotient  $\binom{p}{i} = \frac{p \cdot (p-1)!}{i! \cdot (p-i)!}$  eine natürliche Zahl ist, muß der Nenner ein Teiler von  $(p-1)!$  sein und somit folgt  $\binom{p}{i} = 0$  modulo  $p$ . Somit gilt  $(a+b)^p = a^p + b^p$  in  $\mathbb{F}_{p^m}$ . Durch mehrfache Anwendung ergibt sich

$$(a+b)^{p^r} = \left( (a+b)^p \right)^{p^{r-1}} = \left( a^p + b^p \right)^{p^{r-1}} = \dots = a^{p^r} + b^{p^r}.$$

“(4)” Die Verallgemeinerung auf beliebige Summen mit  $h_i \in \mathbb{F}_{p^m}$  ergibt:

$$h(x)^q = \left( \sum_i h_i x^i \right)^q = \sum_i h_i^q x^{iq} = \sum_i h_i x^{iq} = h(x^q)$$

und die mehrfache Anwendung ergibt (6.2.11). ■

**Beispiel 6.2.** (1) Die besondere Bedeutung von (6.2.11) liegt darin, daß für  $h(x) \in \mathbb{F}_p[x]$  mit  $h(a) = 0$  auch  $h(a^{p^r}) = 0$  gilt, d.h. mit einer Nullstelle sind sofort weitere Nullstellen durch Potenzierung bekannt.

(2) Für  $\mathbb{F}_2$  gilt beispielsweise  $(1+x+x^6)^4 = 1+x^4+x^{24}$  und generell  $(1+x)^{2^r} = 1+x^{2^r}$  für alle natürlichen Zahlen  $r$ .

(3) Für  $h(x) \in \mathbb{F}_{p^m}[x]$  gilt nicht immer  $h(x)^p = h(x^p)$ . Als Gegenbeispiel dient  $h(x) = x+z \in \mathbb{F}_4$ :  $h(x)^2 = (x+z)^2 = x^2+z^2 \neq x^2+z = h(x^2)$ . Jedoch gilt  $h(x)^4 = h(x^4) = x^4+z$ . ■

**Satz 6.3.** *Es sei  $p(x) \in \mathbb{F}_p[x]_m$  ein primitives Polynom vom Grad  $m$  und  $z$  ein primitives Element für  $\mathbb{F}_{p^m}$  und  $n = p^m - 1$ . Dann sind die Nullstellen von  $p(x)$  alle verschieden und explizit durch die  $z$ -Potenzen wie folgt gegeben:*

$$p(x) = \prod_{i=0}^{m-1} (x - z^{p^i}). \quad (6.2.12)$$

Über  $\mathbb{F}_p$  ist  $p(x)$  also irreduzibel, während es über  $\mathbb{F}_{p^m}$  vollständig in Linearfaktoren zerfällt. Auch das Polynom  $x^n - 1$  zerfällt über  $\mathbb{F}_{p^m}$  vollständig in Linearfaktoren, wobei die  $n$  Nullstellen genau  $\mathbb{F}_{p^m} \setminus \{0\}$  ergeben:

$$x^n - 1 = \prod_{i=0}^{n-1} (x - z^i). \quad (6.2.13)$$

Entsprechend ergeben die Nullstellen von  $x^q - x$  genau  $\mathbb{F}_{p^m}$ . Die  $z^i$  werden als  $n$ -te Einheitswurzeln,  $x^n - 1$  als Kreisteilungspolynom und  $\mathbb{F}_{p^m}$  als Kreisteilungskörper oder Zerfällungskörper (splitting field) bezeichnet. Das primitive Polynom ist ein Teiler des Kreisteilungspolynoms.

Beweis: “(6.2.12)”: Für  $p(x) \in \mathbb{F}_p[x]$  gilt  $p(z^{p^i}) = p(z)^{p^i} = 0^{p^i} = 0$  nach Satz 6.2(4). Die  $z^{p^i}$  sind also Nullstellen von  $p(x)$ . Für  $0 \leq i \leq m-1$  gilt  $0 \leq p^i \leq p^{m-1} < p^m - 1 = n$  und somit sind die  $m$  Nullstellen gemäß Satz 6.1 alle verschieden. Gemäß Satz A.6(3) muß  $p(x)$  dann in Linearfaktoren wie angegeben zerfallen.

“(6.2.13)”: Auch die  $z^i$  mit  $0 \leq i \leq n-1$  sind gemäß Satz 6.1 alle verschieden sowie jeweils Nullstelle von  $x^n - 1$ . Mit dem gleichen Schluß wie zuvor folgt (6.2.13). Aus (6.2.12) und (6.2.13) folgt sofort, daß  $p(x)$  ein Teiler von  $x^n - 1$  ist. ■

Der Begriff “Kreisteilung” resultiert aus den komplexen Zahlen, denn die Potenzen von  $z = \exp(j2\pi/n) = \cos(2\pi/n) + j \sin(2\pi/n)$  ergeben die  $n$ -ten Einheitswurzeln, da  $z^n = \exp(j2\pi) = 1$  sowie  $(z^r)^n = 1$  gilt.

Auch über  $\mathbb{F}_p$  ist  $x^n - 1$  reduzibel, da 1 eine Nullstelle ist und nach Satz A.6 der Linearfaktor  $x - 1$  somit ein Teiler ist (siehe auch (5.1.2)). Über den weiteren Zerfall von  $x^n - 1$  sind aber keine allgemeinen Aussagen möglich. Keinesfalls zerfällt  $x^n - 1$  vollständig in Linearfaktoren über  $\mathbb{F}_p$ , da  $x^n - 1$  den irreduziblen Faktor  $p(x)$  enthält. Beispielsweise gilt in  $\mathbb{F}_2$  folgender Zerfall in irreduzible Faktoren:

$$\begin{aligned} x^3 - 1 &= (x + 1)(x^2 + x + 1), \\ x^7 - 1 &= (x + 1)(x^3 + x + 1)(x^3 + x^2 + 1), \\ x^{15} - 1 &= (x + 1)(x^2 + x + 1)(x^4 + x^3 + x^2 + x + 1) \\ &\quad (x^4 + x + 1)(x^4 + x^3 + 1). \end{aligned}$$

Im nächsten Abschnitt wird der Zerfall von  $x^n - 1$  noch genauer untersucht. Der folgende Satz enthält eine äquivalente Kennzeichnung primitiver Polynome:

**Satz 6.4.** *Es sei  $p(x) \in \mathbb{F}_p[x]_m$  ein irreduzibles Polynom vom Grad  $m$ . Dann gilt:*

$$p(x) \text{ ist primitiv} \iff p^m - 1 = \min\{l \in \mathbb{N} \mid p(x) \text{ teilt } x^l - 1\}. \quad (6.2.14)$$

Beweis: “ $\Rightarrow$ ”: Nach Satz 6.3 ist  $p(x)$  ein Teiler von  $x^n - 1$ . Wenn  $p(x)$  auch ein Teiler von  $x^l - 1$  für  $l < n$  wäre, so würde  $\alpha(x)p(x) = x^l - 1$  mit passendem  $\alpha(x) \in \mathbb{F}_p[x]$  gelten. Für das primitive Element  $z$  mit  $p(z) = 0$  folgt dann  $z^l = 1$ , was der vorausgesetzten Primitivität von  $p(x)$  widerspricht. Also ist  $p(x)$  kein Teiler von  $x^l - 1$ .

“ $\Leftarrow$ ”: Gegenannahme:  $p(x)$  ist nicht primitiv. Dann existiert ein  $w \in \mathbb{F}_{p^m}$  mit  $p(w) = 0$  und  $w^l = 1$  für  $l < n$ . In Satz 6.7 wird noch gezeigt, daß ein irreduzibles Polynom von der Form  $p(x) = \prod_{i=0}^{m-1} (x - w^{p^i})$  ist, d.h.  $p(x)$  hat  $m$

Nullstellen  $w^{p^i}$ . Wichtig ist dabei, daß diese Nullstellen alle verschieden sind. Nach dem Divisionstheorem Satz A.4 existieren Polynome  $\alpha(x)$  und  $r(x)$  mit

$$x^l - 1 = \alpha(x)p(x) + r(x) \quad \text{mit} \quad \text{Grad } r(x) < m.$$

Wegen  $(w^{p^i})^l = (w^l)^{p^i} = 1$  hat  $r(x)$  also  $m$  verschiedene Nullstellen und somit muß  $r(x) = 0$  gelten. Also ist  $p(x)$  ein Teiler von  $x^l - 1$ , was der Voraussetzung widerspricht. Somit war die Gegenannahme falsch und  $p(x)$  ist primitiv. ■

**Definition 6.2.** Für  $a \in \mathbb{F}_{p^m} \setminus \{0\}$  heißt

$$\langle a \rangle = \{a^i \mid i = 1, 2, 3, \dots\} = \{a^1, a^2, a^3, \dots, a^{\text{Ord}(a)}\} \quad (6.2.15)$$

die von  $a$  erzeugte multiplikative Gruppe und die Mächtigkeit  $\text{Ord}(a) = |\langle a \rangle|$  heißt Ordnung von  $a$ . Speziell gilt  $\langle 1 \rangle = \{1\}$ .

Die Menge  $\langle a \rangle$  bildet bezüglich der Multiplikation offensichtlich eine Gruppe: Beispielsweise folgt die Abgeschlossenheit aus  $a^i \cdot a^j = a^{i+j}$  und  $a^{n-i}$  ist invers zu  $a^i$ . Natürlich ist  $\langle a \rangle$  eine Untergruppe der multiplikativen Gruppe  $\mathcal{G} = \mathbb{F}_{p^m} \setminus \{0\}$  mit der Mächtigkeit  $|\mathcal{G}| = n = p^m - 1$ . Nach Satz A.3 gilt:

$$a^{\text{Ord}(a)} = 1 \quad , \quad \text{Ord}(a) \text{ ist ein Teiler von } n = p^m - 1. \quad (6.2.16)$$

Nach Satz 6.1 erzeugt das primitive Element definitionsgemäß die multiplikative Gruppe:  $\langle z \rangle = \mathcal{G}$ . Die Ordnung primitiver Elemente ist natürlich  $n$ . Jedes Element ungleich Null des Galoisfeldes ist von der Form  $z^l$ . Auch  $z^l$  ist ein primitives Element, wenn es die multiplikative Gruppe erzeugt, d.h. wenn  $\langle z^l \rangle = \{z^{li} \mid i = 1, 2, 3, \dots\} = \mathcal{G}$  gilt. Aus einem primitiven Element können alle weiteren primitiven Elemente sehr einfach wie folgt bestimmt werden:

**Satz 6.5.** Es sei  $z$  ein primitives Element für  $\mathbb{F}_{p^m}$  und es sei  $n = p^m - 1$ . Dann sind genau diejenigen  $z$ -Potenzen ebenfalls primitive Elemente, deren Potenz teilerfremd zu  $n$  ist:

$$z^l \text{ ist primitives Element} \iff \text{GGT}(l, n) = 1. \quad (6.2.17)$$

Es sei  $n = p_1^{s_1} \cdots p_v^{s_v}$  die Primfaktorzerlegung von  $n$ . Dann gibt die Eulersche  $\varphi$ -Funktion (Euler's totient function)

$$\varphi(n) = n \left(1 - \frac{1}{p_1}\right) \cdots \left(1 - \frac{1}{p_v}\right) \quad (6.2.18)$$

die Anzahl der primitiven Elemente von  $\mathbb{F}_{p^m}$  an. Es wird  $\varphi(1) = 1$  vereinbart.

Die Aussage (6.2.17) folgt aus Satz A.3. Für den Beweis von (6.2.18) siehe z.B. [48].

**Beispiel 6.3.** Beispiele zu den von  $z^l$  erzeugten Untergruppen der multiplikativen Gruppe werden noch ausführlich in Abschnitt 6.4 behandelt. Hier werden nur die primitiven Elemente betrachtet:

- (1)  $\mathbb{F}_{2^2}$  hat  $\varphi(3) = 3 \left(1 - \frac{1}{3}\right) = 2$  primitive Elemente:  $z, z^2$ .
- (2)  $\mathbb{F}_{2^3}$  hat  $\varphi(7) = 7 \left(1 - \frac{1}{7}\right) = 6$  primitive Elemente:  $z, z^2, z^3, z^4, z^5, z^6$ .

(3)  $\mathbb{F}_{2^4}$  hat  $\varphi(15) = \varphi(3 \cdot 5) = 15 \left(1 - \frac{1}{3}\right) \left(1 - \frac{1}{5}\right) = 8$  primitive Elemente:  $z, z^2, z^4, z^7, z^8, z^{11}, z^{13}, z^{14}$ .

(4)  $\mathbb{F}_{2^8}$  hat  $\varphi(255) = \varphi(3 \cdot 5 \cdot 17) = 255 \left(1 - \frac{1}{3}\right) \left(1 - \frac{1}{5}\right) \left(1 - \frac{1}{17}\right) = 128$  primitive Elemente.

(5)  $\mathbb{F}_7$  hat  $\varphi(6) = \varphi(2 \cdot 3) = 6 \left(1 - \frac{1}{2}\right) \left(1 - \frac{1}{3}\right) = 2$  primitive Elemente, nämlich  $z = 3$  nach Beispiel 6.1(2) und  $z^5 = 3^5 = 5$ , weil  $\text{GGT}(i, 6) = 1$  nur für  $i = 1$  und  $i = 5$  gilt. ■

## 6.3 Minimalpolynome und konjugierte Elemente

Für die Darstellung und die Analyse der BCH-Codes sind die Kenntnisse über die Struktureigenschaften und die Arithmetik von Galoisfeldern noch zu vertiefen. Der nachfolgend eingeführte Begriff der Äquivalenz wird auch in Abschnitt A.4 diskutiert, dort allerdings in allgemeiner Form:

**Definition 6.3.** Zwei Elemente  $a, b \in \mathbb{F}_{p^m}$  heißen konjugiert zueinander mit der Schreibweise  $a \sim b$ , wenn  $a = b^{p^r}$  mit passendem  $r$  gilt. Damit wird eine Äquivalenzrelation eingeführt, d.h. es gilt:

(1) Für alle  $a \in \mathbb{F}_{p^m}$  gilt:  $a \sim a$  (Reflexiv).

(2) Für alle  $a, b \in \mathbb{F}_{p^m}$  gilt:  $a \sim b \Rightarrow b \sim a$  (Symmetrisch).

(3) Für alle  $a, b, c \in \mathbb{F}_{p^m}$  gilt:  $a \sim b \wedge b \sim c \Rightarrow a \sim c$  (Transitiv).

Die Äquivalenzrelation impliziert Äquivalenzklassen, d.h. die Mengen der in Relation zu einem Element  $a$  stehenden Elemente  $b$ :

$$[a] = \{b \mid b \sim a\} = \{a, a^{p^1}, a^{p^2}, a^{p^3}, \dots\}. \quad (6.3.1)$$

Mit  $|[a]|$  wird die Anzahl der Elemente einer Äquivalenzklasse bezeichnet.

Die Eigenschaften  $a \in [a]$ ,  $[0] = \{0\}$  und  $[1] = \{1\}$  sind offensichtlich. Jedes Element einer Äquivalenzklasse kann als Erzeuger der Äquivalenzklasse dienen, d.h.  $b \in [a]$  impliziert  $[b] = [a]$ . Die Äquivalenzklassen bilden eine disjunkte Zerlegung von  $\mathbb{F}_{p^m}$ . Die Symmetrie ist leicht einsehbar, denn aus  $a = b^{p^r}$  folgt

$$a^{p^{m-r}} = \left(b^{p^r}\right)^{p^{m-r}} = b^{p^m} = b^{n+1} = b.$$

Entsprechend ist die Transitivität nachweisbar.

Für ein Element  $z^l$  ist die Äquivalenzklasse  $[z^l]$  der Mächtigkeit  $s$  von der Form

$$[z^l] = \{z^l, z^{lp}, z^{lp^2}, z^{lp^3}, \dots, z^{lp^{s-1}}\}. \quad (6.3.2)$$

Die Mengen  $\{l, lp, lp^2, lp^3, \dots, lp^{s-1}\}$  werden auch als *zyklotomische Nebenklassen* bezeichnet.

Die Äquivalenzklassen der konjugierten Elemente sind nicht zu verwechseln mit den in Definition 6.2 eingeführten multiplikativen Gruppen. Die Äquivalenzklassen sind normalerweise weder additive noch multiplikative Gruppen. Für die Mächtigkeiten wurde mit (6.2.16) notiert, daß  $|\langle a \rangle|$  ein Teiler von  $n = p^m - 1$  ist, während in Satz 6.7  $|[a]|$  noch als Teiler von  $m$  nachgewiesen wird.

Offensichtlich gilt  $[a] \subseteq \langle a \rangle$ . Für  $a \sim b$  bzw.  $[a] = [b]$  gilt  $a = b^{p^r}$ . Für beliebiges  $i$  gilt dann  $a^i = b^{ip^r}$  und damit  $a^i \in \langle b \rangle$  und folglich  $\langle a \rangle \subseteq \langle b \rangle$ . Wegen der Symmetrie folgt schließlich  $\langle a \rangle = \langle b \rangle$ . Damit ist folgender Satz nachgewiesen:

**Satz 6.6.** *Zwei zueinander äquivalente Elemente haben die gleiche Ordnung und erzeugen die gleiche multiplikative Gruppe:*

$$a \sim b \quad \text{bzw.} \quad [a] = [b] \quad \implies \quad \langle a \rangle = \langle b \rangle. \quad (6.3.3)$$

Die Äquivalenzklassen der konjugierten Elemente bilden also eine Verfeinerung der erzeugten multiplikativen Gruppen. Natürlich haben die Elemente einer multiplikativen Gruppe nicht alle die gleiche Ordnung, da jede multiplikative Gruppe das Einselement mit der Ordnung 1 enthält.

Ein weiteres Beispiel für Äquivalenzklassen stellt die Zerlegung des Raums  $\mathbb{F}_q^n$  der Empfangswörter in Nebenklassen gemäß Abschnitt 4.6 dar. Allerdings hatte dort jede Nebenklasse die gleiche Mächtigkeit, was für die Äquivalenzklassen der konjugierten Elemente nicht gilt.

**Satz 6.7.** *Für die Äquivalenzklassen der konjugierten Elemente und die damit verbundenen Polynome gelten folgende Aussagen:*

- (1) *Zu jedem  $a \in \mathbb{F}_{p^m}$  gibt es ein eindeutig bestimmtes normiertes Polynom  $f_a(x)$  minimalen Grades mit Koeffizienten aus  $\mathbb{F}_p$ , das  $a$  als Nullstelle hat.  $f_a(x)$  ist irreduzibel und wird als Minimalpolynom bezeichnet.*
- (2) *Zwei zueinander konjugierte Elemente haben das gleiche Minimalpolynom:*

$$a \sim b \quad \implies \quad f_a(x) = f_b(x). \quad (6.3.4)$$

*Man kann also vom Minimalpolynom einer Äquivalenzklasse sprechen mit der Schreibweise  $f_a(x) = f_{[a]}(x)$ .*

- (3) *Der Grad des Minimalpolynoms entspricht der Mächtigkeit der Äquivalenzklasse und ist ferner ein Teiler von  $m$ :*

$$\text{Grad } f_{[a]}(x) = |[a]| \quad \text{teilt } m. \quad (6.3.5)$$

- (4) *Das Minimalpolynom kann explizit berechnet werden:*

$$f_{[a]}(x) = \prod_{b \in [a]} (x - b) = \prod_{i=0}^{|[a]|-1} (x - a^{p^i}). \quad (6.3.6)$$

- (5) *Alle Minimalpolynome von  $\mathbb{F}_{p^m}$  bilden genau die irreduziblen Faktoren des Kreisteilungspolynoms  $x^n - 1$ .*

- (6) Wenn  $f(x) \in \mathbb{F}_p[x]$  eine Nullstelle  $a \in \mathbb{F}_{p^m}$  hat, dann ist  $f(x)$  ein Vielfaches des Minimalpolynoms  $f_{[a]}(x)$ . Wenn zusätzlich  $f(x)$  irreduzibel ist, dann gilt sogar  $f(x) = f_{[a]}(x)$ .  
 Jedes irreduzible Polynom  $f(x)$  mit einer Nullstelle  $a \in \mathbb{F}_{p^m}$  ist ein Teiler von  $x^n - 1$  und  $\text{Grad } f(x)$  ist ein Teiler von  $m$ .

Natürlich darf  $f_a(x)$  keine Koeffizienten aus  $\mathbb{F}_{p^m}$  haben, denn dann könnte einfach  $f_a(x) = x - a$  gewählt werden. Das Minimalpolynom zu  $a = z^r$  ist von der Form

$$f_{[z^r]}(x) = \prod_{i=0}^{|[z^r]|-1} (x - z^{rp^i}). \quad (6.3.7)$$

Beweis: "Existenz": Nach Satz 6.3 ist  $f_a(x) = x^q - x$  ein Polynom mit Koeffizienten aus  $\mathbb{F}_p$ , das jedes  $a \in \mathbb{F}_{p^m}$  als Nullstelle hat.

"Eindeutigkeit": Es seien  $f(x), f'(x) \in \mathbb{F}_p[x]$  mit  $f(a) = f'(a) = 0$  zwei Polynome gleichen und zusätzlich minimalen Grades. Nach Satz A.4 existieren Polynome  $\alpha(x), r(x) \in \mathbb{F}_p[x]$  mit

$$f'(x) = \alpha(x)f(x) + r(x) \quad \text{mit} \quad \text{Grad } r(x) < \text{Grad } f(x).$$

Für  $x = a$  folgt  $r(a) = 0$ , was der vorausgesetzten Minimalität der Grade widerspricht. Also folgt  $r(x) = 0$  und somit unterscheiden sich  $f(x)$  und  $f'(x)$  allenfalls um eine Konstante  $\alpha(x) = \alpha_0$ . Da Minimalpolynome normiert sein sollen, ist das Minimalpolynom also eindeutig bestimmt.

"Irreduzibilität": Bei einem Zerfall  $f_a(x) = f_1(x)f_2(x)$  folgt aus  $f_a(a) = 0$  entweder  $f_1(a) = 0$  oder  $f_2(a) = 0$ . Wegen der Minimalität der Grade folgt dann aber entweder  $f_1(x) = f_a(x)$  oder  $f_2(x) = f_a(x)$ .

"|[a]| teilt m": Es sei  $s = |[a]|$ , d.h.  $[a] = \{a^{p^0}, a^{p^1}, a^{p^2}, \dots, a^{p^{s-1}}\}$ . Klar ist zunächst  $a^{p^s} = a = a^{p^0}$ , denn sonst wäre  $a^{p^s}$  ein weiteres Element aus  $[a]$ . Deshalb gilt auch

$$[a] = \{a^{p^1}, a^{p^2}, \dots, a^{p^{s-1}}, a^{p^s}\}. \quad (6.3.8)$$

Wegen  $a^{p^m} = a^{n+1} = a$  folgt  $s \leq m$ . Für  $m = \alpha s + r$  mit  $0 \leq r < s$  folgt

$$a = a^{p^m} = [a^{(p^s)^\alpha}]^{p^r} = \underbrace{\left[ \left( \dots \left( \underbrace{\left( a^{p^s} \right)^{p^s}}_a \right) \dots \right)^{p^s} \right]^{p^r}}_a = a^{p^r}.$$

Wegen  $r < s$  ist das nach Definition von  $[a]$  nur möglich für  $r = 0$ . Also ist  $s$  ein Teiler von  $m$ .

"(4)": Nach Satz 6.2(4) gilt  $f_a(a^{p^i}) = [f_a(a)]^{p^i} = 0^{p^i} = 0$  und somit muß  $f_a(x)$  alle Linearfaktoren  $x - a^{p^i}$  enthalten, d.h.  $f_a(x)$  muß ein Vielfaches von

$$h_a(x) = \prod_{i=0}^{s-1} (x - a^{p^i}) = \prod_{b \in [a]} (x - b) \quad , \quad s = |[a]|$$

sein. Klar ist  $h_a(a) = 0$  und  $\text{Grad } h_a(x) \leq \text{Grad } f_a(x)$ . Um  $h_a(x) = f_a(x)$  nachzuweisen, sind lediglich die Koeffizienten von  $h_a(x)$  in  $\mathbb{F}_p$  nachzuweisen. Dazu wird vorbereitend zunächst notiert:

$$\begin{aligned} [h_a(x)]^p &= \prod_{i=0}^{s-1} (x - a^{p^i})^p \\ &= \prod_{i=0}^{s-1} (x^p - a^{p^{i+1}}) \quad \text{nach Satz 6.2(3)} \\ &= \prod_{i=1}^s (x^p - a^{p^i}) \\ &= \prod_{i=0}^{s-1} (x^p - a^{p^i}) \quad \text{nach (6.3.8)} \\ &= h_a(x^p). \end{aligned}$$

Sei nun  $h_a(x) = \sum_{i=0}^s h_i x^i$ . Nach dem vorangehenden Resultat gilt:

$$[h_a(x)]^p = h_a(x^p) = \sum_{i=0}^s h_i x^{ip}.$$

Nach Satz 6.2(3) gilt:

$$[h_a(x)]^p = \left[ \sum_{i=0}^s h_i x^i \right]^p = \sum_{i=0}^s h_i^p x^{ip}.$$

Der Koeffizientenvergleich ergibt  $h_i = h_i^p$  und nach Satz 6.2(2) gilt  $h_i \in \mathbb{F}_p$ . Damit ist (6.3.6) bewiesen und somit auch (2) und (3).

“(5)”:  $\mathbb{F}_{p^m} \setminus \{0\}$  zerfällt in  $l$  disjunkte Äquivalenzklassen  $[a_1], \dots, [a_l]$  mit Repräsentanten  $a_\mu$ . Dazu gehören  $l$  Minimalpolynome  $f_{[a_1]}(x), \dots, f_{[a_l]}(x)$ , die jeweils aus Linearfaktoren  $(x - z^i)$  bestehen. Also ist jedes Minimalpolynom Teiler von  $x^n - 1$  nach (6.2.13). Zwei verschiedene Minimalpolynome enthalten keine gleichen Linearfaktoren  $(x - z^i)$ , da die Äquivalenzklassen disjunkt sind. Somit ist auch das Produkt der Minimalpolynome ein Teiler von  $x^n - 1$ . Wegen

$$\begin{aligned} \text{Grad } \prod_{\mu=1}^l f_{[a_\mu]}(x) &= \sum_{\mu=1}^l \text{Grad } f_{[a_\mu]}(x) = \sum_{\mu=1}^l |[a_\mu]| \\ &= \left| \bigcup_{\mu=1}^l [a_\mu] \right| = |\mathbb{F}_{p^m} \setminus \{0\}| = n \\ &= \text{Grad } (x^n - 1) \end{aligned}$$

stimmt das Produkt aller Minimalpolynome mit  $x^n - 1$  überein.

“(6)”: Sei  $f(x) \in \mathbb{F}_p[x]$  mit  $f(a) = 0$  für  $a \in \mathbb{F}_{p^m}$ . Nach Satz A.4 existieren Polynome  $\alpha(x), r(x) \in \mathbb{F}_p[x]$  mit

$$f(x) = \alpha(x)f_{[a]}(x) + r(x) \quad \text{mit} \quad \text{Grad } r(x) < \text{Grad } f_{[a]}(x).$$

Für  $x = a$  folgt  $r(a) = 0$ . Da  $f_{[a]}(x)$  minimalen Grad hat, folgt  $r(x) = 0$  und somit ist  $f(x)$  ein Vielfaches von  $f_{[a]}(x)$ . Wenn zusätzlich  $f(x)$  irreduzibel ist, folgt aus  $f(x) = \alpha(x)f_{[a]}(x)$  wegen  $\text{Grad } f_{[a]}(x) \geq 1$  sofort  $\alpha(x) = 1$  bzw.  $f(x) = f_{[a]}(x)$ . Jedes irreduzible Polynom mit einer Nullstelle in  $\mathbb{F}_{p^m}$  ist also ein Minimalpolynom und damit ein Teiler von  $x^n - 1$ . ■

Eines der Minimalpolynome entspricht dem primitiven Polynom aus (6.2.12), mit dem  $\mathbb{F}_{p^m}$  konstruiert wurde. Mit  $z$  sind auch alle weiteren Nullstellen  $z^{p^i}$  von  $p(x)$  jeweils primitive Elemente, die die Äquivalenzklasse  $[z]$  bilden. Darüberhinaus gibt es weitere primitive Elemente, die zu weiteren primitiven Polynomen führen, die wiederum als Minimalpolynome in der Faktorisierung von  $x^n - 1$  auftreten. Nach Satz 6.5 ist  $\varphi(p^m - 1)$  die Anzahl der primitiven Elemente und somit gilt:

$$\frac{\varphi(p^m - 1)}{m} = \text{Anzahl primitiver Polynome vom Grad } m \text{ über } \mathbb{F}_p. \quad (6.3.9)$$

In Tabelle 6.2 sind dazu einige Zahlenwerte angegeben.

**Tabelle 6.2.** Anzahl primitiver Elemente und primitiver Polynome in  $\mathbb{F}_{2^m}$

$m$	2	3	4	5	6	7	8	16
$2^m$	4	8	16	32	64	128	256	65536
Anzahl primitiver Elemente	2	6	8	30	36	126	128	32768
Anzahl primitiver Polynome	1	2	2	6	6	18	16	2048

## 6.4 Beispiele $\mathbb{F}_8$ , $\mathbb{F}_{16}$ und $\mathbb{F}_{64}$

Die theoretischen Aussagen aus den Abschnitten 6.2 und 6.3 werden jetzt anhand der drei Beispiele  $\mathbb{F}_{2^m}$  mit  $m = 3, 4, 6$  illustriert. Bei  $\mathbb{F}_8$  sind die Rechenoperationen noch gut überschaubar. Zur Demonstration aller Eigenschaften der Minimalpolynome ist  $\mathbb{F}_8$  allerdings noch zu simpel, so daß auch  $\mathbb{F}_{16}$  und  $\mathbb{F}_{64}$  betrachtet werden.

**Beispiel 6.4.**  $\mathbb{F}_8 = \mathbb{F}_{2^3}$  mit  $n = 7$ . Es gibt  $\varphi(7) = 6$  primitive Elemente und  $\varphi(7)/3 = 2$  primitive Polynome. Nach Tabelle 6.1 wird  $p(x) = x^3 + x + 1$  gewählt. Für das primitives Element  $z$  gilt also  $z^3 + z + 1 = 0$  bzw.  $z^3 = z + 1$ . Durch

Potenzierung von  $z$  ergibt sich:

$$\begin{aligned}
 z^1 &= & & = z \\
 z^2 &= & & = z^2 \\
 z^3 &= z + 1 & & = z + 1 \\
 z^4 &= z^2 + z & & = z^2 + z \\
 z^5 &= z^3 + z^2 = (z + 1) + z^2 & & = z^2 + z + 1 \\
 z^6 &= z^3 + z^2 + z = (z + 1) + z^2 + z & & = z^2 + 1 \\
 z^7 &= z^3 + z = (z + 1) + z & & = 1 = z^0.
 \end{aligned}$$

Somit gilt für die Komponenten- und Exponentendarstellung:

$$\begin{aligned}
 \mathbb{F}_8 &= \{0, 1, z, 1 + z, z^2, 1 + z^2, z + z^2, 1 + z + z^2\} \\
 &= \{k_0 + k_1z + k_2z^2 \mid k_0, k_1, k_2 \in \mathbb{F}_2\} \\
 &= \{0, 1, z, z^2, z^3, z^4, z^5, z^6\}.
 \end{aligned}$$

Verknüpfungstabellen für die Komponentendarstellung:

+	000	100	010	001	110	011	111	101
000	000	100	010	001	110	011	111	101
100	100	000	110	101	010	111	011	001
010	010	110	000	011	100	001	101	111
001	001	101	011	000	111	010	110	100
110	110	010	100	111	000	101	001	011
011	011	111	001	010	101	000	100	110
111	111	011	101	110	001	100	000	010
101	101	001	111	100	011	110	010	000
·	000	100	010	001	110	011	111	101
000	000	000	000	000	000	000	000	000
100	000	100	010	001	110	011	111	101
010	000	010	001	110	011	111	101	100
001	000	001	110	011	111	101	100	010
110	000	110	011	111	101	100	010	001
011	000	011	111	101	100	010	001	110
111	000	111	101	100	010	001	110	011
101	000	101	100	010	001	110	011	111

Verknüpfungstabellen für die Exponentendarstellung:

+	0	1	$z$	$z^2$	$z^3$	$z^4$	$z^5$	$z^6$	·	0	1	$z$	$z^2$	$z^3$	$z^4$	$z^5$	$z^6$
0	0	1	$z$	$z^2$	$z^3$	$z^4$	$z^5$	$z^6$	0	0	0	0	0	0	0	0	0
1	1	0	$z^3$	$z^6$	$z$	$z^5$	$z^4$	$z^2$	1	0	1	$z$	$z^2$	$z^3$	$z^4$	$z^5$	$z^6$
$z$	$z$	$z^3$	0	$z^4$	1	$z^2$	$z^6$	$z^5$	$z$	0	$z$	$z^2$	$z^3$	$z^4$	$z^5$	$z^6$	1
$z^2$	$z^2$	$z^6$	$z^4$	0	$z^5$	$z$	$z^3$	1	$z^2$	0	$z^2$	$z^3$	$z^4$	$z^5$	$z^6$	1	$z$
$z^3$	$z^3$	$z$	1	$z^5$	0	$z^6$	$z^2$	$z^4$	$z^3$	0	$z^3$	$z^4$	$z^5$	$z^6$	1	$z$	$z^2$
$z^4$	$z^4$	$z^5$	$z^2$	$z$	$z^6$	0	1	$z^3$	$z^4$	0	$z^4$	$z^5$	$z^6$	1	$z$	$z^2$	$z^3$
$z^5$	$z^5$	$z^4$	$z^6$	$z^3$	$z^2$	1	0	$z$	$z^5$	0	$z^5$	$z^6$	1	$z$	$z^2$	$z^3$	$z^4$
$z^6$	$z^6$	$z^2$	$z^5$	1	$z^4$	$z^3$	$z$	0	$z^6$	0	$z^6$	1	$z$	$z^2$	$z^3$	$z^4$	$z^5$

Nach (6.2.12) hat  $p(x)$  die Nullstellen  $z, z^2, z^4$  und somit gilt

$$(x - z)(x - z^2)(x - z^4) = x^3 + x + 1 = p(x).$$

Nach (6.2.13) gilt:

$$x^7 - 1 = (x - 1)(x - z)(x - z^2)(x - z^3)(x - z^4)(x - z^5)(x - z^6).$$

Das ist einfacher in folgender Form nachzurechnen:

$$x^7 - 1 = \underbrace{(x - 1)}_{x + 1} \cdot \underbrace{(x - z)(x - z^2)(x - z^4)}_{x^3 + x + 1} \cdot \underbrace{(x - z^3)(x - z^5)(x - z^6)}_{x^3 + x^2 + 1}.$$

$$\underbrace{\hspace{15em}}_{x^7 + 1}$$

Damit erscheint das primitive Polynom als irreduzibler Faktor im Kreisteilungspolynom. Auch  $x^3 + x^2 + 1$  ist ein primitives Polynom. Die 6 primitiven Elemente sind  $z, z^2, z^3, z^4, z^5, z^6$ , wovon 3 Nullstellen des primitiven Polynoms sind. Beispielsweise wird  $\mathbb{F}_8$  auch von  $z^3$  erzeugt:

$$\mathbb{F}_8 = \{0, (z^3)^0 = 1, (z^3)^1 = z^3, (z^3)^2 = z^6, (z^3)^3 = z^2, (z^3)^4 = z^5, (z^3)^5 = z, (z^3)^6 = z^4\}.$$

Zu  $z$  sind konjugiert:  $z^{2^1} = z^2, z^{2^2} = z^4, z^{2^3} = z^8 = z$ . Zu  $z^4$  sind die gleichen Elemente konjugiert:  $(z^4)^{2^1} = z^8 = z, (z^4)^{2^2} = z^{16} = z^2, (z^4)^{2^3} = z^{32} = z^4$ . Zu  $z^3$  sind konjugiert:  $(z^3)^{2^1} = z^6, (z^3)^{2^2} = z^{12} = z^5, (z^3)^{2^3} = z^{24} = z^3$ . Somit folgt  $[z] = [z^2] = [z^4] = \{z^1, z^2, z^4\}$  und  $[z^3] = [z^5] = [z^6] = \{z^3, z^5, z^6\}$ . Zusammenfassung:

Äquivalenzklasse	Minimalpolynom
$\{z^1, z^2, z^4\}$	$(x - z^1)(x - z^2)(x - z^4) = x^3 + x + 1 = p(x)$
$\{z^3, z^5, z^6\}$	$(x - z^3)(x - z^5)(x - z^6) = x^3 + x^2 + 1$
$\{z^0\}$	$(x - 1) = x + 1$

Das Produkt der Minimalpolynome ergibt  $x^7 - 1$ . Umgekehrt zerfällt das Kreisteilungspolynom über  $\mathbb{F}_2$  in die Minimalpolynome als irreduzible Faktoren. Das Minimalpolynom zu  $z$  ist genau das primitive Polynom. Wegen  $m = 3$  können die Minimalpolynome bzw. die irreduziblen Faktoren von  $x^7 - 1$  nur die Grade 1 oder 3 haben. Also kann es beispielsweise kein irreduzibles Polynom vom Grad 2 geben, das ein Teiler von  $x^7 - 1$  ist.

Jedes der 6 primitiven Elemente hat die Ordnung 7 und erzeugt somit die multiplikative Gruppe  $\mathbb{F}_8 \setminus \{0\}$ , die hier aus 3 Äquivalenzklassen besteht.  $z^0 = 1$  hat die Ordnung 1. ■

**Beispiel 6.5.**  $\mathbb{F}_{16} = \mathbb{F}_{2^4}$  mit  $n = 15$ . Es gibt  $\varphi(15) = 8$  primitive Elemente und  $\varphi(15)/4 = 2$  primitive Polynome. Nach Tabelle 6.1 wird  $p(x) = x^4 + x + 1$  gewählt. Für das primitive Element  $z$  gilt also  $z^4 + z + 1 = 0$  bzw.  $z^4 = z + 1$ . Durch Potenzierung von  $z$  ergibt sich:

$$\begin{array}{llll}
z^1 & = & & = z \\
z^2 & = & & = z^2 \\
z^3 & = & & = z^3 \\
z^4 & = z + 1 & & = z + 1 \\
z^5 & = z^2 + z & & = z^2 + z \\
z^6 & = z^3 + z^2 & & = z^3 + z^2 \\
z^7 & = z^4 + z^3 & = (z + 1) + z^3 & = z^3 + z + 1 \\
z^8 & = z^4 + z^2 + z & = (z + 1) + z^2 + z & = z^2 + 1 \\
z^9 & = z^3 + z & & = z^3 + z \\
z^{10} & = z^4 + z^2 & = (z + 1) + z^2 & = z^2 + z + 1 \\
z^{11} & = z^3 + z^2 + z & & = z^3 + z^2 + z \\
z^{12} & = z^4 + z^3 + z^2 & = (z + 1) + z^3 + z^2 & = z^3 + z^2 + z + 1 \\
z^{13} & = z^4 + z^3 + z^2 + z & = (z + 1) + z^3 + z^2 + z & = z^3 + z^2 + 1 \\
z^{14} & = z^4 + z^3 + z & = (z + 1) + z^3 + z & = z^3 + 1 \\
z^{15} & = z^4 + z & = (z + 1) + z & = 1 = z^0.
\end{array}$$

Somit gilt für die Komponenten- und Exponentendarstellung:

$$\begin{aligned}
\mathbb{F}_{16} &= \{k_0 + k_1z + k_2z^2 + k_3z^3 \mid k_0, k_1, k_2, k_3 \in \mathbb{F}_2\} \\
&= \{0, 1, z, z^2, z^3, z^4, z^5, z^6, z^7, z^8, z^9, z^{10}, z^{11}, z^{12}, z^{13}, z^{14}\}.
\end{aligned}$$

Nach (6.2.12) hat  $p(x)$  die Nullstellen  $z, z^2, z^4, z^8$  und somit gilt

$$(x - z)(x - z^2)(x - z^4)(x - z^8) = x^4 + x + 1 = p(x).$$

Nach (6.2.13) gilt

$$x^{15} - 1 = (x - 1)(x - z)(x - z^2) \cdots (x - z^{12})(x - z^{13})(x - z^{14}).$$

Nach Satz 6.5 gibt es 8 primitive Elemente:  $z, z^2, z^4, z^7, z^8, z^{11}, z^{13}, z^{14}$ , wovon 4 Nullstellen des primitiven Polynoms sind. Beispielsweise ist  $w = z^3$  kein primitives Element, da damit nicht die gesamte multiplikative Gruppe erzeugt wird, sondern nur eine Untergruppe der Mächtigkeit 5:

$$w^0 = 1, w^1 = z^3, w^2 = z^6, w^3 = z^9, w^4 = z^{12}, w^5 = z^{15} = z^0 = 1.$$

Es gibt 5 Äquivalenzklassen, die zusammen mit  $[0]$  eine disjunkte Zerlegung von

$\mathbb{F}_{16}$  bilden:

Äquiv.klasse	Minimalpolynom
$\{z^1, z^2, z^4, z^8\}$	$(x - z^1)(x - z^2)(x - z^4)(x - z^8) = x^4 + x + 1 = p(x)$
$\{z^7, z^{11}, z^{13}, z^{14}\}$	$(x - z^7)(x - z^{11})(x - z^{13})(x - z^{14}) = x^4 + x^3 + 1$
$\{z^3, z^6, z^9, z^{12}\}$	$(x - z^3)(x - z^6)(x - z^9)(x - z^{12}) = x^4 + x^3 + x^2 + x + 1$
$\{z^5, z^{10}\}$	$(x - z^5)(x - z^{10}) = x^2 + x + 1$
$\{z^0\}$	$(x - 1) = x + 1$

Das Produkt der Minimalpolynome ergibt  $x^{15} - 1$ . Umgekehrt zerfällt das Kreisteilungspolynom über  $\mathbb{F}_2$  in die Minimalpolynome als irreduzible Faktoren. Das erste Minimalpolynom zu  $z$  ist genau das primitive Polynom. Auch das zweite Minimalpolynom  $x^4 + x^3 + 1$  ist ein primitives Polynom, was ebenfalls in Tabelle 6.1 vermerkt sein könnte. Das dritte Minimalpolynom  $x^4 + x^3 + x^2 + x + 1$  ist zwar irreduzibel, aber kein primitives Polynom. Dazu sei  $w$  eine Nullstelle, beispielsweise  $w = z^3$  oder  $w = z^6$ , d.h.  $w^4 + w^3 + w^2 + w + 1 = 0$ . Dann gilt:

$$w^4 = w^3 + w^2 + w + 1$$

$$w^5 = w^4 + w^3 + w^2 + w = (w^3 + w^2 + w + 1) + w^3 + w^2 + w = 1 = w^0.$$

Also sind die 15 Elemente  $w^0 = 1, w^1, w^2, \dots, w^{14}$  nicht alle verschieden wie in Satz 6.3 gefordert. Wegen  $m = 4$  können die Minimalpolynome bzw. die irreduziblen Faktoren von  $x^{15} - 1$  nur die Grade 1 oder 2 oder 4 haben.

Die 8 Elemente aus den ersten beiden Äquivalenzklassen haben als primitive Elemente die Ordnung 15, beispielsweise gilt für die von  $z^8$  erzeugte multiplikative Gruppe:

$$\begin{aligned} \langle z^8 \rangle &= \{z^8, z^{16}, z^{24}, z^{32}, z^{40}, z^{48}, z^{56}, z^{64}, z^{72}, z^{80}, z^{88}, z^{96}, z^{104}, z^{112}, z^{120}\} \\ &= \{z^8, z^1, z^9, z^2, z^{10}, z^3, z^{11}, z^4, z^{12}, z^5, z^{13}, z^6, z^{14}, z^7, z^0\} \\ &= \mathbb{F}_{16} \setminus \{0\}. \end{aligned}$$

Die 4 Elemente aus der dritten Äquivalenzklasse haben die Ordnung 5:

$$\langle z^3 \rangle = \langle z^6 \rangle = \langle z^9 \rangle = \langle z^{12} \rangle = \{z^0, z^3, z^6, z^9, z^{12}\}.$$

Die 2 Elemente aus der vierten Äquivalenzklasse haben die Ordnung 3:

$$\langle z^5 \rangle = \langle z^{10} \rangle = \{z^0, z^5, z^{10}\}.$$

$z^0 = 1$  hat die Ordnung 1. Da die Ordnung ein Teiler von  $n = 15$  ist, können also nur die Ordnungen 15 oder 5 oder 3 oder 1 auftreten. ■

**Beispiel 6.6.**  $\mathbb{F}_{64} = \mathbb{F}_{2^6}$  mit  $n = 63$  und  $m = 6$ . Es gibt  $\varphi(63) = 36$  primitive Elemente mit der Ordnung 63 und  $\varphi(63)/6 = 6$  primitive Polynome vom Grad 6. Alle weiteren Minimalpolynome können nur die Grade 3 oder 2 oder 1 haben. Die Ordnungen der nicht primitiven Elemente müssen Teiler von  $63 = 3 \cdot 3 \cdot 7$  sein, d.h. also 21 oder 9 oder 7 oder 3 oder 1. Durch einfache Rechnungen ergibt sich:

Äquivalenzklasse	Ordnung
$z^1, z^2, z^4, z^8, z^{16}, z^{32}$	63
$z^5, z^{10}, z^{20}, z^{40}, z^{17}, z^{34}$	63
$z^{11}, z^{22}, z^{44}, z^{25}, z^{50}, z^{37}$	63
$z^{13}, z^{26}, z^{52}, z^{41}, z^{19}, z^{38}$	63
$z^{23}, z^{46}, z^{29}, z^{58}, z^{53}, z^{43}$	63
$z^{31}, z^{62}, z^{61}, z^{59}, z^{55}, z^{47}$	63
$z^3, z^6, z^{12}, z^{24}, z^{48}, z^{33}$	21
$z^{15}, z^{30}, z^{60}, z^{57}, z^{51}, z^{39}$	21
$z^7, z^{14}, z^{28}, z^{56}, z^{49}, z^{35}$	9
$z^9, z^{18}, z^{36}$	7
$z^{27}, z^{54}, z^{45}$	7
$z^{21}, z^{42}$	3
$z^0$	1

Die Tabelle kann so erstellt werden: Zu allen  $z$ -Potenzen werden die Äquivalenzklassen berechnet. Es ergeben sich 13 Äquivalenzklassen, die alle 63 Elemente ungleich Null enthalten. Die 36 zu  $n = 63$  teilerfremden  $z$ -Potenzen ergeben die primitiven Elemente. Die restlichen 7 Äquivalenzklassen haben kleinere Ordnungen als 63, die durch Berechnung der erzeugten multiplikativen Gruppen ermittelt werden. ■

## 6.5 Spektraltransformation auf Galoisfeldern

Vorausgesetzt wird weiterhin ein Galoisfeld  $\mathbb{F}_{p^m}$  mit einem primitiven Element  $z$ . Die nachfolgend definierte Transformation auf  $\mathbb{F}_{p^m}$  mit der dadurch festgelegten Länge  $n = p^m - 1 = q - 1$  entspricht sowohl formal wie von ihren Eigenschaften her der gewöhnlichen diskreten Fouriertransformation im Bereich der komplexen Zahlen. Unbedingt notwendig ist das Konzept dieser Transformation nicht (sie braucht weder im Encoder noch im Decoder realisiert zu werden), aber das Verständnis und die Beschreibung werden dadurch enorm vereinfacht. Die

spektrale Beschreibung von RS- und BCH-Codes wurde ca. 1980 von Blahut verbreitet.

**Definition 6.4.** Betrachte zwei Polynome vom Grad  $\leq n - 1 = p^m - 2$  mit Koeffizienten aus  $\mathbb{F}_p^m$ :

$$\mathbf{a} = (a_0, \dots, a_{n-1}) \leftrightarrow a(x) = \sum_{\mu=0}^{n-1} a_{\mu} x^{\mu},$$

$$\mathbf{A} = (A_0, \dots, A_{n-1}) \leftrightarrow A(x) = \sum_{\mu=0}^{n-1} A_{\mu} x^{\mu}.$$

$A(x)$  heißt diskrete Fouriertransformierte (DFT) von  $a(x)$  mit der Schreibweise  $A = \text{DFT}(a)$  bzw.  $a(x)$  heißt inverse diskrete Fouriertransformierte (IDFT) von  $A(x)$  mit der Schreibweise  $\mathbf{a} = \text{IDFT}(\mathbf{A})$ , wenn gilt ( $0 \leq i \leq n - 1$ ):

$$A_i = a(z^i) = \sum_{\mu=0}^{n-1} a_{\mu} z^{i\mu} \quad , \quad a_i = -A(z^{-i}) = -\sum_{\mu=0}^{n-1} A_{\mu} z^{-i\mu}. \quad (6.5.1)$$

Schreibweise:

$$\text{“Zeitbereich” } a(x) \quad \circ \text{---} \bullet \quad A(x) \quad \text{“Frequenzbereich”}.$$

Es ist zwischen den Nullstellen der Polynome und den Nullkomponenten der Vektoren zu unterscheiden. Für den Zusammenhang gilt:

$$\begin{aligned} z^i \text{ ist Nullstelle von } a(x) &\iff \text{die } i\text{-te Komponente von } \mathbf{A} \text{ ist Null} \\ z^{-i} \text{ ist Nullstelle von } A(x) &\iff \text{die } i\text{-te Komponente von } \mathbf{a} \text{ ist Null.} \end{aligned}$$

Weiter gilt (mit  $\circ$  ist die Hintereinanderausführung gemeint):

$$\text{IDFT} \circ \text{DFT} = \text{Identität} \quad (6.5.2)$$

$$\text{DFT} \circ \text{DFT} : (a_0, a_1, \dots, a_{n-1}) \mapsto -(a_0, a_{n-1}, \dots, a_1) \quad (6.5.3)$$

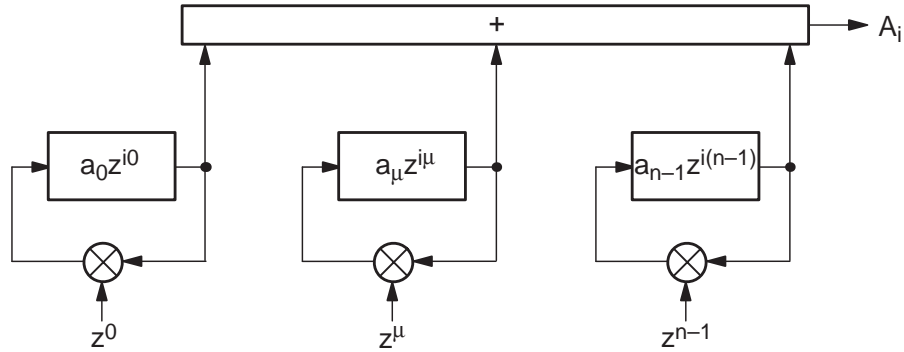
$$\text{DFT} \circ \text{DFT} \circ \text{DFT} \circ \text{DFT} = \text{Identität}. \quad (6.5.4)$$

Beweis: “(6.5.2)”: Es gilt

$$\begin{aligned} -A(z^{-i}) &= -\sum_{\mu=0}^{n-1} A_{\mu} z^{-i\mu} = -\sum_{\mu=0}^{n-1} \left( \sum_{\nu=0}^{n-1} a_{\nu} z^{\mu\nu} \right) z^{-i\mu} \\ &= -\sum_{\nu=0}^{n-1} a_{\nu} \left( \sum_{\mu=0}^{n-1} z^{(\nu-i)\mu} \right) = a_i, \end{aligned}$$

denn die innere Summe hat für  $\nu = i$  den Wert  $1 + \dots + 1 = n = p^m - 1 = -1$  (modulo  $p$ ) und für  $\nu \neq i$  nach der geometrischen Summenformel den Wert  $(z^{(\nu-i)n} - 1)/(z^{\nu-i} - 1) = 0$ . Entsprechend wird (6.5.3) nachgewiesen und daraus folgt direkt (6.5.4). ■

Die Schieberegister-Implementierung der DFT zeigt Bild 6.1: Zu Beginn ist das Register mit den Zeitkomponenten  $a_0, \dots, a_{n-1}$  vorbelegt. Im  $i$ -ten Schritt enthält der  $\mu$ -te Speicher den Wert  $a_\mu z^{i\mu}$  und die Summe dieser Werte über  $\mu$  ergibt die Frequenzkomponente  $A_i$ .



**Bild 6.1.** Schieberegister-Implementierung der DFT

Die Transformationen können auch mit Matrizen beschrieben werden:

$$\begin{pmatrix} A_0 \\ A_1 \\ A_2 \\ \vdots \\ A_{n-1} \end{pmatrix} = \underbrace{\begin{pmatrix} 1 & 1 & 1 & \dots & 1 \\ 1 & z^1 & z^2 & \dots & z^{n-1} \\ 1 & z^2 & z^4 & \dots & z^{2(n-1)} \\ \vdots & \vdots & \vdots & & \vdots \\ 1 & z^{n-1} & z^{2(n-1)} & \dots & z^{(n-1)^2} \end{pmatrix}}_{\mathbf{T}_{\text{DFT}}} \cdot \begin{pmatrix} a_0 \\ a_1 \\ a_2 \\ \vdots \\ a_{n-1} \end{pmatrix}, \quad (6.5.5)$$

$$\begin{pmatrix} a_0 \\ a_1 \\ a_2 \\ \vdots \\ a_{n-1} \end{pmatrix} = - \underbrace{\begin{pmatrix} 1 & 1 & 1 & \dots & 1 \\ 1 & z^{-1} & z^{-2} & \dots & z^{-(n-1)} \\ 1 & z^{-2} & z^{-4} & \dots & z^{-2(n-1)} \\ \vdots & \vdots & \vdots & & \vdots \\ 1 & z^{-(n-1)} & z^{-2(n-1)} & \dots & z^{-(n-1)^2} \end{pmatrix}}_{\mathbf{T}_{\text{IDFT}}} \cdot \begin{pmatrix} A_0 \\ A_1 \\ A_2 \\ \vdots \\ A_{n-1} \end{pmatrix}. \quad (6.5.6)$$

**Beispiel 6.7.**  $\mathbb{F}_5$  mit  $n = 4$  (Rechnen modulo 5, also  $-1 = 4$ ). Als primitives Element wird  $z = 3$  verwendet:  $z^2 = 4$ ,  $z^3 = 2$ ,  $z^4 = 1 = z^0$ . Für die Transformationsmatrizen gilt:

$$\mathbf{T}_{\text{IDFT}} = - \begin{pmatrix} 1 & 1 & 1 & 1 \\ 1 & 2 & 4 & 3 \\ 1 & 4 & 1 & 4 \\ 1 & 3 & 4 & 2 \end{pmatrix}, \quad \mathbf{T}_{\text{DFT}} = \begin{pmatrix} 1 & 1 & 1 & 1 \\ 1 & 3 & 4 & 2 \\ 1 & 4 & 1 & 4 \\ 1 & 2 & 4 & 3 \end{pmatrix}.$$

Entsprechend (6.5.2) und (6.5.3) gilt:

$$\mathbf{T}_{\text{IDFT}} \cdot \mathbf{T}_{\text{DFT}} = \begin{pmatrix} 1 & 0 & 0 & 0 \\ 0 & 1 & 0 & 0 \\ 0 & 0 & 1 & 0 \\ 0 & 0 & 0 & 1 \end{pmatrix}, \quad \mathbf{T}_{\text{DFT}}^2 = - \begin{pmatrix} 1 & 0 & 0 & 0 \\ 0 & 0 & 0 & 1 \\ 0 & 0 & 1 & 0 \\ 0 & 1 & 0 & 0 \end{pmatrix}.$$

Betrachte folgendes Zahlenbeispiel:

$$\begin{array}{l} a(x) = 1 + 2x + 3x^3 \leftrightarrow (1, 2, 0, 3) = \mathbf{a} \\ \circ \\ \bullet \\ A(x) = 1 + 3x + x^2 + 4x^3 \leftrightarrow (1, 3, 1, 4) = \mathbf{A} \end{array} \quad \begin{array}{c|cc|c|c|c} i & \text{Register} & & & A_i \\ \hline 0 & 1 & 2 & 0 & 3 & 1 \\ 1 & 1 & 1 & 0 & 1 & 3 \\ 2 & 1 & 3 & 0 & 2 & 1 \\ 3 & 1 & 4 & 0 & 4 & 4 \\ \hline & 1 & 3 & 4 & 2 & \\ & \text{Faktoren} & & & & \end{array}$$

Die Darstellung rechts zeigt die jeweilige Belegung des Schieberegisters. ■

**Satz 6.8.** Die zyklische Faltung geht durch Fourier-Transformation in die komponentenweise Multiplikation über. Zur genaueren Formulierung werden die Zeit-Frequenz-Paare  $a(x) \circ \bullet A(x)$ ,  $b(x) \circ \bullet B(x)$ ,  $c(x) \circ \bullet C(x)$  betrachtet. Dann gilt:

$$c(x) = R_{x^n-1}[a(x)b(x)] \iff C_i = A_i B_i, \tag{6.5.7}$$

$$C(x) = R_{x^n-1}[A(x)B(x)] \iff c_i = -a_i b_i.$$

Speziell gilt für die zyklische Verschiebung:

$$c(x) = R_{x^n-1}[xa(x)] \iff C_i = z^i A_i, \tag{6.5.8}$$

$$C(x) = R_{x^n-1}[xA(x)] \iff c_i = z^{-i} a_i.$$

Die Polynom-Multiplikation modulo  $x^n - 1$  in (6.5.7) entspricht natürlich der zyklischen Faltung der Polynomkoeffizienten:

$$c(x) = R_{x^n-1}[a(x)b(x)] \iff c_i = \sum_{\mu=0}^{n-1} a_\mu b_{R_n[i-\mu]}. \tag{6.5.9}$$

Beweis: “(6.5.7)”: Es gilt  $c(x) = a(x)b(x) + \alpha(x)(x^n - 1)$  und somit

$$C_i = c(z^i) = a(z^i)b(z^i) + \alpha(z^i)(z^{in} - 1) = A_i B_i + \alpha(z^i)(1 - 1) = A_i B_i.$$

“(6.5.8)”: folgt sofort mit  $b(x) = x$  und  $B_i = b(z^i) = z^i$ .  $\blacksquare$

Der folgende Satz bildet die Grundlage zur Ableitung der BCH-Codes aus den RS-Codes. Die Einschränkung der Zeitbereichs-Koeffizienten auf den Primkörper kann durch die Frequenzbereichs-Koeffizienten eindeutig charakterisiert werden:

**Satz 6.9.** *Sei  $a(x) \circ \bullet A(x)$  mit beliebigen Koeffizienten aus  $\mathbb{F}_{p^m}$ . Dann gibt es eine hinreichende und notwendige Bedingung dafür, daß  $a(x)$  nur Koeffizienten aus dem Primkörper  $\mathbb{F}_p$  hat:*

$$\begin{aligned} a(x) \in \mathbb{F}_p[x] &\iff A_i^p = A_{ip \bmod n} \quad \text{für } 0 \leq i \leq n-1 & (6.5.10) \\ &\iff a(z^i)^p = a(z^{ip}) \quad \text{für } 0 \leq i \leq n-1. \end{aligned}$$

Beweis: Die untere Äquivalenz ist wegen  $A_i^p = a(z^i)^p$  und  $A_{ip \bmod n} = a(z^{ip})$  unmittelbar klar.

“ $\Rightarrow$ ”: Für  $a(x) \in \mathbb{F}_p[x]$  gilt nach Satz 6.4(4)  $a(x)^p = a(x^p)$  und daraus folgt direkt  $a(z^i)^p = a(z^{ip})$ .

“ $\Leftarrow$ ”: Nach Satz 6.4(3) gilt

$$a(z^i)^p = \left( \sum_{\mu=0}^{n-1} a_\mu z^{i\mu} \right)^p = \sum_{\mu=0}^{n-1} a_\mu^p z^{i\mu p}$$

und nach Voraussetzung gilt:

$$a(z^i)^p = a(z^{ip}) = \sum_{\mu=0}^{n-1} a_\mu z^{i\mu p}.$$

Im Unterschied zum Beweisgang bei Satz 6.7 kann durch Koeffizientenvergleich nicht direkt  $a_\mu^p = a_\mu$  gefolgert werden, sondern erst mit folgender Überlegung: Klar ist zunächst

$$\sum_{\mu=0}^{n-1} (a_\mu^p - a_\mu) z^{\mu ip} = 0 \quad \text{für } 0 \leq i \leq n-1.$$

Da  $p$  und  $n = p^m - 1$  teilerfremd sind, ist mit  $z$  nach Satz 6.5 auch  $z^p$  primitives Element. Für jedes  $l \in \{0, \dots, n-1\}$  existiert also ein  $i \in \{0, \dots, n-1\}$  mit  $z^l = (z^p)^i$  und somit folgt:

$$\sum_{\mu=0}^{n-1} (a_\mu^p - a_\mu) z^{\mu l} = 0 \quad \text{für } 0 \leq l \leq n-1.$$

Also ist die DFT von  $a_\mu^p - a_\mu$  identisch Null und somit muß auch  $a_\mu^p - a_\mu = 0$  sein. Nach Satz 6.4(2) folgt schließlich  $a_\mu \in \mathbb{F}_p$ .  $\blacksquare$

# 7. Reed-Solomon und Bose-Chaudhuri-Hocquenghem Codes

Die in den vorangehenden Kapiteln eingeführten Codeklassen können schnell aufgezählt werden: Hamming-Codes und dazu duale Simplex-Codes, Wiederholungscodes und dazu duale Parity Check Codes, CRC-Codes zur Fehlererkennung, Fire-Codes sowie einige weitere Codes zur Korrektur eines Bündelfehlers. Ein analytisches Konstruktionsverfahren für wirklich gute Codes wurde bisher noch nicht angegeben.

In diesem Kapitel werden nun mit den RS- und BCH-Codes zwei Klassen von sehr leistungsfähigen Codes eingeführt, die ca. 1960 entdeckt wurden. Diese Codes zählen auch heute noch zu den besten bekannten Codes, die zunehmend in Systemen zur Nachrichtenübertragung eingesetzt werden. Insgesamt können folgende Vorteile hervorgehoben werden:

- Die beiden Codeklassen können analytisch geschlossen konstruiert werden. Die RS-Codes sind MDS-Codes, d.h. es gilt Gleichheit in der Singleton-Schranke.
- Die Minimaldistanz ist bekannt bzw. wird als Entwurfsparameter vorgegeben. Bei den RS-Codes ist sogar die gesamte Gewichtsverteilung exakt bekannt.
- Sowohl die RS- wie die BCH-Codes sind sehr leistungsfähig, sofern die Blocklänge nicht sehr groß wird.
- Es ist eine Anpassung an die Fehlerstruktur des Kanals möglich: Die RS-Codes sind besonders für Bündelfehler und die BCH-Codes sind besonders für Einzelfehler geeignet.
- Die Decodierung nach dem BMD-Prinzip kann rechentechnisch sehr einfach erfolgen. Zwar gibt es etliche Codes mit einfacheren Decodern, die aber die anderen Vorteile der RS- und BCH-Codes nicht aufweisen.
- Ohne wesentlichen Mehraufwand kann simple Soft-Decision-Information (Ausfallstellen-Information) im Decoder verarbeitet werden.

- Die RS- und BCH-Codes bilden die Grundlage für das Verständnis vieler anderer Codeklassen, die hier nicht behandelt werden.

Zunächst werden die RS-Codes als wichtigste Klasse der MDS-Codes über die Spektraltransformation eingeführt und daraus wird die Beschreibung mit dem Generatorpolynom abgeleitet. Danach werden die BCH-Codes als spezielle RS-Codes eingeführt, indem der Wertebereich im Zeitbereich auf den Primkörper reduziert wird. Auch die Decodierung kann mit den spektralen Methoden sehr kompakt und übersichtlich beschrieben werden. Die RS- und die BCH-Codes werden hier nur für die sogenannte *primitive Blocklänge*

$$n = p^m - 1 = q - 1$$

definiert. Bei RS-Codes ist damit die Blocklänge genau um ein Symbol kürzer als die Stufenzahl der Symbole.

Allgemein wird ein Galoisfeld  $\mathbb{F}_{p^m}$  mit einem primitiven Element  $z$  vorausgesetzt und für die Spektraltransformation wird weiterhin  $a(x) \leftrightarrow A(x)$  geschrieben.

## 7.1 Definition der RS-Codes

**Definition 7.1 (RS-Code).** Für beliebiges  $p$  und  $m$  und eine beliebige sogenannte Entwurfsdistanz  $d = d_{\min}$  ist ein Reed-Solomon-Code mit primitiver Blocklänge definiert als ein  $(n, k, d_{\min})_q = (p^m - 1, p^m - d, d)_q$ -Code. Üblicherweise wird  $d = 2t + 1$  als ungerade vorgegeben und dann gilt

$$n - k = d - 1 = 2t \quad (7.1.1)$$

für die Anzahl der Prüfstellen. Der Code besteht aus allen Zeitwörtern  $(a_0, \dots, a_{n-1}) \leftrightarrow a(x)$  mit Koeffizienten aus  $\mathbb{F}_{p^m}$ , so daß die zugehörigen Frequenzwörter  $(A_0, \dots, A_{n-1}) \leftrightarrow A(x)$  an  $n - k = d - 1$  zyklisch aufeinanderfolgenden Stellen Null sind. Diese Stellen werden auch als Paritätsfrequenzen bezeichnet. Zur exakten Beschreibung ist ein weiterer Parameter  $l$  vorzugeben und dann hat der Code die Form

$$\mathcal{C} = \left\{ a(x) \mid A(x) = R_{x^n-1}[x^{l+d-1}B(x)] \text{ mit } \text{Grad } B(x) \leq n - d \right\}. \quad (7.1.2)$$

Also gilt  $A_l = A_{l+1} = \dots = A_{l+d-2} = 0$  für die  $d - 1$  Paritätsfrequenzen und an den restlichen  $n - d + 1$  Stellen kann  $A_i$  beliebige Werte annehmen. Speziell für  $l = 1$  gilt

$$\mathcal{C} = \left\{ a(x) \mid a(z^1) = a(z^2) = \dots = a(z^{d-1}) = 0 \right\} \quad (7.1.3)$$

und für  $l = n + 1 - d$  gilt

$$\mathcal{C} = \left\{ a(x) \mid \text{Grad } A(x) \leq n - d \right\}. \quad (7.1.4)$$

Der wesentliche Entwurfsparameter neben  $p$  und  $m$  ist natürlich  $d$ . Dagegen ist  $l$  von untergeordneter Bedeutung, da damit lediglich eine Verschiebung im Frequenzbereich bzw. eine “Modulation” im Zeitbereich gemäß (6.5.8) verbunden ist. Allerdings können durch geeignete Wahl von  $l$  gewisse Realisierungsvereinfachungen wie beispielsweise spiegelsymmetrische Generatorpolynome erreicht werden. Für die Anzahl der Codewörter gilt:

$$|\mathcal{C}| = q^k = q^{q-d} = p^{m(p^m-d)}. \quad (7.1.5)$$

**Beispiel 7.1.** Sei  $q = 2^m$  und  $n = 2^m - 1$ . Speziell für  $d = 2^{m-1}$  ergibt sich die Coderate als

$$R = \frac{k}{n} = \frac{2^m - 2^{m-1}}{2^m - 1} \approx \frac{1}{2}.$$

Für  $m = 8$  resultiert ein  $(255, 128, 128)_{256}$ -Code, der auch als ein binärer  $(2040, 1024, 128)_2$ -Code aufgefaßt werden kann. Die Anzahl der Codewörter beträgt  $256^{128} = 2^{1024} \approx 10^{308}$ , d.h. schon bei einem primitiven Polynom vom Grad 8 ergibt sich in dieser Weise eine astronomische Anzahl von Codewörtern. Jeweils zwei Byte-Codewörter unterscheiden sich für mindestens 128 Bytes (Symbole). Bei der binären Interpretation folgt daraus aber nur ein Unterschied von 128 Bits, denn zwei Bytes unterscheiden sich schon dann, wenn die beiden 8-Bit-Gruppen sich nur bei einem einzigen Bit unterscheiden. ■

**Satz 7.1.** *RS-Codes sind zyklische MDS-Codes, d.h. die Entwurfsdistanz entspricht der Minimaldistanz und es gilt  $d_{\min} = d = n - k + 1 = p^m - k$ .*

Beweis: “Linearität”: ist offensichtlich.

“Zyklisch”: Sei  $a(x) \in \mathcal{C}$  und  $c(x) = R_{x^{n-1}}[xa(x)]$  die zyklische Verschiebung. Nach Satz 6.8 gilt  $C_i = z^i A_i$  und somit  $C_i = 0 \Leftrightarrow A_i = 0$ . Also folgt  $c(x) \in \mathcal{C}$ .

“MDS”: Sei  $d_{\min}$  die tatsächliche Minimaldistanz und  $d = n - k + 1$  die Entwurfsdistanz. Zu zeigen ist  $d_{\min} = d$ : Nach Satz 3.7 gilt  $d_{\min} \leq n - k + 1 = d$  (Singleton-Schranke). Betrachte nun  $\mathcal{C}$  in der Form (7.1.4) mit Grad  $A(x) \leq n - d$ . Somit hat  $A(x) \neq 0$  höchstens  $n - d$  Nullstellen, d.h. es gibt höchstens  $n - d$  Werte  $z^{-i}$  mit  $a_i = -A(z^{-i}) = 0$ . Also folgt  $w_H(a(x)) \geq d$  und somit  $d_{\min} \geq d$ . Auch für jeden anderen Wert von  $l$  gilt  $d_{\min} = d$ , da die “Modulation” im Zeitbereich die Gewichte nicht verändert. ■

**Satz 7.2.** *Für den RS-Code in der Form (7.1.3) werden das Generatorpolynom und das Prüfpolynom gegeben durch:*

$$g(x) = \prod_{i=1}^{d-1} (x - z^i) \quad , \quad h(x) = \prod_{i=d}^n (x - z^i). \quad (7.1.6)$$

Beweis: Für jedes Codewort gilt  $a(z^i) = 0$  für  $1 \leq i \leq d-1$ . Also ist  $(x - z^i)$  ein Teiler von  $a(x)$ . Damit erweist sich  $a(x)$  als Vielfaches von  $g(x)$ . Da  $g(x)$  den Grad  $d-1 = n-k$  hat, ist  $g(x)$  das Generatorpolynom. Für das Prüfpolynom  $h(x)$  muß  $g(x)h(x) = x^n - 1$  gelten, was nach (6.2.13) erfüllt ist. ■

Die systematische Encodierung kann mit  $g(x)$  bzw.  $h(x)$  gemäß den in Abschnitt 5.4 dargestellten Methoden erfolgen. Eine weitere Alternative ergibt sich direkt aus der spektralen Beschreibung: Eine nicht-systematische Encodierung erfolgt durch inverse Fourier-Transformation, indem die A-Werte als Infostellen im Frequenzbereich vorgegeben werden – eventuell kann das mit FFT-Methoden (Fast Fourier Transform) vereinfacht werden. Von FFT-Methoden abgesehen besteht der Encoder bei dieser Realisierung aus einer additiv verknüpften Kette von  $k$  rückgekoppelten Multiplizierern, die insgesamt  $n$ -mal zu berechnen ist (siehe Bild 6.1). Insgesamt sind also  $nk = n^2R$  Operationen notwendig und die Addiererkette muß sequentiell abgearbeitet werden. Diese IDFT-Methode hat jedoch im Vergleich zu den vier in Abschnitt 5.4 bereits diskutierten Encodier-Methoden keine wesentlichen Vorteile.

Aus  $A_i = a(z^i) = \sum_{\mu=0}^{n-1} a_\mu z^{i\mu} = 0$  für  $1 \leq i \leq d-1$  gemäß (7.1.3) ergibt sich sofort eine  $(n-k, n) = (d-1, n)$ -dim. Prüfmatrix  $\mathbf{H}$ :

$$(a_0, \dots, a_{n-1}) \cdot \underbrace{\begin{pmatrix} 1 & z^1 & z^2 & \dots & z^{n-1} \\ 1 & z^2 & z^4 & \dots & z^{2(n-1)} \\ \vdots & \vdots & \vdots & & \vdots \\ 1 & z^{d-1} & z^{(d-1)2} & \dots & z^{(d-1)(n-1)} \end{pmatrix}}_{\mathbf{H}^T} = (0, \dots, 0). \quad (7.1.7)$$

Für die Decodierung wird die Prüfmatrix aber nicht explizit benötigt.

**Beispiel 7.2.** Sei  $p = 2$ ,  $m = 3$  und somit  $n = 7$ . Die Arithmetik in  $\mathbb{F}_{2^3}$  erfolgt gemäß Beispiel 6.4. Zur Entwurfsdistanz  $d = 3$  resultiert ein  $(7, 5, 3)_8$ -RS-Code  $\mathcal{C} = \{(a_0, \dots, a_6) \mid A_1 = A_2 = 0\}$ . Nach Satz 7.2 gilt:

$$\begin{aligned} g(x) &= (x - z)(x - z^2) = x^2 + z^4x + z^3, \\ h(x) &= (x - z^3)(x - z^4)(x - z^5)(x - z^6)(x - z^7) \\ &= x^5 + z^4x^4 + x^3 + z^5x^2 + z^5x + z^4. \end{aligned}$$

Für die Generatormatrix gilt nach (5.2.7)

$$\mathbf{G} = \begin{pmatrix} z^3 & z^4 & 1 & & & & \\ & z^3 & z^4 & 1 & & & \\ & & z^3 & z^4 & 1 & & \\ & & & z^3 & z^4 & 1 & \\ & & & & z^3 & z^4 & 1 \end{pmatrix}.$$

Für die Prüfmatrix gilt nach (5.3.3)

$$\mathbf{H}_1 = \begin{pmatrix} 1 & z^4 & 1 & z^5 & z^5 & z^4 & \\ & 1 & z^4 & 1 & z^5 & z^5 & z^4 \end{pmatrix}$$

bzw. nach (7.1.7)

$$\mathbf{H}_2 = \begin{pmatrix} 1 & z^1 & z^2 & z^3 & z^4 & z^5 & z^6 \\ 1 & z^2 & z^4 & z^6 & z^1 & z^3 & z^5 \end{pmatrix}.$$

Durch die elementaren Zeilenoperationen kann  $\mathbf{H}_1$  in  $\mathbf{H}_2$  überführt werden: Dazu multipliziere in  $\mathbf{H}_1$  Zeile 2 mit  $z^2$  und addiere dann Zeile 2 zu Zeile 1:

$$\mathbf{H}_3 = \begin{pmatrix} 1 & z^1 & z^2 & z^3 & z^4 & z^5 & z^6 \\ 0 & z^2 & z^6 & z^2 & 1 & 1 & z^6 \end{pmatrix}.$$

Durch Multiplikation von Zeile 2 mit  $z^2$  und Addition von Zeile 1 zu Zeile 2 ergibt sich schließlich  $\mathbf{H}_2$ . Der Code korrigiert einen Fehler in den 8-stufigen Werten bzw. in den Bittripeln. ■

**Satz 7.3.** *Die Gewichtsverteilung gemäß Definition 3.7 kann für einen beliebigen  $(n, k, d)_q$ -MDS-Code und damit auch für RS-Codes analytisch geschlossen berechnet werden:*

$$\begin{aligned} A_r &= \binom{n}{r} (q-1) \sum_{j=0}^{r-d} (-1)^j \binom{r-1}{j} q^{r-d-j} \\ &= \binom{n}{r} \sum_{j=0}^{r-d} (-1)^j \binom{r}{j} (q^{r-d+1-j} - 1). \end{aligned} \quad (7.1.8)$$

Für den Beweis siehe z.B. [12, 45]. Für die Anzahl der Codewörter mit minimalen Hamminggewicht gilt:

$$A_d = A_{n-k+1} = \binom{n}{d} (q-1).$$

## 7.2 Definition der BCH-Codes

BCH-Codes entstehen aus den RS-Codes dadurch, daß zwar weiterhin die Fourier-Transformation auf  $\mathbb{F}_{p^m}$  betrachtet wird und die Blocklänge weiterhin  $n = p^m - 1$  beträgt, aber die Codesymbole müssen im Primkörper  $\mathbb{F}_p$  statt in  $\mathbb{F}_{p^m}$  liegen. Für den Normalfall  $p = 2$  sind die Codesymbole also Bits und keine Bitgruppen, d.h. BCH-Codes sind normale Binärcodes.

**Definition 7.2 (BCH-Codes).** Für beliebiges  $p$  und  $m$  und eine beliebige Entwurfsdistanz  $d$  ist ein Bose-Chaudhuri-Hocquenghem Code definiert als ein  $(n, k, d_{\min})_p$ -Code mit der primitiven Blocklänge  $n = p^m - 1 = q - 1$  und weiter gilt

$$d_{\min} \geq d \quad , \quad k \leq n + 1 - d_{\min} \leq n + 1 - d. \quad (7.2.1)$$

Bei  $d = 2t + 1$  gilt somit  $n - k \geq 2t$ . Der Code besteht aus allen Zeitwörtern  $(a_0, \dots, a_{n-1}) \leftrightarrow a(x)$  mit Koeffizienten aus  $\mathbb{F}_p$ , so daß die zugehörigen Frequenzwörter  $(A_0, \dots, A_{n-1}) \leftrightarrow A(x)$  an mindestens  $d - 1$  zyklisch aufeinanderfolgenden Stellen Null sind. Üblicherweise wird folgende Lage der Paritätsfrequenzen vorausgesetzt, was als BCH-Code im engeren Sinn (*narrow sense*) bezeichnet wird:

$$\mathcal{C} = \left\{ a(x) \in \mathbb{F}_p[x] \mid a(z^1) = \dots = a(z^{d-1}) = 0 \right\}. \quad (7.2.2)$$

Aus der Vorgabe der Entwurfsdistanz  $d$  ergibt sich die Infoblocklänge bzw. die Coderate sowie die tatsächliche Minimaldistanz nicht direkt, sondern muß erst noch berechnet werden. Der Parameter  $l$  zur Festlegung der Paritätsfrequenzen ist bei den BCH-Codes von größerer Bedeutung als bei den RS-Codes, da bei den BCH-Codes mit  $l$  eventuell sogar  $d_{\min}$  beeinflußt wird. Normalerweise werden jedoch die BCH-Codes im engeren Sinn gemäß (7.2.2) verwendet, weil dann die Anzahl der Prüfstellen meistens minimal ist.

Gegenüber (7.1.3) mit  $a(x) \in \mathbb{F}_{p^m}[x]$  wird in (7.2.2) also  $a(x) \in \mathbb{F}_p[x]$  verlangt, jeweils mit einem Grad  $\leq n - 1$ . Also ist der BCH-Code eine Teilmenge des RS-Codes und somit folgt  $d_{\min, BCH} \geq d_{\min, RS} = d$  und mit der Singleton-Schranke folgt schließlich auch (7.2.1). Die Beziehung  $d_{\min} \geq d$  wird auch als *BCH-Schranke* bezeichnet. Auf die exakte Berechnung von  $d_{\min}$  wird normalerweise verzichtet – oftmals gilt sogar  $d_{\min} = d$  (siehe [45, 53]). Die genaue Berechnung der Infoblocklänge bzw. Dimension  $k$  erfolgt nun mit dem Generatorpolynom:

**Satz 7.4.** Es sei  $z$  primitives Element für das Galoisfeld  $\mathbb{F}_{p^m}$ . Zur Entwurfsdistanz  $d$  wird ein  $(n, k, d_{\min})_p$ -BCH-Code mit  $d_{\min} \geq d$  erzeugt durch das Generatorpolynom

$$\begin{aligned} g(x) &= \text{KGV} \left( f_{[z^1]}(x), \dots, f_{[z^{d-1}]}(x) \right) \\ &= \prod_{b \in \mathcal{M}} (x - b) \quad \text{mit} \quad \mathcal{M} = \bigcup_{i=1}^{d-1} [z^i]. \end{aligned} \quad (7.2.3)$$

Dabei ist  $[z^i] = \{z^{ip^0}, z^{ip^1}, z^{ip^2}, \dots\}$  die Äquivalenzklasse der zu  $z^i$  konjugierten Elemente und

$$f_{[z^i]}(x) = \prod_{b \in [z^i]} (x - b) = \prod_{r=0}^{|[z^i]|-1} (x - z^{ip^r}) \quad (7.2.4)$$

das zugehörige Minimalpolynom. Das Generatorpolynom ist also das kleinste gemeinsame Vielfache der Minimalpolynome zu  $z^1, \dots, z^{d-1}$ . Somit gilt für die Infoblocklänge:

$$k = n - \text{Grad } g(x) = n - \left| \bigcup_{i=1}^{d-1} [z^i] \right| \quad \left( \geq n - \sum_{i=1}^{d-1} |[z^i]| \right). \quad (7.2.5)$$

Beweis: Die Minimalpolynome haben Koeffizienten aus dem Primkörper  $\mathbb{F}_p$  und damit auch das Generatorpolynom. Mit dem Infowortpolynom hat dann auch das Codewortpolynom Koeffizienten aus  $\mathbb{F}_p$ . Je zwei Minimalpolynome in (7.2.3) sind entweder teilerfremd oder identisch. Aus  $a(z^i) = A_i = 0$  folgt wie bei den RS-Codes, daß  $g(x)$  die Linearfaktoren  $(x - z^i)$  enthalten muß bzw. daß  $g(x)$  ein Vielfaches von  $\prod_{i=1}^{d-1} (x - z^i)$  sein muß. Die Forderung, daß  $a(x)$  nur Koeffizienten aus  $\mathbb{F}_p$  enthalten darf, ist nach Satz 6.9 äquivalent mit der Beziehung  $a(z^i)^p = a(z^{ip})$  für  $0 \leq i \leq n - 1$ . Für  $1 \leq i \leq d - 1$  folgt somit:

$$\begin{aligned} 0 &= a(z^i) \\ 0 &= a(z^i)^p = a(z^{ip}) \\ 0 &= a(z^{ip})^p = a(z^{ip^2}) \\ 0 &= a(z^{ip^2})^p = a(z^{ip^3}) \quad \dots \end{aligned}$$

Also müssen alle  $(x - z^{ip^r})$  mit  $1 \leq i \leq d - 1$  und  $r = 0, 1, 2, \dots$  Linearfaktoren von  $g(x)$  sein, aber jeder Faktor nur einmal. Nach (7.2.3) besteht  $g(x)$  genau aus diesen Faktoren. ■

**Beispiel 7.3.** Wie bei Beispiel 7.2 sei  $p = 2$ ,  $m = 3$  und somit  $n = 7$ . Zur Entwurfsdistanz  $d = 3$  resultiert ein BCH-Code im engeren Sinn mit dem Generatorpolynom

$$g(x) = \text{KGV} \left( f_{[z^1]}(x), f_{[z^2]}(x) \right) = f_{[z]}(x) = x^3 + x + 1,$$

denn nach Beispiel 6.4 gilt  $[z^1] = \{z^1, z^2, z^4\} = [z^2]$  mit  $f_{[z]}(x) = x^3 + x + 1$ . Der BCH-Code erweist sich als ein zyklischer  $(7, 4, 3)_2$ -Hamming-Code, wie der Vergleich mit Beispiel 5.3 zeigt. Zum besseren Verständnis wird die Darstellung im Frequenzbereich jetzt noch genauer betrachtet. Nach Definition 7.2 muß  $A_1 = A_2 = 0$  gelten und nach Satz 6.9 muß  $A_i^2 = A_{2i \text{ modulo } 7}$  gelten, wie bereits im Beweis von Satz 7.4 demonstriert wurde. Daraus folgt:

$$\begin{array}{ll} A_0 = A_{2 \cdot 0} = A_0^2 & \text{impliziert } A_0 \in \{0, 1\} \\ A_3 = A_{2 \cdot 5} = A_5^2 & \\ A_6 = A_{2 \cdot 3} = A_3^2 & A_3 \text{ bestimmt } A_6 \\ A_5 = A_{2 \cdot 6} = A_6^2 = A_3^4 & A_3 \text{ bestimmt } A_5 \\ A_1 = A_{2 \cdot 4} = A_4^2 & A_1 = 0 \text{ nach Definition} \\ A_2 = A_{2 \cdot 1} = A_1^2 & A_2 = 0 \text{ nach Definition} \\ A_4 = A_{2 \cdot 2} = A_2^2 & \text{impliziert } A_4 = 0. \end{array}$$

Somit gilt für die Codewörter im Frequenzbereich:

$$\mathcal{C} \circ \bullet \{(A_0, 0, 0, A_3, 0, A_3^4, A_3^2) \mid A_0 \in \mathbb{F}_2, A_3 \in \mathbb{F}_8\}.$$

Mit  $A_0 \in \mathbb{F}_2$  (1 Bit) und  $A_3 \in \mathbb{F}_{2^3}$  (3 Bit) können 4 Bits im Frequenzbereich frei vorgegeben werden, was natürlich den  $k = 4$  Infobits im Zeitbereich entspricht. Die folgende Tabelle zeigt für die 16 Codewörter des zyklischen Hamming-Codes aus Beispiel 5.1 die jeweiligen Frequenzwörter:

$a(x)$	$A(x)$
0 0 0 0 0 0 0	0 0 0 0 0 0 0
1 1 1 1 1 1 1	1 0 0 0 0 0 0
1 1 0 1 0 0 0	1 0 0 $z^4$ 0 $z^2$ $z$
0 1 1 0 1 0 0	1 0 0 1 0 1 1
0 0 1 1 0 1 0	1 0 0 $z^3$ 0 $z^5$ $z^6$
0 0 0 1 1 0 1	1 0 0 $z^6$ 0 $z^3$ $z^5$
1 0 0 0 1 1 0	1 0 0 $z^2$ 0 $z$ $z^4$
0 1 0 0 0 1 1	1 0 0 $z^5$ 0 $z^6$ $z^3$
1 0 1 0 0 0 1	1 0 0 $z$ 0 $z^4$ $z^2$
1 1 1 0 0 1 0	0 0 0 $z^6$ 0 $z^3$ $z^5$
0 1 1 1 0 0 1	0 0 0 $z^2$ 0 $z$ $z^4$
1 0 1 1 1 0 0	0 0 0 $z^5$ 0 $z^6$ $z^3$
0 1 0 1 1 1 0	0 0 0 $z$ 0 $z^4$ $z^2$
0 0 1 0 1 1 1	0 0 0 $z^4$ 0 $z^2$ $z$
1 0 0 1 0 1 1	0 0 0 1 0 1 1
1 1 0 0 1 0 1	0 0 0 $z^3$ 0 $z^5$ $z^6$

Offensichtlich ist  $A_0 \in \mathbb{F}_2$ ,  $A_3 \in \mathbb{F}_8$ ,  $A_6 = A_3^2$  und  $A_5 = A_6^2$  erfüllt. Alle 16 Frequenzwörter der Form  $(A_0, 0, 0, A_3, 0, A_3^4, A_3^2)$  treten in der Tabelle auf. Bei der zyklischen Verschiebung von Zeile zu Zeile wird  $A_i$  jeweils mit  $z^i$  multipliziert. ■

**Beispiel 7.4.** Vergleich von RS- und BCH-Code bezüglich der Fehlerkorrekturfähigkeit: Es existiert ein  $(15, 11, 5)_{16}$ -RS-Code, der 2 Symbolfehler korrigieren kann. In der binären Interpretation resultiert ein  $(60, 44, 5)_2$ -Code, für den beispielsweise gilt:

$$\begin{aligned} e &= 0000\ 1111\ 1111\ 0000\ 0000\ \dots && \text{korrigierbar} \\ e &= 0000\ 0001\ 1111\ 1000\ 0000\ \dots && \text{nicht korrigierbar} \\ e &= 0000\ 0001\ 0010\ 1000\ 0000\ \dots && \text{nicht korrigierbar.} \end{aligned}$$

Jeder Bündelfehler bis zur Länge 5 ist korrigierbar, von den Bündelfehlern der Länge 6 bzw. 7 bzw. 8 sind 75% bzw. 50% bzw. 25% korrigierbar. Jedoch sind 3 Einzelfehler nicht korrigierbar. Somit ist die Minimaldistanz in der binären Interpretation weiterhin 5 (im Einzelfall könnten etwas größere Werte auftreten, was aber nicht gesichert ist).

In Tabelle 7.1 werden die binären BCH-Codes im engeren Sinn zur Korrektur von  $t$  Fehlern aufgelistet, und zwar vollständig für die primitiven Blocklängen  $n = 7, 15, 31, 63, 127, 255$  und teilweise für die Blocklängen  $n = 511, 1023$ . Dabei gilt natürlich  $2t + 1 \leq d \leq d_{\min} \leq n - k + 1$ . Komplette Listen finden sich beispielsweise in [49, 53, 75, 80].

**Tabelle 7.1.**  $(n, k)_2$ -BCH-Codes zur Korrektur von  $t$  Fehlern (nach [53])

$n$	$k$	$t$	$n$	$k$	$t$	$n$	$k$	$t$	$n$	$k$	$t$
7	4	1	127	85	6	255	123	19	511	403	12
				78	7		115	21		394	13
15	11	1		71	9		107	22		385	14
	7	2		64	10		99	23		.	.
	5	3		57	11		91	25		259	30
				50	13		87	26		.	.
31	26	1		43	14		79	27		130	55
	21	2		36	15		71	29		.	.
	16	3		29	21		63	30		.	.
	11	5		22	23		55	31	1023	1013	1
	6	7		15	27		47	42		1003	2
				8	31		45	43		993	3
63	57	1					37	45		983	4
	51	2	255	247	1		29	47		973	5
	45	3		239	2		21	55		963	6
	39	4		231	3		13	59		953	7
	36	5		223	4		9	63		943	8
	30	6		215	5					933	9
	24	7		207	6	511	502	1		923	10
	18	10		199	7		493	2		913	11
	16	11		191	8		484	3		903	12
	10	13		187	9		475	4		.	.
	7	15		179	10		466	5		768	26
				171	11		457	6		.	.
127	120	1		163	12		448	7		513	57
	113	2		155	13		439	8		.	.
	106	3		147	14		430	9		258	106
	99	4		139	15		421	10		.	.
	92	5		131	18		412	11		.	.

Den Tabellen 7.1 und 7.2 liegt die Entwurfsdistanz  $d = 2t + 1$  zugrunde. Die tatsächliche Minimaldistanz ist unbekannt und kann eventuell wesentlich größer sein. Bei den meisten Decodierverfahren für BCH-Codes kann allerdings eine größere Minimaldistanz gar nicht ausgenutzt werden, da die Decodierung auf den aufeinanderfolgenden Paritätsfrequenzen basiert. Für einige Fälle kann jedoch die Minimaldistanz exakt berechnet werden, wie Satz 7.5 zeigt.

Tabelle 7.2 enthält für einige der BCH-Codes aus Tabelle 7.1 die Generatorpolynome in oktaler Codierung. Für den  $(15, 7)_2$ -BCH-Code mit  $t = 2$  gilt beispielsweise  $721_{\text{oktal}} = 111\ 010\ 001_{\text{dual}} = x^8 + x^7 + x^6 + x^4 + 1$ .

**Tabelle 7.2.** Generatorpolynome für einige  $(n, k)_2$ -BCH-Codes (nach [135])

$n$	$k$	$t$	$g(x)$ oktal
7	4	1	13
15	11	1	23
	7	2	721
	5	3	2467
31	26	1	45
	21	2	3551
	16	3	107657
	11	5	5423325
	6	7	313365047
63	57	1	103
	51	2	12471
	45	3	1701317
	39	4	166623567
	36	5	1033500423
	30	6	157464165547
	24	7	17323260404441
	18	10	1363026512351725
127	120	1	211
	113	2	41567
	106	3	11554743
	99	4	3447023271
	92	5	624730022327
	85	6	130704476322273
	78	7	26230002166130115
	71	9	6255010713253127753
	64	10	1206534025570773100045
	57	11	335265252505705053517721
	50	13	54446512523314012421501421
255	247	1	435
	239	2	267543
	231	3	156720665
	223	4	75626641375
	215	5	23157564726421
	207	6	16176560567636227
	199	7	7633031270420722341
	191	8	2663470176115333714567
	187	9	52755313540001322236351
	179	10	22624710717340432416300455
	171	11	15416214212342356077061630637
	163	12	7500415510075602551574724514601
	155	13	3757513005407665015722506464677633
	147	14	1642130173537165525304165305441011711
	139	15	461401732060175561570722730247453567445
	131	18	215713331471510151261250277442142024165471

**Satz 7.5.** *Betrachte einen  $(n, k)_p$ -BCH-Code mit der primitiven Blocklänge  $n = p^m - 1$ . Wenn die Entwurfsdistanz  $d$  ein Teiler von  $n$  ist, so gilt  $d_{\min} = d$ .*

Beweis: Sei  $n = d \cdot \beta$ . Die Summenformel (5.1.2) für die endliche geometrische Reihe kann wie folgt geschrieben werden:

$$x^n - 1 = x^{d\beta} - 1 = (x^\beta - 1) \cdot \underbrace{\left(1 + x^\beta + x^{2\beta} + \dots + x^{(d-1)\beta}\right)}_{= a(x)}.$$

Für  $i = 1, \dots, d-1$  ist  $0 < i\beta < n$  und somit  $z^{i\beta} \neq 1$ . Da  $z^i$  eine Nullstelle von  $x^n - 1$  ist, aber keine Nullstelle von  $x^\beta - 1$  ist, muß  $a(z^i) = 0$  sein. Wegen  $a(x) \in \mathbb{F}_p[x]$  und  $\text{Grad } a(x) \leq n - 1$  ist  $a(x)$  ein Codewort, das das Hamminggewicht  $d$  hat. Folglich ist  $d_{\min} \leq d$ . Mit der BCH-Schranke  $d_{\min} \geq d$  folgt schließlich  $d_{\min} = d$ . ■

Nach Tabelle 7.1 kann für kleines  $t$  stets  $n - k = m \cdot t$  beobachtet werden. Allgemein wird die notwendige Anzahl der Prüfstellen nach oben begrenzt durch die Anzahl der mindestens zu korrigierenden Fehler:

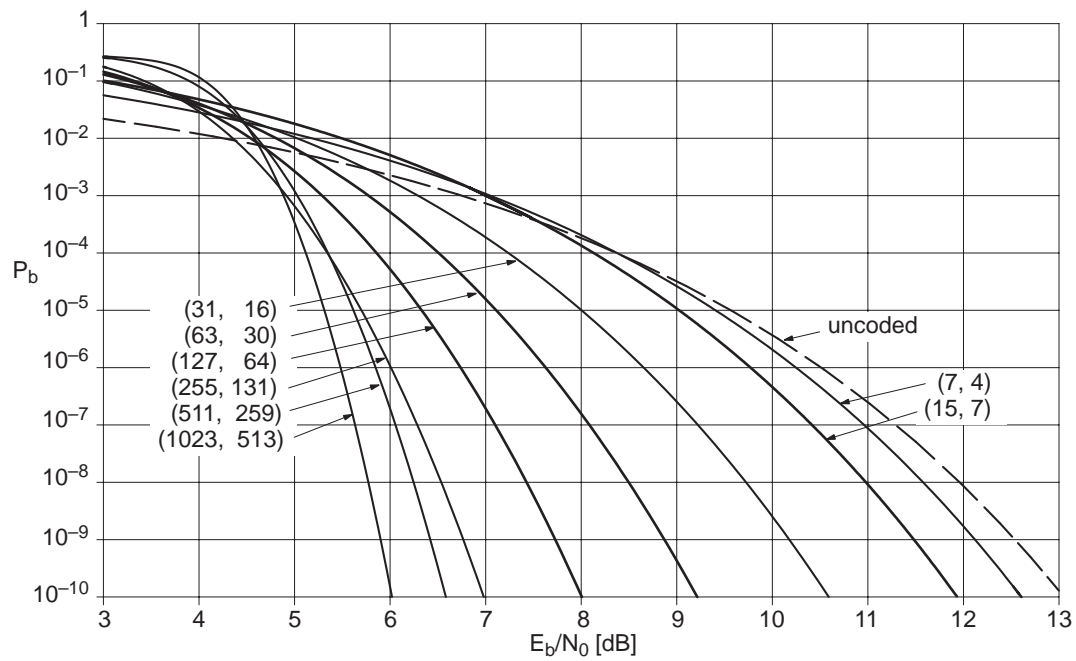
**Satz 7.6.** *Für einen binären  $(n, k)_2$ -BCH-Code mit der primitiven Blocklänge  $n = 2^m - 1$ , der mindestens  $t$  Fehler korrigieren kann, gilt stets*

$$n - k \leq m \cdot t. \quad (7.3.1)$$

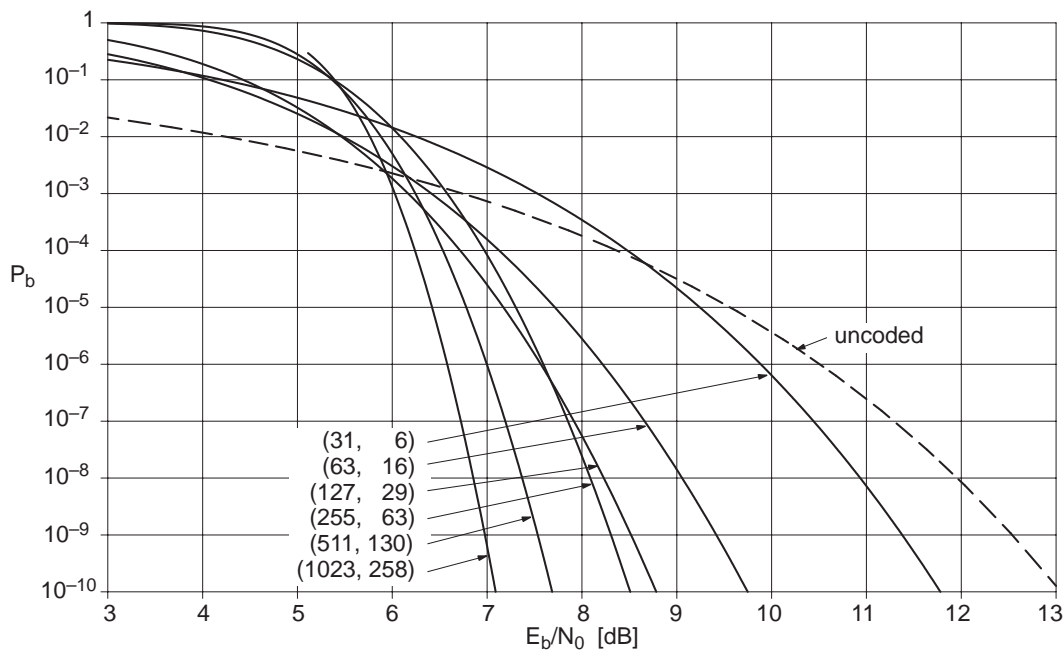
Beweis: Zur Entwurfsdistanz  $d = 2t + 1$  entspricht  $n - k = \text{Grad } g(x)$  der Mächtigkeit von  $\mathcal{M} = \bigcup_{i=1}^{d-1} [z^i] = \bigcup_{i=1}^t \left([z^{2i-1}] \cup [z^{2i}]\right)$ . In  $\mathbb{F}_{2^m}$  sind  $z^i$  und  $z^{2i}$  konjugiert zueinander und somit gilt  $[z^i] = [z^{2i}]$ . Also können zumindest die Äquivalenzklassen  $[z^{2i}]$  entfallen und  $\mathcal{M}$  reduziert sich auf  $\mathcal{M} = \bigcup_{i=1}^t [z^{2i-1}]$ . Nach (6.3.5) gilt  $|[z^{2i-1}]| \leq m$  und somit  $|\mathcal{M}| \leq t \cdot m$ . ■

Aus (7.3.1) mit  $t \approx \frac{d_{\min}}{2}$  folgt  $1 - R \leq \frac{m}{2} \cdot \frac{d_{\min}}{n}$ . Wenn nun näherungsweise Gleichheit gelten würde, dann folgt für  $n \rightarrow \infty$  bzw.  $m \rightarrow \infty$  zwangsläufig  $d_{\min}/n \rightarrow 0$ . Im Sinne von Abschnitt 3.4 sind die BCH-Codes also asymptotisch schlecht. Einen vollständigen Beweis enthält [45].

Die Bilder 7.1 bis 7.3 zeigen die Bit-Fehlerwahrscheinlichkeit von BCH-Codes bei Raten von näherungsweise 1/2, 1/4 und 3/4 bei verschiedenen Blocklängen zwischen 15 und 1023. Dabei wird eine BMD-Decodierung unterstellt, so daß die Kurven nach (3.7.2) berechnet werden können. Offensichtlich führt eine größere Blocklänge zu kleinerer Fehlerrate – zumindest für Blocklängen bis 1023. Der Vergleich der Bilder 7.1 bis 7.3 legt  $R \approx 1/2$  als scheinbar günstigste Coderate nahe. Um dies ganz deutlich zu machen, zeigt Bild 7.4 einige BCH-Codes

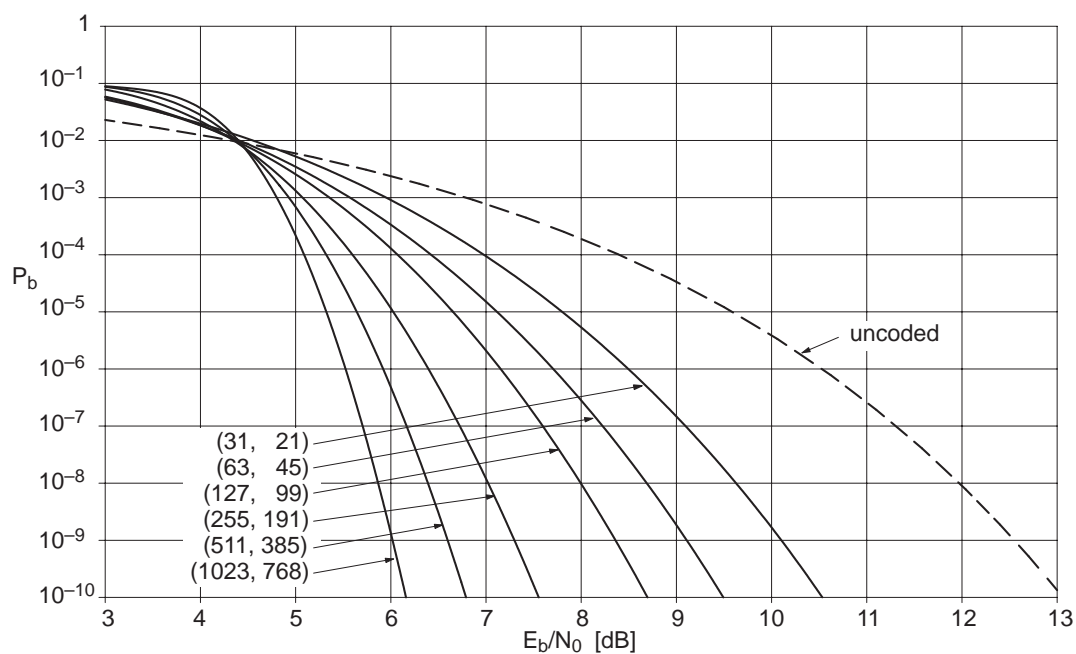
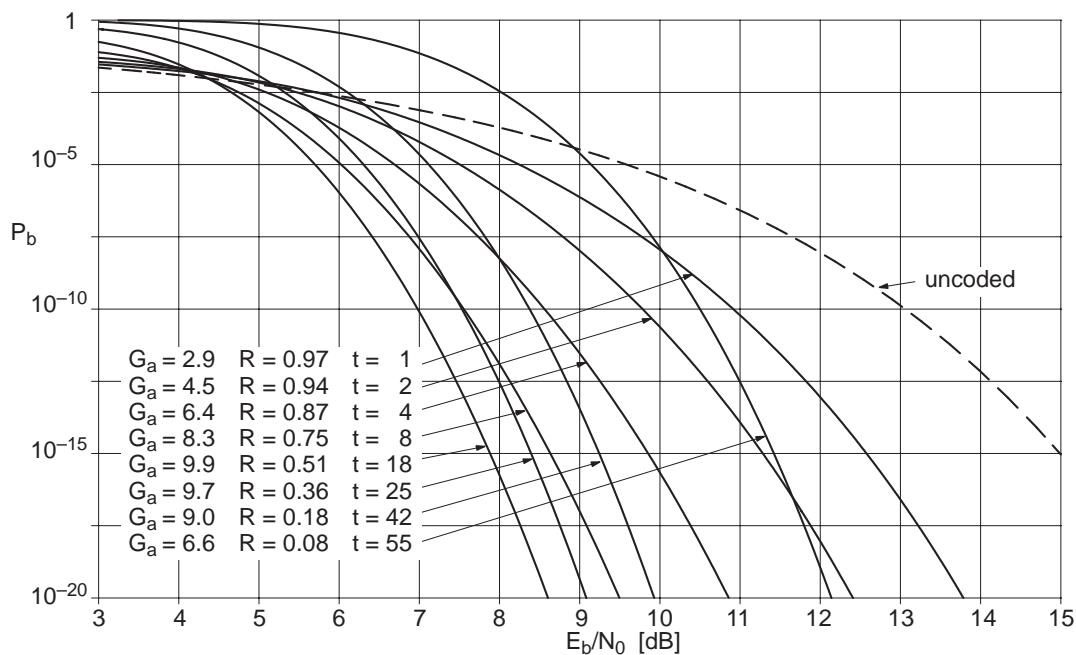


**Bild 7.1.** Fehlerwahrscheinlichkeit der  $R = 1/2$ -BCH-Codes



**Bild 7.2.** Fehlerwahrscheinlichkeit der  $R = 1/4$ -BCH-Codes

verschiedener Raten mit der konstanten Blocklänge  $n = 255$ . Nach der Theorie sind zwar kleine Coderaten am besten (nach Bild 2.4 ist beispielsweise beim Übergang von  $R = 1/2$  auf  $R = 1/10$  ein Gewinn von etwa 1 dB zu erwarten), aber offensichtlich liefert das Konstruktionsprinzip der BCH-Codes bei mittleren

Bild 7.3. Fehlerwahrscheinlichkeit der  $R = 3/4$ -BCH-CodesBild 7.4. Fehlerwahrscheinlichkeit von BCH-Codes verschiedener Raten bei  $n = 255$ 

Raten die besten Ergebnisse.

Der Einfluß der Blocklänge kann anhand der beiden Tabellen 7.3 und 7.4 für die BCH-Codes aus den Bildern 7.1 bis 7.3 noch genauer diskutiert werden.

**Tabelle 7.3.** Asymptotischer Codierungsgewinn  $G_{a,\text{hard}}$  [dB] einiger BCH-Codes

$n$	$R \approx 1/2$	$R \approx 1/4$	$R \approx 3/4$
31	3,1	1,9	3,1
63	5,2	4,8	4,6
127	7,4	7,0	5,9
255	9,9	8,8	8,3
511	12,0	11,5	10,5
1023	14,6	14,3	13,1

**Tabelle 7.4.** Distanzrate  $d/n$  einiger BCH-Codes

$n$	$R \approx 1/2$	$R \approx 1/4$	$R \approx 3/4$
31	0,23	0,48	0,16
63	0,21	0,37	0,11
127	0,17	0,34	0,07
255	0,15	0,24	0,07
511	0,12	0,22	0,06
1023	0,11	0,21	0,05
asympt.GV	0,11	0,21	0,04

Nach Tabelle 7.3 wächst der asymptotische Codierungsgewinn  $G_{a,\text{hard}} = 10 \cdot \log_{10}(R(t+1))$  mit zunehmender Blocklänge, wie es aufgrund der Bilder 7.1 bis 7.3 natürlich auch zu erwarten ist. Gleichzeitig sinkt aber die Distanzrate  $d/n$ , wie es in Tabelle 7.4 dargestellt ist. Kurze BCH-Codes liegen noch weit oberhalb der asymptotischen Gilbert-Varshamov-Schranke, beispielsweise liegen die BCH-Codes mit  $n = 63$  etwa auf der asymptotischen Elias-Schranke (siehe Bild 3.4). Für größeres  $n$  rückt die Distanzrate an die GV-Schranke heran und fällt bei  $n > 1023$  unter die GV-Schranke, so daß sich BCH-Codes auch in dieser Darstellung als asymptotisch schlecht erweisen.

Asymptotisch schlechte Codes mit  $d/n \rightarrow 0$  bei konstanter Rate und  $n \rightarrow \infty$  können natürlich dennoch einen gegen unendlich gehenden Codierungsgewinn haben, denn

$$G_{a,\text{hard}} \approx 10 \cdot \log_{10} \left( \frac{R}{2} \cdot \frac{d}{n} \cdot n \right) \rightarrow \infty \quad \text{für } n \rightarrow \infty$$

ist möglich, wenn  $d/n$  sehr langsam gegen Null konvergiert.

Auch wenn die BCH-Codes asymptotisch schlecht sind, dominieren doch die praktischen Vorteile: BCH-Codes existieren für eine Vielzahl von Parameterwerten, die Leistungsfähigkeit bei kurzen und mittleren Blocklängen ist besser als bei allen anderen bekannten Codefamilien, der Verarbeitungsaufwand bei der Encodierung und insbesondere bei der Decodierung ist relativ gering. Nachteilig sind allerdings folgende Punkte:

- BCH-Codes können mit den üblichen und aufwandsgünstigen Decodierverfahren nur bis zur halben Entwurfsdistanz korrigiert werden. Wenn die tatsächliche Minimaldistanz größer ist, kann davon bei der Decodierung kein

Gebrauch gemacht werden. Eine ML-Decodierung ist ganz ausgeschlossen, obwohl sich dadurch erhebliche Verbesserungen einstellen würden [118].

- Ferner verarbeiten die üblichen Decodierverfahren nur Hard-Decision. Der bei Soft-Decision zu erwartende Gewinn von 2 bis 3 dB kann also nicht realisiert werden. Beispielsweise könnte nach Bild 7.1 bei Soft-Decision die Blocklänge um mehr als den Faktor 8 verkürzt werden.

Die bisher bekannten Ansätze zur Erhöhung des Codierungsgewinns bei BCH-Codes sind mit so erheblichem Mehraufwand bei der Decodierung verbunden, daß ihre praktische Bedeutung relativ gering ist und eine ausführliche Darstellung sich hier nicht lohnt.

## 7.4 Grundlagen der Decodierung: Syndrom und Schlüsselgleichung

Für die RS- und BCH-Codes kann der ideale Maximum-Likelihood-Decoder mit vernünftigen Aufwand nicht realisiert werden, sondern nur der Begrenzte-Minimaldistanz-Decoder (BMD) gemäß Definition 3.6. Deshalb wird nachfolgend immer angenommen, daß die tatsächliche Anzahl der Fehler die Anzahl der korrigierbaren Fehler nicht übersteigt. Falls dennoch mehr Fehler auftreten, wird kein bestimmtes Verhalten des Decoders vorgeschrieben, da dieser Fall prinzipiell als Versagen des BMD gewertet wird.

Die Herleitung der Decodier-Algorithmen wird hier zwar für den allgemeinen Fall formuliert, orientiert sich aber primär an den RS-Codes. Bei den BCH-Codes und insbesondere bei den binären BCH-Codes ergeben sich teilweise enorme Vereinfachungen gegenüber der RS-Decodierung und deshalb wird dieser Fall gesondert in Abschnitt 7.10 behandelt.

Das Empfangswort  $\mathbf{y}$  bei Hard-Decision ist die Überlagerung des gesendeten Codewortes  $\mathbf{a}$  mit dem Fehlerwort  $\mathbf{e}$  und wegen der Linearität der Spektraltransformation gilt

$$\mathbf{y} = \mathbf{a} + \mathbf{e} \quad \circ\text{---}\bullet \quad \mathbf{Y} = \mathbf{A} + \mathbf{E}. \quad (7.4.1)$$

Die Symbole von Codewort und Fehlerwort sind im Zeitbereich  $q = p^m$ -stufig bei RS-Codes und  $p$ -stufig bei BCH-Codes und im Frequenzbereich immer  $q$ -stufig. Der Begriff "Fehler" im Zeitbereich bezieht sich immer auf die  $q$ - bzw.  $p$ -stufigen Werte. Ob die Codesymbole direkt mehrstufig oder als Bitgruppe übertragen werden, ist dabei unwesentlich: Auch wenn eine Bitgruppe nur in einer einzigen Bit-Position verfälscht ist, wird die gesamte Bitgruppe als falsch angesehen.

**Voraussetzungen:** Es sei  $d = 2t + 1$  die Entwurfsdistanz und  $n = p^m - 1$  die primitive Blocklänge. Für die Anzahl  $\tau$  der tatsächlich aufgetretenen Fehler gelte

$$\tau \leq t \left\{ \begin{array}{ll} = (n - k)/2 & \text{RS-Codes} \\ \leq (n - k)/2 & \text{BCH-Codes} \end{array} \right\}. \quad (7.4.2)$$

$$\underbrace{(z^3x^6 + z^6x^5 + z^3x^4 + zx^3 + \dots)}_{r_{-1}(x)} = \underbrace{(zx + z^2)}_{\alpha_1(x)} \cdot \underbrace{(z^2x^5 + z^2x^4 + \dots)}_{r_0(x)} + \underbrace{(x^4 \dots)}_{r_1(x)}.$$

Wegen  $\text{Grad } r_1(x) < n - t = 5$  ergibt sich  $\lambda = 0$ . Zwangsläufig muß sogar  $r_1(x) = 0$  sein. Nach (A.7.3) gilt für die  $t_i(x)$ -Rekursion

$$\begin{aligned} t_0(x) &= t_{-2}(x) - \alpha_0(x)t_{-1}(x) = z^4x + 1 \\ t_1(x) &= t_{-1}(x) - \alpha_1(x)t_0(x) = 1 + (zx + z^2)(z^4x + 1) = z^5x^2 + z^5x + z^6 \end{aligned}$$

und für die  $s_i(x)$ -Rekursion gilt

$$\begin{aligned} s_0(x) &= s_{-2}(x) - \alpha_0(x)s_{-1}(x) = 1 \\ s_1(x) &= s_{-1}(x) - \alpha_1(x)s_0(x) = zx + z^2. \end{aligned}$$

Mit  $\gamma = 1/t_1(0) = z$  ergeben sich aus (7.8.16) die bereits bekannten Ergebnisse  $C(x) = zt_1(x) = 1 + z^6x + z^6x^2$  sowie  $T_s(x) = zs_1(x) = z^3 + zx$ . Aus dem Forney-Algorithmus folgt mit

$$e_{s,i} = \frac{T_s(z^{-i})}{C'(z^{-i})} = \frac{z^3 + z^{2-i}}{z^6} z^i = \begin{cases} z^2 & i = 1 \\ z^5 & i = 5 \end{cases}$$

das richtige Ergebnis für  $e_s(x)$ . ■

## 7.9 Korrektur von Fehlern und Ausfällen

Es wird jetzt ein  $q$ -närer symmetrischer Kanal mit Ausfällen als Verallgemeinerung des BSEC aus Bild 1.3 vorausgesetzt:

$$\mathcal{A}_{\text{in}} = \mathbb{F}_q \quad , \quad \mathcal{A}_{\text{out}} = \mathbb{F}_q \cup \{?\}. \quad (7.9.1)$$

Der Demodulator entscheidet auf  $y = ?$  (Ausfall), wenn die Entscheidung für ein bestimmtes  $y \in \mathbb{F}_q$  sehr unsicher wäre. Der Vorteil dieser Methode liegt darin, daß die Korrektur eines derartigen Ausfalls (Position bekannt, Sendesymbol unbekannt) nur eine Prüfstelle erfordert, während zur Korrektur eines Fehlers (Position unbekannt, Sendesymbol bzw. Fehlersymbol unbekannt) zwei Prüfstellen erforderlich sind. Formal wird das Empfangswort als Erweiterung von (7.4.1) wie folgt beschrieben:

$$\mathbf{y} = \mathbf{a} + \mathbf{e} + \mathbf{v}. \quad (7.9.2)$$

Dabei ist  $\mathbf{a} \in \mathbb{F}_q^n$  das Codewort,  $\mathbf{e} \in \mathbb{F}_q^n$  das Fehlerwort und  $\mathbf{v} \in \{0, ?\}^n$  das Ausfallwort. Da die Komponenten  $y_i$  und  $v_i$  den Wert ? annehmen können, ist die Verknüpfung von ? mit  $b \in \mathbb{F}_q$  formal wie folgt zu definieren:

$$b+? = ? \quad , \quad b \cdot ? = ? \quad \text{für } b \neq 0 \quad , \quad 0 \cdot ? = 0. \quad (7.9.3)$$

## 8. Beschreibung und Eigenschaften von Faltungscodes

Faltungscodes bilden neben den Blockcodes die zweite große Klasse von Codes zur Kanalcodierung. In gewisser Weise können Faltungscodes und Blockcodes zwar als formal identisch angesehen werden, aber in der Beschreibung, in den Eigenschaften und in der Decodierung unterscheiden sich beide Codeklassen ganz erheblich. Als wesentliche Unterschiede zwischen Blockcodes und Faltungscodes sind folgende Punkte zu nennen:

- Faltungs-Encoder setzen nicht Infowörter blockweise in Codewörter um, sondern überführen eine ganze Sequenz von Infobits in eine Sequenz von Codebits, indem die Infobits mit einem Satz von Generatorkoeffizienten gefaltet werden.
- Faltungscodes werden nicht über analytische Verfahren konstruiert, sondern durch Probieren (Rechnersuche) gefunden.
- Von praktischem Interesse sind vorrangig nur ganz wenige sehr einfache Faltungscodes, deren Beschreibung und Verständnis wesentlich einfacher als bei den Blockcodes ist.
- Faltungs-Decoder können Soft-Decision-Input (Zuverlässigkeitsinformation des Demodulators) einfach verarbeiten sowie Soft-Decision-Output (Zuverlässigkeitsinformation über die geschätzten Infobits) einfach berechnen.
- Faltungscodes erfordern im Gegensatz zu den Blockcodes keine Blocksynchronisation.

Da Soft-Decision-Information ohne Mehraufwand verarbeitet werden kann und zu den in Abschnitt 1.7 dargestellten Gewinnen führt, sollten Faltungscodes immer im Zusammenhang mit Soft-Decision Demodulatoren eingesetzt werden. Dann sind Faltungscodes eigentlich nicht mehr als fehlerkorrigierende Codes zu bezeichnen, sondern besser als *Übertragungscodes*. Eine Bestimmung von Grenzen für die Korrektur oder Erkennung von Einzelfehlern oder Bündelfehlern wie bei den Blockcodes erübrigt sich dann.

In diesem Kapitel werden verschiedene algebraische und nicht-algebraische Beschreibungen für Faltungscodes entwickelt und insbesondere wird die Distanzstruktur analytisch erfaßt. Schwerpunkte des nächsten Kapitels sind die ML-

Decodierung mit dem Viterbi-Algorithmus sowie die Berechnung der Fehlerwahrscheinlichkeit und der prinzipiellen Leistungsfähigkeit von Faltungscodes. Im übernächsten Kapitel bilden Faltungscodes die Grundlage für die trelliscodierte Modulation.

## 8.1 Definition und Schieberegister-Beschreibung

Bei Faltungscodes sind die Infosymbole  $u$  und Codesymbole  $a$  nicht  $q = p^m$ -stufig, sondern üblicherweise binär:  $u, a \in \mathbb{F}_2 = \{0, 1\}$ . Alle Rechenoperationen erfolgen modulo 2. Wie beim Grundprinzip der Blockcodierung in Bild 1.7 wird der Datenstrom der Infobits bzw. Codebits unterteilt in Blöcke der Länge  $k$  bzw.  $n$ , die hier jedoch mit  $r$  indiziert werden:

$$\begin{aligned}\mathbf{u}_r &= (u_{r,1}, \dots, u_{r,k}) \\ \mathbf{a}_r &= (a_{r,1}, \dots, a_{r,n}).\end{aligned}$$

Die Zuordnung der Codeblöcke zu den Infoblöcken ist eindeutig und umkehrbar sowie zeitinvariant, aber im Gegensatz zu den Blockcodes nicht gedächtnislos:

**Definition 8.1.** *Ein Faltungscodierender der Rate  $R = k/n$  wird durch einen Encoder mit Gedächtnis gegeben, indem der aktuelle Codeblock durch den aktuellen Infoblock und durch die  $m$  vorangehenden Infoblöcke bestimmt wird:*

$$\mathbf{a}_r = \text{Encoder}(\mathbf{u}_r, \mathbf{u}_{r-1}, \dots, \mathbf{u}_{r-m}). \quad (8.1.1)$$

*Der Encoder ist linear, d.h. die Codebits ergeben sich als Linearkombinationen der Infobits. Die formale Beschreibung erfolgt mit Generatorkoeffizienten  $g_{\kappa,\nu,\mu} \in \mathbb{F}_2$  mit  $1 \leq \kappa \leq k$ ,  $1 \leq \nu \leq n$  und  $0 \leq \mu \leq m$ , so daß sich die Codebit-Teilfolgen als Faltungen der Infobitfolgen mit den Generatorkoeffizienten ergeben:*

$$a_{r,\nu} = \sum_{\mu=0}^m \sum_{\kappa=1}^k g_{\kappa,\nu,\mu} u_{r-\mu,\kappa}. \quad (8.1.2)$$

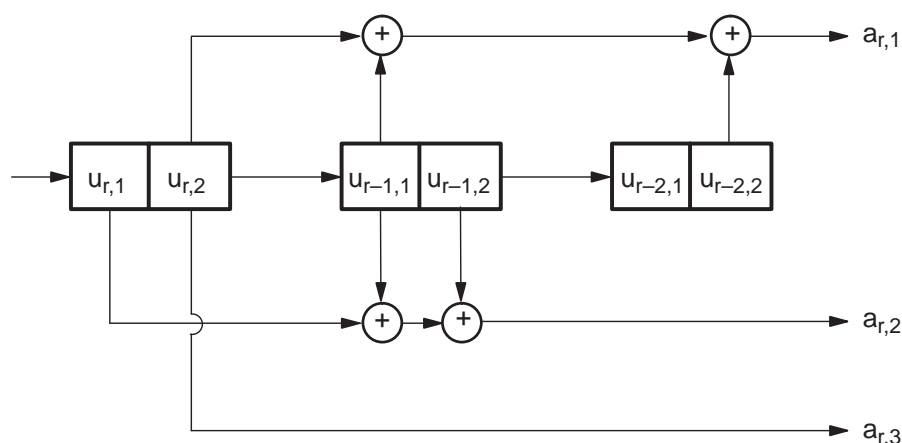
*Die Größe  $m$  wird als Gedächtnislänge und  $m + 1$  wird als Einflußlänge (constraint length) bezeichnet.*

Der Parameter  $m$  prägt neben der Coderate sowohl die Leistungsfähigkeit des Codes wie auch den Aufwand bei der Decodierung. Die Einflußlänge wird oftmals mit  $k$  oder  $K$  bezeichnet, was hier allerdings wegen der Verwechslungsgefahr mit der Infoblocklänge nicht verwendet wird. Rein formal sind Blockcodes spezielle Faltungscodes mit  $m = 0$ .

Während bei Blockcodes  $k$  und  $n$  üblicherweise groß sind, gilt bei vielen praktisch verwendeten Faltungscodes  $k = 1$  (also Infoblock gleich Infobit) und  $n = 2$  oder  $n = 3$ . Die Blockstruktur ist deshalb ganz unbedeutend bzw. bei den

Infobits überhaupt nicht vorhanden. Stattdessen werden Sequenzen auf Sequenzen abgebildet. Die Gedächtnislänge ist bei der ML-Decodierung heute technisch etwa auf  $m = 6$  oder  $m = 8$  begrenzt (*short-memory codes*), wenn von extrem aufwendigen Decodern für spezielle Anwendungen einmal abgesehen wird (siehe Abschnitt 12.1). Dennoch lassen sich mit solchen relativ einfachen Faltungscodes Codierungsgewinne erzielen, die mit denen komplizierter Blockcodes vergleichbar sind.

Üblicherweise wird ein Faltungscode durch den Encoder bestimmt und dieser wird als Schieberegister implementiert. Das Schieberegister enthält  $\mathbf{u}_r, \mathbf{u}_{r-1}, \dots, \mathbf{u}_{r-m}$ . Aus diesen  $k(m+1)$  Bits werden  $n$  Linearkombinationen berechnet, die die Komponenten von  $\mathbf{a}_r$  bilden. Anschließend wird  $\mathbf{u}_{r+1}$  eingeschoben und  $\mathbf{u}_{r-m}$  fällt heraus. Zu Beginn ( $r = 0$ ) ist das Schieberegister mit Nullen vorbelegt, was mit  $\mathbf{u}_{-1} = \dots = \mathbf{u}_{-m} = \mathbf{0}$  äquivalent ist.



**Bild 8.1.** Beispiel eines  $R = 2/3$ -Faltungs-Encoders mit  $m = 2$

**Beispiel 8.1.** Betrachte einen  $R = 2/3$ -Code mit  $m = 2$ , wobei der Encoder durch das in Bild 8.1 dargestellte Schieberegister gegeben wird. Im  $r$ -ten Schritt werden die  $k = 2$  Infobits  $\mathbf{u}_r = (u_{r,1}, u_{r,2})$  eingeschoben und aus dem Inhalt  $(\mathbf{u}_r, \mathbf{u}_{r-1}, \mathbf{u}_{r-2})$  des Schieberegisters wird  $\mathbf{a}_r = (a_{r,1}, a_{r,2}, a_{r,3})$  gemäß

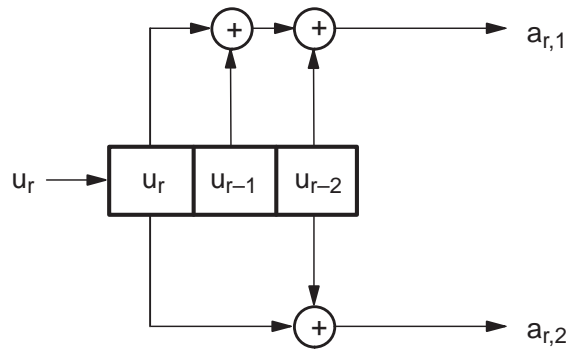
$$a_{r,1} = u_{r,2} + u_{r-1,1} + u_{r-2,2}$$

$$a_{r,2} = u_{r,1} + u_{r-1,1} + u_{r-1,2}$$

$$a_{r,3} = u_{r,2}$$

berechnet. Jeweils 2 Infobits werden 3 Codebits zugeordnet und somit gilt für die Coderate  $R = 2/3$ . ■

**Beispiel 8.2 (Standardbeispiel).** Nachfolgend wird oftmals der  $R = 1/2$ -Code mit  $m = 2$  und dem in Bild 8.2 dargestellten Encoder verwendet. Im



**Bild 8.2.** Standardbeispiel  $R = 1/2$ -Faltungs-Encoder mit  $m = 2$

$r$ -ten Schritt wird das Infobit  $u_r$  in das Schieberegister eingeschoben und daraus wird  $\mathbf{a}_r = (a_{r,1}, a_{r,2}) = (u_r + u_{r-1} + u_{r-2}, u_r + u_{r-2})$  berechnet. Zur Infobitfolge

$$(u_0, u_1, u_2, u_3, u_4, u_5) = (1, 1, 0, 1, 0, 0)$$

gehört die Codebitfolge

$$(a_0, a_1, a_2, a_3, a_4, a_5) = (11, 01, 01, 00, 10, 11).$$

Dieser simple Code ist durchaus von praktischer Bedeutung. Es wird sich noch zeigen, daß der asymptotische Codierungsgewinn  $G_{a,\text{soft}}$  fast 4 dB beträgt. ■

Faltungscodes werden durch die Encodiervorschrift definiert, die sehr einfach zu verstehen ist. Der erzeugte Code, also die Menge aller Codebitfolgen, ist dagegen nicht so einfach zu überblicken und zu analysieren. Im Gegensatz dazu wird bei Blockcodes die Codemenge zunächst durch algebraische Methoden charakterisiert und erst danach wird ein geeigneter systematischer Encoder konstruiert.

Die Faltungsoperation (8.1.2) kann auch durch halbseitig unendliche Matrizen beschrieben werden. Wegen der viel einfacheren Darstellung mit Polynomen im nächsten Abschnitt wird darauf jedoch verzichtet. Eine in Abschnitt 10.8 behandelte Verallgemeinerung stellen nichtlineare Faltungscodes dar, bei denen die Verknüpfung der Schieberegister-Inhalte auch durch nichtlineare Operationen erfolgen kann.

Die Definition der  $R = k/n$ -Faltungs-Encoder kann auch durch rückgekoppelte Schieberegister erweitert werden. Das führt zu einer außerordentlich komplizierten Theorie der algebraischen Struktur von Faltungscodes [93], die auf den Eigenschaften von Matrizen mit Polynomquotienten bzw. auf der Theorie der Module (Vektorräume über Ringen) basiert. Beispielsweise können alle Faltungscodes prinzipiell systematisch rückgekoppelt encodiert werden, während sich eine systematische rückkopplungsfreie Encodierung als echte Einschränkung in Abschnitt 8.5 herausstellen wird. Die trelliscodierte Modulation in Kapitel 10 basiert auf speziellen Faltungscodes mit der Rate  $R = k/(k+1)$ , wobei auch systematische rückgekoppelte Encoder betrachtet werden. Bei den meisten Anwendungen besteht jedoch keine zwingende Notwendigkeit, die algebraische Theorie

der Faltungscodes im Detail aufzugreifen, so daß unter diesem Gesichtspunkt die Faltungscodes im Vergleich zu den RS- und BCH-Codes als ziemlich simpel erscheinen.

**Einschränkung:** In den Kapiteln 8 und 9 werden nur Faltungscodes mit der Rate  $R = 1/n$  (also  $k = 1$ ) sowie lineare Encoder ohne Rückkopplung betrachtet. Damit ergeben sich enorme Vereinfachungen sowohl in der Beschreibung wie bei der Decodierung. Das in Abschnitt 8.3 eingeführte Prinzip der Punktierung ermöglicht dennoch fast alle Coderaten zwischen 0 und 1.

## 8.2 Polynombeschreibung

Den Generatorkoeffizienten  $g_{\nu,\mu}$  aus Definition 8.1 ( $\kappa$  entfällt bei  $k = 1$ ) werden die *Generatorpolynome*

$$g_{\nu}(x) = \sum_{\mu=0}^m g_{\nu,\mu} x^{\mu} \quad (8.2.1)$$

zugeordnet. Die Infobitfolge wird durch eine Potenzreihe und die Codeblockfolge wird durch einen Potenzreihenvektor charakterisiert:

$$u(x) = \sum_{r=0}^{\infty} u_r x^r \quad (8.2.2)$$

$$\mathbf{a}(x) = (a_1(x), \dots, a_n(x)) \quad , \quad a_i(x) = \sum_{r=0}^{\infty} a_{r,i} x^r. \quad (8.2.3)$$

Dem Faltungs-Encoder entspricht die Polynom-Multiplikation

$$\underbrace{(a_1(x), \dots, a_n(x))}_{=\mathbf{a}(x)} = u(x) \cdot \underbrace{(g_1(x), \dots, g_n(x))}_{=\mathbf{G}(x)} \quad (8.2.4)$$

und das ist äquivalent zu

$$a_{\nu}(x) = u(x)g_{\nu}(x) \quad \text{für } \nu = 1, \dots, n. \quad (8.2.5)$$

Als *Generatormatrix* wird  $\mathbf{G}(x) = (g_1(x), \dots, g_n(x))$  bezeichnet, obwohl das unter der Voraussetzung  $R = 1/n$  nur ein Generatorvektor ist. Die Menge aller Codefolgen, also der Code, kann als

$$\mathcal{C} = \left\{ u(x) \mathbf{G}(x) \mid u(x) = \sum_{r=0}^{\infty} u_r x^r, \quad u_r \in \{0, 1\} \right\} \quad (8.2.6)$$

geschrieben werden. Der Faltungscodes ist linear und  $\mathcal{C}$  ist wie bei den Blockcodes ein Vektorraum. Für die Gedächtnislänge gilt bei gegebener Generatormatrix

$$m = \max_{1 \leq \nu \leq n} \text{Grad } g_{\nu}(x). \quad (8.2.7)$$

**Beispiel 8.3.** Für das Standardbeispiel gilt  $\mathbf{G}(x) = (1 + x + x^2, 1 + x^2)$ . Zur Infobitfolge  $(1, 1, 0, 1, 0, 0) \leftrightarrow u(x) = 1 + x + x^3$  gehört die Codebitfolge

$$\begin{aligned} \mathbf{a}(x) &= (a_1(x), a_2(x)) = u(x)\mathbf{G}(x) \\ &= \left( (1 + x + x^3)(1 + x + x^2), (1 + x + x^3)(1 + x^2) \right) \\ &= (1 + x^4 + x^5, 1 + x + x^2 + x^5) \\ &\leftrightarrow (11, 01, 01, 00, 10, 11). \end{aligned}$$

Eine endliche Infobitfolge der Länge  $L$  führt zu einer endlichen Codeblockfolge der Länge  $L + m$ . ■

**Tabelle 8.1.** Optimale Codes der Raten  $1/2$  und  $1/3$  für  $m = 2, 3, 4, 5, 6$

$g_1(x)$	$g_2(x)$	$g_3(x)$	$d_f$
$1 + x + x^2$	$1 + x^2$		5
$1 + x + x^3$	$1 + x + x^2 + x^3$		6
$1 + x^3 + x^4$	$1 + x + x^2 + x^4$		7
$1 + x^2 + x^4 + x^5$	$1 + x + x^2 + x^3 + x^5$		8
$1 + x^2 + x^3 + x^5 + x^6$	$1 + x + x^2 + x^3 + x^6$		10
$1 + x + x^2$	$1 + x^2$	$1 + x + x^2$	8
$1 + x + x^3$	$1 + x + x^2 + x^3$	$1 + x^2 + x^3$	10
$1 + x^2 + x^4$	$1 + x + x^3 + x^4$	$1 + x + x^2 + x^3 + x^4$	12
$1 + x^2 + x^4 + x^5$	$1 + x + x^2 + x^3 + x^5$	$1 + x^3 + x^4 + x^5$	13
$1 + x^2 + x^3 + x^5 + x^6$	$1 + x + x^4 + x^6$	$1 + x + x^2 + x^3 + x^4 + x^6$	15

In Tabelle 8.1 sind für die Gedächtnislängen  $m = 2, 3, 4, 5, 6$  einige optimale Faltungscodes der Raten  $R = 1/2$  und  $R = 1/3$  aufgelistet. Der Begriff optimal und die freie Distanz  $d_f$  werden noch in Definition 8.2 erklärt. Beim Übergang von  $R = 1/2$  auf  $R = 1/3$  kommt nicht nur ein weiteres Generatorpolynom  $g_3(x)$  hinzu, sondern  $g_1(x)$  und  $g_2(x)$  können sich auch zusätzlich ändern. Für  $m = 6$  ist der sogenannte *Industriestandard-Code* angegeben, für den heute Encoder/Decoder-Chips verschiedener Firmen verfügbar sind. Auf diesem Code basiert auch die sogenannte pragmatische trelliscodierte Modulation, die in Abschnitt 10.11 behandelt wird. Weitere Faltungscodes finden sich in Tabelle 8.4.

### 8.3 Spezielle Codeklassen: Terminierte, punktierte, systematische und transparente Faltungscodes

Als spezielle Klassen von Faltungscodes werden hier terminierte, punktierte, systematische und transparente Codes eingeführt, die bei speziellen Anwendungen von großer praktischer Bedeutung sind.

**(1) Terminierte Faltungscodes**

Nach jeweils  $L$  Infobits werden  $m$  bekannte Bits (*tail bits*) in den Datenstrom der Infobits eingefügt, wobei dazu üblicherweise Nullen gewählt werden. Diese  $L + m$  Infobits beeinflussen nur die  $L + m$  Codeblöcke  $\mathbf{a}_0, \dots, \mathbf{a}_{L-1+m}$  und keine weiteren Codeblöcke. Das folgt auch aus (8.2.5) und (8.2.7):

$$\text{Grad } a_\nu(x) \leq \text{Grad } u(x) + m.$$

Somit resultiert ein Blockcode, der  $L$  Infobits auf  $(L + m)n$  Codebits abbildet. Also reduziert sich die Coderate von  $R = 1/n$  auf

$$R_{\text{terminiert}} = \frac{L}{L + m} \cdot \frac{1}{n} \quad \left( < \frac{1}{n} = R \right). \quad (8.3.1)$$

Für großes  $L$  ist dieser Verlust in der Rate vernachlässigbar. Als Vorteil ergibt sich eine Blockstruktur, die beispielsweise Fehlerfortpflanzungen beim Decodieren verhindert. Insbesondere bei Daten mit Rahmenstruktur werden in der Praxis fast immer terminierte Faltungscodes verwendet. Rein formal sind terminierte Faltungscodes und Blockcodes identisch.

Für die Terminierung wird im Infobitstrom manipuliert. Manipulationen im Codebitstrom führen zu:

**(2) Punktierte Faltungscodes**

Jeweils  $P$  Codeblöcke werden zu einer Gruppe zusammengefaßt. Von den  $nP$  Codebits in dieser Gruppe werden  $l$  Codebits gestrichen (punktiert) und nicht übertragen. Somit werden  $P$  Infobits auf  $nP - l$  Codebits abgebildet. Also erhöht sich die Coderate von  $R = 1/n$  auf

$$R_{\text{punktiert}} = \frac{P}{nP - l} \quad \left( > \frac{1}{n} = R \right). \quad (8.3.2)$$

Natürlich muß  $l < (n - 1)P$  sein, um eine Coderate kleiner als 1 zu gewährleisten, damit die Infobits aus den Codebits wiedergewonnen werden können.

Die Größe  $P$  wird als *Punktierungslänge* und der  $R = 1/n$ -Code wird als *Muttercode* bezeichnet. Die zu streichenden Codebits werden in einem *Punktierungsschema* festgelegt. Mit wachsendem  $P$  können nahezu alle Coderaten zwischen  $1/n$  und 1 erreicht werden. Beispiele für  $R = 1/2$  zeigt Tabelle 8.2. Speziell für  $l = P - 1$  gilt  $R_{\text{punktiert}} = P/(P + 1)$ .

In der Praxis werden anstelle der  $R = k/n$ -Codes aus Definition 8.1 fast ausschließlich punktierte Codes verwendet. Zwar ist ein punktierter  $R = 2/3$ -Code mit einem  $R = 1/2$ -Muttercode etwas schlechter als ein nicht-punktierter  $R = 2/3$ -Code, aber dafür bedeutet die Punktierung bei der Decodierung mit dem Viterbi-Algorithmus überhaupt keinen Mehraufwand. Der Decodier-Algorithmus wird nur durch den Muttercode geprägt und nicht durch das Punktierungsschema, wie sich in Abschnitt 9.4 noch zeigen wird.

**Tabelle 8.2.** Beispiele für  $R_{\text{punktiert}}$  bei  $R = 1/2$ 

	$l = 0$	$l = 1$	$l = 2$	$l = 3$	$l = 4$	$l = 5$	$l = 6$	$l = 7$
$P = 2$	2/4	2/3						
$P = 3$	3/6	3/5	3/4					
$P = 4$	4/8	4/7	4/6	4/5				
$P = 8$	8/16	8/15	8/14	8/13	8/12	8/11	8/10	8/9

Normalerweise ist ein Code mit großem  $P$  besser, d.h.  $R = 4/6$  ist etwas schlechter als  $R = 8/12$ . Es gibt dazu umfangreiche Tabellen mit den besten punktierten Codes [105, 119]. Die Ergebnisse variieren allerdings geringfügig mit der Punktierungslänge und sonstigen Randbedingungen: Einerseits kann durch Wahl von Muttercode und Punktierungsschema auf eine spezielle Coderate optimiert werden oder andererseits kann auch auf eine gesamte Codefamilie mit verschiedenen Raten bei unverändertem Muttercode optimiert werden.

Von großer praktischer Bedeutung sind die von J.Hagenauer [106] eingeführten *RCPC-Codes* (Rate Compatible Punctured Convolutional Codes). Hierbei wird eine Codefamilie mit unterschiedlichen Raten aus einem einzigen Muttercode derart abgeleitet, daß die hochratigen Codes in die niederratigen Codes eingebettet werden. Codes höherer Rate entstehen dabei nur durch zusätzliche Punktierungen aus Codes niedrigerer Rate, d.h. alle bei höheren Raten benutzten Bits werden auch bei niedrigeren Raten benutzt. Zwischen verschiedenen Coderaten kann ohne nennenswerten Mehraufwand umgeschaltet werden, wobei das für den Encoder klar ist und für den Decoder in Abschnitt 9.4 noch gezeigt wird. Der besondere Vorteil der RCPC-Codes liegt darin, daß zu beliebigen Zeitpunkten die Coderate umgeschaltet werden kann, ohne daß sich im Bereich der Umschaltzeitpunkte negative Auswirkungen auf die Distanzeigenschaften des Codes ergeben.

Ein Beispiel für RCPC-Codes zeigt Tabelle 8.3 [75, 106], bei denen aus einem  $R = 1/4$ -Muttercode mit

$$G(x) = (1 + x^3 + x^4, 1 + x + x^2 + x^4, 1 + x^2 + x^3 + x^4, 1 + x + x^3 + x^4)$$

ratenkompatible punktierte Codes mit Raten von  $8/9$  bis  $1/4$  abgeleitet werden. Eine 0 im Punktierungsschema steht dabei für Punktierung. Wichtige Anwendungen für RCPC-Codes sind:

- Übertragungskanäle mit schwankender Güte, bei denen die Coderate über ein ARQ-Verfahren laufend an die Kanaleigenschaften angepaßt wird. Im normalen Fall bei gutem Kanal wird nur der punktierte Code benutzt und erst bei abnehmender Kanalqualität werden die punktierten Stellen nachträglich gesendet, um die Korrekturfähigkeit zu erhöhen.
- Datenquellen, bei denen die einzelnen Bits eine unterschiedliche Wichtigkeit haben und folglich einen abgestuften Fehlerschutz erfordern. Das wird

**Tabelle 8.3.** RCPC-Codes zum  $R = 1/4$ -Muttercode mit  $m = 4$  und  $P = 8$ 

Punktierungsschema	$R_{\text{punktiert}}$
1111 0111 1000 1000 0000 0000 0000 0000	8/9
1111 1111 1000 1000 0000 0000 0000 0000	8/10
1111 1111 1010 1010 0000 0000 0000 0000	8/12
1111 1111 1110 1110 0000 0000 0000 0000	8/14
1111 1111 1111 1111 0000 0000 0000 0000	8/16
1111 1111 1111 1111 1000 1000 0000 0000	8/18
1111 1111 1111 1111 1100 1100 0000 0000	8/20
1111 1111 1111 1111 1110 1110 0000 0000	8/22
1111 1111 1111 1111 1111 1111 0000 0000	8/24
1111 1111 1111 1111 1111 1111 1000 1000	8/26
1111 1111 1111 1111 1111 1111 1010 1010	8/28
1111 1111 1111 1111 1111 1111 1110 1110	8/30
1111 1111 1111 1111 1111 1111 1111 1111	8/32

auch als *UEP-Codierung* (Unequal Error Protection) bezeichnet. Eine interessante Anwendung stellt die Quellencodierung von Sprache bei digitalen Mobilfunksystemen dar (siehe die Abschnitte 12.3 und 12.4 für weitere Einzelheiten).

### (3) Systematische Faltungscodes

Bei einem systematischen Encoder entspricht mindestens eine Komponente im Codeblock dem Infobit.

Während Blockcodes fast ausschließlich systematisch encodiert werden, ist das bei Faltungscodes nicht möglich, sofern nicht in Definition 8.1 die Linearkombinationen um Rückkopplungen erweitert werden. Einige der besten Faltungscodes sind nicht systematisch rückkopplungsfrei encodierbar, wie sich in Abschnitt 8.5 zeigen wird.

### (4) Transparente Faltungscodes

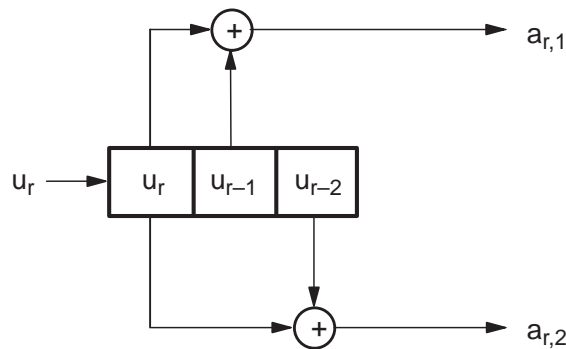
Bei transparenten Codes muß mit jeder Codebitfolge auch das binäre Komplement eine Codebitfolge sein (für die ersten  $m$  Codeblöcke wird das natürlich nicht gefordert).

Da Dauer-Null eine Codefolge ist, muß also auch Dauer-Eins eine Codefolge sein. Transparente Codes liegen genau dann vor, wenn jede Linearkombination aus einer ungeradzahigen Anzahl von Infobits besteht bzw. jedes Generatorpolynom ein ungerades Gewicht hat – denn dann führt Dauer-Eins als Infofolge zu Dauer-Eins als Codefolge. Die meisten guten Faltungscodes sind nicht transparent, jedoch ist der Industriestandard-Code für  $R = 1/2$  aus Tabelle 8.1 transparent.

Der Vorteil eines transparenten Codes liegt darin, daß bei einem Polaritätswechsel bzw. einer 180 Grad Phasendrehung des physikalischen Kanals die Codemenge invariant bleibt. Die Inversion der Codebits entspricht einer Inversion der Infobits. In Kombination mit differentieller Vorencodierung [19, 58, 75] resultiert dann eine Rotationsinvarianz. Dieses Thema wird in Abschnitt 10.8 noch ausführlich behandelt.

## 8.4 Nicht-katastrophale Encoder und Encoder-Inverse

**Beispiel 8.4.** Betrachte den in Bild 8.3 dargestellten Encoder eines  $R = 1/2$ -Codes mit  $\mathbf{G}(x) = (1 + x, 1 + x^2)$ , der sich nur geringfügig vom Standardbeispiel unterscheidet. Mit Dauer-Eins als Infofolge ergibt sich sofort die Codefolge  $\mathbf{a}(x) \leftrightarrow (11, 01, 00, 00, 00, \dots)$ . Mit  $u(x) = 1 + x + x^2 + x^3 + \dots = 1/(1 - x)$  folgt das auch aus  $u(x)\mathbf{G}(x) = \frac{1}{1-x}(1+x, (1+x)^2) = (1, 1+x)$ .



**Bild 8.3.** Katastrophaler  $R = 1/2$ -Faltungs-Encoder

Mit Dauer-Null und Dauer-Eins gibt es also zwei Infofolgen mit unendlichem Hammingabstand, deren zugehörige Codefolgen sich nur an endlich vielen (nämlich 3) Stellen unterscheiden. Es reichen also 3 Übertragungsfehler aus, um bei der Decodierung unendlich viele Fehler zu produzieren (lawinenartige Fehlerfortpflanzung). Ein solcher Encoder verdient die Bezeichnung katastrophal. Wegen der Linearität ist auch eine äquivalente Kennzeichnung mit den Hamminggewichten möglich. ■

Es gibt ein sehr einfach nachprüfbares Kriterium, ob ein Faltungscodier katastrophal encodiert wird oder nicht:

**Satz 8.1.** *Ein nicht-katastrophaler Encoder ist dadurch definiert, daß jede Infofolge unendlichen Gewichts eine Codefolge unendlichen Gewichts impliziert bzw. äquivalent, daß jede endliche Codefolge eine endliche Infofolge impliziert. Das ist äquivalent damit, daß die Generatorpolynome keinen gemeinsamen Teiler haben:*

$$\text{GGT}(g_1(x), \dots, g_n(x)) = 1. \quad (8.4.1)$$

Wenn also die Zerlegung der Generatorpolynome in irreduzible Faktoren einen gemeinsamen Teiler ergibt, dann liegt ein katastrophaler Encoder vor (wie bei Beispiel 8.4). Falls der größte gemeinsame Teiler eine reine  $x$ -Potenz ist, so liegt nur eine überflüssige Verzögerung im Encoder vor.

Beweis: “Nicht-katas.  $\implies$  GGT=1”: Gegenannahme: Es existiert ein gemeinsamer Teiler  $p(x) \neq 1$ , d.h.

$$\mathbf{G}(x) = \left( p(x)\tilde{g}_1(x), \dots, p(x)\tilde{g}_n(x) \right).$$

Dabei ist der 0-te Term in  $p(x)$  nicht Null, denn sonst würden alle Generatorpolynome den Faktor  $x$  enthalten und die Encodierung wäre mit einer sinnlosen Verzögerung verbunden. Mit etwas Rechnung erweist sich

$$u(x) = \frac{1}{p(x)} = \sum_{r=0}^{\infty} u_r x^r$$

als eine Potenzreihe ohne negative Exponenten. Andererseits kann  $u(x)$  kein Polynom sein, denn sonst ergäbe das Produkt zweier Polynome 1, was nach der Gradformel unmöglich ist. Also ist  $u(x)$  eine Folge unendlichen Gewichts. Bei Interpretation als Infolge ergibt sich die Codefolge

$$\mathbf{a}(x) = u(x)\mathbf{G}(x) = \left( \tilde{g}_1(x), \dots, \tilde{g}_n(x) \right)$$

mit endlichem Gewicht. Das ist ein Widerspruch dazu, daß der Encoder als nicht-katastrophal vorausgesetzt wurde und somit muß  $p(x) = 1$  gelten.

“Nicht-katas.  $\longleftarrow$  GGT=1”: Generell ist der größte gemeinsame Teiler mehrerer Größen als Linearkombination dieser Größen darstellbar (Euklidischer Algorithmus Satz A.8). Es existieren also Polynome  $f_1(x), \dots, f_n(x)$  mit

$$\sum_{\nu=1}^n f_{\nu}(x)g_{\nu}(x) = \text{GGT}\left(g_1(x), \dots, g_n(x)\right) = 1. \quad (8.4.2)$$

Zur Codefolge  $\mathbf{a}(x) = \left( a_1(x), \dots, a_n(x) \right) = u(x)\left( g_1(x), \dots, g_n(x) \right)$  gehört also die Infolge

$$\begin{aligned} \sum_{\nu=1}^n a_{\nu}(x)f_{\nu}(x) &= \sum_{\nu=1}^n u(x)g_{\nu}(x) \cdot f_{\nu}(x) \\ &= u(x) \cdot \sum_{\nu=1}^n g_{\nu}(x)f_{\nu}(x) = u(x). \end{aligned}$$

Wenn  $\mathbf{a}(x)$  endliches Gewicht hat, dann hat auch  $u(x)$  endliches Gewicht und somit ist der Encoder nicht-katastrophal.  $\blacksquare$

Satz 8.1 kann auch auf allgemeine Faltungscodes mit der Rate  $R = k/n$  verallgemeinert werden. In der  $(k, n)$ -dim. Generatormatrix gibt es genau  $\binom{n}{k}$

Möglichkeiten zur Auswahl von  $k$  Spalten aus den  $n$  Spalten. Somit können  $\binom{n}{k}$  jeweils  $(k, k)$ -dim. Polynommatrizen gebildet werden, von denen die Determinanten zu berechnen sind. In Erweiterung von (8.4.1) dürfen diese Determinanten keinen gemeinsamen Teiler haben.

Die Polynome  $f_1(x), \dots, f_n(x)$  aus (8.4.2) bilden ein Encoder-Inverses, das zur Codefolge die Infolge liefert, wie am nachfolgenden Beispiel noch genauer erklärt wird. Das Encoder-Inverse ist aber kein Decoder, da es für verfälschte Codefolgen mit Fehlermustern unbrauchbar ist und Soft-Decision überhaupt nicht verarbeiten kann. Im Viterbi-Decoder ist das Encoder-Inverse implizit enthalten, so daß die Polynome  $f_1(x), \dots, f_n(x)$  nicht explizit bekannt sein müssen.

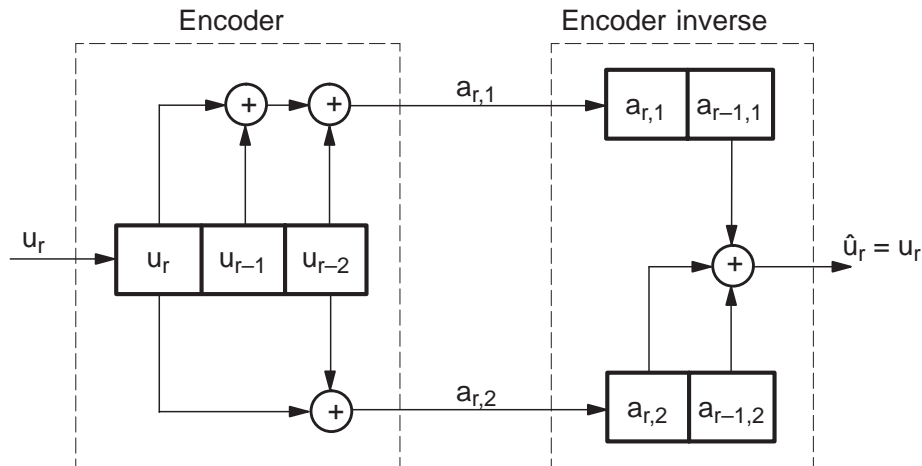
**Beispiel 8.5.** Bei  $\mathbf{G}(x) = (g_1(x), g_2(x)) = (1+x+x^2, 1+x^2)$  ist  $g_1(x)$  irreduzibel und somit liegt beim Standardbeispiel ein nicht-katastrophaler Encoder vor. Mit  $(f_1(x), f_2(x)) = (x, 1+x)$  gilt leicht nachprüfbar

$$f_1(x)g_1(x) + f_2(x)g_2(x) = 1.$$

Somit folgt

$$\hat{u}(x) = \mathbf{a}(x) \begin{pmatrix} x \\ 1+x \end{pmatrix} = u(x) \begin{pmatrix} 1+x+x^2 \\ 1+x^2 \end{pmatrix} \begin{pmatrix} x \\ 1+x \end{pmatrix} = u(x).$$

Diese Beziehung wird in Bild 8.4 veranschaulicht.



**Bild 8.4.** Standardbeispiel: Encoder – Encoder-Inverses

In der rekursiven Schreibweise gilt:

$$\begin{aligned} \text{Encoder: } & a_{r,1} = u_r + u_{r-1} + u_{r-2} \quad , \quad a_{r,2} = u_r + u_{r-2} \\ \text{Encoder-Inverses: } & \hat{u}_r = a_{r-1,1} + a_{r,2} + a_{r-1,2}. \end{aligned}$$

Das kann über  $\hat{u}_r = (u_{r-1} + u_{r-2} + u_{r-3}) + (u_r + u_{r-2}) + (u_{r-1} + u_{r-3}) = u_r$  sofort verifiziert werden. ■

**Beispiel 8.6.** Bei  $\mathbf{G}(x) = (g_1(x), g_2(x)) = (1+x, 1+x^2) = (1+x)(1, 1+x)$  liegt ein katastrophaler Encoder vor. Es existieren keine zwei Polynome  $f_1(x), f_2(x)$  mit  $f_1(x)g_1(x) + f_2(x)g_2(x) = 1$ , denn

$$f_1(x)g_1(x) + f_2(x)g_2(x) = (1+x) \cdot \underbrace{(f_1(x) + f_2(x)(1+x))}_{\text{Polynom}} = 1$$

ist nach der Gradformel unmöglich. ■

## 8.5 Distanzeigenschaften und optimale Faltungscodes

Die Güte eines Blockcodes wird im wesentlichen mit der Minimaldistanz erfaßt, d.h. mit dem minimalen Hamminggewicht aller Codewörter. Eine entsprechende Charakterisierung für Faltungscodes wird nachfolgend eingeführt:

**Definition 8.2.** Die freie Distanz  $d_f$  (andere oft verwendete Schreibweisen sind  $d_{\text{free}}$  oder  $d_\infty$ ) eines Faltungscodes ist definiert als das minimale Hamminggewicht aller Codefolgen:

$$d_f = \min \left\{ w_H(u(x)\mathbf{G}(x)) \mid u(x) = \sum_{r=0}^{\infty} u_r x^r \neq 0 \right\}. \quad (8.5.1)$$

Mit Ausnahme punktierter Codes kann immer  $u_0 = 1$  gesetzt werden. Zwei Codefolgen unterscheiden sich immer an mindestens  $d_f$  Stellen. Ein Faltungscod heißt optimal, wenn  $d_f$  maximal ist gegenüber allen anderen Faltungscodes mit gleicher Coderate und gleicher Gedächtnislänge  $m$ .

**Tabelle 8.4.** Freie Distanz optimaler und punktierter Faltungscodes

$m$	$R = 1/2$	$R = 1/3$	$R = 1/4$	$R = 2/3$	$R = 3/4$
2	5	8	10	3	
3	6	10	13	4	
4	7	12	16	4	3
5	8	13	18	6	4
6	10	15	20	6	5
7	10	16	22	7	6
8	12	18	24	7	6
9	12	20	27	7	6
10	14	22	29	8	6
11	15	24	32	9	7
12	16	24	33	9	7
13	16	26	36	10	7

Meistens ist der optimale Code nicht eindeutig bestimmt. Die freie Distanz optimaler Codes mit den Raten  $R = 1/2$ ,  $R = 1/3$  und  $R = 1/4$  wird in

Tabelle 8.4 aufgelistet. Die entsprechenden Codes wurden 1970 von Odenwalder und Larson per Rechnersuche gefunden. Die Generatorpolynome der wichtigsten Fälle  $R = 1/2$  und  $R = 1/3$  bei  $m \leq 6$  wurden bereits in Tabelle 8.1 angegeben. Die restlichen Generatorpolynome sowie Angaben zu Codes mit anderen Raten, zu systematischen Codes und zu transparenten Codes finden sich beispielsweise in [12, 19, 43, 49, 57, 64, 75, 80] und sehr ausführlich in [23, 78].

Bei den Codes mit den Raten  $R = 2/3$  und  $R = 3/4$  aus Tabelle 8.4 handelt es sich um punktierte Codes, die in [105] angegeben sind. Andere Tabellen zu punktierten Codes zeigen teilweise geringfügig andere freie Distanzen, was an den bereits in Abschnitt 8.3 erklärten verschiedenen Kriterien zur Auswahl punktierter Codes liegt. Die freie Distanz nimmt bei allen Coderaten nicht kontinuierlich mit  $m$  zu: Beispielsweise bringt bei  $R = 1/2$  die Erhöhung von  $m = 6$  auf  $m = 7$  keinen Gewinn, sondern nur eine Aufwandsverdopplung im Decoder, wie sich noch zeigen wird.

Für die Infolge  $u(x) = 1$  ergibt sich die Codefolge  $\mathbf{a}(x) = \mathbf{G}(x)$  und daraus resultiert eine obere Grenze für die freie Distanz:

$$d_f \leq w_H(\mathbf{G}(x)) = \sum_{\nu=1}^n w_H(g_\nu(x)) \quad (8.5.2)$$

$$\leq n \cdot (m + 1). \quad (8.5.3)$$

Oftmals gilt in der ersten Abschätzung sogar Gleichheit, während die zweite Abschätzung bei nicht-katastrophalen Codes nie scharf sein kann. Bei einem systematischen  $R = 1/2$ -Code gilt  $\mathbf{G}(x) = (g_1(x), 1)$  und somit

$$d_f \leq m + 2.$$

Da Tabelle 8.4 für die optimalen Codes größere freie Distanzen zeigt, können optimale Codes also nicht systematisch sein. Von Heller wurde eine weitere obere Schranke angegeben (siehe z.B. [57]), die hier ohne Beweis zitiert wird:

$$d_f \leq \min_{l \geq 1} \left[ \frac{2^{l-1}}{2^l - 1} (m + l)n \right]. \quad (8.5.4)$$

Diese Schranke erweist sich im Vergleich mit Tabelle 8.4 als sehr scharf. Für  $l = 1$  stimmt (8.5.4) mit (8.5.3) überein.

**Beispiel 8.7. (1)** Für das Standardbeispiel mit  $\mathbf{G}(x) = (1 + x + x^2, 1 + x^2)$  gilt  $d_f \leq 5$  gemäß (8.5.2). Später wird noch gezeigt, daß  $d_f = 5$  gilt.

**(2)** Bei  $\mathbf{G}(x) = (1 + x + x^2, 1 + x + x^2)$  ergibt (8.5.2) zwar  $d_f \leq 6$ , aber erstens ist das ein katastrophaler Encoder und zweitens gilt nur  $d_f = 4$ , denn  $u(x) = 1 + x$  erzeugt  $\mathbf{a}(x) = (1 + x^3, 1 + x^3)$ . Damit wird klar, daß es keinen  $R = 1/2$ -Code mit  $d_f = 6$  geben kann.

**(3)** Beim katastrophalen Code mit  $G(x) = (1 + x, 1 + x^2)$  gilt  $d_f = 3$  nach Beispiel 8.4, aber bei Beschränkung auf endlich lange Folgen und damit beim terminierten Code gilt  $d_f = 4$ . ■

Bei terminierten Faltungscodes gilt für die Minimaldistanz des entstehenden Blockcodes immer  $d_{\min} = d_f$ . Allerdings sind das asymptotisch schlechte Blockcodes im Sinn von Abschnitt 3.4, denn bei konstanter Coderate bleibt die Minimaldistanz konstant und somit konvergiert die Distanzrate bei wachsender Blocklänge gegen Null. Dennoch erweisen sich die Faltungscodes als sehr leistungsfähig. Die Festlegung optimaler Codes in Definition 8.2 erfolgt in Hinblick auf die ML-Decodierung mit dem Viterbi-Algorithmus (siehe Kapitel 9). Bei anderen Decodierverfahren sind etwas andere Distanzeigenschaften für die Auswahl des Codes maßgebend. Eine umfassende Übersicht zu weiteren Distanzdefinitionen gibt [23].

Die Beschreibung von Faltungscodes bzw. ihrer Encoder erfolgte bisher mit Polynomen oder Schieberegistern. Zur Beschreibung der Codemenge selbst wird in Abschnitt 8.6 das Trellisdiagramm (wichtig für die ML-Decodierung) und in Abschnitt 8.7 das Zustandsdiagramm (wichtig für die Berechnung der Distanzeigenschaften) eingeführt.

## 8.6 Trellisdiagramm

Die Beschreibung eines Faltungscodes durch das Trellisdiagramm (Gitter-, Netzdiagramm) ist die gedankliche Grundlage für die Decodierung. Das Trellisdiagramm besteht aus einzelnen Trellissegmenten, die eindeutig dem Faltungs-Encoder entsprechen.

Nach (8.1.1) ist der aktuelle Codeblock  $\mathbf{a}_r$  eine Funktion des aktuellen Infobits  $u_r$  und der  $m$  vorangehenden Infobits  $u_{r-1}, \dots, u_{r-m}$ . Das binäre  $m$ -Tupel  $(u_{r-1}, \dots, u_{r-m})$  wird als *Zustand* angesprochen. Die Werte dieser  $2^m$  Zustände werden mit  $\zeta_1, \dots, \zeta_{2^m}$  bezeichnet. Dabei sei  $\zeta_1 = (0, \dots, 0)$  der *Nullzustand*. Der Zustand zur Zeit  $r$  (bezogen auf die Infobits bzw. auf die Codeblöcke) wird mit  $z_r \in \{\zeta_1, \dots, \zeta_{2^m}\}$  bezeichnet. Aus dem aktuellen Infobit und dem aktuellen Zustand ergeben sich der aktuelle Codeblock und der nächste Zustand:

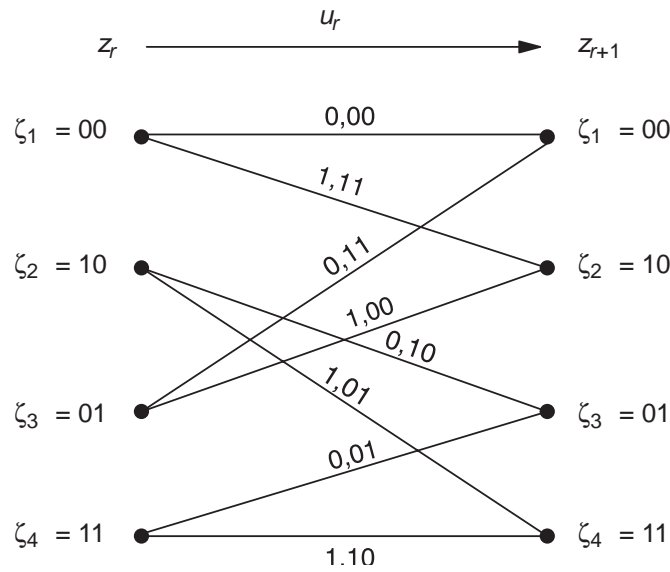
$$\mathbf{a}_r = \text{Encoder}(u_r, z_r) \quad , \quad z_{r+1} = \text{Shiftfunktion}(u_r, z_r). \quad (8.6.1)$$

**Beispiel 8.8.** Für das Standardbeispiel mit  $\mathbf{G}(x) = (1 + x + x^2, 1 + x^2)$  werden die Zustände als  $\zeta_1 = 00$ ,  $\zeta_2 = 10$ ,  $\zeta_3 = 01$ ,  $\zeta_4 = 11$  durchnummeriert. Dann gilt:

Encoder		
$\mathbf{a}_r$	$u_r = 0$	$u_r = 1$
$z_r = 00$	00	11
$z_r = 10$	10	01
$z_r = 01$	11	00
$z_r = 11$	01	10

Shiftfunktion		
$z_{r+1}$	$u_r = 0$	$u_r = 1$
$z_r = 00$	00	10
$z_r = 10$	01	11
$z_r = 01$	00	10
$z_r = 11$	01	11

In Bild 8.5 sind diese Tabellen als Trellissegment dargestellt. Die Kanten zwischen den Zuständen sind mit  $u_r$ ,  $\mathbf{a}_r$  beschriftet. Die spezielle Generatormatrix

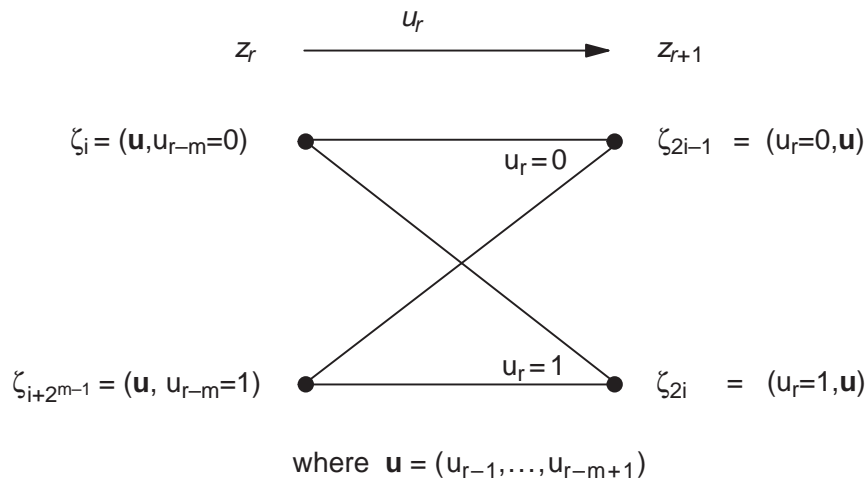


**Bild 8.5.** Trellissegment für das Standardbeispiel  $G(x) = (1 + x + x^2, 1 + x^2)$

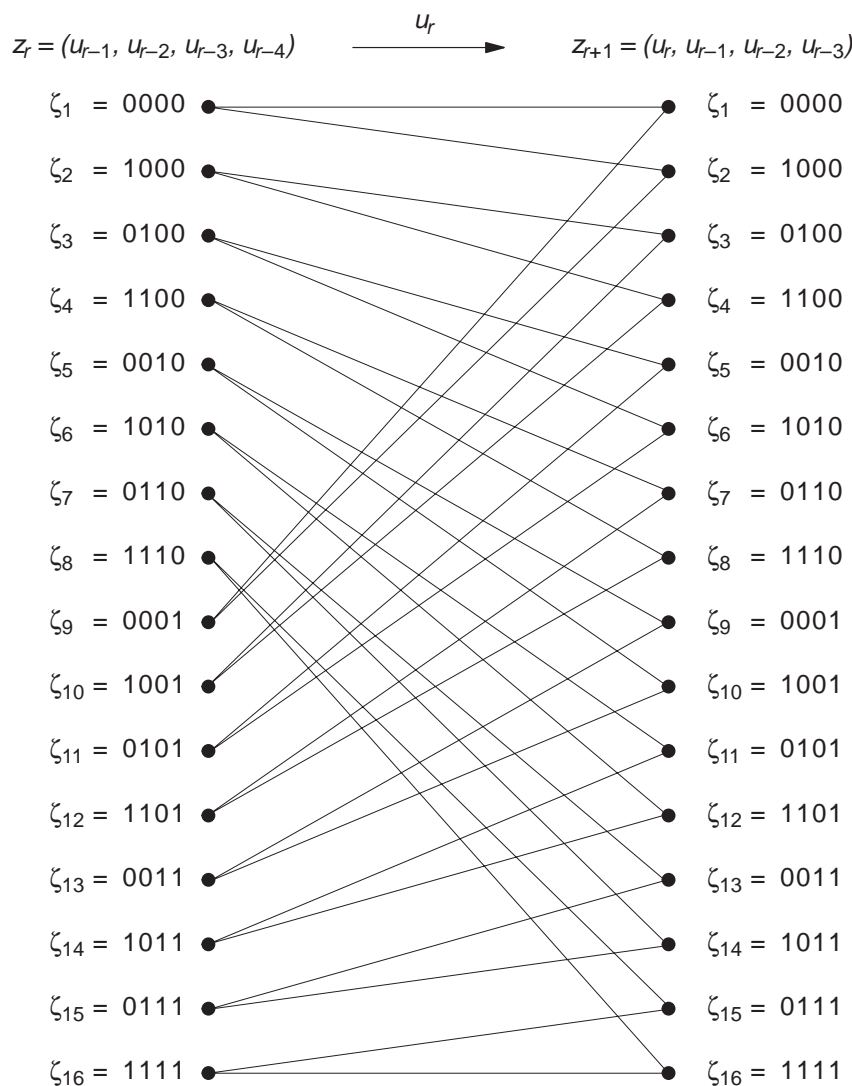
wirkt sich nur auf die  $\mathbf{a}_r$ -Beschriftung aus, aber nicht auf die Zustandsübergänge. ■

Generell hat ein *Trellissegment*  $2^m$  Zustände. Bei  $R = 1/n$ -Codes gehen von jedem Zustand  $z_r = \zeta_i$  stets 2 Kanten (Zweig, branch) ab und bei jedem Zustand  $z_{r+1} = \zeta_j$  kommen stets 2 Kanten an. Wenn die Zustände als umgekehrte Dualzahlen durchnummeriert werden, stellt sich die mit Bild 8.6 formulierte Symmetrie ein.

Von  $\zeta_i$  und  $\zeta_{i+2^m-1}$  gehen insgesamt 4 Kanten ab, die bei  $\zeta_{2i-1}$  und  $\zeta_{2i}$  ankommen. Die Beschriftung der Kanten mit  $u_r$  kann entfallen, da obere abgehende Kanten stets  $u_r = 0$  und untere abgehende Kanten stets  $u_r = 1$  entsprechen. In



**Bild 8.6.** Elementarteil des allgemeinen Trellissegmentes

Bild 8.7. Trellissegment für Gedächtnislänge  $m = 4$ 

$\zeta_i$  und  $\zeta_{i+2^{m-1}}$  ist der vordere Teil  $\mathbf{u} = (u_{r-1}, \dots, u_{r-m+1})$  konstant. Beim Übergang von  $z_r$  nach  $z_{r+1}$  fällt  $u_{r-m}$  heraus und  $\mathbf{u}$  bildet den hinteren Teil von  $\zeta_{2i-1}$  und  $\zeta_{2i}$ . Diese Zusammenhänge werden noch deutlicher für den komplizierteren Fall  $m = 4$ , der in Bild 8.7 dargestellt ist.

Bei  $R = k/n$ -Faltungscodes mit der Gedächtnislänge  $m$  gehen von jedem der  $2^m$  Zustände genau  $2^k$  Kanten ab bzw. es kommen genau  $2^k$  Kanten an. Also gibt es insgesamt  $2^{m+k}$  Kanten pro Trellissegment. Entsprechende Beispiele werden noch in Kapitel 10 behandelt.

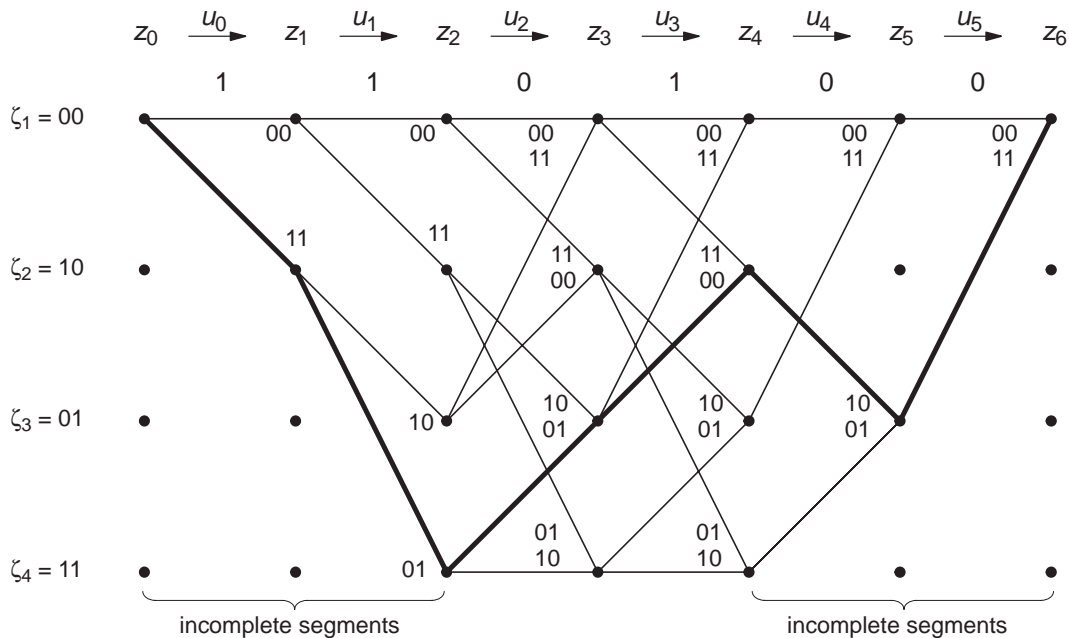
Ein vollständiges *Trellisdiagramm* (oder kurz *Trellis*) ergibt sich durch Hintereinander-Reihung der einzelnen Trellissegmente. Aufgrund der Vorbelegung des Schieberegisters mit Nullen tritt dabei der Anfangseffekt auf, daß die Kanten nur vom Nullzustand ausgehen können. Bei terminierten Codes gibt es einen entsprechenden Endeffekt, da die Kanten wieder auf den Nullzustand

zurückgehen müssen. Der Trellis ist ein gerichteter Graph mit einem Anfangs- und einem Endzustand. Anstelle von Zuständen spricht man auch von *Knoten* (node). Die ersten  $m$  und die letzten  $m$  Segmente sind unvollständig. Eine Kantenfolge wird als *Weg* bezeichnet. Bei nicht-terminierten Codes können die Wege auch unendliche Länge haben.

**Beispiel 8.9.** Das Trellisdiagramm für das Standardbeispiel zeigt Bild 8.8, wobei nach 4 Infobits terminiert wird. Die Kanten sind mit den Codeblöcken beschriftet. Dem dick markierten Weg entsprechen

$$\begin{aligned} \text{Infofolge} & 1, 1, 0, 1, (0, 0) \\ \text{Codefolge} & 11, 01, 01, 00, 10, 11 \\ \text{Zustandsfolge} & \zeta_1, \zeta_2, \zeta_4, \zeta_3, \zeta_2, \zeta_3, \zeta_1. \end{aligned}$$

Die gleiche Codefolge wurde in Beispiel 8.3 bereits über die Generatormatrix berechnet. ■



**Bild 8.8.** Trellisdiagramm für das Standardbeispiel

Bei punktierten Codes ist die Beschriftung der Kanten mit den Codeblöcken eigentlich zeitvariant (d.h. variierend von Segment zu Segment), aber es wird sich in Abschnitt 9.4 noch zeigen, daß das Punktierungsschema bei der Decodierung sehr einfach eingearbeitet werden kann.

Infofolgen und Codefolgen und Zustandsfolgen entsprechen einander jeweils umkehrbar eindeutig. Mit dem Konzept “Wege durch den Trellis” ist die Codemenge erheblich besser zu überblicken als mit der Generatormatrix. Als *Fundamentalweg* wird ein endlich langer Weg durch den Trellis bezeichnet, der irgendwo beim Nullzustand beginnt und beim Nullzustand endet und zwischendurch

den Nullzustand nicht berührt. Die Länge des Fundamentalweges beträgt mindestens  $m + 1$  Segmente bzw.  $(m + 1)n$  Codebits. Jeder Weg im terminierten Trellis zerfällt in eine endliche Abfolge von Fundamentalwegen und Nullstücken.

Die freie Distanz  $d_f$  ergibt sich aus dem Trellis als minimales Hamminggewicht aller beim Nullzustand beginnenden Wege. Das Hamminggewicht bezieht sich dabei natürlich auf die Beschriftung der Kanten mit den Codeblöcken. Ein terminierter Code und ein nicht-terminierter Code haben die gleiche freie Distanz.

**Satz 8.2.** *Bei nicht-katastrophalen Codes kann die freie Distanz allein aus den Fundamentalwegen bestimmt werden.*

Beweis: Es ist zu zeigen, daß das minimale Gewicht aller Codefolgen bei einer endlichen Infofolge erreicht wird. Gegenannahme: Es gibt eine Infofolge unendlichen Gewichts mit einem Codefolgengewicht  $\leq w_H(\mathbf{G}(x)) < \infty$ . Das ist aber bei nicht-katastrophalen Codes ausgeschlossen. ■

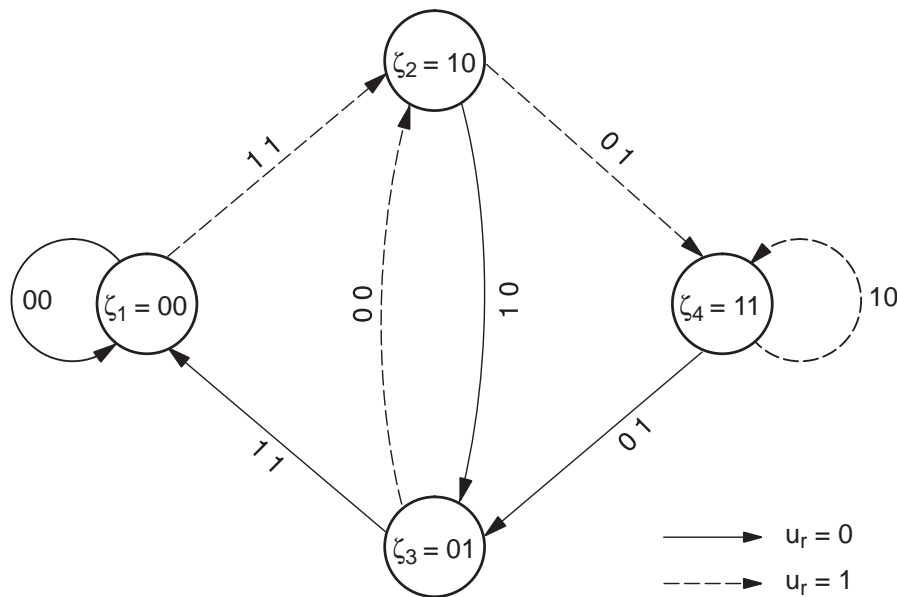
Dieser Satz verknüpft die Begriffe katastrophal, freie Distanz und Fundamentalweg. Es reicht also zur Bestimmung von  $d_f$  aus, nur endlich lange Wege zu betrachten, wobei es unwichtig ist, wo der Weg beginnt. Für das Standardbeispiel folgt aus Bild 8.8 sofort  $d_f = 5$ . Bei katastrophalen Codes gibt es unendlich lange Wege mit endlichem Gewicht, die den Nullzustand nicht berühren. Bei nicht-katastrophalen Codes ist das ausgeschlossen.

## 8.7 Zustandsdiagramm

Beim Trellisdiagramm werden sämtliche Codeeigenschaften schon mit einem einzigen Segment erfaßt. Das *Zustandsdiagramm* (state transition diagram, signal flowchart) ist ein gewichteter und gerichteter Graph, der aus einem Trellissegment dadurch entsteht, daß die Knoten zur Zeit  $r + 1$  mit denen zur Zeit  $r$  identifiziert werden.

Das Prinzip wird sofort klar aus dem in Bild 8.9 dargestellten Zustandsdiagramm für das Standardbeispiel. Eine durchgezogene Kante entspricht  $u_r = 0$  und eine gestrichelte Kante entspricht  $u_r = 1$ . Die Kanten sind mit den Codeblöcken beschriftet.

Allgemein gibt es  $2^m$  Zustände mit  $2^{m+1}$  Kanten (bei  $R = 1/n$ ). Die möglichen Codefolgen entsprechen den möglichen Zustandssequenzen im Zustandsdiagramm. Das Zustandsdiagramm ist ein endlicher deterministischer Automat (Mealy-Automat). Generell gibt es beim Nullzustand immer eine Schleife mit  $u_r = 0$  und  $\mathbf{a}_r = \mathbf{0}$ . Trivialerweise ist das Diagramm stets zusammenhängend, da jeder Zustand aus jedem anderen Zustand immer durch eine geeignete Infofolge erreicht werden kann. Die Generatormatrix wirkt sich nur auf die Kantenbeschriftung aus.



**Bild 8.9.** Zustandsdiagramm für das Standardbeispiel

Die Fundamentalwege sind im Zustandsdiagramm sehr einfach zu übersehen und darin liegt die Bedeutung dieser Darstellung: Ein Fundamentalweg beginnt im Nullzustand, verläßt den Nullzustand und ist mit dem Wiedererreichen des Nullzustandes beendet. Das minimale Codefolgen-Gewicht aller Fundamentalwege entspricht nach Satz 8.2 der freien Distanz, sofern der Encoder nicht-katastrophal ist.

## 8.8 Gewichtungsfunktion eines Faltungscodes

Die Berechnung der Fehlerwahrscheinlichkeit kann nicht allein aus der freien Distanz erfolgen, sondern wie bei den Blockcodes sind noch weitere Gewichtsparameter von Bedeutung. Für Faltungscodes ist es erforderlich, daß ein vollständiger Überblick über alle Fundamentalwege gewonnen und mit einem analytisch geschlossenen Ausdruck erfaßt wird.

**Definition 8.3.** Es sei  $t(d, i, j)$  die Anzahl der Fundamentalwege, die zum Zeitpunkt Null beginnen mit:

$d$  = Hamminggewicht der Codeblockfolge

$i$  = Hamminggewicht der Infobitfolge

$j$  = Länge des Fundamentalweges (in Codeblöcken bzw. Infobits).

Die  $t(d, i, j)$  werden als Fundamentalwegkoeffizienten (complete path enumerators) bezeichnet. Die formale Potenzreihe in  $D, I, J$

## 9. ML-Decodierung mit dem Viterbi-Algorithmus und Fehlerwahrscheinlichkeit von Faltungscodes

Für Faltungscodes gibt es verschiedene Decodierprinzipien:

**Maximum-Likelihood-Decodierung:** Eine sehr elegante und zugleich aufwandsgünstige Realisierung der ML-Decodierung ermöglicht der Viterbi-Algorithmus, der seit 1967 bekannt ist. Teilweise wird auch der Begriff Viterbi-Decodierung verwendet. Dieses Verfahren ist von großer praktischer Bedeutung und kann neben der Decodierung von Faltungscodes und Trelliscodes prinzipiell bei allen Systemen angewendet werden, die eine Trellisstruktur aufweisen. Dazu zählen auch Interferenz-Verzerrungen, digitale Modulationsverfahren mit Gedächtnis und sogar Blockcodes, wie sich in den Abschnitten 11.4 bis 11.7 noch zeigen wird.

Die Viterbi-Decodierung ist bei hohen Übertragungsraten heute technisch realisierbar bis zu einer Gedächtnislänge von etwa  $m = 6$  oder  $m = 8$ . Jede Erhöhung von  $m$  um 1 verdoppelt den Aufwand. Der Viterbi-Algorithmus verarbeitet fast ohne Mehraufwand Soft-Decision als Input mit entsprechenden Codierungsgewinnen und kann andererseits Soft-Decision als Output erzeugen.

**Sequentielle Decodierung:** Hierbei sind wesentlich größere Gedächtnislängen bis etwa  $m = 100$  möglich. Der Rechenaufwand für die Decodierung ist nicht konstant wie beim Viterbi-Algorithmus, sondern variiert mit der Anzahl der Fehler. Der Rechenaufwand kann auch von außen vorgegeben werden und erlaubt damit eine Steuerung des Codierungsgewinns. Die sequentielle Decodierung geht zurück auf Wozencraft (1957) und wird üblicherweise mit dem Fano-Algorithmus (1963) oder dem Stack-Algorithmus (Zigangirov 1966, Jelinek 1969) realisiert.

**Algebraische Decodierung:** Damit wird eine Klasse von einfachen und suboptimalen Decodierverfahren bezeichnet, die heute nur noch in Sonderfällen verwendet werden, wo es auf allereinfachste Realisierung oder extrem hohe

Übertragungsraten ankommt. Bekannt wurden diese Verfahren durch Massey (1963).

Die Schwerpunkte dieses Kapitels bilden die ML-Decodierung mit dem Viterbi-Algorithmus einschließlich der Implementierungsaspekte und der Erzeugung von Soft-Decision-Output sowie die Berechnung der Fehlerwahrscheinlichkeit einschließlich der entstehenden Fehlerstrukturen. Daneben wird das Konzept der verketteten Codierung eingeführt und schließlich erfolgt ein Vergleich zwischen Blockcodes und Faltungscodes.

## 9.1 Viterbi-Metrik

Für die Herleitung der ML-Decodierung kann gedanklich ein terminierter Faltungscodewort vorausgesetzt werden, der dann ein spezieller Blockcode ist. Nach Satz 1.2 wird zur Empfangsfolge  $\mathbf{y}$  als ML-Schätzung  $\hat{\mathbf{a}}$  diejenige Codefolge gewählt, bei der die Übergangswahrscheinlichkeit maximal wird. Für alle Codefolgen  $\mathbf{b}$  muß also gelten:

$$P_{y|x}(\mathbf{y}|\hat{\mathbf{a}}) \geq P_{y|x}(\mathbf{y}|\mathbf{b}). \quad (9.1.1)$$

Für den DMC zerfällt die Übergangswahrscheinlichkeit für Folgen nach Definition 1.1 in ein Produkt von einzelnen Übergangswahrscheinlichkeiten:

$$P_{y|x}(\mathbf{y}|\mathbf{x}) = \prod_{i=0}^l P_{y|x}(y_i|x_i). \quad (9.1.2)$$

Dabei ist  $l = (L+m)n-1$ , wenn nach  $L$  Infobits terminiert wird, und  $i$  durchläuft die Empfangswerte bzw. Codebits. Anstelle von  $P_{y|x}(\mathbf{y}|\mathbf{x})$  kann auch der skalierte Logarithmus maximiert werden ( $\alpha > 0$ , Rechnung in den reellen Zahlen):

$$\mu(\mathbf{y}|\mathbf{x}) = \alpha \cdot \log P_{y|x}(\mathbf{y}|\mathbf{x}) + \beta \quad (9.1.3)$$

$$\begin{aligned} &= \alpha \cdot \sum_{i=0}^l \log P_{y|x}(y_i|x_i) + \beta \\ &= \sum_{i=0}^l \left( \alpha \cdot \log P_{y|x}(y_i|x_i) + \beta_i \right) \\ &= \sum_{i=0}^l \mu(y_i|x_i). \end{aligned} \quad (9.1.4)$$

Die Summe  $\mu(\mathbf{y}|\mathbf{x})$  wird als *Viterbi-Metrik* des DMC bezeichnet, die natürlich vom verwendeten Code unabhängig ist. Die Summanden  $\mu(y_i|x_i)$  werden als *Metrik-Inkrement* bezeichnet. Die ML-Decodierung ist äquivalent mit der Maximierung der Viterbi-Metrik durch Wahl einer geeigneten Codefolge. Mit (9.1.4) wird eine *Inkrementalisierung* der Viterbi-Metrik gegeben. Die Größen  $\alpha > 0$  und

$\beta_i$  sind dabei frei wählbar. Nur  $\beta_i$  darf von  $i$  bzw.  $y_i$  abhängen, aber natürlich nicht von  $x_i$ .

Für den BSC und den AWGN wird jetzt gezeigt, daß durch geeignete Wahl der Konstanten das Metrik-Inkrement in die Form  $\mu(y_i|x_i) = x_i y_i$  gebracht werden kann:

**Beispiel 9.1.** Für den BSC wird  $\mathcal{A}_{\text{in}} = \mathcal{A}_{\text{out}} = \{+1, -1\}$  gesetzt. Für die Übergangswahrscheinlichkeit gilt nach Definition 1.2:

$$P(y|x) = \begin{Bmatrix} 1 - p_e & x = y \\ p_e & x \neq y \end{Bmatrix} = \begin{Bmatrix} 1 - p_e & xy = +1 \\ p_e & xy = -1 \end{Bmatrix}.$$

Mit  $\alpha = 2/\log((1 - p_e)/p_e) > 0$  (bei  $p_e < 1/2$ ) und  $\beta = -1 - \alpha \log p_e$  nimmt das Metrik-Inkrement folgende Form an:

$$\begin{aligned} \mu(y|x) &= \alpha \log P(y|x) + \beta \\ &= \begin{Bmatrix} \alpha \log(1 - p_e) + \beta & xy = +1 \\ \alpha \log p_e + \beta & xy = -1 \end{Bmatrix} \\ &= \begin{Bmatrix} \alpha \log((1 - p_e)/p_e) - 1 & xy = +1 \\ -1 & xy = -1 \end{Bmatrix} \\ &= \begin{Bmatrix} +1 & xy = +1 \\ -1 & xy = -1 \end{Bmatrix} = xy. \end{aligned}$$

Wegen

$$d_H(x, y) = \begin{Bmatrix} 0 & xy = +1 \\ 1 & xy = -1 \end{Bmatrix} = \frac{1 - xy}{2}$$

ist die Maximierung der Viterbi-Metrik äquivalent mit der Minimierung des Hammingabstandes, wie es in Satz 1.3 für die ML-Decodierung abgeleitet wurde. In den folgenden Beispielen wird allerdings  $\mathcal{A}_{\text{in}} = \mathcal{A}_{\text{out}} = \{0, 1\}$  gesetzt und dann ist  $\mu(y|x) = 1 - d_H(x, y)$  zu maximieren. Somit entspricht die Viterbi-Metrik der Anzahl der Übereinstimmungen zwischen der Empfangsfolge und der Codefolge zu einem Weg durch den Trellis.

In Abschnitt 9.7 wird noch eine Erweiterung zu einem zeitvarianten BSC betrachtet, bei dem die Bit-Fehlerwahrscheinlichkeit  $p_e$  von Kanalbenutzung zu Kanalbenutzung variieren kann. ■

**Beispiel 9.2.** Für den AWGN wird  $\mathcal{A}_{\text{in}} = \{+1, -1\}$  und  $\mathcal{A}_{\text{out}} = \mathbb{R}$  gesetzt. Für die bedingte Verteilungsdichte gilt nach Definition 1.3:

$$f(y|x) = \frac{1}{\sqrt{\pi N_0}} \exp\left(-\frac{(y-x)^2}{N_0}\right).$$

Für die Viterbi-Metrik

$$\mu(y|x) = \alpha \log f(y|x) + \beta = \alpha \left( \ln \frac{1}{\sqrt{\pi N_0}} - \frac{y^2}{N_0} - \frac{x^2}{N_0} + \frac{2}{N_0} xy \right) + \beta$$

wird  $\alpha = N_0/2 > 0$  gewählt. Stets gilt  $x^2 = 1$  und somit folgt

$$\mu(y|x) = \frac{N_0}{2} \left( \ln \frac{1}{\sqrt{\pi N_0}} - \frac{y^2}{N_0} - \frac{1}{N_0} \right) + \beta + xy = xy,$$

sofern  $\beta$  geeignet gewählt wird. Die Viterbi-Metrik  $\mu(\mathbf{y}|\mathbf{x})$  entspricht also einem Skalarprodukt. Bereits in (1.6.11) wurde die ML-Regel als Maximierung dieses Skalarprodukts formuliert. ■

Zusammenfassung: Sowohl beim BSC wie beim AWGN mit  $\mathcal{A}_{\text{in}} = \{+1, -1\}$  ist zur Empfangsfolge  $\mathbf{y}$  die Codefolge  $\hat{\mathbf{a}}$  so zu wählen, daß das Skalarprodukt maximal wird:

$$\mu(\mathbf{y}|\hat{\mathbf{a}}) = \sum_{i=0}^l y_i \hat{a}_i = \sum_{i=0}^l \mu(y_i|\hat{a}_i). \quad (9.1.5)$$

Dies entspricht der Minimierung des Hammingabstandes beim BSC (Satz 1.3) bzw. der Minimierung des euklidischen Abstandes beim AWGN (Satz 1.4).

## 9.2 Viterbi-Algorithmus für terminierte Codes

In diesem Abschnitt wird der Faltungscodierung als terminiert und im nächsten Abschnitt als nicht-terminiert vorausgesetzt. Alle Kanten werden mit dem Metrik-Inkrement für einen Block beschriftet, d.h. die Inkrementalisierung erfolgt jetzt zweckmäßigerweise mit den Codeblöcken anstelle der Codebits:

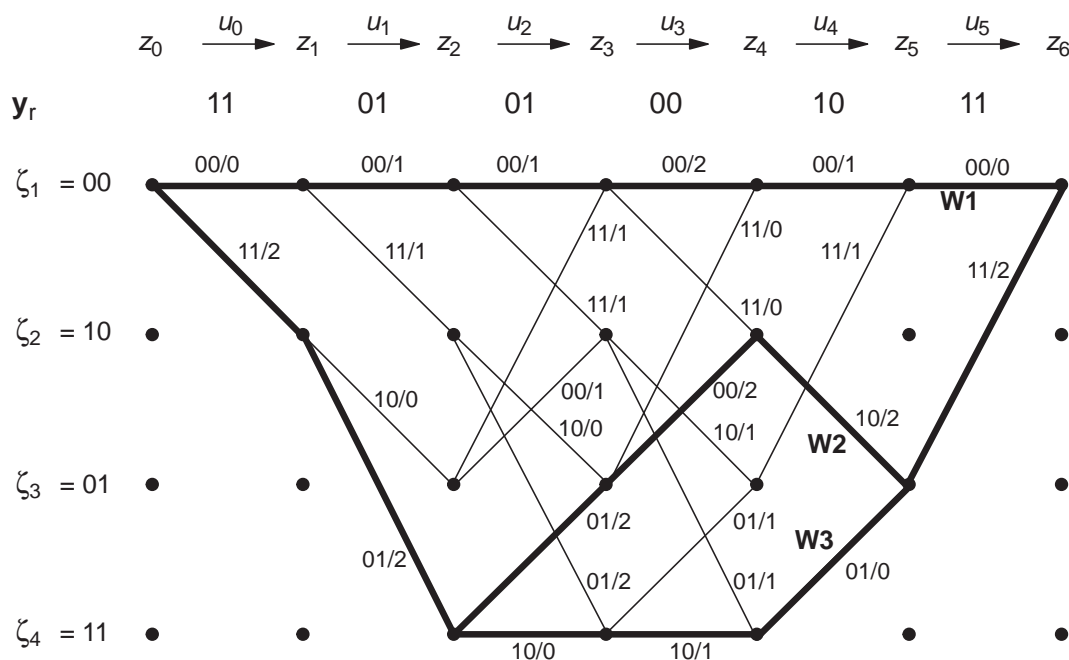
$$\mu(\mathbf{y}_r|\mathbf{a}_r) = \sum_{\nu=1}^n y_{r,\nu} a_{r,\nu}. \quad (9.2.1)$$

Mit der Terminologie aus Abschnitt 8.6 ist die ML-Decodierung nun damit äquivalent, daß derjenige Weg durch den Trellis vom Anfangszustand  $z_0 = \zeta_1$  bis zum Endzustand  $z_{L+m} = \zeta_1$  gefunden wird, dessen Metrik bzw. dessen Summe der Inkremente maximal ist. Mit diesem Weg maximaler Metrik ist neben der geschätzten Codefolge auch zugleich die geschätzte Infofolge bekannt, so daß ein explizites Encoder-Inverses nicht erforderlich ist.

**Beispiel 9.3.** In Bild 9.1 wird wie in Bild 8.8 als Empfangsfolge die ungestörte Codefolge 11, 01, 01, 00, 10, 11 zur Infofolge 1, 1, 0, 1, (0,0) angenommen. Die Kanten sind mit dem Codeblock sowie dem Metrik-Inkrement beschriftet. Dabei wird  $\mathcal{A}_{\text{in}} = \mathcal{A}_{\text{out}} = \{0, 1\}$  gesetzt und  $\mu(y|x) = 1 - d_H(x, y)$  ist zu maximieren. Für die drei dick markierten Wege gilt beispielsweise:

$$\mu(y|W_1) = 5 \quad , \quad \mu(y|W_2) = 12 \quad , \quad \mu(y|W_3) = 7.$$

$W_2$  entspricht der ungestört empfangenen Codefolge und hat maximales Gewicht. ■



**Bild 9.1.** Standardbeispiel mit ungestört empfangener Codefolge

Mit jeder Verlängerung des Trellis um ein Segment bzw. Codeblock bzw. Infobit verdoppelt sich die Anzahl der zu untersuchenden Wege. Der Decodieraufwand wächst also exponentiell mit der Länge der Infobitfolge. Der *Viterbi-Algorithmus* (VA) reduziert nun den Aufwand auf ein lineares Wachstum – und zwar ohne den geringsten Verlust an Codierungsgewinn. Zudem kann auch bei nicht-terminierten Codes nach einer gewissen Verzögerung sukzessive entschieden werden, so daß dann der Rechenaufwand für die Decodierung zeitlich konstant bleibt.

Die Grundidee des Viterbi-Algorithmus ist sehr einfach: Es werden sukzessive Wege von  $z_0 = \zeta_1$  zu allen Zuständen  $z_r = \zeta_i$  betrachtet, wobei  $r$  von 1 bis  $L + m$  läuft. Für jeden Weg ist eine Metrik

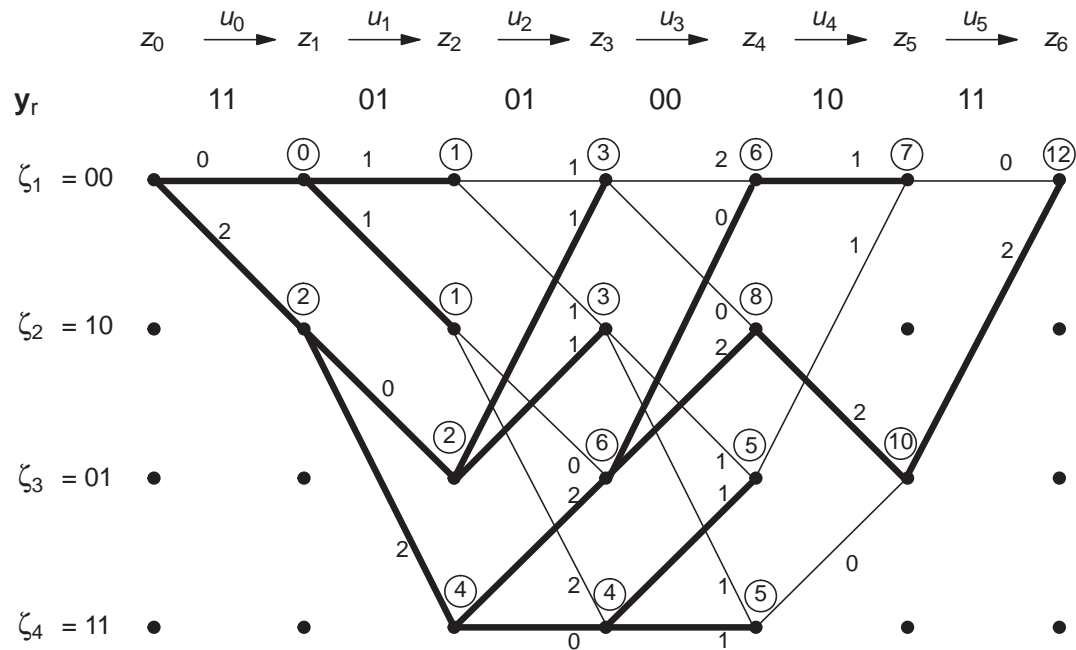
$$\mu_r(i) = \text{Metrik des Weges von } z_0 = \zeta_1 \text{ nach } z_r = \zeta_i \quad (9.2.2)$$

definiert. Beim Übergang von  $z_r = \zeta_i$  nach  $z_{r+1} = \zeta_j$  wird der Weg um ein Segment verlängert und die neue Metrik  $\mu_{r+1}(j)$  ergibt sich aus der alten Metrik plus dem Inkrement. Von allen bei  $z_r = \zeta_i$  ankommenden Wegen braucht nachfolgend nur noch der Weg mit maximaler Metrik berücksichtigt zu werden. Somit liegt bei jedem Zustand  $z_r = \zeta_i$  nur ein überlebender Weg (*Survivor-Weg*) mit der Metrik  $\mu_r(i)$  (*Survivor-Metrik*) an. Der neue Zustand  $z_{r+1} = \zeta_j$  wird erreicht aus  $z_r = \zeta_i$  und  $z_r = \zeta_{i'}$  mit den Survivor-Metriken  $\mu_r(i)$  und  $\mu_r(i')$ . Die neue Survivor-Metrik ergibt sich aus

$$\mu_{r+1}(j) = \max \left\{ \begin{array}{l} \mu_r(i) + \text{Inkrement zur Kante } (\zeta_i, \zeta_j), \\ \mu_r(i') + \text{Inkrement zur Kante } (\zeta_{i'}, \zeta_j) \end{array} \right\} \quad (9.2.3)$$

und der neue verlängerte Survivor-Weg ist somit der Weg mit der maximalen Metrik. Damit werden zu jedem Zeitpunkt  $r$  nur  $2^m$  Wege der Länge  $r$  sowie insgesamt  $2^m$  Survivor-Metriken gespeichert.

Obwohl dieses iterative Prinzip schon länger bekannt war, hat A.J.Viterbi 1967 als Erster dieses Prinzip auf die Decodierung von Faltungscodes angewendet [140] und wurde damit zum Namensgeber des Algorithmus. Von G.D.Forney wurde 1973 die Äquivalenz des Viterbi-Algorithmus mit der ML-Decodierung nachgewiesen [95].



**Bild 9.2.** Standardbeispiel mit Terminierung: VA für ungestörte Codefolge

**Beispiel 9.4.** Der Viterbi-Algorithmus wird in Bild 9.2 für das Standardbeispiel demonstriert, wobei die gleiche ungestörte Empfangsfolge wie in Bild 8.8 und Bild 9.1 vorausgesetzt wird. Die Kanten sind mit den Inkrementen beschriftet, die eingekreisten Zahlen sind die Survivor-Metriken und die dicken Kanten gehören zu den Survivor-Wege. Im einzelnen gilt für die bei  $z_r$  anliegenden Survivor:

$$\begin{aligned}
 \text{Survivor bei } z_1 = \zeta_1 &: \zeta_1, \zeta_1 \\
 &= \zeta_2 : \zeta_1, \zeta_2 \\
 \text{Survivor bei } z_2 = \zeta_1 &: \zeta_1, \zeta_1, \zeta_1 \\
 &= \zeta_2 : \zeta_1, \zeta_1, \zeta_2 \\
 &= \zeta_3 : \zeta_1, \zeta_2, \zeta_3 \\
 &= \zeta_4 : \zeta_1, \zeta_2, \zeta_4 \\
 \text{Survivor bei } z_3 = \zeta_1 &: \zeta_1, \zeta_2, \zeta_3, \zeta_1 \\
 &= \zeta_2 : \zeta_1, \zeta_2, \zeta_3, \zeta_2
 \end{aligned}$$

$$\begin{aligned}
&= \zeta_3 : \zeta_1, \zeta_2, \zeta_4, \zeta_3 \\
&= \zeta_4 : \zeta_1, \zeta_2, \zeta_4, \zeta_4 \\
\text{Survivor bei } z_4 &= \zeta_1 : \zeta_1, \zeta_2, \zeta_4, \zeta_3, \zeta_1 \\
&= \zeta_2 : \zeta_1, \zeta_2, \zeta_4, \zeta_3, \zeta_2 \\
&= \zeta_3 : \zeta_1, \zeta_2, \zeta_4, \zeta_4, \zeta_3 \\
&= \zeta_4 : \zeta_1, \zeta_2, \zeta_4, \zeta_4, \zeta_4 \\
\text{Survivor bei } z_5 &= \zeta_1 : \zeta_1, \zeta_2, \zeta_4, \zeta_3, \zeta_1, \zeta_1 \\
&= \zeta_3 : \zeta_1, \zeta_2, \zeta_4, \zeta_3, \zeta_2, \zeta_3 \\
\text{Survivor bei } z_6 &= \zeta_1 : \zeta_1, \zeta_2, \zeta_4, \zeta_3, \zeta_2, \zeta_3, \zeta_1.
\end{aligned}$$

Der bei  $z_6 = \zeta_1$  verbleibende Survivor entspricht der ML-Schätzung. Da eine obere bzw. untere abgehende Kante dem Infobit 0 bzw. 1 entspricht, ist die Infolgen-Schätzung 1,1,0,1,(0,0) sofort klar. ■

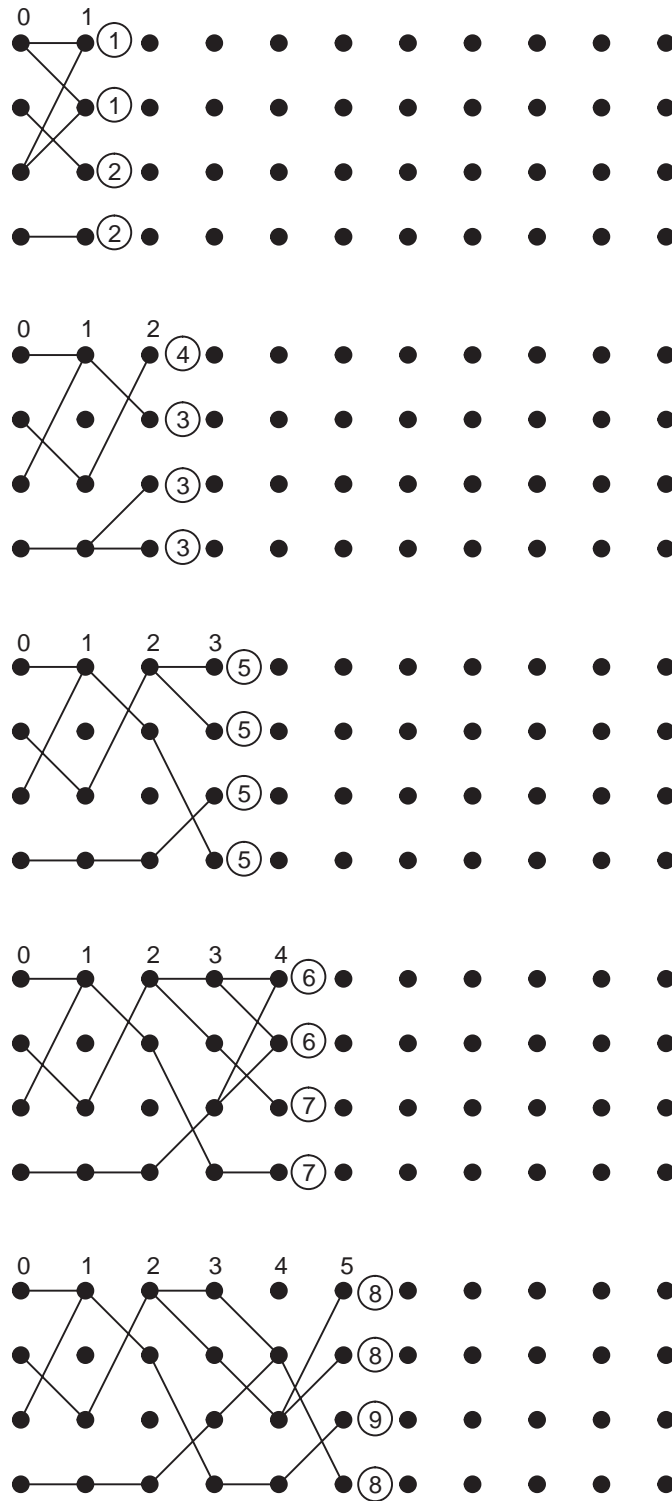
Die für Blockcodes sinnvolle Fragestellung “wieviel Fehler sind durch den ML-Decoder korrigierbar” ist bei Faltungscodes wenig sinnvoll, denn um die Frage präzise zu stellen, muß sie so lauten: Sind alle Fehlermuster mit  $t$  Fehlern in einem Abschnitt der Länge  $h$  korrigierbar, sofern ein Abschnitt der Länge  $h'$  davor fehlerfrei war? Jedoch kann diese Frage entweder überhaupt nicht beantwortet werden oder es ergibt sich ein sehr kleiner Wert für  $t$ , wenn die Betonung auf *alle* Fehlermuster liegt. Obwohl die korrigierbaren Fehlermuster nicht analytisch erfaßbar sind, gelingt in Abschnitt 9.5 dennoch die exakte Berechnung der Fehlerwahrscheinlichkeit und des Codierungsgewinns.

### 9.3 Viterbi-Algorithmus für nicht-terminierte Codes

Ein umfangreiches Beispiel zum Viterbi-Algorithmus ohne Terminierung zeigt Bild 9.3, wobei wieder das Standardbeispiel vorausgesetzt wird. Als Zahlenbeispiel wird die Infolge  $u_0, \dots, u_9 = 0111011000$  gewählt und in der Empfangsfolge werden 5 Fehler angenommen:

$$\begin{aligned}
\mathbf{a} &= 00\ 11\ 01\ 10\ 01\ 00\ 01\ 01\ 11\ 00 \\
\mathbf{y} &= 10\ 11\ 00\ 10\ 00\ 01\ 11\ 01\ 11\ 00.
\end{aligned}$$

Ferner wird der Anfangszustand als unbekannt angenommen. Nach jedem Iterationsschritt werden alle Wegstücke gelöscht, die nicht zu den verbleibenden aktuellen Survivor-Wegen gehören. Bei Mehrdeutigkeiten sind jeweils alle möglichen Survivor angegeben. Am rechten Rand sind die Survivor-Metriken vermerkt. Bei  $z_9$  verbleiben noch mehrere Survivor, aber alle bei  $z_{10}$  anliegenden Survivor laufen rückwärts betrachtet zu einem einzigen Weg zusammen, d.h. bei  $z_{10}$  kann eindeutig über  $u_0, \dots, u_7$  entschieden werden. Die Mehrdeutigkeit bei  $z_1 = \zeta_1$  ist irrelevant, weil beide Kanten mit  $u_0 = 0$  beschriftet sind. Wenn die Rückverfolgung des Survivors vom Zustand mit der maximalen Survivor-Metrik aus erfolgt, wird schon bei  $z_5$  über  $u_0$  richtig entschieden.



**Bild 9.3a.** Standardbeispiel ohne Terminierung: VA für gestörte Codefolge

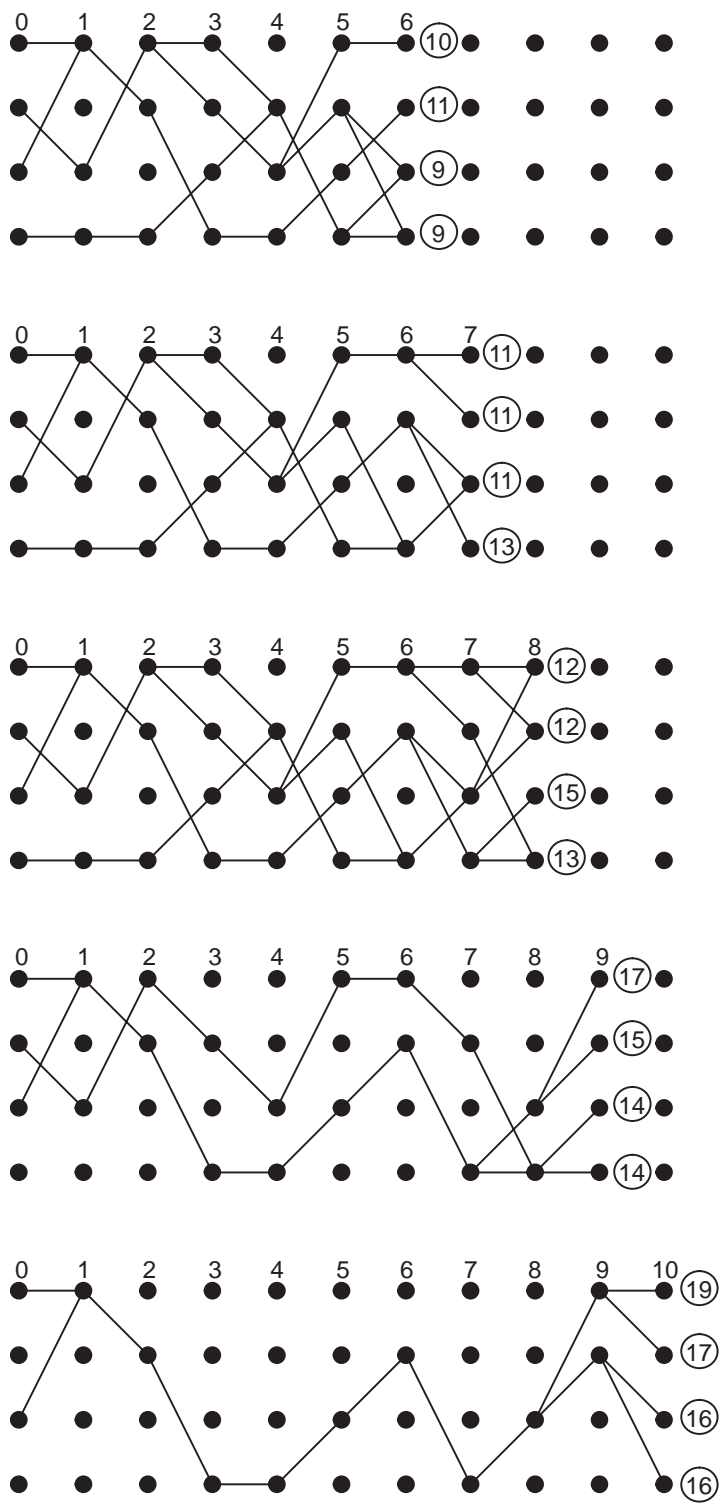
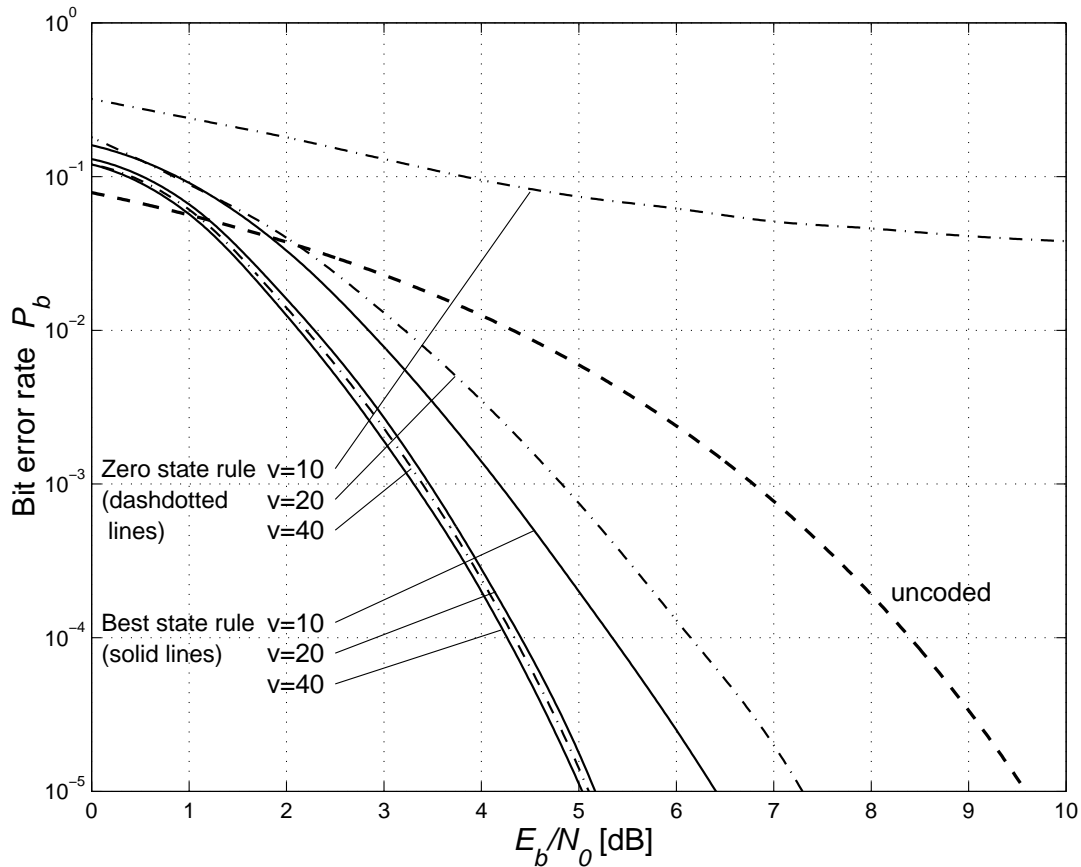


Bild 9.3b. Fortsetzung von Bild 9.3a

Das Prinzip des Viterbi-Algorithmus für terminierte Codes wird mit diesem Beispiel deutlich: Unabhängig davon, von welchem Zustand  $z_r = \zeta_i$  aus der Survivor zurückverfolgt wird, geht durch den Zustand  $z_{r-v}$  nur ein einziger Survivor, sofern  $v$  hinreichend groß gewählt wird. Also wird sich die Schätzung für das Infobit  $u_{r-v}$  durch die Verlängerung der Survivor nach  $z_{r+1}, z_{r+2}, \dots$  nicht mehr verändern. Somit kann zum Zeitpunkt  $r$  eine endgültige Schätzung für  $u_{r-v}$  abgegeben werden. Diese Methode wird auch als *path memory truncation* bezeichnet.

Die Decodierverzögerung  $v$  wird *Rückgrifftiefe* (chainback memory length) genannt. Natürlich muß  $v$  so gewählt werden, daß mit hoher Wahrscheinlichkeit alle bei  $z_r$  anliegenden Survivor in  $z_{r-v}$  zusammenlaufen. Dann ergibt sich gegenüber einem unendlich langen Gedächtnis nur ein geringer Verlust im Codierungsgewinn. Es besteht dann auch kein wesentlicher Unterschied zwischen den beiden folgenden Entscheidungsstrategien:

Bei der *Best State Rule* wird die maximale Metrik unter allen  $2^m$  Survivor-Metriken gesucht und von dem entsprechenden Zustand aus wird der Survivor zurückverfolgt. Einfacher aber fast genauso gut ist die *Zero State Rule*, bei der die Rückverfolgung von einem fest eingestellten Zustand aus erfolgt. In den



**Bild 9.4.** Vergleich der Entscheidungsstrategien beim VA ( $R = 1/2, m = 4$ )

meisten Fällen wird durch die einfache Faustregel

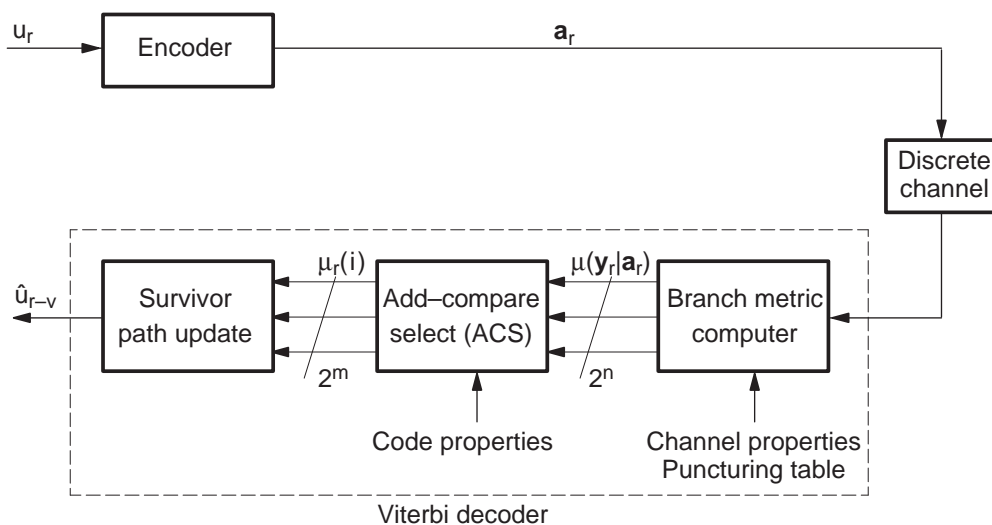
$$v \approx 5 \cdot m \quad (9.3.1)$$

ein ausreichender Wert für  $v$  gegeben. Bild 9.4 zeigt anhand von Simulationsergebnissen den Einfluß von  $v$  bei der Best State Rule und der Zero State Rule am Beispiel eines  $R = 1/2$ -Codes mit der Gedächtnislänge  $m = 4$  beim AWGN mit idealer Soft-Decision. Offensichtlich ist bei  $v = 16$  die Zero State Rule noch deutlich schlechter als die Best State Rule, bei  $v = 32$  sind dagegen beide Strategien nahezu identisch und durch Vergrößerung von  $v$  ergeben sich keine wesentlichen Verbesserungen (siehe auch Tabelle 9.1). Natürlich kann auch bei terminierten Codes schon nach  $v$  Trellissegmenten jeweils sukzessive entschieden werden, wenn es auf eine möglichst kurze Verzögerungszeit oder möglichst kleine Speicher ankommt.

## 9.4 Hinweise zur Implementierung und Synchronisation

In Bild 9.5 wird eine Aufgliederung des Viterbi-Decoders in einen Metrik-Prozessor und einen ACS-Prozessor (Add-Compare-Select) vorgeschlagen.

Im *Metrik-Prozessor* werden die Metrik-Inkremente berechnet. Normalerweise kann  $n \leq m + 1$  vorausgesetzt werden und dann gibt es pro Segment zwar  $2^{m+1}$  Kanten, aber nur  $2^n$  verschiedene Inkremente, da es prinzipiell nur  $2^n$  verschiedene Codeblöcke geben kann. Dabei wirkt sich der spezielle Code überhaupt nicht aus, da noch keine Zuordnung der Metrik-Inkremente zu den Kanten getroffen wird. Die tatsächliche Anzahl der Inkremente reduziert sich noch weiter, wenn Symmetrien ausgenutzt werden; beispielsweise gilt  $\mu(y| - x) = -\mu(y|x)$  für die Form (9.1.5).



**Bild 9.5.** Gliederung des Viterbi-Decoders

Für die Berechnung der Metrik-Inkrementen kann bereits im Demodulator eine Quantisierung stattfinden. Nach Bild 2.2 erscheint eine oktale Quantisierung mit 3 Bit für den AWGN als ausreichend und tatsächlich wird dadurch die Fehlerwahrscheinlichkeit gegenüber idealer Soft-Decision nur gering verschlechtert (siehe auch Tabelle 9.1).

Bei punktierten Codes sollten die Alphabete mit  $\mathcal{A}_{\text{in}} = \{+1, -1\}$  und  $\mathcal{A}_{\text{out}} = \{+1, -1\}$  oder  $\mathcal{A}_{\text{out}} = \mathbb{R}$  angenommen werden, weil dann die punktierten Stellen einfach durch  $y_{r,\nu} = 0$  ergänzt werden können und somit in die Metrik-Inkrementen  $\mu(y|x) = xy$  nicht einfließen, d.h. die Punktierung ist damit äquivalent, daß an den punktierten Stellen Nullen als Empfangswerte eingefügt werden. Die Wechsel in der Coderate bei RCPC-Codes können also ohne wesentlichen Mehraufwand zu beliebigen Zeitpunkten erfolgen, über die allerdings der Metrik-Prozessor unterrichtet sein muß, um das Punktierungsschema umzuschalten.

Solange für den Kanal ein zeitinvarianter AWGN mit Hard-Decision oder Soft-Decision unterstellt werden kann, sind die Metrik-Inkrementen unabhängig von den Kanaleigenschaften, also beispielsweise unabhängig von  $E_c/N_0$ . Zusammenfassung: Der Metrik-Prozessor wird nicht durch den Code, sondern allenfalls durch die Kanaleigenschaften und ein eventuelles Punktierungsschema geprägt.

Der ACS-Prozessor ist für die Berechnung der Survivor-Metriken und die Verlängerung der Survivor zuständig. Nur hier gehen die Codeeigenschaften ein, nämlich in der Zuordnung der  $2^n$  Inkrementen zu den  $2^{m+1}$  Kanten.

Für die Organisation der Rechenoperationen und die Abspeicherung der Survivor sowie zur Rückverfolgung der Survivor bei sukzessiven Entscheidungen gibt es sehr unterschiedliche Lösungen. Dabei spielt es eine Rolle, ob Operationen parallel ausgeführt werden können. Ferner ist ein gewisser Austausch zwischen der Anzahl der arithmetischen Operationen und der Speichergröße möglich. Eine Übersicht dazu findet sich beispielsweise in [3, 19, 75].

Die Survivor-Metrik des richtigen Weges wächst gegenüber den Survivor-Metriken aller anderen Wege sehr stark an, so daß einer Überschreitung des Wertebereichs im ACS-Prozessor vorgebeugt werden muß. Die folgende Verschiebung aller Survivor-Metriken um einen konstanten Wert  $C$  zu beliebigen Zeitpunkten hat auf die Decodierung keinen Einfluß:

$$\text{Ersetze } \mu_r(i) \text{ durch } \mu_r(i) - C \text{ für } i = 1, \dots, 2^m. \quad (9.4.1)$$

Alle Survivor-Metriken, die eine untere Grenze  $M_u < 0$  unterschreiten, werden auf diese untere Grenze zurückgesetzt, d.h. (9.4.1) wird verändert zu:

$$\text{Ersetze } \mu_r(i) \text{ durch } \max\{\mu_r(i) - C, M_u\} \text{ für } i = 1, \dots, 2^m. \quad (9.4.2)$$

Bei einem sehr kleinen  $M_u$  wird hierdurch die Decodierung fast überhaupt nicht beeinflusst, aber die Survivor-Metriken befinden sich danach im Wertebereich zwischen  $M_u$  und 0, falls  $C = \max_i \mu_r(i)$  gewählt wurde. Bei der Viterbi-Decodierung sind noch folgende Synchronisationsprobleme zu berücksichtigen:

*Knotensynchronisation:* Sofern nicht der Empfänger in eine laufende Übertragung eingeschaltet wird, tritt ein Anfangseffekt auf wie bereits mit Bild 8.8 erklärt wurde. Der Start beim Nullzustand kann im ACS-Prozessor automatisch dadurch berücksichtigt werden, daß die Survivor-Metriken zu Beginn mit

$$\mu_0(1) = 0 \quad , \quad \mu_0(2) = \dots = \mu_0(2^m) = -\infty \quad (9.4.3)$$

(bzw. mit  $M_u$  statt  $-\infty$ ) initialisiert werden. Falls das jedoch nicht möglich ist, entsteht nur ein kurzer Abschnitt mit hoher Fehlerrate, der nach ca.  $5m$  Segmenten beendet ist und danach stellt sich wieder die normale niedrige Fehlerrate ein.

*Symbolsynchronisation bzw. Blocksynchronisation:* Der VA bzw. der Metrik-Prozessor muß die Unterteilung des Datenstroms in Blöcke der Länge  $n$  kennen, wobei  $n = 2, 3, 4$  die typischen Werte sind. Eine falsche Synchronisation macht sich sehr schnell dadurch bemerkbar, daß es keinen dominierenden Weg, d.h. keine dominierende Survivor-Metrik gibt. Auch durch Re-Encodieren der geschätzten Infobits und Vergleich mit den binär quantisierten Empfangsbits macht sich eine falsche Synchronisation durch eine Fehlerrate von rund 50% sofort bemerkbar. In diesem Fall wird die Unterteilung der Empfangswerte in Blöcke um eine Bitposition verschoben und das vorangehend beschriebene Verfahren wird wiederholt. Auch eine Polaritätsvertauschung bei nicht-transparenten Faltungscodes wird so entdeckt.

*Rahmensynchronisation bei terminierten Codes:* Dies wird bei den meisten Anwendungen durch Maßnahmen außerhalb der Kanalcodierung erreicht, beispielsweise durch uncodierte Synchronisationswörter. An einen derartigen Rahmen kann auch ein eventuelles Punktierungsschema angehängt werden.

Fazit: Alle Synchronisationsprobleme erweisen sich bei der Viterbi-Decodierung als harmlos und sind mit geringem Mehraufwand sicher zu beherrschen. Das ist ein ganz wesentlicher Vorteil gegenüber Blockcodes.

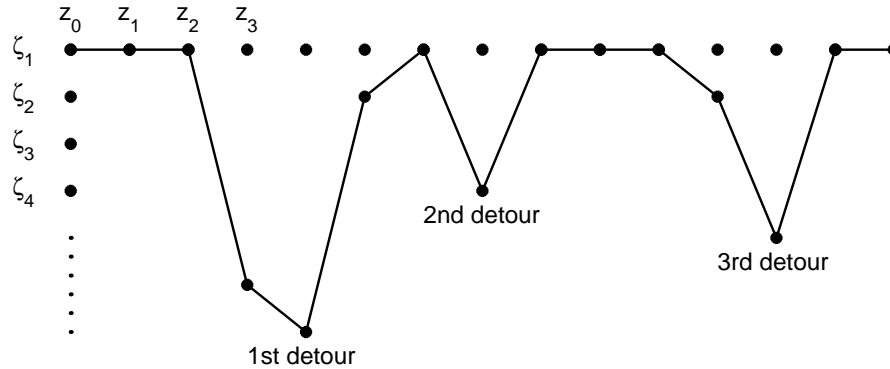
In Tabelle 9.1 erfolgt eine Zusammenstellung zum Einfluß von Degradationen. Die Verluste durch Realisierungsvereinfachungen können bei gleicher Fehlerwahrscheinlichkeit durch eine entsprechende Erhöhung von  $E_b/N_0$  ausgeglichen werden, wobei natürlich wieder der AWGN unterstellt wird. Die Werte in Tabelle 9.1 können als allgemeine Faustregeln für  $P_b$  im Bereich  $10^{-3}, \dots, 10^{-7}$  angesehen werden [19, 43, 57, 64].

**Tabelle 9.1.** Degradationen durch Realisierungsvereinfachungen

Realisierungsvereinfachung	Verlust
3-Bit-Quantisierung gegenüber idealer Soft-Decision	ca. 0,2 dB
1-Bit Hard-Decision gegenüber idealer Soft-Decision	ca. 2,2 dB
Rückgrifftiefe $v = 32$ gegenüber $v = \infty$ (bei $m = 6$ )	ca. 0,2 dB

## 9.5 Berechnung der Fehlerwahrscheinlichkeit

Die Berechnung der Fehlerwahrscheinlichkeit von Faltungscodes erfolgt aus der Gewichtsfunktion, die alle dazu notwendigen Distanzeigenschaften enthält. Ähnlich wie bei den Blockcodes können asymptotische Codierungsgewinne für den AWGN bei Hard- und Soft-Decision angegeben werden.



**Bild 9.6.** Fehlerfolge interpretiert als Abfolge von Fundamentalwegen

Es seien  $\mathbf{a}_r$  die gesendeten und  $\hat{\mathbf{a}}_r$  die geschätzten Codeblöcke bei ML-Decodierung. Auch die Fehlerfolge

$$\mathbf{e}_r = \mathbf{a}_r - \hat{\mathbf{a}}_r \quad (9.5.1)$$

ist wegen der Linearität des Codes ebenfalls eine Codeblockfolge. Der Fehlerfolge entspricht umkehrbar eindeutig eine Zustandsfolge im Trellisdiagramm, wie es in Bild 9.6 dargestellt ist. Die Fehlerfolge kann interpretiert werden als eine durch Pausen unterbrochene Sequenz von Fundamentalwegen bzw. als Sequenz von *Fehlerereignissen*. Für die Berechnung der Fehlerwahrscheinlichkeit können diese Fehlerereignisse als statistisch unabhängig angenommen werden. Daraus ergibt sich der wesentliche Grundgedanke zur Herleitung der folgenden Ergebnisse, die den Sätzen 3.15 bis 3.17 für Blockcodes entsprechen:

**Satz 9.1.** *Vorausgesetzt wird ein  $R = 1/n$ -Faltungscodes mit der Gewichtsfunktion  $T(D, I, J)$  und dem Distanzspektrum  $c_d$  gemäß Definition 8.4 sowie ML-Decodierung. Bei der Übertragung über den binären DMC mit der Bhattacharyya-Schranke  $\gamma$  gemäß Definition 2.4 gilt für die Infobit-Fehlerwahrscheinlichkeit  $P_b$  folgende Abschätzung:*

$$P_b \leq \frac{\partial T}{\partial I}(\gamma, 1, 1) = \sum_{d=d_f}^{\infty} \underbrace{\sum_{i,j} i \cdot t(d, i, j)}_{= c_d} \gamma^d. \quad (9.5.2)$$

Speziell für den AWGN mit idealer Soft-Decision gilt eine schärfere Abschätzung ( $E_c = E_b/n$ ):

$$P_b \leq \sum_{d=d_f}^{\infty} c_d Q \left( \sqrt{2d \frac{E_c}{N_0}} \right). \quad (9.5.3)$$

Bei einem  $R = k/n$ -Faltungscodierung sind die oberen Grenzen jeweils mit einem Faktor  $1/k$  zu multiplizieren. Für die asymptotischen Codierungsgewinne gilt (in dB):

$$G_{a,\text{hard}} = 10 \cdot \log_{10} \left( \frac{Rd_f}{2} \right), \quad G_{a,\text{soft}} = 10 \cdot \log_{10} (Rd_f). \quad (9.5.4)$$

Soft-Decision bringt gegenüber Hard-Decision einen Gewinn von 3 dB wie bei den Blockcodes.

Beweis: Mit dem Index  $r$  werden die Codeblöcke bzw. Segmente durchnummeriert. Mit dem Index  $l$  werden alle möglichen Fundamentalwege (FWeg) durchnummeriert (die zur Zeit Null beginnen). Der  $l$ -te FWeg hat das Codefolgengewicht  $d_l$ , das Infologengewicht  $i_l$  und die Länge  $j_l$ .

Es sei  $P(r, l)$  die Wahrscheinlichkeit dafür, daß zur Zeit  $r$  der  $l$ -te FWeg beginnt. Anstelle des Nullweges wird also auf eine Codefolge der Länge  $j_l n$  mit dem Hamminggewicht  $d_l$  entschieden. Diese Codefolge und der Nullweg bilden einen  $(j_l n, 1, d_l)_2$ -Blockcode mit zwei Codewörtern. Nach Satz 3.16 bzw. nach Satz 3.17 für den AWGN gilt dann:

$$P(r, l) \leq \gamma^{d_l} \quad \text{bzw.} \quad P(r, l) \leq Q \left( \sqrt{2d_l \frac{E_c}{N_0}} \right). \quad (9.5.5)$$

Zur Zählung der Infobit-Fehler in der ML-Schätzung wird die Zufallsgröße

$$W_r = \left\{ \begin{array}{ll} i_l & \text{zur Zeit } r \text{ beginnt der } l\text{-te FWeg} \\ 0 & \text{zur Zeit } r \text{ beginnt kein FWeg} \end{array} \right\} \quad (9.5.6)$$

definiert, für deren Erwartungswert folgende Abschätzung gilt:

$$\begin{aligned} E(W_r) &= \sum_{l=0}^{\infty} i_l P(r, l) \leq \sum_{l=0}^{\infty} i_l \gamma^{d_l} \\ &= \sum_{l=0}^{\infty} i \cdot \text{Anzahl(FWege mit } i = i_l \text{ und } d = d_l) \cdot \gamma^d \\ &= \sum_{d,i,j} i \cdot t(d, i, j) \gamma^d = \sum_{d=d_f}^{\infty} c_d \gamma^d. \end{aligned}$$

Sei  $L$  eine große Zahl. Im Bereich  $r = 0, 1, \dots, L-1$  werden  $L$  Infobits gesendet, von denen  $W_0 + W_1 + \dots + W_{L-1}$  falsch geschätzt werden – dabei wird vernachlässigt, daß hierbei auch einige Fehler mitgezählt werden, die erst ab  $r = L$  auftreten. Also gilt:

$$P_b \approx \frac{W_0 + W_1 + \dots + W_{L-1}}{L} \approx E(W_r) \leq \sum_{d=d_f}^{\infty} c_d \gamma^d. \quad (9.5.7)$$

Für  $L \rightarrow \infty$  geht der Fehler bei den Approximationen gegen Null. Damit ist (9.5.2) bewiesen. Das Ergebnis (9.5.3) ergibt sich in gleicher Weise. Für Hard-Decision gilt asymptotisch nach (9.5.2):

$$\begin{aligned} P_b &\approx c_{d_f} \gamma^{d_f} \approx \gamma^{d_f} = \left( \sqrt{4p_e(1-p_e)} \right)^{d_f} && \text{nach (2.3.5)} \\ &\approx p_e^{d_f/2} = Q \left( \sqrt{2 \frac{RE_b}{N_0}} \right)^{d_f/2} && \text{nach (1.3.12)} \\ &\approx e^{-Rd_f/2 \cdot E_b/N_0} && \text{nach (A.3.18)}. \end{aligned}$$

Für Soft-Decision gilt asymptotisch nach (9.5.2) und (2.3.7):

$$P_b \approx c_{d_f} \gamma^{d_f} \approx \gamma^{d_f} = \left( e^{-RE_b/N_0} \right)^{d_f}.$$

Das gleiche Ergebnis folgt aus (9.5.3), d.h. die Abschätzungen (9.5.2) und (9.5.3) sind asymptotisch identisch. ■

Offensichtlich ist die Güte eines Faltungscodes primär durch die freie Distanz  $d_f$  bestimmt. Allerdings sollte auch  $c_{d_f}$  klein sein. Je kleiner  $E_b/N_0$  wird, desto mehr gewinnen auch die höheren Terme  $c_{d_f+1}, c_{d_f+2}, \dots$  an Bedeutung.

Die Approximation  $P_b \approx \gamma^{d_f}$  ist nur für den asymptotischen Fall  $E_b/N_0 \rightarrow \infty$  zulässig. Denn mit wachsender Gedächtnislänge  $m \rightarrow \infty$  gilt  $d_f \rightarrow \infty$  und somit  $\gamma^{d_f} \rightarrow 0$ . Allein durch Erhöhung von  $m$  kann aber keine beliebig gute Übertragung erreicht werden, wie das Kanalcodierungstheorem aus Satz 2.1 bei  $R > C$  zeigt.

**Beispiel 9.5.** Für das Standardbeispiel ist die Gewichtsfunktion in geschlossener Form bekannt und somit kann die Fehlerwahrscheinlichkeit direkt berechnet werden ohne explizite Entwicklung des Distanzspektrums. Nach Beispiel 8.11 gilt:

$$\frac{\partial T}{\partial I}(D, 1, 1) = \frac{D^5}{1 - 4D(1 - D)} = \frac{D^5}{(1 - 2D)^2}.$$

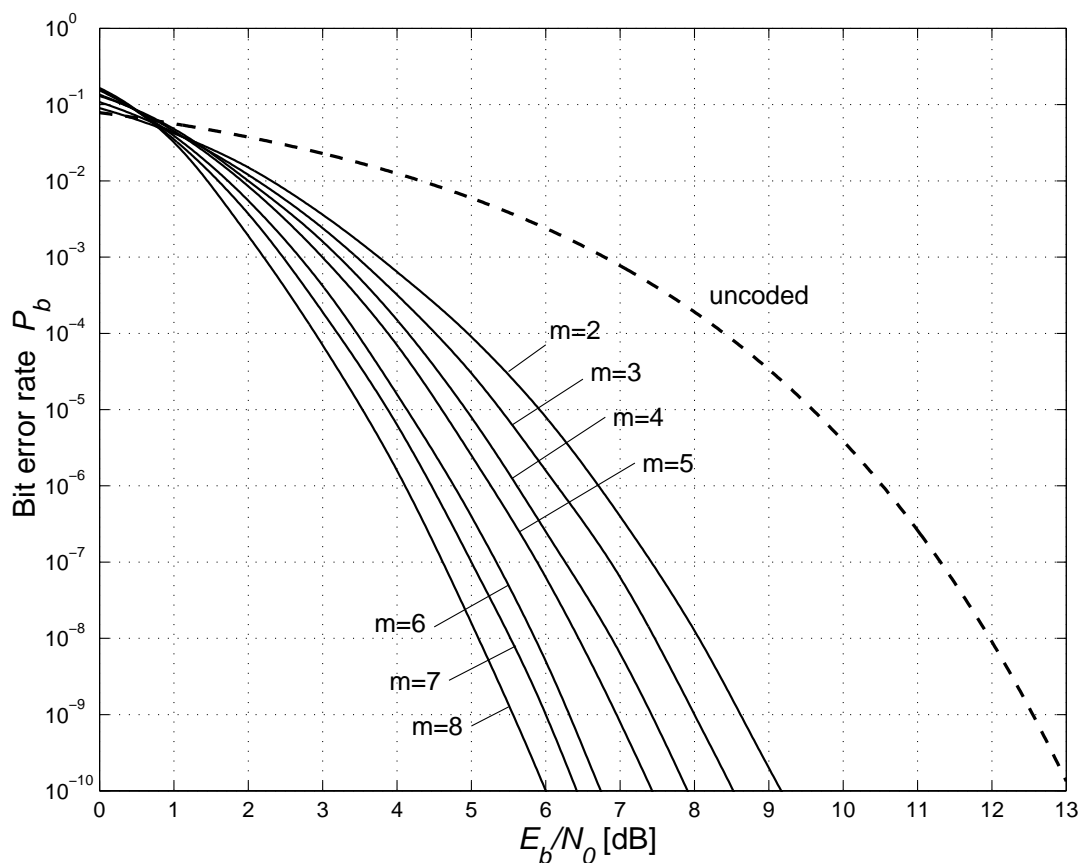
Für Hard-Decision gilt  $\gamma = \sqrt{4p_e(1-p_e)}$  und somit folgt aus Satz 9.1:

$$P_b \leq \frac{\left[ 4p_e(1-p_e) \right]^{5/2}}{\left[ 1 - 2\sqrt{4p_e(1-p_e)} \right]^2}.$$

Für Soft-Decision gilt  $\gamma = e^{-RE_b/N_0} = e^{-E_b/2N_0}$  und somit folgt aus Satz 9.1:

$$P_b \leq \frac{e^{-5E_b/2N_0}}{\left[ 1 - 2e^{-E_b/2N_0} \right]^2}.$$

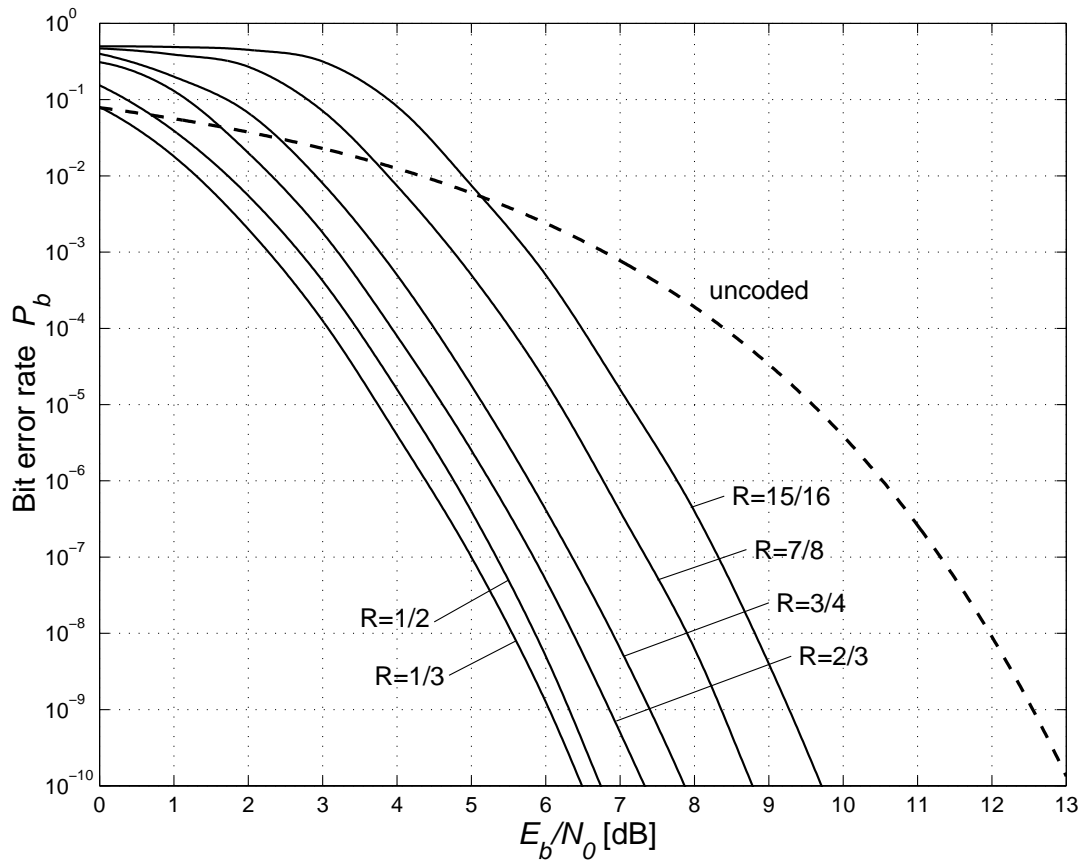
Die asymptotischen Codierungsgewinne erreichen für dieses simple Beispiel mit  $G_{a,\text{hard}} = 0,97$  dB und  $G_{a,\text{soft}} = 3,98$  dB erstaunlich hohe Werte. ■



**Bild 9.7.** Fehlerwahrscheinlichkeit der  $R=1/2$ -Codes bei  $m = 2, \dots, 8$

Die Bilder 9.7 und 9.8 zeigen die Bit-Fehlerwahrscheinlichkeit  $P_b$  über  $E_b/N_0$  der optimalen Faltungscodes beim AWGN mit idealer Soft-Decision und ausreichend großer Rückgriffiefe  $v$ . Die Kurven sind zusammengesetzt aus Simulationsergebnissen bei schlechten Kanälen (bei großem  $P_b$  kann die Fehlerrate durch die relative Häufigkeit geschätzt werden) und theoretischen Ergebnissen bei guten Kanälen (bei kleinem  $P_b$  brauchen vom Distanzspektrum nur die unteren Werte bekannt sein bzw. es kann durch den asymptotischen Codierungsgewinn approximiert werden).

In Bild 9.7 werden Faltungscodes verschiedener Gedächtnislängen bei konstanter Coderate  $R = 1/2$  miteinander verglichen. Die Erhöhung von  $m$  um 1 bedeutet zwar eine Aufwandsverdopplung im Decoder, aber auch einen Codierungsgewinn von jeweils rund 0,4 dB. Bei  $P_b = 10^{-5}$  beträgt der Codierungsgewinn zwischen 3,7 dB für  $m = 2$  und 6,1 dB für  $m = 8$ . Bei Hard-Decision verschieben sich die Kurven nach rechts, und zwar um ca. 2,2 dB bei moderaten Fehlerraten bzw. um 3 dB im asymptotischen Grenzfall. Bei oktaler Quantisierung mit 3 Bit verschieben sich die Kurven nur um ca. 0,2 dB nach rechts – aber die oktale Quantisierung setzt empfangsseitig eine einigermaßen genaue Pegelregelung voraus, so daß die Quantisierungsintervalle ähnlich wie in Bild 1.4



**Bild 9.8.** Fehlerwahrscheinlichkeit der  $m=6$ -Codes bei verschiedenen Coderaten

liegen.

In Bild 9.8 werden Faltungscodes verschiedener Coderaten bei der Gedächtnislänge  $m = 6$  miteinander verglichen, wobei die Coderaten  $R = 2/3$  und  $R = 3/4$  durch Punktierung aus  $R = 1/2$  entstehen. Im Bereich größerer Fehleraten ist eine kleine Coderate von Vorteil: So ist beispielsweise der  $R = 1/3$ -Code etwa 0,4 dB besser als der  $R = 1/2$ -Code, bei kleinen Fehlerraten reduziert sich allerdings dieser Vorsprung.

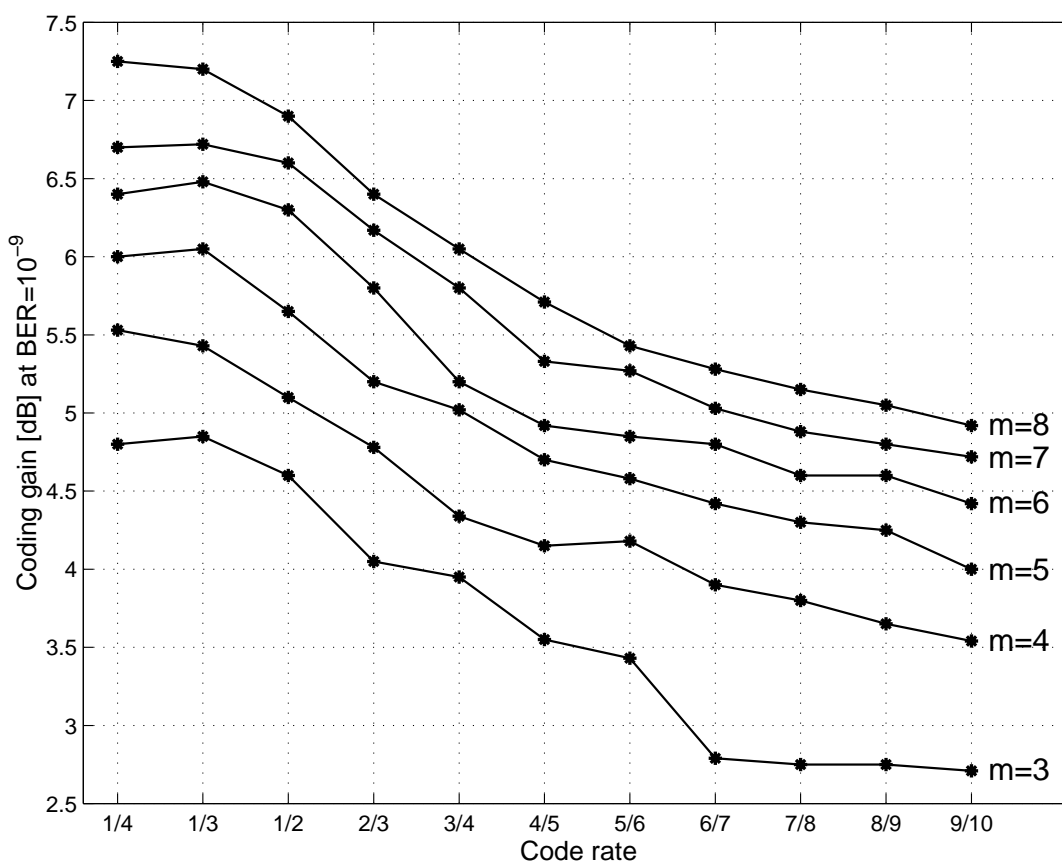
**Tabelle 9.2.** Asymptotische Codierungsgewinne optimaler Faltungscodes

$m$	$R = 1/2$			$R = 1/3$		
	$d_f$	$G_{a,hard}$ [dB]	$G_{a,soft}$ [dB]	$d_f$	$G_{a,hard}$ [dB]	$G_{a,soft}$ [dB]
2	5	0,97	3,98	8	1,25	4,26
3	6	1,76	4,77	10	2,22	5,23
4	7	2,43	5,44	12	3,01	6,02
5	8	3,01	6,02	13	3,36	6,37
6	10	3,98	6,99	15	3,98	6,99
7	10	3,98	6,99	16	4,26	7,27
8	12	4,77	7,78	18	4,77	7,78

In Tabelle 9.2 sind die asymptotischen Codierungsgewinne  $G_a$  einiger optimaler Faltungscodes angegeben. Bei  $m = 6$  ergibt sich beispielsweise ein Gewinn von rund 7 dB – unabhängig von der Coderate, d.h. die beiden Kurven für  $R = 1/2$  und  $R = 1/3$  laufen in Bild 9.8 für sehr kleines  $P_b$  bzw. sehr großes  $E_b/N_0$  zusammen.

**Tabelle 9.3.** Codierungsgewinne bei moderaten Fehlerraten (nach [114])

$P_b$	Notwendiges $E_b/N_0$ [dB] für $P_b$ uncodiert	Codierungsgewinn [dB] bei $P_b$ Soft-Decision, $m = 6$	
		$R = 1/2$	$R = 1/3$
$10^{-3}$	6,8	3,8	4,2
$10^{-5}$	9,6	5,1	5,7
$10^{-7}$	11,3	5,8	6,2
asymptotisch		7,0	7,0



**Bild 9.9.** Codierungsgewinne für  $R = 1/4 \dots 9/10$  und  $m = 3 \dots 8$  (nach [119])

In Tabelle 9.3 sind die Codierungsgewinne bei moderaten Fehlerraten für die beiden Codes mit  $R = 1/2$  und  $R = 1/3$  bei  $m = 6$  nochmals explizit angegeben. Die entsprechenden Werte sind näherungsweise auch aus Bild 9.8

ablesbar. Die kleinere Coderate hat also einen marginalen Vorteil ohne großen Mehraufwand bei der Decodierung, aber natürlich ist eine größere Bandbreite des AWGN erforderlich.

In Bild 9.9 sind die Codierungsgewinne  $G_{\text{soft}}$  bei idealer Soft-Decision für Codes mit den Gedächtnislängen  $m = 3, \dots, 8$  angegeben; im Gegensatz zu Tabelle 9.3 hier allerdings bei  $P_b = 10^{-9}$ . Coderaten größer als  $1/2$  entstehen durch Punktierung aus  $R = 1/2$ . Offensichtlich ergeben sich durch Verkleinerung der Coderate unter  $1/2$  keine wesentlichen Gewinne mehr, wie auch schon anhand von Bild 2.4 erklärt wurde. Dagegen sind auch bei hohen Coderaten noch erhebliche Gewinne zu erzielen, wobei erneut zu bemerken ist, daß die hohen Coderaten fast ohne Mehraufwand in Encoder und Decoder realisierbar sind.

## 9.6 Fehlerstrukturen bei der Decodierung

Wenn nach der ML-Decodierung von Faltungscodes noch Fehler verbleiben, so treten diese Fehler in Bündeln auf. Durch die Faltungscodierung wird ein Super-Kanal bzw. äußerer Kanal mit Bündelfehlerstruktur erzeugt, der aus dem Faltungs-Encoder, dem inneren Kanal und dem Faltungs-Decoder besteht (siehe dazu auch Bild 9.11). Die Eigenschaften dieser Bündelfehler prägen den Entwurf von Codierungssystemen mit verketteten Codes ganz wesentlich und sind andererseits sehr bedeutsam für die Datensinke bzw. den Quellendecoder.

Die Ursache für die Bündelfehlerstruktur kann leicht erklärt werden: Eine nach der Decodierung noch verbleibende Fehlerfolge besteht nach Abschnitt 9.5 aus einer Sequenz von Fehlerereignissen. Jedes Fehlerereignis ist mit mindestens  $d_f$  falschen Codebits und mindestens einem falschen Infobit verbunden. Typischerweise sind die Fehlerereignisse aber länger mit mehreren Infobitfehlern. Für eine quantitative Beschreibung ist zunächst der Begriff eines Bündelfehlers zu definieren. Ein Bündelfehler kann dadurch definiert werden, daß das Ende eines Bündelfehlers dann eintritt, wenn eine gewisse Anzahl  $\Delta$  von folgenden Infobits fehlerfrei ist. Ein Fehler wird durch das Symbol  $x$  markiert. Bei  $\Delta = 2$  hat beispielsweise die folgende Sequenz drei Bündelfehler der Längen 7 und 1 und 3:

. . . . x . xxx . x . x . . . x . x . . . .

Die theoretische Analyse gestaltet sich am einfachsten, wenn ein Bündel durch  $\Delta = m$  fehlerfreie Infobits als beendet definiert wird. Dann kann eine Verteilung der Bündelfehlerlängen berechnet werden. Dabei zeigt sich das überraschende Ergebnis, daß die Häufigkeit eines Bündelfehlers nicht monoton mit der Länge des Bündelfehlers abnimmt. Untersuchungen zu den Eigenschaften der Bündelfehler finden sich beispielsweise in [100].

In Bild 9.10a und 9.10b wird die Bündelfehlerstruktur einer faltungsdecodierten Sequenz (oben) mit der Einzelfehlerstruktur eines BSC (unten) verglichen, wobei die beiden zeilenweise angeordneten Sequenzen jeweils aus 5000 Bits bestehen. Als Faltungscodes wird das Standardbeispiel verwendet. Die Fehlerrate

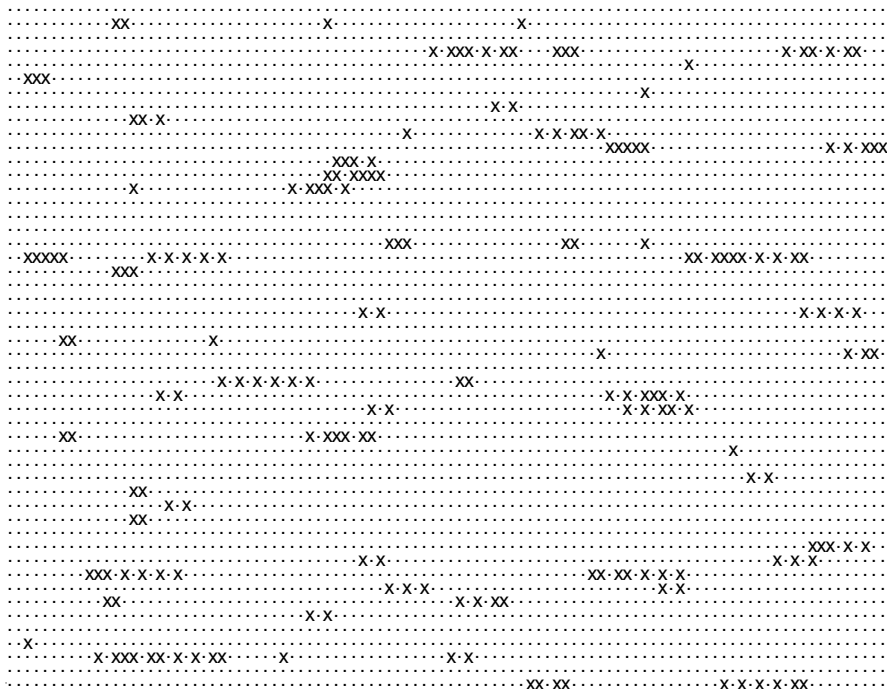


Bild 9.10a. Bündelfehler am Ausgang eines Faltungsdecoders

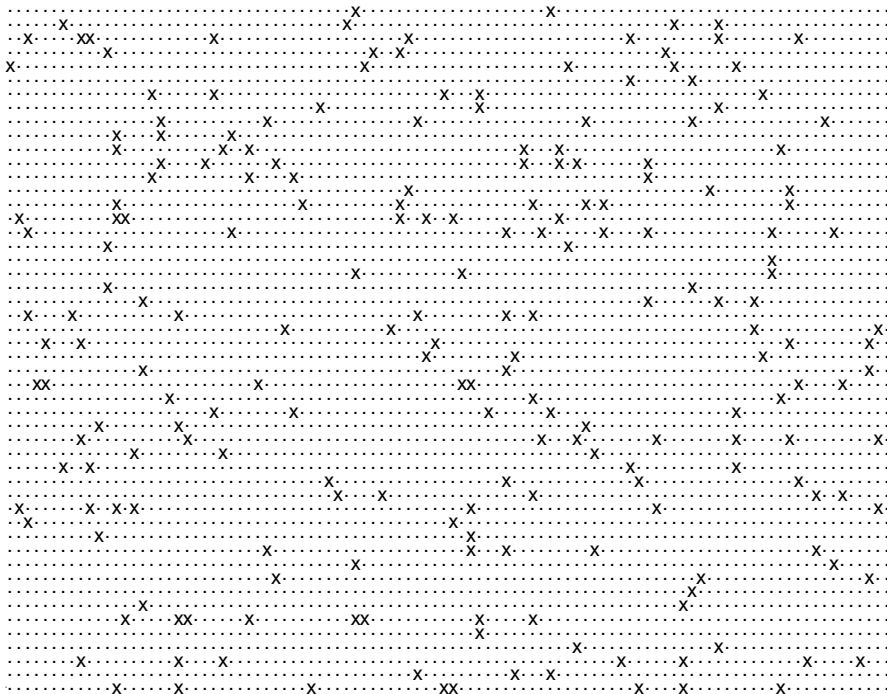


Bild 9.10b. Einzelfehler am Ausgang eines BSC

in beiden Teilen beträgt annähernd 0,04 und somit enthält jede Sequenz etwa 200 Fehler. Der Faltungscodes wurde mit  $E_b/N_0 = 1.1$  dB simuliert um die Fehlerrate von 0,04 zu erreichen. Eine so hohe Fehlerrate wurde hier gewählt um einen optisch eindrucksvollen Vergleich zu erhalten, obgleich Faltungscodes üblicherweise bei wesentlich kleineren Fehlerraten betrieben werden.

## 9.7 Verkettete Codierung und Anforderungen an Soft-Decision-Output

Ein Codierungssystem mit *verketteten Codes* (concatenated coding) zeigt Bild 9.11. Dabei werden zwei Codes in Reihe geschaltet, d.h. die von einem ersten (äußeren) Encoder erzeugte Symbolfolge wird in einem zweiten (inneren) Encoder mit zusätzlicher Redundanz versehen.

Typische Anwendungen mit verketteten Codes nennt Tabelle 9.4, die in den nachfolgenden Kapiteln teilweise noch ausführlich behandelt werden. Die Codeverkettung ist übrigens nicht unbedingt auf zwei Stufen beschränkt. Das Prinzip der verketteten Codierung wird an dieser Stelle nur deshalb schon eingeführt, damit eine gewisse Anforderung an den inneren Decoder hergeleitet werden kann.

Durch das Interleaving-Verfahren in Bild 9.11 können die Bündelfehler am Ausgang des inneren Decoders in Pseudo-Einzelfehler überführt werden. Dazu wird im Interleaver die Symbolfolge bzw. Bitfolge umsortiert. Im Deinterleaver wird diese Umsortierung wieder rückgängig gemacht, so daß das gesamte System Interleaver-Deinterleaver lediglich eine Verzögerung bewirkt und ansonsten transparent ist. Geeignete Methoden für Interleaving werden in Abschnitt 11.1 behandelt.

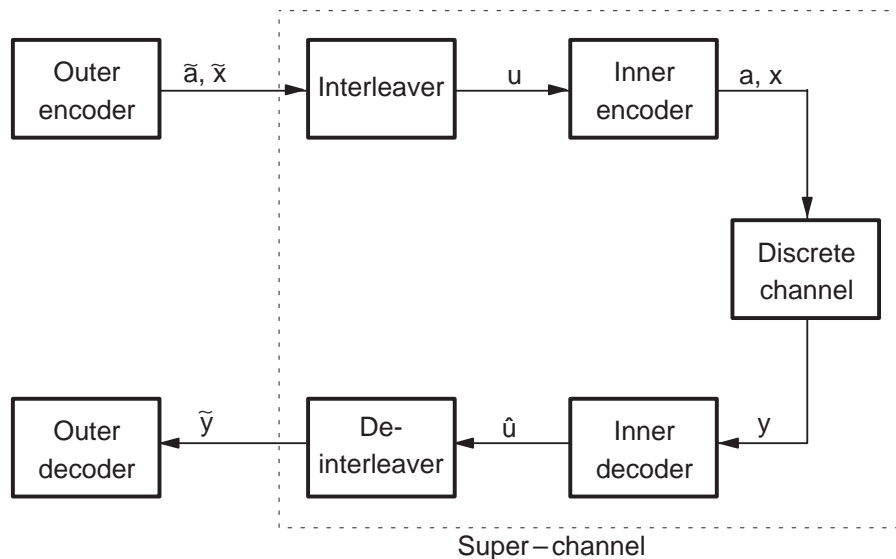


Bild 9.11. Verkettete Codierung

**Tabelle 9.4.** Typische Fälle verketteter Codierung

	Innerer Code	Äußerer Code	siehe Abschnitt
1	Blockcode	Blockcode	11.9, 12.6
2	Faltungscode	RS-Code	12.1
3	MLSE-Entzerrer	Faltungscode, TCM	11.5, 12.3, 12.4
4	Faltungscode	Quellencode	12.3, 12.4
5	Faltungscode	Faltungscode	(12.1)

Durch das Interleaving kann also ein quasi gedächtnisloser Super-Kanal erzeugt werden, der natürlich aufgrund des inneren Decoders ein Hard-Decision Kanal ist. Falls jedoch für den äußeren Decoder Soft-Decision verfügbar wäre, könnten damit erhebliche Gewinne erzielt werden. Bei einem AWGN-Kanal können diese Gewinne sogar indirekt in  $E_b/N_0$  umgerechnet werden, d.h. die Kanalcodierung verbessert nicht nur die Fehlerrate, sondern direkt den Signal/Rausch-Abstand des Kanals [107, 109]. In jedem Fall wird aber die Fehlerrate nach dem äußeren Decoder bei einem Super-Kanal mit Soft-Decision erheblich niedriger ausfallen.

Ziel ist es also, den Soft-Decision-Output des inneren Decoders als Soft-Decision-Input für den äußeren Decoder zu verwenden. Denn es ist anschaulich sofort klar, daß Verbesserungen zu erwarten sind, wenn der äußere Decoder nicht nur die harten Entscheidungen des inneren Decoders erhält, sondern zusätzlich Zuverlässigkeitsinformationen, d.h. ein Maß dafür, wie sicher die einzelnen Entscheidungen des inneren Decoders sind. Wenn der innere Decoder seine eigenen einzelnen Entscheidungen beispielsweise als sehr sicher bzw. als sehr unsicher einstuft, so sollten diese Entscheidungen im äußeren Decoder mit großem Gewicht eingehen bzw. als Ausfälle ignoriert werden.

Im Interleaver werden also Symbole oder Bits verarbeitet, im Deinterleaver dagegen weiche Entscheidungen bzw. reelle Zahlen, die für die numerische Verarbeitung natürlich einer gewissen Quantisierung unterliegen.

In diesem Abschnitt werden die Anforderungen an einen vernünftigen Soft-Decision-Output formuliert und im nächsten Abschnitt wird dann die praktische Berechnung dieses Outputs in einem erweiterten Viterbi-Algorithmus vorgestellt. Die grundlegende Idee ist, daß die Zuverlässigkeit der Entscheidungen des inneren Decoders auch bei einem zeitinvarianten diskreten Kanal als von Bit zu Bit schwankend angesehen wird – und zwar in Abhängigkeit von den vorangehenden und nachfolgenden Empfangswerten  $y$ . Bei einem zeitvarianten diskreten Kanal wird damit auch die schwankende Güte der Übertragung automatisch in richtiger Weise berücksichtigt.

Der Super-Kanal wird als zeitvariant, gedächtnislos, symmetrisch und binär mit  $\mathcal{A}_{\text{in}} = \mathcal{A}_{\text{out}} = \{+1, -1\}$  angenommen. Input und Output werden wie in Bild 9.11 mit  $\tilde{x}$  bzw.  $\tilde{y}$  bezeichnet. Für die Übergangswahrscheinlichkeit gilt:

$$P(\hat{u}_r | u_r) = P(\tilde{y}_r | \tilde{x}_r) = \left\{ \begin{array}{ll} 1 - p_r & \tilde{x}_r = \tilde{y}_r \\ p_r & \tilde{x}_r \neq \tilde{y}_r \end{array} \right\}. \quad (9.7.1)$$

Neben einer Berechnung oder Tabellierung dieser Funktion kann auch die Approximation

$$\ln \frac{1 + e^{u+v}}{e^u + e^v} \approx \text{sign}(u)\text{sign}(v) \cdot \min\{|u|, |v|\} \quad (9.8.10)$$

verwendet werden, mit der sich aus (9.8.6) und (9.8.7) das gesamte Verfahren wie folgt ergibt:

$$L_i^{\text{neu}} = \left\{ \begin{array}{ll} \infty & i = r \\ L_i & i < r, u_{i,W_1} = u_{i,W_2} \\ \min\{L_i, \Delta\} & i < r, u_{i,W_1} \neq u_{i,W_2} \end{array} \right\}. \quad (9.8.11)$$

Das SOVA-Verfahren ist eine Erweiterung des normalen Viterbi-Algorithmus ohne Änderungen, d.h. zwischen Normal- und SOVA-Betrieb kann simpel umgeschaltet werden. Bei jedem der  $2^m$  Zustände wird der Survivor  $W_1$  und die Metrikdifferenz  $\Delta$  gemäß (9.8.4) bestimmt. Der Survivor wird zurückverfolgt und die  $L_i$  werden entsprechend (9.8.11) aktualisiert. Neben den Survivor-Wegen (beschrieben durch die  $u_{i,W}$ ) müssen auch die  $L_i$  abgespeichert werden. Die beim endgültigen Survivor verbleibenden  $L_i$  bilden dann den Soft-Decision-Output. Gegenüber dem standardmäßigen Viterbi-Algorithmus erfordert der SOVA einen Mehraufwand von etwa 60 bis 80% [109, 110, 111].

Wenn der diskrete Kanal ein AWGN-Kanal ist, kann der Super-Kanal aus Bild 9.11 näherungsweise ebenfalls als AWGN-Kanal aufgefaßt werden, indem der SOVA als Filter interpretiert wird. In [107, 109] wird der Zusammenhang zwischen den Signal/Rausch-Abständen des inneren diskreten AWGN-Kanals und des äußeren Super-Kanals untersucht.

## 9.9 Vergleich Blockcodes – Faltungscodes

In Tabelle 9.6 erfolgt eine ausführliche Gegenüberstellung von Blockcodes und Faltungscodes, die sich auf die “Normalfälle” bezieht. Für spezielle Anwendungen sind inzwischen Hunderte oder Tausende von spezifischen Codierungssystemen entwickelt worden. Dabei trifft der eine oder andere Punkt nicht immer in voller Allgemeinheit zu, aber primär soll die Tabelle nur eine grobe Orientierung vermitteln. Einige Aussagen werden erst anhand der folgenden Kapitel verständlich, das gilt insbesondere für die trelliscodierte Modulation (TCM) aus Kapitel 10 sowie für verschiedene Anwendungen und Ergänzungen aus den Kapiteln 11 und 12.

Um die Angaben der Tabelle 9.6 für den AWGN-Kanal mit und ohne harter Quantisierung numerisch zu illustrieren, erfolgt ein quantitativer Vergleich zwischen einem BCH-Code und einem Faltungscode bei fast gleicher Coderate. Aus den Bildern 7.1 und 9.7 ergeben sich die in Tabelle 9.5 aufgeführten Werte:

Bei Hard-Decision Decodierung ist der Faltungscode lediglich bei einem schlechten Kanal etwas besser als der Blockcode, bei einem guten Kanal ist

**Tabelle 9.5.** Vergleich der Fehlerwahrscheinlichkeit von BCH- und Faltungscodes

$P_b$	Notwendiges $E_b/N_0$ [dB] für $P_b$		
	(255, 131)-BCH-Code $d_{\min} = 37$ , BM-Decoder Hard-Dec.	$R = 1/2$ -Faltungscodes mit $m = 6$ $d_f = 10$ , ML-Decoder Hard-Dec.      Soft-Dec.	
$10^{-3}$	4,9	4,7	2,6
$10^{-6}$	6,0	7,0	4,8
$10^{-10}$	7,0	8,9	6,7
$G_a$	9,9	4,0	7,0

dagegen der Blockcode aufgrund der höheren Minimaldistanz besser als der Faltungscodes, nämlich um 1,9 dB bei  $P_b = 10^{-10}$  und asymptotisch sogar um 5,9 dB.

Bei Soft-Decision Decodierung für den Faltungscodes muß für den BCH-Code realistischerweise weiterhin eine Hard-Decision Decodierung nach dem BMD-Prinzip angenommen werden. Dann ist der Faltungscodes über den ganzen Bereich besser, und zwar um 2,3 dB bei  $P_b = 10^{-3}$  und um 0,3 dB bei  $P_b = 10^{-10}$ . Lediglich asymptotisch ist der BCH-Code um 2,9 dB besser.

In der Decodierverzögerung ist der Faltungscodes mit ca. 32 Infobits besser als der BCH-Code mit 131 Infobits.

Wenn die Korrekturfähigkeit der Codes durch zu viele Fehler überschritten wird, offenbart sich ein wesentlicher Unterschied zwischen Faltungs- und Blockcodes: Der Viterbi-Decoder produziert Bündelfehler, während die RS- und BCH-BM-Decoder in den meisten Fällen ein unkorrigierbares Fehlermuster signalisieren und nur selten eine falsche Korrektur ausführen.

Die Faltungscodes sind den Blockcodes vor allem dann überlegen, wenn ein Kanal mit schlechter bis mittelmäßiger Qualität um zwei oder drei Zehnerpotenzen in der Fehlerrate verbessert werden soll. Wenn dagegen extrem kleine Fehlerraten angestrebt werden, sind BCH- und RS-Codes vorzuziehen. Beide Codeklassen werden aber übertroffen durch die Verkettung von Faltungs- und Blockcodes, die in Abschnitt 12.1 behandelt wird.

Beim Vergleich der verfügbaren Hardware-Implementierungen zeigt sich, daß die erreichbaren Datenraten bei RS- und BCH-Decodern mit der Blocklänge 255 etwa um das 2- bis 5-fache höher ausfallen als bei Viterbi-Decodern mit 64 Zuständen.

**Tabelle 9.6.** Vergleich Blockcodes - Faltungscodes

Kriterium	Blockcodes	Faltungscodes
Historie	zu Beginn der Informationstheorie überwiegend verwendet, Beweis der Codierungstheoreme	werden inzwischen gleichoft verwendet wie Blockcodes
Mathematik	weit entwickelte und geschlossene Theorie, teilweise sehr anspruchsvoll	Theorie mit der gleichen Aussagekraft wie bei Blockcodes ist noch schwieriger, wird aber selten benötigt
$\mathbb{F}_p^m$	$p = 2$ (in Sonderfällen $p > 2$ ) $m \leq 10$ bei RS-Codes $m \leq 10 \dots 14$ bei BCH-Codes	$p = 2$ $m = 1$
Grundstruktur	Vektorräume (Matrizen über Körpern): Intensive Kenntnisse der Galoisfeld-Arithmetik erforderlich bei Entwicklung und Implementierung hochentwickelter Verfahren	Module (Matrizen über Polynomringen): Intensive Kenntnisse der Modul-Theorie erforderlich bei Umformung von $(n, k)$ -Encodern, aber praktisch selten notwendig
Beziehung zueinander (formal)	Blockcodes sind spezielle Faltungscodes ohne Gedächtnis	Faltungscodes sind verallgemeinerte Blockcodes und terminierte Faltungscodes sind spezielle Blockcodes
Coderate	$R = k/n$ nahezu beliebig zwischen 0 und 1	$R = 1/n$ , $R \rightarrow 1$ mit Punktierung
Gute Codes durch	große Blocklänge $n$	große Gedächtnislänge $m$
Leistungsfähige Codes	können als parametrische Klasse analytisch geschlossen angegeben werden (RS, BCH)	werden durch Rechnersuche gewonnen, sind nicht theoretisch ableitbar
Gütekriterium	Mimimaldistanz, Gewichtsverteilung	freie Distanz, Gewichtsverteilung
Polynombeschreibung	1 Generatorpolynom vom Grad $n - k$ (bei zyklischen Codes)	$k \cdot n$ Generatorpolynome vom Grad $\leq m$ (typisch $k = 1$ )
weitere Charakterisierungen	spektral (DFT)	Trellis-, Zustands-, Baumdiagramm
Systematische Codes	sind immer möglich und werden immer verwendet	haben generelle Nachteile und werden nur in Sonderfällen verwendet (Ausnahme: rückgekoppelte Encoder bei TCM)

Fortsetzung von Tabelle 9.6

Kriterium	Blockcodes	Faltungscodes
Fehlerfortpflanzung	entfällt	möglich, entschärft bei Terminierung
Decodierung	hochentwickelte algebraische Decodierverfahren (BMA,EA) für komplexe Codes als BMD	anschaulich begründete Verfahren (VA) als MLD, sowie sequentielle und algebraische Verfahren
Soft-Decision	nur bei einfachen Codes praktikabel, ansonsten nur Ausfalldecodierung	möglich mit geringem Mehraufwand, 2 bis 3 dB Gewinn, Soft-Output möglich
Beurteilung des Modulationsystems	mit der Fehlerwahrscheinlichkeit (Hard-Decision)	mit dem $R_0$ -Kriterium, "Fehlerkorrektur" findet nicht statt (Soft-Decision)
Fehlererkennung ohne Korrektur	gut möglich, zyklische Codes sind besonders geeignet zur Erkennung von Bündelfehlern, ARQ-Verfahren	meist unmöglich
Synchronisation	erforderlich, teilweise das größte Problem überhaupt	VA ist selbstsynchronisierend, schnelle Träger- und Phasensynchronisation bei rotationsinvarianter TCM
Hauptanwendungen	reine Binärkanäle mit und ohne Bündelstörungen	für reine Binärkanäle weniger gut geeignet
	sehr gut anpaßbar an Bündelstörungen	Bündelstörungen erfordern Interleaving, mit Mehraufwand anpaßbar
	für AWGN-Kanäle mit Soft-Decision weniger gut geeignet	für AWGN-Kanäle mit Soft-Decision bestens geeignet, für Kanäle mit CSI
		in Kombination mit Quellencodierung (RCPC-Codes, quellen-gesteuerte Decodierung)
	wenn Daten bereits in Blockform vorliegen und nur die Blockfehlerrate wesentlich ist	
	blockcodierte Modulation (BCM)	trelliscodierte Modulation (TCM)
		Verkettete Codes Fadingkanäle (Rayleigh, Rice) bandbegrenzte Kanäle Kanäle mit Verzerrungen UEP-Anwendungen

# 11. Ergänzungen: Spezielle Codes und Kanäle

Dieses Kapitel enthält eine Reihe wichtiger Ergänzungen: Bei vielen Anwendungen insbesondere im Bereich des Mobilfunks liegen Fadingkanäle vor, für die geeignete Interleaving-Verfahren sowie Blockcodes und trelliscodierte Modulation diskutiert werden. Anschließend werden drei weitere Anwendungen des Viterbi-Algorithmus zur ML-Decodierung bei Systemen mit Trellisstruktur vorgestellt, nämlich zur Entzerrung der bei vielen Anwendungen vorliegenden Kanäle mit Intersymbol-Interferenzen, zum optimalen Empfänger bei Continuous Phase Modulation sowie zur Soft-Decision Decodierung von Blockcodes. Mit Produktcodes, der Codeverkettung und der Summenkonstruktion werden drei Methoden zur Generierung leistungsfähiger Blockcodes aus einfachen Blockcodes eingeführt.

## 11.1 Interleaving-Verfahren

Bei einer Datenübertragung mit *Interleaving* (Verschachtelung) wird der Strom der Bits bzw. Symbole nach dem Encoder im Interleaver in der Reihenfolge umsortiert. Empfangsseitig wird vor dem Decoder im Deinterleaver diese Umsortierung wieder rückgängig gemacht, so daß das System Interleaver-Deinterleaver bei ungestörter Übertragung lediglich zu einer konstanten Verzögerung führt. Wenn nun im Kanal Bündelfehler überlagert werden, so entstehen daraus nach dem Deinterleaver Einzelfehler, die quasi statistisch unabhängig erscheinen.

Durch Interleaving wird also aus Sicht des Decoders die Fehlerstruktur des Kanals geändert, indem Bündelfehler in Einzelfehler aufgebrochen werden. Für die einzelnen Codeklassen ist diese Methode wie folgt zu bewerten:

- Blockcodes sind zumindest bei der Decodierung nach dem BMD-Prinzip Zufallsfehler-korrigierende Codes, d.h. sofern die Anzahl der fehlerhaften Bits bzw. Symbole unterhalb  $(d_{\min} - 1)/2$  liegt, ist eine richtige Korrektur garantiert – unabhängig davon, welche Symbole im Codewort betroffen sind und wieviele Bits pro Symbol betroffen sind.

Wenn sehr selten Bündelfehler auftreten, diese aber sehr lang sind, dann sind die von einem Bündelfehler betroffenen Codewörter (es kann sich natürlich auch nur um ein betroffenes Codewort handeln) nicht mehr korrigierbar.

Durch Interleaving wird der Bündelfehler auf sehr viele Codewörter verteilt mit jeweils nur wenigen Fehlern pro Codewort, so daß meistens alle Codewörter und damit der gesamte Bündelfehler korrigierbar sind.

- Faltungscodes können zwar sehr viele einigermaßen gleichmäßig verteilte Einzelfehler korrigieren, aber schon bei kurzen Bündelfehlern wird die Korrekturfähigkeit überschritten und es entsteht nach der Decodierung mit dem Viterbi-Algorithmus ein verlängerter Bündelfehler, wie in Abschnitt 9.6 dargestellt wurde. Mit Interleaving sind also auch bei Faltungscodes Bündelfehler korrigierbar.
- Bei der trelliscodierten Modulation gelten im Prinzip die gleichen Aussagen wie bei den binären Faltungscodes. Allerdings gibt es hier einen Fehlertyp, der durch Interleaving nicht beeinflußt wird: Eine Verfälschung von einem Signalpunkt zu einem anderen Signalpunkt, die zwei parallelen Kanten zugeordnet sind, ist grundsätzlich nicht korrigierbar (und auch nicht erkennbar).

Unter rein informationstheoretischen Gesichtspunkten mit extrem großen Blocklängen ist Interleaving allerdings eine kontraproduktive Maßnahme [27], weil statistisch unabhängig verteilte Einzelfehler den ungünstigsten Fall darstellen. Die Lokalisierung und Korrektur von  $t$  Einzelfehlern erfordert bedeutend mehr Redundanz als die Lokalisierung und Korrektur eines Bündelfehlers der Länge  $t$ . Für die Fehlererkennung mit zyklischen Codes wurde dies schon in Abschnitt 5.6 festgestellt. Informationstheoretisch gesehen sollten also die Bündelfehler nicht in Einzelfehler zerstreut werden.

Für die praktisch verwendeten Codierungsverfahren erweist sich Interleaving aber ganz im Gegenteil als eine nützliche und teilweise unbedingt notwendige Maßnahme. Abgesehen vom zusätzlichen Aufwand besteht der wesentliche Nachteil von Interleaving in der damit verbundenen erheblichen Übertragungsverzögerung, die bei machen Anwendungen nur schwer akzeptiert werden kann, so daß das Interleaving-Verfahren zumindest hinsichtlich einer möglichst geringen Verzögerung auszulegen ist.

Im wesentlichen gibt es zwei Klassen von Interleaving-Verfahren: Das Block-Interleaving ist sehr einfach zu übersehen, während das etwas kompliziertere Faltungs-Interleaving mit halbiertem Verzögerungszeit bei vergleichbarer Wirkung auskommt.

### Block-Interleaving

Das Prinzip des Block-Interleavings zeigt Bild 11.1. Interleaver und Deinterleaver bestehen jeweils aus einem Speicher in Form einer  $(M, N)$ -Matrix. Im Interleaver werden die Bits bzw. Symbole spaltenweise in die Matrix eingeschrieben. Nachdem die Matrix mit  $M \cdot N$  Bits bzw. Symbolen gefüllt ist, wird zeilenweise ausgelesen. Im Deinterleaver wird zeilenweise eingeschrieben und spaltenweise ausgelesen. Interleaver und Deinterleaver müssen natürlich synchronisiert sein.

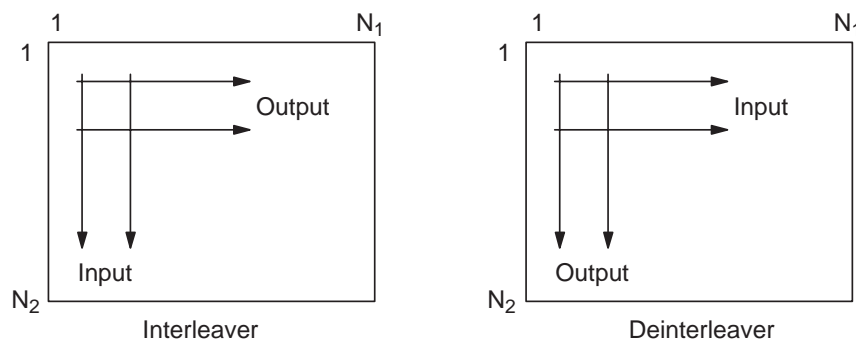


Bild 11.1. Block-Interleaving

**Beispiel 11.1.** Es sei  $M = 4$  und  $N = 5$ . Die Symbolfolge  $1, 2, 3, 4, \dots, 20$  führt zu folgender Belegung der Interleaver-Matrix

1	5	9	13	17
2	6	10	14	18
3	7	11	15	19
4	8	12	16	20

und somit wird  $1, 5, 9, 13, 17, 2, 6, 10, 14, 18, \dots, 16, 20$  ausgelesen. ■

Im Interleaver und Deinterleaver sind jeweils Speicher der Mächtigkeit  $M \cdot N$  erforderlich, wobei der Deinterleaver gegebenenfalls Soft-Decision Werte zu speichern hat. Nach dem Interleaver beträgt die Verzögerungszeit  $M \cdot N$  Symbole. Wenn diese Symbole sehr schnell als Paket in einem Zeitmultiplexsystem übertragen werden, dann beträgt auch die Gesamtverzögerung nur wenig mehr als  $M \cdot N$  Symbole (abgesehen von der Verzögerung auf dem physikalischen Kanal und der Decodierverzögerung). Wenn die Symbole aber mit der gleichen Geschwindigkeit übertragen werden wie das Einschreiben in den Interleaver erfolgt, dann verdoppelt sich die Gesamtverzögerung.

Ein Bündelfehler der Länge  $b$  wirkt sich auf etwa  $b/N$  Zeilen in der Deinterleaver-Matrix aus. Pro Spalte treten etwa  $b/N$  Fehler auf, wenn zur Vereinfachung angenommen wird, daß sämtliche Symbole im Bündelfehler fehlerhaft sind. Speziell bei  $b < N$  sind exakt  $b$  Spalten mit jeweils einem Fehler betroffen. Nach dem Deinterlaver treten  $N$  kurze Bündelfehler der Länge  $b/N$  auf, die jeweils durch  $M - b/N$  fehlerfreie Symbole getrennt sind.

Bei einem Blockcode zur Korrektur eines Bündelfehlers der Länge  $t$  mit der Blocklänge  $n$  sollte  $M \geq n$  und  $N > b/t$  bei Interleaving auf Symbol-Basis gewählt werden. Bei einem binären Faltungscodes mit der Gedächtnislänge  $m$  sollte  $M > m$  und  $N > b$  bei Interleaving auf Bit-Basis gewählt werden.

### Faltungs-Interleaving

Das Prinzip des Faltungs-Interleavings zeigt Bild 11.2. Interleaver und Deinterleaver bestehen jeweils aus  $N$  Speichern in Form von Vektoren der Längen  $0, J, 2J, 3J, \dots, (N - 1)J$ . Es wird  $M = J \cdot N$  gesetzt. Mit jedem neuen Symbol wird eingangsseitig ein Symbol links eingeschoben und ein Symbol rechts herausgeschoben. Anschließend werden die vier Multiplexer bzw. Demultiplexer weitergeschaltet, wobei wieder eine Synchronisation zwischen Interleaver und Deinterleaver erforderlich ist.

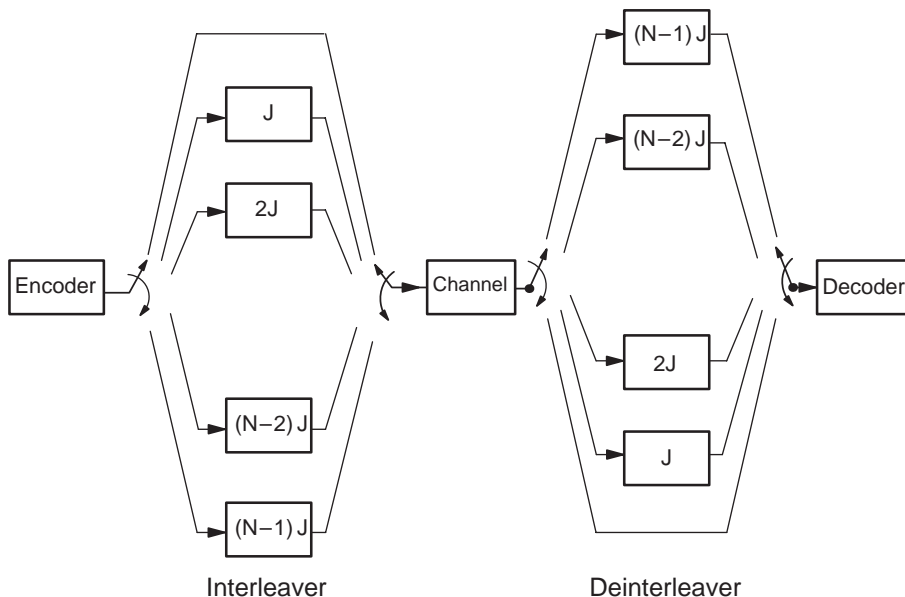


Bild 11.2. Faltungs-Interleaving

**Beispiel 11.2.** Es sei  $N = 4, J = 1$  und somit  $M = 4$ . Die Symbolfolge  $\dots, -1, 0, 1, 2, 3, 4, \dots$  führt zu folgender Belegung der Interleaver-Speicher:

nach Input 14	nach Input 18	nach Input 22
11	15	19
12 8	16 12	20 16
13 9 5	17 13 9	21 17 13
14 10 6 2	18 14 10 6	22 18 14 10

Somit entsteht die Folge  $\dots 11, 8, 5, 2, 15, 12, 9, 6, 19, 16, 13, 10 \dots$  nach dem Interleaver. Im Deinterleaver führt das zu folgender Belegung der Speicher:

nach Input 2	nach Input 6	nach Input 10
11 7 3 -1	15 11 7 3	19 15 11 7
8 4 0	12 8 4	16 12 8
5 1	9 5	13 9
2	6	10

Somit ergibt sich die Folge ... -1,0,1,2, 3,4,5,6, 7,8,9,10 ... nach dem Deinterleaver. Die Interleaver-Operation kann auch so veranschaulicht werden:

...	23	19	15	11	...	
...	24	20	16	12	8	...
...	25	21	17	13	9	5 ...
...	26	22	18	14	10	6 2 ...

Hierbei wird von oben nach unten und von rechts nach links eingeschrieben. Das Auslesen erfolgt diagonal von links-oben nach rechts-unten und von rechts nach links. ■

Im Interleaver und Deinterleaver sind jeweils Speicher mit der Mächtigkeit  $0 + J + 2J + 3J + \dots + (N-1)J = M(N-1)/2$  erforderlich. Die Verzögerungszeit nach dem Interleaver beträgt  $M(N-1)/2$  und ist damit nur halb so groß wie beim Block-Interleaving, obwohl das Faltungs-Interleaving die gleiche Wirkung hat:

Betrachte einen Blockcode mit der Blocklänge  $n \leq N$ : Jedes Codesymbol eines Codewortes befindet sich in einer anderen Zeile des Interleaver-Speichers. Nach dem Auslesen aus dem Interleaver sind die Codesymbole eines Codewortes jeweils durch  $M-2$  Symbole anderer Codewörter getrennt. Ein Bündelfehler der Länge  $b$  führt also zu etwa  $b/M$  Fehlern pro Codewort, wovon etwa  $M$  Codewörter betroffen sind.

## 11.2 Fadingkanäle: Grundlagen und Reed-Solomon Codes

In den vorangehenden Kapiteln wurde die Kanalcodierung weitgehend auf Grundlage der Kanalmodelle AWGN bei Soft-Decision bzw. BSC bei Hard-Decision betrachtet, wesentliche Ausnahmen bildeten lediglich die Codes zur Korrektur von Bündelfehlern in den Abschnitten 5.6 bis 5.8 sowie die RS-Codes in Kapitel 7. Bei den hier einzuführenden *Fadingkanälen* (Schwundkanal) wird nicht nur Rauschen  $\nu$  additiv überlagert, sondern der Input des Kanals wird zusätzlich mit einer reellen und positiven Fadingamplitude  $a$  multipliziert, d.h. es gilt sowohl im 1- wie im 2-dimensionalen Fall

$$y_r = a_r \cdot x_r + \nu_r \quad , \quad a_r \geq 0. \quad (11.2.1)$$

Ähnlich wie bei Definition 1.3 entspricht die Übergangswahrscheinlichkeit bei gegebenem  $a$  einer Normalverteilung mit dem Erwartungswert  $x \cdot a$  und der Varianz  $\sigma^2 = N_0/2$  beim 1-dim. AWGN bzw.  $\sigma^2 = N_0$  beim 2-dim. AWGN, d.h. für die Verteilungsdichte gilt:

$$f_{y|x,a}(\eta|\xi, \alpha) = f_\nu(\eta - \xi \cdot \alpha). \quad (11.2.2)$$

# 12. Ausgewählte Anwendungen

In fast allen modernen Kommunikationssystemen werden Verfahren der Kanalcodierung eingesetzt. Ein vollständiger Überblick würde den Rahmen dieses Buches sprengen. Deshalb werden in diesem Kapitel nur einige wenige Anwendungen besprochen, die aber die Vielfalt der Codierungsverfahren dennoch einigermaßen repräsentieren.

Die Kanalcodierung wurde erstmals in der Satellitenkommunikation angewendet, wobei hier einerseits ein gut zu überblickender reiner AWGN-Kanal vorliegt und andererseits der Realisierungsaufwand nur eine untergeordnete Rolle spielt. Der Telefonkanal ist ein bandbegrenzter Kanal mit Verzerrungen, wobei mit der sehr komplizierten Übertragungstechnik in den heute verfügbaren Modems fast die Kanalkapazität erreicht wird. Beim digitalen Mobilfunk nach dem GSM-Standard liegt ein Kanal mit frequenzselektivem Fading und Zeitmultiplex-Betrieb vor, bei dem die Kanalcodierung in enger Wechselwirkung mit den Kanaleigenschaften, dem Übertragungssystem und der Quellencodierung so zu entwerfen ist, daß anstelle der Einzelverbindungs-Qualität die Netzwerk-Kapazität maximiert wird. Beim digitalen Breitband-Richtfunk wird die Kanalcodierung zur Reduktion der Hintergrund-Fehlerrate eingesetzt ohne Änderung des Modulationssystems. Schließlich erfolgt eine Übersicht zur Codierung bei der Compact Disc sowie in der Audiotechnik.

## 12.1 Satellitenkommunikation

Der Satellitenkanal ist zumindest im Downlink vom Satelliten zur Bodenstation ein reiner AWGN-Kanal mit starker Leistungsbegrenzung bei erdfernen Forschungssatelliten. Eine Einsparung bei  $E_b/N_0$  von 1 dB führt heute zu einer Kostenersparnis von etwa 75 Millionen Dollar nach J.L.Massey in [29], so daß fast jeder Aufwand für die Codierung gerechtfertigt erscheint. Bei geostationären Kommunikationssatelliten ist der AWGN-Kanal inzwischen auch als bandbegrenzt anzusehen, da der wachsende Bedarf an Kommunikation und Kanälen sehr breitbandige Übertragungsverfahren verbietet.

Neben dem additiven weißen Rauschen wird der Satellitenkanal teilweise durch weitere Degradationen geprägt: Wenn die Sendeverstärker nahe an der Aussteuerungsgrenze betrieben werden, kann es zu nichtlinearen Verzerrungen kommen. Durch Mehrwegeausbreitung kann Fading entstehen und insbesondere

bei flachen Elevationswinkeln können auch Abschattungen auftreten. Die Bewegung mobiler Teilnehmer kann zu Dopplereffekten führen, was die Aufrechterhaltung der Synchronisation besonders schwierig macht.

Die nachfolgenden Überlegungen konzentrieren sich auf die Situation bei erdfernen Forschungsatelliten (Deep-Space Communication). In der Entwicklung der Kanalcodierung war dies eine der ersten Anwendungen, weil hierbei der Kanal als idealer AWGN besonders einfach modellierbar ist, weil die verfügbare Bandbreite fast beliebig groß ist und somit sehr kleine Coderaten erlaubt und weil der Realisierungsaufwand für den Decoder fast unbegrenzt groß sein darf. Die Fehlerrate nach der Decodierung sollte bei der Bildübertragung mit Komprimierung typischerweise bei etwa  $P_b = 10^{-5}$  liegen bzw. bei früheren Systemen, bei denen noch keine Bildkomprimierung vorgesehen war, bei etwa  $P_b = 0,005$ . Eine Übersicht zur Satellitenkommunikation gibt [149] sowie die Beiträge von D.J.Costello u.a. in [17], von J.L.Massey in [29] und von R.J.McEliece u.a. in [76].

Schon bei der Konzeption der frühen Satellitenprojekte war den Nachrichtentechnikern bewußt, daß durch Soft-Decision Decodierung ein Codierungsgewinn von 2 bis 3 dB erzielt werden kann. Bei der *Mariner 69 Mission* wurde jedoch noch kein Faltungscode verwendet, weil damals der Viterbi-Algorithmus noch nicht verfügbar war. Die Wahl fiel stattdessen auf einen Blockcode, nämlich auf den  $(32, 6, 16)_2$ -Reed-Muller Code RM(1, 5), weil dieser eine einfache Soft-Decision Decodierung erlaubt. Der asymptotische Codierungsgewinn beträgt 4,8 dB nach (11.10.8). Bei  $P_b = 10^{-5}$  ist  $E_b/N_0 = 5,9$  dB erforderlich [27], so daß der Gewinn gegenüber der uncodierten Übertragung 3,7 dB beträgt. Als Modulationsverfahren wurde 4-PSK verwendet.

Bei der *Voyager 77 Mission* zu den äußeren Planeten wurde ein  $R = 1/2$ - bzw.  $R = 1/3$ -Faltungscode mit der Gedächtnislänge  $m = 6$  verwendet, wobei  $d_f = 10$  bzw.  $d_f = 15$  gilt. Allerdings handelt es sich dabei nicht um den Industriestandard-Code aus Tabelle 8.1, sondern um einen auf  $P_b = 0,005$  optimierten Code mit anderen Generatorpolynomen. Bei  $P_b = 10^{-5}$  beträgt der Codierungsgewinn 5,1 dB bzw. 5,6 dB ähnlich wie in Tabelle 9.3.

Mit der Einführung von Bildkompressionsverfahren wurde der Optimierungspunkt auf  $P_b = 10^{-5}$  verschoben. Es zeigt sich schnell, daß hierbei die einfachen Faltungscode durch verkettete Codes wesentlich verbessert werden können. Der innere Code wird so gewählt, daß damit die Fehlerrate des Kanals (bei gedachter Hard-Decision) etwa um den Faktor 10 bis 100 reduziert wird. Dazu eignen sich Faltungscode mit Soft-Decision am besten. Die weitere Reduzierung der Fehlerrate bis zum gewünschten (eventuell extrem kleinen) Wert geschieht durch leistungsfähige Reed-Solomon Codes, die mit etwa 10% Redundanz auskommen.

In Tabelle 12.1 wird die Codeverkettung verglichen mit einem einzelnen Faltungscode (FC) und einem einzelnen Blockcode, und zwar bezüglich verschiedener Bit-Fehlerwahrscheinlichkeiten  $P_b$ . Der innere  $R = 1/2$ -Faltungscode mit 64 Zuständen und oktaler Quantisierung wird verkettet mit verschiedenen äußeren

**Tabelle 12.1.** Verkettete FC-RS-Codes im Vergleich mit Einzelcodes (nach [49])

$P_b$	Notwendiges $E_b/N_0$ [dB] für $P_b$					
	uncod.	Codeverkettung			FC	BCH
		FC( $R = 1/2, m = 6$ ) mit RS-Code (127,111) (255,223) (511,447)			$R = 1/2$ $m = 6$	$R \approx 1/2$ $n = 1023$
$10^{-3}$	6,8	2,5	2,4	2,3	2,6	4,8
$10^{-5}$	9,6	2,8	2,6	2,5	4,5	5,3
$10^{-8}$	12,0	3,1	2,9	2,6	5,8	6,0

RS-Codes der Blocklängen 127, 255 und 511, wobei jeweils die gleiche Coderate  $R_{\text{aussen}} \approx 0,87$  verwendet wird, so daß die Gesamtcoderate  $R \approx 0,44$  beträgt. Ferner wird zwischen den beiden Codes ein ausreichend dimensioniertes Interleaving vorausgesetzt. Die Blockcodes werden mit Hard-Decision und die Faltungscodes mit Soft-Decision decodiert.

Offensichtlich fällt  $P_b$  bei der Codeverkettung im Bereich von 2,5 bis 3,0 dB sehr stark ab, während beim Blockcode die Kurve wesentlich flacher verläuft und beim Faltungscode noch flacher ausfällt. Für  $P_b \leq 10^{-5}$  ist die Codeverkettung den Einzelcodes deutlich überlegen, während bei  $P_b \geq 10^{-3}$  der Faltungscode allein fast ebenso gut wie die Verkettung ist. Der steile Abfall von  $P_b$  bei der Codeverkettung kann anhand eines Beispiels leicht nachvollzogen werden:

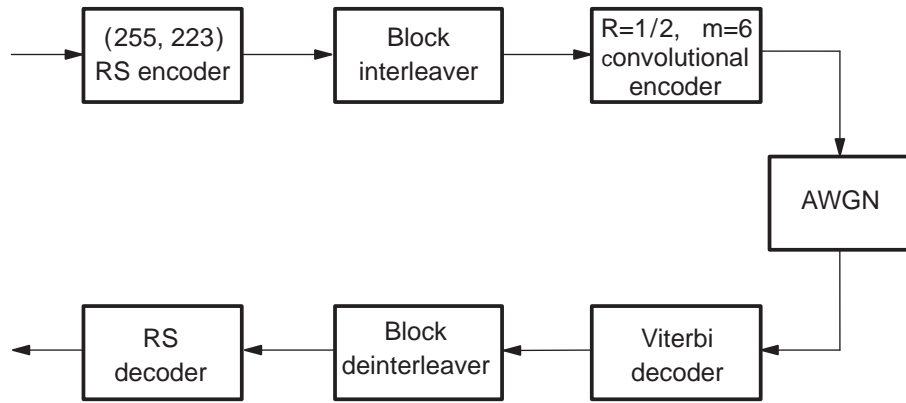
**Beispiel 12.1.** Als äußerer Code wird der (255, 223)-RS-Code zur Korrektur von  $t = 16$  Symbolen vorausgesetzt. Nach Satz 3.15 ergibt sich die Wort-Fehlerwahrscheinlichkeit  $P_w$  aus der Symbol-Fehlerwahrscheinlichkeit  $P_s$  wie folgt:

$$P_w = \sum_{r=17}^{255} \binom{255}{r} P_s^r (1 - P_s)^{255-r} = \left\{ \begin{array}{ll} 1,4 \cdot 10^{-9} & P_s = 0,01 \\ 3,0 \cdot 10^{-14} & P_s = 0,005 \\ 1,1 \cdot 10^{-20} & P_s = 0,002 \\ 1,0 \cdot 10^{-25} & P_s = 0,001 \end{array} \right\}.$$

Ein falsches 8-Bit Symbol am Eingang des RS-Decoders bedeutet etwa 4 falsche Bits am Ausgang des Viterbi-Decoders aufgrund der in Abschnitt 9.6 beschriebenen Bündelfehlerstruktur. Somit kann der Zusammenhang zwischen der Bit- und der Symbol-Fehlerwahrscheinlichkeit durch  $P_b = P_s/2$  approximiert werden. Also entspricht  $P_s = 0,01 \dots 0,001$  etwa  $P_b = 0,005 \dots 0,0005$ . Nach Bild 9.7 erfordert das  $E_{b,FC}/N_0 = 2 \dots 3$  dB. Wegen  $E_b = E_{b,\text{innen}}/R_{\text{aussen}}$  folgt bei  $R_{\text{aussen}} = 0,87$  etwa  $E_b/N_0 = 2,6 \dots 3,6$  dB für den Bereich des starken Abfalls von  $P_w$  und damit auch von  $P_b$ . ■

Die von Raumfahrtbehörden verschiedener Länder einschließlich der amerikanischen NASA und der europäischen ESA getragene Organisation CCSDS (Consultative Committee for Space Data Systems) hat 1984 die in Bild 12.1 dargestellte Codeverkettung als Standard festgelegt [88].

Wie bei Tabelle 12.1 wird beim *CCSDS-Standard* innen ein  $R = 1/2$ -Faltungscode mit der Gedächtnislänge  $m = 6$  und oktaler Quantisierung verwen-



**Bild 12.1.** Verkettung von Faltungs- und Blockcodes nach dem CCSDS-Standard

det. Als äußerer Code dient der  $(255, 223, 33)_{256}$ -RS-Code zur Korrektur von 16 Symbolen. Die Gesamtcoderate beträgt  $1/2 \cdot 223/255 \approx 0,44$ . Für das Galoisfeld  $\mathbb{F}_{256}$  wird nicht das primitive Polynom vom Grad 8 aus Tabelle 6.1 verwendet, sondern  $p(x) = x^8 + x^7 + x^2 + x + 1$ . Wegen  $\text{GGT}(11, 255) = 1$  ist mit  $z$  auch  $z^{11}$  ein primitives Element. Als Generatorpolynom für den RS-Code wird

$$g(x) = \prod_{i=112}^{143} (x - z^{11 \cdot i}) \quad (12.1.1)$$

gewählt. Aufgrund dieser Festlegungen können die Elemente des Galoisfeldes nicht nur in der Komponentendarstellung (6.2.6) repräsentiert werden, sondern auch bezüglich einer sogenannten *Dualbasis*, die eine vereinfachte Bit-serielle Implementierung des Encoders ermöglicht.

Der Block-Interleaver wird mit einer  $(255, N)$ -Matrix auf Symbolbasis realisiert, wobei  $N = 2, \dots, 8$  vorgesehen ist. Wie bei Bild 11.1 wird spaltenweise eingelesen und zeilenweise ausgelesen. Für  $P_b = 10^{-5}$  ist nach dem Beitrag von J.Hagenauer u.a. in [76]

$$E_b/N_0 = \left\{ \begin{array}{ll} 2,60 & N = 2 \\ 2,45 & N = 4 \\ 2,35 & N = 8 \end{array} \right\} \text{ dB}$$

erforderlich. Beispielsweise wurde  $N = 8$  für die europäische *Giotto 85 Mission* zum Halley'schen Kometen und  $N = 2$  für die *Galileo 89 Mission* zum Planeten Saturn gewählt. Bei Galileo waren für die Hauptantenne im X-Band und für die Nebenantenne im S-Band (40 dB weniger Gewinn) verschiedene Codierungsverfahren implementiert, die aber untereinander nicht austauschbar sind. Unglücklicherweise entfaltete sich nach dem Start die Hauptantenne nicht, für die eine Codeverkettung mit einem  $m = 14$ -Faltungscodes vorgesehen war. Somit hatte die gesamte Datenübertragung über die Nebenantenne mit dem CCSDS-Standard zu erfolgen. Der Beitrag von R.J.McEliece in [76] beschreibt

die Versuche zur nachträglichen Verbesserung des einzigen benutzbaren Galileo-Encoders: So wurde dem  $R = 1/2, m = 6$ -Faltungs-Encoder ein von der Erde aus nachgeladener  $R = 1/2, m = 10$ -Faltungs-Encoder vorgeschaltet, um damit einen  $R = 1/4, m = 13$ -Faltungs-Encoder zu generieren.

In dem Beitrag von J.Hagenauer u.a. in [76] werden Möglichkeiten zur Verbesserung des CCSDS-Standards angegeben, die auf einer Faltungs-Decodierung mit Soft-Decision Output kombiniert mit einer Fehler- und Ausfallkorrektur des RS-Codes sowie iterativer Decodierung basieren. Damit kann  $E_b/N_0$  auf 1,7 dB bei  $P_b = 10^{-5}$  reduziert werden, was im Vergleich zu den theoretischen Grenzen (die allerdings für  $P_b \rightarrow 0$  gelten) recht eindrucksvoll ist: Die Shannon-Grenze der Kanalkapazität liegt nach Bild 2.4 bei  $-1,6$  dB für  $R \rightarrow 0$  bzw. bei  $-0,1$  dB für  $R = 0,44$  und die  $R_0$ -Grenze liegt bei  $1,4$  dB für  $R \rightarrow 0$  bzw. bei  $2,2$  dB für  $R = 0,44$ . Der verbesserte CCSDS-Standard liegt also nur  $1,8$  dB oberhalb der Shannon-Grenze, aber schon unterhalb der  $R_0$ -Grenze.

In [149] wird eine neue Klasse von Codeverkettungen beschrieben, von denen ein Code auch für die Hauptantenne von Galileo implementiert war. Der innere Faltungscode hat die Gedächtnislängen  $m = 12, 13, 14$  und die Coderaten  $R = 1/4, 1/5, 1/6$ . Als äußerer Code wird ein  $(1023, 959, 65)$ -RS-Code vorgesehen, der 32 10-Bit Symbole korrigieren kann. Damit wird der CCSDS-Standard um rund  $2$  dB verbessert, d.h. für  $P_b = 10^{-5}$  ist nur noch etwa  $E_b/N_0 \approx 0,5$  dB erforderlich. Aufgrund der immer schnelleren Rechner können FaltungsCodes mit  $2^{14}$  Zuständen inzwischen tatsächlich ML-decodiert werden, wofür im Beitrag von D.J.Costello in [12] der Begriff *Big Viterbi Decoder* (BVD) eingeführt wird.

Auch mit einer neuen Klasse von sogenannten *Turbo Codes*, die auf verketteten systematischen und rückgekoppelt encodierten FaltungsCodes basieren sowie empfängerseitiger iterativer Decodierung, werden sehr geringe Abstände zur Shannon-Grenze erreicht [82].

In dem Beitrag von S.Lin u.a. in [29] wird folgendes Verfahren für bandbreiteneffiziente Satellitenkommunikation vorgestellt: Wie beim CCSDS-Standard wird außen ein  $(255, 223)$ -RS-Code und der Block-Interleaver mit  $N = 2$  verwendet. Der  $R = 1/2$ -Faltungscode mit 4-PSK Modulation wird aber ersetzt durch die blockcodierte Modulation (BCM) aus Bild 10.19 mit 8-PSK und  $45^\circ$ -Rotationsinvarianz.

Beim CCSDS-Standard mit  $N = 2$  führen  $2 \cdot 8 \cdot 223$  Infobits zu  $2 \cdot 8 \cdot 255$  RS-codierten Bits, was genau einer Füllung des Interleaver-Speichers entspricht. Daraus ergeben sich  $2 \cdot 2 \cdot 8 \cdot 255$  faltungscodierte Bits, die zu  $2 \cdot 8 \cdot 255$  Kanalbenutzungen führen. Also beträgt die spektrale Bitrate bei CCSDS  $223/255 \approx 0,875$  Bit/s/Hz. Bei der RS-BCM-Verkettung werden die  $16 \cdot 255$  RS-codierten Bits in  $24 \cdot 255$  Codebits bzw.  $8 \cdot 255$  Signalpunkte überführt, so daß die spektrale Bitrate hier auf  $2 \cdot 223/255 \approx 1,749$  Bit/s/Hz verdoppelt wird.

Während BCM allein  $E_b/N_0 = 7,8$  dB für  $P_b = 10^{-5}$  erfordert, sind bei der RS-BCM-Verkettung nur  $5,3$  dB für  $P_b = 10^{-5}$  bzw.  $5,7$  dB für  $P_b = 10^{-8}$  notwendig. Der Verlust gegenüber dem CCSDS-Standard beträgt nur  $5,3 - 2,6 = 2,7$  dB mit dem Vorteil einer halbierten Bandbreite.

Für zukünftige bandbreiteneffiziente Satellitenkommunikation werden auch TCM-Verfahren auf QAM-Basis favorisiert. Zwar hat QAM keine konstante Enveloppe und ist somit empfindlich gegen nichtlineare Verzerrungen im Sendeverstärker, aber die Vorteile der hohen spektralen Effizienz und die leicht erreichbare  $90^\circ$ -Rotationsinvarianz erscheinen sehr attraktiv. Dabei wird nicht auf den asymptotischen Codierungsgewinn optimiert, sondern auf den Codierungsgewinn bei  $P_b = 10^{-5}$ , um für die spezielle Anwendung alle Möglichkeiten ausschöpfen zu können.

## 12.2 Modems:

### Datenübertragung über den Telefonkanal

Der Sprachband-Telefonkanal kann als bandbegrenzter AWGN mit einer Bandbreite von etwa 2400 bis 3200 Hz und einem Signal/Rausch-Abstand von etwa 28 bis 36 dB modelliert werden [98]. Nach Satz 2.5 resultiert daraus eine Kanalkapazität von etwa 23000 bis 38000 Bit/s. Zu berücksichtigen sind allerdings noch weitere Degradationen durch nichtlineare Effekte sowie durch Übersprechen und Impulsstörungen. Die Qualität des Telefonkanals ist auch davon abhängig, ob es sich um Wählverbindungen oder Mietleitungen sowie um 2-Draht- oder 4-Draht-Verbindungen handelt.

Modems sind für die Anwendung sehr komplizierter Kanalcodierungs-, Modulations- und Entzerrungsverfahren geradezu prädestiniert, da einerseits ein sehr starkes Interesse an möglichst hohen Datenraten besteht und andererseits die im Vergleich zu anderen Anwendungen dennoch als sehr niedrig einzustufenden Datenraten sehr komplexe Algorithmen zur Signalverarbeitung technisch tatsächlich ermöglichen.

In Tabelle 12.2 werden anhand der wichtigsten CCITT-Recommendations (Comité Consultatif International de Télégraphique et Téléphonique, inzwischen in ITU, International Telecommunication Union umbenannt) die Meilensteine in der Entwicklung der Modem-Technik zusammengestellt. Eine ausführlichere Darstellung findet sich in [74], die allerdings bei V.33 endet. Für die hier nicht behandelte adaptive Entzerrer- und Echolöcher-Technik wird beispielsweise auf [10, 26, 57, 77, 103] verwiesen.

**V.26:** Das erste 4-PSK Modem mit 2400 Bit/s erschien 1962 und wurde 1968 als Standard für 4-Draht Mietleitungen spezifiziert. Kanalcodierung und adaptive digitale Entzerrer waren zu jener Zeit technisch noch nicht realisierbar. Der analoge Entzerrer war auf eine KompromißEinstellung fixiert, d.h. auf ein mittleres Kanalprofil.

**V.27:** Ab 1967 erschienen Modems mit einer auf 4800 Bit/s verdoppelten Datenrate. Dazu wurde einerseits die Signalkonstellation auf 8-PSK erweitert und andererseits wurde die Symbolrate auf 1600 Symbol/s bzw. die Bandbreite auf 1600 Hz erhöht. Jede Bandbreitenerhöhung bedeutet beim

**Tabelle 12.2.** Entwicklung der Modem-Technik

CCITT- Recomm.	Jahr	Datenrate			Übertragungstechnik
		$\frac{\text{Bit}}{\text{s}}$	$\frac{\text{Symb.}}{\text{s}}$	$\frac{\text{Bit}}{\text{Symb.}}$	
V.26	1968	2400	1200	2	4-PSK uncodiert analoger fester Entzerrer
V.27	1972	4800	1600	3	8-PSK uncodiert analoger manueller Entzerrer
V.29	1976	9600	2400	4	16-QAM uncodiert adaptiver linearer Entzerrer
V.32	1984	9600	2400	4	2-dim. 32-QAM TCM (8 Zustände, nichtlin., 90°-rotinv.) adaptiver linearer Entzerrer adaptiver linearer Echolöcher
V.33	1988	14400	2400	6	2-dim. 128-QAM TCM (8 Zustände, nichtlin., 90°-rotinv.) adaptiver linearer Entzerrer adaptiver linearer Echolöcher
V.34	1994	28800	3200	9	4-dim. 960-QAM MTCM (16 bis 64 Zustände, 90°-rotinv.) Adaption / Modulation Toolbox Vorcodierung Trellis Shaping Shell Mapping Warping adaptiver linearer Echolöcher

Sprachband-Telefonkanal stärkere Verzerrungen und jede Verdichtung der Signalkonstellation bedeutet eine erhöhte Empfindlichkeit gegen Verzerrungen. Deshalb wurde hier ein einstellbarer analoger Entzerrer erforderlich, der bei der Installation per Drehknopf (d.h. 1 Parameter) eingestellt wurde.

Auch 20 Jahre nach der Shannon'schen Theorie waren damit erst gut 10% der Kanalkapazität erreicht. Die weiteren Fortschritte wurden zunächst nicht durch Kanalcodierung erzielt, sondern durch leistungsfähigere adaptive Entzerrer:

**V.29:** Die erneute Verdopplung der Datenrate auf 9600 Bit/s für 4-Draht Mietleitungen wurde durch eine auf 16-QAM erweiterte Signalkonstellation und eine auf 2400 Hz erhöhte Bandbreite erreicht. Der digitale Entzerrer wurde durch ein Transversalfilter realisiert, wobei zur Adaption aber kein Gradientenverfahren, sondern der einfacher realisierbare Zero-Forcing Algorithmus verwendet wurde.

Durch weitere Verbesserungen bei der Entzerrung, insbesondere durch Fractional Spacing Equalizer (Überabtastentzerrer), erschienen 1981 erste Modems mit 14400 Bit/s. Dafür waren genaue und aufwandsminimale Dimensionierungen

von Transversalfilter und Adaptionalgorithmus erforderlich. Erst 35 Jahre nach den Shannon'schen Arbeiten fand die Kanalcodierung Eingang in die Modem-Technik, so daß die weiteren Erhöhungen der Datenrate durch eine Kombination von Codierung und Entzerrung ermöglicht wurden:

**V.32:** Mit dem Übergang auf 2-Draht Wählverbindungen bei gleicher Datenrate wurden einerseits Maßnahmen zum Ausgleich der schlechteren Kanalqualität und andererseits zur Kompensation der Echos erforderlich. Die erst seit 1982 bekannten Verfahren der trelliscodierten Modulation fanden sofort Eingang in den CCITT-Standard. Allerdings wurde nicht der Ungerböck-Code verwendet, sondern die in Abschnitt 10.8 dargestellte und von Wei eingeführte rotationsinvariante 2-dimensionale 32-QAM TCM mit dem asymptotischen Codierungsgewinn von knapp 4 dB.

**V.33:** Der gleiche Encoder wie bei V.32, aber mit zusätzlichen uncodierten In-fobits, bildete die Grundlage für den V.33-Standard mit 128-QAM TCM für 14400 Bit/s und der Rückfallebene 64-QAM TCM für 12000 Bit/s. Die Symbolrate betrug weiterhin 2400 Symbol/s.

In den letzten 10 Jahren sind enorme Fortschritte bei der Entwicklung und Realisierung komplexer Algorithmen zur Trelliscodierung und Signalverarbeitung zu verzeichnen. Mit dem aktuellen Standard V.34 wird bei nochmals verdoppelter Datenrate fast die Kapazitätsgrenze erreicht. Allerdings sind die Verfahren so kompliziert, daß für eine vollständige Darstellung auf die CCITT-Empfehlung selbst [86] sowie auf [92, 98] verwiesen wird. Jedoch verdeutlicht bereits eine oberflächliche Beschreibung die wesentlichen Prinzipien und insbesondere die enge Verzahnung der Kanalcodierung mit den anderen Komponenten im Sender bzw. Empfänger:

**V.34:** Zur Übertragung von 28800 Bit/s über 2-Draht Wählverbindungen wird die Bandbreite auf 3200 Hz ausgedehnt und die spektrale Bitrate auf 9 Bit/s/Hz gesteigert. Das Übertragungsverfahren basiert auf einer 4-dimensionalen 90°-rotationsinvarianten 960-QAM MTCM, die mit Faltungscodes der Raten  $R = 2/3$  bei 16 Zuständen,  $R = 3/4$  bei 32 Zuständen und  $R = 4/5$  bei 64 Zuständen operiert. Durch mehr Zustände ergibt sich nur eine marginale Zunahme im Codierungsgewinn, aber eine größere Robustheit gegenüber signalabhängigen Verzerrungen wie beispielsweise harmonischen Verzerrungen. Die Übertragungstechnik ist weitgehend adaptiv, d.h. Sender und Empfänger bedienen sich aus einer sogenannten *Modulation Toolbox*: Erst nach der Ausmessung des Kanals durch Testsignale werden die Datenrate, die Bandbreite, die Codierung und verschiedene andere Parameter festgelegt. Zur Wahl stehen rund 25 verschiedene Datenraten im Bereich von 2400 bis 29000 Bit/s. Selbst die Trägerfrequenz kann gegenüber dem 1800 Hz Standardwert geringfügig verschoben werden.

Aufgrund der sehr dichten 960-QAM Signalkonstellation und des nochmals verbreiterten Übertragungsbandes mit daraus resultierenden starken Verzerrungen kommt der Entzerrung bei V.34 ganz wesentliche Bedeutung zu. Aus Aufwandsgründen ist der optimale ML-Empfänger oder auch nur die optimale ML-Entzerrung nach dem MLSE-Prinzip nicht realisierbar. Die bei den anderen V-Standards vorgesehenen linearen Transversalentzerrer sind ungeeignet, weil die starken Verzerrungen am Rand des Übertragungsbereiches zu einer erheblichen Rauschverstärkung führen. Zudem erzeugt der lineare Entzerrer Rauschkorrelationen, die für die TCM-Decodierung vermieden werden müssen.

Auch das DFE-Prinzip (decision feedback equalizer) ist ungeeignet, weil sofortige Entscheidungen vor der TCM-Decodierung sehr unzuverlässig sind und andererseits zuverlässige Entscheidungen nach der TCM-Decodierung nur zeitverzögert verfügbar sind. Die sogenannte *Vorcodierung* nach dem Prinzip von Tomlinson-Harashima [37, 98] verlagert dagegen die DFE-Entzerrung bereits in den Sender, der damit natürlich eine exakte Kenntnis des Kanals haben muß, was eine Kooperation zwischen Sender und Empfänger voraussetzt.

Bei der herkömmlichen Codierung mit Blockcodes, Faltungscodes oder Trelliscodes werden alle Punkte aus der Signalkonstellation mit der gleichen Wahrscheinlichkeit angenommen, d.h. die Apriori-Wahrscheinlichkeiten sind gleich (siehe Abschnitt 1.6). Beim sogenannten *Trellis Shaping* [99] ist die Auftrittswahrscheinlichkeit der einzelnen Signalpunkte ähnlich zu einer mehrdimensionalen Normalverteilung, d.h. aus einer quaderförmigen wird eine kugelförmige Signalkonstellation. Dies wird durch eine zusätzliche Codierung und eine zusätzliche Ausdehnung des Signalalphabetes erreicht. Der maximale Gewinn durch Trellis Shaping beträgt 1,53 dB und etwa 1 dB bei einer 25%-Expansion des Signalalphabetes. Das erscheint zwar wenig bedeutsam, aber wenn beispielsweise ein TCM-Verfahren schon zu einem Gewinn von 3 bis 4 dB führt, dann ist ein weiterer zusätzlicher Gewinn von 1 dB durch Shaping einfacher zu erreichen als durch einen komplizierteren Code. Die Gewinne durch trelliscodierte Modulation und Trellis Shaping sind weitgehend unabhängig voneinander und addieren sich somit nahezu.

Eine besondere Form des Shapings stellt die Zuordnung nach dem Prinzip des sogenannten *Shell Mappings* [92] dar. Dabei wird die Signalkonstellation in 12 bis 14 gleichmächtige Schalen von jeweils 64 Punkten partitioniert, so daß ein Teil der Bits die Schale auswählt und ein weiterer Teil wählt dann den Punkt innerhalb der gewählten Schale aus. Die Kombination von trelliscodierter Modulation, Vorcodierung und Trellis Shaping wird auch als *Trellis Precoding* bezeichnet [91].

Es konnte gezeigt werden, daß sich harmonische Verzerrungen bei den äußeren Signalpunkten gravierender als bei den inneren Signalpunkten auswirken. Beim sogenannten *Warping* wird deshalb sendeseitig die Signalkonstellation geringfügig nichtlinear vorverzerrt: Die Abstände zwischen den inneren Signalpunkten werden verkleinert und zwischen den äußeren Signalpunkten werden die Abstände vergrößert.

Die Praxis beim Betrieb von V.34-Modems hat allerdings in kurzer Zeit schon gezeigt, daß die maximale Datenrate von 28800 Bit/s nur bei Sprachband-Telefonkanälen von guter Qualität möglich ist. Eine weitere wesentliche Steigerung der Datenrate erscheint deshalb auch mit nochmals verbesserten Codierungsverfahren als fraglich.

### 12.3 Mobilfunk nach dem GSM-Standard

Bei Mobilfunksystemen ist die Frequenzökonomie wegen der begrenzten Breite des verfügbaren Frequenzbandes und dem Wunsch nach möglichst hohen Teilnehmerdichten von entscheidender Bedeutung. Daneben wird auch eine möglichst hohe Leistungsökonomie gefordert, um einerseits den Leistungsverbrauch der Mobilstationen und andererseits die Übersprecheffekte zu räumlich oder frequenzmäßig benachbarten Kanälen zu minimieren.

Schon bei Systemen der zweiten Generation wie dem GSM-Standard (Global System for Mobile Communications), aber verstärkt bei den zukünftigen Systemen der dritten Generation unter dem Begriff UMTS (Universal Mobile Telecommunication System), steht nicht mehr die Optimierung der Einzelverbindung im Vordergrund wie in der klassischen Nachrichtentechnik, sondern die Optimierung des gesamten Vielfach-Teilnehmer-Netzwerkes. Dafür werden eine Vielzahl von nachrichtentechnischen Methoden eingesetzt:

- Multiplex-Verfahren: Trennung der Teilnehmer durch verschiedene Frequenzen (FDMA = Frequency Division Multiple Access) bzw. Zeiten (TDMA = Time Division Multiple Access) bzw. Codefolgen (CDMA = Code Division Multiple Access).
- Raummultiplex: Im einfachsten Fall bedeutet das nur eine zellulare Struktur, bei zukünftigen Systemen sind auch adaptive Antennen möglich (SDMA = Spatial Division Multiple Access).
- Quellencodierung (Sprache, Musik, Bilder, Daten) zur Reduktion der Datenraten.
- Kanalcodierung zur Verbesserung von Zuverlässigkeit, Fehlerrate, Frequenz- und Leistungsökonomie. Bei schnellem Fading treten Einbrüche auf, die kurz gegenüber der Blocklänge und lang gegenüber der Taktdauer sind, so daß ein Codewort gute und schlechte Abschnitte enthält. Für dieses Szenario ist die Kanalcodierung, eventuell in Verbindung mit Interleaving, bestens geeignet.
- Bandbreiten- und leistungseffiziente digitale Modulationsverfahren.
- Techniken der Kanalschätzung und Entzerrung.
- Diversity-Techniken wie beispielsweise Antennen-Diversity.

- Sendeleistungsregelung und Handover-Strategie (Wechsel der Funkzelle bzw. des physikalischen Kanals) derart, daß bei ausreichender Qualität einer Verbindung die Kapazität des gesamten Netzwerkes maximiert wird.

Dieser Abschnitt konzentriert sich auf die Kanalcodierung beim digitalen Mobilfunk nach dem GSM-Standard. Zwar sind die Codierungsverfahren hier ziemlich einfach, wenn sie isoliert für sich betrachtet werden, aber ihre Wirkungsweise im Zusammenhang mit dem gesamten Übertragungssystem und den Eigenschaften des Funkkanals ist dagegen recht kompliziert. Diese Zusammenhänge können nachfolgend nur sehr knapp beschrieben werden, für eine ausführlichere Darstellung von GSM wird auf [67] mit dem Schwerpunkt Übertragungstechnik bzw. [51] mit den Schwerpunkten Protokolle, Signalisierung und Netzarchitektur verwiesen.

Für den *GSM-Mobilfunk* sind 2 Frequenzbänder von je 25 MHz Bandbreite vorgesehen. Die Mobilstation sendet im Bereich 890–915 MHz (Uplink) und empfängt im Bereich 935–960 MHz (Downlink). In den beiden Frequenzbändern werden FDMA-Systeme betrieben, wozu jeweils eine Aufteilung in 125 Teilbänder von je 200 kHz Bandbreite erfolgt. In den Teilbändern werden digitale 8-fach TDMA-Schmalbandsysteme betrieben. Die Übertragungsgeschwindigkeit in jedem TDMA-System beträgt  $1/T = 270,833$  kBit/s bei einer Taktdauer von  $T = 3,69$   $\mu$ s.

Als Modulationsverfahren wird eine spezielle binäre Continuous Phase Modulation (CPM, siehe Abschnitt 11.6) mit dem Modulationsindex  $h = 1/2$  verwendet, nämlich GMSK (Gaussian Minimum Shift Keying). Der Frequenzimpuls ergibt sich als Faltung eines Rechteckimpulses  $\text{rect}(\tau/T)$  der Dauer  $T$  (das allein würde Minimum Shift Keying MSK entsprechen) mit einem Gaußimpuls:

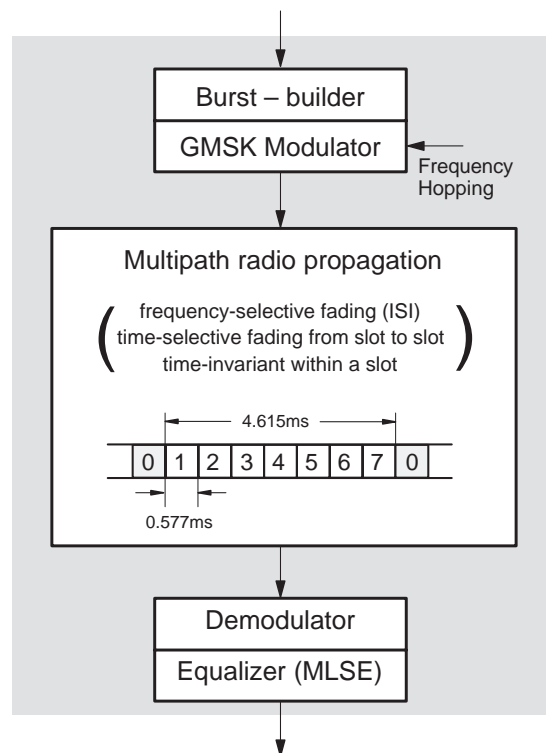
$$\begin{aligned} g(\tau) &= \frac{1}{2T} \text{rect}\left(\frac{\tau}{T}\right) * \frac{1}{\sqrt{2\pi}\sigma T} \exp\left(-\frac{\tau^2}{2\sigma^2 T^2}\right) \\ &= \frac{1}{2T} \left( Q\left(\frac{\tau + T/2}{\sigma T}\right) - Q\left(\frac{\tau - T/2}{\sigma T}\right) \right). \end{aligned} \quad (12.3.1)$$

Dabei wird  $\sigma = 0,441684$  gewählt. Der Frequenzimpuls sieht ähnlich aus wie bei  $L_c$ -RC CPM (siehe Bild 11.7), aber er ist nicht exakt auf ein Zeitintervall der Breite  $L_c T$  begrenzt, sondern nur näherungsweise mit  $L_c = 2 \dots 5$ . Das Spektrum des TDMA-Systems ist auch nicht exakt auf den Bereich von  $\pm 100$  kHz um die Trägerfrequenz herum begrenzt, so daß ein gewisses Übersprechen auf das frequenzmäßig benachbarte System auftritt, was jedoch durch Nichtverwendung benachbarter Trägerfrequenzen in räumlich benachbarten Zellen vermieden werden kann.

Der Datenstrom in jedem TDMA-System ist unterteilt in sogenannte *TDMA-Rahmen* von jeweils  $1250 = 8 \cdot 156,25$  Bit, d.h. die Rahmen-Dauer beträgt  $1250 \cdot 0,00369 \approx 4,615$  ms. Jeder TDMA-Rahmen besteht aus 8 *Zeitschlitz*en (time slots) von 156,25 Bit und einer Zeitdauer von  $4,615/8 = 0,577$  ms. Von den 156,25 Bits dienen 42,25 Bits u.a. der Synchronisation und der Kanalmessung

durch den Empfänger. Die restlichen 114 Bits werden als *Datenburst* bezeichnet und entsprechen den codierten Infobits des Mobilfunkteilnehmers.

Für einen einzelnen Mobilfunkteilnehmer wird also ein GSMK-modulierter Kanal von etwa 200...300 kHz Bandbreite bei einer Übertragungsgeschwindigkeit von 270,833 kBit/s alle 4,615 ms für einen Zeitraum der Länge 0,577 ms benutzt. Die Datenrate der Codebits in diesem sogenannten *logischen Kanal* beträgt  $r_c = 114/4,615 \cdot 24/26 = 22,8$  kBit/s. Der Faktor 24/26 kommt daher, daß von jeweils 26 TDMA-Rahmen nur 24 TDMA-Rahmen für die Nutzdaten zur Verfügung stehen, da 2 TDMA-Rahmen zum Austausch von Kontrollinformationen benötigt werden. Unter diesen Randbedingungen entsteht der in Bild 12.2 dargestellte diskrete Kanal.

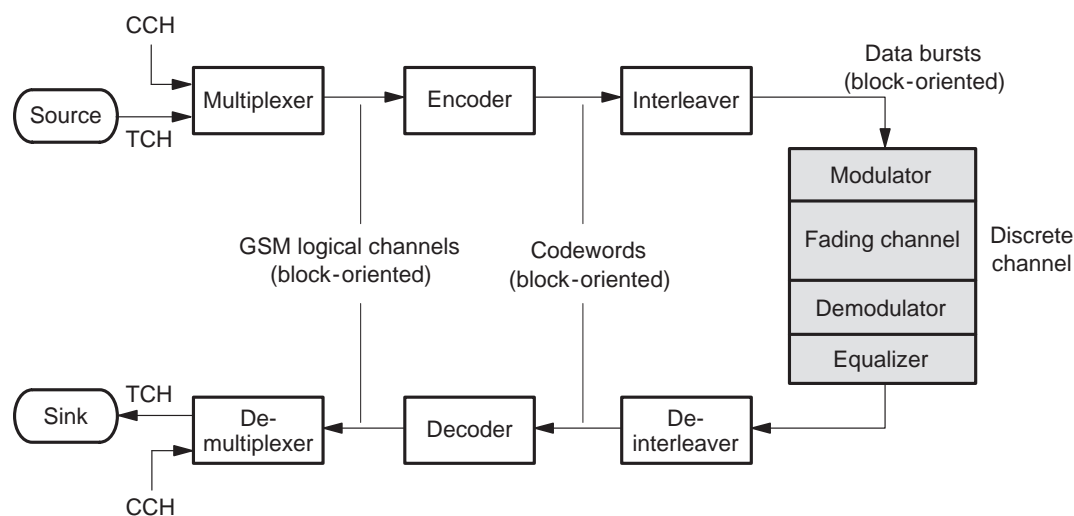


**Bild 12.2.** Erzeugung des diskreten Kanals bei GSM

Zunächst werden beim Burst-Aufbau die 114 Codebits eines Datenbursts durch die oben erwähnten 42,25 zusätzlichen Bits ergänzt und binär GSMK-moduliert. Ein logischer Kanal belegt nur jeden 8-ten Zeitschlitz, wie es in Bild 12.2 für den Zeitschlitz mit der Nummer 0 angedeutet wird. Der physikalische Kanal ist geprägt durch frequenzselektive Verzerrungen, die zu Intersymbol-Interferenzen führen (siehe Abschnitt 11.4). Das FIR-Filter kann mit  $L = 4$  approximiert werden, d.h. die Kanalimpulsantwort ist auf eine Länge von etwa  $5 \cdot 3,69 \approx 20 \mu\text{s}$  begrenzt, was allerdings sehr stark von den Ausbreitungsbedingungen abhängt: Für die Kanalimpulsantwort sind verschiedene Typen von Power Delay Profilen (PDP) spezifiziert, nämlich Typical Urban (geringe

Verzögerungen mit maximal 1,5 km Umweglaufzeit, Länge der Impulsantwort entsprechend  $5 \mu\text{s}$ ), Rural Area (fast verzerrungsfrei, Länge der Impulsantwort  $1 \mu\text{s}$ ) sowie Hilly Terrain (zeitverzögerte Echos mit maximal 6 km Umweglaufzeit, Länge der Impulsantwort entsprechend  $20 \mu\text{s}$ ). Während eines Zeitschlitzes ist der physikalische Kanal weitgehend stationär, aber von Zeitschlitz zu Zeitschlitz kann sich die Kanalqualität und die Kanalimpulsantwort stark ändern.

Der Empfänger vermag die Impulsantwort des Kanals aufgrund bekannter Synchronisationsinformation, nämlich sogenannter Midambeln, innerhalb der oben erwähnten 42,25 Bit gut zu schätzen. Der Entzerrer für den ISI-Kanal und das CPM-Signal wird nach dem MLSE-Prinzip (siehe Abschnitte 11.4 und 11.5) realisiert, wobei sich 16 Zustände im Viterbi-Algorithmus als ausreichend erweisen. Ferner generiert der Entzerrer Soft-Output, d.h. Zuverlässigkeitsinformationen über seine eigenen Entscheidungen, was beispielsweise mit einer Abwandlung des SOVA-Verfahrens aus Abschnitt 9.8 oder den in [121] dargestellten Methoden erfolgen kann.



**Bild 12.3.** GSM-Übertragungssystem

Das gesamte Übertragungssystem zeigt Bild 12.3. Der vorangehend diskutierte diskrete Kanal erzeugt Bündelfehler und ist damit zeitvariant und gedächtnisbehaftet. Die Bündelfehler haben zwei Ursachen:

- Kurze Bündelfehler entstehen durch die Viterbi-Decodierung im MLSE-Entzerrer wie in Abschnitt 9.6 erklärt.
- Lange Bündelfehler, auch über mehrere TDMA-Rahmen bzw. Datenbursts hinweg, können dadurch entstehen, daß der Mobilfunkkanal einen längeren tiefen Fadingeinbruch aufweist. Deshalb wird optional langsames *Frequency Hopping* (Frequenzsprungverfahren) vorgesehen, bei dem die Trägerfrequenz bzw. das TDMA-System nach jedem Rahmen quasi zufällig gewechselt wird. In den meisten Fällen wird damit der Bündelfehler auf maximal einen TDMA-Rahmen bzw. einen Datenburst begrenzt.

Der Datenstrom in den einzelnen logischen GSM-Kanälen ist blockorientiert und damit auch der in den Encoder einlaufende Datenstrom. Der Encoder besteht aus verschiedenen noch zu erklärenden Teil-Encodern. Die entstehenden Codeblöcke umfassen 228 oder 456 Codebits, d.h. die Länge der Codeblöcke beträgt ein ganzzahliges Vielfaches der Länge eines Datenbursts. Das Interleaving-Verfahren verspreizt einen Teil-Codeblock von 114 Bit auf 4 bis 19 Datenbursts, so daß nach dem Deinterleaver in den meisten Fällen ein näherungsweise gedächtnisloser Kanal mit Soft-Decision Output entsteht, auf den das Codierungsverfahren anzupassen ist. Je stärker die Verspreizung ausfällt, desto besser werden die Bündelfehler in Einzelfehler aufgelöst – allerdings steigt damit auch die Verzögerungszeit stark an, so daß ein geeigneter Kompromiß zu wählen ist.

Im GSM-System können sowohl Daten wie auch Sprache übertragen werden. Neben diesen Nutzkanälen (TCH = traffic channel), auf die sich die vorangehenden Erklärungen und quantitativen Angaben bezogen haben, gibt es noch verschiedene Signalisierungskanäle (CCH = control channel), wobei vielfältige Kombinationen von TCH's und CCH's vorgesehen sind. Die Zusammenfassung dieser logischen GSM-Kanäle zu einem Datenstrom erfolgt im Multiplexer und die entsprechende Auftrennung im Demultiplexer. Eine Übersicht zu den wichtigsten logischen GSM-Kanälen gibt Tabelle 12.3.

GSM logical channel	Information bits			Coding		Encoded bits		Interleaving
	Block duration [ms]	Block length	Data rate [kbit/s]	+Parity bits +Zeros	CC rate	Block length	Data rate [kbit/s]	Depth [Data bursts]
TCH/FS	20	260	13	+ 3 + 4	1/2	4 · 114	22,8	8
TCH/HS	20	112	5,6	+ 3 + 6	1/2,1/3	2 · 114	11,4	4
TCH/F9.6	4 · 5	4 · 60	12	+ 0 + 4	61/114	4 · 114	22,8	19
TCH/F4.8	10	60	6	+ 0 +16	1/3	2 · 114	22,8	19
TCH/H4.8	4 · 10	4 · 60	6	+ 0 + 4	61/114	4 · 114	11,4	19
TCH/F2.4	20	72	3,6	+ 0 + 4	1/6	4 · 114	22,8	8
TCH/H2.4	20	72	3,6	+ 0 + 4	1/3	2 · 114	11,4	19
SACCH		184		+40 + 4	1/2	4 · 114		4
SCH		25		+10 + 4	1/2	78		1
RACH		8		+ 6 + 4	1/2	36		1

**Tabelle 12.3.** Datenstruktur der logischen GSM-Kanäle

Es sind 7 unterschiedliche TCH-Datenquellen mit Datenraten von 3,6 bis 13 kBit/s vorgesehen. Nach der Codierung beträgt die Datenrate 22,8 (TCH/F = full-rate) oder 11,4 kBit/s (TCH/H = half-rate). Bei den Halbratenkanälen werden von 26 TDMA-Rahmen nicht 24, sondern nur 12 benutzt, so daß sich die Datenrate halbiert bzw. die Anzahl der Mobilfunkteilnehmer verdoppelt. Ferner ist zwischen Sprachkanälen (TCH/S = speech) und Datenkanälen (TCH/“Bitrate”) zu unterscheiden. Die Datenrate der Infobits ergibt sich als Quotient der Blocklänge zum Blockabstand. Das Verhältnis von Info- zu Codebitrate entspricht der Gesamtcoderate und bestimmt (zusammen mit dem Interleaving-Umfang) die erreichbaren Verbesserungen durch die Kanalcodierung. Bei den Signalisierungskanälen sind die Verhältnisse aufgrund unregelmäßiger oder so-

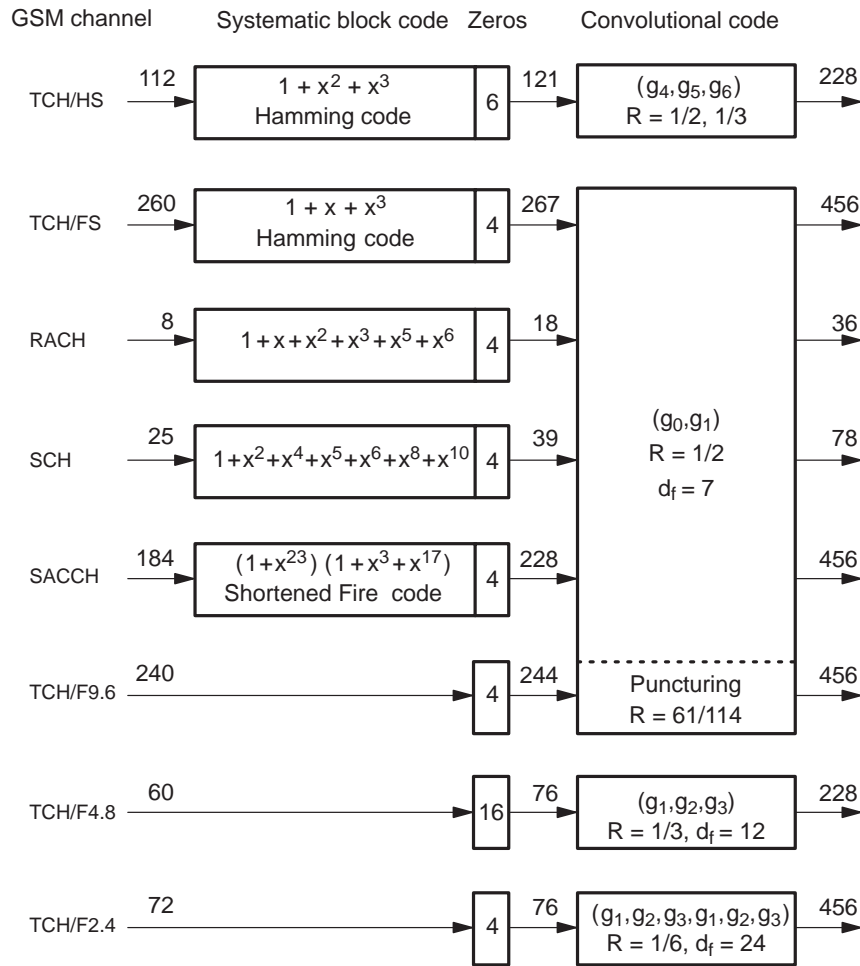
gar zufälliger Abstände wesentlich komplizierter, so daß auf die Angabe von Datenraten verzichtet wird. Bei den logischen Kanälen SCH (Synchronisation Channel) und RACH (Random Access Channel) enthält der Datenburst eines Zeitschlitzes nur 78 bzw. 36 statt 114 Codebits.

Bei den Nutzkanälen werden Faltungs-Interleaver verwendet, die allerdings wesentlich komplizierter als bei Bild 11.2 aufgebaut sind und hier nicht im Detail erläutert werden können. Bei TCH/FS wirken die  $456 = 4 \cdot 114$  Codebits auf jeweils 8 Datenbursts, so daß ein Datenburst jeweils 57 Codebits aus 2 Codeblöcken enthält. Der Totalverlust eines Datenbursts mit 50% Fehlerrate bewirkt nach dem Deinterleaver 2 Codeblöcke mit einer Fehlerrate von  $57/456 \cdot 50\% = 6,25\%$ . Bei TCH/HS beträgt die entsprechende Fehlerrate 12,5%. Bei den Datenkanälen wird ein stärkeres Interleaving vorgesehen, weil hier die Anforderungen an die Verzögerungszeit nicht so streng sind. Bei TCH/F9.6 wirkt ein Teil-Codeblock von 114 Codebits auf 19 Datenbursts bzw. ein kompletter Codeblock wirkt auf 22 Datenbursts, so daß beim Totalverlust eines Datenbursts etwa 5 bis 6 Codeblöcke jeweils eine Fehlerrate von  $1/22 \cdot 50\% \approx 2,3\%$  aufweisen. Bei den Kontrollkanälen wird nur Block-Interleaving angewendet, so werden beispielsweise beim SACCH (Slow Associated Control Channel) die  $456 = 4 \cdot 114$  Codebits auf 4 Datenbursts verteilt, was bei Totalverlust eines Datenbursts zu einer Fehlerrate von 12,5% führt.

Die Struktur des GSM-Encoders zeigt Bild 12.4. Die Zahlen an den Pfeilen geben jeweils die Blocklängen an. Bei den meisten logischen Kanälen wird eine verkettete Codierung angewendet, die allerdings wie anfangs erwähnt ziemlich primitiv ist. Als äußerer Code wird ein Blockcode verwendet, danach werden  $m$  Nullen an den blockcodierten Block angehängt, die im nachfolgenden inneren Faltungscode mit der Gedächtnislänge  $m$  eine Terminierung bewirken, so daß auch die Codeverkettung einen Blockcode erzeugt. Die Faltungscode haben verschiedene Coderaten, nämlich  $1/2$ ,  $1/3$ ,  $1/6$  sowie  $61/114$  mit Punktierung. Die Gedächtnislänge beträgt bei TCH/HS  $m = 6$  (64 Zustände), bei allen anderen logischen Kanälen immer  $m = 4$  (16 Zustände). Die Faltungscode haben zwar eine maximale freie Distanz  $d_f$ , sind aber bezüglich einer geringen Anzahl von nächsten Nachbarn optimiert, um bei schlechten Kanälen einen möglichst großen Gewinn zu erreichen.

Am Eingang des Faltungs-Decoders liegt ein Kanal mit Einzelfehlern und Soft-Decision vor, so daß die Leistungsfähigkeit der Faltungscode voll ausgeschöpft werden kann. Nach der Faltungs-Decodierung entstehen erneut Bündelfehler, so daß der äußere Blockcode aufgrund seiner wenigen Prüfstellen und kurzen Blocklänge auf die Fehlererkennung oder allenfalls auf die Korrektur eines Bündelfehlers beschränkt bleibt. Die Prüfstellen der Blockcodes werden übrigens größtenteils invertiert übertragen, so daß im strengen Sinn die Blockcodes nichtlinear und nicht-zyklisch sind. Beispielsweise kann Dauer-Null kein Codewort oder keine Codewortfolge sein. Nachfolgend werden einige logische Kanäle genauer betrachtet:

**SACCH** (Slow Associated Control Channel): Zu den 184 Infobits werden



Generator polynomials of convolutional codes

$$\begin{aligned}
 g_0(x) &= 1 + x^3 + x^4 & g_4(x) &= 1 + x^2 + x^3 + x^5 + x^6 \\
 g_1(x) &= 1 + x + x^3 + x^4 & g_5(x) &= 1 + x + x^4 + x^6 \\
 g_2(x) &= 1 + x^2 + x^4 & g_6(x) &= 1 + x + x^2 + x^3 + x^4 + x^6 \\
 g_3(x) &= 1 + x + x^2 + x^3 + x^4 & &
 \end{aligned}$$

**Bild 12.4.** Struktur des GSM-Encoders

zunächst 40 Prüfstellen durch einen verkürzten Fire-Code berechnet, wobei als Generatorpolynom  $g(x) = (1 + x^{23})(1 + x^3 + x^{17})$  verwendet wird. Nach Satz 5.12 beträgt die Blocklänge  $23 \cdot (2^{17} - 1) = 3.014.633$  und es ist ein zyklischer Bündelfehler der Länge 12 korrigierbar. Durch Verkürzung ergibt sich ein  $(224, 184)_2$ -Code. Anschließend werden 4 Nullen angehängt, die bei der folgenden Faltungs-Encodierung eine Terminierung bewirken. Aus den 228 Bits am Eingang des Faltungs-Encoders entstehen 456 Codebits.

Nach der Rieger-Schranke aus Satz 5.11 existiert allerdings eventuell ein Code, der mit 40 Prüfstellen einen Bündelfehler bis zur Länge 20 korrigieren kann. Beim SACCH ist es ähnlich wie bei anderen Kontrollkanälen wichtig,

daß nach der Decodierung keine unerkannten Fehler verbleiben. Alternativ kann der Fire-Code auch nur zur Fehlererkennung eingesetzt werden.

Beim Totalverlust eines Datenbursts entsteht eine Fehlerrate von 12,5%, die an der äußersten Grenze dessen liegt, was ein  $R = 1/2$ -Faltungscodes verkräften kann. Folglich wird oftmals die Korrekturfähigkeit des Faltungscodes überschritten, was auch durch den Fire-Code nicht immer korrigiert werden kann. Durch stärkeres Interleaving würden sich wesentliche Verbesserungen ergeben, aber die Verzögerungszeit beträgt so schon etwa  $4 \cdot 26 \cdot 4,615 = 480$  ms, da nur jeder 26-te TDMA-Rahmen für den SACCH benutzt werden kann.

**SCH** (Synchronisation Channel): Zu den 25 Infobits werden zunächst 10 Prüfstellen mit einem simplen Blockcode generiert, der empfangsseitig nur zur Fehlererkennung benutzt wird. Zusammen mit den 4 Nullbits entstehen 39 Bits, die mit dem terminierten Faltungs-Encoder in 78 Codebits überführt werden. Da für den SCH kein Interleaving vorgesehen ist (oder bei der Spezifikation vergessen wurde), wird die Korrekturfähigkeit des Faltungscodes schon durch kurze Bündelfehler am Ausgang des MLSE-Entzerrers überfordert.

**TCH/F9.6** (Vollraten-Datenkanal): Aus der Sicht des Benutzers hat dieser Kanal eine Infobitrate von 9,6 kBit/s, aber aufgrund von gewissen “Verpackungen” liegen am Eingang des Encoders 13 kBit/s an, unterteilt in Blöcke von 60 Infobit im Abstand von 5 ms. Ein Blockcode ist nicht vorgesehen. Jeweils 4 Teil-Infoblöcke werden zu einem Infoblock zusammengefaßt und mit 4 Nullen ergänzt. Die entstehenden 244 Bits werden in einem terminierten punktierten Faltungs-Encoder mit der Rate  $R = 61/114$  in 456 Codebits überführt. Hinter dieser “krummen” Coderate stehen natürlich keine tief-sinnigen theoretischen Überlegungen, sondern die Codierung hat hier u.a. die schlichte Aufgabe, die Datenraten der Quelle und des Kanals aneinander anzupassen.

Bei den beiden Sprachkanälen wird das 64 kBit/s PCM-Signal (Pulsmodulation) in 20 ms Abschnitte von jeweils 1280 Bits zerlegt, die durch die Quellencodierung auf 260 (bei TCH/FS) bzw. auf 112 (bei TCH/HS) Infobits komprimiert werden. Diese Kompression geschieht allerdings nicht ausschließlich blockweise, da gewisse sich nur langsam ändernde Sprachparameter nur von Zeit zu Zeit übertragen werden. Für die Verständlichkeit der Sprache sind nicht alle Bits eines Infoblockes gleich wichtig, so daß verschiedene Klassen von Bits gebildet werden, die mit unterschiedlich starker Codierung versehen werden (UEP-Codierung, siehe Abschnitt 8.3). Die gesamte Verzögerungszeit bei der Übertragung von Sprache ist auf etwa 60 ms begrenzt, weil sich beim wechselseitigen Sprechen längere Verzögerungszeiten unangenehm bemerkbar machen würden. Zur Fehlererkennung ist ein einfacher Blockcode vorgesehen, der mit einem Hamming-Code realisiert wird. Auf erkannte Fehler reagiert der Sprachdecoder mit Maßnahmen zur *Fehlerverschleierung* (error concealment), d.h. Fehler sollen sich auf

die Verständlichkeit der Sprache so wenig wie möglich auswirken. Beispielsweise kann es günstiger sein, einen stark gestörten Sprachparameter nicht mit einer relativ hohen Fehlerrate zu schätzen, sondern ihn vom vorangehenden 20 ms-Sprachabschnitt her zu extrapolieren.

**TCH/FS** (Vollraten-Sprachkanal): Für die UEP-Codierung wird ein ziemlich einfaches Verfahren benutzt: Die 260 Infobits werden in die 3 Klassen Ia (50 Bit), Ib (132 Bit) und II (78 Bit) aufgeteilt. Die Klasse II wird nicht codiert. Von Klasse Ia werden 3 Prüfbits mit einem Hamming-Code berechnet. Mit diesen 3 Prüfbits und 4 Nullen ergeben sich aus Klasse I insgesamt 189 Bits, die in einem terminierten Faltungs-Encoder in 378 Codebits umgesetzt werden. Zusammen mit den 78 uncodierten Bits der Klasse II ergeben sich 456 Codebits. Mit 3 Prüfbits werden etwa  $7/8$  aller Fehlermuster erkannt, darunter alle 1-Bit Fehlermuster. Da die Minimaldistanz des  $(53, 50)_2$ -Codes nur 2 beträgt, sind jedoch schon alle 2-Bit Fehlermuster nicht garantiert erkennbar.

**TCH/HS** (Halbraten-Sprachkanal): Die Entwicklung dieses Standards dauerte rund 6 Jahre von 1989 bis 1995, wobei am Ende die Entscheidung gegen eine echte RCPC-Codierung (siehe Abschnitt 8.3) fiel, so daß bei TCH/HS ein ähnlich primitives Codierungsverfahren mit 3 Klassen wie bei TCH/FS verwendet wird: Von den 112 Bits werden 17 Bits nicht codiert. Von den restlichen 95 Bits werden aus 22 Bits zunächst 3 Prüfbits berechnet. Hinzu kommen 6 Nullen für die Terminierung des Faltungscodes. Für die  $95 + 6$  Bits wird der  $R = 1/2$ -Faltungscode mit  $g_4(x), g_6(x)$  verwendet und für die 3 Prüfbits wird der  $R = 1/3$ -Faltungscode verwendet. Insgesamt entstehen also  $(95 + 6) \cdot 2 + 3 \cdot 3 + 17 = 228$  Codebits.

Beim Verlust eines Datenbursts entsteht wie bei SACCH eine Fehlerrate von 12,5%, die wieder an der sinnvollen Grenze bei einem  $R = 1/2$ -Faltungscode liegt. Ein nur geringfügig stärkeres Interleaving würde zu erheblichen Verbesserungen führen, aber aufgrund der Vorgaben an die Verzögerungszeit ist das hier ebenso wie bei TCH/FS ausgeschlossen. Bei TCH/HS wird viel Aufwand für die Erkennung von Fehlern und die entsprechenden Maßnahmen zur Fehlerverschleierung betrieben [128]. Dazu werden nicht nur die 3 Prüfbits, sondern auch die Viterbi-Metriken des Faltungs-Decoders ausgewertet.

Für die meisten logischen GSM-Kanäle wird der gleiche  $R = 1/2$ -Faltungscode verwendet, obwohl die Fehlerraten nach dem Deinterleaver je nach Umfang des Interleavings ganz unterschiedlich sind. Diese GSM-Spezifikationen sind allenfalls aufgrund der vorgegebenen Verzögerungszeiten sowie unterschiedlicher Anforderungen an die Fehlerrate und an die Rate unerkannter Fehler nach der Decodierung gerechtfertigt.

Bei den beiden Sprachkanälen wird deutlich, daß die Sprach- und Kanalcodierung genau aufeinander angepaßt sind, wobei die Optimierung aber auf einer weitgehend subjektiven Bewertung der Sprachqualität bei ungestörten und

gestörten Kanälen basiert (dafür sind allerdings genaue Rahmenbedingungen mit Testhörern festgelegt). Auch die Aufteilung von 22,8 kBit/s auf 13 kBit/s Quellencodierung und 9,8 kBit/s Redundanz für die Kanalcodierung bei TCH/FS (und entsprechend bei TCH/HS) ist eine Ermessensfrage, die davon abhängig ist, wie das Verhältnis von guten und schlechten Funkkanälen ausfällt – und zwar sowohl bezüglich ihrer Auftrittswahrscheinlichkeiten wie der Auswirkungen auf die Sprachqualität.

Mit einem stärkeren Interleaving würde bei schlechten Kanälen die Qualität steigen bzw. die Redundanz könnte reduziert werden, aber unter dem Diktat der knappen Verzögerungszeiten ist das unmöglich. In Abschnitt 11.1 wurde schon erwähnt, daß unter rein informationstheoretischen Aspekten das Interleaving kontraproduktiv ist, aber unter praktischen Gesichtspunkten ist das dagegen eine zentrale und notwendige Maßnahme bei Mobilfunk-Kanälen.

Offensichtlich existiert eine untere Grenze für die Infobitrate bei Mobilfunk-Kanälen, sofern die Coderate fixiert und das Interleaving zeitlich begrenzt wird. Fällt die Infobitrate bei eventuellen Viertel- oder Achtelraten-Kanälen unter diese Grenze, muß nach der Decodierung mit hohen Fehlerraten gerechnet werden, die nur dadurch vermieden werden können, daß der räumliche und frequenzmäßige Abstand zwischen den TDMA-Systemen vergrößert wird. Die reduzierte Datenrate kann also entgegen allen Erwartungen zu einer Verringerung statt zu einer Steigerung der Netzwerk-Kapazität führen. Derartige Befürchtungen sind eventuell schon beim Halbraten-Sprachkanal angebracht, der dann als Fehlentwicklung einzustufen wäre. Die endgültige Bilanz hängt jedoch von vielen weiteren Randbedingungen ab, die hier nicht diskutiert werden können. Auf jeden Fall werden aber die zusätzlichen Gesichtspunkte und die komplexen Wechselwirkungen deutlich, die beim Entwurf von Vielfach-Teilnehmer-Systemen zu beachten sind.

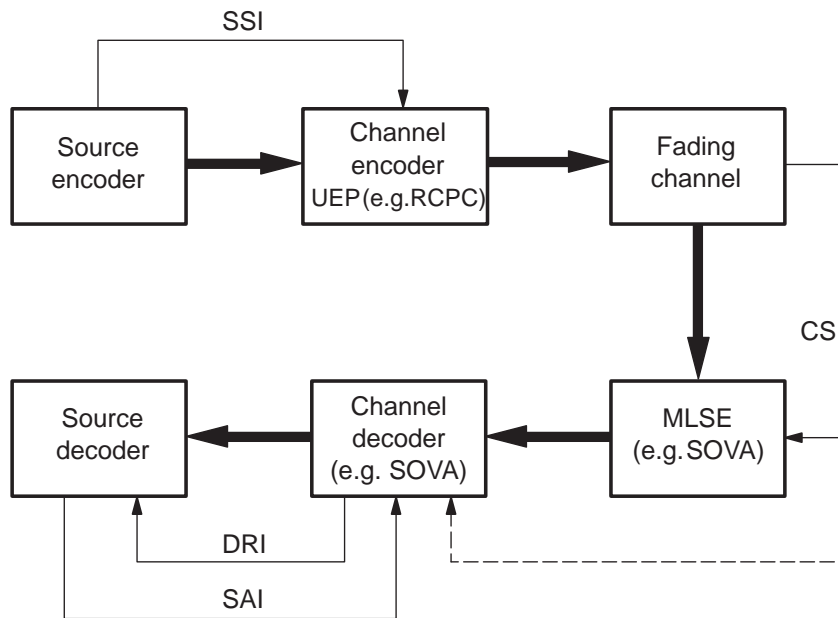
## 12.4 Kanal- und Quellencodierung für zukünftige Mobilfunksysteme

Die vorangehenden Überlegungen zum GSM-Standard haben sehr deutlich gezeigt, daß die Kanal- und Quellencodierung in enger Wechselwirkung zueinander stehen. Nach dem bereits in Abschnitt 1.2 erwähnten Separationsprinzip der Shannon'schen Theorie sind beide Codierungen unter rein informationstheoretischen Aspekten unabhängig voneinander und können getrennt ausgeführt werden. Allerdings werden dabei die praktisch außerordentlich wichtigen Aspekte der Übertragungsverzögerung und des Realisierungsaufwandes sowie die besonderen Eigenschaften des Mobilfunk-Kanals nicht berücksichtigt.

Bei den bisher bekannten Verfahren zur Quellencodierung, insbesondere bei Sprache, werden keine quasi statistisch unabhängigen Bits erzeugt, sondern es verbleiben mehr oder weniger starke Restkorrelationen im komprimierten Signal. Die quellencodierten Bits sind von unterschiedlicher Wichtigkeit für die Sprach-

qualität und somit ist ein unterschiedlich starker Schutz durch die Kanalcodierung angebracht, damit die Redundanz so sparsam wie möglich kalkuliert werden kann. Hinzu kommen die sehr diffizilen Möglichkeiten zur Fehlerverschleierung, d.h. zur Reaktion bei erkannten Fehlern oder bei unzuverlässig erscheinenden Empfangswerten.

Alle bekannten Möglichkeiten zur Optimierung durch aufeinander abgestimmte Kanal- und Quellencodierung werden in Bild 12.5 zusammengefaßt, die zwar über die beim GSM-Mobilfunk verwendeten Methoden weit hinausgehen, aber bei zukünftigen Mobilfunksystemen möglicherweise gewinnbringend eingesetzt werden können. Das Bild und die verwendeten Begriffe basieren auf einer ähnlichen Darstellung von J.Hagenauer in [111].



**Bild 12.5.** Übertragungssystem mit gemeinsamer Kanal- und Quellencodierung

Die UEP-Kanalcodierung (Unequal Error Protection) erfolgt mit unterschiedlichen Coderaten in Abhängigkeit von der Wichtigkeit der einzelnen Bits am Ausgang des Quellen-Encoders. Eine besonders aufwandsgünstige Methode stellen die RCPC-Codes (Rate Compatible Punctured Convolutional Code) dar. Die UEP-Codierung kann entweder statisch mit einem für jeden Block gleichen Codierungsschema erfolgen, oder aber dynamisch, indem der Kanal-Encoder per SSI (Source Significance Information) individuell vom Quellen-Encoder gesteuert wird.

Alle statischen Eigenschaften der Kanal- und Quellencodierung sind natürlich empfangsseitig als bekannt vorauszusetzen. Im Empfänger steht Kanalzustandsinformation CSI (Channel State Information) zur Verfügung, wie es beispielsweise bereits für langsames Rayleigh-Fading in den Abschnitten 11.2 und 11.3 sowie für den ISI-Kanal in den Abschnitten 11.4 und 11.5 angenommen

wurde. Der per Viterbi-Algorithmus realisierbare MLSE-Entzerrer (Maximum-Likelihood Sequence Estimation) generiert Soft-Output, was ein nachfolgender Faltungs-Decoder für RCPC-Codes vorteilhaft auswerten kann. Dabei erfolgt die Realisierung des Kanal-Decoders natürlich wieder mit dem Viterbi-Algorithmus, wobei der hier erneut generierte Soft-Output als DRI (Decoder Reliability Information) bezeichnet wird und Maßnahmen zur Fehlerverschleierung im Quellen-Decoder erlaubt.

In [111] wird das Konzept der Source Apriori / Aposteriori Information (SAI) sowie der *quellengesteuerten Kanal-Decodierung* eingeführt. Dabei werden dem Kanal-Decoder alle statischen und dynamischen Informationen über das quellencodierte Signal wie beispielsweise Restkorrelationen und Mittelwerte verfügbar gemacht. Per SAI teilt der Quellen-Decoder dem Kanal-Decoder mit, mit welcher Wahrscheinlichkeit das nächste Bit 0 oder 1 ist, denn unter der Voraussetzung, daß die vorangehenden Werte richtig decodiert wurden, sind bei verbleibenden Restkorrelationen im quellencodierten Signal die einzelnen Bits nicht exakt gleichmäßig mit jeweils 50% Auftrittswahrscheinlichkeit verteilt. Diese Informationen fließen über eine zusätzliche Gewichtung der Viterbi-Metrik in einen modifizierten Viterbi-Algorithmus ein. Ohne auf weitere Details einzugehen, ist doch anschaulich leicht verständlich, daß sich mit dieser Methode Verbesserungen ergeben, deren Umfang von den Eigenschaften des Quellensignals und der Quellencodierung abhängig ist. Bei zukünftigen Mobilfunksystemen sind mit derartigen Verfahren Verbesserungen gerade bei schlechten Kanälen zu erwarten, so daß die Coderate reduziert und die Kapazität des gesamten Systems gesteigert werden kann.

## 12.5 Richtfunk

Beim digitalen *Breitband-Richtfunk* beträgt die Übertragungsgeschwindigkeit zur Zeit (im Jahr 1995) maximal 155 MBit/s innerhalb der sogenannten *Synchronen Digitalen Hierarchie* (SDH), bei der jedoch Datenraten von bis zu 2,4 GBit/s bei leitungsgebundener Übertragung vorgesehen sind. Als Modulationsverfahren wird beim Richtfunk hochstufige QAM wie beispielsweise 64-QAM verwendet. Aufgrund von atmosphärischen Effekten treten gelegentlich Fadingeinbrüche von einigen Sekunden Dauer (oder noch länger) auf, so daß mit Bündelfehlern zu rechnen ist, deren Länge im Bereich von über  $10^9$  Bit liegt. Durch Codierung und Interleaving können derartige Störungen natürlich nicht kompensiert werden.

Dennoch erweist sich auch bei dieser Anwendung die Kanalcodierung als vorteilhaft. Aufgrund von Nichtlinearitäten und Komponenten-Toleranzen in Sender und Empfänger sowie aufgrund von nichtidealer Takt- und Trägerphasenregelung und verschiedener anderer Geräteimperfektionen tritt auch bei idealem Kanal mit großem Rauschabstand eine sogenannte *Hintergrund-Fehlerrate* im Bereich von  $10^{-6} \dots 10^{-9}$  auf. Gefordert wird jedoch eine Fehlerrate von unter

$10^{-12}$  und dies läßt sich mit Kanalcodierung einfacher erreichen als beispielsweise mit sehr aufwendigen hochlinearen Sendeverstärkern.

Die verfügbare Bandbreite ist zwar ähnlich wie beim Telefonkanal sehr scharf begrenzt, aber je nach den Randbedingungen stehen noch einige Prozent Redundanz für die Codierung zur Verfügung. Jedoch sollte die Codierung nicht zu einer Verdoppelung des Signalalphabetes führen, da dies einen erheblichen Mehraufwand im Sender und Empfänger bedeuten würde und die Empfindlichkeit gegenüber den vorangehend aufgeführten Degradationen erhöhen würde. Nachfolgend werden zwei unter dem Begriff *unterlegte Codierung* bekannte Verfahren mit geringfügiger Bandbreitenexpansion dargestellt, die auf einfachen binären Faltungscodes bzw. Blockcodes basieren. Ein weiteres Verfahren mit trelliscodierter Modulation reduziert sogar die Bandbreite, aber benötigt dafür doch eine Verdopplung des Signalalphabetes.

Für die unterlegte Codierung werden die Inphase- und die Quadraturphase-Komponenten der 64-QAM als zwei unabhängige 8-ASK Signale aufgefaßt. Die spezielle 8-ASK Codierung kann als Sonderfall der mehrstufigencodierten Modulation gemäß Bild 10.18 mit  $M = 2$  erklärt werden: Als Komponentencode  $\mathcal{C}_0$  wird ein spezieller Faltungscod mit der Rate  $8/9$  verwendet [102] und  $\mathcal{C}_1, \mathcal{C}_2$  werden als uncodierte  $(9, 9, 1)$ -Blockcodes aufgefaßt. Also werden  $8 + 9 + 9 = 26$  Infobits in  $9 + 9 + 9 = 27$  Codebits umgesetzt, die zu 9 Kanalbenutzungen führen. Die Coderate beträgt also  $26/27$  Infobit/Codebit bzw.  $26/9$  Infobit/1-dim.Kanalbenutzung. Somit expandiert die Bandbreite um 3,8%. Der Codierungsgewinn beträgt 2,7 dB bei  $P_b = 10^{-5}$ . Der verwendete Faltungscod ist *selbstorthogonal* (siehe z.B. [59]) mit der freien Distanz  $d_f = 5$  und erlaubt eine sehr einfache Hard-Decision Decodierung mit den in der Einleitung von Kapitel 9 erwähnten algebraischen Verfahren.

Bei einem ähnlichen System wird anstelle des selbstorthogonalen Faltungscodes ein expandierter  $(32, 26, 4)_2$ -Hamming-Code der Ordnung  $r = 5$  verwendet [101] und  $\mathcal{C}_1, \mathcal{C}_2$  werden entsprechend als uncodierte  $(32, 32, 1)$ -Blockcodes aufgefaßt. Die Coderate beträgt also  $(26 + 32 + 32)/(32 + 32 + 32) = 15/16$  Infobit/Codebit und somit expandiert die Bandbreite mit 6,7% hier zwar stärker, aber dafür beträgt der Codierungsgewinn 3,2 dB bei  $P_b = 10^{-5}$ .

Der durch die unterlegte Codierung maximal erreichbare asymptotische Codierungsgewinn kann schnell abgeschätzt werden. Nach (10.10.4) gilt für 8-PSK BCM

$$\left(\Delta_{\min}^{[n]}\right)^2 = \min\{\Delta_0^2 \cdot d_0, 4\Delta_0^2 \cdot 1, 16\Delta_0^2 \cdot 1\} \leq 4\Delta_0^2.$$

Der maximale Wert wird bei  $d_{\min}(\mathcal{C}_0) = d_0 \geq 4$  angenommen. Für die uncodierte Übertragung gilt  $\Delta_{0,\text{unc}} = \Delta_0$ , da das Modulationsverfahren nicht verändert wird. Nach (10.10.6) ergibt sich ein maximaler asymptotischer Codierungsgewinn von 6,02 dB, wenn von der etwas häufigeren Kanalbenutzung bzw. der Bandbreitenexpansion abgesehen wird.

Es gibt jedoch auch so enge Kanalraster im Richtfunk, daß selbst wenige Prozent Redundanz nicht erlaubt werden können. Mit mehrdimensionaler trelliscodierter Modulation kann hier sogar Bandbreite eingespart werden. In [113]

wird ein System mit 4-dimensionaler 128-QAM MTCM vorgestellt: In einem Ungerböck-Encoder mit 8 Zuständen werden 13 Infobits in 14 Codebits umgesetzt, indem 11 Infobits uncodiert bleiben und 2 Infobits mit einem  $R = 2/3$ -Faltungscodierung in 3 Codebits umgesetzt werden. Mit den  $14 = 7 + 7$  Codebits wird ein 4-dimensionaler Signalpunkt aus einer  $128 \times 128$ -QAM Konstellation ausgewählt. Pro 2-dimensionaler Kanalbenutzung werden also nicht 6 Infobits wie bei uncodierter 64-QAM, sondern 6,5 Infobits übertragen, d.h. die Bandbreite wird um den Faktor  $6/6,5 = 0,923$  bzw. 7,7% komprimiert. Der Codierungsgewinn beträgt zwar dennoch 2,2 dB bei  $P_b = 10^{-5}$ , aber die Decodierung ist bei diesem System aufwendiger als bei der unterlegten Codierung.

Es wird noch auf einen deutlichen Unterschied zu den in Abschnitt 10.9 diskutierten MTCM-Verfahren hingewiesen: Bei Bild 10.16 wählen die 9 Codebits einen Punkt aus einer 512-Punkte 4-dimensionalen 32-QAM Konstellation. Wegen  $32^2 = 1024$  können dabei jedoch prinzipiell nicht alle möglichen Paare von 32-QAM Signalpunkten auftreten. Bei den 14 Codebits des Richtfunk-MTCM-Systems treten jedoch alle möglichen *Paare* von 128-QAM Signalpunkten auch tatsächlich auf. Die Codierung prägt sich also nur dadurch aus, daß nicht alle möglichen *Sequenzen* von Signalpunkten tatsächlich auftreten.

## 12.6 Compact Disc (CD)

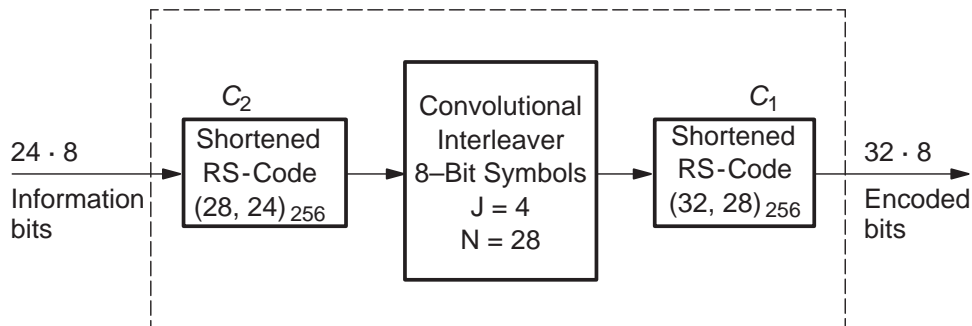
Ein interessantes Beispiel zur Kanalcodierung bei der Nachrichtenspeicherung bietet die digitale Audiotechnik der 1982 auf dem Markt eingeführten Compact Disc (CD). Die störungsfreie hohe Qualität der CD basiert ganz wesentlich auf zwei verketteten Reed-Solomon Codes sowie auf Maßnahmen zur Fehlerverschleierung. Damit wurden erstmals hochentwickelte Codes im Bereich der privat genutzten Elektronik eingesetzt, und zwar derart, daß eine kostengünstige Massenfertigung sowohl der Abspielgeräte wie auch der CD's ermöglicht wird. Der Auslesen der Daten von der CD erfolgt über einen optischen Kanal, was ein ganz anderes Modulationsverfahren als bei den bisher behandelten Kanälen und Anwendungen erfordert.

Die digitale Information ist auf der CD in Form von Vertiefungen enthalten, die in den Kunststoffträger eingepreßt sind. Die Abfolge der Vertiefungen ("Pits") und Nicht-Vertiefungen ("Lands") ist auf einer spiralförmigen Spur von etwa 5 km Länge angeordnet. Die Länge eines Pits bzw. Lands beträgt etwa 1 bis  $3 \mu\text{m}$ , die Breite einer Spur etwa  $0,6 \mu\text{m}$  und der seitliche Abstand zwischen zwei Spuren etwa  $1 \mu\text{m}$ . Die gesamte Fläche ist mit Aluminium überzogen, um den Laserstrahl beim Auslesen zu reflektieren. Die Abtastgeschwindigkeit liegt bei etwa 1,2 m/s. Ein Spurfolgesystem gewährleistet auch bei Höhenschlag und Exzentrizität der Platte eine genaue Fokussierung des Lasers durch den durchsichtigen Kunststoffträger hinweg auf die Oberfläche und auf die Spur. Bei einem Pit wird der Laserstrahl gestreut und ansonsten vollständig reflektiert. Der gestreute bzw. reflektierte Laserstrahl wird in einem Photodetektor ausgewer-

tet. Eine ausführliche Beschreibung des CD-Standards bietet der Beitrag von K.A.S.Immink in [76] sowie [41] mit den Schwerpunkten Mechanik und Spurfolgesystem.

Die Datenrate der Kanalbits auf der CD beträgt etwa 4,3 MBit/s, so daß bei einer Spielzeit von maximal 74 Minuten die CD rund 19 Milliarden Bits speichert. Ein Kanalbit entspricht etwa einer Spurlänge von  $0,3 \mu\text{m}$ . Durch Verschmutzungen oder Kratzer auf der Oberfläche der CD gehen schlagartig Hunderte oder Tausende von Kanalbits verloren. Neben diesen Bündelfehlern können auch Einzelfehler durch Materialdefekte wie beispielsweise mikroskopische Verunreinigungen oder Luftblasen verursacht werden, die bei einer kostengünstigen Massenproduktion von CD's unvermeidlich sind. Das Codierungsverfahren muß folglich auf extrem lange Bündelfehler sowie auf Einzelfehler ausgelegt werden und gleichzeitig eine aufwandsgünstige Realisierung erlauben. Ein RS-Code zur Korrektur von 1000 Fehlern ist also indiskutabel.

Für die Abspeicherung auf der CD wird das Musiksignal in beiden Stereokanälen mit jeweils 44,1 kHz abgetastet, so daß nach dem Shannon'schen Abtasttheorem eine Rekonstruktion des analogen Signals bis etwa 20 kHz möglich ist. Die Abtastwerte werden mit einem 16-Bit Analog/Digital-Wandler digitalisiert, was eine Infobitrate von 1,4112 MBit/s ergibt. Jeweils 6 Abtastwerte aus beiden Stereokanälen bilden ein Infowort von  $12 \cdot 16 = 192 = 24 \cdot 8$  Infobits bzw. ein Wort der Länge 24 mit 8-Bit Symbolen.

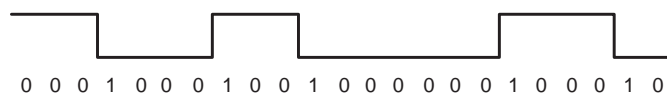


**Bild 12.6.** CIRC-Encoder

Zur Kanalcodierung wird ein sogenanntes *CIRC-Verfahren* (Cross-Interleaved Reed-Solomon Code) mit dem in Bild 12.6 dargestellten Encoder verwendet. Aus einem  $(255, 251)_{256}$ -RS-Code entstehen durch Verkürzung ein außen verwendeter  $(28, 24)_{256}$ -RS-Code  $C_2$  sowie ein innen verwendeter  $(32, 28)_{256}$ -RS-Code  $C_1$ . Nach Satz 7.12 weisen beide Codes die Minimaldistanz  $d_{\min} = 5$  auf. Da beide Codes jeweils 8-Bit Symbole verarbeiten, gehorcht die Codeverkettung bei der CD nicht dem Prinzip aus Bild 11.14. Zwischen den beiden Encodern ist ein Faltungs-Interleaver vorgesehen, der exakt dem Prinzip aus Bild 11.2 mit  $N = 28$  und  $J = 4$  (also  $M = 112$ ) entspricht und ebenfalls auf 8-Bit Symbole ausgelegt ist. Im Interleaver werden also 1512 Symbole bzw. 12096 Bits zwischengespeichert. Der äußere Encoder überführt das Infowort der Länge 24 in

ein Wort der Länge 28, so daß das  $i$ -te Symbol dieses Wortes immer exakt in die  $i$ -te Zeile des Interleaver-Speicher eingeschoben wird. Im inneren Encoder entstehen aus den interleavten Wörtern der Länge 28 die Codewörter der Länge 32, die folglich aus je 256 Codebits bestehen. Die Coderate beträgt  $24/28 \cdot 28/32 = 3/4$  und somit ergibt sich eine Codebitrate von 1,8816 MBit/s.

Ein Codewort von  $256 = 32 \cdot 8$  Codebits wird nun in einen *Rahmen* von 588 sogenannten *Kanalbits* umgesetzt, so daß eine Kanalbitrate von 4,3218 MBit/s resultiert. Dazu wird das Codewort zunächst mit einem nicht CIRC-encodierten Symbol ergänzt, das als *Subcode* bezeichnet wird und Display-Informationen wie Zeit und Titelnummer enthält. Die einzelnen Codebits können nicht direkt in Pits/Lands umgesetzt werden, da dann während einer Pause im Musiksignal die Synchronisation verloren gehen würde. Deshalb wird ein sogenannter *run-length limited code* verwendet, der die Anzahl aufeinanderfolgender Bits mit gleichem Wert nach oben und unten begrenzt. In einem sogenannten *EFM-Verfahren* (Eight-to-Fourteen Modulation) wird ein 8-Bit Symbol in 14 Kanalbits derart umgesetzt, daß zwischen 2 Einsen mindestens 2 und höchstens 10 Nullen auftreten. Dafür gibt es 267 Möglichkeiten, von denen aber nur 256 benötigt werden. Zwischen zwei 14er Gruppen von Kanalbits werden 3 Koppelbits eingefügt, so daß auch im Strom der Kanalbits zwei Einsen immer durch 2 bis 10 Nullen getrennt sind. Jede Eins führt zu einem Wechsel zwischen Pit und Land, wie es Bild 12.7 an einem Beispiel zeigt. Die 33 EFM-codierten Symbole werden noch mit einem nicht EFM-codierten Synchronisationswort von 24 Kanalbits ergänzt, so daß der gesamte Rahmen also aus  $(24 + 3) + (32 + 1) \cdot (14 + 3) = 588$  Kanalbits besteht.



**Bild 12.7.** Beispiel einer Pit/Land-Folge bei EFM

Im Gegensatz zur Encodierung auf der CD ist die Decodierung im Abspielgerät nicht standardisiert, so daß ein Hersteller ein hauseigenes Decodierverfahren verwenden dürfte. In aller Regel erfolgt jedoch die Decodierung in der nachfolgend beschriebenen Weise.

Der innere Code  $\mathcal{C}_1$  wird nur zur Korrektur eines Einzelfehlers benutzt, obwohl wegen  $d_{\min} = 5$  auch 2 Einzelfehler korrigierbar wären. Wenn  $\mathcal{C}_1$  mehr als einen Einzelfehler feststellt, werden alle 28 Symbole im  $\mathcal{C}_1$ -Infowort als Ausfälle erklärt. Der äußere Code  $\mathcal{C}_2$  wird nur zur Korrektur von maximal 4 Ausfällen verwendet. Damit werden in beiden Stufen sehr aufwandsgünstige Decodierverfahren ermöglicht.

Mit dieser Decodierung sind Bündelfehler bis zur Länge von 512 Codesymbolen korrigierbar, was 16 komplett falschen  $\mathcal{C}_1$ -Codewörtern bzw. 4096 falschen Codebits bzw. 9408 falschen Kanalbits bzw. 2,5 mm Spurlänge entspricht. In  $\mathcal{C}_1$  werden alle 16 Codewörter mit jeweils 28 Ausfällen klassifiziert. Im Faltungs-

Deinterleaver stehen dann in jeder Zeile maximal 16 Ausfälle, die nach dem Auslesen auf etwa 112  $\mathcal{C}_2$ -Codewörter mit jeweils maximal 4 Ausfällen verteilt werden. Das gleiche Resultat folgt auch aus der Überlegung am Ende von Abschnitt 11.1: Ein Bündelausfall (statt Bündelfehler) der Länge  $b = 16 \cdot 28 = 448$  führt zu  $b/M = 448/112 = 4$  Ausfällen (statt Fehlern) pro  $\mathcal{C}_2$ -Codewort. Durch  $\mathcal{C}_2$  werden diese Ausfälle sicher korrigiert.

Wenn der innere Code  $t$  Fehler korrigiert, werden Fehlermuster mit einem Gewicht größer als  $t$  erkannt, sofern das Fehlermuster nicht in einer Kugel vom Radius  $t$  um ein Codewort liegt. Zur Vereinfachung wird angenommen, daß die Fehlermuster gleichmäßig verteilt sind. Dann beträgt die Wahrscheinlichkeit eines unerkannten Fehlermusters maximal

$$\frac{\left| \bigcup_{\mathbf{a} \in \mathcal{C}} K_t(\mathbf{a}) \right|}{q^n} = q^{k-n} \cdot \sum_{r=0}^t \binom{n}{r} (q-1)^r \approx \left\{ \begin{array}{ll} 2 \cdot 10^{-10} & t = 0 \\ 2 \cdot 10^{-6} & t = 1 \\ 8 \cdot 10^{-3} & t = 2 \end{array} \right\}$$

bei  $n = 32, k = 28, q = 256$ . Die Wahl  $t = 1$  erscheint als angemessen, denn bei  $t = 0$  würde die  $\mathcal{C}_1$ -Decodierung zwar zur reinen Fehlererkennung vereinfacht, aber bei häufigen Einzelfehlern könnte die Korrekturfähigkeit von  $\mathcal{C}_2$  überschritten werden. Bei  $t = 2$  würde dagegen die Fehlererkennungsfähigkeit von  $\mathcal{C}_1$  zu gering ausfallen.

Die 6 Abtastwerte aus den beiden Stereokanälen werden innerhalb eines Rahmens in besonderer Weise angeordnet, um Maßnahmen zur Fehlerverschleierung zu ermöglichen. Bei Überschreitung der  $\mathcal{C}_2$ -Korrekturfähigkeit wird zwischen benachbarten Abtastwerten interpoliert. Damit kann die Länge eines interpolierbaren Bündelfehlers auf rund 12000 Codebits bzw. auf 7,5 mm Spurlänge verdreifacht werden.

Wenn statistisch unabhängige Einzelfehler angenommen werden, gelten folgende Spezifikationen nach dem Beitrag von K.A.S.Immink aus [76]: Bei einer Fehlerrate von  $10^{-3}$  sind 1000 Abtastwerte pro Minute zu interpolieren, bei einer Fehlerrate von  $10^{-4}$  nur noch 1 Abtastwert alle 10 Stunden. Unentdeckte Fehler, die sich durch Klickgeräusche unangenehm bemerkbar machen, treten selbst bei einer Fehlerrate von  $10^{-3}$  nur einmal in 750 Stunden auf.

Die bei CD-Abspielgeräten oft hervorgehobene Überabtastrate (Oversampling) hat mit der Abspeicherung, dem Auslesen und der Decodierung nichts zu tun. Beim Überabtasten werden zu den im Takt von 44,1 kHz decodierten Abtastwerten lediglich digitale Zwischenwerte durch Interpolation berechnet, so daß das analoge Tiefpaßfilter nach dem Digital/Analog-Wandler sowie der D/A-Wandler selbst einfacher realisiert werden können [41].

Das CIRC- und das EFM-Verfahren finden im Bereich der digitalen Audiotechnik breite Anwendung. Bei der 1993 eingeführten *Mini Disc* (MD) wird CIRC und EFM wie bei der CD angewendet. Auch die Abtastrate beträgt 44,1 kHz wie bei der CD, aber durch Quellencodierung nach dem ATRAC-Standard

(Adaptive Transform Acoustic Coding) wird das Signal auf 175 kBit/s komprimiert. Der MD-Standard erlaubt neben der Wiedergabe von vorbespielten optischen Platten auch die Bespielung von magneto-optischen Platten. Da die Synchronisation der CD und der MD gegen mechanische Stöße empfindlich ist, sieht die MD ein sogenanntes Shock-Proof-Memory vor, d.h. vor der Wiedergabe wird das ausgelesene Signal für 3 Sekunden zwischengespeichert. Wenn nun der nächste Abschnitt durch Vibrationen falsch ausgelesen und decodiert wird, kann mit erhöhter Auslesegeschwindigkeit ein zweiter Versuch gemacht werden, ohne daß sich das im Ausgangssignal bemerkbar macht. Die Codierung wirkt hier mit modernen Verfahren der Signalverarbeitung, der Speicher- und der Zugriffstechnik zusammen.

Auch bei der 1993 eingeführten *Digital Compact Cassette* (DCC) wird die CIRC-Codierung eingesetzt. Durch Quellencodierung nach dem PASC-Standard (Precision Adaptive Subband Coding) wird das Signal auf 384 kBit/s komprimiert.

Schließlich werden die beiden Reed-Solomon Codes des CIRC-Verfahrens auch beim *Digital Audio Tape* (DAT) eingesetzt, lediglich das Interleaving-Verfahren ist an das besondere Aufzeichnungsformat in Schrägspurtechnik angepaßt [41].

# Anhang: Mathematische Grundlagen

## A.1 Elementare Analysis

Für die Logarithmen zu verschiedenen Basen gilt:

$$\log_a \alpha = \frac{\log_b \alpha}{\log_b a} = \frac{\ln \alpha}{\ln a}. \quad (\text{A.1.1})$$

Für die Differentiation (nach  $\alpha$ ) gilt:

$$(a^\alpha)' = a^\alpha \cdot \ln a \quad , \quad (\ln \alpha)' = \frac{1}{\alpha} \quad , \quad (\log_a \alpha)' = \frac{1}{\alpha \ln a}. \quad (\text{A.1.2})$$

Es seien  $f$  und  $g$  stetig differenzierbare Funktionen. Wenn dann die beiden Grenzwerte  $\lim_{\alpha \rightarrow \alpha_0} f(\alpha)$  und  $\lim_{\alpha \rightarrow \alpha_0} g(\alpha)$  entweder beide Null oder beide unendlich sind, so gilt die *l'Hospital'sche Regel*:

$$\lim_{\alpha \rightarrow \alpha_0} \frac{f(\alpha)}{g(\alpha)} = \lim_{\alpha \rightarrow \alpha_0} \frac{f'(\alpha)}{g'(\alpha)}. \quad (\text{A.1.3})$$

Für eine  $(n + 1)$ -mal stetig differenzierbare Funktion  $f$  gilt die *Taylor-Entwicklung*

$$f(\alpha_0 + \alpha) = \sum_{r=0}^n \frac{f^{(r)}(\alpha_0)}{r!} \alpha^r + \frac{f^{(n+1)}(\alpha_1)}{(n+1)!} \alpha^{n+1} \quad (\text{A.1.4})$$

mit  $\alpha_1$  zwischen  $\alpha_0$  und  $\alpha$ . Mit  $f^{(r)}$  wird die  $r$ -te Ableitung bezeichnet. Für  $\alpha \rightarrow 0$  verschwindet der Restterm, so daß in einer Umgebung von  $\alpha_0$  die Funktion  $f$  durch ein Polynom  $n$ -ten Grades approximiert wird. Insbesondere gelten folgende Taylor-Approximationen mit Polynomen ersten Grades für kleines  $\alpha$ :

$$\log_2(1 + \alpha) \approx \frac{\alpha}{\ln 2} \quad (\text{A.1.5})$$

$$\log_2(2 + \alpha) \approx 1 + \frac{\alpha}{2 \ln 2} \quad (\text{A.1.6})$$

$$e^\alpha \approx 1 + \alpha \quad (\text{A.1.7})$$

$$(1 + \alpha)^a \approx 1 + a\alpha. \quad (\text{A.1.8})$$

## A.2 Binomialkoeffizienten und Entropiefunktion

Für die *Binomialkoeffizienten* gilt

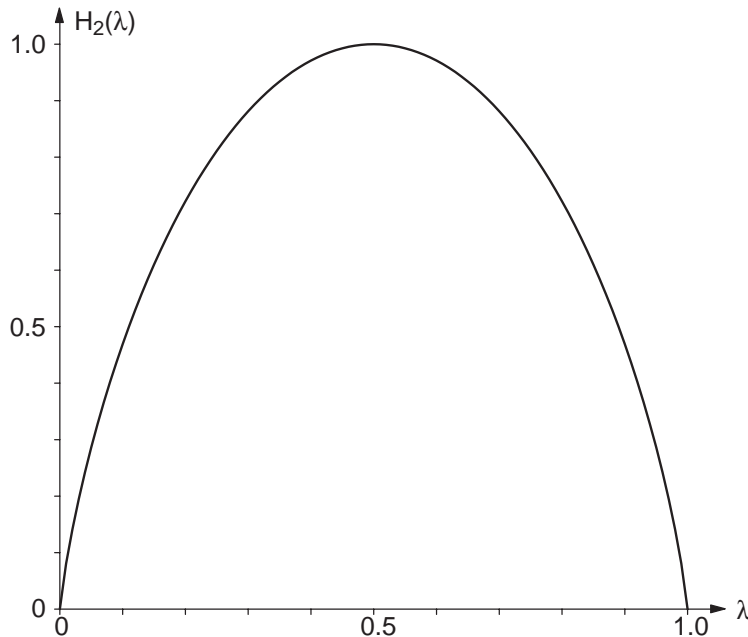
$$\binom{n}{r} = \frac{n!}{r!(n-r)!} = \binom{n}{n-r} \quad ; \quad \binom{n}{0} = \binom{n}{n} = 1 \quad (\text{A.2.1})$$

sowie die *binomische Formel*

$$\sum_{r=0}^n \binom{n}{r} a^r b^{n-r} = (a+b)^n \quad ; \quad \sum_{r=0}^n \binom{n}{r} = 2^n. \quad (\text{A.2.2})$$

Die *binäre Entropiefunktion* ist definiert als

$$\begin{aligned} H_2(\lambda) &= -\lambda \log_2 \lambda - (1-\lambda) \log_2(1-\lambda) \\ &= -\log_2(\lambda^\lambda (1-\lambda)^{1-\lambda}). \end{aligned} \quad (\text{A.2.3})$$



**Bild A.1.** Binäre Entropiefunktion

Eine Darstellung der binären Entropiefunktion zeigt Bild A.1. Es gilt die Symmetrie  $H_2(1-\lambda) = H_2(\lambda)$  sowie  $H_2(0) = H_2(1) = 0$  und  $H_2(0,5) = 1$ . Ferner gilt

$$H'(0) = \lim_{\lambda \rightarrow 0} \frac{H_2(\lambda)}{\lambda} = \lim_{n \rightarrow \infty} n \cdot H_2\left(\frac{1}{n}\right) = +\infty \quad (\text{A.2.4})$$

sowie die Taylor-Approximation durch ein Polynom zweiten Grades in der Umgebung von 0,5:

$$H_2\left(\frac{1}{2} + \lambda\right) \approx 1 - \frac{2}{\ln 2} \lambda^2. \quad (\text{A.2.5})$$

**Satz A.1.** Für  $0 \leq \lambda \leq 1/2$  gilt für die Teilsumme der Binomialkoeffizienten folgende Abschätzung mit der binären Entropiefunktion:

$$\sum_{r=0}^{\lambda n} \binom{n}{r} \leq 2^{nH_2(\lambda)} = \left(\lambda^\lambda (1-\lambda)^{1-\lambda}\right)^{-n}. \quad (\text{A.2.6})$$

Dabei läuft die Summe über alle  $r$  mit  $0 \leq r \leq \lambda n$ . Ferner gilt asymptotisch:

$$\lim_{n \rightarrow \infty} \frac{1}{n} \log_2 \sum_{r=0}^{\lambda n} \binom{n}{r} = H_2(\lambda) = \lim_{n \rightarrow \infty} \frac{1}{n} \log_2 \binom{n}{\lfloor \lambda n \rfloor}. \quad (\text{A.2.7})$$

Beweis: Nach der binomischen Formel gilt:

$$\begin{aligned} 1 &= (\lambda + 1 - \lambda)^n = \sum_{r=0}^n \binom{n}{r} \lambda^r (1-\lambda)^{n-r} \\ &\geq \sum_{r=0}^{\lambda n} \binom{n}{r} \lambda^r (1-\lambda)^{n-r} = (1-\lambda)^n \sum_{r=0}^{\lambda n} \binom{n}{r} \left(\frac{\lambda}{1-\lambda}\right)^r \\ &\geq (1-\lambda)^n \sum_{r=0}^{\lambda n} \binom{n}{r} \left(\frac{\lambda}{1-\lambda}\right)^{\lambda n} \quad \text{weil } \frac{\lambda}{1-\lambda} \leq 1 \quad \text{und } r \leq \lambda n \\ &= \lambda^{\lambda n} (1-\lambda)^{n-\lambda n} \sum_{r=0}^{\lambda n} \binom{n}{r} = 2^{-nH_2(\lambda)} \sum_{r=0}^{\lambda n} \binom{n}{r}. \end{aligned}$$

Damit ist (A.2.6) nachgewiesen. Zur einfachen Beschreibung asymptotischen Verhaltens wird die Größe  $o(f(n))$  verwendet (lies: *klein o von f(n)*), für die  $o(f(n))/f(n) \rightarrow 0$  bei  $n \rightarrow \infty$  vereinbart wird. Insbesondere gilt  $o(n)/n = o(1)$ . Wegen  $\log_2 \lfloor \lambda n \rfloor - \log_2(\lambda n) = \log_2 \frac{\lfloor \lambda n \rfloor}{\lambda n} \rightarrow 0$  bei  $n \rightarrow \infty$  folgt

$$\log_2 \lfloor \lambda n \rfloor = \log_2(\lambda n) + o(1).$$

Nach der *Stirling'schen Formel* [62] gilt

$$n! = n^n e^{-n} \sqrt{2\pi n} \exp\left(\frac{1}{12n} - \frac{1}{360n^3} + \dots\right) \quad (\text{A.2.8})$$

und somit

$$\ln n! = n \ln n - n + o(n).$$

Nach Definition der Binomialkoeffizienten gilt dann

$$\begin{aligned} \ln \binom{n}{r} &= \left[ n \ln n - n + o(n) \right] - \left[ r \ln r - r + o(r) \right] \\ &\quad - \left[ (n-r) \ln(n-r) - (n-r) + o(n-r) \right] \\ &= n \ln n - r \ln r - (n-r) \ln(n-r) + o(n). \end{aligned}$$

Dies gilt auch für Logarithmen zur Basis 2 und somit folgt für  $r = \lambda n$ :

$$\begin{aligned}
& \frac{1}{n} \log_2 \binom{n}{\lfloor \lambda n \rfloor} \\
&= \log_2 n - \frac{\lfloor \lambda n \rfloor}{n} \log_2 \lfloor \lambda n \rfloor - \left(1 - \frac{\lfloor \lambda n \rfloor}{n}\right) \log_2 (n - \lfloor \lambda n \rfloor) + \frac{o(n)}{n} \\
&= \log_2 n - \lambda \log_2 (\lambda n) - (1 - \lambda) \log_2 ((1 - \lambda)n) + o(1) \\
&= -\lambda \log_2 \lambda - (1 - \lambda) \log_2 (1 - \lambda) + o(1) \\
&= H_2(\lambda) + o(1).
\end{aligned}$$

Damit folgt die rechte Gleichheit in (A.2.7) und aus

$$\binom{n}{\lfloor \lambda n \rfloor} \leq \sum_{r=0}^{\lambda n} \binom{n}{r} \leq 2^{nH_2(\lambda)}$$

folgt auch die linke Gleichheit in (A.2.7). ■

Die Abschätzung aus Satz A.1 wird in Abschnitt 2.7 beim Beweis des Kanal-codierungstheorems und der Grenzwert wird in Abschnitt 3.4 bei der Herleitung der asymptotischen Schranken angewendet.

Satz A.1 liefert für  $\lambda = 1/2$  (bei geradem  $n$ ) nur die triviale Abschätzung  $\binom{n}{n/2} \leq 2^n = \sum_{r=0}^n \binom{n}{r}$ . Mit der Stirling'schen Approximation  $n! \approx n^n e^{-n} \sqrt{2\pi n}$  ergibt sich mit elementarer Rechnung die sehr genaue Näherung (als Spezialfall des DeMoivre-Laplace-Theorems [52])

$$\binom{n}{n/2} \approx \sqrt{\frac{2}{\pi}} \frac{2^n}{\sqrt{n}}. \quad (\text{A.2.9})$$

### A.3 Wahrscheinlichkeitsrechnung

Mit  $P(\mathcal{A}|\mathcal{B}) = P(\mathcal{A}\mathcal{B})/P(\mathcal{B})$  wird die *bedingte Wahrscheinlichkeit* des Ereignisses  $\mathcal{A}$  unter dem Ereignis  $\mathcal{B}$  bezeichnet. Zwei Ereignisse  $\mathcal{A}, \mathcal{B}$  sind *statistisch unabhängig*, wenn  $P(\mathcal{A}\mathcal{B}) = P(\mathcal{A})P(\mathcal{B})$  bzw.  $P(\mathcal{A}|\mathcal{B}) = P(\mathcal{A})$  gilt. Für eine vollständige Ereignisdisjunktion  $\mathcal{A}_i$  mit  $\mathcal{A}_i\mathcal{A}_j = \emptyset$  für  $i \neq j$  und  $P(\bigcup_i \mathcal{A}_i) = 1$  gilt der *Satz von der vollständigen Wahrscheinlichkeit*

$$P(\mathcal{B}) = \sum_i P(\mathcal{B}|\mathcal{A}_i)P(\mathcal{A}_i) \quad (\text{A.3.1})$$

sowie der *Satz von Bayes*

$$P(\mathcal{A}_k|\mathcal{B}) = \frac{P(\mathcal{A}_k\mathcal{B})}{P(\mathcal{B})} = \frac{P(\mathcal{B}|\mathcal{A}_k)P(\mathcal{A}_k)}{\sum_i P(\mathcal{B}|\mathcal{A}_i)P(\mathcal{A}_i)}. \quad (\text{A.3.2})$$

Für beliebige Ereignisse  $\mathcal{A}_i$  gilt:

$$P\left(\bigcup_i \mathcal{A}_i\right) \leq \sum_i P(\mathcal{A}_i). \quad (\text{A.3.3})$$

Bei disjunkten bzw. unabhängigen Ereignissen gilt hier sogar Gleichheit, was der Additivität der Wahrscheinlichkeit entspricht.

Die wertdiskrete Zufallsgröße  $x$  nehme die  $q$  Werte  $\xi_i$  mit der Wahrscheinlichkeit  $p_i = P(x = \xi_i)$  an. Dann ist  $\mu = E(x) = \sum_i \xi_i p_i$  der *Erwartungswert* und  $\sigma^2 = D^2(x) = \sum_i (\xi_i - \mu)^2 p_i$  die *Varianz*.

Die im folgenden Satz gegebene Abschätzung der linearen Abweichung durch die quadratische Abweichung wird in Abschnitt 2.7 beim Beweis des Kanalcodierungstheorems verwendet:

**Satz A.2 (Tschebyscheff'sche Ungleichung).** *Die Zufallsgröße  $x$  sei diskret oder kontinuierlich mit Erwartungswert  $\mu = E(x)$  und Varianz  $D^2(x)$ . Dann gilt für jedes  $\delta > 0$  die Abschätzung*

$$P(|x - \mu| > \delta) \leq \frac{D^2(x)}{\delta^2}. \quad (\text{A.3.4})$$

Beweis für den diskreten Fall:

$$\begin{aligned} D^2(x) &= \sum_i (\xi_i - \mu)^2 p_i \geq \sum_{\substack{i \\ |\xi_i - \mu| > \delta}} (\xi_i - \mu)^2 p_i \\ &\geq \sum_{\substack{i \\ |\xi_i - \mu| > \delta}} \delta^2 p_i = \delta^2 \cdot P(|x - \mu| > \delta). \end{aligned}$$

Der wertkontinuierliche Fall wird entsprechend bewiesen. ■

Die wertdiskrete Zufallsgröße  $x$  besitzt eine *Binomialverteilung* zum Parameter  $\epsilon$  (sei  $0 \leq \epsilon \leq 1$ ), wenn

$$P(x = r) = \binom{n}{r} \epsilon^r (1 - \epsilon)^{n-r}; \quad r = 0, 1, \dots, n \quad (\text{A.3.5})$$

gilt. Dabei ist  $P(x = r)$  die Wahrscheinlichkeit, daß ein Ereignis mit der Wahrscheinlichkeit  $\epsilon$  bei  $n$  unabhängigen Realisierungen genau  $r$  mal auftritt. Es gilt  $E(x) = n\epsilon$  und  $D^2(x) = n\epsilon(1 - \epsilon)$ . Ein Beispiel für die Binomialverteilung wird durch die Anzahl der Fehler in einem Empfangswort bei Übertragung über den BSC gegeben (siehe (1.3.9)).

Als Maß für den Informationsgehalt einer wertdiskreten Zufallsgröße mit  $q$  möglichen Werten wird die *Entropie* (Unbestimmtheit)

$$H(x) = - \sum_i p_i \log_2 p_i \quad (\text{A.3.6})$$

mit der Einheit Bit definiert. Dabei wird  $0 \cdot \log_2 0 = 0$  vereinbart, was mit  $\lim_{\alpha \rightarrow 0} \alpha \log_2 \alpha = 0$  zusammenpaßt. Da die Entropie nur von den  $p_i$  abhängig ist, kann man auch von der Entropie der Verteilung sprechen und dafür die Notation  $H(p_1, \dots, p_q)$  verwenden. Für die Entropie gilt allgemein  $0 \leq H(x) \leq \log_2 q$ . Der

Minimalwert wird angenommen, wenn ein Wert  $\xi_i$  mit Wahrscheinlichkeit 1 und die anderen  $q - 1$  Werte mit Wahrscheinlichkeit 0 auftreten. Der Maximalwert wird angenommen, wenn alle Werte  $\xi_i$  mit der gleichen Wahrscheinlichkeit  $1/q$  auftreten.

Für eine binäre Zufallsgröße  $x$ , bei der die zwei Werte mit den Wahrscheinlichkeiten  $\lambda$  und  $1 - \lambda$  auftreten, ergibt sich die Entropie aus der binären Entropiefunktion:  $H(x) = H_2(\lambda)$ .

Es wird jetzt ein Wort  $\mathbf{x}$  der Länge  $k$  betrachtet, wobei die Komponenten  $x_1, \dots, x_k$  weiterhin jeweils  $q$  mögliche Werte annehmen können. Also kann  $\mathbf{x}$  maximal  $q^k$  mögliche Werte annehmen und somit gilt für die Entropie des Wortes  $H(\mathbf{x}) \leq \log_2(q^k) = k \cdot \log_2 q$ . Wenn die Komponenten statistisch unabhängig und identisch verteilt sind, gilt  $H(\mathbf{x}) = k \cdot H(x_1)$ .

Die wertkontinuierliche Zufallsgröße  $x$  besitzt eine *Normalverteilung* oder *Gaußverteilung* mit dem Erwartungswert  $\mu$  und der Varianz  $\sigma^2$ , wenn die Verteilungsdichtefunktion die Form

$$f(\xi) = \frac{1}{\sqrt{2\pi\sigma^2}} \exp\left(-\frac{(\xi - \mu)^2}{2\sigma^2}\right) \quad (\text{A.3.7})$$

hat. Dafür wird auch die Schreibweise  $x \sim N(\mu, \sigma^2)$  verwendet. Es gilt

$$\int_{-\infty}^{\infty} f(\xi) d\xi = 1 \quad (\text{A.3.8})$$

$$E(x) = \int_{-\infty}^{\infty} \xi f(\xi) d\xi = \mu \quad (\text{A.3.9})$$

$$E(x^2) = \int_{-\infty}^{\infty} \xi^2 f(\xi) d\xi = \sigma^2 + \mu^2. \quad (\text{A.3.10})$$

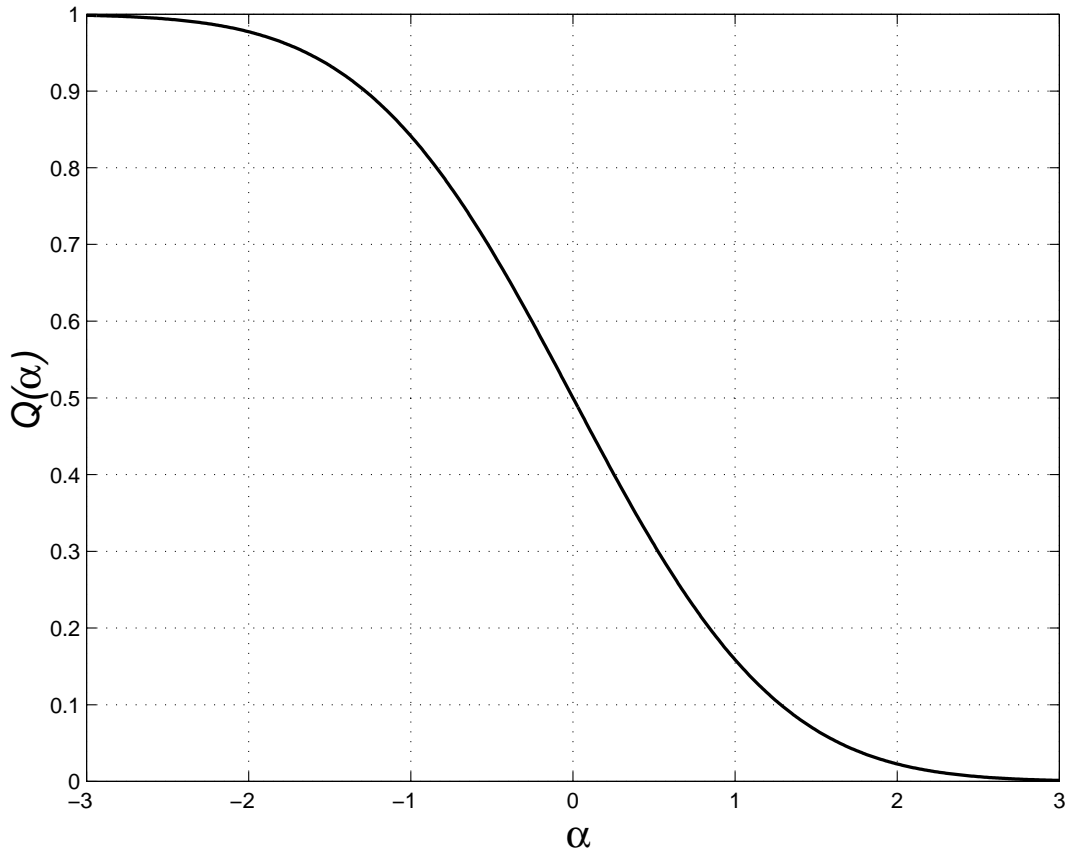
Für die Wahrscheinlichkeit, daß  $x$  Werte zwischen  $\xi_1$  und  $\xi_2$  annimmt, gilt

$$\begin{aligned} P(\xi_1 < x < \xi_2) &= P\left(\frac{\xi_1 - \mu}{\sigma} < \frac{x - \mu}{\sigma} < \frac{\xi_2 - \mu}{\sigma}\right) \\ &= Q\left(\frac{\xi_1 - \mu}{\sigma}\right) - Q\left(\frac{\xi_2 - \mu}{\sigma}\right). \end{aligned} \quad (\text{A.3.11})$$

Die normierte Zufallsgröße  $(x - \mu)/\sigma$  ist ebenfalls normalverteilt mit dem Erwartungswert 0 und der Varianz 1, d.h.  $(x - \mu)/\sigma \sim N(0, 1)$ , und es gilt

$$Q(\alpha) = P\left(\frac{x - \mu}{\sigma} > \alpha\right) = \frac{1}{\sqrt{2\pi}} \int_{\alpha}^{\infty} e^{-\eta^2/2} d\eta = \frac{1}{2} \operatorname{erfc}\left(\frac{\alpha}{\sqrt{2}}\right). \quad (\text{A.3.12})$$

Dabei ist  $Q(\alpha)$  die *komplementäre Gaußsche Fehlerfunktion*, deren Verlauf in Bild A.2 dargestellt ist.



**Bild A.2.** Komplementäre Gaußsche Fehlerfunktion  $Q(\alpha)$

Für die komplementäre Gaußsche Fehlerfunktion werden einige wichtige Eigenschaften notiert:

$$Q(-\infty) = 1, \quad Q(0) = \frac{1}{2}, \quad Q(+\infty) = 0, \quad (\text{A.3.13})$$

$$Q(\alpha) + Q(-\alpha) = 1, \quad (\text{A.3.14})$$

$$Q(\alpha) \leq \frac{e^{-\alpha^2/2}}{2} \quad \text{für } \alpha \geq 0, \quad (\text{A.3.15})$$

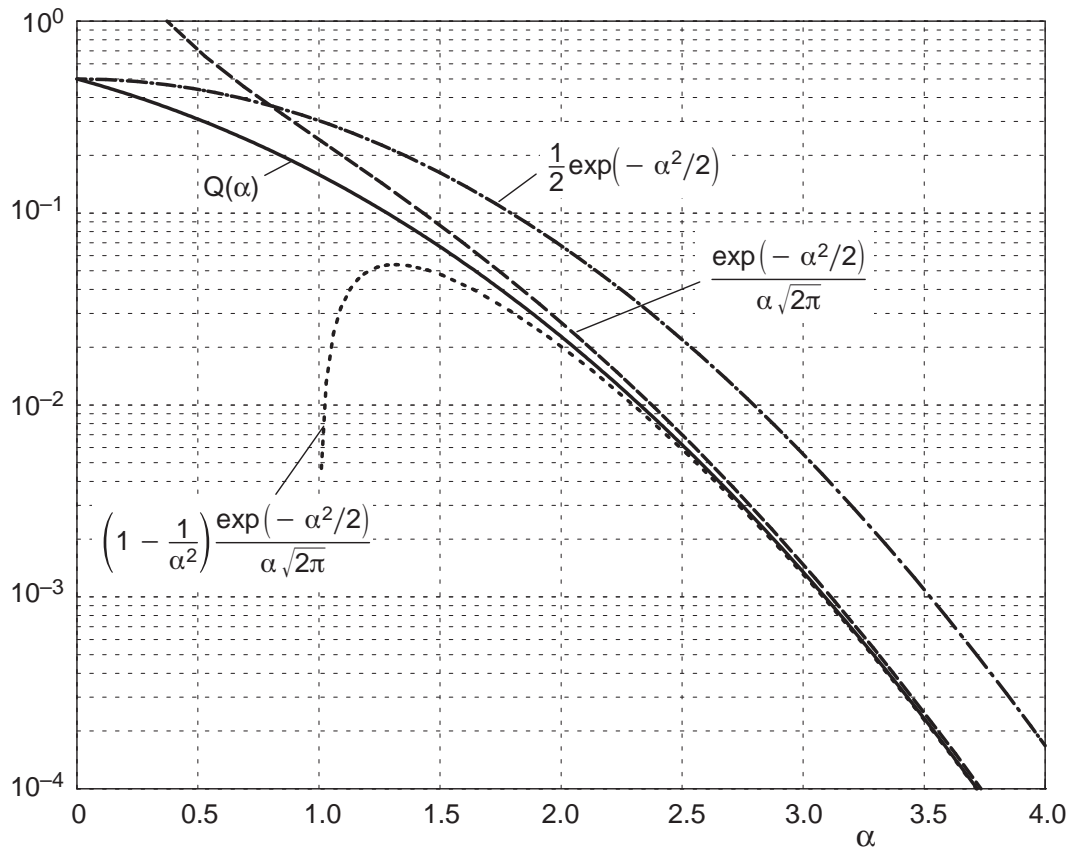
$$Q(\sqrt{\alpha + \beta}) \leq Q(\sqrt{\alpha}) \cdot e^{-\beta/2} \quad \text{für } \alpha, \beta \geq 0. \quad (\text{A.3.16})$$

Für große Werte  $\alpha$  existiert eine extrem genaue Näherung [73, 79]:

$$\left(1 - \frac{1}{\alpha^2}\right) \frac{e^{-\alpha^2/2}}{\alpha\sqrt{2\pi}} < Q(\alpha) < \frac{e^{-\alpha^2/2}}{\alpha\sqrt{2\pi}} \quad \text{für } \alpha > 0. \quad (\text{A.3.17})$$

Die Schranken aus (A.3.15) und (A.3.17) werden in Bild A.3 veranschaulicht. Mit  $\alpha = \sqrt{2E_c/N_0} \rightarrow \infty$  ergibt sich das Resultat

$$Q\left(\sqrt{\frac{2E_c}{N_0}}\right) = e^{-E_c/N_0(1+o(1))}, \quad (\text{A.3.18})$$

Bild A.3. Schranken für  $Q(\alpha)$ 

das die Grundlage für die Herleitung des asymptotischen Codierungsgewinns in Abschnitt 1.7 bildet. In der Umgebung von 0 gilt folgende Taylor-Approximation mit einem Polynom ersten Grades:

$$Q(\alpha) \approx \frac{1}{2} - \frac{\alpha}{\sqrt{2\pi}}. \quad (\text{A.3.19})$$

## A.4 Algebra (Gruppen, Ringe, Körper)

In diesem Abschnitt werden die allgemeinen Strukturen Äquivalenzklasse, Restklasse, Gruppe, Nebenklasse, Ring, Ideal und Körper eingeführt. Die für die Codierungstheorie erforderliche Spezialisierung auf endliche Körper erfolgt in Abschnitt A.8 sowie in Kapitel 6. Eine einfache und zugleich umfassendere Darstellung der algebraischen Grundbegriffe findet sich beispielsweise in [7, 11, 35, 81]. Ausführliche Einführungen in die Theorie der Galoisfelder bieten [42, 48].

**Definition A.1 (Äquivalenzrelation).** Eine auf einer Menge  $\mathcal{M}$  definierte Relation  $\sim$  heißt Äquivalenzrelation, wenn gilt:

**Beispiel A.6.** (1) Sowohl die rationalen Zahlen  $\mathbb{Q}$  wie die reellen Zahlen  $\mathbb{R}$  wie auch die komplexen Zahlen  $\mathbb{C}$  bilden jeweils einen Körper.

(2) Die Menge aller quadratischen  $(n, n)$ -dim. nicht-singulären Matrizen mit Koeffizienten aus einem Körper bildet keinen Körper, da sie additiv nicht abgeschlossen ist bzw. das Nullelement nicht enthält.

(3)  $\mathbb{Z}_p$  ist genau dann ein Körper, wenn  $p$  eine Primzahl ist (das wurde schon in Beispiel A.2(3) gezeigt). ■

Alle endlichen Körper gleicher Mächtigkeit sind isomorph zueinander, d.h. man kann von *dem* endlichen Körper der Mächtigkeit  $q$  bzw. von *dem* Galoisfeld  $\mathbb{F}_q$  sprechen. Wenn  $q = p$  eine Primzahl ist, so folgt also

$$\mathbb{F}_p = \mathbb{Z}_p. \quad (\text{A.4.17})$$

Insbesondere gilt also  $1 + 1 + \dots + 1 = 0$  für die  $p$ -fache Addition in  $\mathbb{F}_p$  bzw.  $1 + 1 = 0$  und  $-1 = 1$  in  $\mathbb{F}_2$ .

Nicht bewiesen wird hier, daß Galoisfelder nur für  $q = p^m$  existieren, wobei  $p$  eine Primzahl und  $m$  eine natürliche Zahl ist. Um so wichtiger für die Codierungstheorie ist aber die Konstruktion von  $\mathbb{F}_{p^m}$  aus  $\mathbb{F}_p$ , die in Abschnitt A.8 und detailliert in Kapitel 6 erfolgt.

In einem endlichen oder unendlichen Körper  $\mathbb{K}$  sind  $\{0\}$  und  $\mathbb{K}$  die einzigen Ideale. Denn wenn  $\mathcal{I}$  ein Ideal mit  $0 \neq a \in \mathcal{I}$  ist, so gilt mit  $r = a^{-1} \in \mathbb{K}$  natürlich  $1 = ar \in \mathcal{I}$  und somit  $r = 1 \cdot r \in \mathcal{I}$  für alle  $r \in \mathbb{K}$ . Diese beiden Ideale sind wegen  $\{0\} = \langle 0 \rangle$  und  $\mathbb{K} = \langle 1 \rangle$  zugleich Hauptideale. Ein Körper ist also ein Hauptidealring.

## A.5 Lineare Algebra und Vektorräume

**Definition A.7 (Vektorraum).** *Ein Vektorraum oder linearer Raum  $V$  über einem Körper  $\mathbb{K}$  ist eine Menge von Vektoren, für die eine Addition und eine Skalarmultiplikation erklärt sind. Für  $\mathbf{a}, \mathbf{b}, \mathbf{c} \in V$  und  $\alpha \in \mathbb{K}$  sollen  $\mathbf{a} + \mathbf{b} \in V$  und  $\alpha \cdot \mathbf{a} \in V$  erfüllt sein sowie folgende Gesetze gelten:*

- (1)  $\mathbf{a} + \mathbf{b} = \mathbf{b} + \mathbf{a}$
- (2)  $(\mathbf{a} + \mathbf{b}) + \mathbf{c} = \mathbf{a} + (\mathbf{b} + \mathbf{c})$
- (3)  $\mathbf{a} + \mathbf{0} = \mathbf{a}$  mit  $\mathbf{0} = (0, \dots, 0)$
- (4)  $\mathbf{a} + (-\mathbf{a}) = \mathbf{0}$  mit  $-(a_0, \dots, a_{n-1}) = (-a_0, \dots, -a_{n-1})$
- (5)  $\alpha(\mathbf{a} + \mathbf{b}) = \alpha\mathbf{a} + \alpha\mathbf{b}$
- (6)  $(\alpha + \beta)\mathbf{a} = \alpha\mathbf{a} + \beta\mathbf{a}$
- (7)  $(\alpha\beta)\mathbf{a} = \alpha(\beta\mathbf{a})$
- (8)  $1\mathbf{a} = \mathbf{a}$ .

*Insbesondere ist  $V$  bezüglich der Vektoraddition eine kommutative Gruppe. Das Zeichen  $+$  steht sowohl für die Addition von Skalaren in  $\mathbb{K}$  wie für die Addition von Vektoren in  $V$ . Entsprechend steht  $\cdot$  sowohl für die Multiplikation von Skalaren wie für die Multiplikation von Skalaren mit Vektoren. Eine Multiplikation von Vektoren wird nicht erklärt.*

Es seien  $\mathbf{a}_1, \dots, \mathbf{a}_l$  beliebige Vektoren mit Koeffizienten aus  $\mathbb{K}$ . Der hiervon erzeugte oder aufgespannte Vektorraum  $V$  ist als der kleinste Vektorraum über  $\mathbb{K}$  definiert, der diese  $l$  Vektoren enthält. Er besteht offensichtlich genau aus den *Linearkombinationen* der erzeugenden Vektoren:

$$V = \left\{ \sum_{i=1}^l \alpha_i \mathbf{a}_i \mid \alpha_1, \dots, \alpha_l \in \mathbb{K} \right\}. \quad (\text{A.5.1})$$

Die Vektoren  $\mathbf{a}_1, \dots, \mathbf{a}_l$  aus einem beliebigen Vektorraum heißen *linear unabhängig*, wenn gilt:

$$\sum_{i=1}^l \alpha_i \mathbf{a}_i = \mathbf{0} \implies \alpha_1 = \dots = \alpha_l = 0. \quad (\text{A.5.2})$$

Wenn es umgekehrt eine Kombination von Skalaren gibt, die nicht alle Null sind, so daß die Linearkombination den Nullvektor ergibt, dann sind die  $\mathbf{a}_1, \dots, \mathbf{a}_l$  *linear abhängig*. Wenn speziell  $\mathbf{b}$  eine Linearkombination der  $\mathbf{a}_i$  ist, dann ist  $\mathbf{b}$  von den  $\mathbf{a}_i$  linear abhängig bzw.  $\mathbf{b}$  und die  $\mathbf{a}_i$  sind zusammen linear abhängig.

Die maximale Anzahl der linear unabhängigen Vektoren heißt *Dimension* des Vektorraums und wird als  $\text{Dim}(V)$  geschrieben. Jede Auswahl von  $\text{Dim}(V)$  linear unabhängigen Vektoren bildet eine *Basis* für den Vektorraum. Die Mächtigkeit jeder Basis beträgt also  $\text{Dim}(V)$ .

Eine äquivalente Kennzeichnung einer Basis ist, daß sie aus linear unabhängigen Vektoren besteht, die den gesamten Vektorraum aufspannen. Eine weitere äquivalente Kennzeichnung ist, daß jeder Vektor aus dem Vektorraum auf genau eine Weise als Linearkombination der Vektoren aus der Basis dargestellt werden kann.

**Beispiel A.7. (1)** Zu jedem Körper  $\mathbb{K}$  und jeder natürlichen Zahl  $n$  gehört ein Vektorraum  $\mathbb{K}^n$ , der aus allen Vektoren der Länge  $n$  mit Koeffizienten aus  $\mathbb{K}$  besteht. Dabei werden die Verknüpfungen komponentenweise erklärt:

$$\begin{aligned} \mathbf{a} + \mathbf{b} &= (a_0, \dots, a_{n-1}) + (b_0, \dots, b_{n-1}) = (a_0 + b_0, \dots, a_{n-1} + b_{n-1}) \\ \alpha \cdot \mathbf{a} &= \alpha \cdot (a_0, \dots, a_{n-1}) = (\alpha a_0, \dots, \alpha a_{n-1}). \end{aligned}$$

Klar ist  $\text{Dim}(\mathbb{K}^n) = n$  und die *kanonische Basis* für  $\mathbb{K}^n$  wird von den  $n$  *Einheitsvektoren*

$$(1, 0, 0, \dots, 0), \quad (0, 1, 0, \dots, 0), \quad \dots, \quad (0, 0, 0, \dots, 1) \quad (\text{A.5.3})$$

gebildet. Durch  $(1, 0, 0, \dots, 0), \quad (1, 1, 0, \dots, 0), \quad \dots, \quad (1, 1, 1, \dots, 1)$  wird ein Beispiel einer weiteren Basis gegeben.

**(2)**  $\mathbb{R}^n$  ist ein Vektorraum über  $\mathbb{R}$ , aber nicht über  $\mathbb{C}$ ;  $\mathbb{C}^n$  ist Vektorraum sowohl über  $\mathbb{R}$  wie über  $\mathbb{C}$ .

**(3)** Die Menge aller  $(k, n)$ -dim. Matrizen mit Koeffizienten aus  $\mathbb{K}$  ist ein Vektorraum über  $\mathbb{K}$ , wobei die Matrixmultiplikation allerdings überhaupt nicht eingeht. ■

Es sei  $V$  ein Vektorraum über  $\mathbb{K}$  und  $U \subseteq V$ . Dann ist  $U$  ebenfalls ein Vektorraum über  $\mathbb{K}$  genau dann, wenn für alle  $\mathbf{a}, \mathbf{b} \in U$  und  $\alpha \in \mathbb{K}$  stets  $\mathbf{a} + \mathbf{b} \in U$  und  $\alpha \mathbf{a} \in U$  gilt.

Beweis:  $U$  ist nach diesen Forderungen abgeschlossen und alle in  $V$  gültigen Regeln sind erst recht in der Teilmenge  $U$  gültig. Für  $\mathbf{a} \in U$  folgt  $-\mathbf{a} = (-1) \cdot \mathbf{a} \in U$  und somit  $\mathbf{0} = \mathbf{a} + (-\mathbf{a}) \in U$ . Also existieren in  $U$  die inversen Elemente und das neutrale Element. ■

In Abschnitt 3.1 wird ein  $(n, k)_q$ -Blockcode  $\mathcal{C} \subset \mathbb{F}_q^n$  als linear dadurch definiert, daß  $\mathcal{C}$  ein Untervektorraum von  $\mathbb{F}_q^n$  (mit der Dimension  $k$ ) ist. Eine Basis wird durch die Zeilen der Generatormatrix gegeben.

## A.6 Polynome

Die Menge aller Polynome beliebigen Grades in der Unbestimmten  $x$  mit Koeffizienten aus einem Ring  $\mathcal{R}$  wird mit  $\mathcal{R}[x]$  bezeichnet und bildet einen Ring mit der üblichen Addition und Multiplikation von Polynomen.

Entsprechend wird die Menge aller Polynome beliebigen Grades mit Koeffizienten aus einem Körper  $\mathbb{K}$  bzw. einem Galoisfeld  $\mathbb{F}_q$  mit  $\mathbb{K}[x]$  bzw.  $\mathbb{F}_q[x]$  bezeichnet. Die Polynome bilden einen Integritätsbereich, aber keinen Körper, da multiplikative inverse Elemente zu Polynomen als Polynome natürlich nicht existieren (siehe jedoch Satz A.9).

$\mathbb{K}[x]$  ist ein Vektorraum über  $\mathbb{K}$  mit unendlicher Dimension. Es sei  $\mathbb{K}[x]_{n-1}$  die Menge aller Polynome vom Grad  $\leq n-1$ . Dann ist  $\mathbb{K}[x]_{n-1}$  ein Untervektorraum von  $\mathbb{K}[x]$  mit der Dimension  $n$  und der Basis  $1, x, x^2, \dots, x^{n-1}$ . Bei einem linearen  $(n, k)_q$ -Blockcode kann  $\mathcal{C}$  als Untervektorraum von  $\mathbb{K}[x]_{n-1}$  aufgefaßt werden, indem die Vektoren der Länge  $n$  mit einem Polynom vom Grad  $\leq n-1$  identifiziert werden.

Ein Polynom, bei dem der höchste Koeffizient ungleich Null den Wert 1 hat, wird als *normiertes Polynom* bezeichnet. Allgemein gilt die *Gradformel*:

$$\text{Grad}(a(x)b(x)) = \text{Grad } a(x) + \text{Grad } b(x). \quad (\text{A.6.1})$$

Dabei wird festgelegt: Skalare ungleich Null haben den Grad 0 und die Null hat den Grad  $-\infty$ .

Ein Polynom aus  $\mathbb{K}[x]$  wird als *irreduzibel* (unzerlegbar) bezeichnet, wenn es nicht als Produkt von zwei Polynomen aus  $\mathbb{K}[x]$  darstellbar ist, die jeweils mindestens vom Grad 1 sind. Jedes Polynom vom Grad 1 ist also irreduzibel. Wichtig: Der Begriff irreduzibel bezieht sich immer auf einen bestimmten Körper.

**Beispiel A.8.** Das Polynom  $x^2 - 2$  ist irreduzibel über  $\mathbb{Q}$ , aber wegen der Darstellung  $x^2 - 2 = (x - \sqrt{2})(x + \sqrt{2})$  reduzibel über  $\mathbb{R}$ .

Das Polynom  $x^2 + 1$  ist irreduzibel über  $\mathbb{R}$ , aber wegen  $x^2 + 1 = (x - j)(x + j)$  reduzibel über  $\mathbb{C}$  und wegen  $x^2 + 1 = x^2 + 2x + 1 = (x + 1)^2$  auch reduzibel über dem Galoisfeld  $\mathbb{F}_2$ . ■

Jedes beliebige Polynom  $f(x) \in \mathbb{K}[x]$  kann in ein Produkt

$$f(x) = f_1(x) \cdots f_l(x) \quad (\text{A.6.2})$$

von irreduziblen Polynomen  $f_i(x) \in \mathbb{K}[x]$  zerlegt werden. Bis auf skalare Faktoren und die Reihenfolge ist diese Zerlegung eindeutig.

Zu einem Polynom  $g(x) = g_0 + g_1x + \cdots + g_{m-1}x^{m-1} + g_mx^m$  wird das *reziproke Polynom* als

$$\bar{g}(x) = g_m + g_{m-1}x + \cdots + g_1x^{m-1} + g_0x^m = x^m g(x^{-1}) \quad (\text{A.6.3})$$

definiert. Mit  $g(x)$  ist auch  $\bar{g}(x)$  irreduzibel. Mit  $g(a) = 0$  bei  $a \neq 0$  gilt auch  $\bar{g}(a^{-1}) = 0$ .

**Satz A.4 (Divisionstheorem).** *Zu zwei vorgegebenen Polynomen  $b(x)$  und  $g(x) \neq 0$  aus  $\mathbb{K}[x]$  existieren eindeutig bestimmte Polynome  $\alpha(x)$  und  $r(x)$  aus  $\mathbb{K}[x]$  mit*

$$b(x) = \alpha(x)g(x) + r(x) \quad \text{mit} \quad \text{Grad } r(x) < \text{Grad } g(x) \quad (\text{A.6.4})$$

$$\text{Dividend} = \text{Quotient} \cdot \text{Divisor} + \text{Rest}.$$

Für den Rest  $r(x)$  bei Division von  $b(x)$  durch  $g(x)$  wird folgende Schreibweise verwendet (Restklassenbildung):

$$r(x) = b(x) \text{ modulo } g(x) \quad , \quad r(x) = R_{g(x)}[b(x)]. \quad (\text{A.6.5})$$

Dabei ist  $\text{Grad } R_{g(x)}[b(x)] < \text{Grad } g(x)$ . Rechnen modulo  $g(x)$  bedeutet, daß  $g(x)$  durch Null ersetzt werden kann. Das Polynom  $\alpha(x)$  ist normalerweise von untergeordneter Bedeutung. (Die eckigen Klammern sind nicht zu verwechseln mit der Bildung der Äquivalenzklassen.)

Beweis: Durch das am nachfolgenden Beispiel demonstrierte Divisionsverfahren ist die Existenz von  $\alpha(x)$  und  $r(x)$  klar. Zum Nachweis der Eindeutigkeit sei

$$b(x) = \alpha_1(x)g(x) + r_1(x) = \alpha_2(x)g(x) + r_2(x).$$

Zunächst folgt  $r_2(x) - r_1(x) = (\alpha_1(x) - \alpha_2(x))g(x)$ . Da jedoch der Grad von  $r_2(x) - r_1(x)$  kleiner als der Grad von  $g(x)$  ist, folgen  $\alpha_1(x) = \alpha_2(x)$  sowie  $r_1(x) = r_2(x)$ . ■

**Beispiel A.9.** Divisionsverfahren in  $\mathbb{F}_2[x]$  mit  $b(x) = x^7$ ,  $g(x) = x^3 + x + 1$ :

$$\begin{array}{r} x^7 \quad : \quad (x^3 + x + 1) \quad = \quad x^4 + x^2 + x + 1 \quad = \quad \alpha(x) \\ x^7 + x^5 + x^4 \\ \hline x^5 + x^4 \\ x^5 + x^3 + x^2 \\ \hline x^4 + x^3 + x^2 \\ x^4 + x^2 + x \\ \hline x^3 + x \\ x^3 + x + 1 \\ \hline 1 = r(x). \end{array}$$

Also gilt  $x^7 = \alpha(x)(x^3 + x + 1) + 1$  bzw.  $x^7 + 1 = \alpha(x)g(x)$  sowie  $R_{x^3+x+1}[x^7] = 1$ . Rechnen modulo  $x^3 + x + 1$  bedeutet, daß  $x^3 + x + 1 = 0$  bzw.  $x^3 = -x - 1$  gesetzt werden kann:

$$\begin{aligned} x^7 &= x^3 x^3 x = (x+1)(x+1)x = (x^2 + 2x + 1)x \\ &= x^3 + x = (x+1) + x = 1 \quad \text{modulo } g(x). \end{aligned}$$

Damit ergibt sich  $r(x)$  schneller als beim Divisionsverfahren – allerdings ohne das Polynom  $\alpha(x)$ . ■

**Satz A.5 (Restklassen-Arithmetik).** Für die Restklassen-Arithmetik gelten folgende Regeln in  $\mathbb{K}[x]$ :

$$R_{g(x)}[a(x) + b(x)] = R_{g(x)}[a(x)] + R_{g(x)}[b(x)] \quad (\text{A.6.6})$$

$$R_{g(x)}[a(x) \cdot b(x)] = R_{g(x)}[R_{g(x)}[a(x)] \cdot R_{g(x)}[b(x)]] \quad (\text{A.6.7})$$

$$R_{g(x)}[a(x)g(x)] = 0 \quad (\text{A.6.8})$$

$$R_{g(x)}[a(x)] = R_{g(x)}[R_{g(x)h(x)}[a(x)]] \quad (\text{A.6.9})$$

$$\text{Grad } a(x) < \text{Grad } g(x) \implies R_{g(x)}[a(x)] = a(x) \quad (\text{A.6.10})$$

$$R_{x^n-1}[x^m] = x^m \text{ modulo } n = x^{R_n[m]}. \quad (\text{A.6.11})$$

Beim Rechnen modulo  $(x^n - 1)$  wird  $x^n$  durch 1 ersetzt bzw. die Potenz  $m$  durch  $m$  modulo  $n$ . Die Potenzrechnung erfolgt dabei in  $\mathbb{Z}$  unabhängig von  $\mathbb{K}$ .

Beweis von (A.6.9): Sei  $s(x) = R_{g(x)h(x)}[a(x)]$ , d.h. mit einem passenden  $\alpha(x)$  gilt  $s(x) = a(x) - \alpha(x)g(x)h(x)$ . Dann folgt:

$$\begin{aligned} R_{g(x)}[s(x)] &= R_{g(x)}[a(x) - \alpha(x)g(x)h(x)] \\ &= R_{g(x)}[a(x)] - R_{g(x)}[g(x) \cdot \alpha(x)h(x)] \\ &= R_{g(x)}[a(x)]. \end{aligned}$$

Alle anderen Regeln sind offensichtlich. ■

**Beispiel A.10.** Zur Anwendung von Satz A.5 in  $\mathbb{F}_2[x]$  mit  $g(x) = x^3 + x + 1$ : Nach Beispiel A.9 ist  $g(x)$  ein Teiler von  $x^7 + 1$ , d.h. es existiert ein  $h(x)$  mit  $g(x)h(x) = x^7 + 1$ . Gesucht ist  $R_{g(x)}[x^{25}]$ . Direkt wäre das eine längere Rechnung, die jedoch mit

$$\begin{aligned} R_{g(x)}[x^{25}] &= R_{g(x)}[R_{g(x)\alpha(x)}[x^{25}]] \\ &= R_{g(x)}[R_{x^7-1}[x^{25}]] \\ &= R_{g(x)}[x^{R_7[25]}] \\ &= R_{g(x)}[x^4] \\ &= R_{g(x)}[x \cdot R_{g(x)}[x^3]] \\ &= R_{g(x)}[x(x+1)] \\ &= x^2 + x \end{aligned}$$

erheblich vereinfacht wird. ■

**Satz A.6.** Für Polynome aus  $\mathbb{K}[x]$  gelten folgende Eigenschaften:

- (1) Ein Polynom vom Grad  $m$  hat höchstens  $m$  Nullstellen.  
 (2) Wenn ein Polynom  $f(x)$  eine Nullstelle  $a$  hat, so ist  $x - a$  ein Teiler von  $f(x)$ , d.h. der Linearfaktor  $x - a$  wird abgespalten:

$$f(x) = (x - a) \cdot f_1(x) \quad \text{mit passendem } f_1(x). \quad (\text{A.6.12})$$

Im Fall  $f(x) = (x - a)^l f_1(x)$  mit  $f_1(a) \neq 0$  ist  $a$  eine  $l$ -fache Nullstelle, die auch  $l$ -fach gezählt wird.

- (3) Wenn ein normiertes Polynom  $f(x)$  vom Grad  $m$  die maximal  $m$  Nullstellen  $a_1, \dots, a_m$  hat, so zerfällt  $f(x)$  vollständig in Linearfaktoren:

$$f(x) = \prod_{i=1}^m (x - a_i). \quad (\text{A.6.13})$$

Beweis: Zu zeigen ist nur (2), da (1) und (3) daraus unmittelbar folgen. Nach dem Divisionstheorem existieren zu  $f(x)$  und  $x - a$  Polynome  $f_1(x)$  und  $r(x)$  mit

$$f(x) = f_1(x)(x - a) + r(x) \quad \text{mit} \quad \text{Grad } r(x) < \text{Grad } (x - a) = 1.$$

Somit muß  $r(x) = r_0$  konstant sein. Für  $x = a$  folgt  $0 = f(a) = r(a) = r_0$ . ■

**Beispiel A.11.** Sei  $\mathbb{K} = \mathbb{F}_2$ :

(1) Ein Linearfaktor  $x + 1$  wird genau dann abgespalten, wenn 1 eine Nullstelle des Polynoms ist bzw. wenn die Anzahl der Koeffizienten des Polynoms eine gerade Zahl ist.

(2) Das einzige irreduzible Polynom vom Grad 2 ist  $1 + x + x^2$ .

(3) Die einzigen irreduziblen Polynome vom Grad 3 sind  $1 + x + x^3$  und das reziproke Polynom  $1 + x^2 + x^3$ .

(4) Ein Polynom vom Grad 4 oder 5 ist irreduzibel, wenn 1 keine Nullstelle ist und wenn  $1 + x + x^2$  kein Teiler ist, denn als reduzibles Polynom müßte es einen Linearfaktor abspalten oder einen (irreduziblen!) Teiler vom Grad 2 besitzen. ■

## A.7 Euklidischer Algorithmus

Der Euklidische Algorithmus (EA) bildet die Grundlage vieler Eigenschaften von Galoisfeldern sowie verschiedener Decodierverfahren. Der EA gilt zwar allgemein für Ringe wie beispielsweise  $\mathbb{Z}$ , aber er wird hier vorrangig für Polynome

benötigt und zudem lassen sich einige Eigenschaften des EA nur mit Polynomen formulieren.

Der *größte gemeinsame Teiler* (GGT) von zwei Polynomen ist mit der Festlegung als normiertes Polynom eindeutig bestimmt. Zur Vorbereitung des EA wird folgender Satz notiert:

**Satz A.7.** *Für beliebige Polynome  $a(x)$ ,  $b(x)$  und  $v(x)$  aus  $\mathbb{K}[x]$  gilt für den größten gemeinsamen Teiler:*

$$\begin{aligned} \text{GGT}(a(x), b(x)) &= \text{GGT}(a(x), b(x) - v(x)a(x)) \\ &= \text{GGT}(a(x), R_{a(x)}[b(x)]). \end{aligned}$$

Beweis: Zu zeigen ist nur die erste Aussage. Wenn  $d(x)$  ein Teiler von  $a(x)$  und  $b(x)$  ist, dann ist  $d(x)$  auch ein Teiler von  $a(x)$  und  $b(x) - v(x)a(x)$ . Wenn umgekehrt  $d(x)$  ein Teiler von  $a(x)$  und  $b(x) - v(x)a(x)$  ist, dann ist  $d(x)$  auch ein Teiler von  $a(x)$  und  $v(x)a(x) + (b(x) - v(x)a(x)) = b(x)$ . Insgesamt ist also die Menge der gemeinsamen Teiler von  $a(x)$  und  $b(x)$  gleich der Menge der gemeinsamen Teiler von  $a(x)$  und  $b(x) - v(x)a(x)$ . Folglich ist auch der größte gemeinsame Teiler gleich. ■

**Satz A.8 (Euklidischer Algorithmus EA).** *Es seien  $a(x)$  und  $b(x)$  zwei Polynome mit Koeffizienten aus einem beliebigen Körper  $\mathbb{K}$  mit der Eigenschaft  $\text{Grad } a(x) \geq \text{Grad } b(x)$ . Setze*

$$\begin{aligned} r_{-2}(x) &= a(x) & s_{-2}(x) &= 1 & t_{-2}(x) &= 0 \\ r_{-1}(x) &= b(x) & s_{-1}(x) &= 0 & t_{-1}(x) &= 1. \end{aligned} \tag{A.7.1}$$

Für  $i = 0, 1, \dots, l+1$  existieren nach dem Divisionstheorem aus Satz A.4 jeweils Polynome  $\alpha_i(x)$  und  $r_i(x)$  aus  $\mathbb{K}[x]$  mit

$$r_{i-2}(x) = \alpha_i(x)r_{i-1}(x) + r_i(x) \quad \text{mit} \quad \text{Grad } r_i(x) < \text{Grad } r_{i-1}(x), \tag{A.7.2}$$

$$\text{d.h.} \quad r_i(x) = R_{r_{i-1}(x)}[r_{i-2}(x)] = r_{i-2}(x) \text{ modulo } r_{i-1}(x).$$

Wegen der abnehmenden Grade existiert ein  $l$  mit  $r_l(x) \neq 0$  und  $r_{l+1}(x) = 0$ . Insgesamt ergibt sich folgendes Rekursionsschema:

$$\begin{aligned} r_{-2}(x) &= \alpha_0(x)r_{-1}(x) + r_0(x) \\ r_{-1}(x) &= \alpha_1(x)r_0(x) + r_1(x) \\ r_0(x) &= \alpha_2(x)r_1(x) + r_2(x) \\ &\vdots \\ r_{l-2}(x) &= \alpha_l(x)r_{l-1}(x) + r_l(x) \\ r_{l-1}(x) &= \alpha_{l+1}(x)r_l(x). \end{aligned}$$

Ferner werden begleitende Rekursionen für  $i = 0, 1, \dots, l + 1$  betrachtet:

$$\begin{aligned} s_i(x) &= s_{i-2}(x) - \alpha_i(x)s_{i-1}(x) \\ t_i(x) &= t_{i-2}(x) - \alpha_i(x)t_{i-1}(x). \end{aligned} \quad (\text{A.7.3})$$

Diese insgesamt 3 Rekursionen weisen eine Vielzahl von Eigenschaften auf. Zunächst ergibt sich eine (allerdings nicht eindeutige) Lineardarstellung des größten gemeinsamen Teilers:

$$\text{GGT}(a(x), b(x)) = r_l(x) = s_l(x)a(x) + t_l(x)b(x), \quad (\text{A.7.4})$$

$$\frac{a(x)}{\text{GGT}(a(x), b(x))} = (-1)^l t_{l+1}(x) \quad , \quad \frac{b(x)}{\text{GGT}(a(x), b(x))} = (-1)^{l+1} s_{l+1}(x). \quad (\text{A.7.5})$$

Im einzelnen gilt für  $i = -2, -1, \dots, l + 1$ :

$$s_i(x)a(x) + t_i(x)b(x) = r_i(x) \quad (\text{A.7.6})$$

sowie für  $i = -1, 0, \dots, l + 1$ :

$$s_i(x)r_{i-1}(x) - s_{i-1}(x)r_i(x) = (-1)^i b(x) \quad (\text{A.7.7})$$

$$t_i(x)r_{i-1}(x) - t_{i-1}(x)r_i(x) = (-1)^{i+1} a(x) \quad (\text{A.7.8})$$

$$s_i(x)t_{i-1}(x) - s_{i-1}(x)t_i(x) = (-1)^i \quad (\text{A.7.9})$$

$$\text{GGT}(s_i(x), t_i(x)) = 1. \quad (\text{A.7.10})$$

Ferner gelten folgende Grad-Eigenschaften für  $i = 0, 1, \dots, l + 1$ :

$$\text{Grad } \alpha_i(x) = \text{Grad } r_{i-2}(x) - \text{Grad } r_{i-1}(x) \quad (i \leq l) \quad (\text{A.7.11})$$

$$= \text{Grad } s_i(x) - \text{Grad } s_{i-1}(x) \quad (i \geq 1) \quad (\text{A.7.12})$$

$$= \text{Grad } t_i(x) - \text{Grad } t_{i-1}(x) \quad (\text{A.7.13})$$

$$\text{Grad } r_i(x) = \text{Grad } a(x) - \sum_{j=0}^{i+1} \text{Grad } \alpha_j(x) \quad (\text{A.7.14})$$

$$\text{Grad } s_i(x) = \sum_{j=1}^i \text{Grad } \alpha_j(x) = \text{Grad } b(x) - \text{Grad } r_{i-1}(x) \quad (\text{A.7.15})$$

$$\text{Grad } t_i(x) = \sum_{j=0}^i \text{Grad } \alpha_j(x) = \text{Grad } a(x) - \text{Grad } r_{i-1}(x). \quad (\text{A.7.16})$$

Beweis: Die Existenz von  $l$  ist klar. Es gilt dann:

$$\begin{aligned} r_l(x) &= \text{GGT}(r_l(x), \alpha_{l+1}(x)r_l(x)) \\ &= \text{GGT}(r_l(x), r_{l-1}(x)) \\ &= \text{GGT}(r_l(x) - \alpha_l(x)r_{l-1}(x), r_{l-1}(x)) \quad \text{nach Satz A.7} \\ &= \text{GGT}(r_{l-2}(x), r_{l-1}(x)) \\ &\vdots \\ &= \text{GGT}(r_{-1}(x), r_{-2}(x)) = \text{GGT}(a(x), b(x)). \end{aligned}$$

Die nicht eindeutige Lineardarstellung macht ein Beispiel in den ganzen Zahlen klar:  $\text{GGT}(2, 3) = 1 = 2 \cdot 2 - 1 \cdot 3 = -1 \cdot 2 + 1 \cdot 3$ . Es wird jetzt (A.7.6) nachgewiesen, woraus dann auch (A.7.4) vollständig folgt. (A.7.6) ist für  $i = -2$  und  $i = -1$  erfüllt. Induktionsschluß von  $i - 2$  und  $i - 1$  auf  $i$  für  $i \geq 0$ :

$$\begin{aligned} & s_i(x)a(x) + t_i(x)b(x) \\ &= (s_{i-2}(x) - \alpha_i(x)s_{i-1}(x))a(x) + (t_{i-2}(x) - \alpha_i(x)t_{i-1}(x))b(x) \\ &= (s_{i-2}(x)a(x) + t_{i-2}(x)b(x)) - \alpha_i(x)(s_{i-1}(x)a(x) + t_{i-1}(x)b(x)) \\ &= r_{i-2}(x) - \alpha_i(x)r_{i-1}(x) \quad \text{nach Induktionsvoraussetzung} \\ &= r_i(x) \quad \text{nach (A.7.2)}. \end{aligned}$$

(A.7.7) ist für  $i = -1$  erfüllt. Induktionsschluß von  $i - 1$  auf  $i$  für  $i \geq 0$ :

$$\begin{aligned} & s_i(x)r_{i-1}(x) - s_{i-1}(x)r_i(x) \\ &= (s_{i-2}(x) - \alpha_i(x)s_{i-1}(x))r_{i-1}(x) - s_{i-1}(x)(r_{i-2}(x) - \alpha_i(x)r_{i-1}(x)) \\ &= s_{i-2}(x)r_{i-1}(x) - s_{i-1}(x)r_{i-2}(x) \\ &= -(-1)^{i-1}b(x) = (-1)^i b(x). \end{aligned}$$

(A.7.8) und (A.7.9) ergeben sich in gleicher Weise. Zum Nachweis von (A.7.10) sei  $d(x) = \text{GGT}(s_i(x), t_i(x))$ . Also ist  $d(x)$  ein Teiler von  $s_i(x)$  und  $t_i(x)$  und somit auch von  $s_i(x)t_{i-1}(x) - s_{i-1}(x)t_i(x) = (-1)^i$ . Somit folgt  $d(x) = 1$ . Aus (A.7.7) und (A.7.8) folgt für  $i = l + 1$  mit  $r_{l+1}(x) = 0$  und  $r_l(x) = \text{GGT}(a(x), b(x))$  direkt (A.7.5).

Die Gradformel (A.7.11) folgt direkt aus (A.7.2). Aus (A.7.3) folgt  $s_0(x) = 1$  und damit ist  $\text{Grad } s_{i-1}(x) < \text{Grad } s_i(x)$  für  $i = 0$  bewiesen. Für  $i \geq 1$  folgt diese Relation per Induktionsschluß und somit folgt direkt (A.7.12). Entsprechend ergibt sich (A.7.13). Die Summation über  $\text{Grad } \alpha_j(x)$  in (A.7.11) bis (A.7.13) ergibt direkt (A.7.14) bis (A.7.16). ■

Der EA kann auch kompakt mit Polynom-Matrizen formuliert werden. Mit

$$Q_i = \begin{pmatrix} -\alpha_i(x) & 1 \\ 1 & 0 \end{pmatrix} \quad B_i = \begin{pmatrix} s_i(x) & s_{i-1}(x) \\ t_i(x) & t_{i-1}(x) \end{pmatrix} \quad r_i = \begin{pmatrix} r_i(x) & r_{i-1}(x) \end{pmatrix}$$

gelten die Rekursionen

$$\begin{aligned} r_i &= r_{i-1} \cdot Q_i = r_{-1} \cdot Q_0 \cdots Q_i \\ B_i &= B_{i-1} \cdot Q_i = B_{-1} \cdot Q_0 \cdots Q_i. \end{aligned} \tag{A.7.17}$$

**Beispiel A.12.** EA in  $\mathbb{F}_2[x]$  mit  $a(x) = x^4 + x^3 + 1$ ,  $b(x) = x^4 + x^2 + x + 1$ :

$i$	$r_i(x)$	$\alpha_i(x)$	$s_i(x)$	$t_i(x)$
-2	$x^4 + x^3 + 1$		1	0
-1	$x^4 + x^2 + x + 1$		0	1
0	$x^3 + x^2 + x$	1	1	1
1	$x^2 + 1$	$x + 1$	$x + 1$	$x$
$l = 2$	1	$x + 1$	$x^2$	$x^2 + x + 1$
3	0	$x^2 + 1$	$x^4 + x^2 + x + 1$	$x^4 + x^3 + 1$

Es gilt also für dieses Beispiel:

$$\text{GGT}(a(x), b(x)) = 1 = \underbrace{(x^2)}_{s_2(x)} \underbrace{(x^4 + x^3 + 1)}_{a(x)} + \underbrace{(x^2 + x + 1)}_{t_2(x)} \underbrace{(x^4 + x^2 + x + 1)}_{b(x)}.$$

■

## A.8 Polynom-Restklassenringe

Es sei  $\mathcal{R} = \mathbb{K}[x]$  der Integritätsbereich aller Polynome mit Koeffizienten aus dem allgemeinen Körper  $\mathbb{K}$  und durch ein normiertes Polynom  $p(x) \in \mathbb{K}[x]$  vom Grad  $m \geq 1$  werde das Hauptideal

$$\mathcal{I} = \langle p(x) \rangle = \{p(x)b(x) \mid b(x) \in \mathcal{R}\} \quad (\text{A.8.1})$$

erzeugt. Die Restklassen sind von der Form

$$\begin{aligned} [r(x)] &= r(x) + \langle p(x) \rangle \\ &= \{r(x) + p(x)b(x) \mid b(x) \in \mathcal{R}\} \\ &= \{a(x) \mid a(x) \in \mathcal{R} \wedge R_{p(x)}[a(x)] = R_{p(x)}[r(x)]\}. \end{aligned} \quad (\text{A.8.2})$$

Insbesondere gilt  $[r(x)] = [R_{p(x)}[r(x)]]$ , d.h. der Restklassen-Repräsentant kann modulo  $p(x)$  betrachtet werden. Für den Restklassenring gilt

$$\begin{aligned} \mathcal{R}/\mathcal{I} &= \mathbb{K}[x]/\langle p(x) \rangle \\ &= \{[r(x)] \mid r(x) \in \mathcal{R}\} \\ &= \{[r(x)] \mid r(x) \in \mathcal{R} \wedge \text{Grad } r(x) < m\} \end{aligned} \quad (\text{A.8.3})$$

$$\cong \{r(x) \mid r(x) \in \mathcal{R} \wedge \text{Grad } r(x) < m\}, \quad (\text{A.8.4})$$

denn wenn  $[r_1(x)] = [r_2(x)]$  für zwei Polynome vom Grad  $< m$  gilt, so folgt  $r_1(x) - r_2(x) = p(x)b(x)$  mit passendem  $b(x) \in \mathcal{R}$ . Aus der Gradformel folgt jedoch  $r_1(x) - r_2(x) = 0$ . Zwei verschiedene Polynome vom Grad  $< m$  erzeugen also auch zwei verschiedene Restklassen. Die Restklassen-Zerlegung lautet

$$\mathcal{R} = \mathbb{K}[x] = \bigsqcup_{\substack{r(x) \in \mathcal{R} \\ \text{Grad } r(x) < m}} [r(x)]. \quad (\text{A.8.5})$$

Speziell für  $p(x) = 0$  gilt  $\mathcal{I} = \{0\}$  sowie  $[r(x)] = \{r(x)\}$  und für  $p(x) = 1$  gilt  $\mathcal{I} = \mathbb{K}[x]$  sowie  $[r(x)] = [0] = \mathbb{K}[x]$  und somit folgt:

$$\mathbb{K}[x]/\langle 0 \rangle \cong \mathbb{K}[x] \quad , \quad \mathbb{K}[x]/\mathbb{K}[x] \cong \{0\}. \quad (\text{A.8.6})$$

# Abkürzungs- und Symbolverzeichnis

## Abkürzungen

ACS	Add-Compare-Select
AKF	Autokorrelationsfunktion
ARQ	Automatic Repeat Request
ASK	Amplitude Shift Keying (Amplitudenumtastung)
AWGN	Additive White Gaussian Noise
BC	Blockcode
BCH	Bose-Chaudhuri-Hocquenghem (-Code)
BCM	Blockcodierte Modulation
BDD	Begrenzter-Distanz-Decoder
BEC	Binary Erasure Channel (Auslöschungskanal)
BER	Bit Error Rate (Fehlerrate)
BMA	Berlekamp-Massey-Algorithmus
BMD	Begrenzter-Minimaldistanz-Decoder
BSC	Binary Symmetric Channel
BSEC	Binary Symmetric Erasure Channel
BVD	Big Viterbi Decoder
CCH	Control Channel (GSM)
CCITT	Comité Consultatif Int. de Télégraphique et Téléphonique
CCSDS	Consultative Committee for Space Data Systems
CD	Compact Disc
CDMA	Code Division Multiple Access
CIRC	Cross-Interleaved Reed-Solomon Code
CPFSK	Continuous Phase Frequency Shift Keying
CPM	Continuous Phase Modulation
CRC	Cyclic Redundancy Check (-Code)
CSI	Channel State Information
DAT	Digital Audio Tape
DC	Discrete Channel
DCC	Digital Compact Cassette
DFE	Decision Feedback Equalizer
DFT	Diskrete Fouriertransformation
DMC	Discrete Memoryless Channel
DRI	Decoder Reliability Information
EA	Euklidischer Algorithmus

EFM	Eight-to-Fourteen Modulation
ETT	European Transactions on Telecommunications
FC	Faltungscode
FCS	Frame Checking Sequence
FDMA	Frequency Division Multiple Access
FE	Fehlerereignis
FEC	Forward Error Correction
FFT	Fast Fourier Transformation
FIR	Finite Impulse Response (-Filter)
FSK	Frequency Shift Keying (Frequenzumtastung)
GF	Galoisfeld
GGT	Größter Gemeinsamer Teiler
GMD	Generalized Minimum Distance Decoder
GMSK	Gaussian Minimum Shift Keying
GSM	Global System for Mobile Communications
IDFT	Inverse Diskrete Fouriertransformation
IEEE	Institute of Electrical and Electronics Engineers
IEEE-COM	IEEE Transactions on Communications
IEEE-IT	IEEE Transactions on Information Theory
IEEE-SAC	IEEE Transactions on Selected Areas in Communications
ISI	Intersymbol-Interferenzen (-Kanal)
ITU	International Telecommunication Union
KGV	Kleinstes Gemeinsames Vielfaches
LFSR	Linear Feedback Shift Register
MAP	Maximum A Posteriori Decoder
MD	Mini Disc
MDS	Maximum Distance Separable (-Code)
MLD	Maximum Likelihood Decoder
MLSE	Maximum Likelihood Sequence Estimation
MSK	Minimum Shift Keying
MTCM	Mehrdimensionale Trelliscodierte Modulation
OSI	Open Systems Interconnection
PDP	Power Delay Profile
PSK	Phase Shift Keying (Phasenumtastung)
PTCM	Pragmatische Trelliscodierte Modulation
QAM	Quadraturamplitudenmodulation
RACH	Random Access Channel (GSM)
RCPC	Rate Compatible Punctured Convolutional (Code)
RC-CPM	Raised Cosine CPM
REC-CPM	Rectangular CPM
RM	Reed-Muller (-Code)
RS	Reed-Solomon (-Code)
SACCH	Slow Associated Control Channel (GSM)
SAI	Source Apriori / Aposteriori Information

SCH	Synchronisation Channel (GSM)
SDH	Synchrone Digitale Hierarchie
SG	Schlüsselgleichung
SNR	Signal-to-Noise Ratio
SOVA	Soft-Output Viterbi-Algorithmus
SPCC	Single Parity Check Code
SSI	Source Significance Information
TCH	Traffic Channel (GSM)
TCH/FS	Traffic Channel Full-Rate Speech (GSM)
TCH/HS	Traffic Channel Half-Rate Speech (GSM)
TCM	Trelliscodierte Modulation
TDMA	Time Division Multiple Access
UEP	Unequal Error Protection
UMTS	Universal Mobile Telecommunication System
VA	Viterbi-Algorithmus

### Codes und Decodierung

$\mathcal{C}, \mathcal{C}^\perp$	Code, dualer Code
$n$	Blocklänge (BC, FC)
$k$	Länge Infowort (BC, FC, TCM)
$q$	Stufenzahl der Info- und Codesymbole mit $q = p^m$ (BC) und $q = 2$ (FC) bzw. $q = 2^{M+1}$ (TCM)
$p$	Primzahl für $q$
$m$	natürliche Zahl für $q$ bzw. Gedächtnislänge (FC, TCM)
$M$	Anz. Infobits pro Signalpunkt bzw. spektrale Bitrate (TCM)
$R, R_b$	Coderate ( $R = k/n$ , $R_b = R \cdot \log_2 q$ )
$r_b, r_c$	Infobitrate, Codebitrate (Einheit: Bit/s)
$r_s$	Symbolrate (Einheit: Symbol/s)
$t$	Anzahl korrigierbarer Fehler bzw. Bündelfehlerlänge (BC)
$t'$	Anzahl erkennbarer Fehler bzw. Bündelfehlerlänge (BC)
$\tau, \tau_v$	Anzahl tatsächlicher Fehler, Ausfälle (BC)
$d_{\min}$	Minimaldistanz (min. Hammingabst. zw. Codewörtern, BC)
$d_f$	freie Distanz (min. Hammingabst. zw. Codefolgen, FC)
$\Delta_f$	min. euklid. Abst. zw. Codefolgen bei Norm. $E_{cs} = 1$ (TCM)
$\Delta_{\text{fnp}}$	min. euklid. Abst. zw. Codefolgen ohne parallele Übergänge bei Norm. $E_{cs} = 1$ (TCM)
$\Delta_p(L)$	Produktdistanz zur effektiven Länge $L$ bei Norm. $E_{cs} = 1$ (TCM)
$\Delta_l$	min. euklid. Abst. in $\mathcal{B}_i^{(l)}$ bei Norm. $E_{cs} = 1$ (TCM)
$\Delta_{\min}$	minimaler euklidischer Abstand bei BCM
$\mathcal{B}_i^{(l)}$	TCM-Partitionierung: $ \mathcal{B}_i^{(l)}  = 2^{M+1-l}$ ( $i = 0, \dots, 2^l - 1$ )
$D$	Parameter für $2D$ -dimensionale MTCM
$G_a$	asymptotischer Codierungsgewinn

$\mathbf{u}, u(x)$	Infowort, Infopolynom
$\hat{\mathbf{u}}, \hat{u}(x)$	geschätztes Infowort, Polynom des geschätzten Infowortes
$\mathbf{a}, a(x)$	Codewort, Codepolynom
$\hat{\mathbf{a}}, \hat{a}(x)$	geschätztes Codewort, Polynom des geschätzten Codewortes
$c_{r,i}$	Input des TCM-Mappers zur Zeit $r$
$\mathbf{y}, y(x)$	Empfangswort, Empfangspolynom
$\mathbf{a}(x), \mathbf{y}(x)$	Codefolge, Empfangsfolge (FC)
$\mathbf{e}, e(x)$	Fehlerwort (Fehlermuster), Fehlerpolynom
$\mathbf{s}, s(x)$	Syndrom, Syndrompolynom
$\mathbf{E}_k$	Einheitsmatrix der Dimension $k$
$\mathbf{G}, g(x)$	Generatormatrix, Generatorpolynom (BC)
$\mathbf{G}(x), g_\nu(x)$	Generatormatrix, Generatorpolynom (FC)
$\mathbf{H}, h(x)$	Prüfmatrix, Prüfpolynom (BC)
$\mathbf{A}, A(x)$	Codewort, Codepolynom im Frequenzbereich (BC)
$\mathbf{Y}, Y(x)$	Empfangswort, Empfangspolynom im Frequenzbereich (BC)
$\mathbf{E}, E(x)$	Fehlerwort, Fehlerpolynom im Frequenzbereich (BC)
$\mathbf{V}, V(x)$	Ausfallwort, Ausfallpolynom im Frequenzbereich (BC)
$\mathbf{S}, S(x)$	Syndrom, Syndrompolynom im Frequenzbereich (BC)
$C(x), I$	Fehlerstellenpolynom, Fehlerstellenmenge (BC)
$C_v(x), I_v$	Ausfallstellenpolynom, Ausfallstellenmenge (BC)
$T(x)$	Fehlerwertpolynom (BC)
$A(Z), W(X, Y)$	Gewichtsfunktion (BC)
$A_r$	Anzahl der Codewörter vom Gewicht $r$ (BC)
$T(D, I, J)$	Gewichtsfunktion (FC)
$t(d, i, j)$	Fundamentalwegkoeffizienten (FC)
$c_d, w_d$	Distanzspektren (FC)
$z_r$	Zustand zur Zeit $r$ (FC, TCM)
$\zeta_i$	angenommener Zustand zur Zeit $r$ (FC, TCM)
$\mu(y x)$	Viterbi-Metrik (FC)
$\mu_r(i)$	Survivor-Metrik (FC)

## Kanäle und Stochastik

$\mathcal{A}_{\text{in}}, \mathcal{A}_{\text{out}}$	Eingangsalphabet mit Mächtigkeit $q$ , Ausgangsalphabet
$x, \xi$	DC-Input, angenommener Wert in $\mathcal{A}_{\text{in}}$
$y, \eta$	DC-Output, angenommener Wert in $\mathcal{A}_{\text{out}}$
$\nu$	Rauschwert beim AWGN ( $\nu = \nu_I + j\nu_Q$ im 2-dim. Fall)
$a, \alpha$	Fadingamplitude bei Fadingkanälen, angenommener Wert
$E(\cdot), D^2(\cdot)$	Erwartungswert, Varianz einer Zufallsgröße
$H(\cdot)$	Entropie einer Zufallsgröße
$H_2(\cdot)$	binäre Entropiefunktion
$I(x; y)$	Transinformation zweier Zufallsgrößen
$C, C^*$	Kanalkapazität (Einheit: Infobit/Kanalben., Infobit/s)
$R_0$	$R_0$ -Wert
$\gamma$	Bhattacharyya-Schranke

$N_0$	einseitige Rauschleistungsdichte (Einheit: Watt/Hz)
$S, N$	Signalleistung, Rauschleistung (Einheit: Watt)
$W$	Bandbreite (Einheit: Hz)
$E_b, E_c, E_{cs}$	Energie pro Infobit, Codebit, Codesymbol (Einheit: Watt·s)
$P(y x)$	Übergangswahrscheinlichkeit = Kanalstatistik des DC
$P(x)$	Apriori-Wahrscheinlichkeit = Quellenstatistik
$P(y)$	Empfängerstatistik
$p_e$	Fehlerwahrscheinlichkeit des BSC
$P_b, P_w, P_s$	Bit-, Wort-, Symbol-Fehlerwahrscheinl. nach Decodierung
$P_{ue}$	Wahrscheinlichkeit unerkannter Fehler nach Decodierung
$P_{ee}$	Wahrscheinlichkeit eines Kanal-Fehlermusters ungleich Null
$P_{FE}$	Wahrscheinlichkeit eines Fehlerereignisses bei Decodierung
$P(\mathbf{x} \rightarrow \hat{\mathbf{x}})$	2-Codewörter-Fehlerwahrscheinlichkeit
$Q(\cdot)$	komplementäre Gaußsche Fehlerfunktion

### Algebra und Sonstiges

$\mathbb{N}, \mathbb{Z}$	Menge der natürlichen (einschl. 0), der ganzen Zahlen
$\mathbb{Q}, \mathbb{R}, \mathbb{C}$	Körper der rationalen, der reellen, der komplexen Zahlen
$\mathbb{K}$	allgemeiner Körper
$\mathbb{F}_q, \mathbb{F}_{p^m}$	Galoisfeld mit $q = p^m$ Elementen ( $p$ =Primzahl, $m \in \mathbb{N}$ )
$\mathbb{F}_q^k, \mathbb{F}_q^{k,n}$	Menge der $k$ -dim. (Zeilen-)Vektoren bzw. Menge der $(k, n)$ -dim. Matrizen mit Koeff. aus $\mathbb{F}_q$
$\mathbb{F}_q[x], \mathbb{F}_q[x]_{n-1}$	Menge der Polynome beliebigen Grades bzw. Menge der Polynome vom Grad $\leq n - 1$ mit Koeff. aus $\mathbb{F}_q$
$p(x)$	primitives Polynom vom Grad $m$ mit Koeff. aus $\mathbb{F}_p$
$z$	primitives Element
$f_{[a]}(x)$	Minimalpolynom zu $a$
$[a]$	Äquivalenzklasse $\{a^{p^0}, a^{p^1}, a^{p^2}, a^{p^3}, \dots\}$
$\langle a \rangle$	erzeugte multiplikative Gruppe $\{a^0, a^1, a^2, a^3, \dots\}$
$\varphi(\cdot)$	Eulersche $\varphi$ -Funktion
$R_{g(x)}[b(x)]$	$b(x)$ modulo $g(x)$
$\mathbf{a} \circ \rightarrow \bullet \mathbf{A}$	Fouriertransformation
$d_H(\mathbf{x}, \mathbf{y}), w_H(\mathbf{x})$	Hammingabstand, Hamminggewicht
$K_r(\mathbf{x})$	Kugel um $\mathbf{x}$ mit Hammingradius $r$
$d_E(\mathbf{x}, \mathbf{y}), \ \mathbf{x}\ $	Euklidischer Abstand, eukl. Norm ( $d_E(\mathbf{x}, \mathbf{y}) = \ \mathbf{x} - \mathbf{y}\ $ )
$\lfloor \lambda \rfloor, \lceil \lambda \rceil$	größte ganze Zahl $\leq \lambda$ , kleinste ganze Zahl $\geq \lambda$



# Literaturverzeichnis

## Bücher

- [1] Adamek, J.: Foundations of Coding. Chichester: Wiley 1991.
- [2] Anderson, J.B.; Aulin, T.; Sundberg, C.-E.: Digital Phase Modulation. New York: Plenum Press 1986.
- [3] Anderson, J.B.; Mohan, S.: Source and Channel Coding. Boston: Kluwer Academic Publishers 1991.
- [4] Benedetto, S.; Biglieri, E.; Castellani, V.: Digital Transmission Theory. Englewood Cliffs (NJ): Prentice-Hall 1987.
- [5] Berlekamp, E.R. (Ed.): Key Papers in the Development of Coding Theory. New York: IEEE Press 1974.
- [6] Berlekamp, E.R.: Algebraic Coding Theory. Laguna Hills (CA): Aegan Park Press 1984.
- [7] Beutelspacher, A.: Lineare Algebra. Braunschweig: Vieweg 1994.
- [8] Biglieri, E.; Divsalar, D.; McLane, P.J.; Simon, M.K.: Introduction to Trellis-Coded Modulation with Applications. New York: Macmillan 1991.
- [9] Biglieri, E.; Luise, M. (Eds.): Coded Modulation and Bandwidth-Efficient Transmission. Proceedings of the Fifth Tirrenia International Workshop on Digital Communications (September 1991). Amsterdam: Elsevier 1992.
- [10] Bingham, J.A.C.: The Theory and Practice of Modem Design. New York: Wiley 1988.
- [11] Birkhoff, G.; Bartee, T.C.: Angewandte Algebra. München: R. Oldenbourg 1973.
- [12] Blahut, R.E.: Theory and Practice of Error Control Codes. Reading (MA): Addison-Wesley 1983.
- [13] Blahut, R.E.: Fast Algorithms for Digital Signal Processing. Reading (MA): Addison-Wesley 1985.
- [14] Blahut, R.E.: Principles and Practice of Information Theory. Reading (MA): Addison-Wesley 1987.
- [15] Blahut, R.E.: Digital Transmission of Information. Reading (MA): Addison-Wesley 1990.
- [16] Blahut, R.E.: Algebraic Methods for Signal Processing and Communications Coding. New York: Springer 1992.

- [17] Blahut,R.E.; Costello,D.J.; Maurer,U.; Mittelholzer,T.(Eds.): Communications and Cryptography. Boston: Kluwer Academic Publishers 1994.
- [18] Bossert,M.: Kanalcodierung. Stuttgart: Teubner 1992.
- [19] Clark,G.C.; Cain,J.B.: Error-Correcting Coding for Digital Communications. New York: Plenum Press 1981.
- [20] Conway,J.H.; Sloane,N.J.A.: Sphere Packings, Lattices and Codes. New York: Springer 1988.
- [21] Cover,T.M.; Thomas,J.A.: Elements of Information Theory. New York: Wiley 1991.
- [22] Dankmeier,W.: Codierung – Fehlerbeseitigung und Verschlüsselung. Braunschweig: Vieweg 1994.
- [23] Dholakia,A.: Introduction to Convolutional Codes with Applications. Boston: Kluwer Academic Publishers 1994.
- [24] Ebeling,W.: Lattices and Codes. Braunschweig: Vieweg 1994.
- [25] Gallager,R.G.: Information Theory and Reliable Communication. New York: Wiley 1968.
- [26] Gitlin,R.D.; Hayes,J.F.; Weinstein,S.B.: Data Communications Principles. New York: Plenum Press 1992.
- [27] Golomb,W.G.; Peile,R.E.; Scholtz,R.A.: Basic Concepts in Information Theory and Coding. New York: Plenum Press 1994.
- [28] Gray,R.M.: Entropy and Information Theory. New York: Springer 1990.
- [29] Hagenauer,J.(Ed.): Advanced Methods for Satellite and Deep Space Communications. Berlin: Springer LNCS 182, 1992.
- [30] Hamming,R.W.: Coding and Information Theory. Englewood Cliffs (NJ): Prentice-Hall (2.Ed.) 1986.
- [31] Haykin,S.: Digital Communications. New York: Wiley 1988.
- [32] Heise,W.; Quattrocchi,P.: Informations- und Codierungstheorie. Berlin: Springer (3. Aufl.) 1995.
- [33] Henze,E.; Homuth,H.H.: Einführung in die Codierungstheorie. Braunschweig: Vieweg 1974.
- [34] Henze,E.; Homuth,H.H.: Einführung in die Informationstheorie. Braunschweig: Vieweg 1974.
- [35] Heuser,H.; Wolf,H.: Algebra, Funktionalanalysis und Codierung. Stuttgart: Teubner 1986.
- [36] Hoffman,D.G.; Leonard,D.A.; Lindner,C.C; Phelps,K.T.; Rodger,C.A.; Wall, J.R.: Coding Theory – The Essentials. New York: Marcel Dekker 1991.
- [37] Huber,J.: Trelliscodierung. Berlin: Springer 1992.
- [38] Jamali,S.H.; Le-Ngoc,T.: Coded-Modulation Techniques for Fading Channels. Boston: Kluwer Academic Publishers 1994.

- [39] Johannesson,R.: Informationstheorie. Lund: Addison-Wesley 1992.
- [40] Kafka,G.: Grundlagen der Datenkommunikation. Bergheim: Datacom (2.Aufl.) 1992.
- [41] Krieg,B.: Digitale Audiotechnik. München: Franzis-Verlag 1992.
- [42] Lidl,R.; Niederreiter,H.: Introduction to Finite Fields and their Applications (Rev.Ed.). Cambridge University Press 1994.
- [43] Lin,S.; Costello,D.J.: Error Control Coding. Englewood Cliffs (NJ): Prentice-Hall 1983.
- [44] van Lint,J.H.: Introduction to Coding Theory. Graduate Texts in Mathematics Bd. 86. Berlin: Springer (2.Ed.) 1992.
- [45] MacWilliams,F.J.; Sloane,N.J.A.: The Theory of Error-Correcting Codes. Amsterdam: North-Holland 1977.
- [46] Mansuripur,M.: Introduction to Information Theory. Englewood Cliffs (NJ): Prentice-Hall 1987.
- [47] McEliece,R.J.: The Theory of Information and Coding. Reading (MA): Addison-Wesley 1977.
- [48] McEliece,R.J.: Finite Fields for Computer Scientists and Engineers. Boston: Kluwer Academic Publishers 1987.
- [49] Michelson,A.M.; Levesque,A.H.: Error-Control Techniques for Digital Communication. New York: Wiley 1985.
- [50] Mildenerger,O.: Informationstheorie und Codierung. Braunschweig: Vieweg 1990.
- [51] Mouly,M.; Pautet,M.-B.: The GSM System for Mobile Communications. Palaiseau: 1992.
- [52] Papoulis,A.: Probability, Random Variables, and Stochastic Processes. New York: McGraw-Hill (3.Ed.) 1991.
- [53] Peterson,W.W.; Weldon,E.J.: Error-Correcting Codes. Cambridge (MA): MIT Press 1972.
- [54] Pless,V.: Introduction to the Theory of Error-Correcting Codes. New York: Wiley 1989.
- [55] Ploi,A.; Huguet,L.: Error Correcting Codes. Masson and Prentice-Hall 1992.
- [56] Pretzel,O.: Error-Correcting Codes and Finite Fields. Oxford: Clarendon Press 1992.
- [57] Proakis,J.G.: Digital Communications. New York: McGraw-Hill (2.Ed.) 1989.
- [58] Proakis,J.G.; Salehi,M.: Communication Systems Engineering. Englewood Cliffs (NJ): Prentice-Hall 1994.
- [59] Rhee,M.Y.: Error Correcting Coding Theory. New York: McGraw-Hill 1989.
- [60] Rhee,M.Y.: Cryptography and Secure Communications. Singapur: McGraw-Hill 1994.

- [61] Rohling,H.: Einführung in die Informations- und Codierungstheorie. Stuttgart: Teubner 1995.
- [62] Roman,S.: Coding and Information Theory. Graduate Texts in Mathematics Bd. 134. New York: Springer 1992.
- [63] Schulz,R.-H.: Codierungstheorie. Braunschweig: Vieweg 1991.
- [64] Sklar,B.: Digital Communications. Englewood Cliffs (NJ): Prentice-Hall 1988.
- [65] Slepian,D.(Ed.): Key Papers in the Development of Information Theory. New York: IEEE Press 1973.
- [66] Sloane,N.J.A.; Wyner,A.D.(Eds.): Claude Elwood Shannon Collected Papers. New York: IEEE Press 1993.
- [67] Steele,R.: Mobile Radio Communications. London: Pentech Press 1992.
- [68] Sweeney,P.: Codierung zur Fehlererkennung und Fehlerkorrektur. München: C.Hanser / Prentice-Hall 1992.
- [69] Tanenbaum,A.S.: Computer Networks. Englewood Cliffs (NJ): Prentice-Hall (2.Ed.) 1989. Deutsche Übersetzung: Computer-Netzwerke. Wolfram's Verlag 1992.
- [70] Tilborg,H.van: Error-Correcting Codes. Lund: Chartwell Brett 1993.
- [71] Tzschach,H.; Haßlinger,G.: Codes für den störungssicheren Datentransfer. München: R.Oldenbourg 1993.
- [72] Vanstone,S.A.;van Oorschot,P.C.: An Introduction to Error Correcting Codes with Applications. Boston: Kluwer Academic Publishers 1989.
- [73] Viterbi,A.J.; Omura,J.K.: Principles of Digital Communication and Coding. Tokio: McGraw-Hill 1979.
- [74] Webb,W.; Hanzo,L.: Modern Quadrature Amplitude Modulation: Principles and Applications for Fixed and Wireless Communications. New York: IEEE Press / London: Pentech Press 1994.
- [75] Wicker,S.B.: Error Control Systems for Digital Communication and Storage. Englewood Cliffs (NJ): Prentice-Hall 1995.
- [76] Wicker,S.B.; Bhargava,V.K.(Eds.): Reed-Solomon Codes and their Applications. New York: IEEE Press 1994.
- [77] Widrow,B.; Stearns,S.D.: Adaptive Signal Processing. Englewood Cliffs (NJ): Prentice-Hall 1985.
- [78] Wiggert,D.: Codes for Error Control and Synchronisation. Norwood (MA): Artech House 1988.
- [79] Wozencraft,J.M.; Jacobs,I.M.: Principles of Communication Engineering. New York: Wiley 1965.
- [80] Ziemer,R.E.; Peterson,R.L.: Introduction to Digital Communication. New York: Macmillan 1992.
- [81] Zobel,R.: Diskrete Strukturen. Reihe Informatik Bd. 49. Mannheim: BI-Wissenschaftsverlag 1987.

**Zeitschriften- und Konferenzbeiträge, Sonstiges**

- [82] Berrou,C.; Glavieux,A.; Thitimajshima,P.: Near Shannon Limit Error-Correcting Coding and Decoding: Turbo-Codes. Proc. Int. Conf. Comm. (ICC), Genf, 1993, S. 1064-1070.
- [83] Beth,T.; Lasic,D.E.: If Binary Codes exceeding the Gilbert-Varshamov Bound are to exist, they cannot reach the Cutoff Rate of the Binary Symmetric Channel. Proc. International Symposium on Information Theory (ISIT), 1995.
- [84] Calderbank,A.R.; Mazo,J.E.: A new Description of Trellis Codes. IEEE-IT, 30(1984)6, S. 784-791.
- [85] Calderbank,A.R.; Sloane,N.J.A.: Four-Dimensional Modulation with an Eight-State Trellis Code. AT&T Tech.J., 64(1985)5/6, S. 1005-1018.
- [86] CCITT (ITU) Study Group 14: Draft Recommendation V.34: A Modem Operating at Data Signalling Rates of up to 28800 Bit/s for Use on the General Switched Telephone Network and on Leased Point-to-Point 2-Wire Telephone-Type Circuits. Juni 1994.
- [87] Coffey,J.T.; Goodman,R.M.: Any Code of which we cannot think is good. IEEE-IT, 36(1990)6, S. 1453-1461.
- [88] Consultative Committee for Space Data Systems: Recommendations for Space Data Systems Standard: Telemetry Channel Coding. CCSDS Blue Book Issue 2, Januar 1987.
- [89] Dorsch,B.: Codiertechniken für moderne Nachrichtensysteme. COMETT-Seminar Darmstadt 1993.
- [90] Dür,A.: Avoiding Decoder Malfunction in the Peterson-Gorenstein-Zierler Decoder. IEEE-IT, 39(1993), S. 640-643.
- [91] Eyuboğlu,M.V.; Forney,G.D.: Trellis Precoding: Combined Coding, Precoding and Shaping for Intersymbol Interference Channels. IEEE-IT, 38(1992)2, S. 301-314.
- [92] Eyuboğlu,M.V.; Forney,G.D.; Dong,P.; Long,G.: Advanced Modulation Techniques for V.Fast. ETT, 4(1993)3, S. 243-256.
- [93] Forney,G.D.: Convolutional Codes I: Algebraic Structure. IEEE-IT, 16(1970), S. 720-738.
- [94] Forney,G.D.: Maximum-Likelihood Sequence Estimation of Digital Sequences in the Presence of Intersymbol Interference. IEEE-IT, 18(1972), S. 363-378.
- [95] Forney,G.D.: The Viterbi Algorithm. Proceedings IEEE, 61(1973), S. 268-278.
- [96] Forney,G.D.; Gallagher,R.G.; Lang,G.R.; Longstaff,F.M.; Qureshi,S.U.: Efficient Modulation for Band-Limited Channels. IEEE-SAC, 2(1984)5, S. 632-647.
- [97] Forney,G.D.: Coset Codes. Part I: Introduction and Geometrical Classification. Part II: Binary Lattices and Related Codes. IEEE-IT, 34(1988)5, S. 1123-1187.
- [98] Forney,G.D.; Eyuboğlu,M.V.: Combined Equalization and Coding Using Precoding. IEEE Comm. Mag., 29(1991)12, S. 25-34.

- [99] Forney,G.D.: Trellis Shaping. IEEE-IT, 38(1992)2, S. 281-300.
- [100] Franchi,A.; Harris,R.A.: On the Error Burst Properties of the “Standard”  $K=7$ , Rate-1/2 Convolutional Code with Soft-Decision Viterbi Decoding. ETT, 6(1995)3, S. 337-351.
- [101] Friederichs,K.-J.: Powerful Forward Error Correction Coding for SDH Radio Transmission. 3rd Europ. Conf. on Radio-Relay Systems, S. 358-363. Paris: Dezember 1991.
- [102] Friedrich,J.; Herbig,P.; Reuber,H.-J.: Theorie und Praxis bandbreiteneffizienter Modulations- und Codierungsverfahren. ANT Nachrichtentechnische Berichte, Heft 11, März 1994, S. 23-40.
- [103] Friedrichs,B.: Ein Beitrag zur Theorie und Anwendung wertdiskreter Adaptionsverfahren in digitalen Empfängern. Dissertation Universität Erlangen-Nürnberg 1990.
- [104] Friedrichs,B.: Zur Fehlererkennungsfähigkeit von Random Codes am Beispiel des Message Authentication Code. ITG-Fachtagung “Codierung für Quelle, Kanal und Übertragung”, Band 130, S. 145-152. München: Oktober 1994.
- [105] Haccoun,D.; Bégin,G.: High-Rate Punctured Convolutional Codes for Viterbi and Sequential Decoding. IEEE-COM, 37(1989)11, S. 1113-1125.
- [106] Hagenauer,J.: Rate-Compatible Punctured Convolutional Codes (RCPC Codes) and their Applications. IEEE-COM, 36(1988)4, S. 389-400.
- [107] Hagenauer,J.; Höher,P.: A Viterbi Algorithm with Soft-Decision Outputs and its Applications. Proc. GLOBECOM’89, Dallas, Nov. 1989, S. 1680-1686.
- [108] Hagenauer,J.: The Promise of Information Theory – Does It Pay Off in Practice? Frequenz, 43(1989)9, S. 222-227.
- [109] Hagenauer,J.: Soft-In/Soft-Out: The Benefits of Using Soft-Decisions in All Stages of Digital Receivers. Proc. 3. Int. Workshop on DSP Techniques Applied to Space Communications. ESTEC, Noordwijk (NL): September 1992.
- [110] Hagenauer,J.; Robertson,P.; Papke,L.: Iterative (“Turbo”) Decoding of Systematic Convolutional Codes with the MAP and SOVA Algorithms. ITG-Fachtagung “Codierung für Quelle, Kanal und Übertragung”, Band 130, S. 21-29. München: Oktober 1994.
- [111] Hagenauer,J.: Source-Controlled Channel Decoding. Eingereicht bei IEEE-COM, 1993.
- [112] Imai,H.; Hirakawa,S.: A New Multilevel Coding Method using Error Correction Codes. IEEE-IT, 23(1977)3, S. 371-377.
- [113] Isard,M.; Meißner,D.: Modem Design for the Transmission of SDH Signals in Standard CCIR Channel Arrangements with Frequency Reuse. 3rd Europ. Conf. on Radio-Relay Systems, S. 127-132. Paris: Dezember 1991.
- [114] Jacobs,I.M.: Practical Applications of Coding. IEEE-IT, 20(1974), S. 305-310.
- [115] Kalouti,H.: Konstruktion asymptotisch optimaler linearer Blockcodes für den binären symmetrischen Kanal. Diplomarbeit, Institut für Algorithmen und Kognitive Systeme, Universität Karlsruhe, 1994.

- [116] Kasami,T.; Takata,T.; Fujiwara,T.; Lin,S.: A Concatenated Coded Modulation Scheme for Error Control. *IEEE-COM*, 38(1990)6, S. 752-763.
- [117] Kofman,Y.; Zehavi,E.; Shamai,S.: A Multilevel Coded Modulation Scheme for Fading Channels. *Archiv f. Elektronik u. Übertragungstechnik AEÜ*, 46(1992)6, S. 420-428.
- [118] Kreßel,U.: Informationstheoretische Beurteilung digitaler Übertragungsverfahren mit Hilfe des Fehlerexponenten. *Fortschrittberichte Reihe 10*, Bd. 121. Düsseldorf: VDI-Verlag 1989.
- [119] Lee,P.J.: Constructions of Rate  $(n - 1)/n$  Punctured Convolutional Codes with Minimum Required SNR Criterion. *IEEE-COM*, 36(1988)10, S. 1171-1174.
- [120] Leung-Yan-Cheong,S.K., Barnes,E.R.; Friedman,D.U.: On some Properties of the Undetected Error Probability of Linear Codes. *IEEE-IT*, 25(1979), S. 110-112.
- [121] Li,Y.; Vucetic,B.; Sato,Y.: Optimum Soft-Output Detection for Channels with Intersymbol Interference. *IEEE-IT*, 41(1995)3, S. 704-713.
- [122] Liesenfeld,B.: Zur Trellisdecodierung linearer Blockcodes. 8.Aachener Kolloquium Signaltheorie "Mobile Kommunikationssysteme", S. 85-88. Aachen: März 1994.
- [123] Massey,J.L.: Coding and Modulation in Digital Communications. *Proc. Int. Zürich Seminar*, März 1974.
- [124] Massey,J.L.: Coding Techniques for Digital Data Networks. *Proc. Int. Conf. Inform. Theory and Systems*, NTG Fachberichte Band 65, Sept. 1978, S. 307-315.
- [125] Massey,J.L.: The How and Why of Channel Coding. *Proc. Int. Zürich Seminar*, März 1984, S. 67-73.
- [126] Massey,J.L.: A Short Introduction to Coding Theory and Practice. *Proc. URSI Int. Symp. on Signals, Systems and Electronics*. Erlangen, Sept. 1989, S. 629-633.
- [127] Mester,R.: Reed-Solomon-Decoder. Deutsches Patentamt: Offenlegungsschrift DE 43 16 813 A1, 1994.
- [128] Müller,J.-M.; Wächter,B.; Stäbler,T.: The ANT Proposal for the GSM Half Rate Codec. 8.Aachener Kolloquium Signaltheorie "Mobile Kommunikationssysteme", S. 37-40. Aachen: März 1994.
- [129] Peterson,J.: Implementierungsaspekte zur Symbol-by-Symbol MAP-Decodierung von Faltungscodes. *ITG-Fachtagung "Codierung für Quelle, Kanal und Übertragung"*, Band 130, S. 41-48. München: Oktober 1994.
- [130] Pierce,J.N.: Limit Distribution of the Minimum Distance of Random Linear Codes. *IEEE-IT*, 13(1967)4, S. 595-599.
- [131] Pietrobon,S.S.; Deng,R.H.; Lafanchère,A.; Ungerböck,G.; Costello,D.J.: Trellis-Coded Multidimensional Phase Modulation. *IEEE-IT*, 36(1990)1, S. 63-89.
- [132] Sayegh,S.I.: A Class of Optimum Block Codes in Signal Space. *IEEE-COM*, 34(1986)10, S. 1043-1045.

- [133] Schlegel,C.; Costello,D.J.: Bandwidth Efficient Coding for Fading Channels: Code Construction and Performance Analysis. IEEE-SAC, 7(1989), S. 1356-1368.
- [134] Srinivasan,M.; Sarwate,D.V.: Malfunction in the Peterson-Gorenstein-Zierler Decoder. IEEE-IT, 40(1994), S. 1649-1653.
- [135] Stenbit,J.P.: Table of Generators for Bose-Chaudhuri Codes. IEEE-IT, 10(1964), S. 390-391.
- [136] Sundberg,C.-E.W.; Seshadri,N.: Coded Modulations for Fading Channels: An Overview. ETT, 4(1993)3, S. 309-324.
- [137] Truong,T.K.; Eastman,W.L.; Reed,I.S.; Hsu,I.S.: Simplified Procedure for Correcting Both Errors and Erasures of Reed-Solomon Code using Euclidean Algorithm. IEE Proc. Part E, 135(1988)6, S. 318-324.
- [138] Ungerböck,G.: Channel Coding with Multilevel/Phase Signals. IEEE-IT, 28(1982)1, S. 55-67.
- [139] Ungerböck,G.: Trellis-Coded Modulation with Redundant Signal Sets. Part I: Introduction. Part II: State of the Art. IEEE Comm. Mag., 25(1987)2, S. 5-11, 12-21.
- [140] Viterbi,A.J.: Error Bounds for Convolutional Codes and an Asymptotically Optimum Decoding Algorithm. IEEE-IT, 13(1967), S. 260-269.
- [141] Viterbi,A.J.; Wolf,J.K.; Zehavi,E.; Padovani,R.: A Pragmatic Approach to Trellis-Coded Modulation. IEEE Comm. Mag., 27(1989)6, S. 11-19.
- [142] Wei,L.-F.: Rotationally Invariant Convolutional Channel Coding with Expanded Signal Space. Part I: 180°. Part II: Nonlinear Codes. IEEE-SAC, 2(1984)5, S. 659-671, 672-686.
- [143] Wei,L.-F.: Trellis-Coded Modulation with Multidimensional Constellations. IEEE-IT, 33(1987)4, S. 483-501.
- [144] Wei,L.-F.: Rotationally Invariant Trellis-Coded Modulations with Multidimensional M-PSK. IEEE-SAC, 7(1989)9, S. 1281-1295.
- [145] Wörz,T.; Hagenauer,J.: Decoding of  $M$ -PSK-Multilevel Codes. ETT, 4(1993)3, S. 299-308.
- [146] Wolf,J.K.; Efficient Maximum Likelihood Decoding of Linear Block Codes Using a Trellis. IEEE-IT, 24(1978)1, S. 76-80.
- [147] Wolf,J.K.; Michelson,A.M.; Levesque,A.H.: On the Probability of Undetected Error for Linear Block Codes. IEEE-COM, 30(1982), S. 317-324.
- [148] Wolf,J.K.; Zehavi,E.:  $P^2$ -Codes: Pragmatic Trellis Codes Utilizing Punctured Convolutional Codes. IEEE Comm. Mag., 33(1995)2, S. 94-99.
- [149] Yuen,J.H.; Simon,M.K.; Miller,W.; Pollara,F.; Ryan,C.R.; Divsalar,D.; Morakis,J.: Modulation and Coding for Satellite and Space Communications. Proceedings IEEE, 78(1990)7, S. 1250-1266.

# Sachverzeichnis

- abgeschlossen, 70, 132, 169, 439, 457
- ACS-Prozessor, 283, 333
- Äquivalenzklassen, 123, 177, 439, 440, 442
- Äquivalenzrelation, 123, 177, 438, 440
- Äquivokation, 35
- Analog/Digital-Wandler, 426
- analytische Repräsentation, 321
- Approximation
  - binäre Entropiefunktion, 432
  - Binomialkoeffizienten, 433, 434
  - Exponentialfunktion, 431
  - Gaußsche Fehlerfunktion, 438
  - Logarithmus, 431
  - SOVA-Metrik, 299
  - Viterbi-Metrik, 304
- Apriori-Wahrscheinlichkeit, 22, 33, 36
- ARQ, 4, 252
- Assoziativgesetz, 70, 439, 441
- asymptotisch gute/schlechte Codes, 85, 207
- asymptotische Schranke, 84, 87, 210
- asymptotischer Codierungsgewinn,  
*siehe* Codierungsgewinn
- Ausfallstellenmenge, 230
- Ausfallstellenpolynom, 230
- Ausgangsalphabet, 9
- Auslöschungskanal (BEC), 12, 67
- Autokorrelationsfunktion (AKF), 381
- AWGN-Kanal, 12, 26
  - 2-dimensionaler, 14, 51, 306
  - bandbegrenzter, 57
  - nicht-binärer Input, 49
  - wertkontinuierlicher Input, 50
  - zeitkontinuierlicher Input, 57, 389
- Bandbegrenzung, 49, 57, 61, 309
- Bandbreite, 19, 41, 57
- Bandbreiteneinsparung, 331, 425
- Bandbreitenexpansionsfaktor, 17
- Basis, 107, 445
  - kanonische, 445
- Bayes, Satz von, 434
- BCH-Code
  - 1-Fehler-korrigierender, 201
  - allgemeine Definition, 198
  - asymptotisch schlecht, 207
  - asymptotischer Codierungsgewinn, 210
  - Beispiele, 82, 84, 103, 157, 199, 203, 242
  - Decodierung allgemeiner Fall, 211
  - Decodierung binärer Fall, 234, 243
  - Eignung für Einzelfehler, 153, 200
  - expandierter, 240
  - Fehlerwahrscheinlichkeits-Kurven, 208, 209
  - Gewichtsverteilung, 202
  - im engeren Sinn, 198
  - mit nicht-primitiver Blocklänge, 202, 239
  - Syndrom, 212, 234
  - Tabellen, 205, 206
  - trügerische Schranke, 93
- BCH-Schranke, 198
- bedingte Wahrscheinlichkeit, 9, 33, 434
- Begrenzter-Distanz-Decoder (BDD), 64, 78, 87
- Begrenzter-Minimaldistanz-Decoder (BMD), 78, 87, 93, 211, 215, 365
- Berlekamp-Massey-Algorithmus (BMA), 222, 224, 238
- Bessel-Funktion, 370
- Best State Rule, 282
- Bhattacharyya-Schranke, 44, 96, 286

- binärer symmetrischer Kanal (BSC), 10, 67
  - Reihenschaltung, 31
- binärer symmetrischer Kanal mit Ausfällen (BSEC), 11, 229, 373
- Binomialkoeffizient, 173, 432
- Binomialverteilung, 11, 68, 90, 435
- binomische Formel, 173, 432
- Blahut, R.E., 187
- blockcodierte Modulation, 353, 407, 424
- Blocklänge, 16
  - primitive, 194
- Bündelfehler, 146, 292, 415, 423
  - Erkennung, 148
  - Interleaving, 365
  - Korrektur, 150, 152, 395, 427
  - zyklischer, 146
- Cayley-Hamilton-Theorem, 270
- CCITT, 149, 338, 409
- CCSDS-Standard, 405
- Chien-Suche, 213, 224
- CIRC-Verfahren, 426
- Code
  - äquivalente, 18, 89, 109, 131, 139, 148
  - BCH-, *siehe* BCH-Code
  - Blockcode-Grundprinzip, 15
  - bündelfehlerkorrigierende, Tabelle, 153
  - CIRC, 426
  - CRC-, 148, 163, 192, 201
  - Decoder, *siehe* Decoder
  - dualer, 115, 126, 137, 401
  - Encoder, *siehe* Encoder
  - expandierter, 120, 240
  - Faltungscode, *siehe* Faltungscode
  - Fire-, 153, 418
  - Gewichtsverteilung, *siehe* Gewichtsverteilung
  - Golay-, *siehe* Golay-Code
  - Hamming-, *siehe* Hamming-Code
  - identische, 18
  - improper, 91, 92
  - linearer, 72
  - MDS-, *siehe* MDS-Code
  - nichtlinearer, *siehe* Zufallscodes
  - Parity Check-, *siehe* Parity Check Code
    - perfekter, 81, 82, 86, 93, 118
    - Produkt-, 395
    - punktierter Blockcode, 120, 241, 401
    - Reed-Muller-, *siehe* Reed-Muller Code
    - Reed-Solomon-, *siehe* Reed-Solomon Code
    - selbstdualer, 117
    - selbstorthogonaler, 117
    - Simplex-, 119, 126, 150
    - Vergleich BCH/RS-Code, 200
    - verkürzter, 120, 149, 160, 162, 241, 418
    - verkettete, 40, 86, 294, 352, 384, 397, 404, 417, 425
    - verlängerter, 120
    - Wiederholungs-, *siehe* Wiederholungscode
    - zyklischer, 129
- Code (Codemenge), 16
- Codebitrate, 17
- Coderate, 16, 246
- Codes
  - Durchschnitt, 162
  - Inklusion, 162, 198, 242, 401
  - Summenkonstruktion, 399
  - Vereinigung, 162
- Codewort, 15
- Codewortschätzer, 20, 78
- Codierung und Modulation, 7, 49, 305
- Codierungsgewinn, 26, 28, 29, 53
  - asymptotischer für BCH-Codes, 210
  - asymptotischer für Blockcodes, 28, 46, 49, 94, 95, 101, 210
  - asymptotischer für Faltungscode, 287, 290
  - asymptotischer für TCM, 327, 330, 334, 338, 345, 347, 354, 361
  - fundamentaler für TCM, 351, 361
- Compact Disc (CD), 425
- Continuous Phase Modulation (CPM), 386, 413
- CRC-Code, 148, 163, 192, 201
- Decoder
  - Begrenzter-Distanz- (BDD), 64, 78, 87

- Begrenzter-Minimaldistanz- (BMD), 78, 87, 93, 211, 215, 365
- Error-Trapping-, 159
- Majoritäts-, 401
- malfunction, 215
- Maximum-Aposteriori- (MAP), 23, 31
- Maximum-Likelihood- (MLD), 23, 78, 87, 124, 273, 276, 307, 332, 355, 376, 398
- Meggitt-, 156, 158
- Prinzip, 7
- Decoder Reliability Information, 423
- Decodierung
  - algebraische, 155, 273
  - Bündelfehler, 150
  - Fehler- und Ausfallkorrektur, 229, 241, 371, 373, 427
  - iterative, 358, 407
  - Mehrstufen-, 357
  - Nebenklassen-, 124
  - nicht-algebraische, 155
  - sequentielle, 273
  - Syndrom-, 124, 151, 154
  - Teilmengen-, 333
  - Trellis- für Blockcodes, 356, 393
  - unkorrigierbare Fehlermuster, 159, 160, 215, 223, 243
  - unvollständige, 21, 78
  - Vergleich der Decodierprinzipien, 79
  - Viterbi-Algorithmus, *siehe* Viterbi-Algorithmus
- Demodulator, 7, 306
- DeMoivre-Laplace-Theorem, 434
- differentielle Vorcodierung, 254, 338
- Digital Audio Tape (DAT), 429
- Digital Compact Cassette (DCC), 429
- Digital/Analog-Wandler, 428
- Digitalisierung, 30
- Dimension, 107, 445
- diskreter gedächtnisloser Kanal (DMC), 10, 24, 414
- diskreter Kanal (DC), 8, 414
- Distanzrate, 84, 87, 210, 259
- Distanzspektren, 267, 268, 286, 304
- Distributivgesetz, 70, 167, 441, 443
- Divisionstheorem, 132, 191, 447
- Dopplereffekt, 404
- Dreiecksungleichung, 19
- Dualbasis, 406
- dualer Code, 115, 126, 137, 401
- effektive Länge, 377
- EFM-Verfahren, 427
- Einflußlänge, 246
- Eingangsalphabet, 9, 52, 55, 306, 342
  - Partitionierung, 311
  - Verdopplung, 309
- Einheitskreis, 441
- Einheitsvektoren, 108, 445
- Einheitswurzel, 174, 441
- Einzelfehler, 146, 365, 396, 416, 427
- Elias-Schranke, 84
- Empfängerstatistik, 33
- Empfangswort, 15
- Encoder
  - Faltungs- mit rückgekoppelten Schieberegistern, 272, 319
  - Grundprinzip für Blockcode, 6, 15
  - Grundprinzip für Faltungscode, 246
  - katastrophaler Faltungs-, 254, 264, 271, 315, 321
  - Prinzip, 7
  - systematischer Block-, 17, 109, 139, 393
  - systematischer Faltungs-, 253, 258, 272, 319
  - Ungerböck-, 313
- Encoder-Inverses
  - Blockcode, 20
  - Faltungscode, 256, 276
- Encodierung (Blockcode)
  - Generatorpolynom, 139
  - per Ausfallkorrektur, 233
  - per IDFT, 196
  - Prüfpolynom, 142
  - Vergleich der Methoden, 143
- Energie pro Codebit, 12, 26
- Energie pro Codesymbol, 50, 306
- Energie pro Infobit, 26
- Entropie, 1, 34, 435
  - bedingte, 35
  - differentielle, 50, 68
- Entropiefunktion, 31, 37, 68, 84, 105, 432

- Entscheidungsbereich, 78, 96, 99, 308, 371
- Entwurfsdistanz, 194, 198, 207
- Entwurfsregeln von Ungerböck, 326, 363
- Envelope, 386, 391
  - komplexe, 390
- Error-Trapping-Decoder, 159
- Erwartungswert, 435
- euklidische Norm, 24
- euklidischer Abstand, 24, 306, 324
  - bei BCM, 354
  - bei CPM, 392
  - in den TCM-Teilmengen, 311
  - in der TCM-Signalkonstellation, 307, 311, 318
- Euklidischer Algorithmus (EA)
  - Konstruktion des Encoder-Inversen, 255, 271
  - Lösung der Schlüsselgleichung, 225
  - Nachweis inverser Elemente, 169, 440
  - Theorem, 450
- Eulersche  $\varphi$ -Funktion, 176
- expandierter Code, 120, 240
  - Gewichtsverteilung, 127
- Expansionsfaktor, 271
- Exponentendarstellung, 171
- Fadingkanal, 352, 369
  - frequenzselektiver, 414
  - langsames Fading, 370
  - Rayleigh-Fading, 370
  - Rice-Fading, 370
- Faktoring, *siehe* Ring
- Faltung
  - zeitdiskrete, 135
  - zeitkontinuierliche, 392
- Faltungscodes
  - Bündelfehler, 366
  - Fehlerstrukturen, 292, 366
  - Gewichtsverteilung, *siehe* Gewichtsverteilung
  - Grundprinzip, 246
  - nichtlinearer, 338
  - optimaler, 257, 378
  - punktierter, 251, 257, 284, 291, 362, 417
  - selbstorthogonaler, 424
  - short-memory, 247
  - Standardbeispiel, 247, 248, 250, 256, 258–260, 262–266, 270–272, 277–280, 288, 292, 303, 304
  - systematischer, 253, 258, 272, 319
  - Tabellen, 250, 257, 291
  - terminierter, 251, 417
  - transparenter, 253, 285
- FDMA-System, 413
- FEC, 4
- Fehlerereignis, 286, 292, 304
- Fehlererkennung, 4, 74, 77, 91, 104, 126, 146, 148, 150, 212, 419
- Fehlerexponent, 41
- Fehlerkorrektur, 4, 74, 77, 104, 127, 150
- Fehlerstellenmenge, 213, 234
- Fehlerstellenpolynom, 213, 222, 225, 234
  - komplementäres, 227
- Fehlerverschleierung, 419, 422, 425
- Fehlerwahrscheinlichkeit
  - 2-Codewörter-, 97, 335, 376, 383
  - Bit-, 20, 25, 93
  - des Hard-Decision AWGN, 12
  - Kurve des Golay-Code, 26
  - Kurve des Hamming-Code, 29, 101
  - Kurven der BCH-Codes, 208, 209
  - nach Decoder bei Hard-Decision, 93
  - nach Decoder beim AWGN, 98
  - nach Decoder im allgemeinen Fall, 96
  - nach Fehler- und Ausfalldecoder, 373
  - Symbol-, 10, 25, 308
  - Wort-, 20, 25, 93, 373
- Fehlerwertpolynom, 219, 225, 243
- Fehlerwort (Fehlermuster), 73, 122
- FIR-Filter, 380, 414
- Fire-Code, 153, 418
- Forney, G.D., 248, 278, 352, 380, 393
- Forney-Algorithmus, 220, 224, 226, 232, 243
- Fouriertransformation
  - Diskrete (DFT), 187, 192
  - Fast (FFT), 196, 212
  - Transformationsmatrix, 188
- Fractional Spacing Equalizer, 409
- Frame Checking Sequence (FCS), 149
- freie Distanz, 257, 324, 344, 376
- Frequency Hopping, 415

- Frequenzimpuls, 388
- full response CPM, 388
- Fundamentalweg, 262, 264
- Fundamentalwegkoeffizienten, 264
- Galileo Mission, 406
- Gallagher-Exponent, 41
- Galoisfeld, 70, 169, 171, 443, 456
  - Beispiele, 71, 166, 172, 181, 184, 186
  - Primkörper, 169, 190, 197
  - Rechenregeln, 70
  - Teilkörper, Erweiterungskörper, 169, 192, 202
- Gauß-Verteilung, 12, 436
- Gaußsche Fehlerfunktion, 13, 436, 437
  - Approximation, 438
  - Bild, 437
  - Tabelle, 13
- Gedächtnislänge, 246
- Generalized Minimum Distance
  - Decoder, 393
- Generatormatrix, 108, 249, 319, 399
- Generatorpolynom, 133, 249, 319, 458
- geometrische Summenformel, 188, 207, 235, 457
  - für Matrizen, 268
- Gewichtsverteilung
  - äquivalenter Blockcodes, 109
  - BCH-Code, 202
  - binomiale Approximation, 90
  - Blockcode, 88
  - dualer Code, 116
  - expandierter Code, 127
  - expandierter Hamming-Code, 121, 127
  - für Fehlererkennung, 91, 126
  - für Fehlerkorrektur, 96, 98
  - Faltungscodes, 264, 266–268, 286
  - Hamming-Code, 89, 118
  - MDS-Code, 197
  - Parity Check Code, 89, 117, 127
  - Simplex-Code, 119
  - TCM, 334
  - Wiederholungscodes, 89, 117
  - Zufallscodes, 90, 104, 113
  - zyklischer Blockcode, 162
- Gilbert-Varshamov-Schranke, 83, 85, 87, 210
- Giotto Mission, 406
- GMSK, 413
- Golay-Code, 81
  - Fehlerwahrscheinlichkeits-Kurve, 26
  - ternärer, 103
- größter gemeinsamer Teiler (GGT), 254, 450
- Gradformel, 446
- Gradientenverfahren, 409
- Gray-Codierung, 359
- Gruppe, 70, 439
  - multiplikative, 70, 171, 176, 178, 440
  - Ordnung, 176, 439, 440
  - Unter-, 440
  - zyklische, 440
- GSM-Standard, 412
- Hagenauer, J., 252, 297, 407, 423
- Hamming-Code
  - allgemeine Definition, 118
  - als BCH-Code, 199, 201
  - asymptotisch schlecht, 86
  - Beispiel  $(7, 4, 3)_2$ -Code, 19, 81, 89, 92, 95, 101, 108, 110, 112, 113, 115, 121, 130, 141, 143, 145, 162, 398
  - expandierter, 121, 127, 163, 401, 424
  - Fehlerwahrscheinlichkeit, 95
  - Fehlerwahrscheinlichkeits-Kurve, 29, 101
  - Gewichtsverteilung, 89, 118, 126
  - Gewichtsverteilung, expandierter, 121, 127
  - Produkt, 396
  - Trellisdiagramm, 394
  - Wahrscheinlichkeit unerkannter Fehler, 92
- Hamming-Schranke, 81, 84, 105, 120
- Hammingdistanz, 18, 72, 306
- Hamminggewicht, 18, 72
- Hard-Decision, 9, 21, 23, 28, 73, 91, 93, 145, 149, 154, 211, 299, 355, 375, 398
- harmonische Verzerrungen, 410
- Hauptidealring, 135, 442, 444, 457
- Heller-Schranke, 258
- Hilberttransformation, 390, 391
- Hintergrund-Fehlerrate, 423
- Horner-Schema, 140

- Ideal, 135, 442, 453
- idempotentes Element, 162
- Imai, H., 352
- Implementierung, 29
  - Block-Encoder, 143, 196
  - RS-Decoder, 224
  - Viterbi-Algorithmus, 283, 285
  - Zech'scher Logarithmus, 192
- improper Code, 91, 92
- Impulsantwort, 380
- Indikatorfunktion, 391
- Industriestandard-Code, 250, 253, 271, 358, 404
- Infobitrate, 17
- Infowort, 15
- Integritätsbereich, 441, 443, 446
- Interleaving, 294, 358, 365, 384, 416
  - Bitebene, 371
  - Block-, 366
  - Codesymbole, 371
  - Faltungs-, 368, 426
  - Kanalsymbole, 371
- Intersymbol-Interferenzen (ISI), 380, 414
- inverses Element, 70, 169, 170, 439, 446, 454
- irreduzibles Polynom, 171, 179, 192, 446, 454
- Irrelevanz, 35
- isomorph, 70, 171, 442, 444, 454
- iterative Decodierung, 358, 407
  
- Kanal
  - äußerer, 294
  - 2-dimensionaler, 14, 51, 306
  - Auslöschungskanal (BEC), 12, 67
  - AWGN, *siehe* AWGN-Kanal
  - binärer symmetrischer (BSC), 10, 31, 67
  - diskreter (DC), 8
  - diskreter gedächtnisloser (DMC), 10, 24, 414
  - diskreter mit Verzerrungen, 380, 414
  - Fading-, *siehe* Fadingkanal
  - GSM-Mobilfunk, 414
  - innerer, 294
  - mit Bündelfehlern, 292, 365
  - mit Fehlern und Ausfällen (BSEC), 11, 229
  - optischer, 425
  - physikalischer, 7, 49, 414
  - Richtfunk-, 423
  - Satelliten-, 403
  - Super-, 292, 294, 397
  - symmetrischer, 10
  - Telefon-, 59
  - zeitinvarianter, 9
  - zeitvarianter, 9, 295
- Kanalcodierungstheorem, 38, 78, 80, 83, 86, 288
- Kanalkapazität, 2, 36, 50, 58
  - AWGN ( $q = 2$ ), 37
  - AWGN mit ASK, 52
  - AWGN mit Bandbegrenzung, 58, 309
  - AWGN mit wertkont. Input, 51
  - BSC, 36
  - Kurve AWGN ( $q = 2$ ), 39
  - Kurve AWGN mit ASK, 53
  - Kurve BSC, 37
  - Kurven AWGN, BSC bei  $R = C$ , 47
  - normalisierte, 59
- Kanalschätzung, 381
- Kanalstatistik, 9, 33
- Kanalzustandsinformation (CSI), 370, 422
- kanonische Basis, 445
- Kante, 260
  - Beschriftung, 260
  - parallele, 322, 333
- katastrophaler Faltungs-Encoder, 254, 264, 271, 315, 321
- kausales Filter, 382, 391
- klassische Kanalcodierung, 3, 61, 305, 309
- kleinstes gemeinsames Vielfaches (KGV), 199
- Knoten, 262
- Körper, 70, 443
  - endlicher, *siehe* Galoisfeld
- kohärenter Empfänger, 7, 59, 371, 390
- Kommutativgesetz, 70, 439, 441, 443, 444
- Komponentencode, 353, 424
- Komponentendarstellung, 171

- konjugierte Elemente, 177, 191
- Konverses Theorem, 38
- Korrelation, 25
- Kreisteilungskörper, 174
- Kreisteilungspolynom, 174
- Kryptographie, 2, 6
- Kugel, 63, 74
  - Anzahl enthaltener Codewörter, 68
  - Decodier-, 76
  - Mächtigkeit, 74
- l’Hospital’sche Regel, 46, 220, 431
- Lattice-Theorie, 352
- Leistungsbegrenzung, 49, 57, 60
- linear unabhängige Vektoren, 445
- linearer Code, 72
- Linearfaktor, 449
- Linearkombination, 107, 445
- MacWilliams-Identität, 116
- Majoritäts-Decoder, 401
- Mariner Mission, 404
- Massey, J.L., 72, 274, 305, 403
- Massey-Schranke, 104
- Matched Filter, 382, 391
- Maximum-Aposteriori-Decoder (MAP), 23, 31
- Maximum-Likelihood-Decoder (MLD), 23, 78, 87, 124, 273, 276, 307, 332, 355, 376, 398
- Maximum-Likelihood-Sequence Estimation (MLSE), 381, 415, 423
- MDS-Code, 80
  - asymptotische Schranke, 86
  - dualer Code, 116
  - Eigenschaften, 80, 126, 241
  - expandierter, 240
  - Gewichtsverteilung, 197
  - punktierter, 241
  - RS-Code, 195
  - verkürzter, 241
- Mealy-Automat, 263
- Megitt-Decoder, 156, 158
- mehrdimensionale TCM, 342, 424
- Mehrstufigendecodierung, 357
- mehrstufige TCM, 353, 424
- Metrik, 18
- Metrik-Prozessor, 283, 333
- Mini Disc (MD), 428
- Minimaldistanz, 19, 73, 113, 354, 384
  - zeitkontinuierlicher AWGN, 390
- Minimalpolynom, 178
- Minimum Shift Keying (MSK), 388
- Mobilfunk, 370, 412
- Modem, 59, 338, 409
- Modulation Toolbox, 410
- Modulationsindex, 387
- Modulationsverfahren
  - ASK, 12, 52–55, 361, 424
  - CPFSK, 388
  - CPM, 386, 413
  - EFM, 427
  - FSK, 59
  - GMSK, 413
  - MSK, 388
  - PSK, 55–57, 59, 306, 307, 312, 328, 343, 354, 359
  - QAM, 55, 57, 59, 306, 307, 313, 329, 339, 347, 351, 361, 423
- Modulator, 7, 306
- modulo-Rechnung, 132, 447, 448
- Modultheorie, 248
- Multiplexverfahren, 412
- multiplikative Gruppe, 70, 171, 176, 178, 440
- Muttercode, 251
- natürliche Zuordnung, 315
- Nebenklassen, 123, 440
  - Anführer, 123, 151, 440
  - Decodierung, 124
  - Zerlegung, 123, 178, 440
  - zyklotomische, 177
- neutrales Element, 70, 439
- Newton-Identität, 213
- nichtlineare Verzerrungen, 403
- nichtlinearer Code, *siehe* Zufallscodes
- Normalverteilung, *siehe*
  - Gauß-Verteilung
- normiertes Polynom, 132, 446
- Nullraum, 111
- Nullteiler, 441, 457
- Nyquist-Rate, 58
- optimale TCM, 324
- optimaler Faltungscodes, 257, 378

- optischer Kanal, 425
- Ordnung einer Gruppe, 176, 439, 440
- Ordnung eines Elementes, 176, 178, 440
- orthogonal, 115, 161
- OSI-Sicherungsschicht, 149
- Palindrom, 102
- Paritätsfrequenzen, 194, 198, 204, 212, 215, 225, 242
- Parity Check Code, 73, 112, 115, 137, 354, 401
  - Gewichtsverteilung, 89, 117, 127
  - Produkt, 396
  - Trellisdiagramm, 394
  - Wahrscheinlichkeit unerkannter Fehler, 92
- partial response CPM, 388, 413
- Partitionierung des Symbolalphabetes, 311
- Pegelregelung, 13, 289, 390
- perfekter Code, 81, 82, 86, 93, 118
- Permutation von Spalten, 109, 118, 148
- Peterson-Algorithmus, 236
- Peterson-Gorenstein-Zierler-Decoder, 215
- Phasenimpuls, 388
- physikalischer Kanal, 7, 49, 414
- Pilotton, 370
- Plotkin-Schranke, 82, 84, 120
- Polynom
  - Ableitung, 220
  - Identifikation, 131
  - irreduzibles, 171, 179, 192, 446, 454
  - Minimal-, 178
  - normiertes, 132, 446
  - Nullstellen, 449
  - primitives, 148, 153, 171, 172, 174, 175, 181
  - reziprokes, 136, 447
  - Zerfall in irreduzible Faktoren, 447
- Polynom-Division, 132
  - Divisionsverfahren, 163, 191, 447
  - mit rückgekoppelten Schieberegistern, 140, 145, 163
- Potenzreihe, 249, 319
- Power Delay Profile (PDP), 414
- Prüfmatrix, 111, 319
- Prüfpolynom, 136, 319
- pragmatische TCM, 358
- Primfaktorzerlegung, 176
- primitive Blocklänge, 194
- primitives Element, 171, 176
- primitives Polynom, 148, 153, 171, 174, 175, 181
  - Tabelle, 172
- Produktcode, 395
- Produktdistanz, 377
- Pulsmodulation, 419
- punktierter Blockcode, 120, 241, 401
- punktierter Faltungscodierung, 251, 252, 284, 362
- Punktierungslänge, 251
- Punktierungsschema, 251, 285
- Quantisierung, 12, 30, 44, 295
  - Kennlinie, 13
  - octal, 39
  - oktale, 13, 46, 284, 285, 289, 304, 404
- Quellencodierung, 1, 6, 419, 422
- quellengesteuerten Kanal-Decodierung, 423
- Quellenstatistik, 23, 33
- Quotientenring, *siehe* Ring
- $R_0$ -Theorem, 43
- $R_0$ -Wert, 42
  - AWGN ( $q = 2$ ), 45
  - AWGN mit ASK, 54
  - AWGN mit PSK, 55
  - BSC, 45
  - Kurve AWGN ( $q = 2$ ), 39
  - Kurve AWGN mit ASK, 54, 309
  - Kurve AWGN mit PSK, 56, 309
  - Kurve BSC, 37
  - Kurven AWGN, BSC bei  $R = R_0$ , 47
- Randbedingungen der Codierung, 4
- Random Coding Argument, 40, 43, 62, 65
- Randverteilung, 33
- Rang, 108
- Rauschleistung, 57
- Rauschleistungsdichte, 12, 57
- Rayleigh-Verteilung, 370
- RCPC-Code, 252, 420, 422
- Redundanz, 1, 6, 41
- Reed-Muller Code, 358, 393, 404

- Definition, 400
- punktierter, 401
- Reed-Solomon Code
  - allgemeine Definition, 194
  - asymptotisch schlecht, 86
  - Beispiel  $(6, 2, 5)_7$ -Code, 243
  - Beispiel  $(7, 3, 5)_8$ -Code, 216, 217, 220, 223, 226, 228, 232
  - CIRC, 426
  - Eignung für Bündelfehler, 200
  - Encodierung per Ausfallkorrektur, 233
  - expandierter, 240
  - Fehler- und Ausfallkorrektur, 230, 371, 427
  - Fehlerkorrektur (BMD), 211, 215
  - Gewichtsverteilung, 197
  - Interleaving, 371
  - mit nicht-primitiver Blocklänge, 239
  - punktierter, 241
  - Realisierungsaufwand Decodierung, 224
  - Syndrom, 212
  - Übersicht Fehlerkorrektur Frequenzbereich, 218
  - Übersicht Fehlerkorrektur im Zeitbereich, 221
  - verkürzter, 241
  - Verkettung, 398, 404, 425
- rekursive Ergänzung, 217, 224, 232
- Restklassen, 439, 442
  - Arithmetik, 132, 448
- Restklassenring, *siehe* Ring
- reziprokes Polynom, 136, 447
- Rice-Verteilung, 370
- Richtfunk, 423
- Rieger-Schranke, 152, 418
- Ring, 191, 441
  - Polynomring, 169, 446, 453
  - Restklassenring, 442, 453
- rotationsinvariante TCM, 337
- Rotationsinvarianz, 254
- Rückgrifftiefe, 282
- Rückkanal, 4
- Rückschlußunsicherheit, 35
- run-length limited code, 427
- Satellitenkanal, 403
- Satz von Bayes, 434
- Satz von der vollständigen Wahrscheinlichkeit, 22, 33, 434
- Schieberegister
  - DFT-Berechnung, 188
  - Encoder-Inverses, 256
  - Encodierung mit  $g(x)$ , 140
  - Encodierung mit  $h(x)$ , 143
  - Faltungs-Encoder, 247
  - Faltungs-Encoder mit Rückkopplung, 272
  - mit Vorwärts- und Rückkopplung, 161
  - Syndrom-Berechnung, 145
  - TCM-Encoder, 316
- Schlegel-Costello Codes, 379
- Schlüsselgleichung, 213, 222, 224, 225, 235
- Schranke
  - asymptotische, 84, 87, 210
  - BCH-, 198
  - Bhattacharyya-, 44, 96, 286
  - Elias-, 84
  - Gilbert-Varshamov-, 83, 85, 87, 210
  - Hamming-, 81, 84, 105, 120
  - Heller-, 258
  - Massey-, 104
  - Plotkin-, 82, 84, 120
  - Rieger-, 152, 418
  - Singleton-, 80, 84, 113, 195
  - trügerische, 91, 93
- Schwarz'sche Ungleichung, 44
- selbstdualer Code, 117
- selbstorthogonal
  - Blockcode, 117
  - Faltungscode, 424
- Separationsprinzip, 6, 421
- Shannon'sches Abtasttheorem, 57, 426
- Shannon, C.E., v, 1, 33, 38
- Shannon-Grenze, 48, 51, 58–60, 407, 409
- Shannon-Hartley-Theorem, 58
- Shell Mapping, 411
- shift register
  - Problem der Filter-Synthese, 222
  - rekursive Ergänzung, 217
- Shiftfunktion, 259
- short-memory Faltungscode, 247

- Signal(punkt), 306
- Signal/Rausch-Abstand (SNR), 58, 299
- Signalflußgraph, 263
- Signalkonstellationen, *siehe*
  - Modulationsverfahren
- Signalleistung, 57
- Signalraumcodierung, *siehe*
  - trelliscodierte Modulation
- Simplex-Code, 119, 126, 150
- Singleton-Schranke, 80, 84, 113, 195
- Skalarprodukt, 25, 115, 161, 276
- Soft-Decision, 7, 9, 25, 28, 44, 46, 98, 211, 286, 295, 300, 334, 355, 375, 393, 398, 404, 415, 423
  - Anforderungen an -Output, 296
  - Output Viterbi-Algorithmus (SOVA), 297, 385, 407, 415, 423
- Source Apriori / Aposteriori Information (SAI), 423
- Source Significance Information (SSI), 422
- spektrale Bitrate, 59, 306, 313, 342, 353, 359
- statistisch unabhängig, 434
- Stirling'sche Formel, 433, 434
- Summenkonstruktion, 399
- Super-Kanal, 292, 294, 397
- Survivor, *siehe* Weg
- Synchrone Digitale Hierarchie (SDH), 423
- Synchronisation, 29, 245, 337, 371, 404, 427
  - Knoten-, 285
  - Rahmen-, 285
  - Symbol-, 285
- Syndrom
  - Bündelfehlerkorrektur, 150
  - BCH-Code, 234
  - bei zyklischen Verschiebungen, 156
  - Decodierung, 124
  - linearer Code, 122, 127
  - Numerierung, 125
  - RS-Code, 212, 231
  - Schieberegister-Implementierung, 145
  - zyklischer Code, 144, 151
- Synthese eines Filters, 222
- systematischer Block-Encoder, 17, 109, 139
- systematischer Faltungs-Encoder, 253, 258, 272
- tail bits, 251
- Taylor-Entwicklung, *siehe*
  - Approximation
- TDMA-System, 413
- Teilmengen-Decodierung, 333
- terminierter Faltungscode, 251, 417
- Tiefpaßfilter, 428
- Trägerfrequenz, 387
- Transformationsmatrix (DFT), 188
- Transinformation, 34
- transparenter Faltungscode, 253, 285
- Trap-Form, 159
- Trellis Shaping, 411
- trelliscodierte Modulation, 53, 61, 305, 310, 366
  - analytische Repräsentation, 321
  - asymptotischer Codierungsgewinn, 327, 330, 334, 338, 345, 347, 354, 361
  - Bandbreiteneinsparung, 331, 425
  - blockcodierte Modulation, 353, 424
  - Codetabellen, 328, 329, 351, 379
  - effektive Länge, 377
  - für Fadingkanäle, 374
  - Fehlerwahrscheinlichkeit, 334
  - fundamentaler Codierungsgewinn, 351
  - Gewichtsfunktion, 334
  - im engeren Sinn, 310
  - mehrdimensionale, 342, 424
  - Mehrstufendecodierung, 357
  - mehrstufige, 353, 424
  - ML-Decodierung, 332, 376, 386
  - natürliche Zuordnung, 315
  - nichtlineare, 315, 324, 335, 338
  - optimale, 324, 361
  - $P^2$ -Codes, 362
  - Partitionierung, 311
  - pragmatische, 358
  - Produktdistanz, 377
  - rotationsinvariante, 337, 343
  - Schlegel-Costello Codes, 379
  - Terminierung, 363
  - Ungerböck-Encoder, 313, 378
  - Viterbi-Metrik, 332, 376, 386

- Trellisdiagramm, 259–261
  - für Blockcodes, 356, 393
  - für CPM, 389
  - für TCM, 322, 343
  - periodisch, 389
  - Phasen-, 389
- trägerische Schranke, 91, 93
- Tschebyscheff'sche Ungleichung, 435
- Turbo Codes, 407
  
- Übergangswahrscheinlichkeit, 9, 33, 306, 381
  - zeitvariante, 295
- Übertragungscode, 4
- UEP-Codierung, 253, 419, 422
- UMTS, 412
- Ungerböck, G., 3, 305, 313, 326
- Union Bound, 96, 101, 334
- unterlegte Codierung, 424
  
- V-Standards, 59, 338, 409
- Vandermonde'sche Determinante, 214
- Varianz, 12, 435
- Vektorraum, 71, 72, 107, 132, 249, 444, 456
- verkettete Codes, 40, 86, 294, 352, 384, 397, 404, 417, 425
- verkürzter Code, 120, 149, 160, 162, 241, 418
- verlängerter Code, 120
- Verteilung
  - Binomial-, 11, 68, 90, 435
  - Gauß-, 12, 436
  - gemeinsame, 33
  - Rand-, 33
- Verzögerung bei der Decodierung, 6, 7, 22, 43, 277, 282, 357, 366, 416
- Vielfach-Teilnehmer-Netzwerk, 412
- Vierecksungleichung, 31
- Viterbi, A.J., 278, 358
- Viterbi-Algorithmus, 273, 277, 332, 381, 383, 386, 389, 393
  - Best State Rule, 282
  - Big Viterbi Decoder, 407
  - Fehlerstrukturen, 292, 366, 385, 415
  - Implementierung, 283, 285
  - mit Soft-Output (SOVA), 297, 385, 407, 415, 423
  - nicht-terminierter Code, 282
  - path memory truncation, 282
  - Rückgrifftiefe, 282
  - terminierter Code, 277
  - Verzögerung bei der Decodierung, 282
  - Zero State Rule, 282
- Viterbi-Metrik, 274
  - AWGN, 275
  - BSC, 275
  - CPM, 389
  - Inkrementalisierung, 274, 276
  - ISI-Kanal, 381, 383, 386
  - Metrik-Inkremente, 274, 277
  - Survivor-Metrik, 277
  - TCM, 332, 386
  - TCM mit Fading, 376
  - zeitkontinuierlicher AWGN, 389
- Vorcodierung
  - differentielle, 254, 338
  - Tomlinson-Harashima, 411
  - Trellis-, 411
- Vorhersageunsicherheit, 35
- Vorwärtspolynom, 160
- Voyager Mission, 404
  
- Wahrscheinlichkeit
  - Apriori-, 22, 33, 36
  - bedingte, 9, 33, 434
  - einer fehlerhaften Übertragung, 11
  - Übergangs-, 9, 33, 295, 306
  - unerkannter Fehler, 91, 104, 126
- Warping, 411
- Weg, 262, 276
  - Fundamentalweg, 262, 264
  - Survivor-, 277, 279
- Whitening Filter, 383
- Wiederholungscode, 73, 82, 86, 89, 112, 115, 137, 353, 354, 400
  - Fehlerwahrscheinlichkeit, 95
  - Gewichtsverteilung, 89, 117
  - Trellisdiagramm, 395
  - Wahrscheinlichkeit unerkannter Fehler, 92
- wohldefiniert, 442
  
- Z-Kanal, 68
- Zech'scher Logarithmus, 192
- Zehavi-Wolf Lemma, 363

Zeilenoperationen, elementare, 109, 320  
Zeilenraum, 111  
Zerfallungskörper, 174  
Zero State Rule, 282  
Zero-Forcing Algorithmus, 409  
Zufallscodes  
– allgemeine, 40, 87, 90, 104  
– lineare, 90, 104, 113  
– systematische, 90  
Zustand, 259  
– Anfangs-, 276  
– End-, 276  
– Nullzustand, 259, 265  
Zustandsdiagramm, 263  
– modifiziertes, 265  
Zustandsgleichungen, 266  
Zustandsvariable, 266  
zyklische Faltung, 189  
zyklische Gruppe, 440  
zyklische Verschiebung, 129, 132, 189,  
458  
zyklischer Code, 129, 134  
– Durchschnitt und Vereinigung, 162  
zyklotomische Nebenklassen, 177